

离散数学原理之二

# 图论及其算法

王树禾 编著

中国科学技术大学出版社

1990·合肥

## 内 容 简 介

本书系统地阐述了图论与算法图论的基本概念,基础理论,基本算法及其重要应用,立论严谨,概念清楚,语言流畅,载有大量例题及著名算法,每章布置足够多的引人入胜的习题,是图论教学与自学比较理想的一部书。

本书可作为理工科大学计算机、无线电电讯、系统科学、应用数学等专业的本科生及研究生的教材,也可供有关专业研究人员参考。

## 图 论 及 其 算 法

王树禾 编著

中国科学技术大学出版社出版

(安徽省合肥市金寨路96号,邮政编码230026)

中国科学技术大学印刷厂印刷

安徽省新华书店发行

※

开本: 850×1168/32 印张: 10.75 字数: 279千

1990年10月第1版 1990年10月第1次印刷

印数: 1-4000册

ISBN7-312-00216-1/O·82 定价: 2.60元

741/218/04

## 序

多年来，为了大规模快速计算的目的，数学影响了计算机科学形成与发展，随着计算机在社会中作用的变大，它反过来又影响数学，图论就是这方面的显著范例。由于图论对计算机有许多应用，例如数据表示、网络设计等等，搞计算机科学技术的都要学习图论。

当然，图论的应用领域远不止于此，它同理论物理、有机化学、系统科学、运筹学、社会学等等都有关联。至于同数学内部，例如代数结构、数学关系论、拓扑学等等的关系更是众所周知的，它同组合数学的关系如此之密切，以致于许多人都认为图论是组合数学的一个重要组成部分。

学习好图论，除了能使人应用它的成果，同样重要的是能培养思考解决问题的能力，从长远观点来看，它理应成为人们必须接受的数学教育的不可少的科目之一。

王树禾同志编著的这本书，是他多次使用并不断更新完善的两份讲义重新组织改写的结果，书中从问题的陈述到论证解答，都有许多独到之处。他用自己的讲义，已经培养了中国科学技术大学计算机科学技术系九届毕业生，教学实践证明，即使是原来的讲义，也已经是相当之成功的。

本书包括了现今图论教材中应涉及的所有课题；它的基本理论严谨，系统性强；另一个特色在于它相当强调算法。图论算法是算法设计与分析这一分支中的重要组成部分，数学证明的算法化已经形成潮流，在计算机大量应用的年代，这当然是不可避免的。采用本书学习图理论的同时，学习相应的算法及其分析方

法，这自然是十分理想的。

综上所述，这是一部理科和工科大学生、研究生以及工程技术人员、教师都可以学习、参考的好书。

陶懋顺

1990年2月于北京

## 前 言

本书阐述了图论与算法图论的基本概念与基础理论,包括计算复杂性的概念与理论。书中主要采用构造性的组合技术和代数方法,要求读者具有线性代数与代数结构两门学科的基础知识;当然,由于图论自身的特点,还要求读者具备足够的数学机敏性与成熟性。

本书共分十七章,各章布置了较丰富的习题(共计 361 题)。习题和书中的例题一样有趣,不少习题自身就是比较重要的定理。图论题目,不仅要引用定义定理,而且往往需要运用精彩的技巧才能解决,不多做习题,不可能掌握图论的思想与方法。

本书问世过程中,陶懋顺教授提出许多重要建议,并为本书撰写了序言和第十七章,作者对陶懋顺同志对本书的贡献表示感谢。

李乔教授对本书的出版给予热情支持和鼓励,并提出重要修改意见,在此谨致谢忱。

王树禾

1990年2月于科大数学系

# 目 录

序	( i )
前言	( iii )
1. 通论	( 1 )
1.1 图论的内容与历史回顾	( 1 )
1.2 图的定义	( 5 )
1.3 轨道与连通	( 9 )
1.4 Brouwer 不动点定理	( 13 )
1.5 Dijkstra 算法	( 16 )
习题	( 20 )
2. 树	( 26 )
2.1 树及其性质	( 26 )
2.2 生成树的个数	( 30 )
2.3 Kruskal 算法	( 33 )
2.4 几类常用树	( 35 )
习题	( 44 )
3. 连通性	( 47 )
3.1 连通性和 Whitney 定理	( 47 )
3.2 割顶、桥、块	( 50 )
3.3 可靠通讯网的构造	( 52 )
习题	( 55 )
4. 可行迹性	( 57 )
4.1 Euler 图	( 57 )
4.2 中国邮路问题	( 59 )
4.3 Hamilton 图	( 62 )

4.4 货郎问题.....	( 69 )
习题 .....	( 73 )
<b>5 平面图</b> .....	( 76 )
5.1 平面图的概念.....	( 76 )
5.2 Euler 公式.....	( 78 )
5.3 平面图的对偶图.....	( 79 )
5.4 Kuratowsky 定理.....	( 83 )
5.5 图的厚度.....	( 87 )
习题 .....	( 90 )
<b>6 纵深搜索算法与平面嵌入算法</b> .....	( 92 )
6.1 广度与深度优先搜索法.....	( 92 )
6.2 平面嵌入算法.....	( 100 )
习题 .....	( 107 )
<b>7 匹配理论及其应用</b> .....	( 109 )
7.1 匹配与许配.....	( 109 )
7.2 匹配基本定理.....	( 111 )
7.3 二分图中最大匹配与最佳匹配的算法.....	( 118 )
习题 .....	( 123 )
<b>8 支配集与独立集</b> .....	( 126 )
8.1 支配集与独立集的概念.....	( 126 )
8.2 支配数、覆盖数和独立数的计算.....	( 128 )
8.3 支配集与独立集的应用.....	( 131 )
8.4 Ramsey 数 $r(k, l)$ .....	( 133 )
习题 .....	( 139 )
<b>9 着色理论</b> .....	( 141 )
9.1 边色数.....	( 141 )
9.2 Ramsey 数和 Schur 定理.....	( 144 )
9.3 时间表问题.....	( 146 )
9.4 顶色数.....	( 149 )

9.5	面色数	(151)
9.6	颜色多项式	(153)
9.7	求色数的一个算法	(157)
	习题	(159)
<b>10</b>	<b>有向图</b>	(163)
10.1	有向图的连通性	(163)
10.2	有向 Euler 图	(165)
10.3	有向轨	(168)
10.4	有向圈	(171)
	习题	(176)
<b>11</b>	<b>网络中的最大流</b>	(178)
11.1	Ford 和 Fulkerson 算法	(178)
11.2	Dinic 算法	(181)
11.3	容量有上下界的网络	(187)
11.4	有供需约束的流	(191)
	习题	(193)
<b>12</b>	<b>网络流方法的应用</b>	(196)
12.1	顶连通度	(196)
12.2	有向图的连通度和无向图的边连通度	(200)
12.3	有向图的边连通度和弱独立外向生成树	(202)
12.4	二分图	(205)
12.5	关于 PERT 的两个问题	(208)
	习题	(211)
<b>13</b>	<b>无向图中的空间与矩阵</b>	(216)
13.1	圈空间	(216)
13.2	断集空间	(219)
13.3	关联矩阵	(223)
13.4	圈矩阵	(226)
13.5	割集矩阵	(228)



13.6	邻接矩阵与道路矩阵	(230)
13.7	开关网络	(233)
	习题	(242)
<b>14</b>	<b>有向图中的矩阵</b>	(246)
14.1	邻接矩阵与道路矩阵	(246)
14.2	关联矩阵和生成树的数目	(250)
14.3	圈矩阵与割集矩阵	(254)
14.4	电路网络	(256)
	习题	(264)
<b>15</b>	<b>NPC概念与 Cook 定理</b>	(266)
15.1	算法的好与坏	(266)
15.2	判定问题的 NP 类	(268)
15.3	NPC与 Cook 定理	(272)
15.4	NPC 中的几个组合问题	(278)
	习题	(283)
<b>16</b>	<b>NPC 中若干著名的图论问题</b>	(285)
16.1	团、独立集和顶覆盖	(285)
16.2	Hamilton 轨和 Hamilton 圈	(286)
16.3	图的色数	(289)
16.4	有向图的反馈集	(291)
16.5	Steiner 树	(292)
16.6	最大断集	(293)
16.7	图的直线排列	(296)
16.8	多商品整流问题	(299)
	习题	(302)
<b>17</b>	<b>拟阵与图</b>	(305)
17.1	定义与例	(305)
17.2	拟阵与图论	(310)
	习题	(314)
	<b>习题答案或提示</b>	(316)
	<b>参考文献</b>	(334)

# 1 通 论

## 1.1 图论的内容与历史回顾

本节以比较自由的方式介绍图论的主要内容，并对它的重要历史事件进行回顾。所涉及的内容以后各章节将予以严格而详细地论述。

一个图就是一个集合 $V$ 连同 $V$ 的一些二元子集的集合构成的一个数学结构。

1736年是图论的历史元年。这一年，Euler 研究Königsberg（今苏联加里宁格勒）的七桥问题（图1.1(a)），发表了图论的首篇论文。当时哥尼斯堡的市民热衷于这样一个有趣的游戏：从

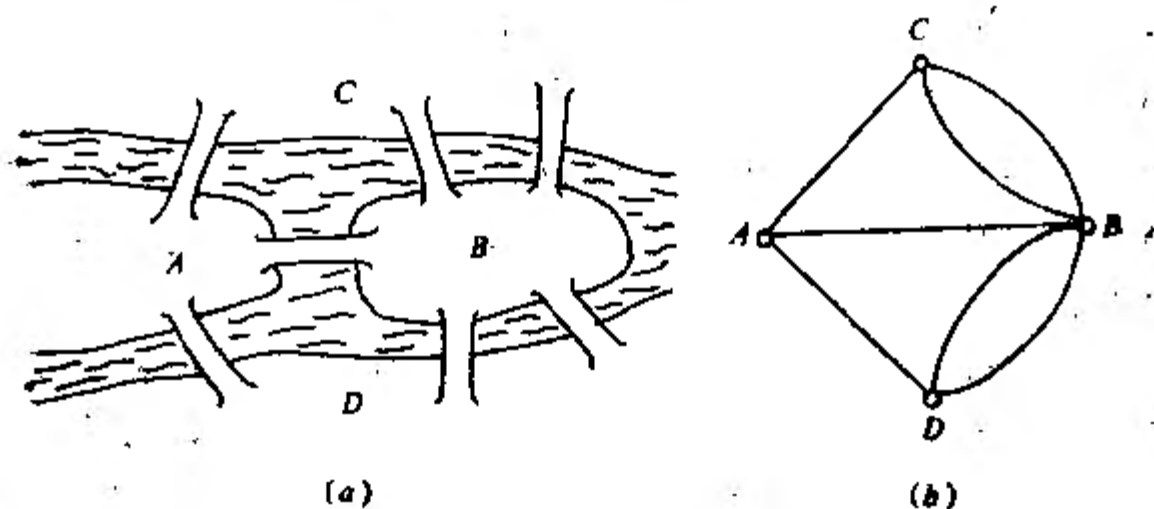


图 1.1

$A, B, C, D$ 四块土地的某一处出发，通过每座桥恰一次再回到出发地，是否可能？Euler 否定地回答了这个问题，他把  $A, B, C, D$  四块土地抽象成四个几何点，于是就得到图1.1(b)，从而得到证明。事实上， $A, B, C, D$  任何一个点做为出发点

时,都必然是先“出”后“回”,最后以“出”告终,才能行遍与该点相连的桥,所以不可能回到原来的出发点。Euler 堪称图论之父。

我们看到,正是上述似乎没有多大意义的七桥游戏,它的抽象与论证的方法,开创了图论科学的研究。遗憾的是,由于当时社会生产落后,对图论知识的要求甚寡,这一学科的发展颇为迟缓,甚至处于停滞状态。两百年以后,1936年,匈牙利著名图论学家 König 发表《有限图与无限图理论》,这是图论的第一部专著,它总结了图论二百年的主要成果,是图论的重要里程碑。此后的五十多年,图论经历了一场爆炸性的发展,终于成长为数学科学中一门独立的学科。它的主要分支有图论、超图理论、极值图论、算法图论、网络图论和随机图论等。近二十年来,图论在科学界可以说是异军突起,活跃非常。原因主要有两条:一是现代生产和科学技术向图论提出越来越多的问题要求解决,无论在数学、物理学、化学、天文学、地理学和生物学等基础学科,还是有线电、无线电、交通运输、军事作战等高新技术学科,图论都是大有作为的。第二个主要原因是大型电子计算机的出现和计算机科学的迅猛发展,为图论及其算法的解决提供了强大的计数与证明的手段,而图论对开关理论、形式语言、数据结构、编译程序、操作系统、人工智能、计算机网络等方面,亦有显著贡献。

二十世纪科学史上重要事件之一是 1976 年美国伊利诺大学的 Appel 和 Haken 在 Koch 的协作之下,用计算机证明了数学史上悬挂多年的四色猜想是正确的。他们用了一百亿逻辑判断,花了一千二百个机时,从此 4CC 便晋升为四色定理:  $\chi(\text{平面图}) \leq 4$ 。

四色猜想的原始提法是:地图或地球仪上,最多用四种颜色即可把每一国之版图染好,使得国界线两侧异色。

这个问题如此之简单,以数于可以在两三分钟之内向公路上

和我们随机相遇的行人讲清楚。但是，1976年以前的百余年间，有多少精干的数学家潜心研究过它，无奈谁也未能得出实质性进展，时至今日，仍欠理论性（非计算机的）证明。当然，大批优秀数学家的工作并非徒劳，人们在冲击4CC时采用的思路、方法和技巧，为图论宝库增添了一个又一个精彩成果，例如1912年Birkhoff提出了颜色多项式理论。1879年伦敦数学会的Kempe发表了证明4CC的论文，尽管他的证明十年后被人指出错误，但Kempe的极为精巧的论证方法，用Appel的话来说，其实“包含着一个世纪后终于引出正确证明的绝大部分基本思想”。1890年，Heawood用Kempe的方法证明了五色定理： $\chi(\text{平面图}) \leq 5$ 。

4CC是1852年一个叫做Guthrie的伦敦学生提出的。伊利诺事件宣告了数学难题由机器证明的新纪元已经开始。

与染色有关的生动问题非常之多，封面上那幅漂亮的图，涉及许多图论中要讨论的概念：它是无桥三次正则图，每个顶点处关联了三条边；它的围长不小于5，它的边色数是4，删除三条边不会使它破裂成两个有边图，这种图叫做妖怪(Snark graph)，这里“妖怪”是个数学名词，并非绰号；事实上，因为有这种性质的图非常之难以设计（扑捉）出来，所以称这种图为妖怪。

还可以再提出一个虽然还没有难到人令绝望的程度，看来也是非常之不易解决的问题，它就是著名的Ulam猜想(1929年)：

$G_1, G_2$  是两个顶数相同的图， $V(G_1) = \{u_1, \dots, u_n\}$ ， $V(G_2) = \{v_1, v_2, \dots, v_n\}$ ， $G_1 - u_i \cong G_2 - v_i$ ， $i = 1, 2, \dots, n$ ，则  $G_1 \cong G_2$ 。

正如4CC之证明，指望用手和笔写出Ulam猜想之证明谈何容易！

Hamilton图是顶点分布在同一个圆周上的图，它是1895年Hamilton玩旅游世界的游戏时提出的。这种图中的难题多得很，至今连Hamilton图的充要条件（象样儿的）尚未建立。与Hamilton图有血缘关系的是货郎问题：

一位货郎从城中出发去各村卖货，再返回城来，要求各村都要恰到一次，试求他的最短里程。

用计算机“历数”各种行动方案来挑这个最短里程是不现实的，假如有 20 个村子，任何两村之间都有路直接相通，要比较  $\frac{1}{2} \times 20!$  次，这在每秒千万次的计算机上亦要百年。目前正在努力探求有效的解决方法。

在诸多图论难题之中，还有一个 Ramsey 问题，直观地讲，就是问：任给一人群，有  $k$  个人相识或  $l$  个人不相识，这群人至少几人？这个答案用  $r(k, l)$  表示，目前我们连  $r(4, 5)$  的值都得不出来。本书中，我们将给出一些  $r(k, l)$  的值，例如  $r(3, 3) = 6$ ，它的证明十分简单：

用六个点代表六个人，相识者之间连一绿边，否则连一红边。六个人分别为  $v_1, v_2, v_3, v_4, v_5, v_6$ 。与  $v_1$  相关联的五条边中有三条同色，不妨设其为绿色，这三边的另一端不妨设为  $v_2, v_3, v_4$ ，若  $\Delta v_2 v_3 v_4$  是同色三角形，则有三个人相识或不相识；否则， $\Delta v_2 v_3 v_4$  中有绿色边，于是在  $v_1, v_2, v_3, v_4$  之间出现绿色三角形，即有三个人相识；而只有五人的群体，未必如此。例如图 1.2 中，实线表示相识，虚线表示不相识。

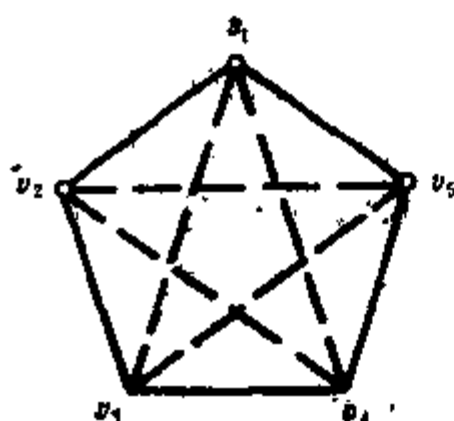


图 1.2

从许多实例中，我们发现图论最吸引人的特色是它蕴含着大量强有力的思想、漂亮的图形和巧妙的论证，即使是非常困难的尚未解决的问题也易于表达。现实生活中处处潜藏有图论的难题，图论是最接近群众生活，最容易向科学水准很低的人们阐述的一门学科。问题外表的简单朴素和本

质上的难以解决，使每个搞图论的人在图论问题面前都必须谨慎严肃地思考问题，常常是一个貌似简单的问题，即使幸运地得出证

明,证明中包含的细节也十分之繁琐,并且往往运用了极艰苦的计算。

在过去的十年中,图论的算法受到了更多的重视。我们有有效算法求得两个顶之间的最短道路(Dijkstra算法),却尚未找到求图中最长轨道的有效算法;我们还没有一个有效的算法判别一个图的顶点是否分布在同一个圆周上;我们也没有有效算法确定平面图能否用二种颜色正常(邻顶异色)着色;我们在网络理论中,已经有有效算法,知道如何在铁路网上把工厂生产的一种商品最多地运往销地,但对于两个工厂出产的两种产品,分别运往两个销地时,我们尚无有效的算法安排运输,使得两个销地的需求得以满足,等等。图论发展至今,已经积累了数以百计的这种现实问题,仍然找不到解决的有效算法。Edmonds, Cook和Karp等人发现,这批难题有一个值得注意的性质,对其中一个问题存在有效算法时,每个问题都会有有效算法。这些问题号称NP-完全问题,其代号为NPC。离散数学中最大的挑战之一就是确定NPC问题们是否真的不存在有效算法?

## 1.2 图的定义

**定义 1** 有序三重集合  $G = \{V(G), E(G), \phi_e\}$  称为一个图,其中  $V(G) \neq \phi$ , 叫做顶点集合,  $V(G)$  的元素叫做图  $G$  的顶点;  $E(G)$  叫做边集合,  $E(G)$  的元素叫做边;  $V(G) \cap E(G) = \phi$ ;  $\phi_e$  叫做关联函数,其定义域是  $E(G)$ ,  $\forall e \in E(G)$ ,  $\exists$  唯一的顶对  $u, v \in V(G)$ , 使得  $\phi_e(e) = uv$ ; 当  $u$  与  $v$  无序时,  $G$  叫做无向图; 当  $u, v$  有序时,  $G$  叫做有向图; 记  $|V(G)| = v$ ,  $|E(G)| = e$ , 当  $v + e < +\infty$  时,  $G$  叫做有限图, 否则为无限图。

本书只讨论有限图。

为直观起见,我们如下地画一个图的图示:把  $V(G)$  的元素用不重合的几何点表示,位置任选;当  $\phi_e(e) = uv$  时,若是无

向图，在顶  $u$  与  $v$  之间连一条曲线表示边  $e$ ，若是有向图，则在上述曲线上从  $u$  到  $v$  画上箭头。曲线的长短曲直不加介意。一般，顶点标以  $v_1, v_2, \dots, v_n, \dots$ ，边标以  $e_1, e_2, \dots, e_m, \dots$ ；顶点标志字母的图叫做标志图。

图与其图示不是一回事，但它们是同构的，为了直观，下面我们吧图示看成就是原来那个图。

例 1 在图 1.3 中，

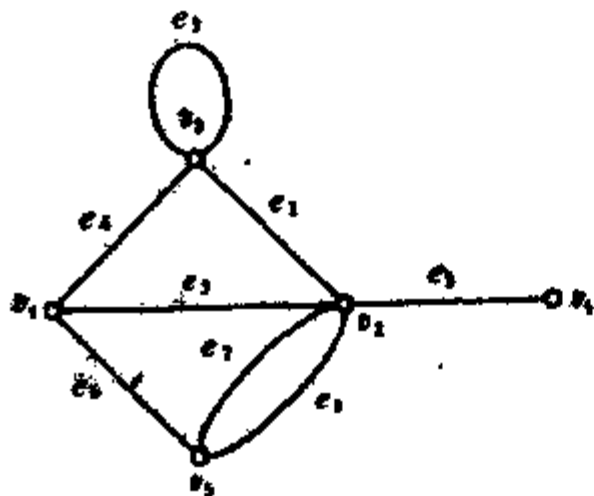


图 1.3

$$V(G) = \{v_1, v_2, v_3, v_4, v_5\},$$

$$E(G) = \{e_1, e_2, e_3, e_4, e_5, e_6, e_7, e_8\},$$

$$\psi_e(e_1) = v_3 v_3,$$

$$\psi_e(e_2) = v_1 v_3,$$

$$\psi_e(e_3) = v_3 v_2,$$

$$\psi_e(e_4) = v_1 v_2,$$

$$\psi_e(e_5) = v_1 v_4,$$

$$\psi_e(e_6) = v_4 v_2,$$

$$\psi_e(e_7) = \psi_e(e_8) = v_2 v_5.$$

下面我们列出十一个术语：

(1) 边的端点： $\psi_e(e) = uv$  时， $u$  与  $v$  叫做边  $e$  之端点，也可写成  $e = uv$ 。

(2) 边与顶相关联： $\psi_e(e) = uv$  时， $e$  与  $u, v$  相关联。

(3) 邻顶： $\psi_e(e) = uv$  时， $u$  与  $v$  叫做邻顶。

(4) 邻边：与同一顶关联的两条边叫做邻边。

(5) 环：只与一个顶关联的边叫做环。

(6) 重边： $\psi_e(e_1) = \psi_e(e_2) = uv$  时， $e_1$  叫  $e_2$  叫做重边。

(7) 平凡图： $v = 1, e = 0$  的图。

(8) 单图：无环无重边的图。(又称简单图)

(9) 完全图：任二顶皆相邻的图，记成  $K_n$ 。

(10) 二分图： $V(G) = X \cup Y, X \cap Y = \phi$ ， $X$  中的任二顶

不相邻,  $Y$  中的任二顶亦不相邻, 则  $G$  叫做二分图; 若  $X$  中的每一顶皆与  $Y$  中一切顶相邻时,  $G$  叫做完全二分图, 记之为  $K_{m,n}$ , 其中  $|X| = m, |Y| = n$ .

(11) 顶点  $v$  的次数: 记成  $d(v)$ , 定义  $d(v) = d_1(v) + 2l(v)$ , 其中  $d_1(v)$  是与  $v$  相关联的非环边数,  $l(v)$  是与  $v$  相关联的环数.

例如图 1.3 中,  $d(v_1) = 4, d(v_2) = 3, d(v_3) = 3$ .

**定理 1** (Euler, 1736)  $\sum_{v \in V(G)} d(v) = 2e$ .

**证** 定义函数

$$\xi(v_i, v_j) = \begin{cases} 1, & \text{当 } v_i, v_j \in E(G), \\ 0, & \text{否则, } i = 1, 2, \dots, v, j = 1, 2, \dots, v. \end{cases}$$

当  $G$  是单图时,

$$d(v_j) = \sum_{i=1}^v \xi(v_i, v_j),$$

$$\sum_{j=1}^v d(v_j) = \sum_{j=1}^v \sum_{i=1}^v \xi(v_i, v_j)$$

$$\begin{aligned} &= \xi(v_1, v_1) + \xi(v_1, v_2) + \xi(v_1, v_3) + \dots + \xi(v_1, v_v) \\ &\quad + \xi(v_2, v_1) + \xi(v_2, v_2) + \xi(v_2, v_3) + \dots + \xi(v_2, v_v) \\ &\quad \dots\dots\dots \\ &\quad + \xi(v_v, v_1) + \xi(v_v, v_2) + \xi(v_v, v_3) + \dots + \xi(v_v, v_v) \\ &= 2e. \end{aligned}$$

当  $G$  不是单图时, 只要把每一环与每一重边上“嵌入”一个新顶, 类似可证,  $\sum_{v \in V(G)} d(v) = 2e$ . **证毕.**

上述证明无非是“每条边两个‘头儿’, 一共有  $2e$  个线头儿”的严格化.

**推论 1** 奇次顶的总数是偶数.



**证** 令  $V(G) = V_e \cup V_o$ ,  $V_e$  是偶次顶的集合,  $V_o$  是奇次顶的集合, 由定理 1,

$$\sum_{v \in V_e} d(v) + \sum_{v \in V_o} d(v) = 2e,$$

而  $\sum_{v \in V_e} d(v)$  是偶数, 故  $\sum_{v \in V_o} d(v)$  亦为偶数, 但  $V_o$  中每顶皆奇次, 故  $|V_o|$  必为偶数. **证毕.**

**例 2** 晚会上大家握手言欢, 试证握过奇次手的人数是偶数.

**证** 构造一图, 以人为顶, 二人握手时, 则相应的二顶之间连一边, 于是每人握手的次数即为相应顶的次数, 由推论 1, 奇次顶的个数是偶数, 所以握过奇次手的人数为偶数. **证毕.**

**例 3** 空间中不可能有这样的多面体存在, 它们有奇数个面, 而每个面又有奇数条边.

**证** 以此多面体的面集合为  $V(G)$ . 当且仅当两个面有公共棱时, 在  $G$  的相应两顶间连一边, 得到图  $G$ . 依题意,  $|V(G)|$  是奇数, 而且  $d(v)$  从而  $\sum_{v \in V(G)} d(v)$  也是奇数, 与定理 1 相违,

故这种多面体不存在. **证毕.**

**例 4** 碳氢化合物中氢原子个数是偶数.

**证** 以每个原子为顶, 每条化学键为边, 则每个碳氢化合物就是一个图. “氢”的次数是 1, 由推论 1, 氢的原子个数是偶数. **证毕.**

以后我们把  $d(v) = k$  的图叫做  $k$  次正则图, 例如妖怪是三次正则图. 我们也经常使用下面两个符号:

$$\delta = \min_{1 \leq i \leq v} \{d(v_i)\}, \quad \Delta = \max_{1 \leq i \leq v} \{d(v_i)\}.$$

下面给出两个图同构的定义.

**定义 2**  $G$  与  $H$  是两个图, 存在映射

$$\theta: V(G) \rightarrow V(H),$$

$$\varphi: E(G) \rightarrow E(H),$$

$\theta$  与  $\varphi$  皆为可逆映射。当且仅当  $\varphi_e(e) = uv$  时,  $\psi_H(\varphi(e)) = \theta(u)\theta(v)$ , 则称  $G$  与  $H$  同构, 记成  $G \cong H$ 。

两个图同构时, 其图示可以画成平面几何中的全等形。上述定义中的  $\psi_H(\varphi(e)) = \theta(u)\theta(v)$  当且仅当  $\varphi_e(e) = uv$  的意思是同构图的“对应顶点对应边”。例如下面两个图是同构的:

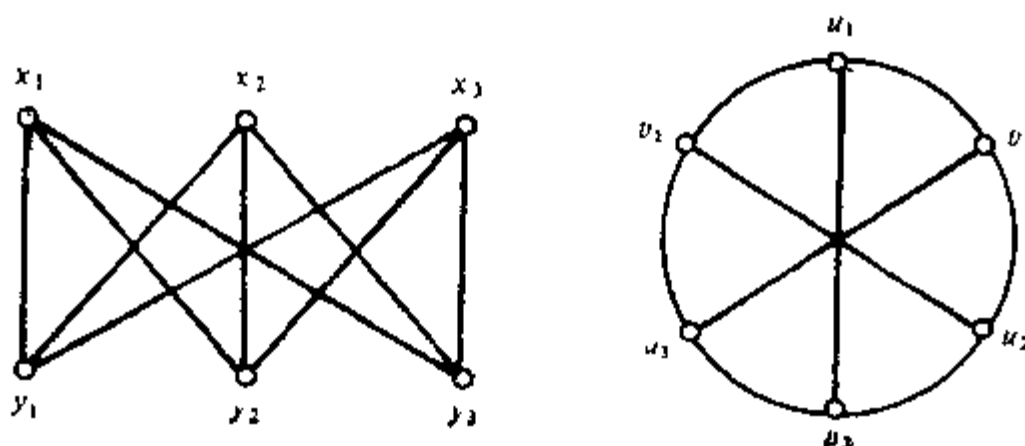


图 1.4

### 1.3 轨道与连通

本节只讨论无向单图。

**定义 3**  $W = v_0 e_1 v_1 e_2 v_2 \cdots e_k v_k$ , 其中  $e_i \in E(G)$ ,  $i = 1, 2, \dots, k$ ;  $v_j \in V(G)$ ,  $j = 0, 1, \dots, k$ ; 且  $e_i$  与  $v_{i-1}, v_i$  相关联, 则称  $W$  为图  $G$  中的一条道路,  $v_0$  做叫  $W$  的起点,  $v_k$  为终点,  $k$  为路长,  $v_i$  ( $1 \leq i \leq k-1$ ) 叫做道路的内点。各边相异的道路叫做行迹。顶点各异的道路叫做轨道, 记成  $P(v_0, v_k)$ 。起点与终点重合的轨道叫做回路。起点与终点重合的轨道叫做圈。长  $k$  的圈叫  $k$  阶道。  $u, v$  两顶点的距离是指  $u, v$  间最短轨道的长度, 记之为  $d(u, v)$ 。若  $u, v$  两顶点间存在道路, 则称  $u$  与  $v$  相连通。图  $G$  中任二个顶皆连通时, 称  $G$  为连通图。

**定义 4**  $G$  与  $H$  为两个图,  $V(H) \subset V(G)$ ,  $E(H) \subset E(G)$ , 则称  $H$  是  $G$  之子图, 记成  $H \subset G$ ; 若  $H \subseteq G$ , 且  $H$  与  $G$  不同构, 则

$H$  是  $G$  之真子图, 记成  $H \subset G$ ; 若  $H \subseteq G$ , 且  $V(H) = V(G)$ , 则称  $H$  是  $G$  的生成子图; 若  $H \subseteq G$ , 且  $V(H) = V'$ ,  $E(H)$  是由  $E(G)$  中两端皆在  $V'$  中的边构成的子集, 则称  $H$  为由  $V'$  导出的  $G$  之子图, 记成  $H = G[V']$ ; 若  $V(G) = \bigcup_{i=1}^{\omega} V_i$ , 又当且仅当两个顶同属一个子集  $V_i$  时, 此二顶连通, 则称  $G[V_i] (i = 1, 2, \dots, \omega)$  为  $G$  的当图片。

由以上定义知,  $G$  是连通图当且仅当  $\omega = 1$ 。

显然, 若  $u$  与  $v$  之间存在道路, 则  $u$  与  $v$  之间存在轨道; 闭的行迹中含有圈, 但回路上未必含圈, 例如  $K_2$  中有回路  $v_1 v_1$ , 但  $K_2$  中无圈。

**例 5** 有  $2n$  个电话交换台, 每个台与至少  $n$  个台有直通线路, 则其中任两台之间可以通话。

**证** 把交换台视为图  $G$  的顶点, 当且仅当两个台有直通线路时, 两个相应的顶是相邻的。于是问题化为  $2n$  个顶点的图, 每顶次数至少为  $n$ , 则图  $G$  是连通的。事实上, 若  $G$  不连通, 则至少有一个连通片, 其顶点数目至多是  $n$ , 在此连通片中, 顶的次数最大是  $n-1$ , 与原图中每顶次数至少为  $n$  相违。证毕。

**例 6** 图中只有两个奇次顶, 则它们必连通。

**证** 否则此二顶分属两个连通片, 而每个连通片看成一个图时, 只有一个奇次顶, 与推论 1 矛盾。证毕。

**定理 2**  $G$  为二分图的充要条件是  $G$  中无奇圈。

**证** 不妨考虑连通图。

若二分图  $G$  中无圈, 则无奇圈。若  $G$  中有一个圈  $C = v_0 v_1 v_2 \dots v_k v_0$ , 不妨设  $v_0 \in X$ , 于是  $v_0, v_2, v_4, \dots, v_k \in X, v_1, v_3, \dots, v_{k-1} \in Y$ , 可见  $k$  是奇数, 属  $C$  长  $k+1$ , 是偶圈。至此证明出二分图中无奇圈。

反之, 若  $G$  中无奇圈, 往证  $G$  是二分图。为此, 令

$$X = \{w \mid w \in V(G), d(v_1, w) = \text{even}\},$$

$$Y = \{w | w \in V(G), d(v_1, w) = \text{odd}\},$$

其中 $v_1$ 是 $G$ 的任一顶点.  $\forall u, v \in X$ , 设 $P_1(v_1, u)$ 是从 $v_1$ 至 $u$ 的最短轨,  $P_2(v_1, v)$ 是从 $v_1$ 至 $v$ 的最短轨, 设 $u_1$ 是 $P_1$ 与 $P_2$ 的最后一个公共顶点, 因 $P_1(v_1, u)$ 与 $P_2(v_1, v)$ 最短, 故 $P_1$ 上的一段 $P_{1,1}(v_1, u_1)$ 与 $P_2$ 上的一段 $P_{2,1}(v_1, u_1)$ 等长, 且最短. 因 $P_1$ 与 $P_2$ 之长为偶数, 从而 $P_1$ 上的一段 $P_{1,2}(u_1, u)$ 与 $P_2$ 上的一段 $P_{2,2}(u_1, v)$ 有相同的奇偶性. 若 $u$ 与 $v$ 相邻, 则 $P_{1,2}, P_{2,2}$ 和 $uv$ 围成一个奇圈, 与 $G$ 中无奇圈相违, 故 $X$ 中任二顶不相邻; 同理可证 $Y$ 中任二顶不相邻. **证毕.**

**例 7** 一只老鼠, 在 $3 \times 3 \times 3$ 的立方体乳酪块上咬出一条洞, 这个洞通过 $1 \times 1 \times 1$ 的27个小立方体的中心. 它从大立方体的一角咬起, 只要还有它没尝过的 $1 \times 1 \times 1$ 的小点心块, 就继续向前咬, 问这只老鼠能否在 $3 \times 3 \times 3$ 立方体中心停止? 假设这只老鼠是从一个 $1 \times 1 \times 1$ 的小立方体的中心沿与侧面正交的方向向另一未咬过的小点心块的中心咬去的.

**解** 以 $1 \times 1 \times 1$ 的小立方体为顶构造一个图, 把 $3 \times 3 \times 3$ 立方体中心那块小立方体与开始被咬的小立方体之间连一条边, 再把有公共侧面的小立方体之间连上边, 以八个角上及六个侧面中心处的小立方体为 $X$ 集合, 其余的小立方体为 $Y$ 集合, 于是构成了一个二分图. 由定理2, 此图不会有27阶圈, 所以老鼠不会停留在 $3 \times 3 \times 3$ 立方体的中心.

**例 8** 一个单图中每个顶点的次数至少是2, 就含有一个圈.

**证** 设 $P(u, v)$ 是此单图 $G$ 中的最长轨, 由于 $d(u) \geq 2$ , 故存在不在 $P(u, v)$ 上的一条边 $e$ 与 $u$ 相关联. 设 $e$ 的另一端点为 $w$ , 若 $w \in P(u, v)$ , 则 $P(u, v)$ 可以加长, 与 $P(u, v)$ 最长矛盾, 故 $w \notin P(u, v)$ , 所以 $G$ 中有圈. **证毕.**

例8中的所谓最长轨方法以后还会用到, 它是图论中的典型技巧之一.

**例 9** 若 $G$ 是连通图,  $G' \subseteq G$ , 且 $|V(G')| < |V(G)|$ , 则 $G$

中不属于 $G'$ 的边,它的一个端点在 $G'$ 上,另一端点不在 $G'$ 上.

**证** 因 $G$ 是连通图,又 $|V(G')| < |V(G)|$ ,则可以找到 $u \in V(G')$ ,  $v \in V(G) \setminus V(G')$ 有一条轨道 $P(u, v)$ .我们从 $u$ 出发,沿 $P(u, v)$ 前进,遇到第一个 $G'$ 中的顶 $w$ 为止,则 $P(u, v)$ 上的一段 $P(u, w)$ 的最后一条边即为题中所述的那种边. **证毕.**

例9的事实在图论的一些证明中常被引用.

有的例题其实就是一个有用的定理,为了重点突出,我们只把最重要的命题以定理的名义列出,其余命题则以例题的形式讲解或放入习题由读者自行论证.希望读者注意从例题与习题中吸收那些较为重要的常用的图论知识.

**例10**  $G$ 是单图,每顶次数不小于3,则 $G$ 中有偶圈.

**证** 设 $v_0, v_1, v_2, \dots, v_m$ 是 $G$ 中的一条最长轨,由于 $d(v_0) \geq 3$ ,由“最长轨方法”知存在 $v_i \neq v_j, 1 \leq i < j \leq m, v_i, v_j$ 皆与 $v_0$ 相邻.若 $i$ 与 $j$ 中有奇数,例如 $i$ 是奇数,则 $v_0, v_1, v_2, \dots, v_i$ 与边 $v_0, v_i$ 合成一个偶圈(长 $i+1$ ).若 $i, j$ 都是偶数,则由 $v_i, v_{i+1}, \dots, v_j$ 与边 $v_0, v_i, v_0, v_j$ 合成一个偶圈(长 $j-i+2$ ). **证毕.**

由例10知,妖怪图中有偶圈.

**例11**  $G$ 为单图,每顶次数不小于3,则 $G$ 中各个圈长的最大公因数是1或2.

**证** 只需证无大于2的公因数.由例10,  $G$ 中有长 $i+1, j+1$ 和 $j-i+2$ 的圈.若 $i+1, j+1, j-i+2$ 有公因数 $k > 2$ ,则 $k$ 能整除 $j-i$ ,于是 $k$ 能除尽2,这是不可能的. **证毕.**

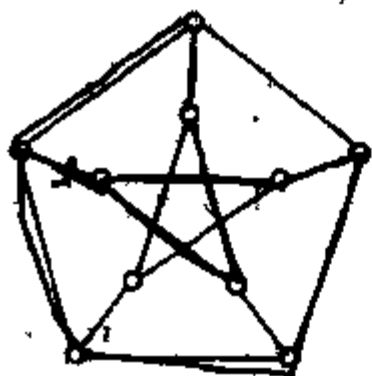


图 1.5

**定义5** 单图中最长圈的长度叫做该图的周长;最短圈的长度叫做该图的围(腰)长;图 $G$ 的直径 $d(G)$ 定义为 $d(G) = \max \{d(u, v) \mid u, v \in V(G)\}$ .

例如, Petersen图((图1.5)最小的妖怪)的周长是9,围长是5,直径是2.

求图的周长和直径是图论中的难题之一。

**定义 6** 单图  $G$  的补图记成  $G^c$ ，它是这样一个图， $V(G^c) = V(G)$ ，又当且仅当  $G$  中两顶不相邻时，此二顶在  $G^c$  中相邻。

**例 12** 单图与其补图必有一个是连通图。

**证** 设单图  $G$  不连通，证  $G^c$  是连通图。设  $G_1, G_2, \dots, G_\omega$  是  $G$  的连通片。任取二顶  $u, v$ ，若  $u, v$  属于同一个连通片  $G_i, 1 \leq i \leq \omega$ ， $w$  是不在  $G_i$  中的一个顶，则  $uw, vw \in E(G^c)$ ，即在  $G^c$  中  $u$  与  $v$  连通；若  $u$  与  $v$  分别属于两个连通片  $G_i, G_l, 1 \leq k, l \leq \omega$ ，则  $uv \in E(G^c)$ ， $u$  与  $v$  在  $G^c$  中亦连通。由  $u$  与  $v$  的任意性，知  $G^c$  上任二顶皆连通，故  $G^c$  是连通图。证毕。

## 1.4 Brouwer 不动点定理

本节介绍拓扑学中著名的 Brouwer 不动点定理，为证明这个定理，拓扑学中用了一系列的预备知识，证明不易被未系统地学习过拓扑学的人所理解。本节用图论方法给出一个新证明，其通俗易懂之程度很值得欣赏。这是又一个用图论方法证明数学问题的生动范例。

我们把平面闭三角形区域  $\Delta^2$  进行单纯剖分：

$$\Delta^2 = \bigcup_{i=1}^m \delta_i^2,$$

$\delta_i^2$  是比  $\Delta^2$  小的三角形，且  $\delta_i^2 \cap \delta_j^2 = \emptyset$  或  $\delta^0$  或  $\delta^1$ 。这里  $\delta^0$  是一个

顶点， $\delta^1$  是两个小三角形的公共边。把  $\Delta^2$  与  $\delta_i^2, i = 1, 2, \dots, m$  的顶用 0, 1, 2 标号，着

(1)  $\Delta^2$  三个顶分别标以 0, 1, 2；

(2)  $\Delta^2$  的一条边两端标号为  $i$  与  $j, 0 \leq i < j \leq 2$ ，与此边接触的小三角形之顶亦标号  $i$  或  $j$ ，则称这种标号为正态标志。

在正态标志之下，小三角形的三个顶分别标以 0, 1, 2 时，称这个小三角形为**正态三角形**。

**定理 3** (Sperner)  $\Delta^2$  的单纯剖分正态标志中，必有奇数个正态三角形。

**证** 令  $\delta_0^2$  是  $\Delta^2$  的外部区域， $\delta_1^2, \delta_2^2, \dots, \delta_m^2$  是剖分所得之小三角形，设计一个图  $G, V(G) = \{\delta_0^2, \delta_1^2, \dots, \delta_m^2\}$ ，当且仅当  $\delta_i^2$  与  $\delta_j^2$

( $i \times j \neq 0$ ) 有公共的 0-1 标志的边时， $\delta_i^2$  与  $\delta_j^2$  这两个顶之间连一边； $\delta_0^2$  与  $\delta_i^2$  ( $1 \leq i \leq m$ ) 当且仅当  $\delta_i^2$  的 0-1 标志边完全落在  $\Delta^2$  的 0-1 标志边上时，在  $\delta_0^2$  与  $\delta_i^2$  之间连一边。

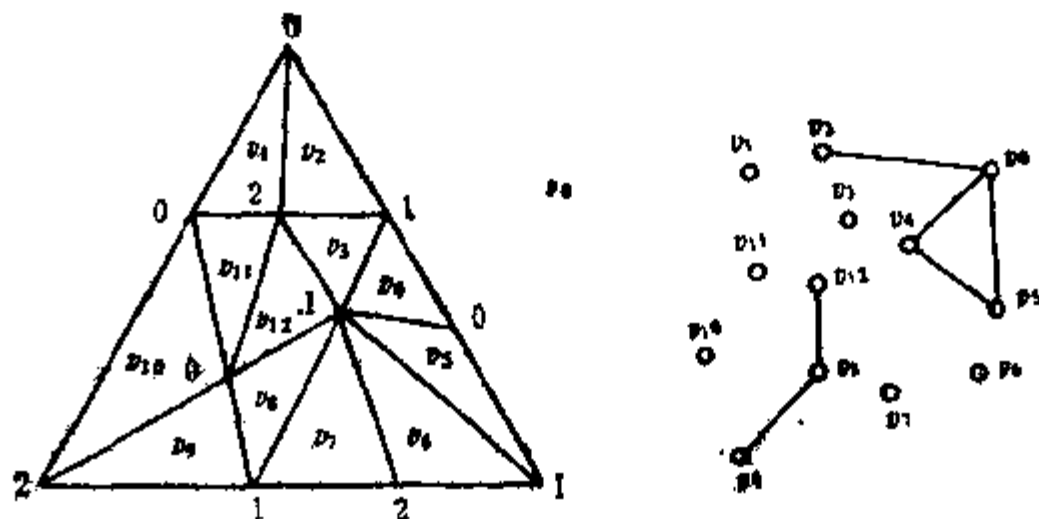


图 1.6

下面证明  $d(\delta_0^2) = \text{odd}$ 。事实上， $d(\delta_0^2)$  是  $\Delta^2$  上 0-1 边以 0, 1 为端点的小区间的个数。若  $\Delta^2$  的这条边的内点无小三角形之顶，则  $d(\delta_0^2) = 1$ ；若  $\Delta^2$  这条边内点有小三角形之顶，且这些小三角形之顶皆标以 0 或 1，亦有  $d(\delta_0^2) = 1$ ；若  $\Delta^2$  这条边内点上 0 与 1 标号都有，我们把两端标号一致的小区间缩成一点，标号不变。这时， $\Delta^2$  这条边上标号为 0101...01，这里有奇数个小区间端点分别标以 0 与 1，所以  $d(\delta_0^2) = \text{odd}$ 。

由推论 1， $\delta_1^2, \dots, \delta_m^2$  中奇次顶是奇数个，且  $d(\delta_i^2) < 3$ ，故  $\delta_1^2, \delta_2^2, \dots, \delta_m^2$  中的奇次顶只能是一次的；仅当  $\delta_i^2$  是正态三角形时， $d(\delta_i^2) = 1$ ，故正态三角形的个数是奇数。证毕。

图 1.6 中把证明中的  $\delta^2$  改成  $v, v_1, v_2, v_{1,2}$  是三个一次顶，即

正态三角形是三个。

**定理 4** (Brouwer)  $f: \Delta^2 \rightarrow \Delta^2$  是连续映射, 则  $\exists x_0 \in \Delta^2$ , 使得  $f(x_0) = x_0$ 。

**证** 设  $x_0, x_1, x_2$  是  $\Delta^2$  的三个顶点, 则  $\Delta^2$  上任一点  $x$  可唯一地表成

$$x = a_0 x_0 + a_1 x_1 + a_2 x_2,$$

其中  $a_i \geq 0 (i = 0, 1, 2)$ ,  $\sum_{i=0}^2 a_i = 1$ 。这里写的  $x, x_0, x_1, x_2$  是二维向量。

记  $x = (a_0, a_1, a_2)$ ,  $f(x) = (a'_0, a'_1, a'_2)$ 。令  $S_i = \{(a_0, a_1, a_2) \mid (a_0, a_1, a_2) \in \Delta^2, a_i \geq a'_i\}, i = 0, 1, 2$ 。只欠证明  $\bigcap_{i=0}^2 S_i \neq \emptyset$ 。若这

是真的, 则  $\exists (a_0, a_1, a_2) \in \bigcap_{i=0}^2 S_i$ , 且  $a'_i \leq a_i, i = 0, 1, 2$ , 又  $\sum_{i=0}^2$

$a'_i = \sum_{i=0}^2 a_i$ , 故有  $(a'_0, a'_1, a'_2) = (a_0, a_1, a_2)$ , 即  $(a_0, a_1, a_2)$  为  $f$

的不动点。

为此, 考虑  $\Delta^2$  的一个单纯剖分正态标志, 使得标  $i$  的每个顶属于  $S_i, i = 0, 1, 2$ 。事实上,  $\Delta^2$  上任一点  $x, x = (a_0, a_1, a_2), f(x) = (a'_0, a'_1, a'_2)$  时, 存在一个  $S_i$ , 使  $x \in S_i$ , 且  $a_i > 0$ , 否则对每个  $a_i > 0$  时,  $a'_i > a_i$ , 于是  $\sum_{i=0}^2 a'_i > \sum_{i=0}^2 a_i$ , 矛盾。我们如下地标志:

一个三角形顶点  $x \in S_i$  且  $a_i > 0$  时,  $x$  标以  $i$ 。这种标志是正态标志, 例如  $\Delta^2$  的顶点  $x_i (i = 0, 1, 2)$  有  $a_i = 1$ , 故  $x_i \in S_i$ , 标成  $i$ ; 在  $\Delta^2 x_0 x_1$  边上各点的  $a_2 = 0$ , 我们只能把这边上的点标以 0 或 1;  $x_0 x_2$  边上的点同理只能标 0 或 2;  $x_1 x_2$  上的点只能标 1 或 2, 故为正态标志。

由定理 3, 至少有一个正态三角形, 其顶点分别属于  $S_0, S_1, S_2$ 。我们使剖分无限变密, 且小三角形有任意小的直径, 则  $S_0, S_1,$



$S_0, S_1$  中有三个点相距可以任意小, 又  $f$  连续, 故  $S_i (i=0, 1,$

2) 是闭集, 于是  $\bigcap_{i=0} S_i \neq \emptyset$ . 证毕.

## 1.5 Dijkstra 算法

给定连接若干城市的铁路网, 找一条给定二城市间的最短铁路路线, 这是一个极普通的实际问题. 这个问题的数学模型如下:

$w = w(e)$  是定义域为  $E(G)$  的实函数, 称  $w(e)$  为图  $G$  的边之权,  $G$  叫做加权图, 记

$$W(G) = \sum_{e \in E(G)} w(e),$$

$W(G)$  叫做图  $G$  的权. 我们求满足某种条件的子图  $H$ , 且使其权最小, 即

$$W(H) = \sum_{e \in E(H)} w(e) = \min,$$

其中  $H \subseteq G$ , 且有某种指定的性质. 上述铁路问题即在连通图  $G$  中的任给定的两顶  $u, v$  之间找出一条轨  $P_0(u, v)$ , 使得

$$W(P_0) = \min_{P \in \mathcal{D}(u, v)} \{W(P)\},$$

$\mathcal{D}(u, v)$  是从  $u$  到  $v$  的轨集合. 这里, 我们称  $W(P_0)$  为  $u$  与  $v$  的距离, 记成  $d(u, v)$ .

边的权在友谊图中可以代表两个朋友的感情深厚的程度; 在通讯图中, 边的权可能代表有线通讯线路的造价或维修费用, 等等. 许多不同的实际问题, 其数学模型与上述铁路网上的最短路线问题的数学模型是一致的.

下面介绍求顶点  $u_0 \in V(G)$  到连通图  $G$  的各个顶点最短轨的一个有效算法.

所谓算法, 是指一组有穷规则, 它准确告知, 为解决给定的

问题, 何时应做何种操作。

算法的表述方式有三种: (1) 直叙式, (2) 框图式, (3) 算法语言表述。本书的一切算法皆以直叙式表出, 待上机执行时, 再将其转述成算法语言。图论算法的设计和分析是一个引人入胜的领域, 也是与计算机科学技术关系最为密切的领域之一。

**定义 7** 一个图论算法的计算量  $f(v, e) = O(P(v, e))$  时, 则称此算法为有效算法或好算法, 其中  $P(v, e)$  是某个多项式,  $v$  与  $e$  分别是图的顶点数与边数。

**Dijkstra 算法** ( $u, v$  不相邻时,  $w(uv) = \infty$ )

(1) 令  $l(u_0) = 0$ ;  $l(v) = \infty$ ,  $v \neq u_0$ ;  $S_0 = \{u_0\}$ ,  $i = 0$ 。

(2) 对每一个  $v \in \bar{S}_i$  ( $\bar{S}_i$  指  $S_i$  以外的顶所成之集合), 用  $\min\{l(v), l(u_i) + w(u_i, v)\}$  代替  $l(v)$ ; 设  $u_{i+1}$  是使  $l(v)$  取最小值的  $\bar{S}_i$  中的顶, 令  $S_{i+1} = S_i \cup \{u_{i+1}\}$ ;

(3) 若  $i = v - 1$ , 止; 若  $i < v - 1$ , 用  $i + 1$  代替  $i$ , 转 (2)。

由上述算法知:

(1)  $S_i$  中各顶标  $l(u)$  即为  $u_0$  到  $u$  的距离。又因  $l(v) < \infty$ , 故有限步之后,  $V(G)$  中每一顶都标志了与  $u_0$  的距离, 从而可以找到各顶到  $u_0$  的最短轨。

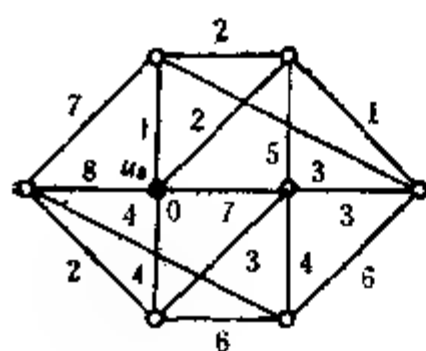
(2) Dijkstra 算法的时间复杂度  $f(v, e) = O(v^2)$ , 所以是有效算法。

**例 13** 求图 1.7 中由顶  $u_0$  到各顶的最短轨道及距离。

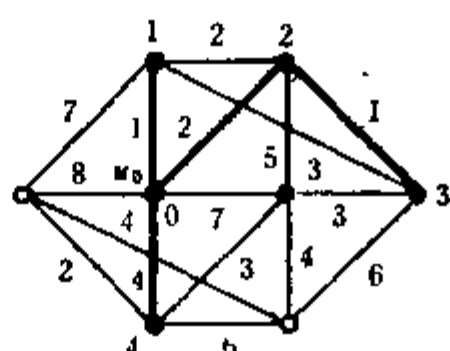
( $h$ ) 中各顶标即该顶至  $u_0$  的距离, 而  $u_0$  至各顶的最短轨可按图中粗实线找到。

作为本章的结尾, 应当提请读者注意的有以下几点:

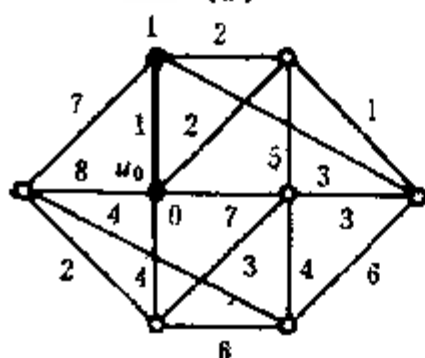
(1) 我们在图论中研究的图, 并非几何图形、工程图或美术图画, 它表现的只是顶点集合上的二元关系, 其本质是抽象的概念; 我们之所以画成图示, 只是为了直观示意, 或者认为是所考



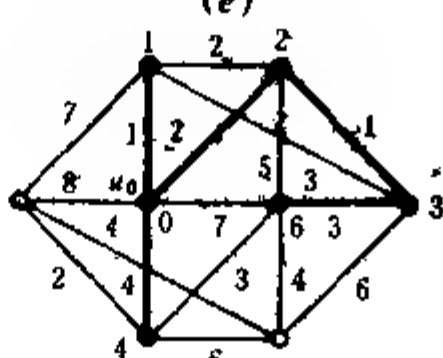
(a)



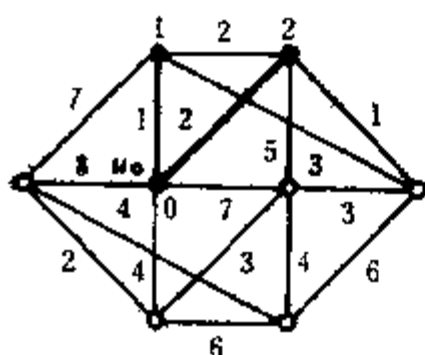
(e)



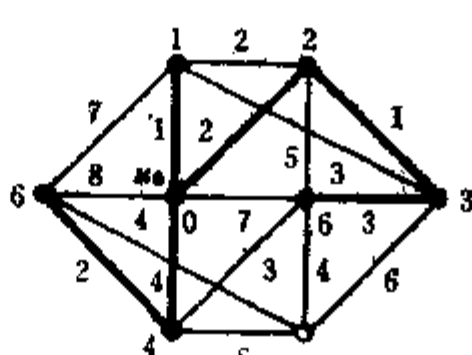
(b)



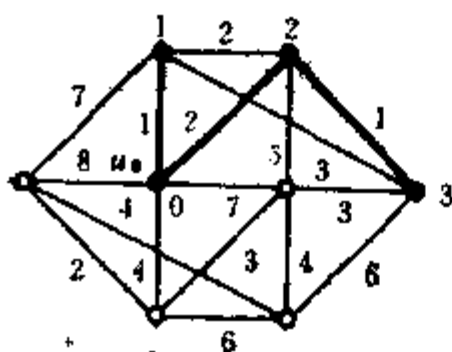
(f)



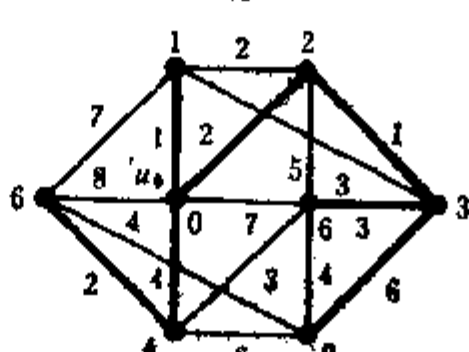
(c)



(g)



(d)



(h)

图 1.7

虑的图的同构物，所以边的曲直长短，顶点的位置，都没有关心的必要。它们的几何性质与图的性质并不相关，这一点说明图其实是一维拓扑学的研究对象。

(2) 我们讲了图论简史，应着重领会的是，千万不要不加分析地瞧不起游戏性的问题。有些游戏问题可能成为一门很有生命力的学科的“种子”，例如七桥问题以及周游世界的游戏。但是，并非一切游戏性问题（往往又难又有趣）的解决引出的方法与概念都有如此之大的意义。社会生产对其要求（或者说依赖）的程度才是该门学科发展的决定因素。图论前两百年停滞不前，而后五十多年，尤其是近二十多年来，则高速发展，道理盖出于此。

(3) 本章只是图论的一个开头，就冒出这么多的概念、术语和符号，以后各章中的概念有增无减。这也是图论学科的一个特色，而且同一个概念中的术语符号往往因作者而异，目前看来，术语符号统一的可能性不太大，本书尽可能使用学术界较为流行的一些术语。

图论的概念为数甚多，未必逐字记忆，要多画示意图，从正反两个方面把本质和易于误解的地方搞清楚。

(4) Euler 公式  $\sum_{v \in V(G)} d(v) = 2e$ 、轨和圈是本章引出的三个主

要内容，尤其是轨与圈是以后各章讨论的中心。

(5) 本章给出的Brouwer不动点定理的证明，例证了图论方法对连续统中的某些数学问题亦是有所贡献的，而且解决得甚为奇妙直观又不失严格性。我们的目的是唤起读者用图论方法解决各种理论问题的自觉性。

(6) 算法是计算机科学中的中心课题之一，本章通过Dijkstra算法，示范图论算法的设计与表达方式，树立有效性观点。

Dijkstra算法本身是解决最优化问题的重要工具之一。我们应当明了其思想，而且要会用。

(7) 本章提供了不少习题，以后各章也不会太少。大家一

定体会到，与数学分析等非离散数学的味道很不一样，图论代入公式的机会非常之罕见，几乎每个题目都要求我们自行设计一个思路，不少题目“貌似简朴，实则困难”，怎么对付它？多做习题，训练图论的机敏性，积累经验。

## 习 题

1. 从日常生活中举出五个实例，它们的数学模型是图。
2.  $G$  是单图，则  $e \leq \binom{v}{2}$ .
3. (1)  $G \subseteq H$ ，则  $v(G) = v(H)$ ， $e(G) \leq e(H)$ .  
(2) (1) 之逆不真。
4. 画出不同构的一切四顶单图。
5. 一间房子里有  $N (> 3)$  个人，至少有一个人没有和房子里每个人握手，房子里可能与每个人握手的人数的极大值是几？
6. 把 1, 2, 3, 4, 5 任意划分成两个集合，则必然有一个集合包含两个数及其差。
7. 任何两个以上的人组成的人群中，至少有两个人，他们的朋友数一样多。
8.  $2n$  个 ( $n \geq 2$ ) 人中每个人至少同其中  $n$  个人相识，则其中至少有四个人，使得这四人围圆桌而坐时，每个人旁边是他认识的人。
9. 证明下面两图同构 (图 1.8)

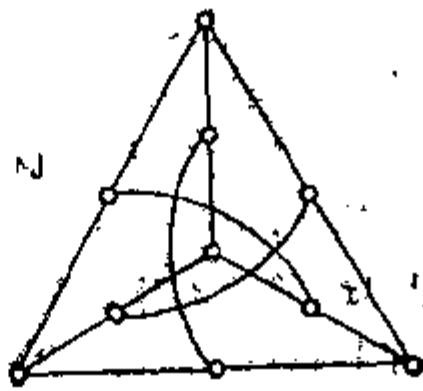
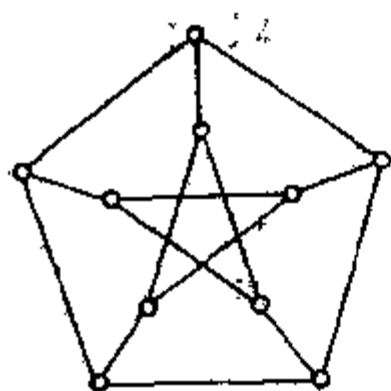


图 1.8

10.  $G \cong H$  的充要条件是存在可逆映射

$$\theta: V(G) \rightarrow V(H),$$

使得  $uv \in E(G)$ , 当且仅当  $\theta(u)\theta(v) \in E(H)$ , 其中  $G$  与  $H$  是单图.

11.  $G$  是单图, 则  $e = \binom{v}{2}$  的充要条件是  $G \cong K_v$ .

12. (a)  $e(K_{m,n}) = mn$ . (b)  $G$  是完全二分图, 则  $e \leq v^2/4$ .

13. 在一次象棋比赛中, 任意两名选手之间至多只下一盘, 则总能找到两名选手, 他们下过的盘数恰好一样.

14. 上题中, 若每名选手与其余的选手都比赛过, 人数是  $n$ , 求总盘数.

15. 一个旅游小组, 其任意 4 人中至少有 1 人以前见过另外三人, 则任意 4 人中有 1 人, 他早就见过旅游小组 (至少有 4 人) 内其余的每个人.

16. 一个图, 每顶次数至少是 2, 则图中有圈.

17.  $n$  个运动队之间安排一项竞赛, 已赛完  $n+1$  局, 求证存在一个队, 它已至少参加过 3 局比赛.

18.  $A \subseteq V(G)$ ,  $k$  是恰有一个端点在  $A$  内的边的条数, 若  $A$  内奇次顶的个数是偶数, 则  $k$  为偶数; 否则,  $k$  为奇数.

19. 一些圆面覆盖平面上取定的  $2n$  个点, 每个圆至少盖住  $n+1$  个点, 则任意两个点能由平面上的一条曲线所联结, 这曲线整个地被一些圆所覆盖.

20. 每顶皆 2 次的连通图是圈.

21. 是否有这种不连通单图,  $v \leq 6$ , 而每顶次数皆 2.

22. 有多少顶点为 6 个的单图, 每顶次数为 2?

23.  $k$  维立方体是顶点为分量取 0 或 1 的  $k$  维向量, 又当且仅当它们只有一个分量不相同时, 此二顶之间连一边. 证明  $k$  维立方体有  $2^k$  个顶,  $k2^{k-1}$  条边, 且是 2 分图.

24.  $K_n$  与  $K_{n,n}$  是什么样的图?

25.  $G^* \cong G$ , 则称  $G$  自补, 若  $G$  自补, 则  $v(G) \equiv 0$  或  $1 \pmod{4}$ .

26. 有多少  $v=5$  的自补单图?
27. 每个  $n$  顶单图与  $K_n$  的一个子图同构.
28. 完全图的每个导出子图仍是完全图.
29. 二分图的任一子图仍是二分图.
30. 求一个二分图, 它不与任何  $k$  维立方体的子图同构.
31.  $G$  是单图, 整数  $n$  满足  $1 < n < v-1$ , 证明若  $v \geq 4$ , 且  $G$  的所有的  $n$  个顶的导出子图都有相同的边数, 则  $G \cong K_n$  或  $G \cong K_n^c$ .
32.  $\delta \leq 2e/v \leq \Delta$ .
33. 一个  $k$  次正则二分图有顶集划分  $V(G) = X \cup Y$ , 则  $|X| = |Y|$ .
34.  $V(G) = \{v_1, v_2, \dots, v_n\}$ , 则称  $d(v_1), d(v_2), \dots, d(v_n)$  为  $G$  的次数序列, 证明非负整数序列  $d_1, d_2, \dots, d_n$  是个图次数序列的充要条件是  $\sum_{i=1}^n d_i = \text{even}$ .
35. 单图次数序列叫做图序列, 证明
- (a) 7, 6, 5, 4, 3, 3, 2 与 6, 6, 5, 4, 3, 3, 1 不是图序列.
- (b)  $d_1, d_2, \dots, d_n$  是图序列, 且  $d_1 \geq d_2 \geq \dots \geq d_n$ , 则  $\sum_{i=1}^n d_i$  是偶数, 且对  $1 \leq k \leq n$ ,
- $$\sum_{i=1}^k d_i \leq k(k-1) + \sum_{i=k+1}^n \min\{k, d_i\}.$$
36.  $d_1, d_2, \dots, d_n$  是非负整数非增序列,  $d'$  是序列  $d_1-1, d_2-1, \dots, d_{d_1+1}-1, d_{d_1+2}, \dots, d_n$ , 证明
- (a)  $d_1, d_2, \dots, d_n$  是图序列的充要条件为  $d'$  是图序列.
- (b) 给出一个由图序列构作单图的算法.
37. 无环图  $G$  包含一个二分生成子图  $H$ , 使得  $d_H(v) \geq \frac{1}{2} d_G(v)$

对一切  $v \in V(G)$  成立.

38.  $S = \{x_1, x_2, \dots, x_n\}$  为平面点集, 且任二点相距至少为 1, 则相距恰为 1 的点对少于  $3n$  个.

39. 图  $G$  的边图是以  $E(G)$  为顶集, 又当且仅当  $G$  中两条边相邻时, 在边图中此二顶相邻, 证明若  $G$  为单图, 则  $G$  的边图有  $e(G)$  个顶,  $\sum_{v \in V(G)} \binom{d_G(v)}{2}$  条边. 画出  $K_3$  的边图.

40.  $G$  是单图,  $\delta \geq k$ , 则  $G$  有长  $k$  的轨.

41.  $G$  是连通图的充要条件是  $V(G)$  的每个分成两个非空子集  $V_1, V_2$  的划分, 总存在一边, 它的两端分别属于  $V_1$  与  $V_2$ .

42.  $G$  是单图,  $e > \binom{v-1}{2}$ , 则  $G$  连通.

43.  $v > 1$ , 画一个非连通单图, 使  $e = \binom{v-1}{2}$ .

44.  $G$  是单图,  $\delta > \left\lfloor \frac{v}{2} \right\rfloor - 1$ , 则  $G$  连通.

45. (a)  $e \in E(G)$ , 则  $\omega(G) \leq \omega(G - e) \leq \omega(G) + 1$ .

(b)  $v \in V(G)$ , 则 (a) 中  $G - e$  未必可由  $G - v$  代替, 其中  $\omega(G)$  是  $G$  的连通片数目.

46.  $G$  连通, 每顶皆偶次, 则  $\omega(G - v) \leq \frac{1}{2}d(v)$ .

47. 连通图两条最长轨有公共顶.

48.  $G$  中顶  $u, v$  连通时,  $u, v$  之间的距离定义为  $u, v$  之间最短轨之长;  $u, v$  不连通时, 规定其距离为  $\infty$ , 证明  $d(u, v) + d(v, w) \geq d(u, w)$ , 其中  $u, v, w \in V(G)$ ,  $d(u, v)$  表示  $u$  与  $v$  之距离.

49.  $G$  的直径大于 3, 则  $G'$  的直径小于 3.

50. 直径为 2 的单图,  $\Delta = v - 2$ , 则  $e \geq 2v - 4$ .

51.  $G$  是连通单图,  $G$  不是完全图, 则  $G$  中有三个顶点  $u, v, w$ , 使得  $uv, vw \in E(G)$ , 而  $uw \notin E(G)$ .



52.  $e \in E(G)$ ,  $e$  在一个闭行迹上, 则  $e$  在一个圈上.
53.  $\delta \geq 2$  的图中有圈.
54.  $G$  是单图,  $\delta \geq 2$ , 则  $G$  中有长至少为  $\delta + 1$  的圈.
55. 一个围长为 4 的  $k$  次正则图至少有  $2k$  个顶; 有  $2k$  个顶时, 图在同构意义下是唯一的.
56. 围长为 5 的  $k$  次正则图至少有  $k^2 + 1$  个顶.
57. (a)  $\varepsilon \geq v$ , 则  $G$  中有圈.
- (b)  $\varepsilon \geq v + 4$ , 则  $G$  中有两个无公共边的圈.
58. 一公司在六个城市有分公司  $c_1, c_2, \dots, c_6$ , 下面矩阵的  $(i, j)$  号元素是  $c_i$  到  $c_j$  的飞机票价, 试为该公司制作一张由  $c_1$  到各公司去的最便宜的通航线路图,

$$\begin{pmatrix} 0 & 50 & \infty & 40 & 25 & 10 \\ 50 & 0 & 15 & 20 & \infty & 25 \\ \infty & 15 & 0 & 10 & 20 & \infty \\ 40 & 20 & 10 & 0 & 10 & 25 \\ 25 & \infty & 20 & 10 & 0 & 55 \\ 10 & 25 & \infty & 25 & 55 & 0 \end{pmatrix}.$$

59. 船公把一只老狼、一只小羊和一头大白菜运过河。船小, 一次只能运走一宗, 为安全起见, 不能让狼与羊, 或羊与白菜无人看管时在一起, 试问应如何运送最省时又安全?

60. 两人有酒, 装满 8 斤之瓶, 另有能装 5 斤与 3 斤的空瓶各一只, 今欲平分其酒, 请设计一个最简便的方法.

61. Brouwer 不动点定理证明中“ $S_i$  是闭集”一语何以正确, 试加证明.

62. 正四面体到自身的连续映射有不动点.

63. 有  $n$  个药箱, 每两个药箱中有一种相同的药, 每种药恰好两个药箱中出现, 问共有多少种药?

64.  $v = n, \varepsilon = n + 1$ , 则  $\exists v \in V(G)$ , 使得  $d(v) \geq 3$ .

65. 俱乐部有14人想打桥牌, 过去每个人都曾与其中5个人合作过, 现规定四人中必须任何两个人都未合作过才准许在一起打一局, 在这种规定之下, 只打了三局就无法继续进行, 这时新来了一位年轻人, 试证明有这个年轻人参加, 一定还可以再打一局.

66. 任何9个人中必有三人相识或四人彼此不相识.

67. 把 $K_{12}$ 的边染成红色或蓝色, 证明不论如何染, 一定可以找到四个顶, 它们导出的 $K_4$ 是同色的.

68. 从 $K_n$ 中删除至少几条边, 才能得到不连通图, 且有一个连通片含 $n'$ 个顶( $1 \leq n' < n$ )?

69.  $n$ 个人参加一次会议, 其中有相识者, 每两个相识者皆无共同的熟人, 而每两个不相识者恰有两个共同的熟人, 则每人都有同样数目的熟人.

70. 在接线柱 $A, B$ 之间连接着一些电阻, 试问至少要多少个电阻, 怎么联接, 才能使任意损坏9个电阻时, 电路仍连通且不短路?

71. 从敌区铁路交通图上发现, 要使两个城市 $v_1, v_2$ 的铁路交通完全中断, 至少要炸毁 $k$ 段铁路. 若有一城市 $v_3$ 与 $v_1, v_2$ 之间各有一段铁路 $e_1, e_2$ 相通, 证明把 $e_1, e_2$ 炸毁后, 至少还要炸坏 $k-1$ 段铁路, 才会使 $v_1, v_2$ 之间的铁路交通中断.

72. 长为奇数的回路必含圈, 试证明之. 长为偶数的回路是否一定含圈?

73. 在 $k$ 次正则图中,  $kv \equiv 0 \pmod{2}$ .

74.  $G$ 是连通图,  $v \geq 2, e < v$ , 则 $G$ 中至少有两个一次顶.

75. 直径为 $d$ 围长为 $2d+1$ 的图是正则图.

## 2 树

### 2.1 树及其性质

树在我们这里是一个数学概念，它是在各种各样的图中，极为简单又极为重要的一类图。树在各个不同的领域中有广泛的应用。对于图论学科本身，树扮演着一一种特殊的角色，那就是，一个一般的图论难题或猜想提出之后，大都首先用树来探讨其真伪。有的问题往往对一般图难以解决，而对于树，则可以圆满解决。本章只考虑单图。

**定义 1** 无圈连通图叫做树，用  $T$  表示； $T$  中  $d(v) = 1$  的顶  $v$  叫做叶；每个连通片皆为树的图叫做林。孤立顶叫做平凡树。

图 2.1 是一个林，每个连通片皆为树。

**定义 2** 树  $T$  是图  $G$  的生成子图时， $T$  称为  $G$  的生成树；从  $G$  中把  $T$  之边删除得到的图  $G - E(T)$  叫做  $G$  的余树或树余。

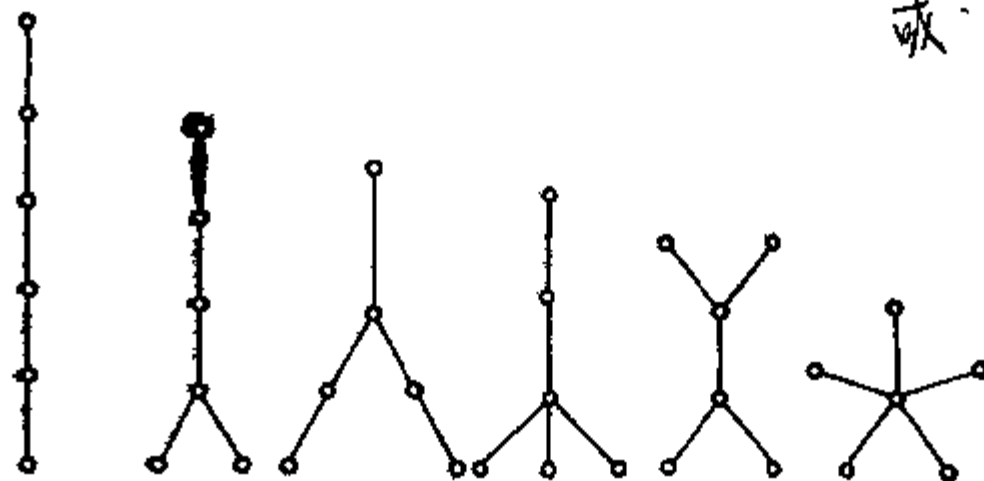


图 2.1

图 2.2 中粗实线表示生成树，细实线是余树边。可见余树可能不连通。

为了充分认识树的图论特征, 我们下面给出树的六个等价命题。

**定理 1** 下面的六个命题等价:

- (1)  $G$  是树。
- (2)  $G$  中任二顶之间有且仅有一条轨。
- (3)  $G$  中无圈, 且  $e = v - 1$ 。
- (4)  $G$  连通, 且  $e = v - 1$ 。

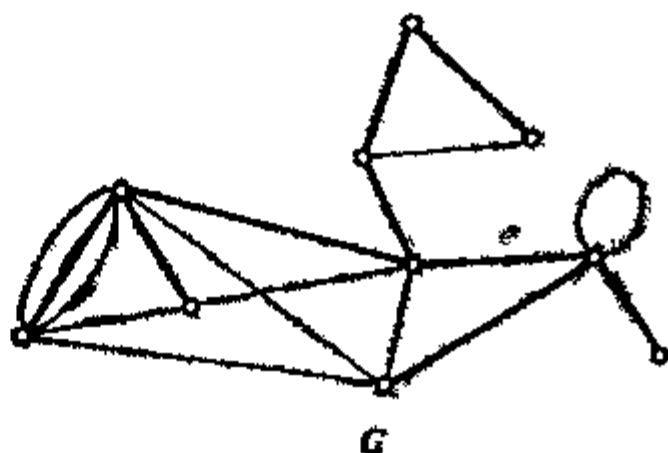


图 2.2

- (5)  $G$  连通,  $\forall e \in E(G), G - e$  不连通。
- (6)  $G$  无圈,  $\forall e \in E(G), G + e$  恰有一个圈。

**证** (1)  $\Rightarrow$  (2) 因为  $G$  是树, 连通, 故  $\forall u, v \in V(G), \exists$  轨  $P_1(u, v)$ ; 若还存在  $P_2(u, v) \neq P_1(u, v)$ , 当我们沿  $P_1$  由  $u$  走向  $v$  时,  $P_1$  上一定存在两个顶  $w_1, w_2$ ,  $w_1$  与  $w_2$  是  $P_1$  与  $P_2$  的两个公共顶, 但在  $w_1$  与  $w_2$  之间  $P_1$  上再无其它与  $P_2$  公共的顶, 且使得  $P_1$  与  $P_2$  在  $w_1$  与  $w_2$  之间的部分合成一个圈, 与  $G$  为树无圈相违。可见 (2) 成立。

(2)  $\Rightarrow$  (3) 若  $G$  中有圈, 则此圈上任二顶之间有不同的轨, 与 (2) 相违, 故  $G$  中无圈。

下面用关于  $v$  的归纳法证明  $e = v - 1$ 。

$v = 1$  时,  $e = 0$ ,  $v = 2$  时,  $e = 1$ ,  $e = v - 1$  成立。

假设  $v \leq k$  时, (3) 已成立, 考虑  $v = k + 1$  的情形。这时, 若  $u$  与  $v$  是  $G$  中两个邻顶, 取  $G_0 = G - uv$ , 在  $G$  上  $u$  与  $v$  之间只有一条轨即边  $uv$ , 故  $G_0$  中  $u$  与  $v$  之间无轨道,  $G_0$  不连通, 但  $G_0$  显然只有两个连通片  $G_1, G_2$ , 在  $G_1$  与  $G_2$  中, 两顶之间只有一条轨, 由归纳法假设,  $e_1 = v_1 - 1$ ,  $e_2 = v_2 - 1$ ,  $e = e_1 + e_2 + 1 = v_1 + v_2 - 2 + 1 = v - 1$ 。即 (3) 成立。

(3)  $\Rightarrow$  (4) 只欠证  $G$  连通. 若  $G$  不连通,  $G_1, G_2, \dots, G_\omega$  ( $\omega \geq 2$ ) 是  $G$  的连通片, 则  $e_i = v_i - 1$ , 这是因为  $G_i$  是连通无圈图, 即  $G_i$  是树, 故对  $G_i$ , (3) 成立; 于是  $e = v - \omega$ , 与  $e = v - 1$  相违, 故  $G$  是连通图.

(4)  $\Rightarrow$  (5) 只欠证  $\forall e \in E(G)$ ,  $G - e$  不连通. 因为  $e(G - e) = e(G) - 1 = v - 2$ , 只要我们证出连通图的必要条件是  $e \geq v - 1$ , 则可得出  $G - e$  不连通的结论.

事实上,  $v = 2$  的连通单图满足  $e = v - 1$ . 假设  $v \leq k$  的连通图  $e \geq v - 1$ , 对于  $v = k + 1$  的连通图, 考虑  $G - v$ , 其中  $v \in V(G)$ .

(i) 若  $G - v$  仍连通, 则  $e(G - v) \geq k + 1 - 1 - 1 = k - 1$ , 而  $e(G) \geq e(G - v) + 1$ , 于是  $e \geq k$ , 即  $e \geq v - 1$ .

(ii) 若  $G - v$  不连通,  $G_1, G_2, \dots, G_\omega$  是  $G - v$  的连通片,  $\omega \geq 2$ , 由归纳法假设,  $e_i \geq v_i - 1$ ,  $i = 1, 2, \dots, \omega$ ,

$$e(G - v) \geq \sum_{i=1}^{\omega} v_i - \omega = k + 1 - 1 - \omega = k - \omega,$$

而  $e \geq e(G - v) + \omega$ , 故  $e \geq k = v - 1$ .

(5)  $\Rightarrow$  (6) 先证  $G$  中无圈. 若  $G$  中有圈, 从  $G$  的圈上删除一边所得之图仍连通, 与 (5) 相违, 故  $G$  中无圈.

下证  $G + e$  恰含一个圈. 事实上, (5) 说  $G$  连通, 上面又证出  $G$  无圈, 故  $G$  是树, 从而 (2) 成立, 即任二顶间仅有一轨相连, 所以  $G + e$  必有含  $e$  的圈; 若  $G + e$  中有两个含  $e$  的圈, 则  $G + e - e = G$  中仍有一个圈, 与  $G$  中无圈矛盾.

(6)  $\Rightarrow$  (1) 只欠证  $G$  连通.  $\forall u, v \in V(G)$ , 若  $u$  与  $v$  相邻, 则  $u$  与  $v$  连通; 若  $u$  与  $v$  不是邻顶, 由 (6) 知  $G + uv$  只含一圈, 即  $G$  中  $u$  与  $v$  之间有轨, 故  $u$  与  $v$  亦连通. 由  $u$  与  $v$  之任意性,  $G$  是连通图. 证毕.

**推论 1** 非平凡树至少两个叶.

**证**  $T$  为非平凡树, 则  $e(T) = v(T) - 1$ , 又

$$2\varepsilon = \sum_{i=1}^v d(v_i) = 2(v-1);$$

$T$  是连通图, 于是  $d(v_i) \geq 1$ , 若全是不小于 2 次的顶, 则

$$\sum_{i=1}^v d(v_i) \geq 2v, \quad \text{与} \quad \sum_{i=1}^v d(v_i) = 2v-2$$

矛盾, 故至少有一个一次顶  $u$ , 除  $u$  外, 其余  $v-1$  个顶次数之和为  $2v-3$ . 若除  $u$  外每顶次数不小于 2, 则它们的次数和  $\geq 2(v-1) = 2v-2$ , 与它们的次数和为  $2v-3$  矛盾. 故除  $u$  外还至少有一个一次顶. 证毕.

**推论 2**  $G$  连通的充要条件是  $G$  有生成树.

**证** 充分性的证明不足道.

若  $G$  连通, 设  $T$  是  $G$  的边数最少的连通生成子图, 则  $\forall e \in E(T), T-e$  不连通, 由定理 1 (5) 知  $T$  是树, 即  $G$  有生成树. 证毕.

**例 1** 顶数大于 4 的图  $G$  或其补图中含有圈.

**证** 若  $G$  中无圈, 则  $G$  中皆无圈. 设  $G_1, \dots, G_\omega$  是  $G$  的连通片,  $G'_1, G'_2, \dots, G'_\omega$  是  $G^*$  的连通片, 则  $G$  的边数为  $v(G) - \omega$ ,  $G^*$  的边数为  $v(G) - \omega'$ ,  $G$  与  $G^*$  边数之和为

$$\frac{1}{2}v(v-1) = 2v - \omega - \omega',$$

$$v^2 - 5v + 2(\omega + \omega') = 0 \quad (\omega, \omega' \geq 1)$$

$$v^2 - 5v + 4 \leq 0,$$

解得  $1 \leq v \leq 4$ , 与  $v > 4$  矛盾, 故  $G$  或  $G^*$  中有圈. 证毕.

**例 2** 连通图的无圈子图可以是生成树的一部分.

**证** 若  $G$  是树, 命题自然成立. 若  $G$  不是树,  $G$  中有圈  $C_1$ , 设  $G'$  是  $G$  的无圈子图, 则  $C_1$  上至少有一边  $e_1$  不在  $G'$  上, 把  $e_1$  从  $G$  上删除,  $G-e_1$  仍连通. 若  $G-e_1$  上仍有圈  $C_2$ , 则  $C_2$  上有一边  $e_2$  不在  $G'$  上, 把  $e_2$  从  $G-e_1$  上删除,  $G-e_1-e_2$  仍

连通。

由于是有限图，这一过程会在（有限） $k$ 步后终止，终止时所得的从 $G$ 中删去了一些圈上之边的图 $G - e_1 - e_2 - \dots - e_k$ 无圈连通，即它是树，于是 $G'$ 是 $G - e_1 - e_2 - \dots - e_k$ 的一部分，且 $G - e_1 - e_2 - \dots - e_k$ 是 $G$ 的生成树。证毕。

**例 3**  $T_1, T_2$  是树 $T$ 的子树， $T_3$  是  $T_1$  与  $T_2$  公共边端点形成的顶子集的导出子图，则  $T_3$  也是树。

**证**  $T_3$  显然无圈，只欠证  $T_3$  是连通图。任取两个顶  $u, v \in V(T_3)$ ，则  $u, v \in V(T_1)$ ， $u, v \in V(T_2)$ 。在  $T_1$  上有唯一的轨  $P_1(u, v)$ ，在  $T_2$  上有唯一的轨  $P_2(u, v)$ ； $P_1(u, v), P_2(u, v)$  都是树 $T$ 上之轨，故  $P_1 = P_2$ ，即  $P_1(u, v)$  上的边亦是  $T_3$  上的边，从而  $P_1(u, v)$  是  $T_3$  的子图，即  $T_3$  上  $u$  与  $v$  两顶连通。由  $u, v$  之任意性得知  $T_3$  连通。证毕。

## 2.2 生成树的个数

顶点标志的连通图，除非它本身就是树，一般地，有不止一个生成树；我们把标志不同而同构的生成树视为不同的生成树，如此，一个小小的  $K_4$ ，竟有一亿棵生成树。本节给出一个求生成树个数的方法和完全图生成树个数的 Caylay 公式。

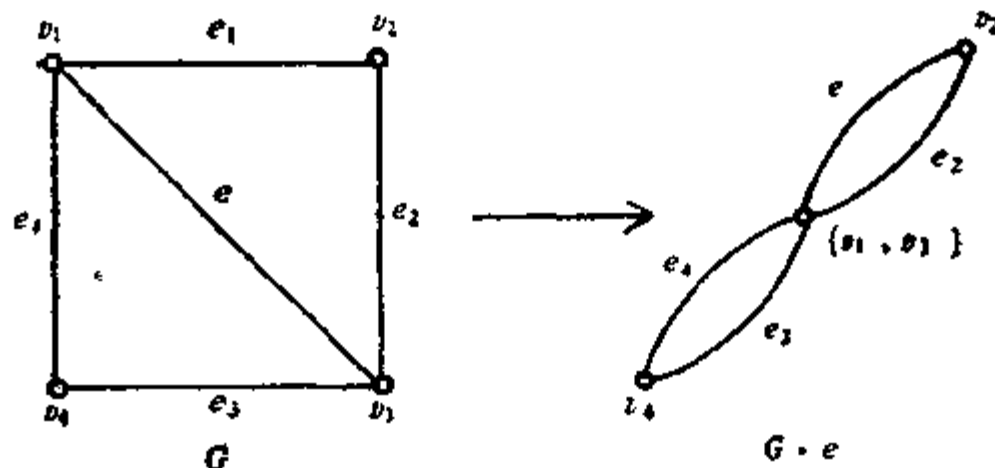


图 2.3

图  $G$  的一边  $e$  被收缩, 是指从  $G$  中把  $e$  删除, 再令其二端点重合成一个顶 (图 2.3). 所得之新图, 记成  $G \cdot e$ . 若  $e$  不是  $T$ , 则显然有

$$v(G \cdot e) = v(G) - 1, \quad e(G \cdot e) = e(G) - 1,$$

$$\omega(G \cdot e) = \omega(G) \quad (\omega \text{ 是连通片个数}).$$

$T$  是树,  $T \cdot e$  仍为树.

我们用  $\tau(G)$  表示标志图的生成树之个数.

**定理 2**  $e$  是标志连通图  $G$  的非环状边, 则有公式

$$\tau(G) = \tau(G - e) + \tau(G \cdot e).$$

**证**  $G$  的含  $e$  的生成树与  $G \cdot e$  的生成树一一对应, 即  $\tau(G \cdot e)$  是  $G$  中含  $e$  的生成树之个数. 另一方面,  $G$  的不含  $e$  的生成树与  $G - e$  的生成树一一对应, 即  $\tau(G - e)$  是  $G$  中不含  $e$  的生成树之个数, 所以有

$$\tau(G) = \tau(G - e) + \tau(G \cdot e). \quad \text{证毕.}$$

**例 4** 求四边形带一条对角线的图的  $\tau(G)$ .

由图 2.4 知带一条对角线的四边形的生成树个数是 8.

**定理 3** (Cayley).  $\tau(K_n) = n^{n-2}$ .

**证** 令  $K_n$  的顶集为  $N = \{1, 2, 3, \dots, n\}$ , 则由  $N$  中元素构成的长  $n-2$  的序列恰为  $n^{n-2}$  个. 这是因为序列  $t_1, t_2, \dots, t_{n-2}$ ,  $(t_i \in N)$  中的每个  $t_i$  有  $n$  种不同的取法. 下面建立上述序列与  $K_n$  的生成树之间的一一对应系. 关

任取定  $K_n$  的一个生成树  $T$ , 及  $s_1$  是  $T$  中第一个 (号码最小者) 次顶, 取  $t_1$  为与  $s_1$  相邻的顶之号码, 把  $s_1$  从  $T$  上删除, 设  $s_2$  是  $T - s_1$  中第一个叶, 取  $t_2$  为  $s_2$  在  $T - s_1$  中相邻的顶之号码, 依此类推, 即得由  $N$  中元素构成的长  $n-2$  的序列 (图 2.5). 最后剩下的是一个  $K_2$ .

反之, 任给定由  $N$  中元素构成的长  $n-2$  的一个序列  $t_1, t_2, \dots, t_{n-2}$ , 我们可以如下地画出一个生成树:  $s_1$  是  $N$  中不在  $\{t_1, t_2, \dots, t_{n-2}\}$  中的第一个号码, 把  $s_1$  与  $t_1$  连一边;  $s_2$  是不在



$$\begin{aligned}
r(G) &= \text{[Square with diagonal]} + \text{[Square]} + \text{[Two parallel edges]} \\
&= \left( \text{[U-shape]} + \text{[Triangle]} \right) + \left( \text{[U-shape with bottom loop]} + \text{[U-shape with top loop]} \right) \\
&= \text{[U-shape]} + \left( \text{[V-shape]} + \text{[U-shape with bottom loop]} \right) \\
&\quad + \left( \text{[U-shape with bottom loop]} + \text{[U-shape with top loop]} \right) + \left( \text{[U-shape with bottom loop]} + \text{[U-shape with top loop]} \right) \\
&= \text{[U-shape]} + \text{[V-shape]} + \left( \text{[U-shape]} + \text{[Loop]} \right) \\
&\quad + \text{[U-shape with bottom loop]} + \text{[U-shape with top loop]} + \text{[U-shape with bottom loop]} + \text{[U-shape with top loop]} = 8
\end{aligned}$$

2.4

$\{t_2, t_3, \dots, t_{n-2}\}$  中的  $N - \{s_1\}$  的第一个号码, 把  $s_2$  与  $t_2$  连一边。

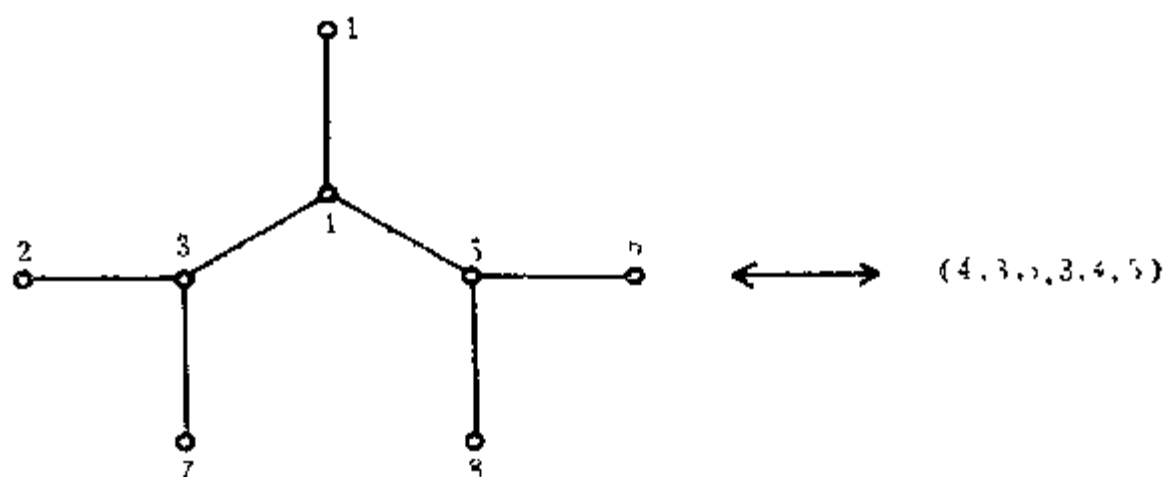


图 2.5

继续这一过程, 得  $n-2$  个边  $s_1 t_1, s_2 t_2, \dots, s_{n-2} t_{n-2}$ . 再连接  $N - \{s_1, s_2, \dots, s_{n-2}\}$  中的两个顶, 则得一个生成树. 至此建立了  $t_1, t_2, \dots, t_{n-2}$  型的  $(t_i \in N)$  序列与  $K_n$  生成树之间的一一对应, 故  $\tau(K_n) = n^{n-2}$ . 证毕.

例如  $K_{100}$  的生成树的个数是  $100^{98} = 10^{196}$  个.

## 2.3 Kruskal 算法

今欲修筑连接几个城市的铁路, 已知  $i$  城与  $j$  城之间的铁路造价为  $c_{ij}$ , 设计一个线路图, 使总造价最低.

上述实际问题的数学模型为: 在已知的加权连通图上求权最小的生成子图. 显然它是一个生成树, 这个生成树叫做最优树. 下面介绍求最优树的 Kruskal 算法.

**Kruskal 算法:**

- (1) 选  $e_1 \in E(G)$ , 使得  $w(e_1) = \min$ .
- (2) 若  $e_1, e_2, \dots, e_i$  已选好, 则从  $E(G) - \{e_1, e_2, \dots, e_i\}$  中选取  $e_{i+1}$ , 使得
  - (i)  $G[\{e_1, e_2, \dots, e_i, e_{i+1}\}]$  中无圈, 且

(ii)  $w(e_{i+1}) = \min$ .

(3) 继续进行到选得  $e_{v-1}$  为止.

其中  $G[E']$  ( $E' \subset E(G)$ ) 叫做  $E'$  的导出子图, 它是以

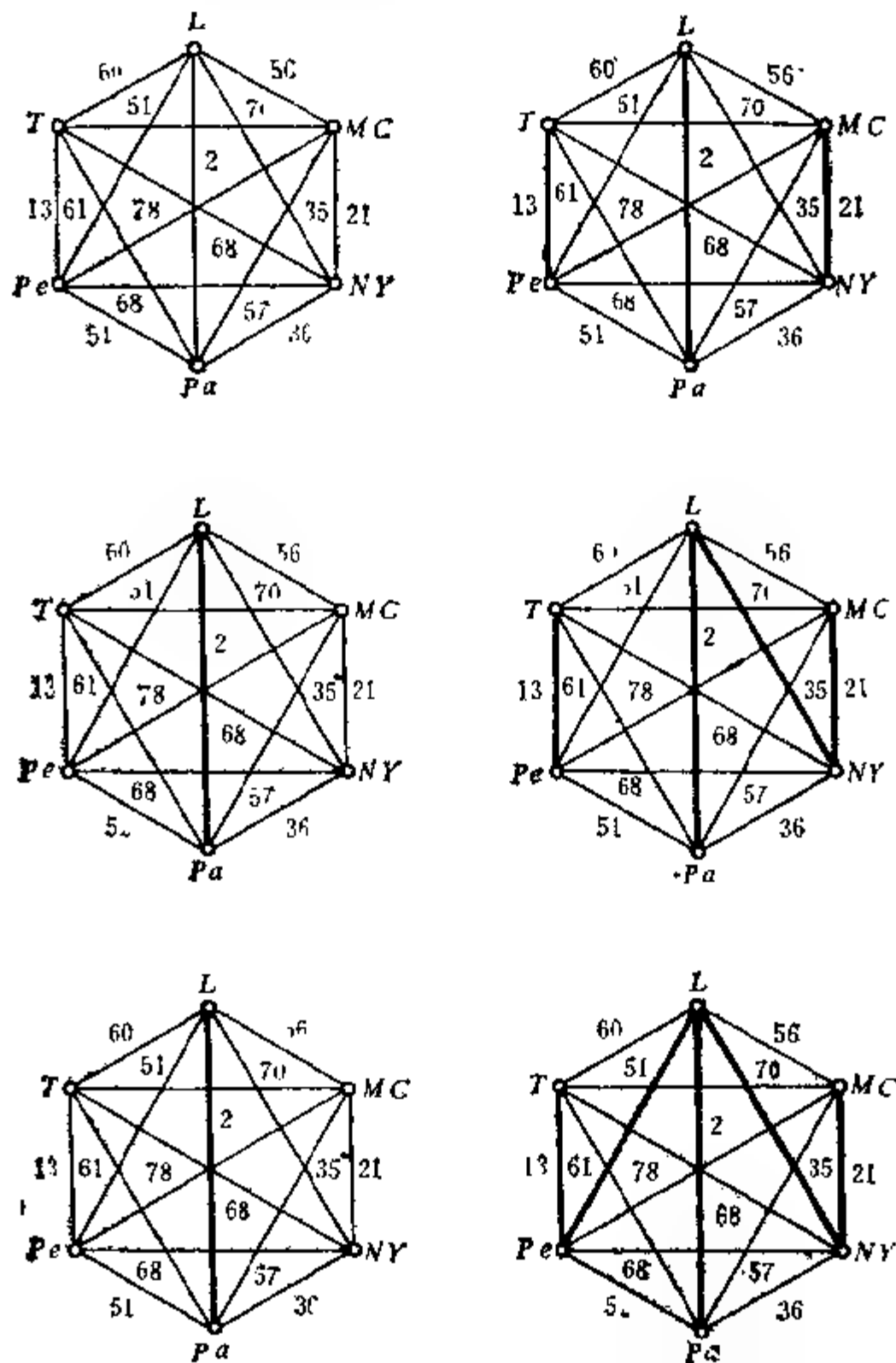


图 2.6

$E'$  为边集, 以  $E'$  中边之端点为顶的图。

**定理 4** Kruskal 算法选得的边的导出子图为最优树。

**证** Kruskal 算法得出的子图  $T^*$  是生成树自不待说。下证它的最优性。设  $T^*$  不是最优树,  $T_1$  是  $G$  的任给定的一个生成树,  $f(T_1)$  是  $\{e_1, e_2, \dots, e_{v-1}\}$  中不在  $T_1$  上的  $e_i$  的足标  $i$  的最小值, 令  $T$  是使  $f(T)$  最大的一个最优树。因为  $T^*$  不是最优树, 又  $E(T^*) = \{e_1, e_2, \dots, e_{v-1}\}$ , 故  $e_1, e_2, \dots, e_{v-1}$  中必有不在  $E(T)$  中的边。设  $f(T) = k$ , 即  $e_1, e_2, \dots, e_{k-1}$  在  $T$  与  $T^*$  上, 而  $e_k$  不在  $T$  上, 于是  $T + e_k$  中有一个圈  $C$ 。令  $e'_k$  是在  $T$  上而不在  $T^*$  上的边。且  $e'_k$  在  $C$  上。显然,  $T' = (T + e_k) - e'_k$  也是生成树, 又  $W(T') = W(T) + w(e_k) - w(e'_k)$ 。由算法知,  $e_k$  本是使  $G[\{e_1, e_2, \dots, e_k\}]$  上无圈的权最小的边, 又  $G[\{e_1, e_2, \dots, e_{k-1}, e'_k\}]$  是  $T$  之子图, 也无圈, 则有  $w(e'_k) \geq w(e_k)$ 。于是  $W(T') \leq W(T)$ , 即  $T'$  也是最优树, 但  $f(T') > k = f(T)$ , 与  $f(T)$  之最大性矛盾。证毕。

**例 5** 求下面加权图的最优树。(它的实际背景是北京与巴黎、纽约、东京、伦敦、墨西哥城这六大城市间的航空路线距离图, 单位是百公里。)

图 2.6 中粗实线表示的是最优树, 其权为 122。

## 2.4 几类常用树

本节介绍几类常用的有向树, 为此首先提出有向图中的一些名词。

设  $G$  是有向图,  $e = uv$  是有向边, 箭头从  $u$  画向  $v$ ,  $u$  叫做边  $e$  之尾,  $v$  叫做  $e$  的头。  $W = v_0 e_1 v_1 e_2 \dots e_k v_k$ , 有向边  $e_i$  的尾是  $v_{i-1}$ , 头是  $v_i$ ,  $1 \leq i \leq k$ , 则  $W$  叫做有向道路, 有向轨是指  $W$  中顶点两两相异。  $d^-(v)$  表示以  $v$  为头的边数,  $d^+(v)$  表示以  $v$  为尾的边数。

### 2.4.1 有序二元树

**定义 3**  $T$  是一个树, 把有边规定一个方向且使得  $\forall v_i \in V(T)$ ,  $\exists$  有向轨  $P(v_0, v_i)$ , 则称  $T$  是外向树,  $v_0$  叫做根. 把外向树之定向反过来, 得到的有向树叫做内向树.

**定义 4**  $T$  为外向树.  $\forall v \in V(T)$ ,  $d^+(v) \leq \sigma$ , 则称  $T$  为  $\sigma$  元树. 当  $e = uv$  时,  $u$  称为  $v$  之父,  $v$  称为  $u$  之子; 同父之子称为兄弟. 除树叶外, 每顶皆  $\sigma$  子时, 称为典型  $\sigma$  元树. 外向树每顶的儿子们有序时, 叫做有序树, 有序树之序列叫做有序林 (外向树上的箭头可以省略).

我们习惯于把有序林中一切树根画在同一水平线上, 每一内顶 (非叶) 的儿子们从左到右有序地排列, 且边不内交, 叶在最下方.

**例 6** 画一个二元树, 兄弟关系中, 左为 0 右为 1, 试问下面 (图 2.7) 的二元树上抄出的 0-1 密码表达什么信息: 0 0 1 1 0 1 1 0 1 0 0 0 0 1 1 1 0 1 1 1 1 0 0 0 1 0 1 0 0 0 0 1.

**解** 上述 0-1 密码从二元树上译出为  
Good Morning

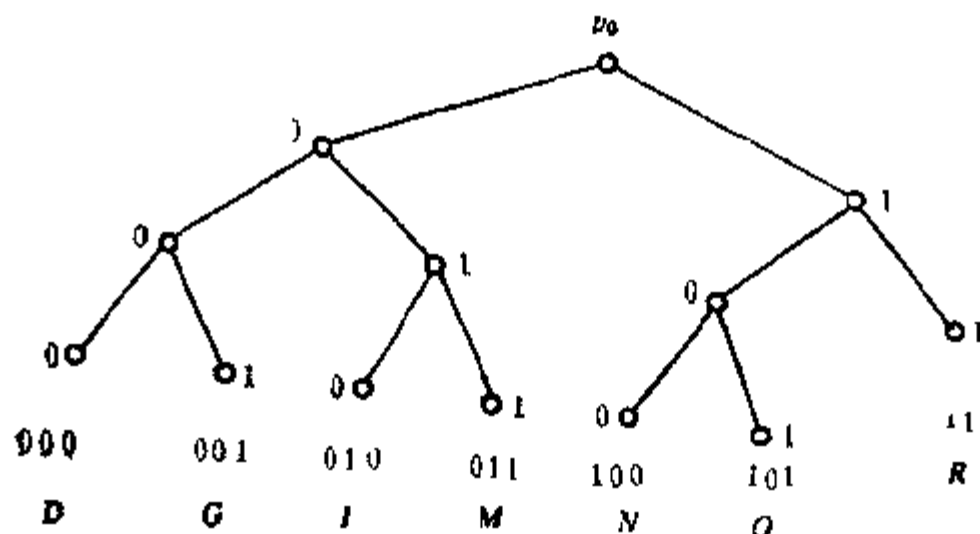


图 2.7

我们把从根到叶的有向轨上的 0-1 号码依次抄在该叶之下

方，再把各个叶下方的字符串收集起来，就得到一个二元树的所谓前缀码，例如图 2.7 中的前缀码为  $\{000, 001, 010, 011, 100, 101, 11\}$  显然，给一个前缀码，则可以画出一个唯一的有序二元树，前缀码与有序二元树一一对应。这样，可用前缀码代表一个二元树，这给机器表达有序二元树提供了方便。而任何有序树，都可以化成二元有序树，于是可以用计算机方便地处理有关有序树的问题。

按“左下方是儿子，右下方是兄弟”的规则，可以把有序树转化成有序二元树，而且这种转化是可逆的。同时这种规则还可以把有序林可逆地转化成有序二元树（只需把根也看成兄弟）。

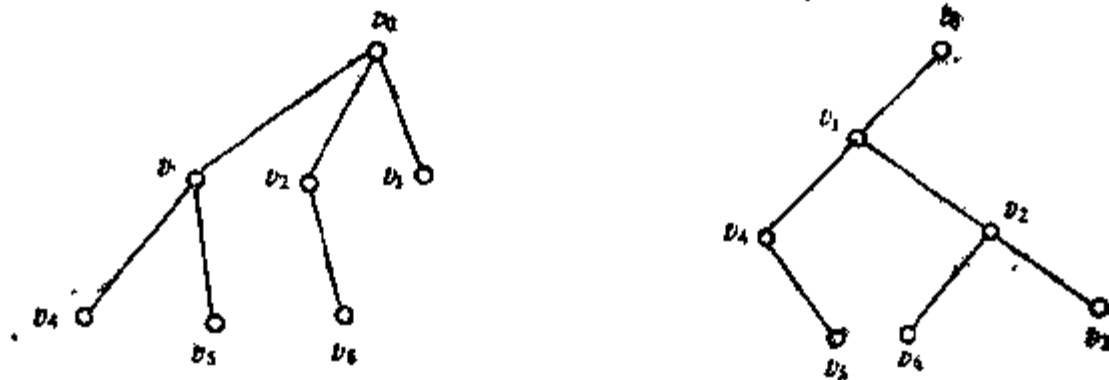


图 2.8

图 2.8 左图是一个有序树，右图是与之对应的有序二元树。 $v_0$  有三子  $v_1, v_2, v_3$ ， $v_1$  是长子，在相应的二元树中  $v_1$  画在  $v_0$  左下方， $v_2, v_3$  做为  $v_1$  的兄弟依次  $v_2$  画在  $v_1$  的右下方，而  $v_3$  画在  $v_2$  的右下方； $v_1$  有二子，长子  $v_4$  画在  $v_1$  左下方， $v_5$  做为  $v_4$  的兄弟画在  $v_4$  的右下方； $v_2$  只有一个儿子  $v_6$ ， $v_6$  画在  $v_2$  的左下方。

图 2.9 是有序林画成有序二元树的示意图。

### 2.4.2 Catalan 数

为了求得  $n$  顶有序二元树和  $n$  顶有序林的个数，我们介绍有趣的 Catalan 数。

括号列是指由左括号“(”和右括号“)”组成的有限序列。

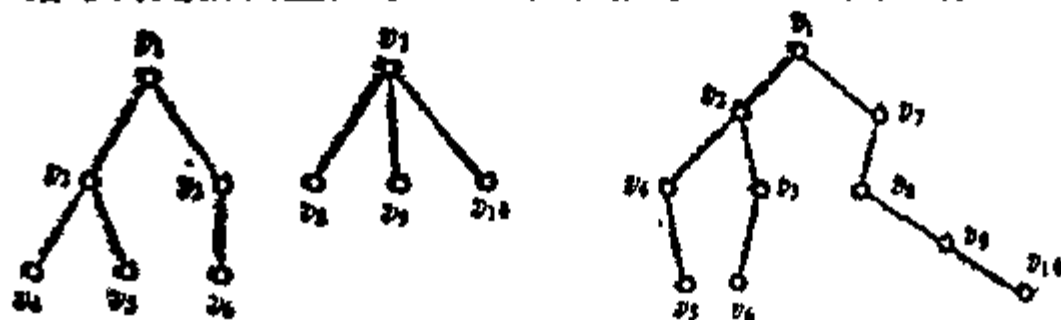


图 2.9

**定义 5** 好括号列是指

- (1) 空列是好的;
- (2) 若  $A$  与  $B$  是好括号列, 则  $AB$  也是;
- (3) 若  $A$  是好括号列, 则  $(A)$  也是;
- (4) 除 (1)、(2)、(3) 中的括号列外, 再无其它好括号列 (不是好括号列者, 称为坏括号列)。

例如  $(( ))(( ))$  是好列, 而  $(( )))( ( )$  是坏列。

**定理 5** 一个括号列是好括号列的充要条件是它由偶数个括号组成, 其中半数是左括号, 且从左向右读这个括号列时, 读出的右括号个数不会超过读出的左括号个数。

**证** 若括号列是好列, 显然它是由左括号占半数的偶数个括号组成的。下面用关于括号个数的归纳法证明从左至右读出的左括号的个数不少于右括号读出的个数。若括号数为 2, 命题为真。设  $m$  个左括和  $m$  个右括的好列命题已真, 我们考虑  $n$  个左括和  $n$  个右括组成的好括号列。其中  $m < n$ 。

(i) 若造此括号列时, 最后一步是 (2), 此括号列形如  $AB$ ,  $A$  与  $B$  皆非空好列, 从左至右读时, 只要还在读  $A$ , 由归纳法假设, 读出的左括不比右括少, 当我们读到  $A$  的最后一个括号时, 读出的左、右括号个数一样。再读下去, 即读  $B$ , 由归纳法假设, 读出的右括号总数仍然不会超过读出的左括号总数。

(ii) 若造这个括号列时, 最后一步是 (3), 命题显然成立。

下面证明由左括占半数的括号列，若从左至右读时读出的左括个数不少于右括个数，则此括号列是好列。仍用关于括号数的归纳法。括号数为2时，命题显然成立。假设  $m < n$  时， $m$  个左括和  $m$  个右括组成的括号列命题已真，考虑  $n$  个左括  $n$  个右括的括号列，从左向右读时，读了  $2m$  个括号后，读得的左右括号个数相等，由归纳法假设，读出的这个子列  $A$  是好括号列，右面未读的子列  $B$  也满足命题条件，由归纳法假设， $B$  亦为好列，所以整个括号列  $AB$  也是好列。

若上述非空列  $A$  不存在，我们向左向右读时，读了第一个括号而未读其它括号时，由命题条件知第一个括号为左括。读到只剩一个括号未读时，已读出的左括不比右括少，而左括右括总数各占其半，故最后一个括号是右括，于是原括号列形如  $(A)$ ， $A$  仍满足命题条件，由归纳法假设， $A$  是好列，故  $(A)$  亦是好列。证毕

**定理 6** 由  $2n$  个括号组成的好括号列个数是

$$c(n) = \frac{1}{n+1} C_{2n}^n.$$

这个数  $c(n)$  叫做 Catalan 数。

**证** 设  $p_1 p_2 \cdots p_{2n}$  是  $n$  个左括  $n$  个右括构成的坏括号列。由定理 5 知，有一个前缀，其中右括比左括多。设  $p_1 p_2 \cdots p_j$  的右括比左括多，且  $j$  最小，这时右括只比左括多 1 个，把从  $p_{j+1}$  开始的每个括号“翻”过来，则得  $n-1$  个左括  $n+1$  个右括的坏括号列，显然这一变换是可逆的，故  $n$  个左括与  $n$  个右括组成的坏括号列与  $n-1$  个左括  $n+1$  个右括组成的括号列一一对应。而  $n-1$  个左括  $n+1$  个右括组成的括号列共计  $C_{2n+1}^{n+1}$  个， $n$  个左括  $n$  个右括组成的括号列共计  $C_{2n}^n$  个，所以  $2n$  个括号的好括号列共有

$$\begin{aligned} C_{2n}^n - C_{2n+1}^{n+1} \\ = \frac{2n(2n-1)\cdots(2n-n+1)}{n!} - \frac{2n(2n-1)\cdots(2n-n)}{(n+1)!} \end{aligned}$$



$$= \frac{1}{n-1} C_{2n-2}^n.$$

证毕.

**定理 7**  $n$  个字符每个都要进入“先入后出”存储器  $S$  恰一次, 进入  $S$  时是有序的, 则出  $S$  的不同字符列共计可能有  $c(n)$  个.

**证** 有字符进  $S$  时, 记“(”, 出  $S$  时记“)”, 当  $n$  个字符全部出了  $S$  时, 得到一个  $n$  个左括  $n$  个右括组成的  $2n$  个括号的括号列. 由定理 5, 得到的是个好括号列. 而且这种好括号列与出  $S$  的不同字符列之间一一对应, 所以, 由定理 6, 定理 7 得证.

证毕.

**例 7** 一个汽车队在狭窄路面上行驶, 不得超车. 但可以进入一个死胡同去加油, 之后再插队行驶, 共有  $n$  辆汽车, 问可能有几种排列不同的车队开出城去?

**例 8** 饭后, 姐姐洗碗, 妹妹把姐姐洗过的碗一个一个放进碗橱摆成一摞. 共有  $n$  个图样两两相异的碗, 洗前也摆成一摞, 也许因为小妹贪玩, 碗拿进橱子不及时, 姐姐就把洗过的碗摆在旁边, 问小妹摆起的碗可能有几种方式?

由定理 7, 例 7 与例 8 的答案都是  $c(n)$ .

### 2.4.3 有序 2 元树的个数

$n$  个顶的有序二元树形形色色,  $n$  个顶的有序林更是如此, 但它们的数目恰为  $c(n)$ .

**定理 8**  $n$  顶有序林和  $n$  顶有序二元树的个数皆为  $c(n)$ .

**证** 把有序林中每个叶标以  $( )$ , 把其儿子们的标志分别是  $w_1, w_2, \dots, w_r$  的内顶标志以  $(w_1 w_2 \dots w_r)$ , 最后从左到右根的标志分别为  $x_1, x_2, \dots, x_r$ , 整个林的标志是  $x_1 x_2 \dots x_r$ . 这一标志映射显然是可逆的, 且  $x_1 x_2 \dots x_r$  是  $2n$  个括号组成的好括号列, 于是  $2n$  个括号组成的好括号列与  $n$  顶有序林之间一一对应. 所

以, 由定理 6,  $n$  顶有序林的个数是  $c(n)$ , 又  $n$  顶有序林与  $n$  顶有序二元树之间一一对应, 故  $n$  顶有序二元树的个数也是  $c(n)$ . 证毕.

**定理 9**  $n$  顶典型有序二元树的个数为  $c\left(\frac{n-1}{2}\right)$ .

**证** 容易看出, 典型有序二元树的叶数  $L(T)$  与内顶个数  $I(T)$  满足  $L(T) = I(T) + 1$ , 所以有  $\frac{n-1}{2}$  个内顶. 而  $n$  顶典型有序二元树与  $\frac{n-1}{2}$  个顶的定根二元树一一对应, 因为把  $n$  顶典型有序二元树之叶全部揪去, 则得  $\frac{n-1}{2}$  个顶的有序二元树. 显然, 这种变换是可逆的. 由定理 8, 得知  $n$  顶典型二元树个数为  $c\left(\frac{n-1}{2}\right)$ . 证毕.

从这个定理证明中知  $n$  顶典型二元树的顶数  $n$  是奇数.

#### 2.4.4 Huffman 树

由例 6 我们看到, 若设计 26 个叶的有序二元树, 每个叶代表一个英语字母, 则可以用这个二元树上的叶码序列表示出任何一句话, 进而任何一篇文章的信息. 自然, 我们希望总码长越短越好. 粗略地讲, 字母出现的频率小的 (例如 Z) 相应的叶码长一点还怕, 但字母出现的频率大的 (例如 e) 相应的叶码可不要太长, 以期整个文章的总码长最短.

**定义 6**  $v_0$  为根的  $v_1, v_2, \dots, v_n$  为叶的有序二元树中, 轨  $P(v_0, v_i)$  ( $i = 1, 2, \dots, n$ ) 的长  $l_i$  叫做叶  $v_i$  的码长. 若  $v_i$  ( $i = 1, 2, \dots, n$ ) 代表的事物出现的概率为  $p_i$ ,  $\sum_{i=1}^n p_i = 1$ , 使得

$$m(T) = \sum_{i=1}^n p_i l_i = \min$$

的有序二元树  $T$  叫做带权  $p_1, p_2, \dots, p_n$  的 Huffman 树, 也叫做最优二元树。

$m(T)$  虽是  $l_1, l_2, \dots, l_n$  的  $n$  元函数, 但  $l_i$  满足的条件是二元树上的根叶距, 不易写出这些条件的表达式, 所以这一条件极值问题, 不能用传统的数学分析方法来解决, 一般用下述的图论方法来解决。

下设  $p_1 \leq p_2 \leq \dots \leq p_n$ ,  $v_1, v_2, \dots, v_n$  为与之相应的叶。

**定理 10** (1)  $T$  为 Huffman 树,  $v_i, v_j$  是兄弟, 则  $l_i = l_j$ ; (2)  $v_1$  与  $v_2$  最兄弟; (3) 设  $T^*$  是带权  $p_1 + p_2, p_3, \dots, p_n$  的 Huffman 树, 与  $p_1 + p_2$  相应的叶子生出两个新叶分别有权  $p_1, p_2$ , 则得则的树  $T$  即为带权  $p_1, p_2, \dots, p_n$  的 Huffman 树。

**证** (1) 由树上轨  $P(v_0, v_i)$  及  $P(v_0, v_j)$  的唯一性, 以及  $v_0$  到  $v_i, v_j$  之父的轨的唯一性知,  $P(v_0, v_i)$  与  $P(v_0, v_j)$  等长。

(2) 若 Huffman 树仅  $v_1, v_2$  两个叶, 由  $m(T) = \min$  知兄弟  $v_1$  与  $v_2$  的码长  $l_1 = l_2 = 1$ 。若  $T$  有三个以上的叶子, 则因  $T$  为二元树, 有码长不小于 2 的叶。又  $m(T) = p_1 l_1 + p_2 l_2 + \dots + p_n l_n = \min$ , 不妨设  $l_1 \geq l_i, i = 2, 3, \dots, n$ 。这是因为, 若  $p_k = p_1$ , 而  $l_k > l_1$  ( $n \geq k \geq 2$ ), 我们把  $v_1$  与  $v_k$  是标对换, 得一同构树,  $m(T)$  不变, 而使新树上  $v_1$  的码长大于  $v_k$  的码长。若  $p_k > p_1$ , 而  $l_k > l_1$  ( $n \geq k \geq 2$ ), 把  $v_1$  与  $v_k$  带权对换, 得到的新树  $T'$  上  $m(T') = p_1 l_k + p_2 l_2 + \dots + p_k l_1 + \dots + p_n l_n < m(T)$ , 与  $m(T)$  最小矛盾。故  $l_1$  不妨认为是最长的码长, 且  $l_1 \geq l_2 \geq \dots \geq l_n$ , 若  $v_1$  无兄弟, 则  $l_1$  还可缩短 1, 这与  $m(T) = \min$  矛盾。故  $v_1$  的兄弟是  $v_2$ 。

(3) 设  $T'$  是带权  $p_1, p_2, \dots, p_n$  的 Huffman 树, 只需证明  $m(T) \leq m(T')$ 。由 (2), 带权  $p_1$  与  $p_2$  的叶在  $T'$  中是兄弟, 令  $T'_+$  是  $T'$  中  $p_1$  与  $p_2$  为权的叶删除, 其父的权为  $p_1 + p_2$  的树, 则

$$m(T') = m(T'_+) + p_1 + p_2,$$

$$m(T) = m(T^+) + p_1 + p_2.$$

而  $T^+$  是带权  $p_1 + p_2, p_3, \dots, p_n$  的 Huffman 树, 故  $m(T'_+) \geq m(T^+)$ , 于是  $m(T) \leq m(T')$ . 证毕.

**例 9** 求带权 0.1, 0.1, 0.1, 0.2, 0.5 的 Huffman 树.

**解** (d) 中画出的是 Huffman 树 (不是唯一解).

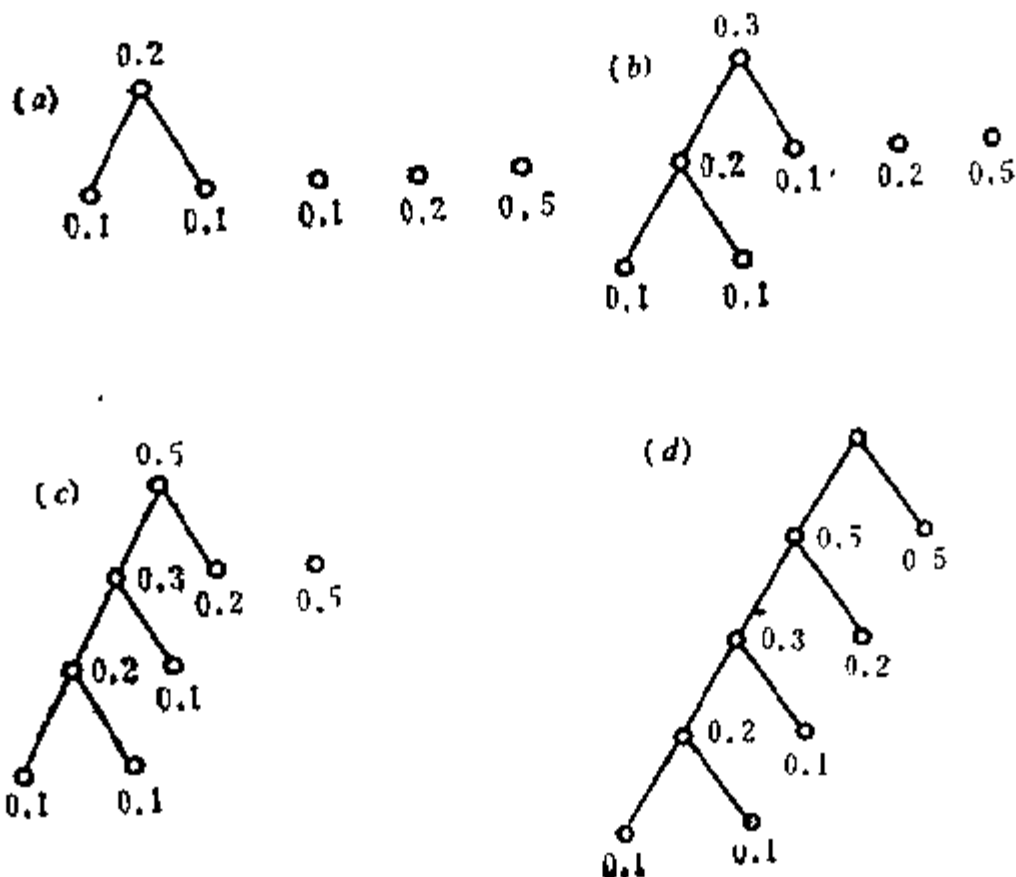


图 2.10

这里的解法是依据定理 10 进行的, 这种方法称为“兄弟寻父法”.

本章我们讨论了树的六种等价的说法, 并且介绍了 Kruskal 求最优树的算法, 它和第一章的 Dijkstra 算法都是最优化问题中的著名算法. 关于 Kruskal 算法, 我们不仅看到它的可行性, 而且还证明了它的正确性. 对于一个算法, 起码的要求有三点: 可行性、正确性和有效性. Kruskal 的时间复杂度为  $O(v^2)$ . 由 Kaylay 定理 (定理 3) 知道, 求  $\tau(G)$  是没有好算法的, 用公

式  $\tau(G) = \tau(G \cdot e) + \tau(G - e)$  求  $\tau(G)$  只对小图适用。

本章介绍的二元树、Catalan 数、括号列方法和 Huffman 树，不但趣味盎然，而且很有实用价值。早在 1857 年，Cayley 就利用树研究有机物的分子结构，1847 年，Kirchhoff 用树研究电网络。几乎所有应用图论的领域都要在相当大的程度上依靠树来解决某些重要问题。树，尤其是生成树（本书以后章节有几处还要讨论生成树）可以说是图的骨骼，从来是被重视的一个问题。

## 习 题

1. 非平凡树中最长轨的起点和终点是叶。
2. 一个恰有两个叶的树是一条轨。
3.  $\Delta \geq k$  的树至少有  $k$  个叶。
4. 有  $\omega$  个连通片的图，当且仅当  $e = \omega - 1$  时是林。
5.  $G$  的中心是指  $\max_{v \in V(G)} d(u, v) = \min$  的顶  $u$ ，证明树有一个中心或有两个相邻的中心。
6.  $G$  是有  $2k$  个奇次顶的林，则  $G$  中存在  $k$  条无公共边的轨  $P_1, P_2, \dots, P_k$ ，使得  $E(G) = \bigcup_{i=1}^k E(P_i)$ 。
7. 正整数序列  $d_1, d_2, \dots, d_n$  是树的次数序列的充要条件是  $\sum_{i=1}^n d_i = 2(n-1)$ 。
8.  $T$  是  $k+1$  个顶的树， $G$  是单图， $\delta(G) \geq k$ ，则  $G$  中含有与  $T$  同构的子图。
9. 烷烃的分子式为  $C_m H_n$ ，碳原子四价，氢原子一价，且价键不成回路，则对每个自然数  $m$ ，仅当  $n = 2m + 2$  时， $C_m H_n$  才可能存在。
10. 求  $\tau(K_{n,n})$ 。
11. 轮是圈加一个新顶（轮心），再把每顶与新顶连上一条

12.  $e \in E(K_v)$ , 则  $\tau(K_v - e) = (v-2)v^{v-3}$ .
13. 画出带权 0.1, 0.2, 0.3, 0.4 的 Huffman 树.
14. 画出带权 0.2, 0.18, 0.12, 0.1, 0.1, 0.08, 0.06, 0.06, 0.06, 0.04 的 Huffman 树.
15. 构造与括号列

13. 画出带权 0.1, 0.2, 0.3, 0.4 的 Huffman 树.

14. 画出带权 0.2, 0.18, 0.12, 0.1, 0.1, 0.08, 0.06, 0.06, 0.04 的 Huffman 树.

### 15. 构作与括号列

$$((\langle \rangle)(\langle \rangle)(\langle \rangle))((\langle \rangle)(\langle \rangle)(\langle \rangle))$$

相应的有序林、有序二元树和通过“先入后出”存储器的排列。

16.  $b_n$  表示有序二元树的数目, 令  $b_0 = 1$ , 且定义

$$B(x) = b_0 + b_1x + b_2x^2 + \dots$$

(a) 证明:  $b_n = b_0 b_{n-1} + \cdots + b_{n-1} b_0$ ;

(b) 证明:  $xB^2(x) - B(x) + 1 = 0$ .

(c) 用公式  $(1+a)^{1/2} = 1 + \frac{1}{2}a + \frac{\frac{1}{2}(\frac{1}{2}-1)}{2!}a^2 + \dots$

### 证明

$$b_n = \frac{1}{n+1} C_{2n}^n = c(n).$$

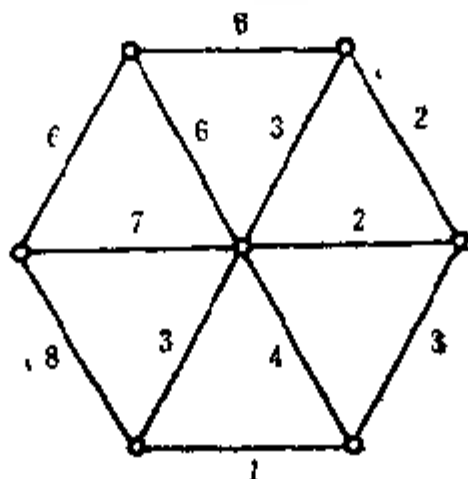
17. Kruskal 算法能否用来:

(a) 在加权连通图中求最大权的树?

(b) 在不连通图中求最小权生成林?

如果能，怎么求？写出算法来，并指出其时间复杂度。

18. 求图 2.11 的最优树:



**2.11**

19.  $v > 2$  的连通图中至少有两个顶, 把它们删除后, 所得的图仍连通.

20. 连通图中或有一个一次顶或有一条边, 把它删除后所得的图仍连通.

21. 连通图有  $n$  个顶, 至少有  $n-1$  条边.

22.  $\tau(K_n) = ?$  其中不同构的生成树有几个?

23. 若  $G$  的边数不少于顶数, 则  $G$  中有删.

24. 乒乓球单打比赛采用淘汰制, 有  $n$  名选手参加比赛, 要决出冠军, 共需几场比赛?

25. 在坐标纸上有 11 条水平线和 11 条竖直线, 以它们的交点为顶点构成一个图, 这些直线上的线段为边, 问去掉多少条边, 才能使每顶次数小于 4? 至多可以去掉几条边, 还能使图连通?

26. 对于无向树  $T$ , 可以有几种定向方式使其成为外向树?

27.  $H$  是把图  $G$  的每条边用长  $k$  的轨代替后得到的图, 则

$$\tau(H) = k^{v-1} \tau(G).$$

28. 有若干个点, 各对点间的距离互不相等, 从每个点到离本身最近的点画上直线段, 求证不会出现封闭多边形.

29. 每个树皆二分图, 什么树是完全二分图? 试加以证明.

30.  $T$  是  $n(n \geq 3)$  顶树,  $d(T) = 2$  当且仅当  $T \simeq K_{1, n-1}$ .

31. 证明或反驳:

(1)  $d(G) = 2$ , 则  $G$  有生成星.

(2)  $G$  有生成星, 则  $d(G) = 2$ .

32. 连通图  $G$  中有一个删  $C$ ,  $C$  长为  $s$ , 且  $C$  上的边权皆取最小值, 则  $G$  中至少有  $s$  个不同的最优树.

### 3 连通性

#### 3.1 连通性和 Whitney 定理

图 3.1 中  $G_1, G_2, G_3, G_4$  都是连通图, 但是连通的程度很不一样.  $G_1$  是树, 删除任意一条边就不连通了;  $G_2$  删除一边后仍连通, 但它有一个顶  $v_0, G_2 - v_0$  不连通;  $G_3$  只删除一条边或一个顶后仍连通; 而  $G_4 = K_5$ , 删除三个顶或三条边都不能使其破碎. 为精确刻画连通的程度, 我们引入两个量: 边连通度和顶连通度.

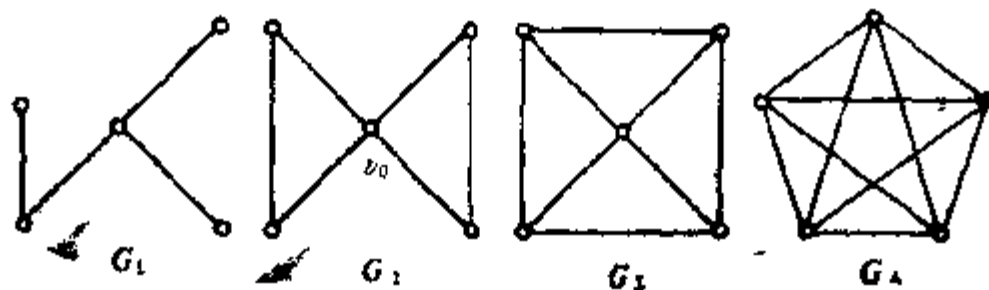


图 3.1

**定义 1**  $V' \subset V(G)$ ,  $G[V(G) - V']$  不连通, 而  $G$  是连通图, 则称  $V'$  是  $G$  的顶割分集. 最小顶割分集中顶的个数, 记成  $\kappa(G)$ , 叫做  $G$  的连通度; 规定  $\kappa(K_n) = n - 1$ ,  $\kappa(\text{不连通图}) = \kappa(\text{平凡图}) = 0$ . 由一个顶组成的顶割分集叫做割顶. 没有割顶的割叫做块,  $G$  中成块的极大子图叫做  $G$  的块.

例如 图 3.1 中  $\kappa(G_1) = 1$ ,  $\kappa(G_2) = 1$ ,  $\kappa(G_3) = 3$ ,  $\kappa(G_4) = 5 - 1 = 4$ ;  $G_1$  与  $G_2$  是块,  $G_2$  中有两个三角形块,  $G_1$  中有四个块, 它们都是  $K_2$  形的;

**定义 2**  $E' \subseteq E(G)$ ,  $G$  为连通图, 而  $G - E'$  (从  $G$  中删除  $E'$  中的边) 不连通, 则称  $E'$  为  $G$  的边割分集, 若  $G$  中已无边



剖分集  $E'$ , 使得  $|E'| < |E|$ , 则称  $|E'|$  为  $G$  的边连集集, 记成  $\kappa'(G)$ .  $|E'| = 1$  时,  $E'$  中的边叫做桥. 规定  $\kappa'$  (不连集图)  $= 0$ ,  $\kappa'(K_n) = n - 1$ .

图 3.1 中,  $\kappa'(G_1) = 1$ ,  $\kappa'(G_2) = 2$ ,  $\kappa'(G_3) = 3$ ,  $\kappa'(G_4) = 5 - 1 = 4$ .  $G_2, G_3, G_4$  中无桥, 而  $G_1$  每一边都是桥.

**定义 3**  $\kappa(G) \geq k$  时,  $G$  叫做  $k$  连通图;  $\kappa'(G) \geq k$  时,  $G$  称为  $k$  边连通图.

图 3.1 中,  $G_1$  是 1 连通图, 也是 1 边连通图;  $G_2$  是 1 连通图, 2 边连通图, 当然也是 1 边连通图;  $G_3$  是 3 连通图, 当然也是 1、2 连通图,  $G_3$  是 3 边连通图, 当然也是 1、2 边连通图;  $G_4$  是 4 连通图, 当然也是 1、2、3 连通图,  $G_4$  是 4 边连通图, 当然也是 1、2、3 边连通图.

$k$  连通图, 当  $k > 1$  时, 也是  $k - 1$  连通图.

$k$  边连通图, 当  $k > 1$  时, 也是  $k - 1$  边连通图.

**定理 1**  $\kappa(G) \leq \kappa'(G) \leq \delta$ .

**证** 设  $d(v) = \delta$ , 则删除与  $v$  关联的  $\delta$  条边后,  $G$  变成不连通图, 所以这  $\delta$  条边形成一个边剖分集, 故最小边剖分集边数不超过  $\delta$ , 即  $\kappa'(G) \leq \delta$ . 下证  $\kappa \leq \kappa'$ . 分情形讨论之.

若  $G$  中有桥  $e = uv$ , 则  $\kappa' = 1$ , 这时  $u$  或  $v$  是割顶 或  $G = K_2$ ,  $\kappa = 1$ .

若  $G$  中无桥, 则有  $\kappa' \geq 2$  条边, 移去它们之后,  $G$  变成不连通图. 于是删除这  $\kappa'$  条中的  $\kappa' - 1$  条后,  $G$  变成有桥的图. 设此桥为  $e = uv$ , 我们对于上述  $\kappa' - 1$  条删去的每条边上, 选取一个端点, 删除这些 (不超过  $\kappa' - 1$  个) 端点, 若  $G$  变得不连通, 则  $\kappa \leq \kappa' - 1$ ; 若仍连通, 则再删去  $u$  或  $v$ , 即可使  $G$  变得不连通, 于是  $\kappa \leq \kappa'$ . 证毕.

**定理 2** (Whitney, 1932)  $v \geq 3$  的图是 2 连通的充要条件是任二顶共要 (在一个通上).

**证** 若任二顶共要, 任删除一个顶  $w$  后, 得图  $G - w$ . 任取

两顶  $u, v \in V(G-w)$ ,  $u, v$  在  $G$  中共存于某圈  $C$  上, 若  $w$  不在  $C$  上, 则  $G-w$  中仍有圈  $C$ , 即  $u$  与  $v$  在  $G-w$  中仍连通; 若  $w$  在  $C$  上, 在  $G-w$  中  $u$  与  $v$  在轨  $C-w$  上, 故  $u$  与  $v$  仍连通. 由  $u$  与  $v$  之任意性,  $G-w$  是连通图. 故  $\kappa(G) \geq 2$ , 即  $G$  是连通图.

反之, 若  $G$  是 2 连通图,  $v \geq 3$ , 任取  $u, v \in V(G)$ , 用对  $d(u, v)$  的归纳法证明  $u$  与  $v$  之间有两条无公共内顶的轨 (图 3.2).

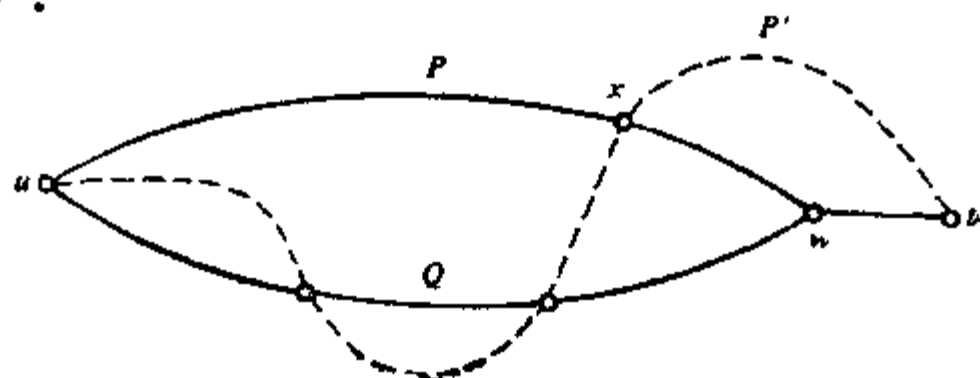


图 3.2

当  $d(u, v) = 1$  时, 因  $1 \leq \kappa' \leq \delta$ , 故  $\kappa' \geq 2$ ,  $uv$  边不是桥,  $G-uv$  仍连通, 于是  $G-uv$  中存在从  $u$  到  $v$  的轨  $P_1(u, v)$ , 这样从  $u$  到  $v$  有两条无公共内顶的轨  $P_1(u, v)$  与边  $uv$ .

假设  $d(u, v) < k$  时 ( $k \geq 2$ ), 结论已成立, 考虑  $d(u, v) = k$  的情形. 令  $P_0(u, v)$  之长为  $k$ ,  $w$  是  $P_0(u, v)$  上与  $v$  相邻的顶, 则  $d(u, w) = k-1$ , 由归纳法假设, 在  $u, w$  之间有两条无公共内顶的轨  $P$  与  $Q$ , 因  $G$  是 2 连通图, 故  $G-w$  仍连通. 在  $G-w$  中存在轨  $P'(u, v) \neq P_0(u, v)$ , 令  $x$  是  $P \cup Q$  上  $P'$  的最后一个顶. 因  $u \in P \cup Q$ , 故  $x$  存在 (可能  $x = u$ ). 不妨设  $x \in V(P)$ , 则  $G$  有两个  $u, v$  之间无公共内顶的轨: 一个是  $P$  上从  $u$  到  $x$  段并在  $P'$  上从  $x$  到  $v$  段; 一个是  $Q + wv$ . 证毕.

### 3.2 割顶、桥、块

割顶、桥和块是一个图中的关键部位,对其特征要有较为全面的认识。

**定理 3**  $v$  是连通图的一个顶点,则下述命题等价:

- (1)  $v$  是割顶.
- (2) 存在与  $v$  不同的两个顶  $u, w$ , 使得  $v$  在每一条由  $u$  到  $w$  的轨上.
- (3) 存在  $V - \{v\}$  的一个划分  $V - \{v\} = U \cup W$ ,  $U \cap W = \emptyset$ , 使得  $\forall u \in U, \forall w \in W, v$  在每一条由  $u$  到  $w$  的轨上.

**证** (1)  $\Rightarrow$  (3) 因  $v$  是割顶,  $G - v$  不连通, 至少两个连通片, 设  $U$  是一个连通片的顶集, 令  $W = V(G) - (U \cup \{v\})$ . 于是任意二顶  $u, w (u \in U, w \in W)$  分别属于  $G - v$  的不同的连通片. 这时  $G$  中从  $u$  到  $w$  的一切轨含  $v$ , 不然, 若  $G$  中的轨  $P(u, w)$  不含  $v$ , 在  $G - v$  中仍有  $P(u, w)$ , 与  $u, w$  分属于不同的连通片矛盾.

(3)  $\Rightarrow$  (2) 不足道, (2) 只是 (3) 的特殊情形.

(2)  $\Rightarrow$  (1) 若  $v$  在  $u$  到  $w$  的每一条轨上, 则  $G - v$  中已不存在从  $u$  到  $w$  的轨,  $G - v$  不连通, 故  $v$  为  $G$  的割顶. 证毕.

**定理 4**  $x$  是  $G$  的一边,  $G$  是连通图, 则下述各命题等价:

- (1)  $x$  是  $G$  的桥.
- (2)  $x$  不在  $G$  的任一圈上.
- (3) 存在顶  $u, v \in V(G)$ , 使得  $x$  在每一个从  $u$  到  $v$  的轨上.
- (4) 存在  $V(G)$  的划分  $U$  与  $W$ , 使得任二顶  $u, w, u \in U, w \in W$  时,  $x$  在每条从  $u$  到  $w$  的轨上.

**证** (1)  $\Rightarrow$  (2) 设  $x$  是桥, 若  $x$  在  $G$  的一个圈  $C$  上, 则  $G - x$  仍连通, 这是不可能的.

(2)  $\Rightarrow$  (1)  $x$  不在任何圈上, 若  $x$  不是桥, 则  $G - x$  仍连通.  $G - x$  中  $x$  的两个端点间有轨  $P$ , 于是在  $G$  中  $P$  与  $x$  并成一

个圈，与 $x$ 不在圈上矛盾，故 $x$ 是桥。

(1)  $\Rightarrow$  (4)  $x$ 是桥，则 $G-x$ 不连通，设 $U$ 是 $G-x$ 的一个连通片的顶集， $W$ 是 $G-x$ 中其它顶所成之集合，于是任二顶 $u, w (u \in U, w \in W)$ 分属于 $G-x$ 的两个连通片。在 $G$ 中，从 $u$ 到 $w$ 的一切轨上皆含 $x$ ，不然，若 $G$ 中之轨 $P(u, w)$ 不含 $x$ ，在 $G-x$ 中仍有 $P(u, w)$ ，与 $u, w$ 分属 $G-x$ 的两个连通片相违。

(4)  $\Rightarrow$  (3) 不足道。

(3)  $\Rightarrow$  (1) 因为 $x$ 在每条从 $u$ 到 $v$ 的轨上，故 $G-x$ 中， $u$ 与 $v$ 之间不存在轨，即 $x$ 是桥。证毕。

**定理 5**  $G$ 连通， $v \geq 3$ ，则下列命题等价：

- (1)  $G$ 是块。
- (2)  $G$ 的任二顶共圈。
- (3)  $G$ 的任一顶与任一边共圈。
- (4)  $G$ 的任二边共圈。
- (5) 任给 $G$ 的二顶及一边，存在连接此二顶含此边之轨。
- (6) 对 $G$ 的三个不同的顶，存在一轨，连接其中两个顶，含第三个顶。
- (7) 对 $G$ 的三个不同的顶，存在一轨，连接其中两个顶，不含第三个顶。

证 (1)  $\Leftrightarrow$  (2) 见定理 2。

(2)  $\Rightarrow$  (3) 只需考虑 $u$ 为 $G$ 的任给的一个顶， $vw$ 是 $G$ 中任给定的一条边，且 $u \neq v, u \neq w$ 的情形。设 $C$ 是含 $u$ 与 $v$ 的圈，若 $w$ 在 $C$ 上，则 $C$ 上含 $u$ 的轨 $P(v, w)$ 与边 $vw$ 形成一个圈，它含 $u$ 及边 $vw$ 。若 $w$ 不在 $C$ 上，因 $v$ 不是割顶，由定理 3，存在不含 $v$ 的轨 $P(w, u)$ 。令 $u'$ 是 $P(w, u)$ 与 $C$ 从 $w$ 沿 $P(w, u)$ 看来的第一个公共顶，则由边 $vw, P(w, u)$ 上 $w$ 到 $u'$ 段，以及 $C$ 上含 $u$ 的轨 $P'(u', v)$ 并成一个圈，此圈满足(3)的要求。

(3)  $\Rightarrow$  (4) 与(2)  $\Rightarrow$  (3)类似地证明。

(4)  $\Rightarrow$  (5) 已知任二边共圈, 设  $u, v$  是  $G$  上任给定的两个顶,  $x$  是任给定的一条边, 只考虑  $x$  与  $u, v$  皆不相关联的情形. 由任二边共圈显然有任二顶共圈, 于是由于 (2)  $\Rightarrow$  (3) 知  $u$  与  $x$  共圈, 设此圈是  $C_1$ ; 同理  $v$  与  $x$  共圈, 设此圈是  $C_2$ ; 若  $v \in C_1$  或  $u \in C_2$ , 则 (5) 成立; 若  $u \notin C_2$ , 且  $v \notin C_1$ , 则如下构造含  $x$  之轨  $P(u, v)$ : 从  $u$  出发沿  $C_1$  到达  $C_1$  与  $C_2$  上第一个公共顶  $w$ , 再从  $w$  出发沿  $C_2$  含  $x$  的部分到达  $v$ .

(5)  $\Rightarrow$  (6) 设  $u, v, w$  是  $G$  的三个顶, 且与  $u$  相关联的一条边为  $x$ , 由 (5), 存在轨  $P(u, v)$ ,  $x$  在  $P(u, v)$  上, 于是  $w$  在  $P(u, v)$  上.

(6)  $\Rightarrow$  (7)  $u, v, w \in V(G)$ , 由 (6), 存在轨  $P(u, w)$ ,  $P(u, w)$  含顶  $v$ , 则  $P(u, w)$  的从  $u$  到  $v$  的一段不含  $w$ .

(7)  $\Rightarrow$  (1) 由 (7), 对任给定的二顶  $u$  与  $v$ , 不存在这样的顶, 它在从  $u$  到  $v$  的每一轨上, 由定理 3,  $G$  无割顶, 故  $G$  是块. 证毕.

### 3.3 可靠通讯网的构造

我们要构造一个有线通讯网, 使得敌人炸坏我几个通讯站后, 其余的通讯站仍然可以彼此通话. 显然, 有两个要求是必要的: 一是不怕被敌人炸坏的站的数目要多, 一是整个造价要小. 这个实际问题的数学模型如下:

$G$  是加权连通图,  $k$  是给定的自然数, 求  $G$  的有最小权的  $k$  连通生成子图. 当  $k=1$  时, 它就是用 Kruskal 算法求得的生成树; 当  $k>1$  时, 是尚未解决的难解问题之一.

当  $G=K_n$ , 每边权皆为 1 时, Harary 于 1962 年解决了这一问题. 下面介绍 Harary 的工作.

令  $f(m, n)$  表示  $n$  个顶的  $m$  连通图当中边数的最小值,  $m < n$ .

由  $\sum_{v \in V(G)} d(v) = 2e, 1 \leq i' \leq \delta,$

$$f(m, n) \geq \left\lceil \frac{mn}{2} \right\rceil.$$

Harary 实际构造出一个  $n$  个顶的  $m$  连通图, 它的边数恰为  $\left\lceil \frac{mn}{2} \right\rceil$  条, 且  $f(m, n) = \left\lceil \frac{mn}{2} \right\rceil$ . 此图记成  $H_{m,n}$ .

(1)  $m$  是偶数,  $m = 2r$ .  $H_{2r,n}$  以  $\{0, 1, 2, \dots, n-1\}$  为顶集合. 当  $i-r \leq j \leq i+r$  时, 在顶点  $i$  与  $j$  之间连一边, 这里加法在  $\text{mod } n$  意义下进行.

(2)  $m$  是奇数,  $m = 2r+1$ ,  $n$  是偶数. 先构造一个  $H_{2r,n}$ , 然后对  $1 \leq i \leq \frac{n}{2}$  的  $i$ , 在  $i$  与  $i + \frac{n}{2}$  间加上一条边得  $H_{2r+1,n}$ .

(3)  $m$  是奇数,  $m = 2r+1$ ,  $n$  是奇数. 先构造  $H_{2r,n}$ , 然后在顶点  $0$  与  $\frac{n-1}{2}$ ,  $0$  与  $\frac{n+1}{2}$  之间加上边, 在顶  $i$  与  $i + \frac{n+1}{2}$  间加上边, 其中  $1 \leq i \leq \frac{n-1}{2}$ , 则得到  $H_{2r+1,n}$ . 见图 3.3. (a) 是  $H_{4,8}$ ,

(b) 是  $H_{5,8}$ , (c) 是  $H_{5,9}$ .

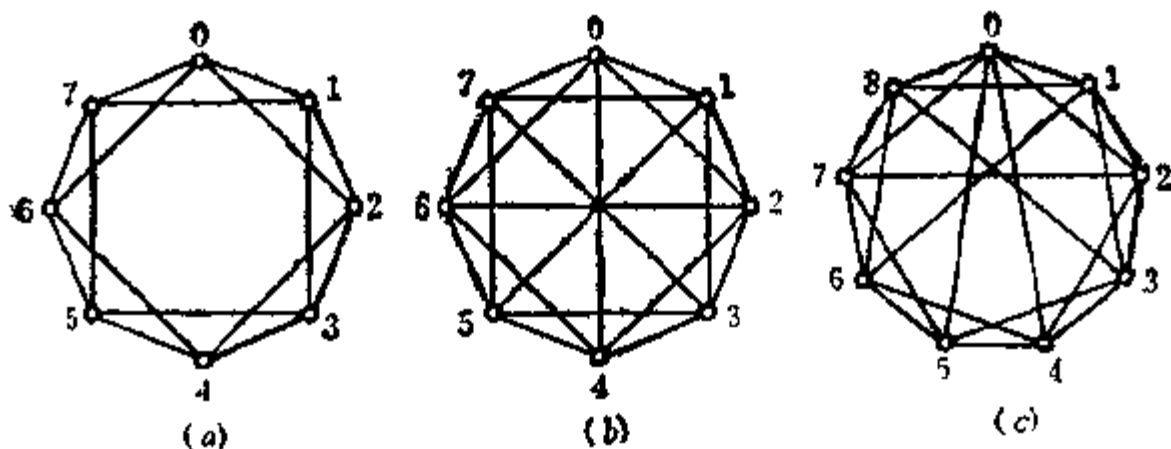


图 3.3

**定理 6**  $H_{m,n}$  是  $m$  连通图, 且边数最少.

**证**  $m = 2r$  时, 我们来证明  $H_{2r, 2r}$ , 设有少于  $2r$  个顶组成的顶剖分集。若  $V'$  是一个顶剖分集, 且  $|V'| < 2r$ , 又设  $i$  与  $j$  两个顶分别属于  $H_{2r, 2r} - V'$  的不同连通片, 令

$$S = \{i, i+1, \dots, j-1, j\},$$

$$T = \{j, j+1, \dots, i-1, i\},$$

其中加法在  $\text{mod } n$  下执行 因为  $|V'| < 2r$ , 不失一般性, 设  $|V' \cap S| < r$ , 则显然存在  $S - V'$  中的序列, 从  $i$  始至  $j$  终, 使得序列中连续二顶号码之差的绝对值最大是  $r$ 。但这样的序列中相邻顶之间由 (1) 知存在边, 即在  $H_{2r, 2r} - V'$  中有轨  $P(i, j)$ , 与  $i, j$  分居于  $H_{2r, 2r} - V'$  的两个连通片中相矛盾, 故  $H_{2r, 2r}$  是  $2r$  连通的。

相似地可以证明  $m = 2r + 1$  时,  $H_{2r+1, 2r+1}$  是  $2r + 1$  连通的。由于

$$f(m, n) \geq \left\lfloor \frac{mn}{2} \right\rfloor, \quad \varepsilon(H_{n, n}) = \left\lfloor \frac{mn}{2} \right\rfloor,$$

而  $H_{n, n}$  是  $n$  顶  $m$  连通图, 故有

$$f(m, n) \leq \left\lfloor \frac{mn}{2} \right\rfloor,$$

从而得

$$\varepsilon(H_{n, n}) = f(m, n) = \left\lfloor \frac{mn}{2} \right\rfloor.$$

**证毕。**

由于  $\kappa \leq \kappa'$ , 故  $H_{n, n}$  也是  $m$  边连通图。若用  $g(m, n)$  表示  $n$  个顶  $m$  边连通图中的最少边数, 则对于  $1 < m < n$ ,  $g(m, n) = \left\lfloor \frac{mn}{2} \right\rfloor$ 。

图的连通性是实际问题与理论问题当中都十分关心的重要概念之一。后面我们还要讲有向图的连通性并给出求  $\kappa$  与  $\kappa'$  的有

效算法和连通性的 Menger 型定理。本章要求我们掌握  $\kappa$  与  $\kappa'$  的定义,  $k$  连通与  $k$  边连通图的定义, 以及割顶、桥、块的特征。关于割顶、桥、块的有效算法, 我们后面有机会学习。

## 习 题

1.  $G$  是  $k$  边连通图,  $E'$  是  $G$  的  $k$  条边的集合, 则  $\omega(G - E') \leq 2$ .

2. 给出一个  $k$  连通图  $G$  及  $G$  的  $k$  个顶的集合  $V'$ , 使得  $\nu(G - V') > 2$ .

3.  $G$  是单图,  $\delta \geq \nu - 2$ , 则  $\kappa(G) = \delta$ .

4. 找一个单图  $G$ , 满足  $\delta = \nu - 3, \kappa(G) < \delta$ .

5.  $G$  是单图,  $\delta \geq \frac{\nu}{2}$ , 则  $\kappa'(G) = \delta$ .

6.  $G$  是单图.  $\delta \geq \frac{1}{2}(\nu + k - 2)$ , 则  $G$  是  $k$  连通的.

7.  $\kappa(\text{妖怪}) = \kappa'(\text{妖怪})$ .

8. 若  $1 \leq m \leq n$ , 则存在单图, 满足  $\kappa = 1, \kappa' = m, \delta = n$ .

9.  $G$  为 2 边连通图的充要条件是任二顶之间至少有两条无公共边的轨相连通.

10.  $P$  是 2 连通图中  $u$  与  $v$  两顶之间的轨, 是否一定有另一条与  $P$  无公共内顶的轨  $P_1(u, v)$ ?

11. 若  $G$  不含偶圈和孤立顶, 则  $G$  的块或是  $K_2$  或是奇圈.

12. 一个不是块的连通图中至少存在两个块, 它们仅含  $G$  的一个割顶.

13.  $b(v)$  表示  $G$  中含顶  $v$  的块的数目, 则  $G$  的块数为  $\omega + \sum_{v \in V(G)} (b(v) - 1)$ .

14.  $G$  是 2 连通图,  $X$  与  $Y$  是  $V$  中不相交子集, 且每个之中至少含两个顶, 则  $G$  中含两条无公共内顶的轨  $P$  与  $Q$ , 使得:



(1)  $P$  与  $Q$  之起点皆属于  $X$ ; (2)  $P$  与  $Q$  之终点皆属于  $Y$ ; (3)  $P$  与  $Q$  的内点皆不属于  $X \cup Y$ .

15.  $\forall e \in E(G)$ , 则  $\kappa(G - e) < \kappa(G)$ , 则称  $G$  是  $\kappa$  临界图.

(a) 每个  $\kappa$  临界 2 连通图有一个二次顶.

(b)  $G$  是  $\kappa$  临界 2 连通图,  $v \geq 4$ , 则  $\kappa \leq 2v - 4$ .

16.  $H_{2r+1, n}$  是  $2r+1$  连通图.

17.  $\kappa(H_{m, n}) = \kappa'(H_{m, n}) = m$ .

18. 树  $T$  上  $v$  是割顶, 则  $d(v) > 1$ .

19. 只有两个顶不是割顶的连通图是轨.

20.  $G$  中每顶皆偶次, 则  $G$  中无桥.

21.  $G$  是  $k$  次正则 2 分图,  $k \geq 2$ , 则  $G$  无桥.

22.  $G$  是连通图,  $v \geq 3$ .

(a) 若  $G$  有桥, 则  $\exists v \in V(G)$ , 使得  $\omega(G - v) > \omega(G)$ .

(b) (a) 之逆未必正确.

23. 画出  $H_{1, n}$ ,  $H_{2, n}$ .

24.  $G'$  是  $G$  的真子图,  $G$  连通, 则  $\exists e \in E(G)$ ,  $e \notin E(G')$ , 但  $e$  的一端在  $G'$  上.

25. 三次正则图有一个割顶, 当且仅当它有一条桥.

26. 证明: 有桥三次正则图至少 10 个顶.

## 4 可 行 遍 性

### 4.1 Euler 图

本节把七桥问题引出的图论问题系统地讲一讲。

**定义 1** 图中含每一条边的行迹叫做 Euler 行迹；闭的 Euler 行迹叫做 Euler 回路；含 Euler 回路的图叫做 Euler 图。

直观地讲，欧拉图就是从一顶出发每条边恰通过一次又能回到出发顶点的那种图，即不重复地行遍所有的边再回到出发点。

下面给出 Euler 图的特征性描述。

**定理 1**  $G$  是连通图时，下面三个命题等价：

- (1)  $G$  是 Euler 图。
- (2)  $G$  的每顶皆偶次。

$$(3) G = \bigcup_{i=1}^d C_i, C_i \text{ 是圈, 且 } E(C_i) \cap E(C_j) = \emptyset (i \neq j).$$

**证** (1)  $\Rightarrow$  (2) 已知  $G$  是 Euler 图，设  $W$  是  $G$  中的 Euler 回路， $\forall v \in V(G)$ ，则  $v$  必在  $W$  上出现。设  $v$  出现了  $k$  次，则显然  $d(v) = 2k$ ，即  $v$  是偶次的。由  $v$  之任意性，(2) 成立。

(2)  $\Rightarrow$  (3) 已知  $G$  是每顶皆偶次的连通图，而非平凡树至少两个叶，故  $G$  不是树， $G$  内可以找到一个圈  $C_1$ ，把  $C_1$  上的边从  $G$  上删除，得新图  $G_1$ ，若  $G_1$  每顶皆零次，则  $G = C_1$ ，

(3) 成立，不然， $G_1$  中必有一个连通片每顶皆偶次，于是  $G_1$  中有圈  $C_2$ ，把  $C_2$  的边从  $G_1$  中删除，得一新图  $G_2$ ，依此类推，

进行有限次之后，得到无边图  $G_d$ 。于是， $G = \bigcup_{i=1}^d C_i$ ， $C_i$  是  $G$  中

之圈, 且  $E(C_i) \cap E(C_j) = \emptyset, i \neq j, 1 \leq i, j \leq d$ .

(3)  $\Rightarrow$  (1)  $d=1$  时,  $G$  显然是 Euler 图;  $d \geq 2$  时, 由于  $G$  连通, 可以找到两个圈, 不妨设其为  $C_1, \dots, C_1, C_2$  有公共顶  $v_0$ , 令  $C_{1,2} = C_1 \cup C_2$ , 则  $C_{1,2}$  是闭行迹. 又由  $G$  连通, 还可找到一个圈, 不妨设为  $C_3$ , 使  $C_3$  与  $C_{1,2}$  有公共顶. 于是

$C_{1,2,3} = \bigcup_{i=1}^3 C_i$  也是闭行迹. 如此下去, 得证  $G = \bigcup_{i=1}^d C_i$  是闭行迹, 故  $G$  是 Euler 图. 证毕.

**定理 2** 连通图  $G$  中有 Euler 行迹的充要条件是  $G$  中至多有两个奇次顶.

**证** 设连通图  $G$  有 Euler 行迹, 若是闭行迹, 则  $G$  是 Euler 图, 由定理 1,  $G$  中无奇次顶. 若不是闭行迹, 设  $u_0$  与  $v_0$  是此行迹的起止顶, 考虑  $G + u_0 v_0$ , 它有闭行迹, 是 Euler 图, 每顶皆偶次, 故  $G$  中只有  $u_0, v_0$  两个奇次顶.

反之, 若  $G$  中无奇次顶, 由定理 1, 它是 Euler 图, 有闭的 Euler 行迹. 若有奇次顶, 至多不超过两个奇次顶, 由于奇次顶个数是偶数, 所以恰有两个奇次顶, 设它们是  $u_0, v_0$ . 由于  $G + u_0 v_0$  是每顶皆偶的连通图, 由定理 1,  $G + u_0 v_0$  是 Euler 图, 有 Euler 回路  $C$ , 于是  $C - u_0 v_0$  即  $G$  中的 Euler 行迹. 证毕.

定理 2 为判别图形能否一笔画给出了依据.

**例 1** 下图中, 哪个可以“一笔画”?

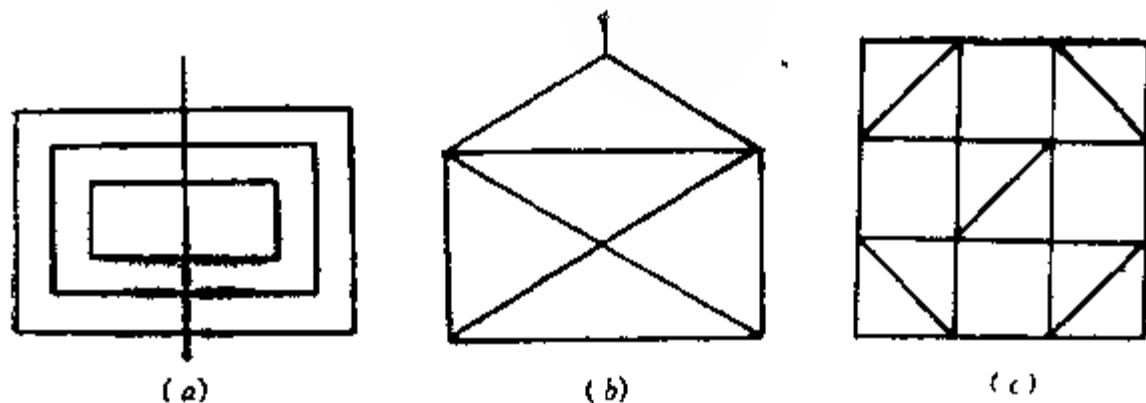


图 4.1

**解** (a)与(c)可以, (b)不可. 因为(a)中只两个奇次顶, 竖线的两个端点; (c)中只两个奇次顶, 中间小正方形上的两个五次顶; (b)中上方三角形一个顶点和下方矩形的下底边的两个顶点为三个奇次顶, 另外最上方还有一个一次顶.

### 例 2 七桥问题.

**解** 见图1.1(b), 图中有奇次顶, 所以不是 Euler 图, 不会有 Euler 回路, 即不会每桥(边)恰行过一次而回到出发点; 更有甚者, 因它的四个顶皆奇次, 由定理 2, 它亦无 Euler 行迹, 既使不要求回到出发点, 每桥恰过一次亦不可能.

**例 3** 在圆上任取  $n > 2$  个点, 把每个点用线段与其余各点连接, 能否一笔画出所有这些线段, 使第一条线段的终点与第二条线段的起点相重, 第二条线段的终点与第三条线段的起点相重, ..., 最后一条线段的终点与最初那条线段的起点相重合?

**解** 以这  $n$  个点为顶点, 以所连线段为边, 构成一个连通图; 当  $n$  为奇数时,  $G$  的每顶皆偶次, 由定理 1, 本题答案是肯定的; 当  $n$  为偶数时,  $G$  的每顶皆奇次, 由定理 1, 本题的答案是否定的.

## 4.2 中国邮路问题

一位邮递员从邮局选好邮件去投递, 然后回到邮局. 当然他必须经过他所管辖的每条街至少一次. 请为他选择一条路线, 使其所行路程尽可能地少.

这就是**中国邮路问题**的原始模型, 是我国的管梅谷教授首先提出并进行研究的.

中国邮路问题在于在连通加权图上求取含有一切边的权最小的回路, 我们称这种回路为**理想回路**. 显然, 在 Euler 图中, 每个 Euler 回路都是理想回路.

下面介绍求 Euler 图中 Euler 回路的 Fleury 算法.

**Fleury 算法:**

(1)  $\forall v_0 \in V(G)$ , 令  $W_0 = v_0$ .

(2) 设行迹  $W_i = v_0 e_1 v_1 e_2 \cdots e_i v_i$  已选定, 则从  $E - \{e_1, e_2, \dots, e_i\}$  中选取一条边  $e_{i+1}$ , 使得

(i)  $e_{i+1}$  与  $e_i$  相邻,

(ii) 除非已无选择余地,  $e_{i+1}$  不要选  $G_i = G - \{e_1, \dots, e_i\}$  的桥.

(3) 直到 (2) 不能进行为止.

**例 4** 求图 4.2 中的 Euler 回路.

**解** 取  $W_0 = v_0$ ,  $W_1 = v_0 e_1 v_1$ , 这时与  $e_1$  相邻的未取用的边只有  $e_2$ , 尽管  $e_2$  是  $G - e_1$  中的桥, 但已无其它选择的余地, 故只有取

$$W_2 = v_0 e_1 v_1 e_2 v_2.$$

至此,  $W_2$  不可选为  $v_0 e_1 v_1 e_2 v_2 e_6 v_0$ , 因为  $e_6$  是  $G - \{e_1, e_2\}$  的桥, 而这时并非无其它选择的余地, 例如可以不选  $e_6$  而选  $e_3$  或  $e_5$ , 所以可以取

$$W_3 = v_0 e_1 v_1 e_2 v_2 e_3 v_3.$$

继续执行 Fleury 算法, 得

$$W_4 = v_0 e_1 v_1 e_2 v_2 e_3 v_3 e_4 v_4,$$

$$W_5 = v_0 e_1 v_1 e_2 v_2 e_3 v_3 e_4 v_4 e_5 v_2,$$

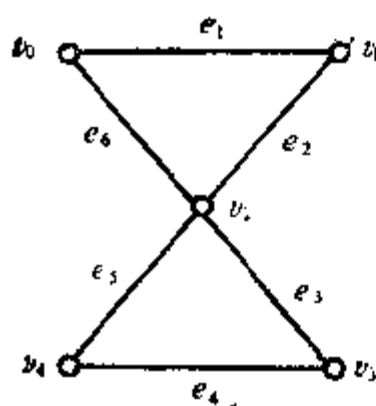


图 4.2

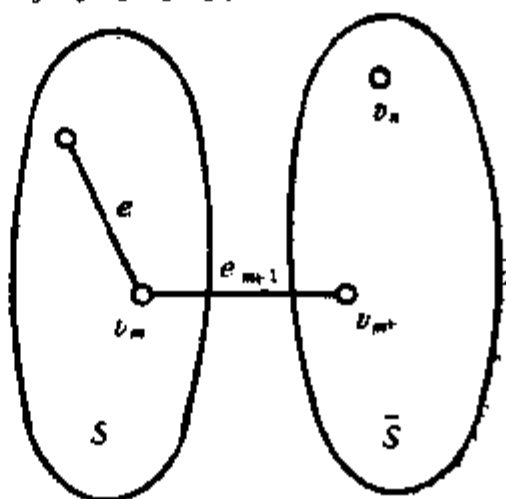


图 4.3

$$W_6 = v_0 e_1 v_1 e_2 v_2 e_3 v_3 e_4 v_4 e_5 v_2 e_6 v_0,$$

$W_6$ 即为 Euler 回路。

**定理 3** 若  $G$  是 Euler 图, Fleury 算法终止时得到的是 Euler 回路。

**证**  $G$  是 Euler 图,  $W_n = v_0 e_1 v_1 e_2 \cdots e_n v_0$  是 Fleury 算法终止时得到的行迹, 则  $v_n$  在  $G_n$  中的次数是 0. 故  $v_0 = v_n$ ,  $W_n$  是闭行迹。

若  $W_n$  不是 Euler 回路, 令  $S$  是  $G_n$  中有正次数的顶集, 则  $S \neq \emptyset$ . 但  $v_n \notin S$ , 令  $\bar{S} = V - S$ , 则  $v_n \in \bar{S}$ . 令  $m$  是  $v_n \in S$  而  $v_{n+1} \in \bar{S}$  的  $v$  的脚标的最大值, 因  $W_n$  终止于  $S$ ,  $e_{n+1}$  是  $G_n$  的桥 (图 4.3). 令  $e$  是  $G_n$  中与  $v_n$  关联的一边, 且  $e \neq e_{n+1}$ , 由算法第二步,  $e$  必为  $G_n$  的桥, 因此  $e$  也是  $G_n[S]$  的桥. 又  $G_n[S] = G_n[S]$ , 故  $G_n[S]$  中每顶皆偶次,  $G_n[S]$  无桥, 与  $e$  是  $G_n[S]$  的桥矛盾. **证毕.**

若  $G$  不是 Euler 图, 任何理想回路通过某些边多于 1 次, 例如图 4.4 中  $xuywvzw yxuvw xz yx$  是理想回路, 边  $ux$ ,  $xy$ ,  $yw$  和  $wv$  上通过了两次。

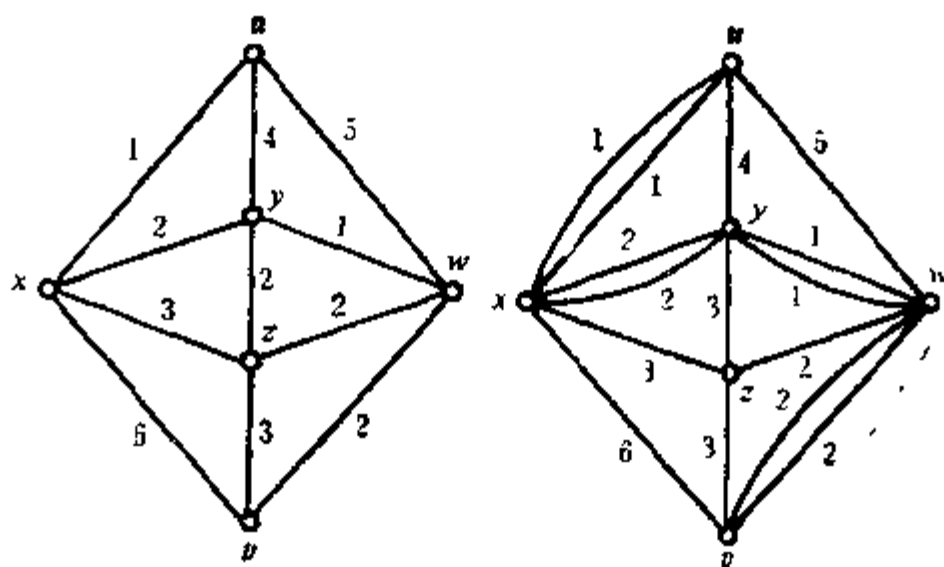


图 4.4

把边  $e$  的两端间再连上一条权亦为  $w(e)$  的新边, 则称新边

为原来那条边的倍边.  $ux, xy, yw, wv$  都有倍边. 一般中国邮路问题的数学模型是:

(i) 用倍边法由  $G$  得到  $G^*$  图, 使  $G^*$  是 Euler 图, 且

$$\sum_{e \in (E(G^*) - E(G))} w(e) = \min,$$

(ii) 在  $G^*$  中找到 Euler 回路.

上述问题已由 Edmonds 和 Johnson 于 1973 年解决.

### 4.3 Hamilton图

1859 年, 数学家 Hamilton 发明了一种周游世界的游戏, 把一个 12 面体的 20 个顶点分别标上北京、东京、华盛顿等 20 个大都市的名字, 要求玩的人从某城出发, 沿着 12 面体的棱通过每一城市恰一次, 再回到出发的那个城市. 这种游戏在欧洲曾风靡一时, Hamilton 以 25 个金币的高价把该项专利卖给了一个玩具商 (图 4.5).

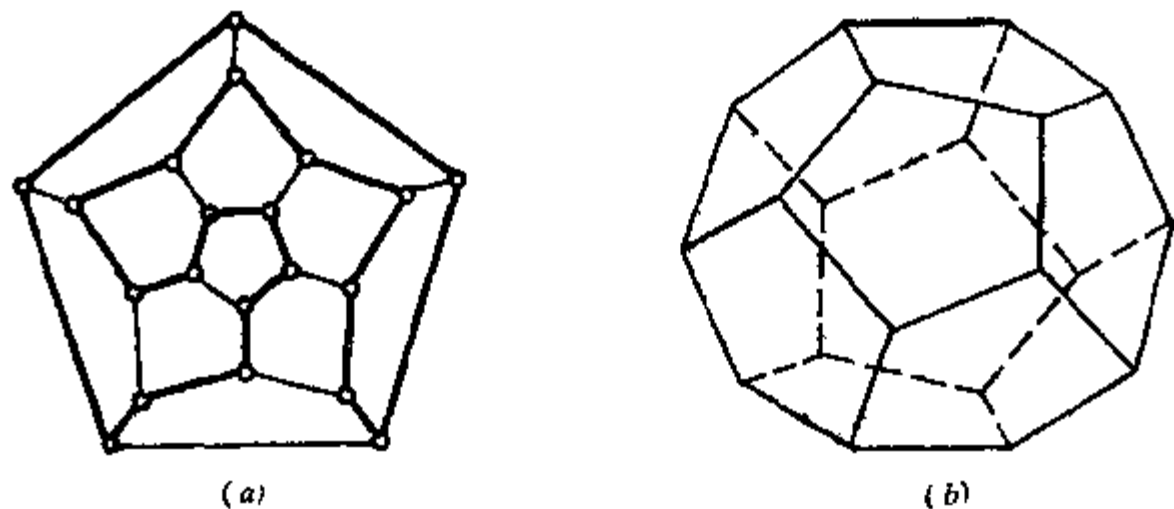


图 4.5

用图论的语言来讲, 这个游戏是让人在十二面体图上找出生成圈.

**定义 2** 含图的一切顶的轨叫 Hamilton 轨, 闭的 Hamilton

軌叫做 Hamilton 圖；有 Hamilton 圖的圖叫做 Hamilton 圖。

**例 5**  $K_n$  ( $n \geq 3$ ) 是 Hamilton 圖。而  $v = \text{Odd}$  的二分圖不是 Hamilton 圖，因為二分圖中無奇圈。圖 4.6 中的圖號稱 Herschel 圖，Herschel 圖是 11 個頂的二分圖，所以它不是 Hamilton 圖。

下面探討 Hamilton 圖的性質。和 Euler 圖不一樣，Hamilton 圖的充要條件（象樣的）至今尚未建立起來，只是分別地給了一些充分條件，另外給了一些必要條件，用這些條件來判定任意給定的圖是否是 Hamilton 圖，只能在個別情形之下才能見效。

**定理 4**  $G$  是 Hamilton 圖，  
 $\forall S \subset V, S \neq \emptyset$ ，則  $\omega(G - S) \leq |S|$ 。

**證** 設  $C$  是 Hamilton 圖，則  $\forall S \subset V, S \neq \emptyset$ ，有  
 $\omega(C - S) \leq |S|$ ，

又  $C - S$  是  $G - S$  的生成子圖，故

$$\omega(G - S) \leq \omega(C - S) \leq |S|.$$

**證畢。**

**例 6** 圖 4.7 中的圖是否 Hamilton 圖？

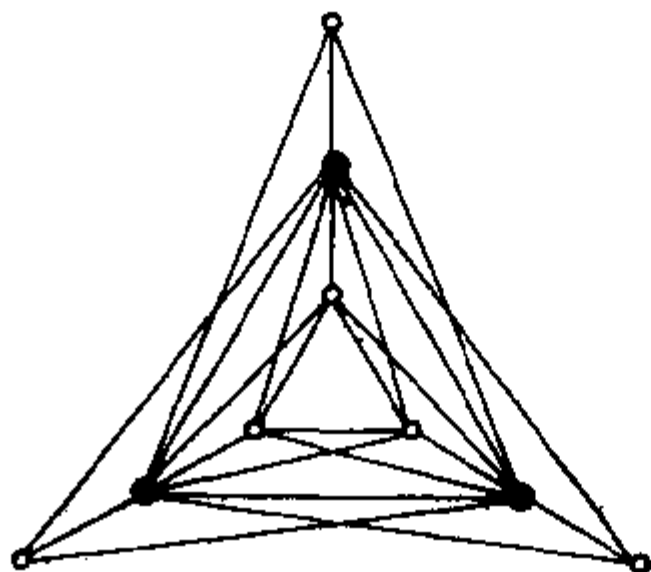


圖 4.7

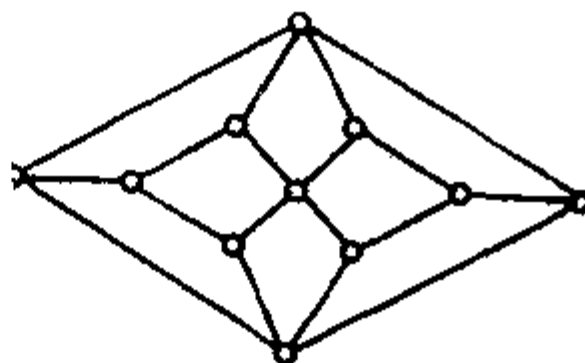


圖 4.6

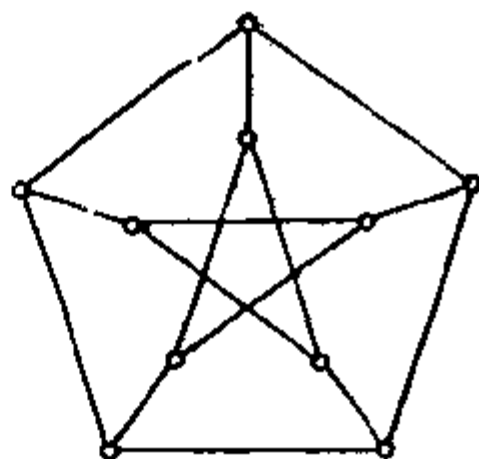


圖 4.8



**解** 不是. 三个“黑顶”删除后, 得四个连通片, 由定理4, 它不是 Hamilton 图.

注意定理4之逆不真, 例如图4.8中的 Petersen 图 (是个最小的妖怪图), 它不是 Hamilton 图, 但  $G-v$  ( $\forall v \in V(G)$ ) 则是 Hamilton 图, 可见 Petersen 图满足  $\forall S \subset V(G), S \neq \emptyset$ , 则  $\omega(G-S) \leq |S|$ .

**定理5** (Ore, 1960)  $G$  是  $v \geq 3$  的图, 且  $\forall u, v \in V(G)$ ,  $d(u) + d(v) \geq v - 1$ , 则  $G$  中有 Hamilton 轨; 若  $d(u) + d(v) \geq v$ , 则  $G$  是 Hamilton 图.

**证** 首先证明, 当  $\forall u, v \in V(G), d(u) + d(v) \geq v - 1$  时,  $G$  是连通图. 事实上, 若  $G$  不连通, 有  $\omega \geq 2$  个连通片  $G_1, G_2, \dots, G_\omega$ .  $\forall u_1 \in G_1$ , 有  $d(u_1) \leq v(G_1) - 1$ ,  $\forall u_2 \in G_2$ , 有  $d(u_2) \leq v(G_2) - 1$ , 于是  $d(u_1) + d(u_2) \leq v(G_1) + v(G_2) - 2 \leq v - 2$ , 与  $d(u_1) + d(u_2) \geq v - 1$  矛盾.

若  $\forall u, v \in V(G), d(u) + d(v) \geq v - 1$ , 而  $G$  中无 Hamilton 轨, 令  $P(v_1, v_{l+1})$  是  $G$  的最长轨, 其长为  $l < v - 1$ , 则  $v_1$  与  $v_{l+1}$  的相关联的边的另一个端点必为  $P(v_1, v_{l+1})$  上的内顶. 设  $P$  上的顶依次为  $v_1, v_2, v_3, \dots, v_{l+1}$ , 其中  $v_{l_1}, v_{l_2}, \dots, v_{l_k}$  与  $v_1$  相邻, 而  $v_{l-1}, v_{l-2}, \dots, v_{l_k-1}$  都不与  $v_{l+1}$  相邻, 则  $d(v_1) = k$ ,  $d(v_{l+1}) \leq l - k$ , 这样,  $d(v_1) + d(v_{l+1}) \leq l < v - 1$ , 与定理条件不符, 故  $G$  中出现图4.9的结构, 即有一个长  $l+1$  的圈  $C$ . 又

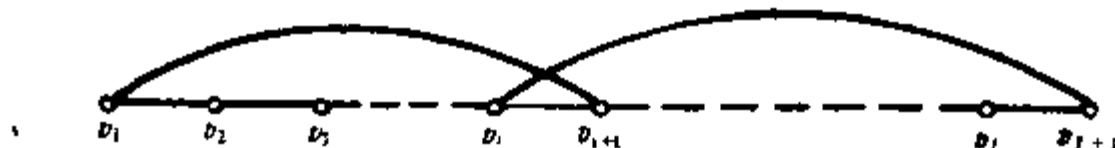


图 4.9

因  $P(v_1, v_{l+1})$  上的顶的个数  $l+1 < v$ , 故存在  $w \in V(G)$ ,  $w$  不在  $P(v_1, v_{l+1})$  上. 由  $G$  的连通性, 存在轨  $P_1(w, v_1)$ , 设  $v_{l_k}$  是从  $w$  起  $P_1(w, v_1)$  上第一个在  $C$  上的顶, 这样有一条轨起点在

$w$ , 终点在  $C$  上的比  $P(v_1, v_{i+1})$  更长的轨, 它是由  $P_1(w, v_1)$  上从  $w$  到  $v_i$  段及  $C$  上由  $v_i$  开始的长  $l$  的轨并成的. 至此得到矛盾.

定理的后半部分显然成立, 因为  $G$  中有最长轨, 长  $v-1$ , 于是与上面证明同理, 在此长  $v-1$  的轨上出现图 4.9 式的结构, 即有一个长  $v$  的圈, 证毕.

值得注意的是, 这个定理之逆不真, 例如  $G$  是一个 5 阶圈,  $\forall u, v \in G, d(u) + d(v) = 4 < 5 = v$ , 定理 5 的条件不满足, 但  $G$  仍然是 Hamilton 图.

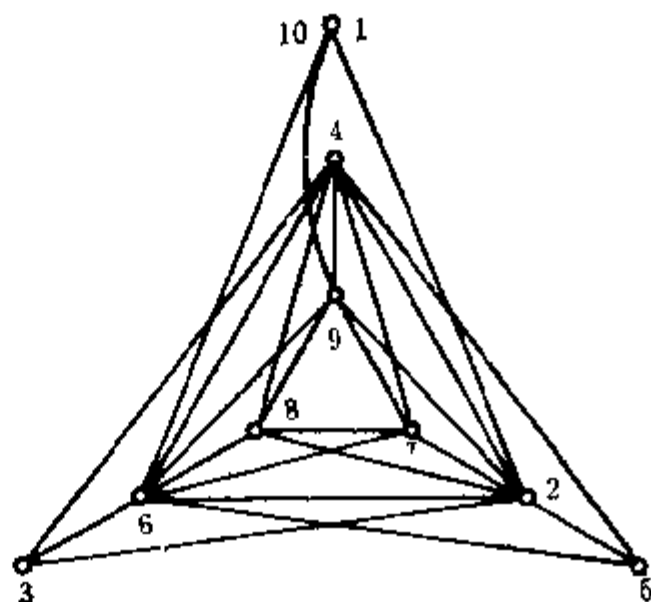


图 4.10

**例 7** 图 4.10 是例 6 中图 4.7 稍加改变后得到的, 它是 Hamilton 图, Hamilton 圈是 1 2 3 4 5 6 7 8 9 1, 但  $d(3) + d(5) = 6 < 9 = v$ . 这种 Hamilton 图不能用 Ore 定理来判定.

**例 8** 若围圆桌至少坐着五个人, 那么一定可以调整他们的座位, 使得每个人两侧都挨着新邻居.

**证** 若恰好是五个人, 设原来座次是  $ABCDEA$ , 可以调成  $ADBCEA$ .

若超过了五个人, 以人为顶, 仅当两人原来不邻座时, 在比相应的二顶之间连一条边, 得一个图  $G$ . 由于每个顶都是  $|V(G)|-3$  次的, 于是任二顶次数之和为  $2v-6$ , 又  $v > 5$ , 故  $2v-6 \geq v$ , 由定理 5,  $G$  是 Hamilton 图, 按  $G$  的 Hamilton 圈的次序请各位入席即可. 证毕.

**例 9** 一个有限集合的全部子集可以这样排序, 使任何相邻的集合相差一个元素.

**证** 设此集合为  $A$ ,  $|A| = n$ , 我们把  $A$  的每个子集用有序的  $n$  个 0-1 数码来表示, 不妨设  $A = \{1, 2, 3, \dots, n\}$ , 一个子集中含有  $i$  时, 在第  $i$  位上写 1, 否则在第  $i$  位上写 0. 全部子集共计  $2^n$  个, 以这  $2^n$  个子集相应的  $n$  个分量的 0-1 编码为顶, 仅当两个编码仅有一个同位数码相异时, 在此二顶之间连一边, 得到一个图, 此图是  **$n$  维立方体**.  $n$  维立方体是由两个  $n-1$  维立方体之间顶标一致的两个顶加上边构成的, 于是用数学归纳法极易证明例 9. **证毕**

(图 4.11 和图 4.12, 实线表示 Hamilton 圈).

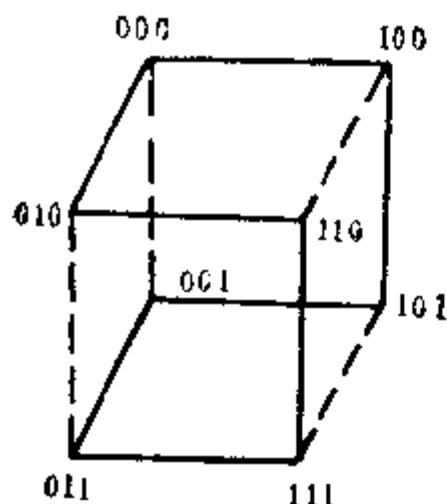


图 4.11

下面研究棋盘上的所谓马图. 我们把下面的图叫做“**马图**”: 以方格棋盘上的小方格为顶, 当且仅当一格能以马的一步跳到另一格时, 此二格所代表的顶之间连一边.

**例 10**  $4 \times 4$  的棋盘上的马图是否 Hamilton 图? 即马从任一方格出发, 每个格恰跳到一次, 再回到出发的那个方格, 是否可能?

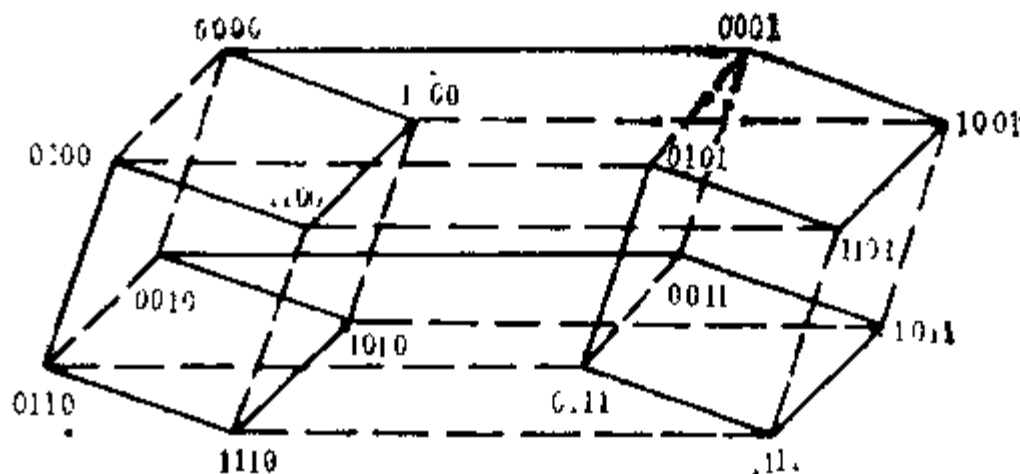


图 4.12

**解** 见图 4.13, 4 个  $c$  号顶形成一个 4 阶圈; 4 个  $d$  号顶形成

一个4阶圈；4个 $a$ 号顶是2次顶，每个 $a$ 顶仅与两个 $b$ 顶相邻。于是把四个 $b$ 顶删除后，得六个连通片：一个 $c$ 号4阶圈，一个 $d$ 号4阶圈，四个孤立顶 $a$ ；而原来的马图是连通的：每个 $b$ 与一个 $c$ 一个 $d$ 相邻，而每个 $a$ 顶与两个 $b$ 顶相邻。由定理4知， $4 \times 4$ 的马图不是Hamilton图，即马从任何方格出发也不能每格恰跳到一次又回到出发的方格。

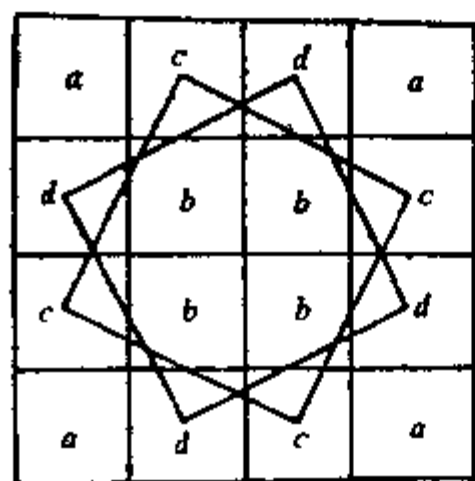


图 4.13

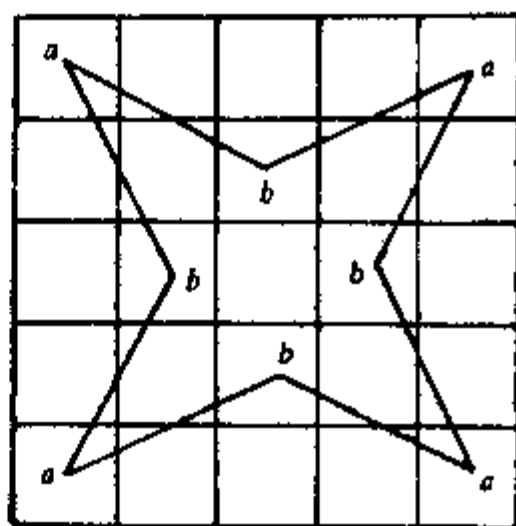


图 4.14

**例 11** 对  $5 \times 5$  的马图，讨论例 10 中的问题。

**解** 见图 4.14，因为图上的 $a$ 号顶是2次的，它们已经在—个8阶圈上，所以这4个 $a$ 顶不会与其余的21个顶形成Hamilton圈， $G$ 不是Hamilton图，从而答案是否定的。

**例 12**  $8 \times 8$  的棋盘上的马图是Hamilton图，即在国际象棋棋盘上马可以从任何一个方格跳到每个方格恰一次再回到出发的方格。一种解，即一个Hamilton圈如图4.15所示，这是一个幻方，每行与每列之和皆为260。

下面介绍 Bondy 与 Chvatal 1974 年建立的闭包判别法。

**定理 6**  $u$  与  $v$  是  $G$  的两个不相邻的顶，且  $d(u) + d(v) \geq n$ ，则  $G$  为 Hamilton 图的充图条件是  $G + uv$  是 Hamilton 图。

**证**  $G$  为 Hamilton 图， $G + uv$  显然也是 Hamilton 图。反之，若  $G + uv$  是 Hamilton 图，而  $G$  不是 Hamilton 图，这时  $G$

中有Hamilton轨  $v_1 v_2 v_3 \cdots v_n$ , 其中  $v_1 = u$ ,  $v_n = v$ . 若对某个

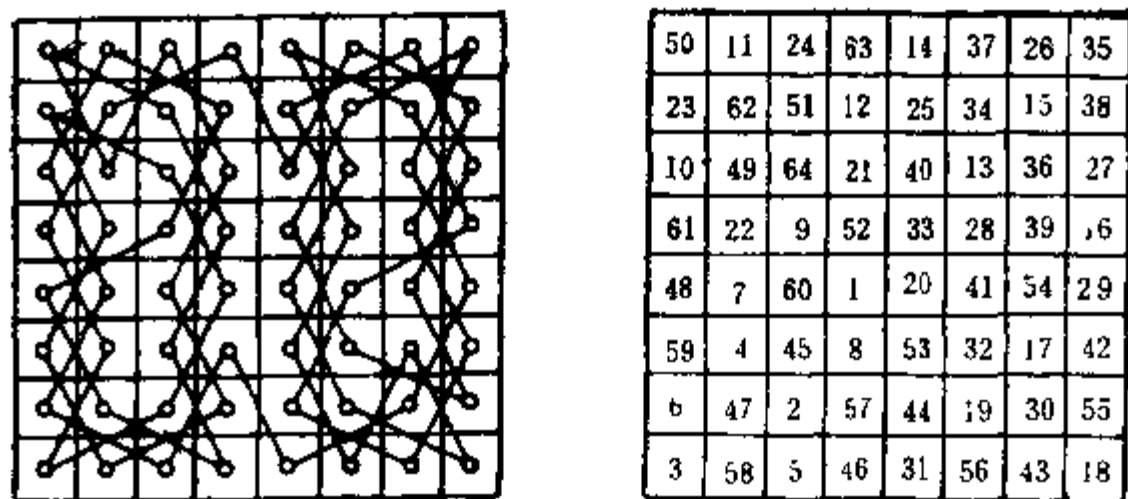


图 4.15

$i$  ( $2 \leq i \leq n-1$ ),  $v_1 v_i \in E(G)$ , 则  $v_{i-1} v_i \in E(G)$ , 不然  $v_1 v_2 \cdots v_{i-1} v_i v_{i+1} \cdots v_n$  是  $G$  的Hamilton圈. 因而  $d(v_i) \leq n-1-d(v_1)$ ,  $d(v_1) + d(v_i) \leq n-1$ , 与  $d(u) + d(v) \geq n$  矛盾. 证毕.

这一定理启发人们引入闭包的概念.

**定义 3** 把  $G$  中次数之和至少为  $n$  的不邻的两顶之间添加一边, 直至这种加边过程终止, 得到的图叫做  $G$  的闭包, 记之为  $C(G)$ .

**定理 7**  $G$  为连通图, 到  $C(G)$  存在且唯一.

**证**  $C(G)$  的存在性不足道. 若图中无  $d(u) + d(v) \geq n$  的不邻顶对, 则  $C(G) = G$ ; 否则, 加边过程会在有限步之内终止.

下证  $C(G)$  的唯一性. 设  $G_1$  与  $G_2$  是  $G$  的两个闭包, 且  $e_1, e_2, \dots, e_m$  与  $f_1, f_2, \dots, f_n$  分别是构作  $G_1$  与  $G_2$  时加的边 (若  $G$  一条边也不能加时, 则  $C(G) = G$ , 这时唯一性成立), 我们证明  $e_i \in E(G_2)$ ,  $i = 1, 2, \dots, m$ ;  $f_j \in E(G_1)$ ,  $j = 1, 2, \dots, n$ . 设  $e_{i+1}$  是  $e_1, e_2, \dots, e_m$  中不在  $G_2$  中的第一条边, 令  $H = G + \{e_1, e_2, \dots, e_i\}$ . 由  $G_1$  的定义, 当  $uv = e_{i+1}$  时,

$$d_H(u) + d_H(v) \geq n,$$

又  $H \subseteq G_2$ , 故

$$d_{G_2}(u) + d_{G_2}(v) \geq v,$$

但  $e_{i+1} = uv$  不在  $G_2$  中, 应有  $d_{G_2}(u) + d_{G_2}(v) < v$ , 矛盾. 可见  $e_1, e_2, \dots, e_n \in E(G_2)$ . 同理可证  $f_1, f_2, \dots, f_n \in E(G_1)$ . 证毕.

定理 6 指出  $G$  是 Hamilton 图的充要条件是  $C(G)$  是 Hamilton 图. 这个事实有时能发挥独到的作用, 例如图 4.16 中的  $G$  不满足 Ore 定理的条件, 不能用 Ore 定理判其为 Hamilton 图, 但它确为 Hamilton 图. 因为它的闭包是  $K_8$ . 由此可见, 闭包的引入是

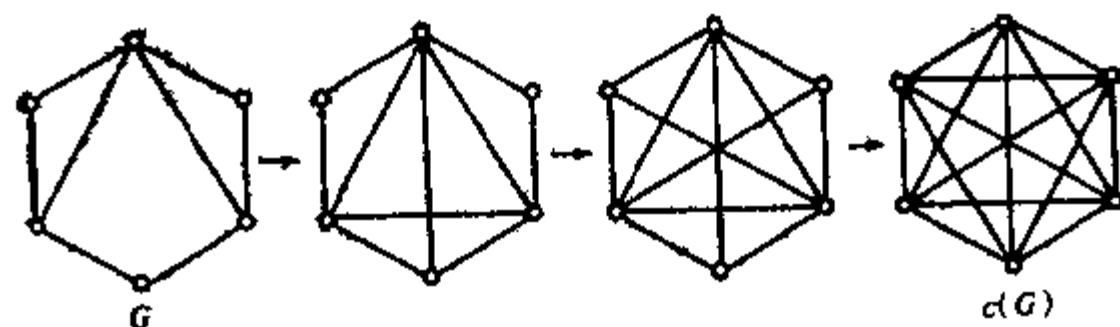


图 4.16

有一定作用的, 但它并未给出令人满意的一个充要条件, 只是把一个图  $G$  是否为 Hamilton 图的问题转化为另一个图  $C(G)$  是否为 Hamilton 图的问题. 这种进展步子不太大, 尚需追求更为有效的充要条件.

## 4.4 货郎问题

货郎问题有两种提法. 一种是货郎到各村去卖货, 再回到出发处, 每村都要串到 (不限制次数), 为其设计一种路线, 使得所用旅行售货的时间最短. 这个问题的数学模型是在加权图  $G$  上求一个生成回路  $C$ , 使得

$$W(C) = \sum_{e \in C} w(e) = \min\{\text{各个生成回路的权}\}.$$

这个  $C$  叫做理想回路.

另一种提法是限制货郎每村到且仅到一次. 这时, 其数学模

型是在加权图上求一个 Hamilton 圈  $C_1$ , 使得

$$W(C_1) = \sum_{e \in C_1} w(e) = \min\{\text{各个 Hamilton 圈的权}\}.$$

从算法理论上讲, 这两种提法的难度是相当的。我们现在考虑与 Hamilton 图关系更为直接的后一种提法的货郎问题。这个问题的难度很大,

(1) 如何判定  $G$  是否 Hamilton 图。这个问题目前尚无有效算法, 也不知道究竟存在不存在它的有效算法。在不知  $G$  是否为 Hamilton 图的情况下, 硬去找一条如何如何的 Hamilton 圈自然是盲目的, 甚至是徒劳的。

(2) 已知  $G$  是 Hamilton 图, 求出一个 Hamilton 圈来至今亦无有效算法, 和 (1) 一样, 也不知道究竟存在不存在它的有效算法。

货郎问题的有效算法的有无问题, 是当今图论中面临的一大悬案。目前, 只能设计各种近似算法。下面介绍一种近似算法——“改良圈算法”。已知  $C = v_1 v_2 \cdots v_n v_1$  是  $G$  的一个 Hamilton 圈, 我们用下面的算法把它的权减小。

#### 算法

(1) 在  $C$  上检查是否有  $i \neq j$ , 使得  $v_{i-1} v_j \in E(G), v_i v_{j+1} \in E(G)$ , 且  $w(v_{i-1} v_j) + w(v_i v_{j+1}) < w(v_{i-1} v_i) + w(v_j v_{j+1})$ ; 有, 则构成新圈

$$C_1 = v_1 v_2 \cdots v_{i-1} v_j v_{j-1} \cdots v_i v_{j+1} v_{j+2} \cdots v_n v_1.$$

$C_1$  叫做  $C$  的改良圈。

(2) 用  $C_1$  代替  $C$  转 (1), 直至终止。

上述算法得到的 Hamilton 圈未必是理想 Hamilton 圈; 不过上述算法的时间复杂度是  $O(v^2)$ 。

**例 13** 从北京到伦敦(L)、墨西哥城(MC)、纽约(NY)、巴黎(Pa)、东京(T)各城去环球讲学, 乘飞机到各城恰去一次再返回首都北京, 应取何种安排最省旅费? 各城相距做为边权在图 4.17 中标出。

解 执行改良圈算法的过程见图 4.18. 初始圈为  $C = (Pe) (T) (L) (MC) (NY) (Pa) (Pe)$ , 算法终止时的改良圈为  $C_3 = (Pe) (T) (MC) (NY) (L) (Pa) (Pe)$ . 按  $C_3$  (或逆时针方向的  $C_3$ ) 安排访问讲学的总航程是

$$13 + 70 + 21 + 35 + 2 + 51 = 192(\text{百公里}).$$

192 是理想 Hamilton 圈的上界, 下面考查其下界. 在第二章例 5 中, 我们已用 Kruskal 算法求得了最优树  $T$ , 又  $\forall v \in G$ , 理想圈  $C_0$  上删去  $v$  是  $G$  的一个生成树,

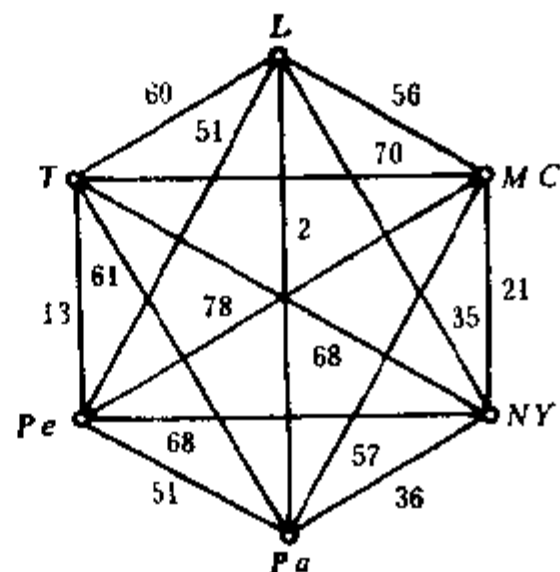


图 4.17

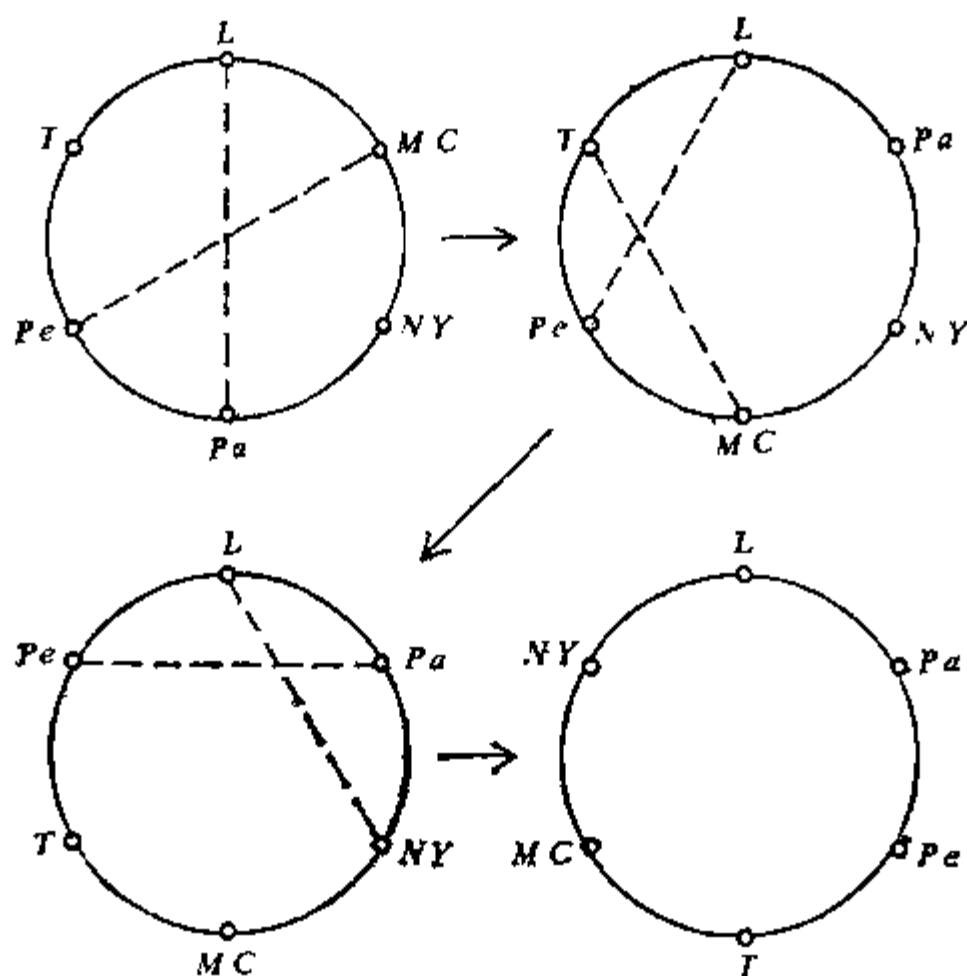


图 4.18



在  $C_0$  上有两条与  $v$  关联的边，我们从  $G$  上与  $v$  关联的边中选两条其权之和最小者为  $e_1, e_2$ ，则  $W(C_0) \geq W(T) + w(e_1) + w(e_2)$ 。

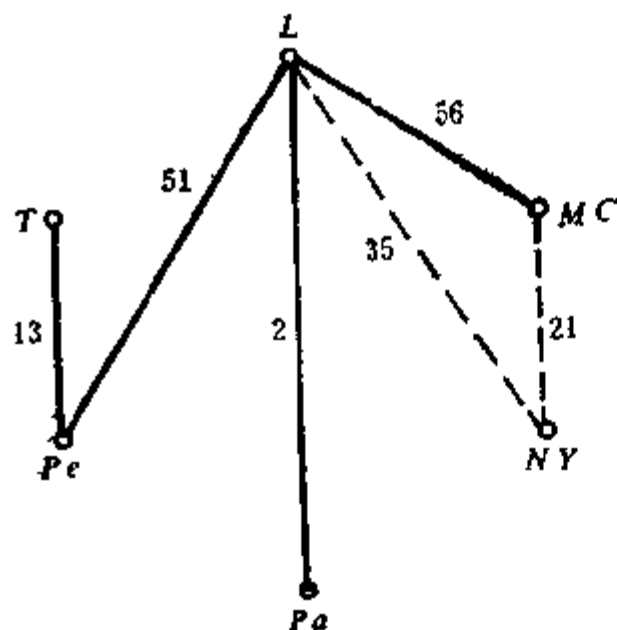


图 4.19

在本题中，我们取  $v = NY, e_1 = (NY)(MC), e_2 = (NY)(L)$  (见图 4.19)，则得  $W(C_0) \geq 122 + 21 + 35 = 178$  (百公里)。可见，我们的改良圈与理想 Hamilton 圈之差  $\leq 14$  (百公里)。

Euler 图和 Hamilton 图是两个最漂亮的图类，它们都有可行遍的性质。Euler

图可以从任何一顶出发不重复地行遍所有的边，Hamilton 图可以从任何一顶出发不重复地行遍所有的顶。而且两者都可返回出发点。

本章的重点内容是：

- (1) Euler 图与 Hamilton 图的定义。
- (2) Euler 图和“一笔画”的充要条件。
- (3) Ore 定理和 Bondy 的闭包判别法。
- (4) 中国邮路问题和 Fleury 算法。
- (5) 货郎问题及其困难之所在。

我们对 Hamilton 图的概念似乎已经十分清楚，事实上，我们对它的认识十分肤浅，连判断一个图是否是 Hamilton 图的有效算法也不知是否存在。Hamilton 图的研究从来是图论中既困难又吸引人的课题。

## 习 题

1.  $G$  是 Euler 图, 则  $G$  的每个块亦是 Euler 图.

2.  $G$  是连通图, 有  $2k > 0$  个奇次顶, 则  $G$  有  $k$  条无公共边的行迹  $Q_1, Q_2, \dots, Q_k$ , 使得

$$E(G) = \bigcup_{i=1}^k E(Q_i).$$

3.  $G$  是非平凡 Euler 图,  $v \in V(G)$ , 则  $G$  中每一条起点为  $v$  的行迹可以延长成  $G$  的 Euler 回路的充要条件是  $G - v$  是林.

4. 一个图是由顶  $v_0$  可任意行遍的, 若经过下列步骤总是产生一条 Euler 回路: 由  $v_0$  出发, 经任何一条与之关联的边, 达到一顶  $u$  后由任何一条尚未用过的与  $u$  关联的边离开  $u$ , 继续下去, 直至用遍所有的边. 证明: Euler 图  $G$  是可由  $v_0$  任意行遍的, 当且仅当  $G$  的每个圈含  $v_0$ .

5. 一个图称为随意可溯的 (随意 Hamilton 的), 若一条生成道路 (Hamilton 圈) 总可以如下产生: 从  $G$  的任何一顶出发, 然后进入任何一个还未进入过的邻顶, 直至没有新的顶可以进入. 证明:  $v \geq 3$  的图  $G$  是随意可溯的, 当且仅当它是随意 Hamilton 的. 这种图仅仅是  $C_n$ ,  $K_n$ , 或  $K_{n-1}$  之一.

6.  $G$  不是 2 连通图, 或  $G$  是 2 分图但其顶划分  $|X| \neq |Y|$ , 则  $G$  不是 Hamilton 图.

7. 若  $G$  有 Hamilton 轨, 则  $\forall S \subset V$ , 皆有  $\omega(G - S) \leq |S| + 1$ .

8.  $G$  中任二顶之间皆有 Hamilton 轨, 则称  $G$  是 Hamilton 连通的. 证明:  $G$  是 Hamilton 连通的, 且  $v \geq 4$ , 则  $\varepsilon > \left\lceil \frac{1}{2}(3v + 1) \right\rceil$ .

9.  $G$  不是 Hamilton 图, 但  $\forall v \in V(G)$ ,  $G-v$  是 Hamilton 图, 则称  $G$  为亚 Hamilton 图. 证明 Petersen 图是亚 Hamilton 图.

10. 证明图 4.4 中的  $xuywvzwyxuwvxzyx$  是理想回路.

11.  $K_{n,n}$  中有  $\left[ \frac{n}{2} \right]$  个无公共边的 Hamilton 圈.

12. 用  $n$  条 ( $n > 1$ ) 水平线与  $n$  条竖直线相截得一图, 以  $n^2$  个交点为顶, 以截得的线段为边, 问这个图是否有 Hamilton 轨和 Hamilton 圈?

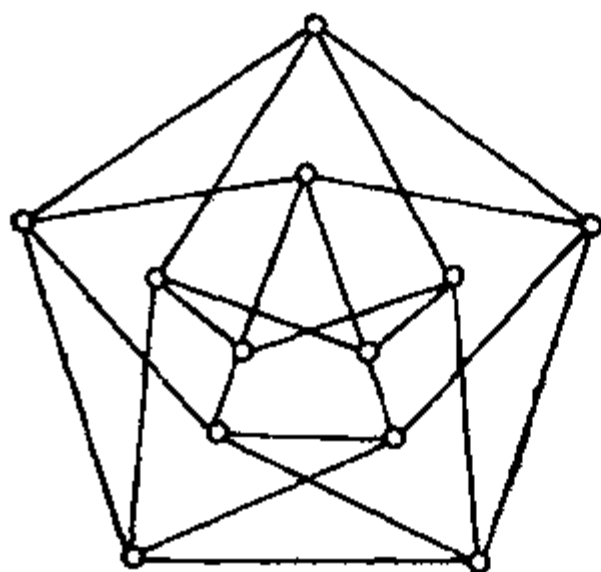


图 4.20

13. 英国亚瑟王有  $n$  名骑士, 每次聚会他们围一圆桌就坐, 若两名骑士只能相邻一次, 问这样的聚会能进行多少次?

14. 亚瑟王在宫中召见他的  $2n$  名骑士, 其中某些骑士间互在仇怨, 每个骑士的仇人不超过  $n-1$  个, 证明亚瑟王的谋士摩尔林能够让这些骑士围着那张著名的

圆桌就坐, 每个骑士不与他的仇人相邻.

15 “易滕”难题: 今有  $1 \text{ cm}^3$  的小立方体四个, 它们的每个面用红、黄、兰、绿四色之一染成, 请把这四个立方体堆成高  $4 \text{ cm}$  的四棱柱, 使柱的每一侧面上都出现四种颜色.

16. 求 Chvatal 图上的 Euler 回路 (图 4.20).

17.  $v = 2k+1$  的  $k$  次正则图是 Hamilton 图 ( $k > 1$ ).

18. 用改良圈算法求下面货郎问题的近似解, 距离矩阵为  $D$ ,  $v_1$  是出发的商店,  $v_2, v_3, v_4, v_5$  是要去卖货的村镇:

$$D \begin{pmatrix} 0 & 34 & 2 & 50 & 59 \\ 34 & 0 & 36 & 68 & 67 \\ 2 & 36 & 0 & 51 & 60 \\ 50 & 68 & 51 & 0 & 13 \\ 59 & 67 & 60 & 13 & 0 \end{pmatrix}.$$

19. 在正八面体的每个面上重合地放一个四面体的面，对应于所得的多面体的图是否 Hamilton 图？

20. 一个二十面体是用一张纸制成的，能否把这张纸剪成两份，使剪子剪每个面为两部分，而不通过二十面体的顶点？

21. 一个  $n$  行  $m$  列的方格网，每个结点处有一颗珍珠，确定  $m$  与  $n$  的值，使剪断一些线之后，做成一个项链。

## 5 平面图

### 5.1 平面图的概念

相传古代有一位独裁者，临死时留有遗嘱，把土地瓜分给他的五个儿子，这五个儿子在自己的领地上各修筑了一座宫殿，他们还企图修一些道路，使得每两座宫殿之间有一条道路直接相通，又要求道路不能交叉。结果，这五个愚蠢的王子煞费苦心，终告失败。1930年，波兰数学家 Kuratowsky 给出平面图的充分必要条件，严格证明了五宫修路问题是无解的。

**定义 1** 一个图称为可嵌入曲面  $S$ ，是指把它的图示画在  $S$  上，可以使任两条边不内交。可嵌入平面的图叫做平面图，否则为非平面图。

例如树皆平面图。 $K_2$  可以嵌入环面 (图 5.1),  $K_3$  可以嵌入 Möbius 带 (图 5.2)。

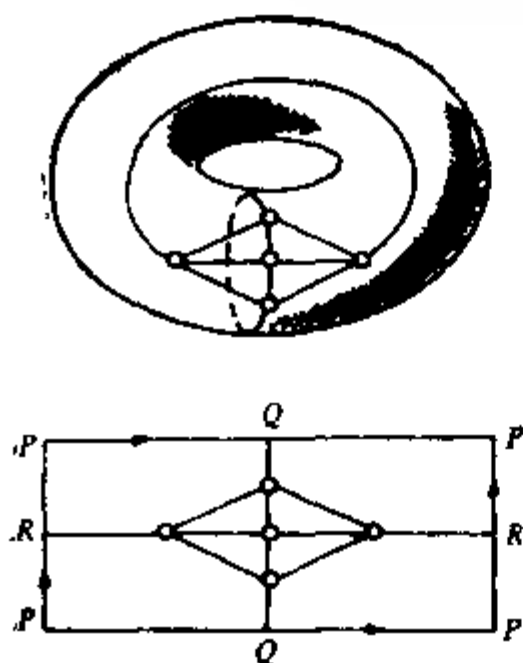


图 5.1

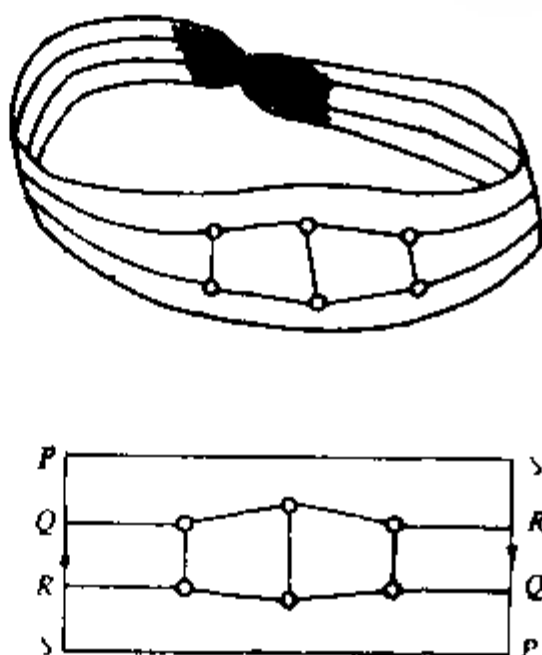


图 5.2

**定理 1 任何图皆嵌入  $E^3$**

**证** 取  $E^3$  中曲线  $l: x=t, y=t^2, z=t^3, t \geq 0$ . 从  $l$  上任取四个点  $(t_i, t_i^2, t_i^3), i=1,2,3,4, t_i \geq 0$ , 则由于范德蒙行列式

$$\begin{vmatrix} 1 & 1 & 1 & 1 \\ t_1 & t_2 & t_3 & t_4 \\ t_1^2 & t_2^2 & t_3^2 & t_4^2 \\ t_1^3 & t_2^3 & t_3^3 & t_4^3 \end{vmatrix} = \prod_{1 \leq i < j \leq 4} (t_i - t_j) \neq 0$$

知这四个点不共面, 我们把  $G$  的顶画在  $l$  上, 把边画成直线段, 这时不会有任何两条边在内点相交, 不然相交的两条线段共面, 于是其四个端点共面, 与  $l$  上四点不共面矛盾. 所以我们可如此把任何图  $G$  画在  $E^3$  中而边不内交. **证毕.**

**定理 2  $G$  是平面图的充要条件是  $G$  可在球面上嵌入.**

**证** 考虑球极平面射影 (图5.3), 球  $S$  与平面  $P$  相切, 过切点的直径的另一端点为  $Z$  (北极). 定义映射  $\varphi: S \rightarrow P$ , 当且仅当  $z, s, p$  共线时,  $\varphi(s) = p$ , 其中  $s \in S, p \in P$ .  $\varphi$  是一一映射 ( $P$  上的  $\infty$  点与  $Z$  对应).

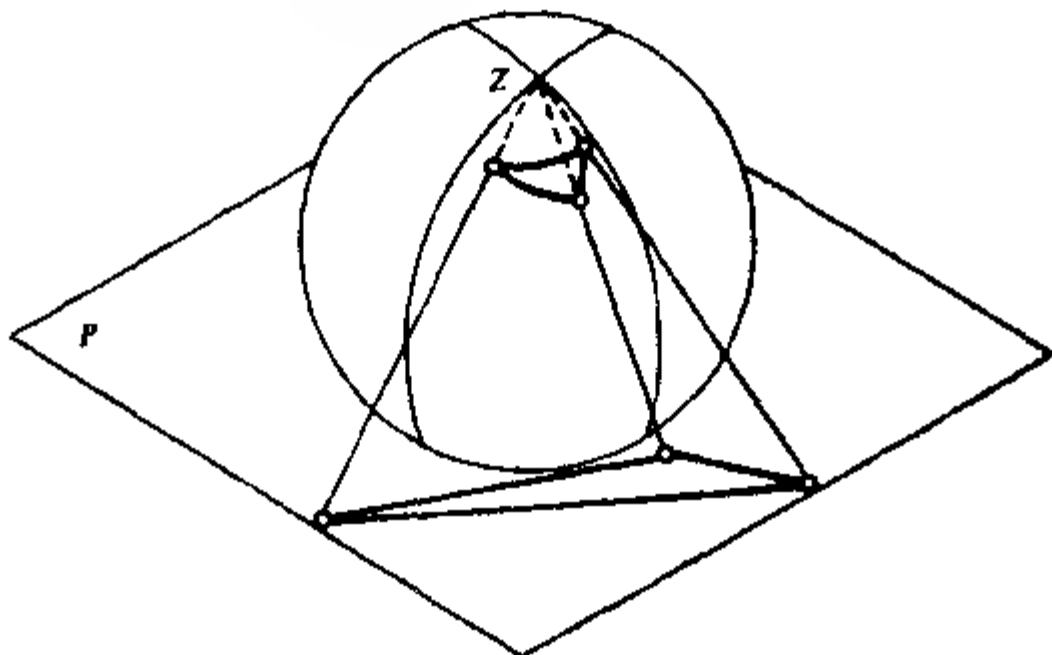


图 5.3

若图  $G$  有平面嵌入  $G'$ , 则由  $\varphi$ ,  $G'$  在  $S$  上的原象即  $G$  在  $S$  上的嵌入; 反之. 若  $G''$  是  $G$  在  $S$  上的嵌入, 不妨设  $z$  不在  $G''$  的边上或顶上, 则由  $\varphi$ ,  $G''$  之象即为  $G$  的平面嵌入. 证毕.

## 5.2 Euler 公式

一张鱼网上结点间的线段数目, 可以数一数结点和网孔算出来, 计算的公式就是著名的 Euler 公式.

**定义 2** 平面图  $G$  之平面嵌入把平面分成若干个连通的闭区域, 每个这种闭区域叫做  $G$  的一个面, 那个无界面叫做  $G$  的外面.

**定理 3**  $v$  是平面图的顶点, 则可以把  $G$  嵌入在平面上, 使  $v$  在外面上.

**证** 考虑  $G$  的一个球面嵌入, 由定理 2, 这种嵌入是存在的. 令  $N$  是球面上含  $v$  的闭区域的内点, 以  $N$  为北极进行球极平面映射, 则得所求之平面嵌入—— $v$  被嵌入外面上. 证毕.

**定理 4** (Euler, 1736)  $G$  是连通平面图, 则

$$v - e + \phi = 2,$$

其中  $\phi$  是  $G$  的面数.

**证** 对  $\phi$  进行归纳法证明.  $\phi = 1$  时,  $G$  中无圈, 又  $G$  是连通图, 故  $G$  是树,  $e = v - 1$ , 于是  $v - e + 1 = 2$ , 公式成立, 假设  $\phi \leq n (n \geq 1)$  时, 公式已成立, 考虑  $\phi = n + 1$  的情形.

由于  $\phi = n + 1 \geq 2$ , 有圈, 设  $e$  是某面上的边, 则  $G - e$  仍连通, 而被  $e$  分隔的  $G$  中的网个面在  $G - e$  中成为一个面, 且  $G - e$  仍为平面图, 由归纳法假设,

$$v(G - e) - e(G - e) + \phi(G - e) = 2,$$

$$v(G) - [e(G) - 1] + [\phi(G) - 1] = 2,$$

$$v(G) - e(G) + \phi(G) = 2.$$

证毕.

**推论 1** 平面图的面数与平面嵌入的方式无关.

**推论 2** 平面图平面嵌入时, 有界面的个数恰为余树的边数.

**例 1** 对哪些  $n$ , 存在  $n$  条棱的多面体?

**解** 以多面体的顶点为顶点, 以多面体的棱为边, 构成一个连通平面图  $G$ . 则  $v(G) \geq 4$ ,  $\phi(G) \geq 4$ , 由 Euler 公式,  $e(G) \geq 6$ . 即无棱数小于 6 的多面体.

四面体是棱数为 6 的多面体. 因为  $2e(G) \geq 3\phi(G)$ , 若有 7 条棱的多面体, 则  $\phi \leq \frac{14}{3}$ , 即  $\phi = 4$ , 于是

$$7 = v(G) + \phi - 2 = v + 2,$$

$v = 5$ , 但  $\phi = 4$  时, 唯一的多面体是四面体, 它只有四个顶, 可见, 无 7 棱多面体.

考虑  $k \geq 4$ , 以  $k$  边形为底的棱锥为  $2k$  条棱的多面体. 若把  $k-1$  边形为底的棱锥底角处一个三面角“锯掉一个小尖儿”, 得到  $2k+1$  条棱的多面体. 总之  $n \geq 6, n \neq 7$  时, 有  $n$  条棱的多面体.

### 5.3 平面图的对偶图

**定义 3**  $G'$  是平面图  $G$  的平面嵌入, 则如下画出的图  $G^*$  是  $G$  的一个对偶图:

(1)  $G'$  的每个面内面且仅图  $G^*$  的一个顶点  $f^*$ .

(2) 当且仅当面  $f_i$  与面  $f_j$  有公共边  $e_i$  时, 面  $G^*$  的一条边  $e_i^* = f_i^* f_j^*$ .

(3)  $e$  为  $G'$  的桥时, 面  $G^*$  的一个环, 此环与  $e$  所在的面内的顶  $f^*$  相关联(图 5.4).

同一个平面图的不同平面嵌入方式, 可能会形成不同构的对偶图. 例如图 5.4 中有一次顶, 有桥, 但此桥还可以嵌入含  $f_2^*$  或含  $f_3^*$  的面, 从而环关联的顶可以是  $f_2^*$ , 可以是  $f_3^*$ , 也可以是  $f_7^*$ .



又例如图 5.5 是同一个平面图的两组平面嵌入，相应的对偶图显然不同构，(a) 的对偶图中有 5 次顶（在外面内），而 (b) 的对偶图无 5 次顶。

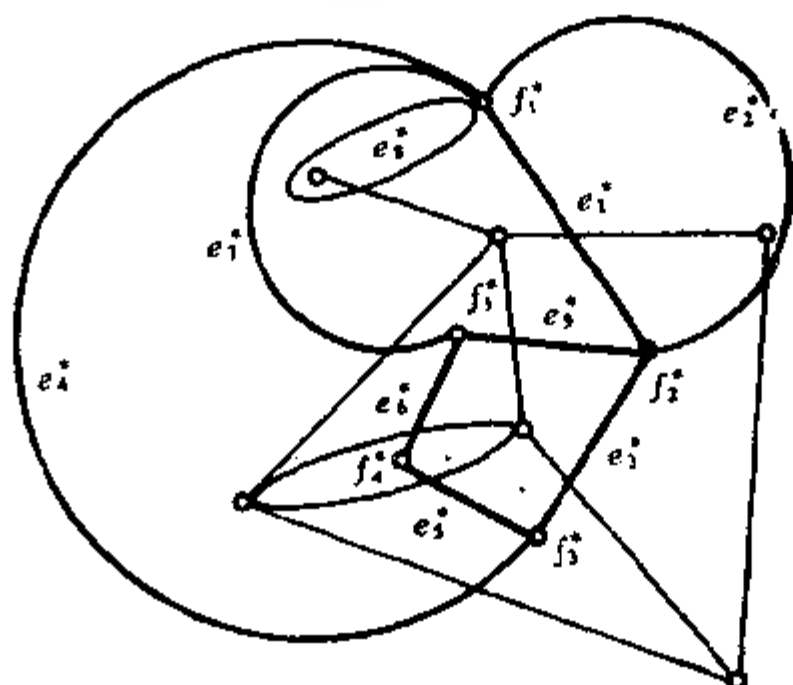


图 5.4

记  $F(G) = \{f_1, f_2, \dots, f_\phi\}$ ，是平面图平面嵌入的面集合； $d(f)$  是  $f \in F(G)$  时， $f$  边界上的边数，叫做面  $f$  的次数；一条边是平面图的桥时， $d(f)$  中此边贡献为 2。

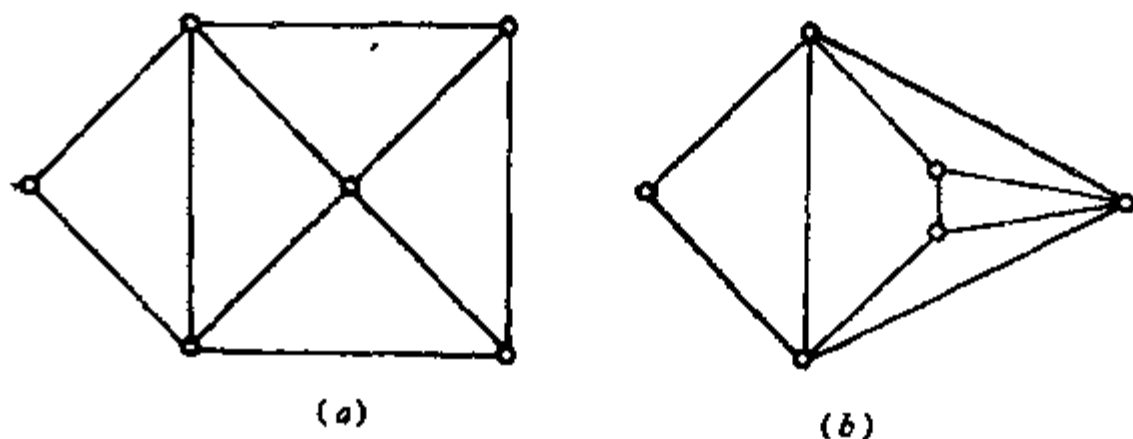


图 5.5

容易看出， $G$  为平面图，则有

$$(1) \phi(G) = v(G^*), \quad e(G) = e(G^*), \quad d(f) = d_{G^*}(f^*).$$

(2) 每个平面图皆有对偶图, 未必唯一, 但对偶图仍为平面图.

(3)  $G$  连通时,  $(G^*)^* = G$ .

(4) 平面图  $G_1 \subset G_2$ , 未必  $G_1^* \subset G_2^*$ .

**定理 5**  $G$  为平面图, 则对任给的平面嵌入, 皆有

$$\sum_{f \in F(G)} d(f) = 2e.$$

**证**

$$\sum_{f \in F(G)} d(f) = \sum_{f^* \in F(G^*)} d(f^*) = 2e(G^*) = 2e(G). \text{ 证毕.}$$

**推论 3**  $v \geq 3$  的平面图,  $e \leq 3v - 6$ .

**证** 只需对连通平面图来证明. 因  $v \geq 3$ , 显然  $d(f) \geq 3$ , 其中  $f \in F(G)$ . 又  $2e = \sum_{f \in F(G)} d(f) \geq 3\phi$ , 由 Euler 公式  $v - e + \phi = 2$ ,  $3v - 3e + 3\phi = 6$ ,  $3v - 6 - 3e - 3\phi \geq 3e - 2e = e$ , 即  $e \leq 3v - 6$ . 证毕.

**推论 4**  $\delta(\text{平面图}) \leq 5$ .

**证**  $v = 1$  或  $2$ , 命题显然成立. 当  $v \geq 3$  时, 由推论 3,

$$\delta v \leq \sum_{v \in V(G)} a(v) = 2e \leq 2(3v - 6),$$

$$\delta \leq 6 - \frac{12}{v},$$

故得  $\delta \leq 5$ . 证毕.

平面图的边数, 在  $v$  固定后, 不会太多, 不然在平面上嵌入时“放不下”, 推论 3 与推论 4 反映的正是这一情形.

**定义 3**  $G$  为平面单图, 若对任何不相邻的顶  $u$  与  $v$ ,  $G + uv$  不再是平面图, 则称  $G$  是极大平面图.

这里顺便说一下, “最大”与“极大”是有区别的, “最大”是指某个量不能再增大; “极大”是在集合包含义下不能再扩大,

即不能在原有的基础上扩大。例如树上每两个叶之间的唯一轨都是极长轨，但只有其中最长的—条才是最长轨。极大的可以不唯一，而且量也未必一致；最大的就量而论是唯一的。最小与极小亦应作与此相应的理解。

**定理 6**  $G$  是  $v \geq 3$  的极大平面图，当且仅当  $G$  的平面嵌入每个面皆 3 次。

**证** 设  $G'$  是极大平面图  $G$  的平面嵌入， $G'$  中有一个面的边界不是  $K_3$ ，这个面的边界是  $v_1 v_2 v_3 \cdots v_k v_1$ ， $k \geq 4$ ，则在此面内可加一边，事实上，若多边形  $v_1 v_2 v_3 \cdots v_k v_1$  的对角线  $v_i v_j \in E(G)$ ，则多边形  $v_1 v_2 \cdots v_k v_1$  上  $v_i$  的两个邻顶之间在  $G$  中不相邻，于是我们可以在此二顶之间加一边，得到的图仍是平面图，与  $G$  为极大平面图矛盾。

反之，若  $G'$  的每个面皆 3 次，则由  $\sum_{f \in F(G')} d(f) = 2e$ ， $3\phi = 2e$ ，及  $G$  是连通图，从 Euler 公式  $v - e + \phi = 2$  得  $e = 3v - 6$ ，而由推论 3，平面图边数之上界是  $3v - 6$ ，所以  $G$  是极大平面图。证毕。

**定理 7**  $v \geq 4$  的平面图  $G$  为极大平面图，则  $\delta(G) \geq 3$ 。

**证**  $\forall v \in V(G)$ 。由于  $G$  是平面图，则  $G - v$  也是平面图， $v$  在  $G' - v$  的一个面  $f'$  的内部，这里  $G'$  是  $G$  的平面嵌入。由于  $G$  是极大平面图， $G - v$  的顶至少有两个在上述  $G' - v$  的面  $f'$  的边界上，即得  $d(v) \geq 3$ 。由  $v$  之任意性， $\delta(G) \geq 3$ 。证毕。

**推论 5**  $G$  是极大平面图，则  $e = 3v - 6$ 。

由此可知，极大平面图的边数达到平面图边数（顶数给定为  $v$ ）的上界，故极大平面图就是最大平面图，反之亦然。

**推论 6** 平面 Euler 图可表成不超过  $v - 2$  个无公共边的圈的并。

这里应注意的是，对于非平面 Euler 图，虽然猜想推论 6 的结论仍成立，但至今尚未证明。

## 5.4 Kuratowsky定理

**定理 8**  $K_5$  和  $K_{3,3}$  都是非平面图.

**证**  $v(K_5) = 5$ ,  $e(K_5) = 10$ ,  $3v - 6 = 3 \times 5 - 6 = 9$ , 不满足平面图的必要条件  $e \leq 3v - 6$ , 故  $K_5$  非平面图.

$K_{3,3}$  是二分图, 无奇圈, 所以无子图  $K_5$ ; 若  $K_{3,3}$  是平面图, 每面次数至少是 4, 于是

$$4\phi \leq \sum_{f \in F(K_{3,3})} d(f) = 2e = 2 \times 9 = 18,$$

故有  $\phi \leq 4 - \frac{1}{2}$ , 即  $\phi \leq 4$ , 由 Euler 公式,

$$2 = v - e + \phi \leq 6 - 9 + 4 = 1,$$

这是不可能的. **证毕.**

两个图叫做**同胚**的, 若一个图是另一图边上“加上”一些新顶得到的; 规定图**自同胚**. 图 5.6 中画的是  $K_5$  与  $K_{3,3}$  的同胚图.

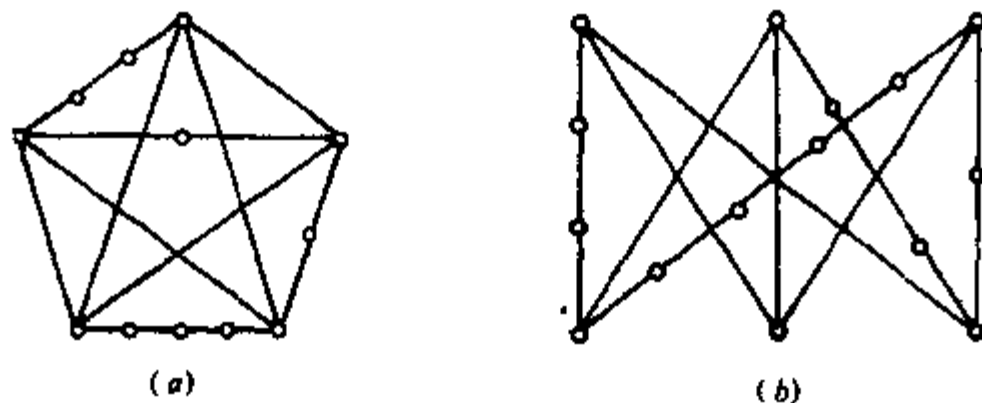


图 5.6

1930年, 波兰数学家 Kuratowsky 指出,  $K_5$  或  $K_{3,3}$  的同胚图是引起图不能嵌入平面的仅有的两个“疙瘩”.

**定理 9** (Kuratowsky, 1930)  $G$  是平面图的充要条件是  $G$  中无与  $K_5$  或  $K_{3,3}$  同胚的子图.

**证** 条件的必要性不足道, 下证充分性. (以下证明是1954年 Dirac 和 Schuster 给出的) 设  $G$  中无  $K_5$  或  $K_{3,3}$  的同胚做子图, 但  $G$  是非平面图. 令  $G$  是边数最少的这种图, 则  $G$  是块, 且  $\delta(G) \geq 3$ . 令  $x_0 = u_0 v_0 \in G$ , 则  $F = G - x_0$  是平面图.

1)  $F$  中有含  $u_0$  和  $v_0$  的圈.

若  $F$  中无含  $u_0$  和  $v_0$  的圈, 则  $u_0$  与  $v_0$  在  $F$  的不同的块中. 从而存在  $F$  的一个割顶  $w$ , 它在每条  $u_0 - v_0$  轨上. 若  $F$  中没有边  $wu_0$  与  $wv_0$ , 我们把它们加入  $F$  构成图  $F_0$ .  $F_0$  中  $u_0$  与  $v_0$  仍在不同的块中, 例如分别在  $B_1$  与  $B_2$  中.  $B_1$  与  $B_2$  有公共顶  $w$ .  $B_1$  与  $B_2$  都比  $G$  边数少, 故  $B_1$  或者是平面图或者含有一个同胚于  $K_5$  或  $K_{3,3}$  的子图. 然而, 若加入  $wu_0$  后产生了  $B_1$  的一个同胚于  $K_5$  或  $K_{3,3}$  的子图  $H$ , 则用以边  $x_0$  开始从  $u_0$  到  $w$  的一条轨代替  $wu_0$ , 得到的  $G$  的子图同胚于  $H$ , 从而也同胚于  $K_5$  或  $K_{3,3}$ , 矛盾. 从而  $B_1$  (同理  $B_2$ ) 是平面图.  $B_1$  与  $B_2$  都可画在平面上, 使得  $wu_0$  与  $wv_0$  在外面上, 从而  $F_0$  可嵌入平面, 使  $wu_0$  与  $wv_0$  在外面上. 加入  $x_0$  不破坏  $F_0$  的可平面性, 因为  $G$  是  $F_0 + x_0$  的子图, 故  $G$  是平面图, 矛盾.

2) 把  $F$  嵌入平面, 使含  $u_0$  和  $v_0$  的一个圈  $Z$  含有数目最多的面. 指定  $Z$  的一个方向 (例如顺时针方向),  $Z[u, v]$  是  $Z$  上从  $u$  到  $v$  的轨, 若  $v$  在  $Z$  上不是紧跟着  $u$  的, 用  $Z(u, v)$  表示  $Z[u, v]$  删去  $u$  和  $v$  得到的轨.

$Z$  的外部是指由  $Z$  外的顶导出的  $F$  的子图. 这个子图的连通片, 叫做外部连通片.  $Z$  的外桥是指  $F$  的一个子图, 它由关联于至少一个在某个外部连通片的顶点的所有边导出或者由在  $Z$  外部且与  $Z$  的二顶关联的一条边导出. 类似地可以定义  $Z$  的内部、内部连通片与内桥. 称一个外桥或内桥是分离  $u - v$  的, 若它与  $Z(u, v), Z(v, u)$  上都有公共顶. 显然, 若  $u$  与  $v$  在  $Z$  上相邻, 任何一个外桥或内桥都不会分离  $u - v$ .

因为  $F$  是连通的, 又  $F$  没有割顶, 所以每个内桥与外桥至少

与  $Z$  有两个公共顶。没有外桥可以与  $Z(u_0, v_0)$  或  $Z(v_0, u_0)$  有一个以上的公共顶，因为否则就有一个含  $u_0, v_0$  的圈，有比  $Z$  更多的内部面数。同理没有外桥可以以  $u_0$  或  $v_0$  为与  $Z$  的公共顶。从而每个外桥与  $Z$  恰有两个公共顶，且分离  $u_0 - v_0$ 。此外，由于不能在  $F$  中加入  $x_0$  而保持平面性，所以至少有一个分离  $u_0 - v_0$  的内桥。

3) 存在一个分离  $u_0 - v_0$  的外桥，它与  $Z(u_0, v_0)$  有公共顶  $u_1$ ，与  $Z(v_0, u_0)$  有公共顶  $v_1$ ，使得存在一个内桥，它分离  $u_0 - v_0$  又分离  $u_1 - v_1$ 。

若 3) 不真，我们会找到矛盾。为此，把分离  $u_0 - v_0$  的内桥进行编号，从  $u_0$  起沿  $Z$  前进，按公共顶出现的次序给相应的内桥编号为  $I_1, I_2, I_3, \dots$ ； $I_1$  是从  $u_0$  起在  $Z$  上最先遇到它的顶的内桥。令  $u_2$  与  $u_3$  是  $I_1$  与  $Z(u_0, v_0)$  的第一个和最后一个公共顶； $v_2, v_3$  是  $I_1$  与  $Z(v_0, u_0)$  的第一个和最后一个公共顶。每个外桥与  $Z$  的两个公共顶必在  $Z[v_2, u_2]$  上或在  $Z[u_3, v_3]$  上，不然，就会有一个外桥与  $Z(u_0, v_0)$  有公共顶  $u_1$ ，与  $Z(v_0, u_0)$  有公共顶  $v_1$ ，而有一个内桥既分离  $u_0 - v_0$  又分离  $u_1 - v_1$ ，与 3) 不真矛盾。所以可以在  $Z$  的外部区域画一条联结  $v_3$  和  $u_2$  的曲线  $C$ ，使它不与  $F$  的边接触（图 5.7）。于是  $I_1$  可以保持平面嵌入地转移到  $C$  的外面，类似地，分离  $u_0 - v_0$  的内桥都可依次保持平面嵌入地转移到  $C$  的外面，这样边  $x_0$  可以加上去而不损坏  $F$  的可平面性，然而这是不可能的，所以 3) 成立。

4) 令  $H$  是 3) 中指的內桥，它分离  $u_0 - v_0$ ，又分离  $u_1 - v_1$ 。令  $H$  与  $Z(u_0, v_0)$ ， $Z(v_0, u_0)$ ， $Z(u_1, v_1)$ ， $Z(v_1, u_1)$  的公共顶分别是  $w_0, w'_0, w_1, w'_1$ 。依上述四顶的分布，分四种情形讨论之（图 5.7）

(1) 顶点  $w_1$  与  $w'_1$  中有一个在  $Z(u_0, v_0)$  上，而另一个在  $Z(v_0, u_0)$  上。我们可以取  $w_0 = w_1, w' = w'_1$ 。在这种情形，

$G$ 中含  $K_{3,3}$  子图 (图5.7(a)),  $K_{3,3}$  的顶划分成空心与实心两种, 空心者与实心者相邻.

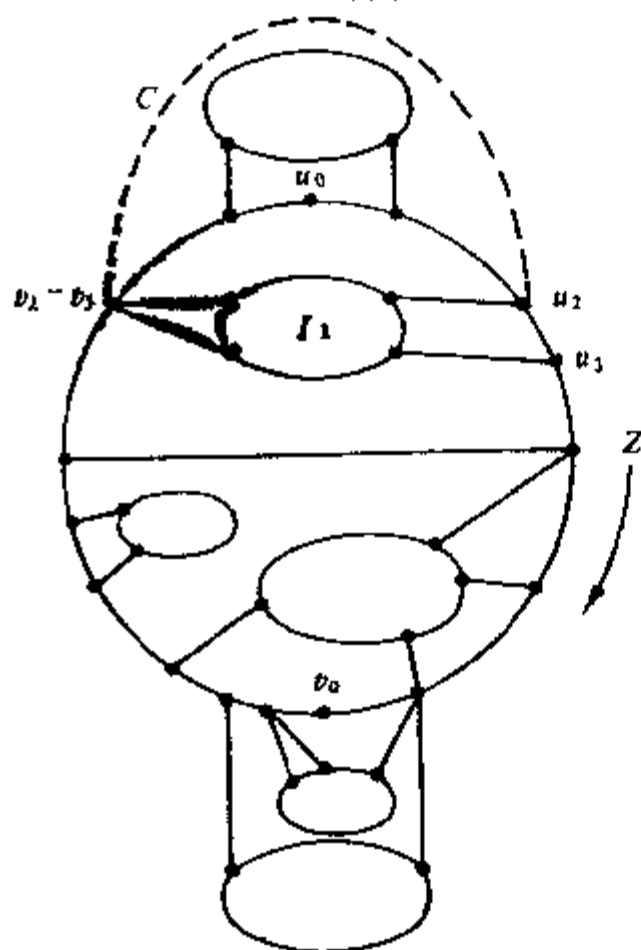


图 5.7-1

(2)  $w_1$  与  $w'_1$  都在  $Z(u_0, v_0)$  上或  $Z(v_0, u_0)$  上, 不失一般性, 我们取第一种情形. 又有两种可能:  $v_1 \neq w'_1$  与  $v_1 = w'_1$ . 若  $v_1 \neq w'_1$ , 则  $G$  含有同胚于  $K_{3,3}$  的子图. 依赖于  $w'_1$  在  $Z(u_1, v_1)$  上或在  $Z(v_1, u_1)$  上, 分别如图 5.7(b) 或 (c). 若  $v_1 = w'_1$  (图5.7(d)), 则  $H$  含一个顶点  $r$ , 存在由  $r$  开始到  $w_1, w'_1$  和  $v_1$  的三条不相交的轨, 它们的所有顶点 (除了  $w_1, w'_1$  和  $v_1$  外) 都属于  $H$ . 这时  $G$  也含有  $K_{3,3}$  的同胚子图.

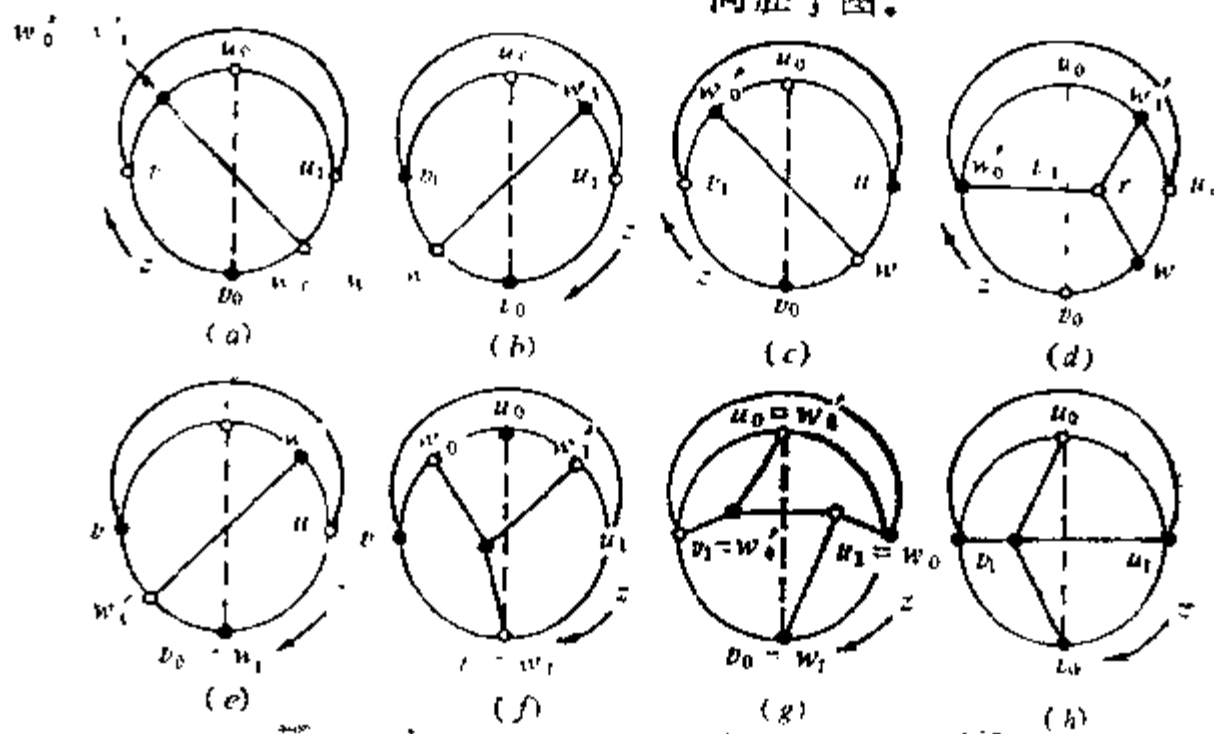


图 5.7-2

(3)  $w_1 = v_0$  和  $w'_1 \neq u_0$ . 不失一般性, 令  $w'_1$  在  $Z(u_0, v_0)$  上,  $G$  又含  $K_{3,3}$  同胚的子图. 若  $w'_1$  在  $Z(v_0, v_1)$  上, 则如图 5.7(e) 所示,  $G$  有一个同胚于  $K_{3,3}$  的子图. 若  $w'_1$  在  $Z(v_1, u_0)$  上, 如图 5.7(f) 所示, 也有  $K_{3,3}$  的同胚子图, 若  $w'_1 = v_1$ , 修改一下这个图形也容易看出  $G$  含  $K_{3,3}$  的同胚子图.

(4)  $w_1 = v_0$  且  $w'_1 = u_0$ , 我们设  $w_0 = u_1, w'_0 = v_1$ , 否则我们可以得到前三种情形之一. 我们分两种子情形考虑, 令  $P_0$  是  $H$  中从  $u_0$  到  $v_0$  的一条最短轨道,  $P_1$  是从  $u_1$  到  $v_1$  的一条最短道路.  $P_0$  与  $P_1$  一定相交. 若其交点不止一个, 则如图 5.7(g) 所示,  $G$  中含同胚于  $K_{3,3}$  的子图; 否则, 如图 5.7(h) 所示,  $G$  中含  $K_5$  的同胚子图.

(1), (2), (3), (4) 已包括所有可能的情形. **证毕.**

所谓  $G$  的初等收缩是删去邻顶  $u$  和  $v$ , 再加上一个新顶  $w$ , 使  $w$  与邻接于  $u$  和邻接于  $v$  的每个顶邻接. 若  $H$  是  $G$  通过一系列初等收缩得到的, 则称  $G$  可收缩到  $H$ . 例如 Petersen 图可以收缩到  $K_{3,3}$ .

Kuratowsky 定理可以写成:  $G$  是平面图当且仅当  $G$  中无可收缩到  $K_5$  或  $K_{3,3}$  的子图.

最小的妖怪, Petersen 图不是平面图.

## 5.5 图的厚度

一个图不是平面图, 不能把它嵌入平面, 于是自然提出分层嵌入几个平面的问题:  $G$  的边集至少可以划分成几个子集, 使得每个子集的导出子图都是平面图?

**定义 4** 如果

$$G = \bigcup_{i=1}^d G_i,$$



其中  $G_i$  皆平面图,  $i = 1, 2, \dots, d, E(G_i) \cap E(G_j) = \emptyset, i \neq j$ , 则称  $(G_1, G_2, \dots, G_d)$  为  $G$  的平面分解, 而

$\theta(G) = \min\{d | (G_1, G_2, \dots, G_d) \text{ 是 } G \text{ 的平面分解}\}$  称为  $G$  的厚度或层数.

例如  $\theta(K_5) = 2$ . 见图 5.8.

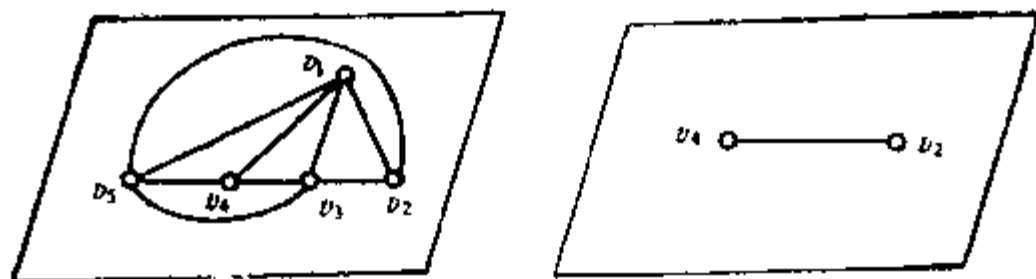


图 5.8

如何确定图的厚度至今既无公式又无有效算法! 但厚度及分层嵌入是实际需要的待解问题. 例如设计电路板, 需要把电路图在平面上实现, 问至少需要几块印刷线路板? 这个问题实则为求图的厚度及其最少层数分解.

下面给出厚度的下界,  $\{x\}$  表示大于  $x$  的最小整数.

**定理 10** (1)  $\theta(G) \geq \left\lceil \frac{e}{3v-6} \right\rceil$  ( $v > 2$ ).

(2)  $G$  中不含三角形, 则  $\theta(G) \geq \left\lceil \frac{e}{2v-4} \right\rceil$  ( $v > 2$ ).

(3)  $\theta(K_v) \geq \left\lceil \frac{v+7}{6} \right\rceil$  ( $v > 3, v \neq 9$ ).

**证** (1) 对于平面图,  $0 < e \leq 3v-6$ , 从而 ( $v > 2$ )

$$0 < \frac{e}{3v-6} \leq 1,$$

故有

$$\theta(G) \geq \left\lceil \frac{e}{3v-6} \right\rceil.$$

(2) 若  $G$  是平面图, 且不含三角形,  $G$  的  $\phi$  个面次数分别为  $n_1, n_2, \dots, n_\phi$ . 显然  $n_i \geq 4, i = 1, 2, \dots, \phi$ . 又因为

$$\sum_{f \in F(G)} d(f) = 2e,$$

故得  $4\phi \leq 2e, \phi \leq \frac{e}{2}$ , 由 Euler 公式 (不妨设  $G$  为平面图)

$$2 = \phi + v - e \leq \frac{e}{2} + v - e = v - \frac{e}{2}, \quad e \leq 2v - 4, \quad \text{所以 } 0 < \frac{2}{2v-4} \leq 1, \text{ 于是}$$

$$\theta(G) \leq \left\lfloor \frac{e}{2v-4} \right\rfloor.$$

(3) 由 (1) 得

$$\theta(K_v) \geq \left\lfloor \frac{e}{3v-6} \right\rfloor.$$

又对于  $K_v$ ,

$$e = \frac{1}{2}v(v-1),$$

取 
$$\alpha = 1 - \frac{1}{3v-6},$$

因  $v > 3$ , 故  $0 < \alpha < 1$ , 于是有

$$\begin{aligned} \theta(K_v) &\geq \left\lfloor \frac{\frac{1}{2}v(v-1)}{3v-6} \right\rfloor \geq \left\lceil \frac{v(v-1)}{6v-12} + 1 - \frac{1}{3v-6} \right\rceil \\ &= \left\lceil \frac{v^2 + 5v - 14}{6(v-2)} \right\rceil = \left\lceil \frac{v+7}{6} \right\rceil. \end{aligned}$$

证毕.

上面给出的  $\theta(G)$  的下界有时偏离较大, 例如 Petersen 图,  $\theta(\text{Petersen}) = 2$ , 但下界给出的是

$$\left\lfloor \frac{e}{3v-6} \right\rfloor = \left\lfloor \frac{15}{3 \times 10 - 6} \right\rfloor = \left\lfloor \frac{15}{24} \right\rfloor = 1.$$

误差100%。

另外  $\theta(K_5) = 3$ ，所以定理10 (3) 中  $\nu \neq 9$ 。

平面图在工程技术上的广泛应用和在图论中的重要性(例如四色问题发生在平面图)，使它与 Hamilton 图一起，成了图论中十分活跃的课题。从历史上看，正是 Kuratowsky 定理的提出与证明打破了图论研究的沉闷局面，成了图论振兴的转折点。本章的内容要点是：掌握平面图、对偶图、同胚图、厚度等概念，会证会用 Euler 公式，理解  $K_5$  与  $K_{3,3}$  的同胚图是造成图非平面性的根源，对于 Kuratowsky 定理的证明，初学者亦可暂时放下，等图论学习深入一段时间，图论意识的训练充分之后再加以领会，事实上，Dirac 等人的证明十分之精彩，很值得一学。

我们用范德蒙行列式证明了任何图可直线段地嵌入  $E^3$ ，表明我们在图论中的图与三维欧氏空间中的直线形同构。但图论毕竟不是初等立体几何，它研究的不是空间形式与位置关系，而是顶与边的关联关系。

## 习 题

1. 证明  $K_5 - e (e \in E(K_5))$  是平面图。
2. 证明  $K_{3,3} - e (e \in E(K_{3,3}))$  是平面图。
3. 试把  $K_7$  嵌入在环面上。
4. 一个图为平面图的充要条件是它的每个块皆平面图。
5. 平面图若与其对偶图同构，称之为自对偶图。证明
  - (1)  $G$  为自对偶图，则  $e = 2\nu - 2$ 。
  - (2) 对每个  $n \geq 4$ ，作一个  $n$  顶自对偶图。
6.  $G$  是极大平面图，则其对偶图是 2 边连通 3 次正则图。
7.  $G$  是  $\nu \geq 11$  的平面图，则  $G^*$  是非平面图。
8.  $S = \{x_1, x_2, \dots, x_n\}$ ,  $n \geq 3$ ,  $S$  是平面点集，它的任二

点的距离至少为 1，则最多  $3n-6$  对点，它们的距离为 1。

9. 正十二面体与正六面体的对偶图是什么？

10. 图 5.9 是平面图吗？

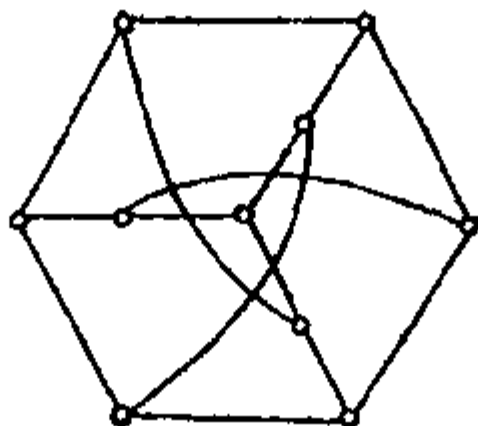


图 5.9

11.  $G$  是平面图，则  $v - e + f = v + 1$ 。

12. 论证正多面体有且仅有哪几种？它们的边数、顶数和面数各是多少？

13. 若多面体的每两个面至多有一条公共边，则它至少有两个面有相同数目的边。

14.  $G$  由  $K_{3,3}$  和两个零次顶构成，则  $G^*$  为非平面图。

15. 把平面分成  $\phi$  个区域，每两个区域都相邻，问  $\phi$  最大是几？

16. 平面图的平面嵌入可以使每条边皆直线段。

17. 没有 6 连通平面图。

18. 平面图的平面嵌入可使每个顶点在同一个面上，称其为外可平面图。证明  $G$  是外可平面图的充要条件是  $G$  不含  $K_4$  与  $K_{2,3}$  的同胚。

## 6 纵深搜索算法与平面嵌入算法

### 6.1 广度与深度优先搜索法

本节介绍图论算法中两个关键性算法，一个是**广度优先搜索算法** (Breadth First Search)，代号 BFS，一个是**深度优先搜索法** (Depth First Search)，代号 DFS。它们，尤其是 DFS 给出求生成树、割顶和块的有效算法。DFS 还有许多应用，例如在平面图嵌入平面的算法中，扮演了极为重要的角色，而且其思想方法渗透到许多图论算法的设计之中。

#### 6.1.1 BFS 算法

- (1)  $\forall v \in V(G)$ ，标号  $l(v) = 0$ ，令  $l = 0$ 。
- (2) 当所有标号为  $l$  的顶  $u$  的相关联的边的端点皆已标号时，则转 (3)；否则，把与  $u$  相关联的边的未标号的顶标以  $l+1$ ，并记录这些边，用  $l+1$  代替  $l$ ，转 (2)。
- (3) 止。

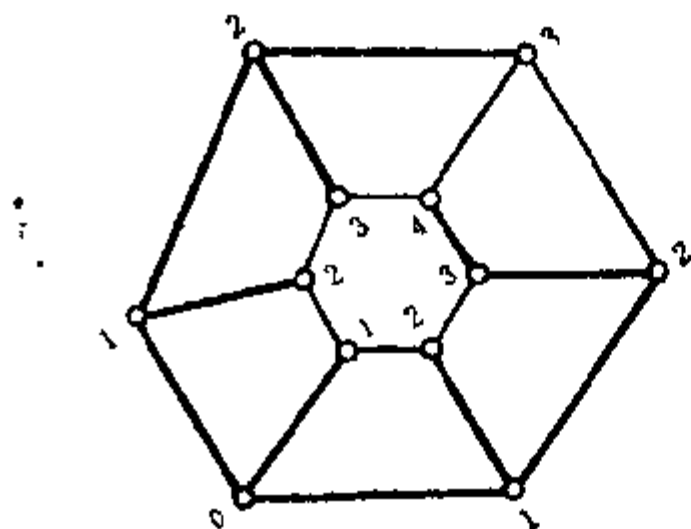


图 6.1

的子图是  $G$  的一个生成树。

**例 1** 在图 6.1 中求生成树。

图 6.1 中粗实线表示一个生成树。

**定理 1** BFS 终止，仍有未标号的顶，则  $G$  不连通；否则，记录下的边导出的

**证** 由 BFS 的过程, 标号之顶与 0 号顶连通, 从而, 终止时所有顶已被标号, 则记录下来的边之导出子图是  $G$  的连通生成子图, 又顶不二次标号, 故此生成子图无圈, 即它是生成树。否则, 未标号的顶必与已标号的顶不连通, 即  $G$  为不连通图, 证毕。

### 6.1.2 DFS 算法

DFS 算法是图论中的首要算法, 为理解它的思路, 我们追溯到 1690 年修筑的威廉王迷宫, 它至今还保存着 (图 6.2)。

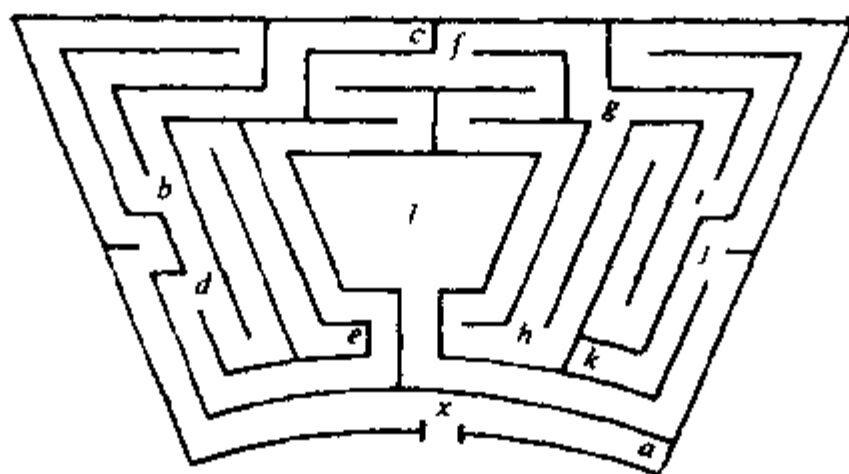


图 6.2

**迷宫法则:** 任务是从迷宫入口处出发, 每个走廊都要搜索, 最后再从入口出来。为了不兜圈子, 我们可以记住哪些走廊已经走过, 沿着未走过的通道尽可能远地走下去, 走到死胡同或那里已无未走过的走廊可选时, 沿原路返回, 到达一个路口, 发现可通往一条未走过的走廊时, 沿这一未走过的走廊尽可能远地走下去, …, 最后即可搜索遍全部走廊和厅室, 再由入口处出迷宫。

相传雅典王子忒修斯冲进克里特岛的迷宫去斩除吃人的牛身人面妖精米诺托时, 为了让忒修斯留下退路, 且不忘记哪些走廊已被搜索, 公主亚丽阿特涅给了他一只绒线球, 告诉他: “把线的一头拴在迷宫大门上, 你呢, 一边走, 一边放开线球。”

由上述的故事, 启发人们设计了如下的

**DFS 算法** (Hopcroft, Tarjan, 1973):

- (1) 标志一切边“未用过”, 对每顶  $v \in V(G)$ ,  $k(v) \leftarrow 0$ .  
令  $i \leftarrow 0$ ,  $v \leftarrow s$ .  
(2)  $i \leftarrow i + 1$ ,  $k(v) \leftarrow i$ .  
(3) 若  $v$  无未用过的关联边, 转 (5).  
(4) 选一条未用过的与  $v$  关联的边  $e = uv$ , 标志  $e$  “用过”; 若  $k(u) \neq 0$ , 转 (3); 否则 ( $k(u) = 0$ ),  $f(u) \leftarrow v$ ,  $v \leftarrow u$ , 转 (2).  
(5) 若  $k(v) = 1$ , 止.  
(6)  $v \leftarrow f(v)$ , 转 (3).

$k(v)$  叫做顶  $v$  的 DFS 编码;  $f(v)$  叫做顶  $v$  的父亲,  $v$  叫做  $f(v)$  之子; 以父为尾, 以子为头的有向边叫做父子边.

上述 DFS 的时间复杂度是  $O(|E|)$ .

**定理 2**  $G$  为连通图, 则 DFS 中产生的父子边导出的子图是以  $s$  为根的外向生成树.

**证** 显然, 在父子边导出的子图上,  $d^-(s) = 0$ ,  $d^-(v) = 1$  ( $v \neq s$ ). 父子边导出的子图显然是无圈连通图 (作为无向图而言), 所以是树. 考虑序列  $v_0, v_1, v_2, \dots$ , 其中  $f(v_i) = v_{i+1}$  ( $i \geq 0$ ), 其中  $v_0 = v \neq s$ , 因  $f(s)$  不存在, 故这一序列止于  $s$ . 这些给出从  $s$  到  $v$  的一个有向轨. 由  $v$  的任意性, 可见父子边导出的子图是以  $s$  为根的外向生成树 (图 6.3). **证毕.**

图 6.3 是 DFS 执行过程的示意图, 有方向的粗实线尾为父, 头为子, 是父子边, 它们导出生成树, 而且是以 DFS 出发点  $s$  为根的外向树.

图 6.3 中的虚线是返回路线,  $G$  中非父子边叫做返回边, 例如  $sv$ , 是返回边.

显然, 在 DFS 搜索中, 每边恰通过两次, 又回到出发点. 如果我们把每条边都再附着一条重边, 则  $G$  变成了 Euler 图, 于是 DFS 过程就是沿 Euler 回路旅游的过程. 但是, 这里不能用

Fleury 算法, 这里的图整体结构是未知的——就象忒修斯不

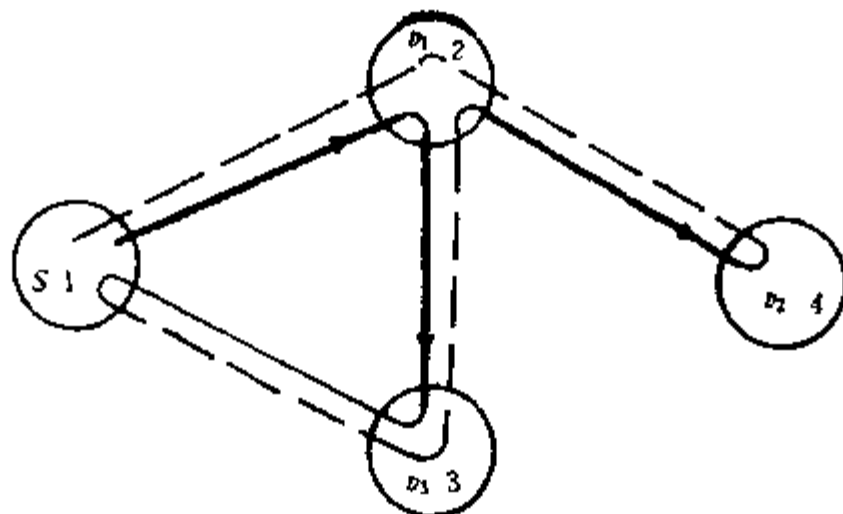


图 6.3

知道迷宫的图一样, 只知道所到之顶点是几次的, 以及执行 DFS 的过程所做的 (已到的边与顶上的) 标志, 要求我们探索出一条行遍性路线, 再回到出发点, 可见 DFS 的作用有两点: (1) 能把一个图的未知结构, 即边顶关联关系搞清楚; (2) 同时找到了一棵生成树。

**定理 3** 在 DFS 中,  $e = ab$  是返回边, 则要么  $a$  是  $b$  之祖先, 要么  $a$  是  $b$  之后代孙。

**证** 设  $k(a) < k(b)$ , 在 DFS 的活动中心, 即算法中的  $v$ , 只沿父子边移动。若  $a$  不是  $b$  之祖先, 但由于  $k(a) < k(b)$ ,  $a$  比  $b$  先“生”, 则活动中心移到  $b$  之前, 已从  $a$  移到  $a$  的某个前辈。然而, 由算法知, 仅当与  $a$  关联的边皆被用过后才倒行至其父, 这说明  $e$  已被用过,  $b$  已被发现,  $k(b) < k(a)$ , 与  $k(a) < k(b)$  矛盾, 故  $a$  是  $b$  之祖先。

若  $k(b) < k(a)$ , 则可证得  $a$  是  $b$  的后代孙。证毕。

例如图 6.3 中  $sv_3$  是返回边,  $s$  是  $v_3$  之“祖父”,  $v_3$  是  $s$  之“孙”。

### 6.1.3 求割顶与块的算法

设连通图  $G$  已被 DFS 定向, 返向边以祖为头。我们规定 顶



$v$  的标号  $l(v)$ : 从  $v$  出发沿有向轨可以到达的顶  $u$  中  $k(u)$  的最小值, 此轨长可以为 0, 但至多允许含一条返回边。例如 图 6.4 中, 顶上第一个数是  $k(v)$ , 第二个数是  $l(v)$ 。

$$l(v_1) = 7, \quad l(v_2) = l(v_3) = l(v_4) = 1, \\ l(v_5) = l(v_6) = l(v_7) = 2.$$

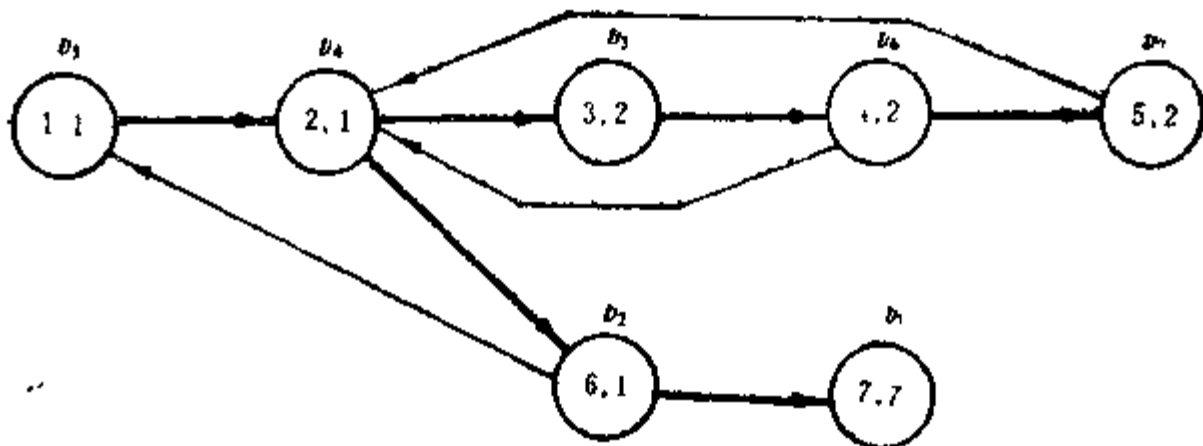


图 6.4

**定理 4** DFS 中,  $e = uv$  是父子边, 且  $k(u) > 1, l(v) \geq k(u)$ , 则  $u$  是割顶。

**证** 令  $S$  是从根  $r$  到  $u$  的轨上含  $r$  而不含  $u$  的一切顶组成的集合;  $T$  是  $v$  为根的子树上的顶集。由定理 3, 不存在连接  $T$  与  $V - (S \cup \{u\} \cup T)$  的边。若存在连接  $t \in T, s \in S$  的边  $ts$ , 则它是返回边, 且  $k(s) < k(u)$ 。这时  $l(v) \leq k(s) < k(u)$ , 与已知  $l(v) \geq k(u)$  矛盾, 故  $ts$  这种边不存在, 故  $u$  是割顶。证毕。

例如 图 6.4 中,  $v_4, v_5$  是父子边, 且  $k(v_4) = 2 > 1, l(v_5) = 2$ , 又  $k(v_4) = 2$ , 由定理 4,  $v_4$  是割顶。

**定理 5** 若  $u$  是连通图  $G$  的割顶,  $G$  经过 DFS 后,  $k(u) > 1$ , 则存在父子边  $e = uv$ , 使得  $l(v) \geq k(u)$ 。

**证** 因  $u$  的割顶, 设  $V - \{u\}$  划分成  $V_1, V_2, \dots, V_m, G[V_i]$  是  $G - u$  的连通片,  $i = 1, 2, \dots, m (m \geq 2)$ , 则当  $i \neq j$  时, 在  $G$  上从  $V_i$  到  $V_j$  的一切轨皆含  $u$ ; 又  $k(u) > 1, u$  不是有向生成树的根, 不妨设  $r \in V_1, r$  是根, 在 DFS 过程中, 活动中心必然要通过

$u$ , 设  $uv$  是  $v \in V_1$  的第一条父子边, 设  $v \in V_2$ , 因无连通  $V_1$  与  $V - (V_2 \cup \{u\})$  之间的边, 故  $l(v) \geq k(u)$ . 证毕.

**定理 6**  $r$  是 DFS 过程中生成树的根,  $r$  是图  $G$  的割顶的充要条件是至少有两条以  $r$  为尾的父子边.

**证** 设  $r$  是 DFS 的生成树的根, 且  $r$  是  $G$  的割顶,  $V_1, V_2, \dots, V_m$  是  $V - \{r\}$  的一个划分,  $G[V_i]$  是  $G - r$  的连通片,  $i = 1, 2, \dots, m$ .  $i \neq j$  时, 从  $V_i$  到  $V_j$  的轨都含  $r$ , 这时没有起于边  $rv$  ( $v \in V_i$ ) 而止于  $V_j$  中顶的树上有向轨, 故至少有两条以  $r$  为尾的父子边.

设  $rv_1, rv_2$  是两条父子边,  $T$  是根在  $v_1$  的子树, 由定理 3, 无连接  $V(T)$  与  $V(G) - (V(T) \cup \{r\})$  之顶的边, 又  $V(G) - (V(T) \cup \{r\}) \neq \emptyset$ , 故  $r$  是  $G$  的割顶. 证毕.

#### 求块和割顶的算法:

(1) 标一切边未用过,  $S = \epsilon$ , 对每顶  $v \in V(G)$ ,  $k(v) \leftarrow 0$ ,  $i \leftarrow 0$ ,  $v \leftarrow s$ .

(2)  $i \leftarrow i + 1$ ,  $k(v) \leftarrow i$ ,  $l(v) \leftarrow i$ , 把  $v$  放入先入后出存储器  $S$ .

(3) 若  $v$  无未用过的关联边, 转 (5).

(4) 选一未用过的边  $e = vu$ , 标志  $e$  用过了, 若  $k(u) \neq 0$ , 令

$$l(v) \leftarrow \min\{l(v), k(u)\},$$

转 (3); 否则 ( $k(u) = 0$ ), 令  $f(u) \leftarrow v$ ,  $v \leftarrow u$ , 转 (2).

(5) 若  $k(f(v)) = 1$ , 转 (9).

(6) ( $f(v) \neq s$ ) 若  $l(v) < k(f(v))$ , 则

$$l(f(v)) \leftarrow \min\{l(f(v)), l(v)\},$$

转 (8).

(7) ( $l(v) \geq k(f(v))$ )  $f(v)$  是割顶. 把  $S$  中包括  $v$  在内的  $v$  上部之顶移出, 这些顶连同  $f(v)$  导出一个块.

(8)  $v \leftarrow f(v)$ , 转 (3).

(9) 把  $S$  中连同  $v$  在内  $v$  上方之顶移出, 这些顶连同  $s$  导出一个块。

(10) 若  $s$  无未用过的关联边, 止。

(11) 顶  $s$  是割顶。令  $v \leftarrow s$ , 转 (4)。

上述算法的时间复杂度是  $O(|E|)$ 。

这个算法能把连通图  $G$  的一切割顶和块找到。

#### 6.1.4 有向图的 DFS

**有向图的 DFS 算法:**

(1) 标志每条边未用过, 对每个顶  $v \in V(G)$ ,  $k(v) \leftarrow 0$ ,  $i \leftarrow 0$ ,  $f(v)$  未定,  $v \leftarrow s$  ( $s \in V(G)$ , 是搜索的出发点)。

(2)  $i \leftarrow i + 1$ ,  $k(v) \leftarrow i$ 。

(3) 若无以  $v$  为尾的未用过的边, 转 (5)。

(4) 选一条未用过的边  $e = vu$ , 标志  $e$  已用过。若  $k(u) \neq 0$ , 转 (3); 若  $k(u) = 0$ ,  $f(u) \leftarrow v$ ,  $v \leftarrow u$ , 转 (2)。

(5) 若  $f(v)$  已确定,  $v \leftarrow f(v)$ , 转 (3)。

(6) 若  $f(v)$  未确定, 选顶  $u$  满足  $k(u) = 0$ ,  $v \leftarrow u$ , 转 (2)。

(7) 止 (所有顶皆被搜索)。(图 6.5.)

上述算法的时间复杂度为  $O(|E|)$ 。

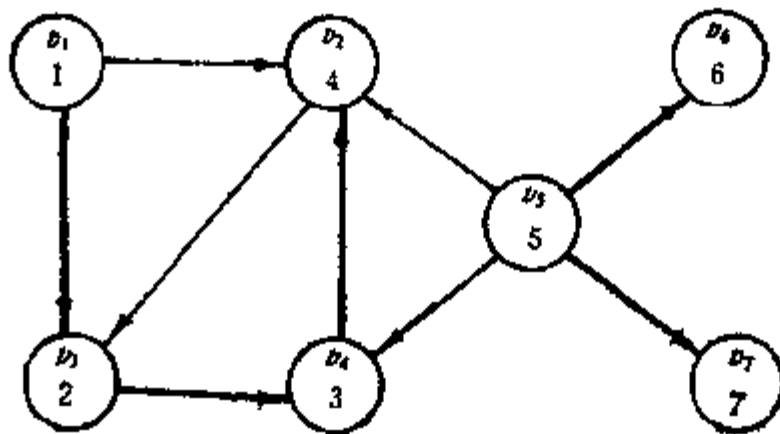


图 6.5

有向图经 DFS 后, 边划分成四类:

- (1) **父子边** 导出  $G$  的生成林.
- (2) **返祖边** 后代通向祖先之边.
- (3) **前进边** 祖先通向后代孙之边.
- (4) **横跨边** 生成林之间的边.

例如图 6.5 中,  $v_1v_3, v_1v_4, v_4v_2, v_5v_6, v_5v_7$  为父子边, 生成林用粗实线表示;  $v_2v_3$  是返祖边;  $v_1v_4$  是前进边;  $v_5v_2, v_5v_4$  是横跨边.

### 6.1.5 求极大强连通子图的算法

在有向图  $G$  中,  $x, y \in V(G)$ , 且存在有向轨  $P(x, y)$  时, 叫做  $x$  可达  $y$ ; 若  $x$  可达  $y$ ,  $y$  可达  $x$ , 则记成  $x \sim y$ . “ $\sim$ ” 是一种等价关系, 即 “ $\sim$ ” 是自反的, 对称的和可传递的关系. 我们用 “ $\sim$ ” 把  $V(G)$  划分成若干等价类, 每一等价类之导出子图叫做  $G$  的极大强连通子图.

**求极大强连通子图的算法:**

- (1) 标志一切边未用过, 对每一顶  $v \in V(G)$ ,  $k(v) \leftarrow 0$ ,  $f(v)$  未定,  $S = \emptyset$ ,  $i \leftarrow 0$ , 活动中心  $v \leftarrow s (s \in V(G))$ .
- (2)  $i \leftarrow i + 1, k(v) \leftarrow i, l(v) \leftarrow i$ , 把  $v$  放入  $S$ .
- (3) 若无以  $v$  为尾的未用过之边, 转 (7).
- (4) 选一未用过的边  $e = vu$ , 标志  $e$  用过了, 若  $k(u) = 0$ , 则  $f(u) \leftarrow v, v \leftarrow u$ , 转 (2).
- (5) 若  $k(u) > k(v)$  ( $e = vu$  是前进边), 转 (3); 若  $k(u) < k(v)$ ,  $u \in S$ , 转 (3).
- (6)  $k(u) < k(v)$ ,  $u \in S$ , 令  
 $l(v) \leftarrow \min\{l(v), k(u)\}$ , 转 (3).
- (7) 若  $l(v) = k(v)$ , 则下至  $v$  的  $S$  中之顶全部移出, 它们导出一个极大强连通子图.
- (8) 若  $f(v)$  已确定, 则

$l(f(v)) \leftarrow \min\{l(f(v)), l(v)\}, v \leftarrow f(v)$  转 (3) .

(9)  $f(v)$  未定, 若存在  $u \in V(G)$ ,  $k(u) = 0$ , 则  $v \leftarrow u$ , 转 (2) .

(10) 止 (一切顶被搜索) .

上述算法之时间复杂度是  $O(|E|)$  .

## 6.2 平面嵌入算法

Kuratowsky 定理给出图为平面图的充要条件, 但要检验  $G$  中究竟有无  $K_5$  与  $K_{3,3}$  的同胚图, 我们并无良策. 本节给出一个平面嵌入算法, 算法终止时, 得到了平面嵌入者, 自然为平面图, 否则为非平面图. 这个算法是有效算法, 不但是一种平面性判定, 而且当图是平面图时, 给出绘制一种嵌入图的程序. 我们这里介绍的是 1966 年 Lempel, Even 和 Cederbaum 给出的所谓“顶点添加平面嵌入法”.

### 6.2.1 $st$ 编码

因为  $G$  为平面图的充要条件是  $G$  的块皆平面图, 不妨认为图  $G$  是一个块来考虑其平面嵌入问题.

取  $e = st \in E(G)$ , 称满足下列条件的一一映射  $g$  为面的  $st$  编码:

$$g: V(G) \rightarrow \{1, 2, \dots, v\},$$

使得

$$(1) g(s) = 1, \quad (2) g(t) = v, \quad (3) v \in V(G) - \{s, t\},$$

则存在  $v$  的两个邻顶  $u$  与  $w$ , 有

$$g(u) < g(v) < g(w).$$

是否任意的图 (块) 都有  $st$  编码? 如果有, 如何编? 为此首先建立一个寻路算法 (Path finding algorithm), 代号 PFA.

PFA 算法:

(0) 对  $G$  执行 DFS, 且取  $k(t) = 1, k(s) = 2$  (即  $t$  是 DFS 之出发点,  $s$  是  $t$  的儿子), 把顶  $s, t$  及边  $ts$  标成“老的”, 其余边顶皆标成“新的”

(1) 若  $v \in V(G)$ , 存在新的返回边  $e = vw, (k(w) < k(v))$  则标  $e$  为老的, 得路  $vw$ , 止.

(2) 若存在新的父子边  $e = vw (k(w) > k(v))$ , 从  $e$  开始, 追踪定义  $l(w)$  的路 (沿父子边前进, 通过一条返回边在一顶  $u$  处结束, 其中  $k(u) = l(w)$ ). 把此路上的一切顶与边标成老的, 止.

(3) 若存在新的返回边  $e = wv (k(w) > k(v))$ , 则从  $e$  及父子边逆行直至一个老顶, 此路上的一切顶与边标以老的, 止.

(4) 一切与  $v$  关联的边皆老的, 产生空路, 止.

上述算法时间复杂度是  $O(|E|)$ .

**定理 7** 寻路算法总从老顶  $v$  开始,  $v \neq t$ , 则老顶之祖先也是老的.

**证** 用归纳法来证. 若  $v = s$ ,  $s$  之祖先是  $t$ ,  $t$  是老的, 命题成立. 假设已进行了  $p$  次寻路, 每次皆从老顶出发, 且老顶之祖先皆老顶. 考虑  $p+1$  次寻路之后, 从寻路的四个步骤可以看出, 其中任何一条执行时, 命题结论仍正确. **证毕.**

**定理 8**  $G$  是块, 从老顶  $v$  出发 ( $v \neq t$ ) 寻路, 则每次产生一个过新边新顶的路, 此路止于另一个老顶, 或是  $v$  的一切关联边皆为老的, 产生空路.

**证** 只需考查寻路算法中的 (2). 因  $G$  是块,  $v$  非割顶, 则  $l(w) < k(v)$ , 故 (2) 寻路之终止点  $u$  是  $v$  之祖先, 由于  $v$  是老的, 由定理 7, 所以  $u$  也是老的. **证毕.**

**st 编码算法:**

(1)  $i \leftarrow 1, s, t \in S, s$  在  $t$  之上方.

(2) 若  $v$  在  $S$  之顶部, 把  $v$  从  $S$  中移出; 若  $v = t, g(t) \leftarrow i$ , 止.

(3) 若  $v \neq t$ , 对  $v$  执行寻路算法, 若从  $v$  始寻到的是空路, 则  $g(v) \leftarrow i$ ,  $i \leftarrow i + 1$ , 转 (2)。

(4) 若得的路非空, 设它是  $vu_1, u_2 \cdots u_l w$ , 按  $u_l, u_{l-1}, \cdots, u_2, u_1, v$  的顺序把它们放入  $S$ , 转 (2)。

上述算法的时间复杂度是  $O(|E|)$ 。

**定理 9**  $st$  编码算法给出一个  $st$  编码。

**证** 我们从算法发现三个事实:

(i) 没有一个顶同时出现在  $S$  的两个或更多的位置上。

(ii) 一旦  $v$  出现在  $S$  中,  $S$  中在  $v$  下方的顶直到  $v$  得到编码前是不会得到编码的。

(iii) 仅当与  $v$  关联的边皆“老的”时, 此顶才从  $S$  中移出, 不再进入  $S$ 。

下面来证  $t$  被移出  $S$  之前, 每个顶都会被放入  $S$ 。因为开始时  $t$  与  $s$  已在  $S$  中, 我们只考虑  $v \neq s, t$ , 因  $G$  是块, 则从  $s$  到  $v$  有一条不过  $t$  的轨。设此轨为  $su_1u_2 \cdots u_{l-1}v$ , 且  $u_m$  是未放入  $S$  的第一个顶, 这里  $s = u_1, v = u_l$ 。因  $u_{m-1}$  放入了  $S$ , 由 (ii),  $t$  只能在  $u_{m-1}$  之后被移出; 且由 (iii),  $u_{m-1}$  被移出, 只能在与之关联的一切边皆老之后, 所以  $u_m$  必于  $t$  被移出前放入  $S$ 。

下面证明得到的是  $st$  编码。

因为每顶放入  $S$  后, 终于要被移出, 所以每顶得一编码  $g(v)$ 。显然  $g(s) = 1$ , 因为  $s$  是第一个被移出者。以后的赋值是递增的, 故  $g(t) = v$ 。其它顶第一次放入  $S$  时, 是做为一路之内顶, 故在  $S$  中, 此顶下方还有一个在  $G$  中相邻的顶, 上方也有一顶是此顶在  $G$  中的邻顶。由 (ii), 在此顶上方的那个顶编号小, 此顶下方的那个顶的编号大, 故  $g$  是一个  $st$  编码。证毕。

### 6.2.2 顶点添加平面嵌入算法

设  $G$  是块, 已被  $st$  编码, 我们用顶点的  $st$  码来称呼该顶。 $V = \{1, 2, \cdots, v\}$ 。我们把  $G$  定向, 使每有向边满足尾小于头,

于是:

(1)  $d^+(1) = 0$ , 1 是唯一的“源”, 只出不入.

(2)  $d^+(v) = 0$ ,  $v$  是唯一的“坑”, 只入不出.

(3)  $v \in \{2, 3, \dots, v-1\}$ ,  $d^+(v) \cdot d^-(v) \neq 0$ ,  $v$  非源非坑, 有进有出.

记  $G'$  是平面图  $G$  之平面嵌入,  $G_k = G[\{1, 2, \dots, k\}]$ .

**引理 1** 设  $G'_k$  是含于  $G'$  中的  $G_k$  之平面嵌入, 则  $G' - V(G'_k)$  的一切顶与边皆嵌在  $G'_k$  的一个面内部, 其中  $k < v$ .

**证**  $G' - V(G'_k)$  的顶集非空, 而  $V(G' - V(G'_k)) \cap V(G'_k) = \emptyset$ , 所以存在  $G'_k$  的一个面  $f$ ,  $f$  内部含  $G' - V(G'_k)$  的若干个顶. 又因  $f$  的边界上的顶皆小于  $f$  内部的顶 ( $f$  内之顶是  $V(G' - V(G'_k))$  中的, 都比  $k$  大), 于是  $f$  内的最大的顶必为坑, 不然, 有一边以它为尾, 此边之头是比尾更大的顶, 此头不在  $f$  内, 必在  $f$  的边界上, 而  $f$  上的顶属于  $G'_k$ , 都不大于  $k$ , 矛盾. 又  $G$  只有一个坑. 所以  $f$  内部含有  $G' - V(G'_k)$  的一切顶与边, 不然, 在  $G'_k$  的另一个面  $f'$  内仍有  $G' - V(G'_k)$  的顶, 于是同理得知  $f'$  内亦有坑, 与坑的唯一性相违. **证毕.**

由引理 1, 我们可以把  $G' - V(G'_k)$  的边与顶嵌在  $G'_k$  的外面内.

我们如下地生长一个灌木  $B_k$ : 把  $G_k$  的顶按  $st$  号码放在从第一层到第  $v$  层的水平线上, 再画上边, 实现  $G_k$  的平面嵌入  $G'_k$ . 再从  $G'_k$  的顶出发不交叉地画出进入  $V(G) - V(G_k)$  的一切边, 不过这些边的头画在最高层的水平线上, 其中两条边有同一个头时, 也画成两个头. 再把这些头标志以在  $G$  中的  $st$  编码. 这时, 可能有几个在最高层的顶有相同的号码, 它们在  $G$  中本来是同一个顶.

我们把上述最高层的顶叫做**虚拟顶**, 以虚拟顶为头的边叫**虚拟边** (图 6.6 与图 6.7).

若  $B_k$  的  $k+1$  号虚拟顶连贯地出现在最高层, 我们把这些



$k+1$ 号虚拟顶重合成一个顶,保持其关联的边不交叉,并把此顶从

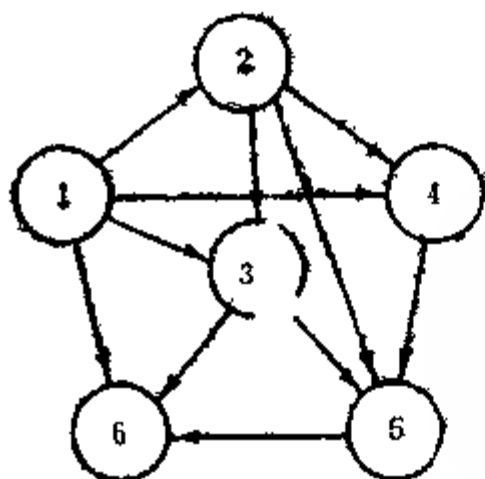


图 6.6

第  $v$  层拉下来,放在第  $k+1$  层上,再把从  $k+1$  号顶出发的虚拟边与虚拟顶画好,得到灌木  $B_{k+1}$ ,这一过程若能进行,则可得灌木  $B_k$ ,即得到了  $G$  的平面嵌入。

问题在于要有办法解决虚拟顶上同一号码在第  $v$  层水平线上不连贯出现的情形。为此我们讨论图(未必是块)的元件概念。

在  $G-v$  中取一连通片  $G_i$ ,  $G[V(G_i) \cup \{v\}]$  叫做  $G$  的关于  $v$  的一个元件。

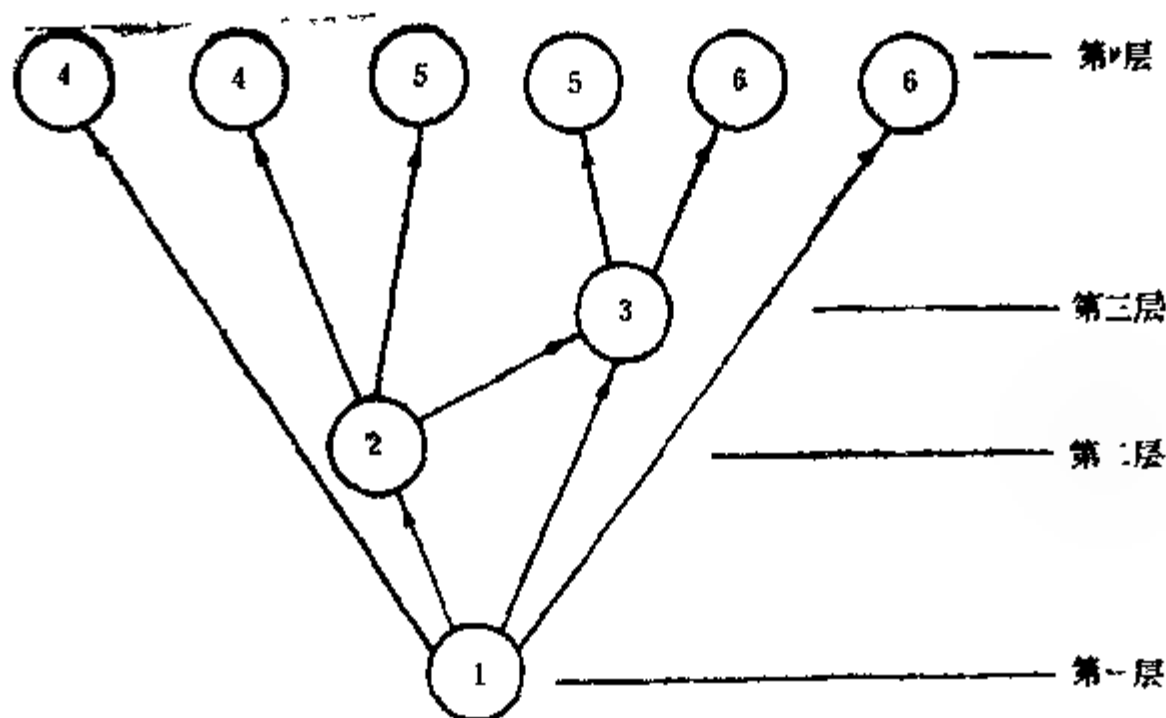


图 6.7

**引理 2** 设  $v$  是  $B_k$  的一个割顶,  $v > 1$ , 则恰有  $B_k$  的关于  $v$  的一个元件, 含有比  $v$  小的顶。

**证** 由  $st$  码之定义, 任取  $u \in V(B_k)$ ,  $1 \leq u < v$ , 不妨设  $u > 1$ , 存在  $u_1 < u$ ,  $u_1 u \in E(B_k)$ ; 存在  $u_2 < u_1$ ,  $u_2 u_1 \in E(B_k)$ ;

…，于是找到了一条从1到 $u$ 但不超过 $v$ 的道路。即一切比 $v$ 小的顶在 $B_k - v$ 的同一个连通片上，于是 $v > 1$ 时，恰有一个元件含比 $v$ 小的顶。**证毕。**

引理2的意思是，若 $v$ 是 $B_k$ 的割顶，除去含1的那个关于 $v$ 的元件，其它关于 $v$ 的元件中， $v$ 都是最小顶、而这些以 $v$ 为最小（低）的顶的每个元件又是以 $v$ 为根的子灌木，每个子灌木可以以 $v$ 为根翻转 $180^\circ$ （我们约定根在最下方）或者把同根的灌木们位置进行置换，以期 $k+1$ 号虚拟顶在最高层连贯地出现。（图6.8）。

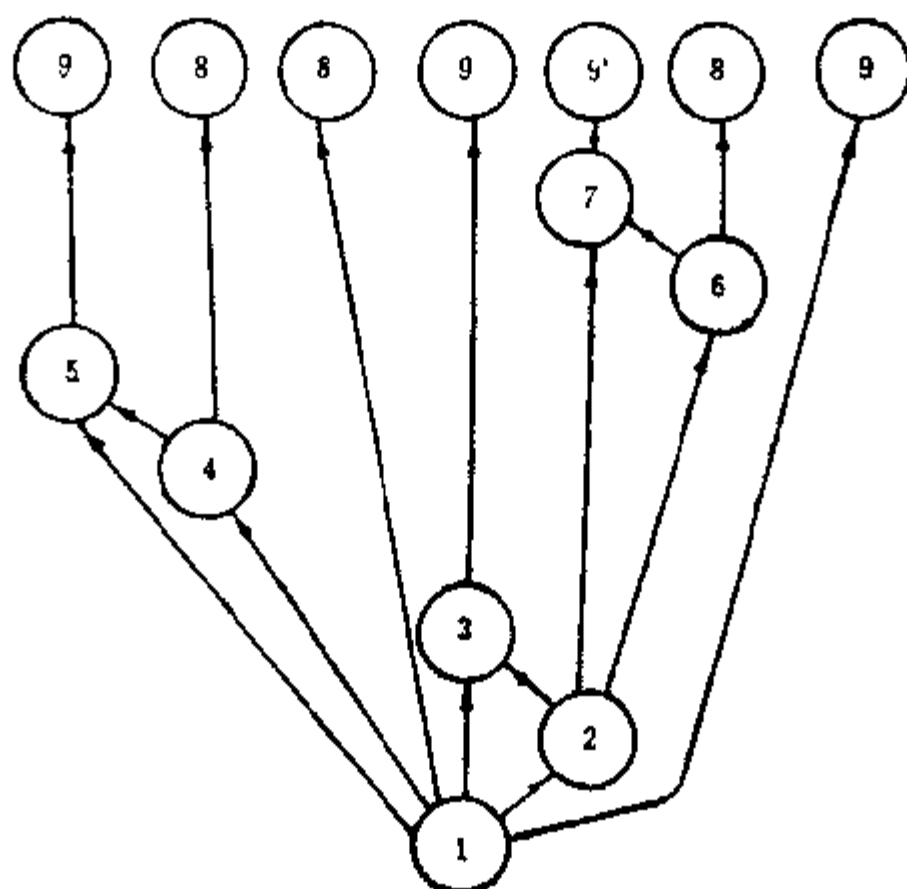


图 6.8

在图6.8中画的是一个 $B_7$ ，我们可以如下地施行翻转与置换，使最高层8号连贯：1与8导出的元件与1与9导出的元件对换，再把1, 4, 5, 8, 9导出的元件翻转，轮换到最右侧，则会出现最高层的排列9, 9, 9, 8, 8, 8, 9，于是8号连

贯出现。

**引理 3** 设  $H$  是  $B_k$  的块,  $V(H) \supset \{y_1, y_2, \dots, y_n\}$ ,  $y_1, y_2, \dots, y_n$  又是  $B_k - E(H)$  中边之端点, 则所有的  $y_1, y_2, \dots, y_n$  在  $B_k$  的每一种平面嵌入形成的灌木  $B'_k$  中都在  $H$  的平面嵌入  $H'$  的外面边界上, 且面序相同 (可以是顺时针也可以是逆时针排列)。

**证** 设在  $B'_k$  中,  $H$  的嵌入为  $H'$ , 则  $y_1, y_2, \dots, y_n$  是  $B'_k - E(H')$  的边之端点, 所以  $y_1, y_2, \dots, y_n$  在  $H'$  的外面边界上是显然的。

设  $B'_k, B''_k$  是  $G$  的两个不同方式画出的灌木,  $H$  是其中的块,  $H$  的嵌入分别为  $H', H''$ 。若  $y_i, y_j$  在  $H'$  的外边界上相邻, 但在  $H''$  外边界上不相邻, 则  $H''$  的外边界上有另外两个顶  $y_i, y_i$ , 它们隔离了  $y_i, y_j$ 。在  $H'$  中有两条轨  $P_1(y_i, y_j)$  与  $P_2(y_i, y_j)$ , 它们无公共顶点, 但在  $H''$  中这样的两条轨不存在, 矛盾。所以  $B_k$  不同的画法不影响  $y_1, y_2, \dots, y_n$  在  $H$  的嵌入中在外边界上的相邻关系。证毕。

**定理 10** 设  $B'_k$  与  $B''_k$  是  $G_k$  的两个面木, 则存在有限个  $B'_k$  的元件的翻转与置换, 使得  $B'_k$  变成  $B'''_k$ , 且  $B'''_k$  与  $B''_k$  中虚拟顶出现的次序一致。

**证** 对顶数进行归纳证明。

若  $B'_k$  与  $B''_k$  只有两个顶, 命题自然成立。

假设对顶数  $\leq p-1$  的灌木  $B'_k$  与  $B''_k$  定理已成立, 考虑顶数为  $p$  的两个灌木  $B'_k, B''_k$ , 令  $v-1$  (根)。

(i) 若  $v$  是  $B'_k$  与  $B''_k$  的割顶, 我们把关于  $v$  的元件 (子灌木) 排列得顺序一致, 由归纳法假设,  $B'_k$  中的每一以  $v$  为根的子灌木可以通过有限次元件翻转与置换而使其虚拟顶的排列与  $B''_k$  中相应的子灌木一致。从而定理成立。

(ii) 若  $v$  不是  $B'_k$  与  $B''_k$  的割顶, 设  $H$  是含  $v$  的块, 在  $B'_k$  与  $B''_k$  中,  $H$  的嵌入分别是  $H'$  与  $H''$ 。设  $\{y_1, y_2, \dots, y_n\}$  是  $H$

之顶集的子集, 且  $y_1, y_2, \dots, y_m$  都是  $E(B'_k) - E(H')$  中边之端点, 由引理 3,  $y_1, y_2, \dots, y_m$  都出现在  $H'$  与  $H''$  的外面边界上. 若绕行顺序相反, 则可使  $B'_k$  翻转而使  $y_1, y_2, \dots, y_m$  按同一绕行方向在  $H'$  与  $H''$  的外边界上顺序一致. 由引理 2, 每个  $y_i (i=1, 2, \dots, m)$  皆为某个子灌木之根, 且这些子灌木在  $B'_k$  与  $B''_k$  中的出现次序, 由引理 3, 可以经置换变得一致. 又由归纳法假设, 每个上述的子灌木可经有限次翻转与置换, 使相应的子灌木上的虚拟顶出现的次序一致, 进而  $B'_k$  与  $B''_k$  的虚拟顶出现的次序一致. **证毕.**

由引理 1 知, 我们把  $G$  嵌入平面时, 可以把  $G' - V(G'_k)$  的边与顶嵌在  $G'_k$  的外面内, 所以存在一种  $B_k$ , 使得  $k+1$  号虚拟顶在最高层连贯出现; 倘若我们在画灌木  $B_k$  时, 最高层上  $k+1$  号虚拟顶未能连贯出现, 由定理 10, 我们总可以通过元件的翻转与置换而使其  $k+1$  号虚拟顶在最高层连贯出现, 进而得到  $B_{k+1}, B_{k+2}, \dots, B_{v-1}$ , 最后得到  $G'$ .

本章我们介绍了图论中的三个基本算法, 尤其是 DFS 算法, 应当领会它的“走一步是一步, 走不通时则倒退”的摸索精神. 它的优点在于无需知道图的整体结构, 即可把图遍历, 而且还能得到生成树和有向图的生成林. DFS 是很多图论算法的基础, 例如本章讲的  $st$  编码.

平面图的平面嵌入算法不止一种, 我们这里介绍的顶点添加算法是其中最直观最生动的方法之一, 它用生长灌木的形象来进行, 通俗易懂, 便于掌握. 而且, 当这一算法不能实现平面嵌入时, 我们便判定图是非平面图.

## 习 题

1 证明 DFS 得到的生成树上, 一个团的一切顶必出现在一条有向道路上; 它们是否连贯地出现? 论证你的回答.

2 设  $G$  是连通图,

(a) 顶  $u \neq s$  是割顶的充要条件是当  $G$  上 DFS 终止时, 存在父子边  $uv$ , 不存在返回边  $xy$ , 使得  $x$  是  $v$  的后代,  $y$  是  $u$  的祖先.

(b) 设计一个时间复杂度为  $O(|E|)$  的求割顶的算法, 且能产生块.

3  $C$  是有向图上的有向圈, 执行 DFS 时,  $v$  是  $C$  上  $k(v)$  最小者, 则  $v$  是 DFS 所得生成林中一个子树之根, 且  $C$  的一切顶皆在此子树上.

4. 设计一个求桥的算法,

5. 用顶点添加嵌入法讨论 Petersen 图是否平面图.

6. 用顶点添加算法把下面的图 6.9 嵌入平面.

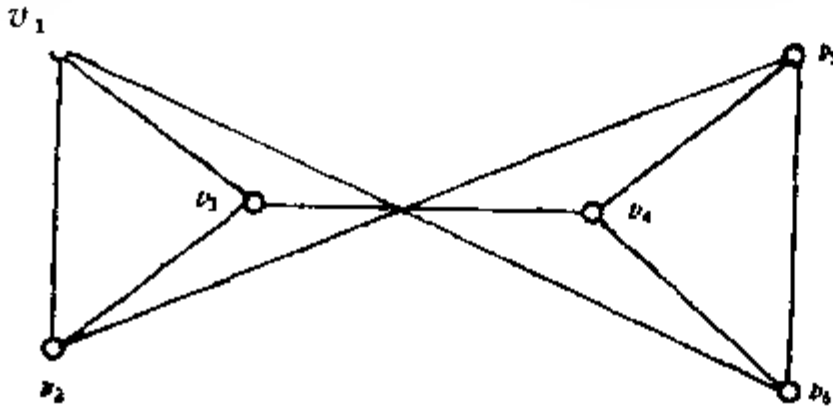


图 6.9

7. 图 6.10 是否平面图? 用顶点添加算法讨论之.

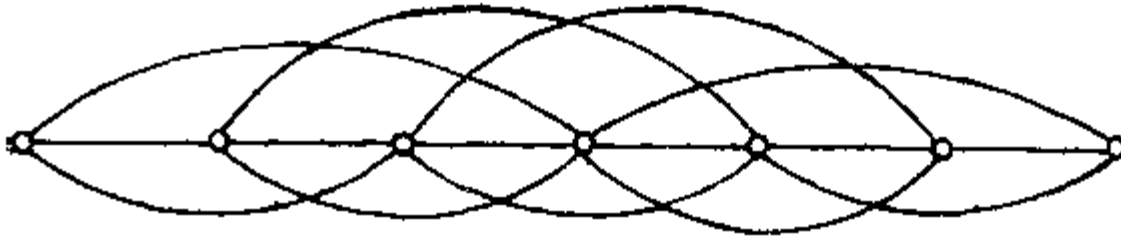


图 6.10

## 7 匹配理论及其应用

### 7.1 匹配与许配

让我们从一个古典问题谈起，这个问题就是组合数学当中著名的**婚配问题**：某团体有若干未婚的姑娘和小伙子，所有的姑娘都已到结婚年龄。如果没有另外的条件限制，为了满足姑娘们的愿望，唯一的必备条件是，可供选择的小伙子至少要和姑娘一样多。但每个姑娘都不会草率处理终身大事，她们往往会排除一些小伙子作为她的可能的配偶，于是，实际上有一个她认为是可以接受的配偶的名单。问：

(1) 这个团体里的每个姑娘是否都可以与她自己认可的小伙子结婚？

显然这并非永远可以，因为或许有三位姑娘，她们手头上的名单都只列出两个小伙子，而且三张名单竟完全一样！既然并非永远可行，那么，问：

(2) 在什么条件下可以满足每位姑娘的心愿？当这种条件不具备时，又问：

(3) 最多有几位姑娘的愿望会得以满足？

(4) 如何匹配，才会使婚后这个团体的家庭最为美满？

提请读者注意，这里讲的不是笑话或游戏，这四个问题十分典型，事实上，有很多实际问题，它的数学模型与上述婚配问题的数学模型是一样的，为了解决诸如此类的问题，发展了一整套数学理论和有效算法。这些，正是本章所要研究的内容。本章仍研究无向单图。

**定义 1**  $M \subseteq E(G)$ ,  $\forall e_i, e_j \in M, e_i, e_j$  不相邻，则称  $M$

是图  $G$  中的一个匹配； $M$  中的一条边之两个端点叫做在  $M$  之下相配； $M$  中的每个端点称为被  $M$  许配； $G$  中每个顶皆被  $M$  许配时， $M$  称为完备匹配； $G$  中已无匹配  $M'$ ，使得  $|M'| > |M|$ ，则称  $M$  为最大匹配。

图 7.1(a) 的粗实线表示一个最大匹配，(b) 中粗实线表示一个完备匹配（当然是最大匹配）。

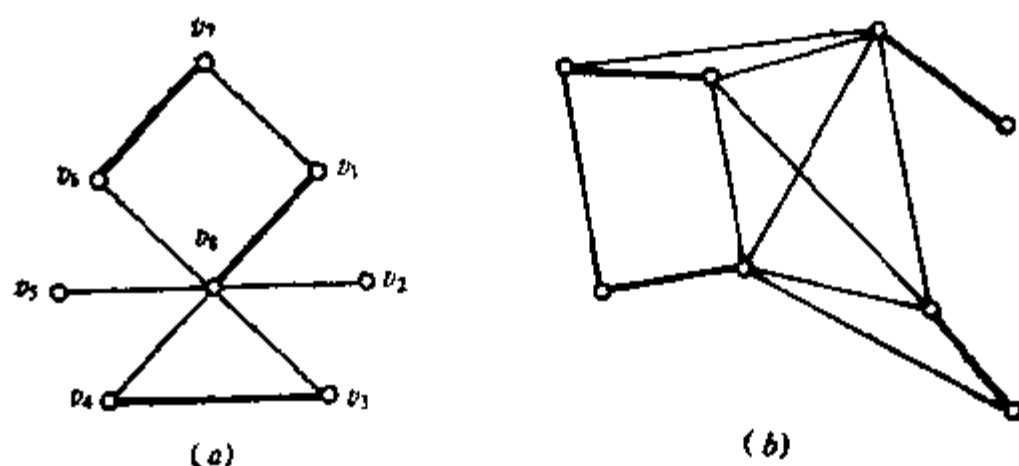


图 7.1

### 例 1 Bernoulli-Euler 错放信笺问题：

某人给六个人各写了一封信，准备了六个写有收信人地址的信封，问有多少种投放信笺的可能，使每份信笺与信封上收信人不相符？

**解** 设信笺为  $x_i$ ，信封为  $y_i$ ， $i = 1, 2, 3, 4, 5, 6$ 。  $x_i$  与  $y_i$  是相符的，于是问题转化为求图 7.2 中的图  $G$  有多少不同的完备匹配，我们把这个数目记成  $\varphi(6)$ 。

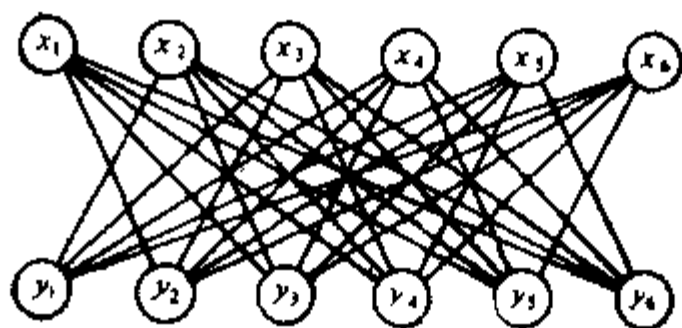


图 7.2

$x_1$  与  $y_2$  相配时, 完备匹配的个数等于从图  $G$  中删除顶  $x_1$  与  $y_2$  后所得的图  $G_{x_1, y_2}$  中完备匹配的个数, 这个数记成  $\psi(5)$ . 在  $G_{x_1, y_2}$  中, 若  $x_2$  与  $y_1$  相配, 则  $\psi(5) = \varphi(4)$ ; 若  $x_2$  不与  $y_1$  相配, 则  $\psi(5) = \varphi(5)$ . 于是  $G$  中  $x_1$  与  $y_2$  相配时, 可得  $\varphi(5) + \varphi(4)$  个完备匹配; 同理,  $x_1$  与  $y_j (3 \leq j \leq 6)$  相配时, 亦有  $\varphi(5) + \varphi(4)$  个完备匹配, 故  $\varphi(6) = 5[\varphi(5) + \varphi(4)]$ ; 同理可得  $\varphi(5) = 4[\varphi(4) + \varphi(3)]$ ,  $\varphi(4) = 3[\varphi(3) + \varphi(2)]$ ,  $\varphi(3) = 2[\varphi(2) + \varphi(1)]$ , 而  $\varphi(2) = 1, \varphi(1) = 0$ , 故得  $\varphi(6) = 265$ , 即可能有 265 种投放错误.

一般地, 有递推公式 ( $n$  封信):

$$\varphi(n) = (n-1)[\varphi(n-1) + \varphi(n-2)], \quad \varphi(2) = 1.$$

**定义 2**  $M$  是  $G$  上的匹配,  $G$  中有一轨, 其边交替地在  $E - M$  和  $M$  中出现, 则称此轨为  $G$  中  $M$  的交错轨. 若  $M$  的交错轨的起止顶皆未被  $M$  许配, 则称此轨为  $M$  的可增广轨.

图 7.3 中  $v_1 v_2 v_3 v_4$  是可增广轨, 其中  $M_1 = \{v_2 v_3\}$  是一个匹配, 我们可以取新的匹配  $M_2 = \{v_1 v_2, v_3 v_4\}$ , 使  $|M_2| > |M_1|$ . 这正是增广的含义, 即可以把可增广轨上不在匹配中的边放入匹配中, 而把原属于匹配的边从匹配中去掉, 得到的新匹配比原来的匹配边数增大 1.

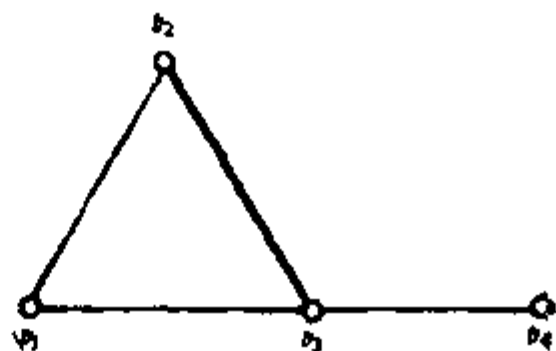


图 7.3

## 7.2 匹配基本定理

我们把  $A$  与  $B$  两个集合的对称差记成  $A \ominus B$ , 定义  $A \ominus B = (A \setminus B) \cup (B \setminus A)$ , 显然  $A \ominus B = B \ominus A$ , 故名对称差. 符号  $\ominus$  也可写成  $\oplus$ .



下面是 Berge, Hall, König 和 Tutte 的四个著名定理。

**定理 1** (Berge, 1957)  $M$  是  $G$  的最大匹配的充要条件是  $G$  中无  $M$  的可增广轨。

**证** 设  $M$  是  $G$  的最大匹配, 但  $G$  有一个可增广轨, 则可以把  $M$  的边数增加 1, 与  $M$  是最大匹配矛盾, 故这时  $G$  中无  $M$  的可增广轨。

下面证充分性。已知  $G$  内不含匹配  $M$  的可增广轨, 要证  $M$  是最大匹配。若  $M$  不是最大匹配, 则存在另一匹配  $M'$ ,  $|M'| > |M|$ 。令

$$H = G[M \oplus M'],$$

则  $H$  中顶的次数非 1 则 2, 因为  $H$  的顶至多与  $M$  的一条边,  $M'$  的一条边相关联, 又不会有零次顶。故  $H$  的连通片, 或是  $M$  与  $M'$  的边交错出现的一个偶圈, 或是  $M$  与  $M'$  的边交错出现的一条轨, 又因  $|M'| > |M|$ , 故  $H$  中的边  $M'$  中的比  $M$  中的多, 所以, 必有  $H$  的某个连通片是轨, 且此轨以  $M'$  的边为起止边, 于是得到了  $M$  的可增广轨, 与  $G$  中无  $M$  的可增广轨矛盾。证毕。

**定义 3**  $A \subseteq V(G)$ ,  $V(G)$  中与  $A$  中顶相邻的顶所成之集合记成  $N(A)$ , 叫做  $A$  的邻集。

**定理 2** (Hall, 1935)  $G$  是二分图, 顶集划分成  $X$  与  $Y$ ,  $G$  中存在把  $X$  中顶皆许配的匹配之充要条件是, 对一切  $S \subseteq X$ ,  $|N(S)| \geq |S|$ 。

**证**

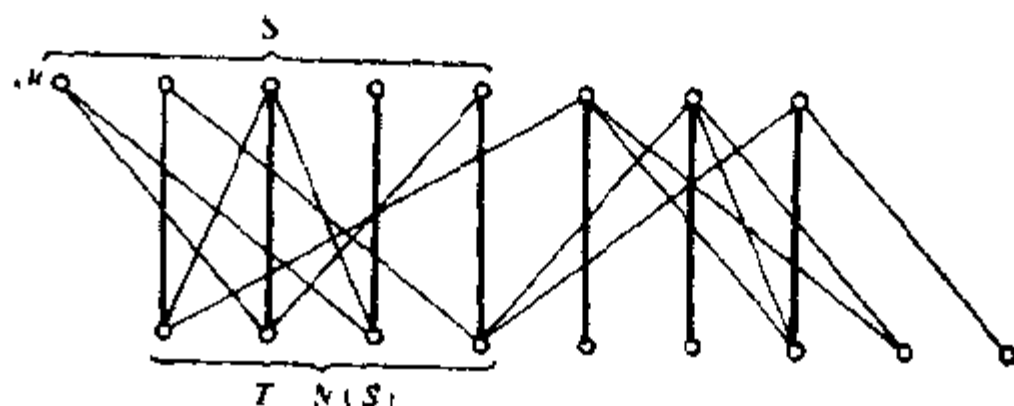


图 7.4

设  $G$  中含把  $X$  中每顶皆许配的匹配  $M$ ，且令  $S$  是  $X$  的子集，则  $S$  中各顶亦被许配，故  $|N(S)| \geq |S|$ 。

反之，若一切  $S \subset X$ ，有  $|N(S)| \geq |S|$ ，但  $G$  中没有把  $X$  中顶皆许配的匹配。设  $M^*$  是  $G$  的一个最大匹配， $M^*$  也不能把  $X$  中的顶都许配，令  $u$  是一个  $X$  中未被  $M^*$  许配的顶（图 7.4），又令  $Z$  是被  $M^*$  的交错轨与  $u$  相连通的顶点集合；因  $M^*$  是最大匹配，由 Berge 定理， $u$  是  $Z$  中仅有的未被  $M^*$  许配的顶。取

$$S = Z \cap X, T = Z \cap Y.$$

显然， $S - \{u\}$  中的顶在  $M^*$  中与  $T$  中的顶相配，于是

$$|T| = |S| - 1, N(S) = T,$$

故得

$$|S| = |N(S)| + 1,$$

与  $|N(S)| \geq |S|$  矛盾。证毕。

**推论 1**  $G$  是  $k$  次正则二分图， $k > 0$ ，则  $G$  有完备匹配。

**证** 设  $G$  之顶的二分图划分为  $X, Y$ ，则  $k|X| = e = k|Y|$ ， $k > 0$ ，故  $|X| = |Y|$ 。令  $S$  是  $X$  中任一非空子集， $E_1$  与  $E_2$  分别表示与  $S$  及  $N(S)$  中顶相关联的边集，由  $N(S)$  之定义， $E_1 \subset E_2$ ，故

$$k|N(S)| \leq |E_2| \leq |E_1| = k|S|,$$

于是  $|N(S)| \geq |S|$ ，由 Hall 定理， $G$  中有把  $X$  中顶皆许配的匹配  $M$ ，又因  $|X| = |Y|$ ，故  $M$  为完备匹配，证毕。

**定义 4**  $K \subset V(G)$ ，且  $G$  的每一边至少有一个端点属于  $K$ ，则称  $K$  是图  $G$  的一个覆盖。若  $K$  是一个覆盖， $\forall v \in K, K - \{v\}$  不是覆盖，则称  $K$  为极小覆盖。若  $K$  为覆盖，但已无覆盖  $K'$ ，使得  $|K'| < |K|$ ，则称  $K$  为最小覆盖。用  $\alpha(G)$  表示  $G$  中最小覆盖之顶数， $\alpha(G)$  称为  $G$  的覆盖数。

例如图 7.5 中的黑色顶是一个极小覆盖，同时也是 一个最小覆盖， $\alpha(G) = 4$ 。这里覆盖一词的含义是顶覆盖全体边，即  $K$  是覆盖，则  $G - K$  为无边图。任意一个匹配  $M$ ，都满足

$$\alpha(G) \geq |M|.$$

**定理 3 (König, 1931)** 在二分图中, 若  $M^*$  是最大匹配,  $K$  是最小覆盖, 则  $|M^*| = |K| = \alpha(G)$ .

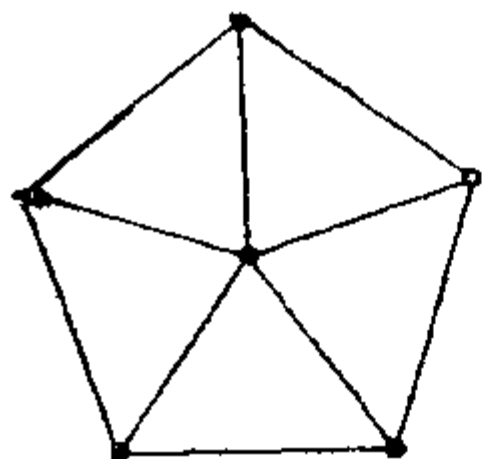


图 7.5

**证** 设  $M^*$  是二分图  $G$  中的最大匹配,  $V(G)$  的二分图划分为  $X$  与  $Y$ , 若  $M^*$  把  $X$  中一切顶皆许配, 则  $|M^*| = |X|$ ; 这时, 显然  $X$  是一个最小覆盖, 故  $|M^*| = \alpha(G)$ .

若存在未被  $M^*$  许配的顶, 令  $U$  是  $X$  中未被  $M^*$  许配的顶之集合 (图 7.6),  $Z$  是由  $M^*$  的交错轨与  $U$  中顶相连通的顶之集合, 且令  $S = Z \cap X$ ,  $T = Z \cap Y$ , 则  $N(S) = T$ . 又令  $\bar{K} = (X - S) \cup T$ , 则  $G$  的每一边至少有一端在  $\bar{K}$  中, 不然, 将会有一边, 一端在  $S$  中, 另一端在中  $Y - T$  中, 这与  $N(S) = T$  矛盾, 故  $\bar{K}$  是  $G$  的

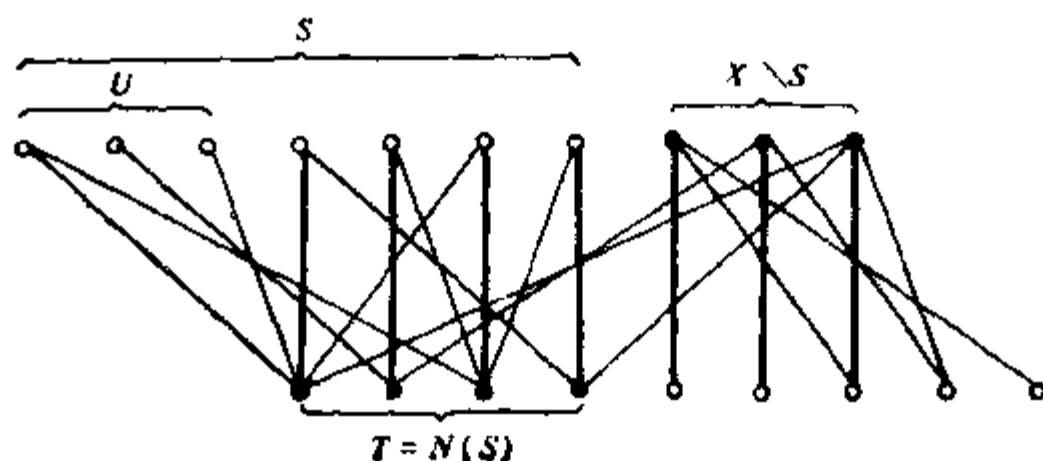


图 7.6

一个覆盖, 且显然有  $|M^*| = |\bar{K}|$ . 而任一匹配  $M$ , 都有  $|M| \leq \alpha(G)$ , 故  $|M^*| \leq \alpha(G)$ , 于是  $|K| \leq \alpha(G)$ , 故  $K$  是最小覆盖. 证毕.

刻画完备匹配的一个非常深刻的成果归功于 Tutte, 用它来

否定一个图存在完备匹配很方便。

**定义 5** 图的顶数为奇数的连通片叫做奇片，顶数为偶数的连通片叫做偶片， $o(G)$  表示  $G$  中奇片的个数。

**定理 4** (Tutte, 1947) 图  $G$  有完备匹配的充要条件是对一切  $S \subset V$ ,  $o(G-S) \leq |S|$ 。

**证** 设单图  $G$  有完备匹配  $M$ 。  $G_1, G_2, \dots, G_n$  是  $G-S$  的奇片,  $n \geq 0$ 。显然, 当  $S = \emptyset$ ,  $o(G-S) = 0$ , 即  $n = 0$ , 所以不妨设  $S \neq \emptyset$ 。因  $G_i$ ,  $i = 1, 2, \dots, n$  是奇片,  $G_i$  中的某个顶  $u_i$  必然被  $M$  匹配于  $S$  的一个顶  $v_i$ , 因而  $\{v_1, v_2, \dots, v_n\} \subseteq S$ ,  $o(G-S) = n = |\{v_1, v_2, \dots, v_n\}| \leq |S|$ 。

反之, 若对一切  $S \subset V$ ,  $o(G-S) \leq |S|$ , 但  $G$  中无完备匹配, 则  $G$  是一个没有完备匹配而有最多边的图  $G^*$  的生成子图。因  $G-S$  是  $G^*-S$  的生成子图, 故  $o(G^*-S) \leq o(G-S)$ , 于是  $o(G^*-S) \leq |S|$ 。

特别地, 取  $S = \emptyset$ ,  $o(G^*) = 0$ , 故  $v(G^*)$  是偶数。

用  $U$  表示  $G^*$  中  $v-1$  次顶之集合, 由  $G^*$  之定义,  $U \neq \emptyset$ 。若  $U = V$ ,  $G^*$  中有完备匹配, 于是  $U$  是  $V(G^*)$  的真子集。下面证明  $G^*-U$  是不相交的完全图之并。不然,  $G^*-U$  的某个连通片不是完全图, 则在该连通片之中, 存在顶  $x, y, z$ , 使得  $xy, yz \in E(G^*)$ , 但  $xz \notin E(G^*)$ 。又  $y \in U$ , 存在  $w \in V(G^*-U)$ , 使得  $yw \in E(G^*)$ 。因为  $G^*$  是没有完备匹配的  $|V(G)|$  个顶的边数最多的图, 对一切  $e \in E(G^*)$ ,  $G^*+e$  中有完备匹配。令  $M_1$  与  $M_2$  分别是  $G^*+xz$  与  $G^*+yw$  的完备匹配,  $H$  为  $M_1 \oplus M_2$  在  $G^*+xz+yw$  中的导出子图, 则  $H$  的每顶皆 2 次,  $H$  是不相交偶圈之并, 因为它们上面的边是  $M_1$  与  $M_2$  的边交替出现的。图 7.7 中黑实线是  $M_1$  的边。

**情形 1**  $xz$  和  $yw$  在  $H$  的不同连通片中。若  $yw$  在  $H$  的圈  $C$  上, 那么  $M_1$  在  $C$  上的边与  $M_2$  不在  $C$  上的边构成  $G^*$  的一个完备匹配, 与  $G^*$  之定义矛盾, 见图 7.7。

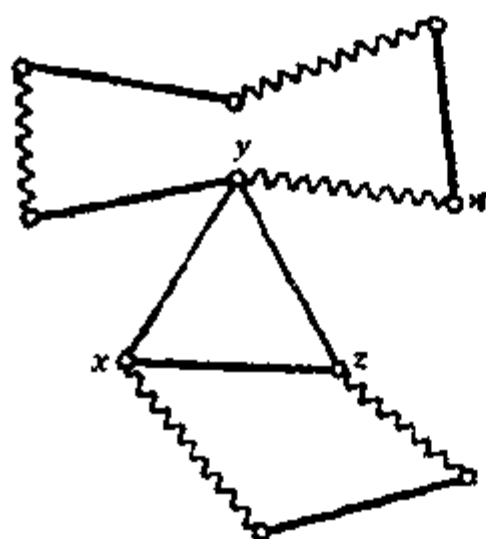


图 7.7

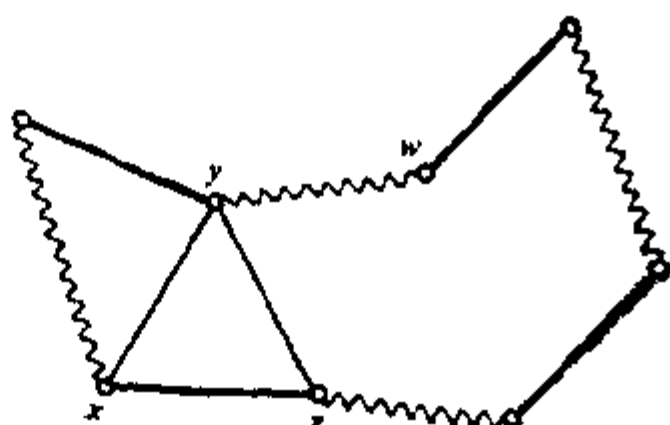


图 7.8

情形2  $xz$  与  $yw$  在  $H$  的同一个圈  $C$  上, 见图 7.8. 这时在  $C$  上  $yw \cdots z$  部分  $M_1$  的边与  $yz$  及  $M_2$  不在  $yw \cdots z$  部分的边构成  $G^*$  的一个完备匹配, 矛盾.

综上所述, 知  $G^* - U$  是不相交的完全图之并.

由  $o(G^* - U) \leq |U|$ ,  $G^* - U$  中的奇片至少  $|U|$  个. 但是  $G^*$  中有了完备匹配 (图 7.9), 把  $G^* - U$  的每奇片中的一个顶许配给  $U$  的一个顶,  $U$  和  $G^* - U$  的连通片中的其余的顶 (由于每个  $G^* - U$  的连通片皆完全图) 可以许配给本连通片中或  $U$  中的另一顶, 这与  $G^*$  中无完备匹配矛盾. 证毕.

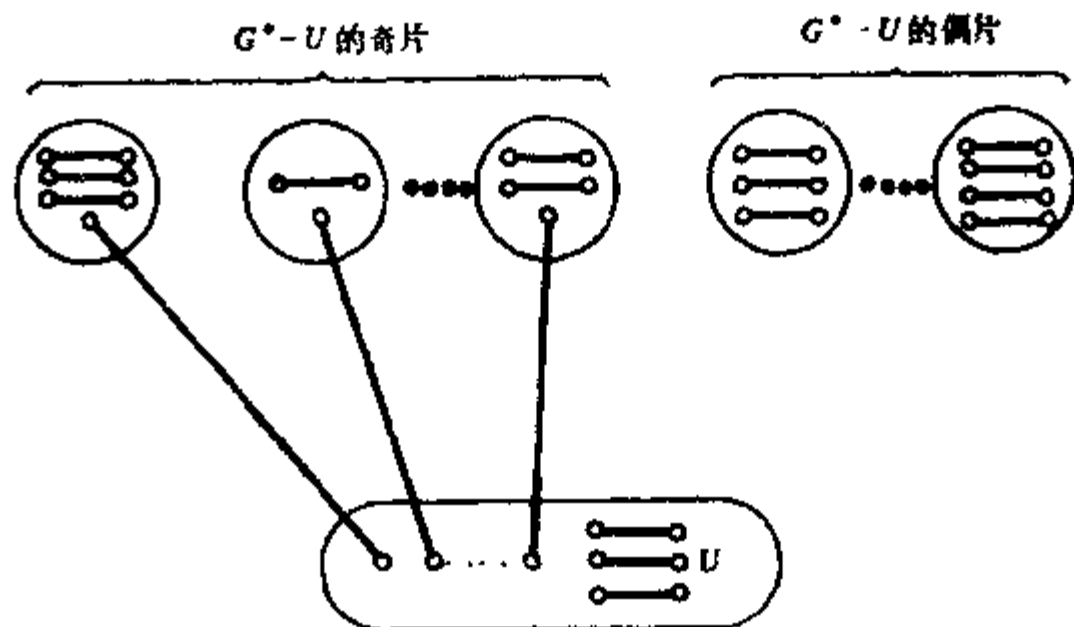


图 7.9

**推论 1 每个无桥的三次正则图有完备匹配。**

**证** 令  $G$  是三次正则图,  $G$  中无桥,  $S$  是  $V(G)$  的真子集,  $G_1, G_2, \dots, G_n$  是  $G-S$  的奇片,  $m_i$  是  $G_i$  中有一个端点, 另一端点在  $S$  的边之个数,  $1 \leq i \leq n$ . 因  $d(v) = 3 (v \in V(G))$ , 则

$$\sum_{v \in V(G_i)} d(v) = 3v(G_i), \quad i = 1, 2, \dots, n$$

$$\sum_{v \in S} d(v) = 3|S|,$$

于是

$$\begin{aligned} m_i &= \sum_{v \in V(G_i)} d(v) - 2\varepsilon(G_i) \\ &= 3v(G_i) - 2\varepsilon(G_i), \end{aligned}$$

可见  $m_i$  是奇数, 又无桥, 故  $m_i \neq 1, m_i \geq 3, 1 \leq i \leq n$ . 从而

$$o(G-S) = n \leq \frac{1}{3} \sum_{i=1}^n m_i \leq \frac{1}{3} \sum_{v \in S} d(v) = |S|,$$

由 Tutte 定理,  $G$  中有完备匹配. **证毕。**

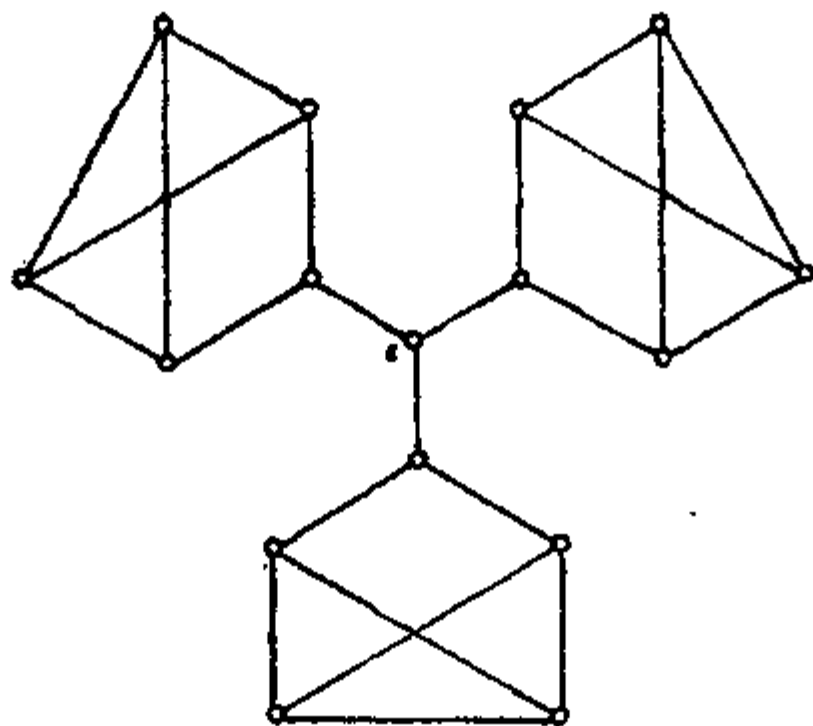


图 7.10

例如一切妖怪图都有完备匹配, 而图 7.10 的图虽然是三次正则图, 但有桥, 不能用推论 1 来判它有完备匹配, 事实上, 由于  $o(G-v) = 3$ , 由 Tutte 定理, 它没有完备匹配。

## 7.3 二分图中最大匹配与最佳匹配的算法

### 7.3.1 匈牙利算法

**分工问题**如下: 某公司有工作人员  $x_1, x_2, \dots, x_n$ , 他们去做工作  $y_1, y_2, \dots, y_n$ , 每人适合做其中的一项或几项工作, 问能否每人都分配一项合适的工作?

这个问题的数学模型是:  $G$  是二分图, 顶集划分为  $X \cup Y = V(G)$ ,  $X = \{x_1, x_2, \dots, x_n\}$ ,  $Y = \{y_1, y_2, \dots, y_n\}$ , 当且仅当  $x_i$  适合于工作  $y_j$  时,  $x_i y_j \in E(G)$ , 问  $G$  中是否有完备匹配?

Edmonds 于 1965 年提出如下的所谓匈牙利算法, 解决了这个问题。

**匈牙利算法:**

- (0) 从  $G$  中取一个初始匹配  $M$ 。
- (1) 若  $M$  已把  $X$  中顶皆许配, 止,  $M$  即为完备匹配; 否则取  $X$  中未被  $M$  匹配的一顶  $u$ , 记  $S = \{u\}$ ,  $T = \emptyset$ 。
- (2) 若  $N(S) = T$ , 止, 无完备匹配, 否则取  $y \in N(S) - T$ 。
- (3) 若  $y$  是被  $M$  许配的, 设  $yz \in M$ ,  $S \leftarrow S \cup \{z\}$ ,  $T \leftarrow T \cup \{y\}$ , 转 (2); 否则, 取可增广轨  $P(u, y)$ , 令  $M \leftarrow M \oplus E(P)$ , 转 (1)。

这个算法的要点是把初始匹配通过可增广轨逐次增广以至得到最大匹配。

**例 2** 求图 7.11 中的最大匹配。

(a) 取初始匹配  $M = \{x_2 y_2, x_3 y_3, x_4 y_5\}$ 。

(b) 以未被 $M$ 匹配的顶 $x_1$ 为根，生长外向交错树。结果得到可增广轨 $x_1 y_2 x_2 y_1$ 。

(c) 通过 (b) 中的可增广轨把 $M$ 增广成

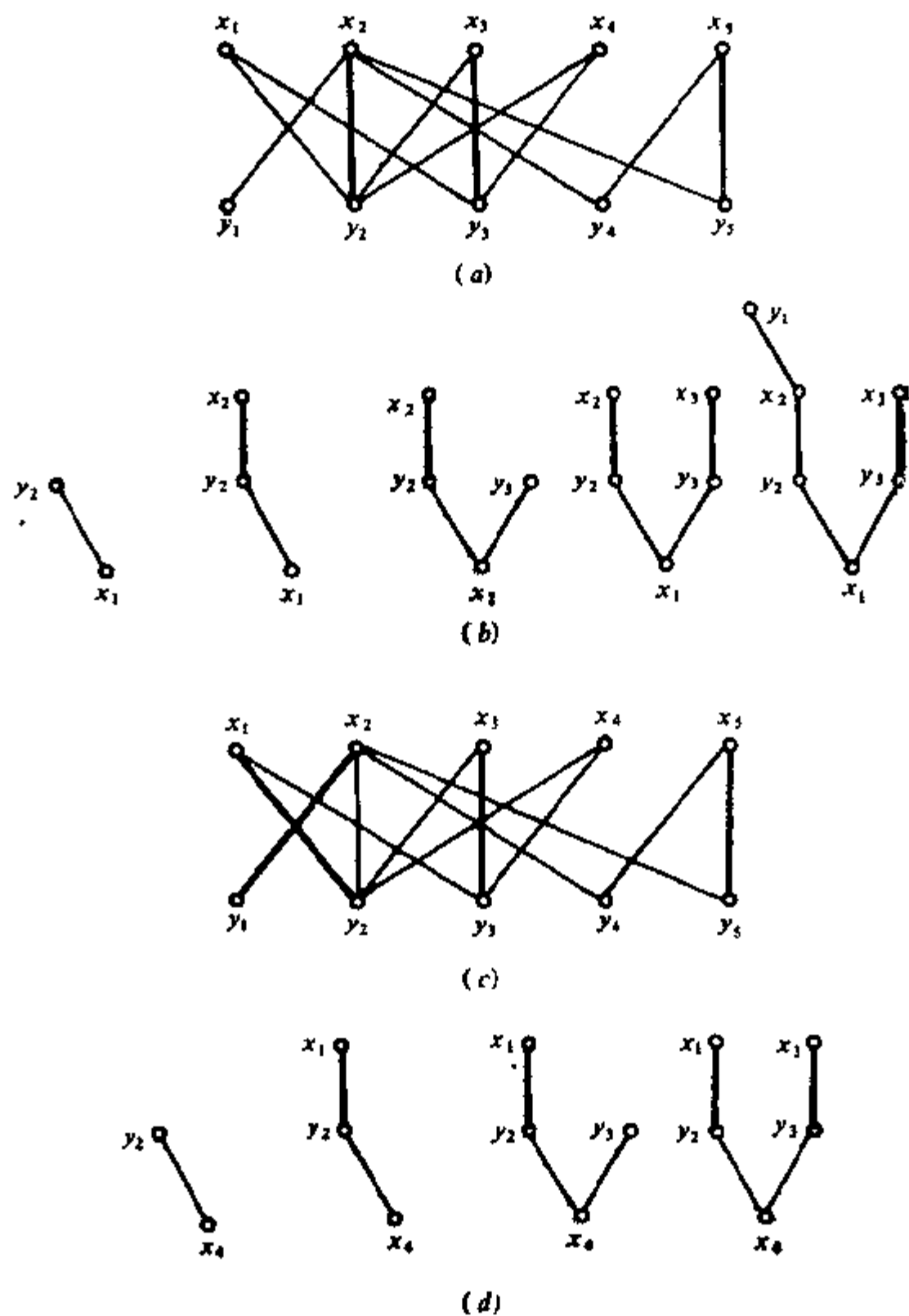


图 7.11



$$M_1 = \{x_1y_2, x_2y_1, x_3y_3, x_4y_4\}.$$

(d) 以未被 $M_1$ 匹配的顶 $x_1$ 为根, 生长外向交错树, 结果未得到可增广轨, 可见 $M_1$ 是最大匹配, 无完备匹配.

### 7.3.2 Kuhn-Munkres 算法

在分工问题中, 工作人员可以做的各项工作, 效益未必一致, 我们需要制定一个分工方案, 使公司的总效益最大, 这就是所谓**最佳分配问题**. 它们的数学模型如下:

$G$ 是加权完全二分图,  $V(G)$ 的二分图划分为 $X, Y$ ;  $X = \{x_1, \dots, x_n\}$ ,  $Y = \{y_1, y_2, \dots, y_m\}$ ,  $w(x_i, y_j) \geq 0$ 是工作人员 $x_i$ 做 $y_j$ 工作时的效益, 求权最大的完备匹配, 这种完备匹配称为**最佳匹配**.

若用穷举法, 需要对 $n!$ 个完备匹配进行比较, 当 $n$ 较大时, 计算量过大, 是不可能很快得到结果的. 本节给出一种有效算法, 为此, 我们首先引入一个定义和一个定理, 作为本节中心算法的基础.

**定义 6** 映射 $l: V(G) \rightarrow R$ , 满足:  $\forall x \in X, \forall y \in Y$ , 成立

$$l(x) + l(y) \geq w(xy),$$

则称 $l(v)$ 是二分图 $G$ 的可行顶标, 令

$$E_l = \{xy \mid xy \in E(G), l(x) + l(y) = w(xy)\},$$

称以 $E_l$ 为边集的 $G$ 之生成子图为相等子图, 记为 $G_l$ .

可行顶标是存在的, 例如

$$\begin{cases} l(x) = \max_{y \in Y} w(xy), & x \in X; \\ l(y) = 0, & y \in Y. \end{cases}$$

**定理 5**  $G_l$ 的完备匹配即为 $G$ 的最佳匹配.

**证** 设 $M^*$ 是 $G_l$ 的一个完备匹配, 因 $G_l$ 是 $G$ 的生成子图, 故 $M^*$ 也是 $G$ 的完备匹配.  $M^*$ 中的边之端点集合含 $G$ 的每个顶点恰一次, 所以

$$W(M^*) = \sum_{e \in M^*} w(e) = \sum_{v \in V(G)} l(v).$$

另一方面, 若  $M$  是  $G$  中任意一个完备匹配, 则

$$W(M) = \sum_{e \in M} w(e) \leq \sum_{v \in V(G)} l(v),$$

所以

$$W(M^*) \geq W(M),$$

即  $M^*$  是最佳匹配. 证毕.

定理 5 告知, 欲求二分图的最佳匹配, 只需用匈牙利算法求取其相等子图的完备匹配; 问题是, 当  $G_1$  中无完备匹配时怎么办? Kuhn 和 Munkras 给出修改顶标的一个算法, 使新的相等子图的最大匹配逐渐扩大, 最后出现相等子图的完备匹配.

**Kuhn Munkras 算法:**

(0) 选定初始的可行顶标  $l$ , 确定  $G_1$ , 在  $G_1$  中选取一个匹配  $M$ .

(1)  $X$  中顶皆被  $M$  许配, 止,  $M$  即为最佳匹配; 否则, 取  $G_1$  中未被  $M$  许配的顶  $u$ , 令  $S = \{u\}$ ,  $T = \emptyset$ .

(2) 若  $N_{G_1}(S) = T$ , 转 (3); 若  $N_{G_1}(S) \neq T$ , 取

$$\alpha_i = \min_{x \in S, y \in T} \{l(x) + l(y) - w(xy)\},$$

$$\bar{l}(v) = \begin{cases} l(v) - \alpha_i, & v \in S; \\ l(v) + \alpha_i, & v \in T; \\ l(v), & \text{其它.} \end{cases}$$

$l \leftarrow \bar{l}$ ,  $G_1 \leftarrow G_1$ .

(3) 选  $N_{G_1}(S) - T$  中一顶  $y$ , 若  $y$  已被  $M$  许配, 且  $yz \in M$ , 则  $S \leftarrow S \cup \{z\}$ ,  $T \leftarrow T \cup \{y\}$ , 转 (2); 否则, 取  $G_1$  中一个  $M$  的可增广轨  $P(u, y)$ , 令  $M \leftarrow M \oplus E(P)$ , 转 (1).

**例 3** 已知  $K_{5,5}$  的权矩阵为

$$\begin{array}{c}
 y_1 \ y_2 \ y_3 \ y_4 \ y_5 \\
 \left. \begin{array}{l}
 x_1 \\
 x_2 \\
 x_3 \\
 x_4 \\
 x_5
 \end{array} \right\} \begin{pmatrix}
 3 & 5 & 5 & 4 & 1 \\
 2 & 2 & 0 & 2 & 2 \\
 2 & 4 & 4 & 1 & 0 \\
 0 & 1 & 1 & 0 & 0 \\
 1 & 2 & 1 & 3 & 3
 \end{pmatrix}
 \end{array}$$

求最佳匹配, 其中  $K_{5,5}$  的顶划分为  $X = \{x_i\}$ ,  $Y = \{y_i\}$ ,  $i = 1, 2, 3, 4, 5$ .

解 (1) 取可行顶标  $l(v)$  为  $l(y_i) = 0$ ,  $i = 1, 2, 3, 4, 5$ ;  
 $l(x_1) = \max\{3, 5, 5, 4, 1\} = 5$ ,  $l(x_2) = \max\{2, 2, 0, 2, 2\} = 2$ ,  
 $l(x_3) = \max\{2, 4, 4, 1, 0\} = 4$ ,  $l(x_4) = \max\{0, 1, 1, 0, 0\} = 1$ ,  
 $l(x_5) = \max\{1, 2, 1, 3, 3\} = 3$ .

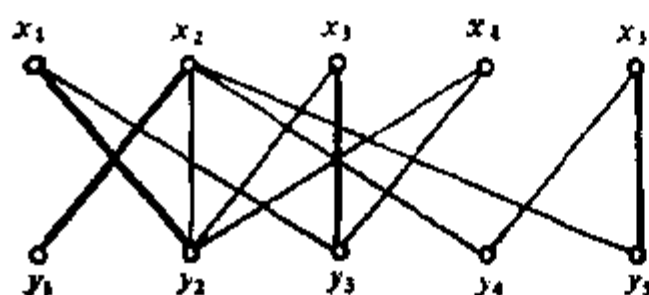


图 7.12

(2)  $G$  及其上之匹配见图 7.12.

这个图中  $o(G - x_1) = 3$ , 由 Tutte 定理知无完备匹配. 需要修改顶标.

(3)  $u = x_1$ , 得  $S = \{x_4, x_3, x_1\}$ ,  $T = \{y_3, y_2\}$ ,

$N_{G_1}(S) = T$ , 于是

$$\alpha_1 = \min_{x \in S, y \in T} \{l(x) + l(y) - w(xy)\} = 1.$$

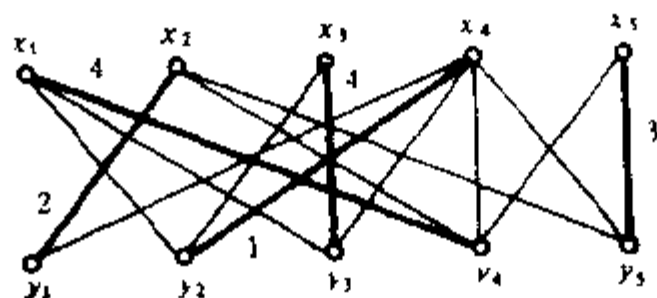


图 7.13

$x_1, x_2, x_3, x_4, x_5$  的顶标分别修改成 4, 2, 3, 0, 3;

$y_1, y_2, y_3, y_4, y_5$  的顶标分别修改成 0, 1, 1, 0, 0.

(4) 用修改后的顶标  $\bar{l}$  得  $G_{\bar{l}}$  及其上面的一个完备匹配如图 7.13. 图中粗实线给出了一个最佳匹配, 其最大权是  $2+4+1+4+3=14$ .

我们看出:  $\alpha_i > 0$ ; 修改后的顶标仍是可行顶标;  $G_{\bar{l}}$  中仍含  $G$  中的匹配  $M$ ;  $G_{\bar{l}}$  中至少会出现不属于  $M$  的一条边, 所以会造成  $M$  的逐渐增广.

匹配问题不但饶有兴趣, 而且应用极为广泛, 理论上亦较完备, 这一章主要应该掌握的内容是:

(1) 匹配、许配、最大匹配、完备匹配和  $K_{n,n}$  中的最佳匹配之定义.

(2) Berge, Hall, König 和 Tutte 的四个基本定理的理解与应用.

(3) 匈牙利算法和 Kuhn-Munkres 算法要会执行. 关键是用未被许配的顶为根生长外向交错树的方法找到可增广轨, 把原匹配增广以及修改顶标而得最佳匹配.

## 习 题

1. 求  $K_{2,n}$  和  $K_{3,n}$  中不同的完备匹配的个数.
2. 证明树至多有一个完备匹配.
3. 对于  $k > 1$ , 给出没有完备匹配的  $k$  次正则图的例子.
4. 两人在图  $G$  上博弈: 交替选取不相同的顶点  $v_0, v_1, v_2, \dots$ , 使得  $i > 0$  时,  $v_i$  与  $v_{i-1}$  相邻, 直到不能选到顶为止, 谁最后选得一顶谁赢. 证明: 第一个选顶人有必胜策略的充要条件是  $G$  中无完备匹配, 并叙述一个必胜策略.

5.  $G$  的一个  $k$  次因子是指  $G$  的一个  $k$  次正则生成子图.  $G$  的  $k$  次因子分解是指把  $G$  表成无公共边的  $k$  次因子之并, 即  $G = \bigcup_{i=1}^n H_i$ , 其中  $H_i, 1 \leq i \leq n$  是  $G$  的  $k$  次因子. 证明

- (a)  $K_{n,n}$  与  $K_{1,n}$  是可 1 次因子分解的.
- (b) Petersen 图是不可 1 次因子分解的.
6.  $K_{2n+1}$  ( $n \geq 1$ ) 可表成  $n$  个连通的 2 次因子之并.
7. 证明:  $8 \times 8$  的正方形删去对角上两个  $1 \times 1$  的小正方形后不能用  $1 \times 2$  的长方形单层遮盖.
8. 证明: 二分图有完备匹配的充要条件是对任何  $S \subseteq V$ ,  $|N(S)| \geq |S|$ . 这一命题对一般图是否成立.
9. 对于  $k > 0$ , 证明:
- (a) 每个  $k$  次正则 2 分图是可以 1 次因子分解的.
- (b) 每个  $2k$  次正则图可以 2 次因子分解.
10. 城中每位姑娘都“结识”  $k$  个小伙子, ( $k \geq 1$ ), 每个小伙子都“结识”  $k$  个姑娘, 则每个小伙子和每个姑娘都能与他们的意中人结婚.
11. 矩阵的一行或一列称为矩阵的一条线, 证明: 0-1 矩阵中含矩阵的所有 1 的线集合的最小阶数等于没有两个在同一直线上的 1 的最大个数.
12.  $A = (a_{ij})_{m \times n}$ ,  $a_{ij} \in \{0, 1\}$ ,  $m \leq n$ , 且矩阵  $A$  的每一行都有  $k$  个 1, 而每一列中 1 的个数不超过  $k$  个, 则  $A = P_1 + P_2 + \dots + P_k$ , 其中  $P_i$  也是  $m \times n$  的 0-1 矩阵, 每行恰有 1 个 1, 每列中 1 的个数不超过 1 个.
13.  $G$  是顶集划分为  $X$  与  $Y$  的二分图, 则  $G$  的最大匹配的边数等于  $|X| - \max_{S \subseteq X} \{|S| - |N(S)|\}$ .
14. 由 König 定理推导出 Hall 定理.
15. 由 Tutte 定理推导出 Hall 定理.
16. 证明:  $G$  是  $k-1$  边连通  $k$  次正则图, 且  $v$  是偶数, 则  $G$  有完备匹配.
17. 树  $T$  有完备匹配的充要条件是对任意  $v \in V(T)$ ,  $d(T-v) = 1$ .
18. 甲乙二人玩“捉乌龟”游戏, 先将 54 张扑克牌藏起一张,

于是剩下的有一张没有对子，它叫做“乌龟”。再将牌分给两人，每人把手中的对子都抛出来，你能否判断“乌龟”在谁手中？为什么？

19.  $a, b, c, d, e, f$  六个人组成检查团，检查五个单位的工作。若某单位和检查团中的某一成员有过工作联系，则不许他到该单位去检查工作。已知第一单位与  $b, c, d$  有过联系，第二单位与  $a, e, f$ ，第三单位与  $a, b, e, f$ ，第四单位与  $a, b, d, f$ ，第五单位与  $a, b, c$  有过联系，请列出去各单位检查的人员名单。

20.  $\{ace, bc, dab, db, be\}$  这组信息是否可以分别把每个字用它的一个字母来代替，加以简化？若能，给出简化结果。

21.  $A, B, C, D$  四种材料造  $a, b, c, d$  四种产品的成本如下面矩阵所示：

$A$	99	6	59	73
$B$	79	15	93	87
$C$	67	93	13	81
$D$	16	79	86	26
	$a$	$b$	$c$	$d$

一种产品只用一种材料，问什么生产方案使成本最低？

22. 从 64 格棋盘上选 16 个格，使每行每列含其中两个格，求证可以把 16 个棋子（8 个白子 8 个黑子）放在所选的格子上，使每行每列恰有一个白子一个黑子。

## 8 支配集与独立集

### 8.1 支配集与独立集的概念

**定义 1**  $D \subseteq V(G)$  称为图  $G$  的一个支配集, 若任何顶点  $u \in V(G)$ , 要么  $u \in D$ , 要么  $u$  与  $D$  内一顶相邻. 一个支配集称为极小支配集, 若它的任何真子集皆非支配集.  $D_0$  是一个支配集, 但已无支配集  $D_1$ , 使得  $|D_1| < |D_0|$ , 则称  $D_0$  是最小支配集, 这时记  $\gamma(G) = |D_0|$ ,  $\gamma(G)$  叫做  $G$  的支配数.

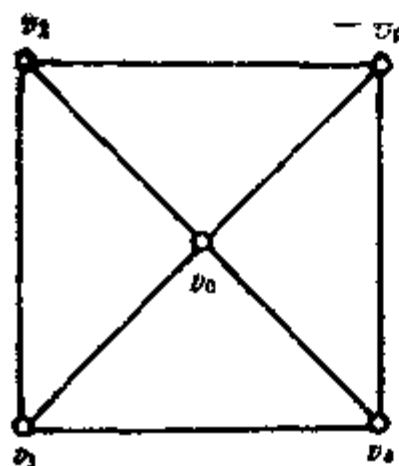


图 8.1

由上述定义可知, 凡最小支配集一定是一个极小支配集; 任何一个支配集以一个极小支配集为其子集; 极小支配集可能有两个以上, 而且其顶数也可以不一致. 例如, 只有一个非叶的顶之树叫做星, 星中的非一次顶叫做星心. 星心是最小支配集,  $\gamma(\text{星}) = 1$ ; 但还有一个极小支配集由全部叶构成. 一个支配集可能含两个以上的极小支配集, 例如图 8.1 中,  $\{v_0, v_1, v_3\}$  是支配集, 它有两个子集  $\{v_0\}$

与  $\{v_1, v_3\}$  都是极小支配集, 且  $\gamma(G) = 1$ .

**定理 1**  $G$  中无零次顶, 则存在一个支配集  $D$ , 使得  $\bar{D} = V(G) - D$  也是一个支配集.

**证** 不妨设  $G$  连通, 于是  $G$  有生成树  $T$ , 任取定  $v_0 \in V(G)$ , 令

$$D = \{v \mid v \in V(G), d_T(v_0, v) \equiv 0 \pmod{2}\},$$

$$\bar{D} = \{v \mid v \in V(G), d_T(v_0, v) \equiv 1 \pmod{2}\}.$$

则  $\bar{D} = V(G) - D$ , 且  $D$  与  $\bar{D}$  都是支配集. 证毕.

**定理 2**  $G$  中无零次顶,  $D_1$  为极小支配集, 则  $\bar{D}_1 = V(G) - D_1$  也是一个支配集.

**证** 若有一顶  $v_0 \in D_1$ , 而  $\bar{D}_1$  中没有使  $v_0 u \in E(G)$  的顶  $u$ , 则  $D_1 - v_0$  仍为一支配集, 与  $D_1$  为极小支配集矛盾, 故  $\bar{D}_1$  也是支配集. 证毕.

由定理 2 知, 对无孤立顶的图  $G$  中的一个极小支配集  $D_1$ , 至少存在另一个极小支配集  $D_2$ , 使得  $D_1 \cap D_2 = \emptyset$ .

**定义 2**  $I \subseteq V(G)$ ,  $I$  中任二顶不邻, 则称  $I$  是图  $G$  的一个独立集; 任取  $u \in V(G) - I$ ,  $I \cup \{u\}$  不是独立集, 则称  $I$  是极大独立集;  $G$  中已无独立集  $I_1$ , 使得  $|I_1| > |I|$ , 则称  $I$  是  $G$  的最大独立集, 这时, 记  $\beta(G) = |I|$ ,  $\beta(G)$  叫做  $G$  的独立数.

例如图 8.2 中, 两个黑色顶构成一个极大独立集, 也是最大独立集,  $\beta(G) = 2$ .

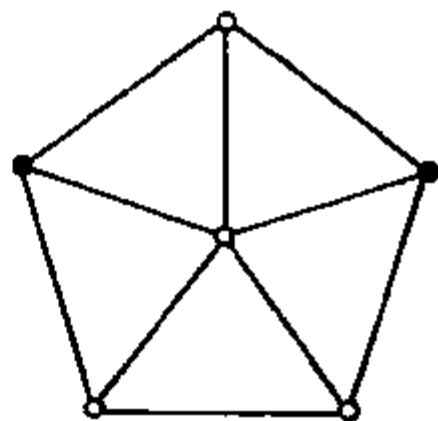


图 8.2

**定理 3** 一个独立集是极大独立集, 当且仅当它是支配集.

**证** 若  $I$  是独立集, 且是极大独立集, 则不存在  $v \in V(G) - I$ , 使得对任何  $u \in I, uv \in E(G)$ , 从而  $I$  是支配集.

反之, 若  $I$  是独立集, 又是支配集, 则任取  $V(G) - I$  中一个顶  $v, I \cup \{v\}$  不是独立集, 故  $I$  是极大独立集. 证毕.

例如星心是独立集, 又是极大独立集, 则星心是支配集; 同理星的全部叶构成支配集, 又是独立集, 则它是极大独立集. 当然由星的全部叶构成的也是最大独立集.

**定理 4**  $I$  是独立集, 当且仅当  $V - I$  是覆盖集.

**证**  $I$  是独立集, 等价于没有两端都在  $I$  中的边, 而这又等价于  $G$  的每一边至少有一端在  $V(G) - I$  中, 即等价于  $V(G) - I$  是



覆盖集。证毕。

**推论 1**  $K$  是极小覆盖集, 当且仅当  $V - K$  是极大独立集。

**推论 2**  $\alpha(G) + \beta(G) = v$ 。

**证** 设  $I$  是极大独立集,  $|I| = \beta(G)$ ; 设  $K$  是最小覆盖集,  $|K| = \alpha(G)$ , 由定理 4,  $V - I$  是覆盖集, 得

$$v - \beta(G) = |V - I| \geq \alpha(G), \quad (1)$$

而  $I - K$  是独立集, 故得

$$v - \alpha(G) = |V - K| \leq \beta(G) \quad (2)$$

由 (1) 与 (2) 得

$$\alpha(G) + \beta(G) \leq v, \quad (3)$$

$$\alpha(G) + \beta(G) \geq v, \quad (4)$$

由 (3) 与 (4) 得

$$\alpha(G) + \beta(G) = v$$

证毕。

**定理 4** 极大独立集必为极小支配集。

**证** 不妨设  $\epsilon(G) \neq 0$ 。设  $I$  为极大独立集, 故对任何  $u \in V - I$ ,  $u$  与  $I$  中一顶相邻, 所以  $I$  是支配集。又任取  $v \in I$ ,  $v$  与  $I - \{v\}$  中的顶不相邻, 可见  $I$  是极小支配集。证毕。

定理 4 之逆不真, 例如 4 阶圈上的两个相邻的顶是极小支配集, 但不是极大独立集, 连独立集也不是。

对于连通图, 覆盖集必为支配集; 但反过来未必成立, 例如 4 条辐的轮心构成支配集, 但它不是覆盖集。

## 8.2 支配数、覆盖数和独立数的计算

### 8.2.1 逻辑运算及其性质

设  $X, Y, Z$  是三条指令, 规定:

“要么执行  $X$ , 要么执行  $Y$ ” 记成  $X + Y$ 。

“ $X$  与  $Y$  同时执行” 记成  $XY$ 。

上述逻辑运算有以下运算定律:

(1) 交换律

$$X + Y = Y + X;$$

$$XY = YX.$$

(2) 结合律

$$(X + Y) + Z = X + (Y + Z);$$

$$(XY)Z = X(YZ).$$

(3) 分配律

$$X(Y + Z) = XY + XZ;$$

$$(Y + Z)X = XY + XZ.$$

(4) 吸收律

$$X + X = X;$$

$$XX = X;$$

$$X + XY = X.$$

上述定律可直接由定义验明; 这些定律, 尤其是吸收律, 在下面的计算中用处极大.

## 8.2.2 求出所有极小支配集的公式

### 公式

$$\psi(v_1, v_2, \dots, v_n) = \prod_{i=1}^n (v_i + \sum_{u \in N(v_i)} u).$$

公式中的运算是逻辑运算, 展开成积之和, 每一项给出一个极小支配集, 所有项给出了一切极小支配集, 其中最小者为最小支配集.

**例 1** 求图 8.3 中的一切极小支配集及支配数.

**解**

$$\begin{aligned} \psi(v_1, v_2, v_3, v_4, v_5, v_6) &= (v_1 + v_2 + v_3 + v_4)(v_2 + v_1 + v_4)(v_3 + v_1 + v_4)(v_4 + v_1 + v_2 \\ &\quad + v_3 + v_5 + v_6)(v_5 + v_4 + v_6)(v_6 + v_4 + v_5) \\ &= (1 + 2 + 3 + 4)(2 + 1 + 4)(3 + 1 + 4)(4 + 1 + 2 + 3 + 5 + 6) \end{aligned}$$

$$\begin{aligned}
 & (5+4+6)(6+5+4) \\
 & = 15+16+4+235+236,
 \end{aligned}$$

故得所有极小支配集如下:

$$\{v_1, v_5\}, \{v_1, v_6\}, \{4\}, \{v_2, v_3, v_5\}, \{v_2, v_3, v_6\}.$$

$$\gamma(G) = 1.$$

### 8.2.3 求出所有极小覆盖集的公式

公式

$$\varphi(v_1, v_2, \dots, v_v) = \prod_{i=1}^v \left( v_i + \prod_{u \in N(v_i)} u \right),$$

展开成积之和形式, 每一项表出一个极小覆盖, 得到了所有极小覆盖, 其中最小者为最小覆盖。

**例 2** 求图 8.4 中一切极小覆盖集及覆盖数  $\alpha(G)$ 。

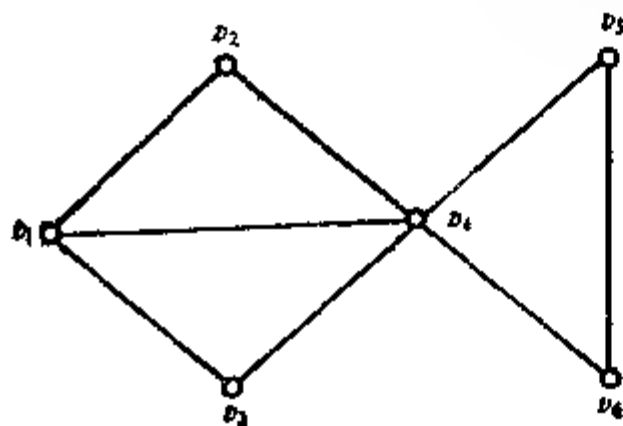


图 8.3

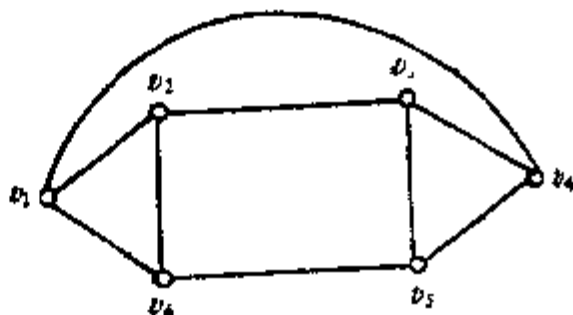


图 8.4

**解**  $\varphi(v_1, v_2, \dots, v_6)$

$$\begin{aligned}
 & = (1+246)(2+136)(3+245)(4+135)(5+346)(6+125) \\
 & = 2456+1356+1346+2346+1245+1235.
 \end{aligned}$$

即得一切极小覆盖集如下:

$$\begin{aligned}
 & \{v_2, v_4, v_5, v_6\}, \{v_1, v_5, v_5, v_6\}, \{v_1, v_5, v_4, v_6\}, \\
 & \{v_2, v_3, v_4, v_6\}, \{v_1, v_2, v_4, v_6\}, \{v_1, v_2, v_3, v_5\}.
 \end{aligned}$$

$$\alpha(G) = 4.$$

**例 3** 求图 8. 极大独立集及独立数  $\beta(G)$ 。

**解** 由极大独立集与极小覆盖集的互补性, 得一切极大独立集如下:

$$\begin{aligned} V - \{v_2, v_4, v_5, v_6\} &= \{v_1, v_3\}, V - \{v_1, v_3, v_5, v_6\} = \{v_2, v_4\}, \\ V - \{v_1, v_3, v_4, v_6\} &= \{v_2, v_5\}, V - \{v_2, v_3, v_4, v_6\} = \{v_1, v_5\}, \\ V - \{v_1, v_2, v_4, v_5\} &= \{v_3, v_6\}, V - \{v_1, v_2, v_3, v_5\} = \{v_4, v_6\}. \end{aligned}$$

$$\beta(G) = 2.$$

## 8.3 支配集与独立集的应用

### 8.3.1 中心台站的选址

要在  $v_1, v_2, \dots, v_n$  这  $n$  个城镇建立一个通讯系统, 为此, 从这几个城镇中选定几座城镇, 在那里建立中心台站, 要求它们与其它各城镇相邻, 同时, 为减少造价, 要使中心台站数目最少, 有时还会提其它要求, 例如在造价最低条件下, 需要造两套 (或更多套) 通讯中心, 以备一套出故障时, 启用另一套。

这种问题的数学模型是: 以城镇为顶, 仅当两城之间有直通讯线路时, 相应的两顶连一边形成一个图, 此图的最小支配集即为所求。若建两套, 则从一切极小支配集  $D_1, D_2, \dots, D_d$  中选取  $D_{i_1}$  与  $D_{i_2}$ , 使得

$$D_{i_1} \cap D_{i_2} = \emptyset,$$

$$|D_{i_1} \cup D_{i_2}| = \min\{|D_{i_1}| + |D_{i_2}| \mid 1 \leq i_1, i_2 \leq d, D_{i_1} \cap D_{i_2} = \emptyset\}.$$

例如在图 8.3 中所示的六个城镇之中建中心台站, 由例 1 知, 若建一套, 只需建立在  $v_4$  城; 若建两套, 则  $v_4$  建一套,  $v_1, v_3$  或  $v_2, v_5$  建第二套。

有些实际问题可以化成上述这种数学模型来处理。

### 8.3.2 信息论中的独立集问题

独立集对信息论有十分重要的应用。例如信息传送的基本信

号集合为  $S$ ,

$$S = \{s_1, s_2, \dots, s_n\}.$$

可以把信号  $s_i$  设想成汉字或拉丁字母, 统计规律表明哪些信号与哪些信号易于发生错乱是已知的。例如, 输入  $s_i, i = 1, 2, \dots, 5$ , 输出应该是  $s_i^*, i = 1, 2, \dots, 5$ , 但由于干扰发生了错乱,  $s_1$  可能和  $s_2$  错乱,  $s_1$  还可能和  $s_5$  错乱等等, 例如已知错乱可能性如图 8.5 所示。

为了确切地从输出信号得知输入信号, 我们不能选用  $s_1, s_2, \dots, s_5$  中的每一信号, 只能从中选一部分用于输出。这就导致求图 8.6 中的最大独立集, 之所以用最大独立集, 目的是使可用于输出的信号最多。例如可以选  $s_1$  与  $s_3$  做为输出信号, 或选  $s_1$

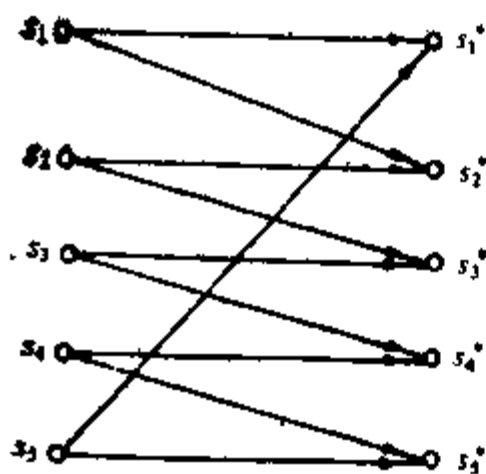


图 8.5

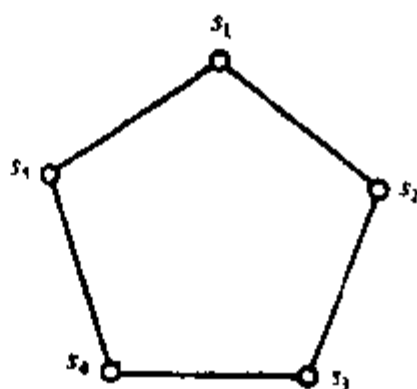


图 8.6

与  $s_4$  或  $s_2$  与  $s_4$  或  $s_2$  与  $s_5$  或  $s_3$  与  $s_5$  做输出信号, 它们都构成最大独立集。

如果用两信号组成一个词向外传输信息, 也有一个如何排除干扰的问题, 为此, 我们考虑一种图的积的概念。

**定义 3** 两个图  $G_1$  与  $G_2$ ,

$$V(G_1) = \{v_1^{(1)}, v_1^{(2)}, \dots, v_n^{(1)}\},$$

$$V(G_2) = \{v_2^{(1)}, v_2^{(2)}, \dots, v_m^{(2)}\}.$$

构造图  $G$ , 使得

$$V(G) = \{(v_i^{(1)}, v_j^{(2)}) \mid v_i^{(1)} \in V(G_1), v_j^{(2)} \in V(G_2)\},$$

$G$  中的顶  $(v_i^{(1)}, v_j^{(2)})$  之邻集为

$$\begin{aligned} N(v_i^{(1)}, v_j^{(2)}) = & \{(v_k^{(1)}, v_j^{(2)}) \mid v_k^{(1)} \in N(v_i^{(1)})\} \\ & \cup \{(v_i^{(1)}, v_l^{(2)}) \mid v_l^{(2)} \in N(v_j^{(2)})\} \\ & \cup \{(v_k^{(1)}, v_l^{(2)}) \mid v_k^{(1)} \in N(v_i^{(1)}), v_l^{(2)} \in N(v_j^{(2)})\}. \end{aligned}$$

则称  $G$  为  $G_1$  与  $G_2$  之积, 记成  $G = G_1 \times G_2 = G_2 \times G_1$ .

例如  $G_1$  是  $K_3$ ,  $G_2$  是  $K_2$ , 则  $G_1 \times G_2$  是  $K_6$ , 见图 8.7

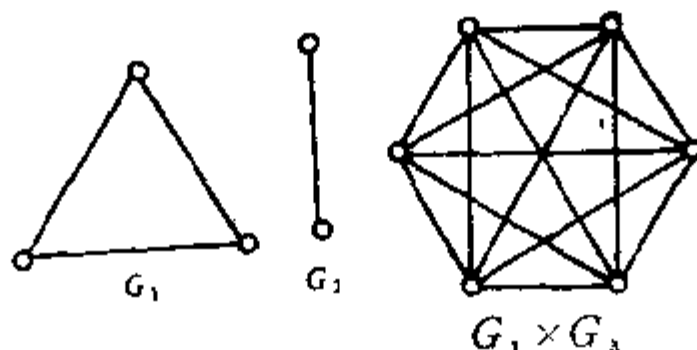


图 8.7

在上面讨论过的例子中, 若用  $\{s_1, s_2, \dots, s_4\}$  中的两个信号组成词向外输出, 最多能用哪几个词才不致于发生错乱呢? 这只需考虑圈  $C = s_1 s_2 s_3 s_4 s_1$  的平方  $C \times C = C^2$  中的最大独立集中的各顶对应的词。相似地可用  $G^n = \underbrace{G \times G \times \dots \times G}_{n \text{ 个}}$  中的最大独立集

来确定由  $n$  个信号组成的词进行信息传送而不致发生错乱。

## 8.4 Ramsey 数 $r(k, l)$

**定义 4** 单图  $G$  的团是顶集的子集  $S$ , 使得  $G[S]$  是完全图。对任意给定的自然数  $k$  与  $l$ , 若存在最小自然数  $r(k, l)$ , 使得每个  $r(k, l)$  个顶的图包含  $k$  个顶的团或  $l$  个顶的独立集, 则称  $r(k, l)$  为 Ramsey 数。

例如  $r(1, l) = r(k, 1) = 1$ ,  
 $r(2, l) = l, r(k, 2) = k$ .

Ramsey 于 1930 年证明, 对任意给定的自然数  $k$  与  $l$ , Ramsey 数  $r(k, l)$  是存在唯一的, 但 Ramsey 数的确定则非常之难, 以致于连  $r(4, 5)$  的值至今尚未得出!

**定理 5**  $k, l$  为自然数,  $k \geq 2, l \geq 2$ , 则

$$r(k, l) \leq r(k, l-1) + r(k-1, l);$$

若  $r(k, l-1)$  与  $r(k-1, l)$  皆偶数, 则上面不等式是严格不等式.

**证** 令  $G$  是  $r(k, l-1) + r(k-1, l)$  个顶的图,  $v \in V(G)$ , 我们分两种情形讨论:

(1)  $v$  与至少  $r(k, l-1)$  个顶的集合  $S$  不相邻,

(2)  $v$  与至少  $r(k-1, l)$  个顶的集合  $T$  相邻.

由于与  $v$  相邻的顶点数目加上与  $v$  不相邻的顶点数目是  $r(k, l-1) + r(k-1, l) - 1$ , 所以要么 (1) 要么 (2) 必然成立 ( $v$  与  $S$  不相邻指  $v$  与  $S$  中每个顶都不是邻顶;  $v$  与  $T$  相邻, 指  $v$  与  $T$  中每个顶皆相邻).

在情形 (1),  $G[S]$  中有  $k$  顶团或  $l-1$  顶独立集, 故  $G[S \cup \{v\}]$  中有  $k$  顶团或  $l$  顶独立集; 相似地, 在情形 (2),  $G[T \cup \{v\}]$  中有  $k$  顶团或  $l$  顶独立集. 由于 (1) 与 (2) 必出现其中的一种情形, 故  $G$  中含  $k$  顶团或  $l-1$  顶独立集, 所以成立

$$r(k, l) \leq r(k-1, l) + r(k, l-1).$$

设  $r(k-1, l)$  与  $r(k, l-1)$  皆偶数, 且  $G$  是顶数是  $r(k-1, l) + r(k, l-1) - 1$  的图, 因而  $G$  的顶数是奇数, 必有一顶  $v$  是偶次的, 特别地,  $v$  不与  $r(k-1, l) - 1$  个顶相邻, 故 (1) 或 (2) 成立. 于是  $G$  含  $k$  顶团或  $l$  顶独立集, 故

$$r(k, l) \leq r(k, l-1) + r(k-1, l) - 1,$$

即得严格不等式

$$r(k, l) < r(k, l-1) + r(k-1, l).$$

**证毕.**

**定义 5**  $r(k, l) - 1$  个顶的既无  $k$  顶团又无  $l$  顶独立集的图叫做  $(k, l)$ -Ramsey 图.

由  $r(k, l)$  的定义, 对于  $k \geq 2, l \geq 2$ ,  $(k, l)$ -Ramsey 图是存在的. 通过一些 Ramsey 图可以确定相应的 Ramsey 数.

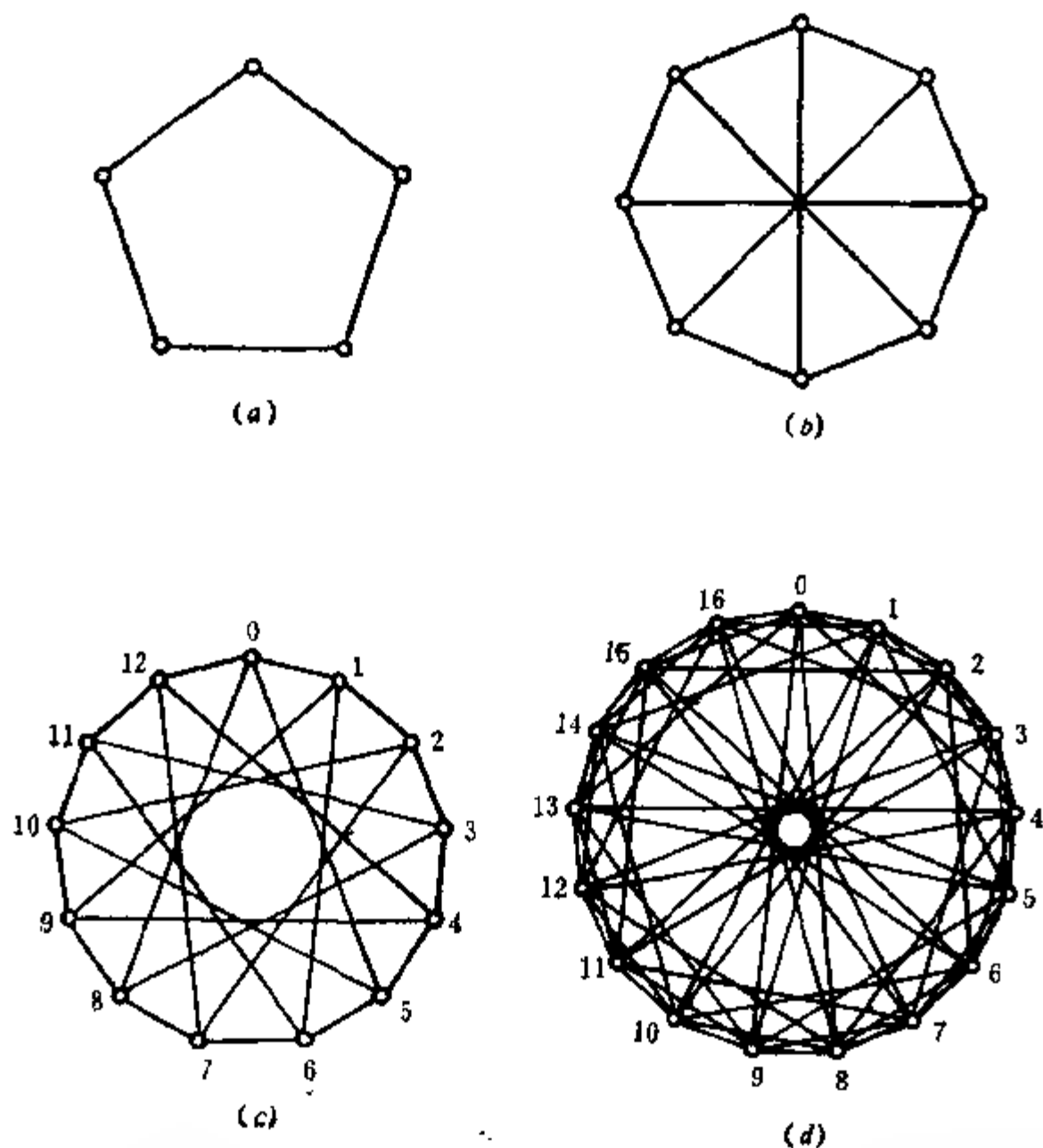


图 8.8

图 8.8(a) 是  $(3, 3)$ -Ramsey 图, 它既无 3 顶团, 亦无 3 顶独立集; (b) 是  $(3, 4)$  Ramsey 图, 它既无 3 顶团, 亦无 4 顶独立集; (c) 是  $(3, 5)$ -Ramsey 图, 它既无 3 顶团, 亦无 5 顶独立集; (d) 是  $(4, 4)$  Ramsey 图, 它既无 4 顶团, 亦无 4 顶独立集.

下面利用上述四个 Ramsey 图及定理 5 确定几个较小的



Ramsey 数。

(1) 由图 8.8(a) 知

$$r(3,3) \geq 6;$$

又由定理 5,

$$r(3,3) \leq r(3,2) + r(2,3) = 6,$$

故得

$$r(3,3) = 6.$$

(2) 由图 8.8(b) 知

$$r(3,4) \geq 9;$$

又由定理 5,

$$r(3,4) \leq r(2,4) + r(3,3) - 1 = 4 + 6 - 1 = 9,$$

故得

$$r(3,4) = 9.$$

(3) 由图 8.8(c) 知

$$r(3,5) \geq 14;$$

又由定理 5,

$$r(3,5) \leq r(2,5) + r(3,4) = 5 + 9 = 14,$$

故得

$$r(3,5) = 14.$$

(4) 由图 8.8(d) 知

$$r(4,4) \geq 18;$$

又由定理 5,

$$r(4,4) \leq r(3,4) + r(4,3) = 9 + 9 = 18,$$

故得

$$r(4,4) = 18.$$

显然,  $r(k, l) = r(l, k)$ , 至今已知的 Ramsey 数共计 34 个, 其中除去  $r(k, 1) = r(1, l) = 1$ ,  $r(k, 2) = k$ ,  $r(2, l) = l$  这些平凡的 Ramsey 数而外, 事实上我们知道的 Ramsey 数  $r(k, l)$  只有 6 个,  $r(3, 3)$ ,  $r(3, 4)$ ,  $r(3, 5)$ ,  $r(3, 6)$ ,  $r(3, 7)$ ,  $r(4, 4)$ 。

$r$	$l$	1	2	3	4	5	6	7
$k$	$\backslash$	<hr/>						<hr/>
1		1	1	1	1	1	1	1
2		1	2	3	4	5	6	7
3		1	3	6	9	14	18	23
4		1	4	9	18			
5		1	5	14				
6		1	6	18				
7		1	7	23				

上面几个 Ramsey 图都是高度对称的很端正很漂亮的图，如果我们能设计出  $(4, 5)$ -Ramsey 图， $r(4, 5)$  的值也就确定出来了。下面给出  $r(k, l)$  的界。

**定理 6**  $r(k, l) \leq \binom{k+l-2}{k-1}$ .

**证** 对  $k+l$  用数学归纳法，由于  $r(1, l) = r(k, 1) = 1$ ， $r(k, 2) = k$ ， $r(2, l) = l$ ，对于  $k+l \leq 5$ ，定理成立。

假设对于一切满足  $5 \leq k+l < m+n$  的正整数  $l, k$ ，定理已成立， $m, n$  是自然数。由定理 5 及归纳法假设，得

$$\begin{aligned}
 r(m, n) &\leq r(m, n-1) + r(m-1, n) \\
 &\leq \binom{m+n-3}{m-1} + \binom{m+n-3}{m-2} \\
 &= \binom{m+n-2}{m-1}.
 \end{aligned}$$

**证毕。**

**定理 7** (Erdős, 1947)  $r(k, k) \geq 2^{\frac{k}{2}}$  ( $k \geq 1$ ).

**证** 因  $r(2, 2) = 2$ ，故对  $k=2$ ，定理成立，下面考虑  $k \geq 3$ 。

令  $\mathcal{G}_n$  表示以  $\{v_1, v_2, \dots, v_n\}$  为顶集的图之集合,  $\mathcal{G}_n^k$  表示  $\mathcal{G}_n$  中有  $k$  顶团的那些图组成的集合. 显然

$$|\mathcal{G}_n| = 2^{\binom{n}{2}}. \quad (1)$$

这是因为  $\binom{n}{2}$  条边组成的边集之每一子集确定一个  $\mathcal{G}_n$  中的图, 而有  $\binom{n}{2}$  个元素的集之子集个数为  $2^{\binom{n}{2}}$ . 相似地,  $\mathcal{G}_n$  中有某个指定的  $k$  顶团的图的数目为  $2^{\binom{n}{2} - \binom{k}{2}}$ . 又因为存在  $\binom{n}{k}$  个不同的  $\{v_1, \dots, v_k\}$  的  $k$  元素子集, 所以有

$$|\mathcal{G}_n^k| \leq \binom{n}{k} 2^{\binom{n}{2} - \binom{k}{2}}. \quad (2)$$

由 (1) 与 (2),

$$\frac{|\mathcal{G}_n^k|}{|\mathcal{G}_n|} \leq \binom{n}{k} 2^{-\binom{k}{2}} < \frac{n^k 2^{-\binom{k}{2}}}{k!}. \quad (3)$$

设  $n < 2^{\frac{k}{2}}$ , 由 (3) 得

$$\frac{|\mathcal{G}_n^k|}{|\mathcal{G}_n|} < \frac{2^{\frac{k^2}{2}} 2^{-\binom{k}{2}}}{k!} = \frac{2^{\frac{k}{2}}}{k!} < \frac{1}{2} \quad (k \geq 3).$$

因此,  $\mathcal{G}_n^k$  中的图的个数比  $\mathcal{G}_n$  中的图个数之半还少. 又  $\mathcal{G}_n = \{G \mid G^c \in \mathcal{G}_n\}$ , 且  $S$  是图  $G$  的团的充要条件是  $S$  为  $G^c$  的独立集, 故有  $k$  顶独立集的图在  $\mathcal{G}_n$  中亦不过半数. 故在  $\mathcal{G}_n$  中有某个图, 它既无  $k$  顶团, 亦无  $k$  顶独立集, 所以我们有

$$r(k, k) \geq 2^{\frac{k}{2}}.$$

证毕.

**推论 3**  $m = \min\{k, l\}$ , 则  $r(k, l) \geq 2^{\frac{m}{2}}$ .

当  $k=4$  时,  $r(4, 4) \geq 2^{\frac{4}{2}} = 4$ , 其实  $r(4, 4) = 18$ , 可见 Erdős 给的下界与真实值之间的误差可能很大.

本章介绍的支配集与独立集问题, 在图论中是非常之困难而又引人入胜的问题之一. 尤其涉及到这些问题的定量计算, 大部

很难得以进展,但它又有强烈的实用背景,所以成了图论研究的热点之一。需要着重理解的内容是:

(1) 极小支配集,最小支配集,极小覆盖集,最小覆盖集,极大独立集,最大独立集的定义及其彼此之间的关系。尤其是覆盖与独立集之间的互补关系。

(2) Ramsey 数与 Ramsey 图的概念。

(3) 求支配数、覆盖数与独立数的逻辑公式对小图可以用,但对较大的图,计算量会陡增;目前尚无解此问题的有效算法。

(4) Ramsey 数的确定是数学当中的老大难问题之一,目前首当其冲的是确定  $r(4,5)$ 。

## 习 题

1. 求 Petersen 图的所有极小支配集及支配数。
2. 求 Petersen 图的所有极小覆盖集及覆盖数。
3. 求 Petersen 图的所有极大独立集及独立数。
4.  $G$  为二分图的充要条件是对  $G$  的任意子图  $H$ , 独立数  $\beta(H) \leq \frac{1}{2}v(H)$ 。
5. 一个图  $G$  称为是  $\beta$ -临界的,若  $\forall e \in E(G)$ ,  $\beta(G-e) > \beta(G)$ ;证明  $\beta$ -临界图无割顶。
6.  $r(k, l) = r(l, k)$ 。
7. 有三个人相识或 4 个人不相识的人群最少几人?
8. 求  $r$  (二十面体)。
9. 求  $\alpha$  ( $k$  维立方体)。
10.  $\forall k \in N$  存在一个图  $G$ ,  $G$  上的一个支配集中含有  $k$  个极小支配集,试加以证明。
11. 证明或反驳: 每个覆盖集中必含最小覆盖集。
12. 国际象棋中,以 64 个方格为顶的“马图”。“象图”。

“车图”，“皇后图”的独立数、支配数和覆盖数各是多少？

13. 证明： $G$  是顶点不交的完全图的并当且仅当其独立数

$$\beta(G) = \sum_{v \in V(G)} \frac{1}{d(v) + 1}.$$

14. 求顶点不交的同构完全图之并所成之图  $G$  的覆盖数.

15. 证明：若  $\forall u, v \in V(G)$ , 有  $d(u) + d(v) \geq n$ , 则  $\beta(G) \leq n(G)$ .

## 9 着 色 理 论

### 9.1 边 色 数

本章只讨论无环图。

**定义 1** 图  $G$  的一个  $k$  边着色是指对  $E(G)$  的一个划分

$$C = (E_1, E_2, \dots, E_k), \quad E(G) = \bigcup_{i=1}^k E_i, \quad E_i \cap E_j = \emptyset, \quad i \neq j, \quad E_i$$

( $1 \leq i \leq k$ ) 中的边皆染上  $i$  色. 若  $E_i$  ( $1 \leq i \leq k$ ) 中的边两两不相邻, 则称  $C$  是一个正常  $k$  边着色.  $G$  可以正常  $k$  边着色, 而不能正常  $k-1$  边着色时, 则称  $k$  为  $G$  的边色数, 记成  $\chi'(G) = k$ . 与顶  $v$  关联的边中有  $i$  色边时, 称  $i$  色在顶  $v$  处出现, 在顶  $v$  处出现的颜色数目记成  $c(v)$ .

例如任何图皆可正常  $\varepsilon$  边着色.  $G$  可以正常  $k$  边着色, 当  $k < l \leq \varepsilon$  时, 亦可正常  $l$  边着色. 显然,  $\chi'(G) \geq \Delta$ . 正常边着色时  $c(v) = d(v)$ , 其中  $v$  是  $V(G)$  中任取的一顶. 正常边着色时的边划分  $C = (E_1, E_2, \dots, E_k)$  中的  $E_i$  ( $i = 1, 2, \dots, k$ ) 是  $G$  中一个匹配.

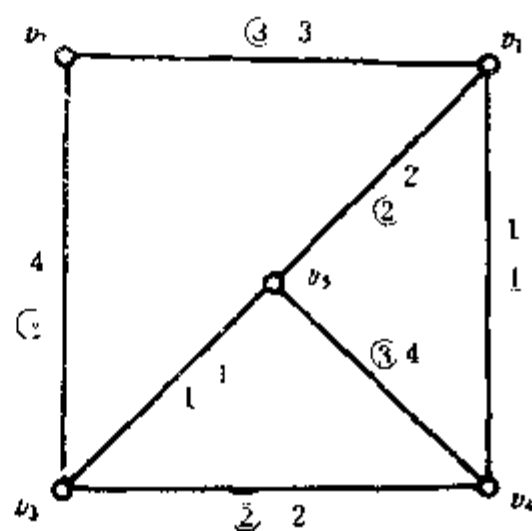


图 9.1

**例 1** 求图 9.1 的边色数.

**解** 图上我们已经标明了用四种颜色正常边着色的一种方式, 即  $C = (\{v_1v_4, v_3v_5\}, \{v_1v_3, v_2v_4\}, \{v_1v_2\}, \{v_4v_5, v_2v_3\})$ ; 但是, 若欲用 3 种颜色进行正常边着色, 则只能按圆圈中的颜色号码对边染色, 但这时  $v_2v_3$  边无法上色, 故  $\chi'(G) = 4$ .

**引理 1**  $G$  是连通图, 非奇圈, 则存在 2 边着色, 使所用的两种颜色在每个次数至少为 2 的顶处出现.

**证** 设  $G$  是 Euler 图; 若  $G$  是偶圈, 命题显然成立; 若  $G$  不是偶圈, 至少有一个顶  $v_0$ ,  $d(v_0) \geq 4$ . 令  $v_0e_1v_1e_2\cdots e_kv_0$  是  $G$  的一条 Euler 回路, 令

$$E_1 = \{e_i \mid i \text{ 为奇数}\}, E_2 = \{e_i \mid i \text{ 为偶数}\}.$$

于是  $C = (E_1, E_2)$  即为所求之 2 边着色.

若  $G$  不是 Euler 图, 我们增加一个新顶  $v_0$ , 把  $v_0$  与  $G$  的每个奇次顶之间连一条边, 得到的图  $G^*$  是 Euler 图, 令  $v_0e_1v_1\cdots e_kv_0$  是  $G^*$  的一个 Euler 回路, 仍如上定义  $E_1$  与  $E_2$ , 则  $C = (E_1 \cap E(G), E_2 \cap E(G))$  即为所求之 2 边着色. **证毕.**

**定义 2** 设  $C$  与  $C'$  都是  $G$  的  $k$  边着色. 相应的  $c(v)$  与  $c'(v)$  满足

$$\sum_{v \in V(G)} c'(v) > \sum_{v \in V(G)} c(v),$$

则称  $C'$  是对  $C$  的一个改善, 不能改善的  $k$  边上色叫做最佳  $k$  边着色.

**引理 2**  $C = (E_1, E_2, \dots, E_k)$  是  $G$  的一个最佳  $k$  边着色, 存在一个顶  $u$  及两种颜色  $i, j$ ,  $i$  色不在  $u$  处出现, 而  $j$  色在  $u$  处至少出现两次, 则  $G[E_i \cup E_j]$  中含  $u$  的连通片是一个奇圈.

**证** 设  $u$  是满足引理条件的顶, 而  $H$  是  $G[E_i \cup E_j]$  中含  $u$  的连通片. 若  $H$  不是奇圈, 由引理 1,  $H$  有一个 2 边着色, 所用两种颜色在  $H$  的次数至少为 2 的每个顶处都出现. 我们用  $i, j$  两种颜色依引理 1 的办法对  $H$  的边重新着色. 因为在此新的  $k$  边着色  $C' = (E'_1, E'_2, \dots, E'_k)$  中,  $i, j$  两色都在  $u$  处出现, 故  $c'(u) = c(u) + 1$ , 而  $v \neq u$  时,  $c'(v) \geq c(v)$ , 于是

$$\sum_{v \in V(G)} c'(v) > \sum_{v \in V(G)} c(v),$$

与  $C$  是最佳  $k$  边着色矛盾. 证毕.

**定理 1**  $\chi'(\text{二分图}) = \Delta$ .

**证** 若  $\chi'(\text{二分图 } G) > \Delta$ ,  $C = (E_1, E_2, \dots, E_\Delta)$  是一个最佳  $\Delta$  边着色. 令顶  $u$  满足  $c(u) < d(u)$ , 显然,  $u$  满足引理 2 的条件, 因此  $G$  中有奇圈, 与  $G$  为二分图矛盾, 故  $\chi'(\text{二分图}) \leq \Delta$ ; 又  $\chi' \geq \Delta$ , 故  $\chi'(\text{二分图}) = \Delta$ . 证毕.

**定理 2** (Vizing, 1964)  $G$  是单图, 要么  $\chi'(G) = \Delta$ , 要么  $\chi'(G) = \Delta + 1$ .

**证**  $G$  是单图,  $\chi'(G) \neq \Delta$ , 我们只需证明  $\chi'(G) \leq \Delta + 1$ . 假设  $\chi' > \Delta + 1$ , 令  $C = (E_1, E_2, \dots, E_{\Delta+1})$  是  $G$  的最佳  $\Delta + 1$  边着色,  $u$  是  $c(u) < d(u)$  的一个顶, 则存在颜色  $i_0, i_1, i_2$  在  $u$  处不出现, 而  $i_1$  在  $u$  处至少出现两次. 设  $uv_1$  是  $i_1$  色 (图 9.2), 因为  $d(v_1) < \Delta + 1$ , 其色  $i_2$  在  $v_1$  处不出现,  $i_2$  在  $u$  处出现, 否则用  $i_2$

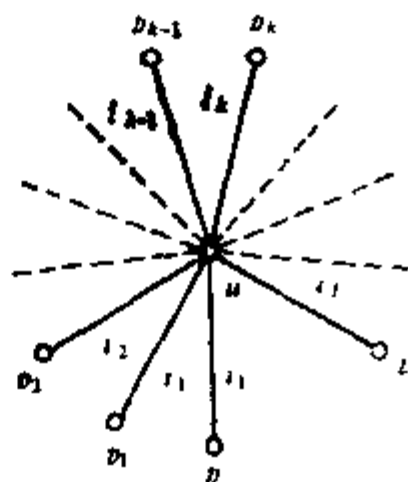


图 9.2

重新对  $uv_1$  着色, 得到一个对  $C$  的改善, 这与  $C$  是最佳  $\Delta + 1$  边着色矛盾. 故某边  $uv_2$  着色为  $i_2$ . 又  $d(v_2) < \Delta + 1$ , 某色  $i_3$  不在  $v_2$  处出现,  $i_3$  必在  $u$  处出现, 不然用  $i_2$  对  $uv_1$ , 用  $i_3$  对  $uv_2$  重新上色, 会得到对  $C$  的改善, 这是不可能的. 故有某边  $uv_3$  着色  $i_3$ . 继续这个过程, 我们构造了一顶序列  $v_1, v_2, \dots$  和一个颜色序列  $i_1, i_2, \dots$ , 使得

(1)  $uv_j$  着色  $i_j$ , 且

(2)  $i_{j+1}$  不在  $v_j$  处出现.

由于  $u$  的次数有限, 所以存在最小整数  $l$ , 使得对某个  $k < l$  有

(3)  $i_{k+1} = i_1$  (图 9.2)



我们用下述办法对  $G$  的边重新着色: 对于  $1 \leq j \leq k-1$ , 用  $i_{j+1}$  重新对  $uv_j$  上色, 得到一个新的  $\Delta+1$  边着色  $C' = (E'_1, E'_2, \dots, E'_{\Delta+1})$  (图9.3). 显然, 对一切  $v \in V(G)$ ,

$$c'(v) \geq c(v),$$

且  $C'$  是一个最佳  $\Delta+1$  边着色. 由引理2,  $G[E'_1 \cup E'_k]$  的含  $u$  的连通片  $H'$  是一个奇圈.

现在, 我们用  $i_{j+1}$  ( $k \leq j \leq l-1$ ) 重新给  $uv_j$  上色, 在  $uv_l$  上的颜色是  $i_k$ , 得到  $\Delta+1$  边着色  $C'' = (E'_1, E'_2, \dots, E'_{\Delta+1})$  (图9.4). 显然, 对一切  $v \in V(G)$ ,

$$c''(v) \geq c(v),$$

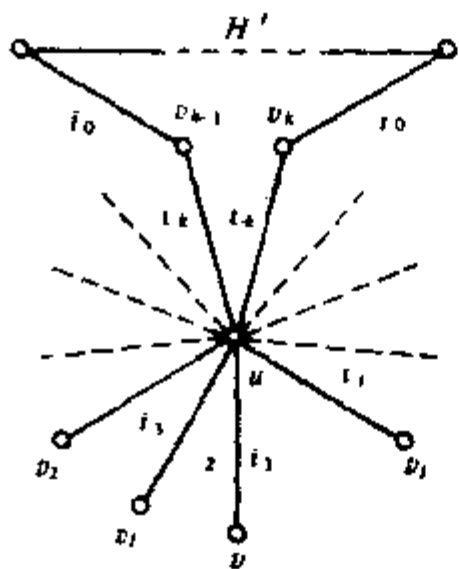


图 9.3

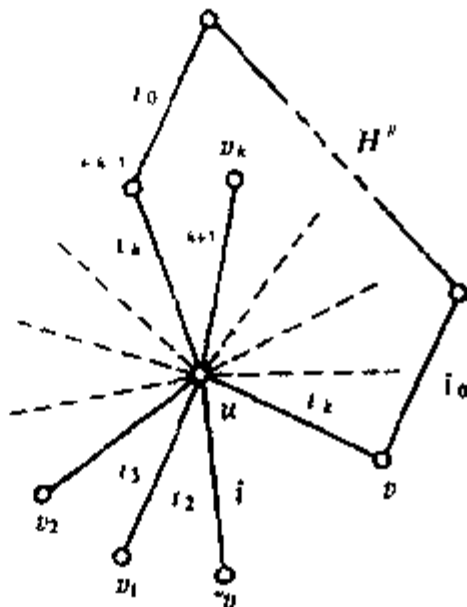


图 9.4

且  $G[E'_1 \cup E'_k]$  含  $u$  的连通片  $H''$  是一个奇圈. 但在  $H'$  中  $v_k$  的次数为2, 在  $H''$  中  $v_k$  的次数是1, 这是不可能的. **证毕.**

我们根据  $\chi'(G)$  的值把一切单图划分成两类,  $\chi'(G) = \Delta$  的图  $G$  称为**第一类的图**,  $\chi'(G) = \Delta+1$  的图  $G$  称为**第二类的图**. 二分图是第一类的图, 而妖怪是第二类的图.

## 9.2 Ramsey 数和 Schur 定理

第八章中我们讨论过 Ramsey 数, 用着色的语言来讲, 就是: 对任意给定的自然数  $k$  与  $l$ ,  $r(k, l)$  是满足如下条件的最

小整数  $n$ , 得使  $K_n$  中的任一个 2 边着色  $(E_1, E_2)$  或  $K_n[E_1]$  含子图  $K_k$ , 或  $K_n[E_2]$  中含子图  $K_l$ , 则称  $r(k, l)$  为 Ramsey 数.

用上述定义可以把  $r(k, l)$  推广.

**定义 3** 对任意给定的由  $m$  个数组成的自然数列  $k_1, k_2, \dots, k_m$ ,  $r(k_1, k_2, \dots, k_m)$  是满足下列条件的最小整数  $n$ , 对  $K_n$  的任意  $m$  边着色  $(E_1, E_2, \dots, E_m)$ , 存在某个  $i$ ,  $K_n[E_i]$  中有  $K_{k_i}$  子图,  $1 \leq i \leq m$ , 则称  $r(k_1, k_2, \dots, k_m)$  为 Ramsey 数.

与  $R(k, l)$  相似地有上界估计公式:

$$\begin{aligned} r(k_1, k_2, \dots, k_m) &\leq r(k_1 - 1, k_2, \dots, k_m) + r(k_1, k_2 - 1, k_3, \dots, \\ &\quad k_m) + \dots + r(k_1, k_2, \dots, k_{m-1}, k_m - 1) - m + 2, \\ r(k_1 + 1, k_2 + 1, \dots, k_m + 1) &\leq \frac{(k_1 + k_2 + \dots + k_m)!}{k_1! k_2! \dots k_m!}. \end{aligned}$$

**定理 3** (Schur, 1916) 设  $(S_1, S_2, \dots, S_n)$  是集合  $\{1, 2, \dots, r_n\}$  的任一划分, 其中  $r_n = r(\underbrace{3, 3, \dots, 3}_{n \text{ 个 } 3})$ , 则对某个  $i$  ( $1 \leq i \leq n$ ),

$s_i$  中有三个数  $x, y, z$ , 满足  $x + y = z$ .

**证** 考虑  $K_{r_n}, K_{r_n}$  的顶集为  $\{1, 2, \dots, r_n\}$ , 对  $K_{r_n}$  用  $1, 2, 3, \dots, n$  这  $n$  种颜色进行边着色, 当且仅当  $|u - v| \in s_i$  时,  $uv$  边着以  $i$  色; 由  $r_n$  定义, 在  $K_{r_n}$  中有单色三角形, 即有三个顶  $a, b, c$ ,  $ab, ac, bc$  有同种颜色  $i$ . 无损一般性, 设  $a > b > c$ , 令  $x = a - b$ ,  $y = b - c$ ,  $z = a - c$ , 则  $x, y, z \in s_i$ , 且  $x + y = z$ . 证毕.

**例 2** 平面上有六个点, 任何三点都是一个不等边三角形的顶点, 则这些三角形中有一个的最短边又是另一个三角形的最长边.

**证** 把每个三角形的最短边染成红色, 剩下的边染成白色. 由于  $r_2 = 6$  ( $r_2 = r(3, 3)$ ), 所以必有单色三角形. 又每个三角形都有最短边, 所以每个三角形上都有红色边, 故上述单色三角形是红色的, 所以它的最长边也是红色的, 同时, 这个红色边又是

另一个三角形的最短边。证毕。

**例 3** 把 $\{1, 2, 3, 4, 5, 6\}$ 划分成两个集合, 则必有一个集合包含两数及其差。

**证**  $r_2 = 6$ , 由 Schur 定理, 在题中所述划分出的两个集合中, 必有一个集合  $S$  中有三个数  $x, y, z$ , 满足  $x + y = z$ , 于是该集合  $S$  中有两数  $z, x$  及其差  $y$ 。证毕。

### 9.3 时间表问题

学校里有  $m$  位教师  $x_1, x_2, \dots, x_m$  和  $n$  个班级  $y_1, y_2, \dots, y_n$ .  $x_i$  老师为  $y_j$  班每天上课  $p_{ij}$  学时。试安排一个授课表, 使学校上课的时间最少。

令  $X = \{x_1, x_2, \dots, x_m\}$ ,  $Y = \{y_1, y_2, \dots, y_n\}$ , 顶  $x_i$  与  $y_j$  之间有  $p_{ij}$  条边相连, 形成一个二分图。每一学时, 每位教师最多为一个班上课, 每个班也至多接受一个老师的授课。故我们的问题之解就是求  $\chi'(G)$ 。因  $\chi'$ (二分图)  $= \Delta$ , 若没有授课多于  $p$  节的教师, 也没有授课多于  $p$  节的班级, 则可以编出一个至多  $p$  节课的时间表。然而, 若只有指定的几个教室可用, 全校一天最少安排几节课?

设共计  $l$  门功课, 编成每天  $p$  节课的功课表, 每节课平均要开  $\frac{l}{p}$  门功课, 至少需要  $\left\lceil \frac{l}{p} \right\rceil$  间教室。为了编制功课表, 我们首先

给出下面的引理和定理。

**引理 3**  $M$  和  $N$  是图  $G$  的无公共边的匹配, 且  $|M| > |N|$ , 则存在无公共边的匹配  $M', N'$ , 使得

$$|M'| = |M| - 1, |N'| = |N| + 1, M' \cup N' = M \cup N.$$

**证** 考虑  $H = G[M \cup N]$ , 正如 Berge 定理之证明,  $H$  的每个连通片要么是边在  $M$  与  $N$  中交错出现的偶圈, 要么是边在  $M$  与  $N$  中交错出现的轨。又因  $|M| > |N|$ ,  $H$  的某一轨型连通片的

始边与终边皆在 $M$ 内, 令这一轨为

$$P = v_0 e_1 v_1 \cdots e_{2n+1} v_{2n+1}$$

且取

$$M' = (M - \{e_1, e_3, \cdots, e_{2n+1}\}) \cup \{e_2, e_4, \cdots, e_{2n}\},$$

$$N' = (N - \{e_2, e_4, \cdots, e_{2n}\}) \cup \{e_1, e_3, \cdots, e_{2n+1}\}.$$

则 $M'$ 与 $N'$ 亦是 $G$ 中匹配, 且满足引理3的要求. 证毕.

**定理4**  $G$ 是二分图,  $\Delta \leq p$ , 则 $G$ 内存在 $p$ 个无公共边的匹配 $M_1, M_2, \cdots, M_p$ , 使得

$$E(G) = \bigcup_{i=1}^p M_i,$$

且对于 $1 \leq i \leq p$ ,

$$[\varepsilon/p] \leq |M_i| \leq \{\varepsilon/p\}.$$

**证** 由于 $G$ 是二分图,  $\chi'(G) = \Delta$ ,  $E(G)$ 可以划分成 $\Delta$ 个匹配 $M'_1, M'_2, \cdots, M'_\Delta$ . 故对于 $p \geq \Delta$ , 存在无公共边的匹配 $M'_1, M'_2, \cdots, M'_p$  (当 $i > \Delta$ 时, 令 $M'_i = \emptyset$ ), 使得

$$E(G) = \bigcup_{i=1}^p M'_i.$$

反复运用引理3于那些边数差大于1的每对匹配, 我们则得到 $p$ 个两两不相交的匹配 $M_1, M_2, \cdots, M_p$ , 满足定理4的要求. 证毕.

**例4** 四名教师, 五个班级, 教学要求如下:

$$A = \begin{matrix} & y_1 & y_2 & y_3 & y_4 & y_5 \\ \begin{matrix} x_1 \\ x_2 \\ x_3 \\ x_4 \end{matrix} & \begin{vmatrix} 2 & 0 & 1 & 1 & 0 \\ 0 & 1 & 0 & 1 & 0 \\ 0 & 1 & 1 & 1 & 0 \\ 0 & 0 & 0 & 1 & 1 \end{vmatrix} \end{matrix},$$

试排出四间教室, 三间教室和两间教室的课程表.

**解** 以 $X = \{x_1, x_2, x_3, x_4\}$ ,  $Y = \{y_1, y_2, y_3, y_4, y_5\}$ 为二

分图的顶集划分构造二分图 $G$ , 当 $A$ 矩阵中 $i, j$ 号元素为 $a_{ij}$ 时, 在 $x_i$ 与 $y_j$ 之间加 $a_{ij}$ 条边, 于是 $\Delta(G)=4$ ,  $\varepsilon=11$ , 安排4节课,  $\left\lfloor \frac{\varepsilon}{4} \right\rfloor=2$ ,  $\left\{ \frac{\varepsilon}{4} \right\}=3$ , 由定理4, 可安排3个教室4节课的课表; 若欲用两个教室, 由于 $\left\{ \frac{11}{6} \right\}=2$ ,  $\left\lfloor \frac{11}{6} \right\rfloor=1$ , 则可编排6节课的课表(图9.5)

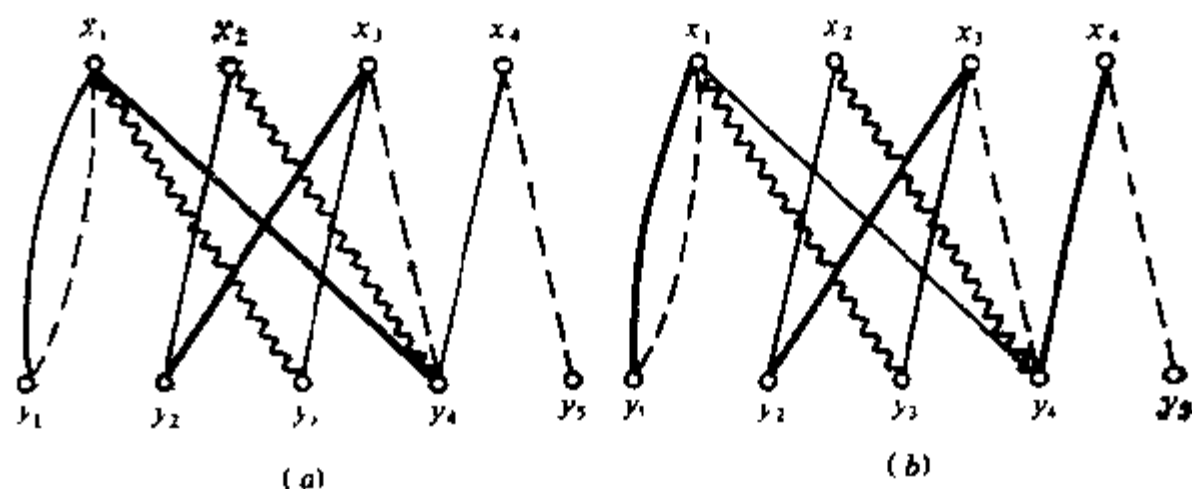


图 9.5

图 9.5(a) 相应的课表为:

教师 \ 节	1	2	3	4	5	6
$x_1$	$y_1, y_2, y_3, y_4$	-	-	-	-	-
$x_2$	$y_2$	-	$y_4$	-	-	-
$x_3$	$y_3, y_4$	-	$y_2$	-	-	-
$x_4$	$y_4, y_5$	-	-	-	-	-

共用四间教室, 因为第一节课 $y_1, y_2, y_3, y_4$ 四个班都在上课。图 9.5 中细实线代表第一节上课的教师与班级的匹配, 第二节用虚线表示; 第三节课用浪线表示; 第四节课用粗实线表示。

我们把图 9.5(a) 中的轨 $y_1x_1y_4x_4$ 中粗细实线易位, 得图 9.5(b)。它对应的课表为:

教师 \ 节	1	2	3	4	5	6
$x_1$	$y_4$	$y_1$	$y_5$	$y_2$	-	-
$x_2$	$y_2$	-	$y_4$	-	-	-
$x_3$	$y_5$	$y_4$	-	$y_2$	-	-
$x_4$	-	$y_5$	-	$y_4$	-	-

因为每节课最多三个班在上课, 所以只需三间教室。

根据引理 3 与定理 4, 我们把图 9.5(b) 中的匹配调整成六个两两不相交的匹配, 则可得六节课的课表:

教师 \ 节	1	2	3	4	5	6
$x_1$	$y_4$	$y_5$	$y_1$	-	$y_2$	-
$x_2$	$y_2$	$y_4$	-	-	-	-
$x_3$	-	-	$y_4$	$y_5$	$y_2$	-
$x_4$	-	-	-	$y_4$	-	$y_5$

## 9.4 顶 色 数

**定义 4** 图  $G$  的一个  $k$  顶着色是指  $V(G)$  的一个划分  $(V_1, V_2, \dots, V_k)$ ,  $V_i$  中  $(1 \leq i \leq k)$  的顶皆着以  $i$  色。又若每个  $V_i$  中无每邻顶, 则称此  $k$  顶着色为正常  $k$  顶着色。若  $G$  可以正常  $k$  顶着色, 但不能  $k-1$  顶正常着色, 则称  $G$  的色数为  $k$ , 记成  $\chi(G) = k$ , 且称  $G$  为  $k$  色图。若  $G$  的任一真子图  $H$ ,  $\chi(H) < \chi(G)$ , 则称  $G$  为色每界图,  $\chi(G) = k$  时, 称为  $k$  色临界图。

例如,  $\chi(G) = 1$ , 当且仅当  $\delta(G) = 0$ ;  $\chi(G) = 2$ , 当且仅当  $G$  是有边二分图; 每个  $k$  色图皆存在  $k$  色临界子图。

**例 5** 求 7 顶轮的色数。

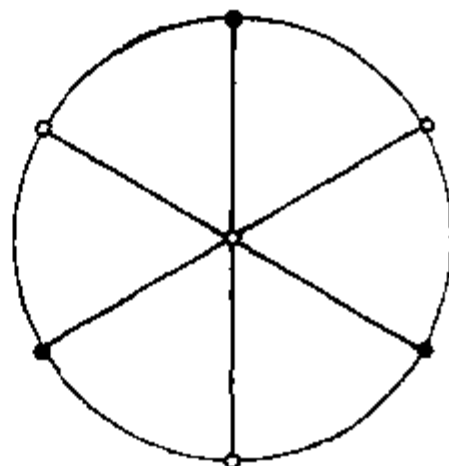


图 9.6

**解** 因为7顶轮 $G$ 有边,故 $\chi(G) > 1$ ;又轮有三角形,即有奇圈,所以非二分图, $\chi(G) > 2$ ,即 $\chi(G) \geq 3$ .我们把轮心着以1色,轮周上2色与3色相间出现,则知 $\chi(G) \leq 3$ ,于是 $\chi(G) = 3$ (图9.6).

这个例题说明 $\chi(G) < \Delta(G) + 1 = 7$ ,也有 $\chi(G) = \Delta(G) + 1$ 的图,例如 $G = K_3, \chi(K_3) = 3 = \Delta(K_3) + 1$ .

**定理 5**  $\chi(G) \leq \Delta + 1$ .

**证** 任取一顶 $v \in V(G)$ ,着以 $\Delta + 1$ 种颜色之一;取无色顶 $u \in V(G)$ ,着以与 $u$ 相邻的顶上颜色相异的一种颜色.因为 $d(u) \leq \Delta$ ,故 $u$ 的邻顶上的颜色最多 $\Delta$ 种, $\Delta + 1$ 种颜色中至少有一种可以用于 $u$ 的着色.而 $|V(G)| < +\infty$ ,故如此进行有限次之后可以完成 $G$ 的正常顶着色,且 $\chi(G) \leq \Delta + 1$ . **证毕.**

可以化为求色数的实际问题很多,下面提供三个实例.

(1) **考试安排问题:** 学期的期末考试最少几天才能完成?

设学校共有 $n$ 门功课需要进行期末考试,因为不少学生不止选修一门课,所以不能把一个同学选修的两门课安排在同一时间进行考试.

我们以每门功课为一个顶,当且仅当两门功课被同一个学生选修时,在相应二顶之间连一条边,得到一个图 $G$ .我们对 $G$ 的顶进行正常着色,同色顶则安排在同一时间考试,于是 $\chi(G)$ 即为学校期末考试所需最少天数.

(2) **存储问题:** 有的货物,放在一起不安全(例如黄鼠狼和小鸡),问至少要几个库房才能安全存放?

以货物为顶,在且仅在放在一起不安全的两种货物之间连上一条边,得一图 $G$ , $\chi(G)$ 即为所求.

(3) **距离约束同信道频率分配问题**(代号F\*D-CCAP): 地面上有若干无线电发射台,我们要对每个台分配一个频率令其采用,频率用自然数从1起编号,称为信道号码.为排除同信道造成的干扰,我们要求使用同信道的发射台之间相距必须

大于指定的正数  $d$ ，问至少要用几个信道？

我们以  $\frac{d}{2}$  为半径，以发射台为圆心作圆，仅当两个圆有公共点时，在两个圆心之间加一边，以圆心为顶，得到一个图  $G$ （圆盘图）， $\chi(G)$  即为所求。

## 9.5 面 色 数

**定义 5** 平面图  $G$  平面嵌入后，它的  $k$  面着色是指其面集合  $F$  的一个划分  $(F_1, F_2, \dots, F_k)$ ， $F_i$  中的面皆着以  $i$  色。如果每个  $F_i$  中的面两两无公共边，则称此  $k$  面着色为正常  $k$  面着色。平面图  $G$  有  $k$  面正常着色，但不能进行  $k-1$  面正常着色，则称  $k$  是  $G$  的面色数，记之为  $\chi^*(G) = k$ 。

若  $G^*$  是  $G$  的对偶图，则显然有  $\chi(G^*) = \chi^*(G)$ 。

**四色定理** 有两种表述方式：

(1) 对于任何平面图  $G$ ， $\chi^*(G) \leq 4$ 。

(2) 对于任何平面图  $G$ ， $\chi(G) \leq 4$ 。

这两种表述是等价的。事实上，若  $G$  是平面图，且  $\chi(G) \leq 4$ ，由于  $G^*$  也是平面图，故  $\chi(G^*) \leq 4$ ；又  $\chi(G^*) = \chi^*(G)$ ，故得  $\chi^*(G) \leq 4$ 。反之，若  $\chi^*(G) \leq 4$ ，不妨设  $G$  是平面连通图；则  $\chi(G) = \chi((G^*)^*) = \chi^*(G^*)$ ，而  $G^*$  是平面图，故  $\chi^*(G^*) \leq 4$ ，即  $\chi(G) \leq 4$ 。

**定理 6** (Heawood, 1890)  $\chi(\text{平面图}) \leq 5$ 。

**证** 我们对  $v$  进行数学归纳法证明。

$v \leq 5$  时，定理显然成立。

假设对  $v \leq n-1$ ，定理已成立，考虑  $v = n$  的情形。因  $G$  是平面图，所以存在  $v_0 \in V(G)$ ， $d(v_0) \leq 5$ 。

(1)  $d(v_0) \leq 4$ ，考虑  $G - v_0$ ，由归纳法假设， $\chi(G - v_0) \leq 5$ ；再把  $v_0$  着以与邻顶（不超过四个）相异的第五色，则知



$\chi(G) \leq 5$ .

(2)  $d(v_0) = 5$ , 设  $v_1, v_2, v_3, v_4, v_5$  是  $v_0$  的邻顶, 按逆时

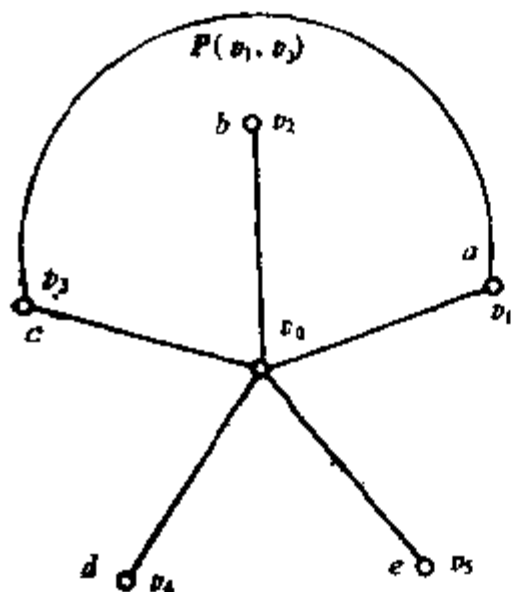


图 9.7

针为序画在平面上 (图 9.7), 分别着以  $a, b, c, d, e$  五种颜色. 记  $G_0 = G - v_0$ ,  $G_{a,c}$  是  $G_0$  中由  $a, c$  色之顶导出的子图. 在  $G_{a,c}$  中,

(i) 若  $v_1$  与  $v_3$  分处于两个连通片, 在含  $v_1$  的连通片中,  $a, c$  两色互换; 由归纳法假设,  $\chi(G_0) \leq 5$ ; 这时, 把  $v_0$  着以  $a$  色, 则得  $\chi(G) \leq 5$ .

(ii) 若  $v_1$  与  $v_3$  在一个连通

片中, 则存在轨  $P(v_1, v_3)$ , 在  $P(v_1, v_3)$  上  $a, c$  二色交替出现, 在  $G$  中  $v_0, v_1, P(v_1, v_3), v_3, v_0$  是一个圈, 因为已经平面嵌入,  $v_2$  与  $v_4$  必分居于此圈之内、外. 显然, 在  $G_0$  中由  $b, d$  两色导出的子图  $G_{b,d}$  中,  $v_2$  与  $v_4$  分属于两个连通片, 不然, 在  $G_{b,d}$  中有轨  $P(v_2, v_4)$ , 它与  $P(v_1, v_3)$  相交于一个公共顶, 这个公共顶一方面在  $P(v_1, v_3)$  上, 是  $a$  或  $c$  色; 另一方面, 在  $P(v_2, v_4)$  上, 是  $b$  或  $d$  色, 这是不可能的. 既然  $v_2$  与  $v_4$  在  $G_{b,d}$  中分属于两个连通片, 把  $v_2$  所在的连通片中  $b$  与  $d$  色互换, 再对  $v_0$  着以  $b$  色, 则得  $\chi(G) \leq 5$ . 证毕.

定理 6 中“颜色互换”的技巧是 Kemple 首次提出的. 这种技巧在染色中不止一次地运用.

**例 6** 平面上任作  $n$  条直线, 把平面划分成若干区域, 证明: 只需两种颜色即可把全部区域上色, 而且有公共边界线的两区域异色.

**证** 对  $n$  进行数学归纳法,  $n=1$  时, 命题显然成立. 假设  $n \leq k$  时, 命题已成立, 令  $n=k+1$ , 从  $k+1$  条直线中任意删除一条直线  $L$ , 由归纳法假设, 对剩下的  $k$  条直线划分的区域, 可

以只用  $a, b$  两种颜色着色, 且相邻区域异色. 这时, 再把  $L$  恢复到原来位置上, 且把  $L$  某一侧的  $a, b$  两色互换, 则得证命题对  $k+1=n$  仍成立. 证毕.

## 9.6 颜色多项式

今有  $k$  种颜色 ( $k \geq 1$ ), 用以对给定的标志图正常顶着色, 问共有多少种不同的着色方式? 所谓两次着色方式不同, 是指至少有一个顶, 两次着色颜色不同. 我们用  $P(G, k)$  表示图  $G$  的上述不同的着色方式的总数, 对给定的  $G$ ,  $P(G, k)$  是  $k$  的一元函数, 定义域是自然数集合  $N$ .

由定义可知:

- (1)  $P(G, k) > 0$  的充要条件是  $\chi(G) \leq k$ .
- (2)  $\varepsilon(G) = 0$  时,  $P(G, k) = k^v$ .
- (3)  $G = K_v$ , 则  $P(G, k) = k(k-1)\cdots(k-v+1)$ .

例如,  $P(K_3, 3) = 3(3-1)(3-2) = 6$  (图9.8), 即用三种颜色对标志的三角形正常顶着色, 共有 6 种不同的上色方式.



图 9.8

**定理 7**  $G$  是单理, 任取一边  $e \in E(G)$ , 则

$$P(G, k) = P(G-e, k) + P(G \cdot e, k).$$

**证** 设  $e = uv$ , 考虑用  $k$  种颜色对  $G-e$  着色,

- (1) 当  $u$  与  $v$  同色时, 上色方式的数目恰为  $P(G \cdot e, k)$ .
- (2) 当  $u$  与  $v$  异色时, 上色方式的数目恰为  $P(G, k)$ .

由 (1) 与 (2) 得

$$P(G-e, k) = P(G \cdot e, k) + P(G, k),$$

故得

$P(G, k) = P(G - e, k) - P(G \cdot e, k)$ 。证毕。

利用定理 7 给出的公式可以递推地求得一些小图的  $P(G, k)$ 。图 9.9 给出了四颗星用  $k$  种颜色上色时，不同上色方式的数目是  $k(k-1)^3$ ；四阶圈（四边形）的上色方式有  $k(k-1) \cdot (k^2 - 3k + 3)$  种。

这两个图的  $P(G, k)$  都是多项式，事实上，这并非偶然。

**定理 8**  $P(G, k)$  是  $k$  的  $\nu$  次多项式，且 (1) 首项为  $k^\nu$ ；(2) 第二项为  $-\epsilon k^{\nu-1}$ ；(3) 常数项为零；(4) 系数皆整数，且正负交错出现。

**证** 对  $\epsilon$  进行数学归纳法证明。不妨设  $G$  为单图， $G \cdot e$  中有重边时，只保留重边中的一条边。 $\epsilon = 0$  时， $P(G, k) = k^\nu$ ，定理成立。假设  $\epsilon \leq m-1$  时定理已成立。考虑  $\epsilon = m$  的情形，由归纳法假设，

$$P(G - e, k) = k^\nu - (\epsilon - 1)k^{\nu-1} + \sum_{i=1}^{\nu-2} (-1)^{\nu-i-1} a_i k^i,$$

$$P(G \cdot e, k) = k^{\nu-1} - \epsilon' k^{\nu-2} + \sum_{i=1}^{\nu-3} (-1)^{\nu-i-1} b_i k^i.$$

其中  $\epsilon'$  是  $G \cdot e$  的边数， $a_i, b_i$  是非负整数。由定理 7，

$$\begin{aligned} P(G, k) &= P(G - e, k) - P(G \cdot e, k) \\ &= k^\nu - \epsilon k^{\nu-1} + (\epsilon' + a_{\nu-2})k^{\nu-2} + \sum_{i=1}^{\nu-3} ((-1)^{\nu-i-1} a_i \\ &\quad + (-1)^{\nu-i-2} b_i) k^i = k^\nu - \epsilon k^{\nu-1} + (\epsilon' + a_{\nu-2})k^{\nu-2} \\ &\quad + \sum_{i=1}^{\nu-3} (-1)^{\nu-i-1} (a_i + b_i) k^i. \end{aligned}$$

证毕。

定理 8 告诉我们  $P(G, k)$  是多项式，今后我们称  $P(G, k)$  为颜色多项式；颜色多项式是 1912 年 Birkhoff 冲击 4CC 时引入

的, 用颜色多项式来表述四色猜想就是:

$$\begin{aligned}
 & \begin{array}{c} \circ \\ | \\ \circ \\ / \quad \backslash \\ \circ \quad \circ \end{array} = \begin{array}{c} \circ \\ / \quad \backslash \\ \circ \quad \circ \end{array} - \begin{array}{c} \circ \\ / \quad \backslash \\ \circ \quad \circ \end{array} \\
 & = \left( \begin{array}{c} \circ \\ / \quad \backslash \\ \circ \quad \circ \end{array} - \begin{array}{c} \circ \\ / \quad \backslash \\ \circ \quad \circ \end{array} \right) - \left( \begin{array}{c} \circ \\ / \quad \backslash \\ \circ \quad \circ \end{array} - \begin{array}{c} \circ \\ / \quad \backslash \\ \circ \quad \circ \end{array} \right) \\
 & = \left( \begin{array}{c} \circ \\ \circ \\ \circ \end{array} \right) - 3 \left( \begin{array}{c} \circ \\ \circ \\ \circ \end{array} \right) + 3 \left( \begin{array}{c} \circ \\ \circ \\ \circ \end{array} \right) - \left( \begin{array}{c} \circ \\ \circ \end{array} \right)
 \end{aligned}$$

$$= k^4 - 3k^3 + 3k^2 - k = k(k-1)^3$$

$$\begin{aligned}
 & \begin{array}{c} \circ \quad \circ \\ | \quad | \\ \circ \quad \circ \end{array} = \begin{array}{c} \circ \quad \circ \\ / \quad \backslash \\ \circ \quad \circ \end{array} + \begin{array}{c} \circ \quad \circ \\ | \quad | \\ \circ \quad \circ \end{array} \\
 & = \left( \begin{array}{c} \circ \quad \circ \\ / \quad \backslash \\ \circ \quad \circ \end{array} + \begin{array}{c} \circ \quad \circ \\ / \quad \backslash \\ \circ \quad \circ \end{array} \right) + \left( \begin{array}{c} \circ \quad \circ \\ / \quad \backslash \\ \circ \quad \circ \end{array} + \begin{array}{c} \circ \quad \circ \\ | \quad | \\ \circ \quad \circ \end{array} \right) \\
 & = \begin{array}{c} \circ \quad \circ \\ / \quad \backslash \\ \circ \quad \circ \end{array} + 2 \begin{array}{c} \circ \\ / \quad \backslash \\ \circ \quad \circ \end{array} - \begin{array}{c} \circ \\ | \\ \circ \end{array}
 \end{aligned}$$

$$= k(k-1)(k-2)(k-3) + 2k(k-1)(k-2) + k(k-1) = k(k-1)(k^2 - 3k + 3)$$

图 9.9

任意的平面图  $G$ , 皆有  $P(G, 4) > 0$ .

如今四色猜想已被证明. 所以, 如果图  $G$  的颜色多项式  $P(G, k) = P_1(k)(k-4)$  时, 其中  $P_1(k)$  是  $k$  的  $\nu-1$  次多项式, 则  $P(G, 4) = 0$ , 于是可以断言  $G$  非平面图. 平面图的颜色多项式不会有大于 3 的实根.

若  $G_1, G_2, \dots, G_\omega$  是  $G$  的连通片, 则显然有

$$P(G, k) = \prod_{i=1}^{\omega} P(G_i, k).$$

颜色多项式的缺点之一是它与图不——对应; 同构的两个标志图, 其颜色多项式当然相等, 但两个图的颜色多项式相等时, 两图未必同构. 这一点从下面的定理可以看得出来.

**定理 9**  $G$  是树的充要条件是  $P(G, k) = k(k-1)^{\nu-1}$ .

**证** 若  $P(G, k) = k(k-1)^{\nu-1}$ , 这时颜色多项式中有 1 次项,

由  $P(G, k) = \prod_{i=1}^{\omega} P(G_i, k)$  知  $\omega = 1$ , 即  $G$  是连通图; 又  $k(k-1)^{\nu-1}$

的  $\nu-1$  次项的系数是  $-(\nu+1)$ , 即  $\varepsilon = \nu-1$ , 故  $G$  是树.

若  $G$  是树, 我们用关于  $\nu$  的数学归纳法来证明  $P(G, k) = k(k-1)^{\nu-1}$ . 事实上  $G=T$  是树,  $\nu=1$  时,  $P(T, k) = k$ ,  $\nu=2$  时,  $T=K_2$ ,  $P(T, k) = k(k-1)$ , 定理成立. 假设  $\nu \leq n-1$  时,  $P(T, k) = k(k-1)^{\nu-1}$ . 设  $v \in V(T)$ , 且  $v$  是叶,  $\nu(T) = n$ , 考虑  $T' = T - v$ , 由归纳法假设,  $P(T', k) = k(k-1)^{n-2}$ . 然而, 对  $T'$  的每一正常顶着色 (限用  $k$  种颜色中的一些颜色),  $v$  的着色有  $k-1$  种选择而使  $T$  正常顶着色, 故

$$P(T, k) = P(T', k)(k-1) = k(k-1)^{n-1}.$$

**证毕.**

$\nu$  顶的树, 当  $\nu \geq 3$  时, 其中有不少不同构者, 但它们的颜色多项式却是一致的.

关于颜色多项式, 还有不少问题引人注意, 例如:

(1)  $k(k-1)^{v-1}$  为颜色多项式的图都是树, 推广地问: 有相同颜色多项式的图若不同构, 它们有什么共同点?

(2) 如何判断一个多项式是否颜色多项式?

例如  $k^4 - 3k^3 + 3k^2$  满足定理 8 的首项系数为 1, 系数皆整数, 正负交错地出现, 无常数项, 但它并不是颜色多项式. 事实上, 若它是图  $G$  的颜色多项式,  $G$  连通时, 因  $\varepsilon = 3$ , 而  $v = 4$ , 故  $G$  是树, 它的颜色多项式应为  $k(k-1)^{v-1} = k(k-1)^3 \neq k^4 - 3k^3 + 3k^2$ ; 若  $G$  不连通, 只能有  $G = K_1 \cup K_1$ , 而这时  $P(G, k) = P(K_1, k) \cdot P(K_1, k) = k(k-1)(k-2)k \neq k^4 - 3k^3 + 3k^2$ .

(3) Read 猜想:  $P(G, k)$  中系数的绝对值先是严格单调上升, 继而严格单调下降.

至今尚无人证明或反驳 Read 猜想.

## 9.7 求色数的一个算法

求色数目前尚无好算法, 即尚无有效算法, 本节介绍一个算法, 它对顶数较多的图不适用.

为得到色数的算法, 我们首先讨论所谓规范  $k$  顶着色.

**定义 6** 图  $G$  的一个  $k$  顶着色  $(V_1, V_2, \dots, V_k)$ , 若  $V$  是  $G = \bigcup_{i=1}^{k-1} V_i$  的极大独立集,  $i = 1, 2, \dots, k$ ,  $V_k = \emptyset$ , 则称这一  $k$

顶着色是规范  $k$  顶着色.

规范  $k$  顶着色是正常  $k$  顶着色.

**定理 10**  $G$  是可以  $k$  顶正常着色的, 则  $G$  存在  $k$  顶规范着色.

**证** 设  $(V_1, V_2, \dots, V_k)$  是  $G$  的一个正常  $k$  顶着色, 若  $V_1$  是  $G$  的极大独立集, 则把  $V_1$  各顶着以 1 色; 不然,  $V_1$  是独立集, 从  $V - V_1$  中调入某些顶进入  $V_1$ , 可以使  $V_1$  扩张成极大独立集  $V_1^{(1)}$ ;  $V_2, V_3, \dots, V_k$  分别变成  $V_2^{(1)}, V_3^{(1)}, \dots, V_k^{(1)}$ ; 考虑  $G$

若  $V_1^{(1)}$  是其极大独立集，则把  $V_2^{(1)}$  的顶着色以 2 色；不然，从  $G - V_1^{(1)} - V_2^{(1)}$  中调一些顶进入  $V_2^{(1)}$ ，使  $V_2^{(1)}$  扩张成  $G - V_1^{(1)}$  的极大独立集  $V_2^{(2)}$ 。如此以往，最后可得  $G$  的规范  $k$  顶着色  $(V_1^{(1)}, V_2^{(2)}, \dots, V_k^{(k)})$ ，证毕。

当我们用一些颜色为一个图正常着色，首先用第一种颜色去上色时，尽可能扩大第一色顶的个数，认为这是“规范”的一种表现，即尽可能多“工作”。用第二种颜色上色时亦应本着尽可能多给一些顶上色的规范态度去做等等，所以名规范  $k$  顶着色。当然，规范  $k$  顶着色用的颜色数未必就是  $\chi(G)$ ，而且规范着色未必唯一，由定理 10， $G$  可用  $\chi(G)$  种颜色正常顶着色，也必然存在  $\chi(G)$  规范着色，于是我们只需从一切规范着色中挑选所用颜色最少者，其所用颜色即为所求的  $\chi(G)$ 。

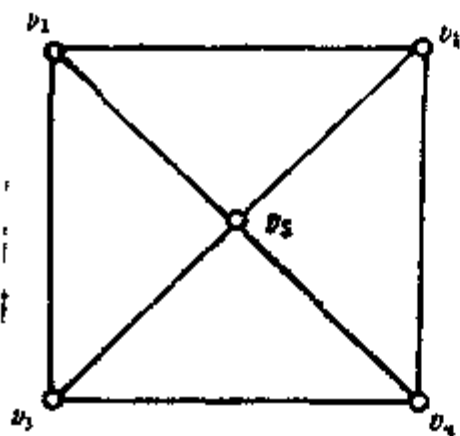


图 9.10

例如图 9.10 中的极大独立集共计三个： $\{v_5\}$ ， $\{v_1, v_3\}$ ， $\{v_2, v_4\}$ 。所以  $G$  的规范着色是唯一的： $(\{v_5\}$ ， $\{v_1, v_3\}$ ， $\{v_2, v_4\})$ ，故得  $\chi(G) = 3$ 。

这里介绍的规范着色的方法求色数其实需要求极大独立集以及一切规范着色，这对于大图，因为计算量过大而成为实际上不可完成的解法，所以是一个坏算法。

着色问题的理论与应用，内容之丰富，之精彩，使它成了图论中的重要篇章。4 色定理尚欠理论性证明，此外，还有一些猜想（例如 Read 猜想）亦未被证明或反驳；我们用时间表之编排及 F\*D-CCAD 问题为范例来说明如何把实际问题化为染色问题，读者应当增强用着色思想考虑实际问题的观念。

本章的要点是

(1)  $\chi(G)$ ,  $\chi'(G)$ ,  $\chi^*(G)$  的定义与联系。

(2)  $\chi'$  (二分图)  $= \Delta$ ,  $\chi'$  (单图)  $= \Delta$  或  $\Delta + 1$ ,  $\chi(G) \leq \Delta + 1$ .

(3) 颜色多项式的定义和求法.

(4) 四色定理与五色定理.

(5) 把时间表问题及 F\*D CCAP 化成着色问题.

## 习 题

1.  $\chi'$  (Petersen 图)  $= 4$ .

2. 怎样求二分图的正常  $\Delta$  边着色?

3.  $G$  是二分图,  $\delta > 0$ , 则  $G$  有一个  $\delta$  边着色, 在  $G$  的任一顶处均有  $\delta$  个颜色出现.

4.  $\chi(K_{2n-1}) = \chi'(K_{2n}) = 2n - 1$ .

5.  $G$  是正则图,  $v$  是奇数,  $\varepsilon \neq 0$ , 则  $\chi'(G) = \Delta + 1$ .

6.  $G$  是无环单图,  $v = 2n + 1$ ,  $\varepsilon > n\Delta$ , 则  $\chi' = \Delta + 1$ .

7. 图  $G$  中任意两个正常  $k$  边着色对边集合的色划分一致, 则称  $G$  是唯一正常  $k$  边着色图, 证明唯一 3 边正常染色 3 次正则图是 Hamilton 图.

8. 学校里有 7 名教师, 12 个班, 每周五天教学, 教课要求由下面矩阵给出:

$$P = \begin{array}{c} \begin{array}{cccccccccccc} y_1 & y_2 & y_3 & y_4 & y_5 & y_6 & y_7 & y_8 & y_9 & y_{10} & y_{11} & y_{12} \end{array} \\ \begin{array}{cccccccccccc|c} 3 & 2 & 3 & 3 & 3 & 3 & 3 & 3 & 3 & 3 & 3 & 3 & x_1 \\ 1 & 3 & 6 & 0 & 4 & 2 & 5 & 1 & 3 & 3 & 0 & 4 & x_2 \\ 5 & 0 & 5 & 5 & 0 & 0 & 5 & 0 & 5 & 0 & 5 & 5 & x_3 \\ 2 & 4 & 2 & 4 & 2 & 4 & 2 & 4 & 2 & 4 & 2 & 3 & x_4 \\ 3 & 5 & 2 & 2 & 0 & 3 & 1 & 4 & 4 & 3 & 2 & 5 & x_5 \\ 5 & 5 & 0 & 0 & 5 & 5 & 0 & 5 & 0 & 5 & 5 & 0 & x_6 \\ 0 & 3 & 4 & 3 & 4 & 3 & 4 & 3 & 4 & 3 & 3 & 0 & x_7 \end{array} \end{array}$$

其中  $p_{ij}$  是教师  $x_i$  教  $y_j$  班的节数, 试问:

(1) 一天应分几节课?



(2) 若每天上 8 节课, 需要几间教室?

9. 证明:

$$(1) r_n \leq n(r_{n-1} - 1) + 2,$$

$$(2) r_n \leq [n!e] + 1.$$

$$(3) r_3 \leq 17.$$

10.  $G$  是无环图, 则存在  $\Delta$  正则图, 使  $G$  为其子图.

11. 单图  $G$  与  $H$  之积  $G \times H$  是下面的图, 其顶集为  $V(G) \times V(H)$ ,  $(u, v)$  与  $(u', v')$  相邻的充要条件是  $u = u', vv' \in E(H)$  或  $v = v', uu' \in E(G)$ . 试证明:

$$(1) \chi'(G \times K_2) = \Delta(G \times K_2).$$

(2)  $H$  是一个非平凡图, 且  $\chi'(H) = \Delta(H)$ , 则  $\chi'(G \times H) = \Delta(G \times H)$ .

12. 写出一个在单图上  $\Delta + 1$  正常顶着色的算法.

13.  $\delta(G) > 1$ ,  $G$  是单图, 则存在  $\delta - 1$  边着色, 使  $G$  的每顶处出现  $\delta - 1$  种颜色.

14.  $s_n$  是满足下列条件的最小整数: 把  $\{1, 2, \dots, s_n\}$  划分成  $n$  个子集, 总存在一个子集, 其中有  $x + y = z$  的解, 证明

$$s_1 = 2, s_2 = 5, s_3 = 14.$$

$$15. s_n \geq 3s_{n-1} - 1.$$

$$16. s_n \geq \frac{1}{2}(3^n + 1).$$

$$17. s_n \geq \frac{1}{2}(27(3)^{n-3} + 1).$$

18. 一个国际社团, 由六个国家的 1976 人组成, 对每个人任编一号码, 但号码从 1 编到 1976, 则定有一人, 其号码是其某同胞号码之 2 倍或某两同胞号码之和. 又

(1) 把 1976 改成 1958, 命题是否仍成立?

(2) 若只有 364 名人士时, 可以有一编号方法, 使上述同胞号码关系不出现.

(3) 把 6 国推广成  $n$  国 ( $n \geq 6$ ), 问至少多少位人士参加才能发生题中所述的同胞号码关系? 又问至多多少人上参加时, 才可设法避免那种同胞号码关系?

19.  $G$  是单图, 则  $\chi(G) \geq \frac{v^2}{v^2 - 2\varepsilon}$ .

20.  $G$  中任一奇圈皆有公共顶, 则  $\chi \leq 5$ .

21.  $G$  的次数列为  $d_1, d_2, \dots, d_v$ , 且  $d_1 \geq d_2 \geq \dots \geq d_v$ , 则  $\chi \leq \max_i \min\{d_i + 1, i\}$ .

22.  $\varepsilon > 0$ , 则  $\chi \leq \{(2\varepsilon)^{1/2}\}$ .

23.  $\chi(G) + \chi(G^c) \leq v + 1$ .

24. 仅有的 1 色临界图是  $K_1$ , 仅有的 2 色临界图是  $K_2$ , 而仅有的 3 色临界图是  $k$  阶奇圈.  $k$  是不小于 3 的奇数

25. 求图 9.11 中两个图的颜色多项式.

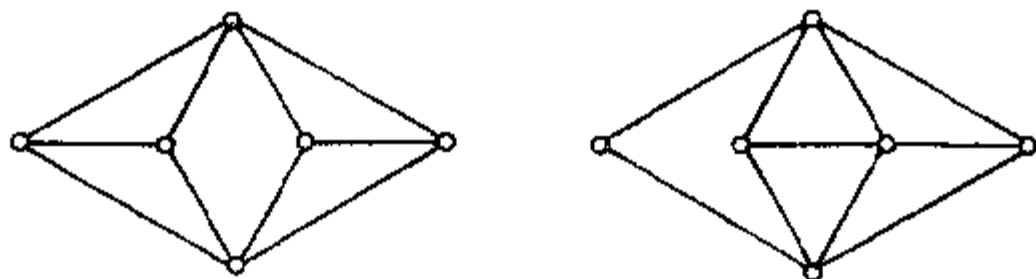


图 9.11

26.  $P(C_n, k) = (k-1)^n + (-1)^n(k-1)$ , 其中  $C_n$  是  $n$  阶圈.

27.  $P(G, k) = k(k-2)^n + (-1)^n k(k-2)$ , 其中  $G$  为  $n+1$  顶轮.

28.  $G \cap H$  是完全图, 其中  $G$  与  $H$  是单图, 则

$$P(G \cup H, k) \cdot P(G \cap H, k) = P(G, k) \cdot P(H, k).$$

29.  $P(G, k) = 0$  的实根不大于  $v$ .

30.  $\chi(n \text{ 维立方体}) = ?$   $\chi'(n \text{ 维立方体}) = ?$

31. 图  $G$  的颜色多项式为  $P(G, k) = (k-5)P_1(k)$ , 其中  $P_1(k)$  是  $k$  的  $v-1$  次多项式, 问  $G$  是否平面图? 为什么?

32. 证明：若图  $G$  满足下列条件之一，则  $G$  是第二类的图：

(1)  $v = \text{odd}$ ，且  $\sum_{v \in V} [\Delta - d(v)] < \Delta$ 。

(2)  $v = \text{odd}$  的正则图。

(3) 含割顶的正则图。

(4)  $G$  是从  $v = \text{odd}$  的正则图中删去不多于  $\frac{\Delta}{2} - 1$  条边得到的图。

(5)  $G$  是从  $v = \text{even}$  的正则图中一条边被剖分得到的图。

## 10 有 向 图

### 10.1 有向图的连通性

有向图的概念以及有向道路、有向轨、有向圈等概念，我们前面介绍过，本章要深入研究这些概念的性质和应用。

**定义 1** 把有向图的各边的方向去掉，所得的无向图叫做该有向图的底图；有向图  $G$  之底图是连通图时，此有向图称为弱做通有向图。对于有向图  $G$  的顶  $u, v \in V(G)$ ，存在有向轨  $P(u, v)$  时，称  $u$  可达  $v$ ；任取  $u, v \in V(G)$ ， $u$  可达  $v$  或  $v$  可达  $u$  时，称  $G$  是单连通有向图；任取  $u, v \in V(G)$ ，不但  $u$  可达  $v$ ，而且  $v$  可达  $u$  时，称  $G$  为强连通有向图。

**定理 1**  $G$  是强连通有向图的充要条件是  $G$  的一切顶在一个有向回路上。

**证** 设  $G$  是强连通有向图， $V(G) = \{v_1, v_2, \dots, v_n\}$ ，则存在有向轨  $P_1(v_1, v_2), P_2(v_2, v_3), \dots, P_{n-1}(v_{n-1}, v_n), P_n(v_n, v_1)$ ，于是  $\bigcup_{i=1}^n P_i$  即为含一切顶的有向回路。反之，若  $G$  之一切顶共处于一个有向回路上，则任取  $u, v \in V(G)$ ，存在有向轨  $P_1(u, v)$  与  $P_2(v, u)$ ，故  $G$  是强连通有向图，证毕。

**定理 2** 有向图  $G$  为单连通图的充要条件是  $G$  中存在有向生成道路。

**证** 充分性不足道。

下证必要性。已知有向图  $G$  是单连通的，任取定  $V_1 \subseteq V(G)$ ，总存在一个顶  $v_1 \in V_1$ ，对任何  $v \in V_1$ ，使得  $v_1$  可达  $v$ ；不然的话，

必有一个最小的无此性质的顶子集  $U = \{v_1, v_2, \dots, v_k\}$ , 在  $U - \{v_k\}$  中存在一个顶  $v$ , 对任意的  $u \in U - \{v_k\}$ ,  $v$  可达  $u$ . 由此知, 在  $U$  中只能是  $v$  不能达  $v_k$ , 同时  $v_k$  不可达  $v$ , 这与  $G$  是单连通有向图相违. 证毕.

**定理 3** 无向图  $G$  可定向成强连通图的充要条件是无向图 (底图)  $G$  是 2 边连通图.

**证** 若无向图  $G$  可定向成强连通图, 则  $G$  中无桥, 不然桥的两端点在定向后的有向图中不能彼此可达, 与强连通的定义相违. 所以  $G$  是 2 边连通图.

反之, 若  $G$  是 2 边连通的无向图, 它无桥, 存在一个圈  $G_1$ , 我们构造  $G$  的连通子图序列  $G_1, G_2, \dots$ ; 若  $G_i$  ( $i = 1, 2, \dots$ ) 不是生成子图, 设  $v_i$  不是  $G_i$  中的顶, 而  $v_i \in V(G)$ , 则找到两个无关公共边的轨  $P_i, Q_i$  (见第 3 章习题 9);  $P_i, Q_i$  的一端是  $v_i$ , 另一端在  $G_i$  中, 这时, 令  $G_{i+1} = G_i \cup P_i \cup Q_i$ . 又因  $|V(G)| < +\infty$ , 故这一序列必然到某一生成子图  $G_n$  为止. 我们给  $G_n$  定向: 首先把  $G_1$  定向成有向圈,  $P_i$  定向成起点在  $v_i$  的有向轨,  $Q_i$  定向成终点在  $v_i$  的有向轨, 于是每个  $G_i$ , 进而  $G_n$  有了定向, 且显然  $G_n$  是强连通有向图, 把不在  $G_n$  上的  $G$  之边任意定向, 则得以  $G$  为底图的有向图, 且是强连通有向图. 证毕.

定理 3 的实际背景是: 什么样的公路网, 为减少车祸和交通阻塞, 可以规定单向行驶方向, 且保证运输畅通? 这不总是办得到的, 例如图 10.1 就办不到.



图 10.1

办不成的原因是它的图上有一个桥。定理 3 构造性地指出仅当无桥时可以规定单向行驶方向。

## 10.2 有向 Euler 图

与第 4 章相应地可以定义有向 Euler 图。有向图中含每条边的有向行迹叫做**有向 Euler 行迹**；有向图中含每条边的有向回路叫做**有向 Euler 回路**；含有有向 Euler 回路的有向图叫做**有向 Euler 图**。直观地讲，有向 Euler 图是从一顶出发，顺着箭头指示的方向走，可以走过每条边恰一次又返回出发点的那种图。下面给出有向 Euler 图的特征性描述。

**定理 4**  $G$  是弱连通有向图，则下述命题等价：

(1)  $G$  中含有有向 Euler 回路。

(2)  $\forall v \in V(G), d^-(v) = d^+(v)$ 。

(3)  $G = \bigcup_{i=1}^n C_i$ ，其中  $C_i$  是有向圈，且  $E(C_i) \cap E(C_j) = \emptyset, 1 \leq i < j \leq n, n$  为某个自然数。

定理 4 的证明与第 4 章定理 1 证明相似。当证明 (2)  $\Rightarrow$  (3) 时，首先证明  $G$  中有有向圈  $C_1$ 。为此，考虑  $G$  中的最长有向轨  $P_0(u, v)$ ，因  $d^+(v) = d^-(v)$ ，所以有一条边  $e$ ， $e$  的尾是  $v$ ， $e$  的头必在  $P_0(u, v)$  上，于是产生了有向圈。其它推导与第 4 章定理 1 雷同。

**定理 5**  $G$  是弱连通有向图，且满足

$$d^-(v) = \begin{cases} d^+(v), & v \neq u_1, u_2, u_1, u_2, v \in V(G), \\ d^+(v) - 1, & v = u_1; \\ d^+(v) + 1, & v = u_2, \end{cases}$$

则  $G$  中有以  $u_1$  为起点以  $u_2$  为终点的有向 Euler 行迹。

定理 5 的证明与第 4 章定理 2 相似。

下面介绍如何用有向 Euler 图的概念设计**有效磁鼓**。一个

磁鼓，实际上相当于把一个曲面分割成  $2^n$  部分，每一部分或由导体或由绝缘体组成。图 10.2 接触器的位置表示一个 2 进制

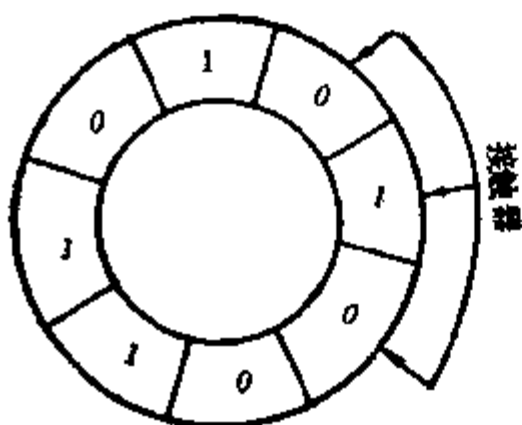


图 10.2

数 010，当磁鼓顺时针转动一格后，得 101；再转一格得 010，这就不好了，这个状态与开始的状态无法区别。

一般地，设计一个磁鼓，即将鼓面划分成  $2^n$  个格子，在每个格子于上分配数字 0 或 1，但必须满足“不重复，不遗漏”的条件。

(1) 不重复 即相继的  $k$  个接触器随着鼓的转动所读出的  $2^n$  个  $k$  位二进制数要两两相异。为此必须  $2^k \geq 2^n$ 。

(2) 不遗漏 即  $2^k$  个不同的  $k$  位二进制数，每个都对应鼓的某一状态，为此， $2^k \leq 2^n$ 。

所以必须  $k = n$ 。

$k = n$  的不重复、不遗漏的磁鼓叫做有效磁鼓，图 10.2 中的磁鼓不是有效磁鼓，它不满足条件 (1) 与 (2)。

对于任给的  $k = n$ ，怎样设计一个有效磁鼓？Good 用有向 Euler 回路解决了这一问题。

构造有向图  $G_n$ ：  $p_i \in \{0, 1\}$ ，  $i = 1, 2, \dots, n$ 。

$$V(G_n) = \{p_1 p_2 \cdots p_{n-1} \mid p_i = 0 \text{ 或 } 1, 1 \leq i \leq n-1\},$$

$$\forall v_1, v_2 \in V(G_n),$$

$$v_1 v_2 \in E(G_n) \iff v_1 = p_1 p_2 \cdots p_{n-1}, v_2 = p_2 p_3 \cdots p_{n-1} p_n,$$

记  $v_1 v_2 = p_1 p_2 \cdots p_{n-1} p_n$ 。

容易看出，  $\forall v \in V(G_n)$ ，则  $d^-(v) = d^+(v) = 2$ 。事实上，若  $v = p_1 p_2 \cdots p_{n-1}$ ，则恰有两个边  $a_1, a_2$  以  $v$  为头，恰有两个边  $a_3, a_4$  以  $v$  为尾。

$$a_1 = (0 p_1 p_2 \cdots p_{n-2}, v), a_2 = (1 p_1 \cdots p_{n-1}, v).$$

$$a_3 = (v, p_2 p_3 \cdots p_{n-1} 0), a_4 = (v, p_2 p_3 \cdots p_{n-1} 1).$$

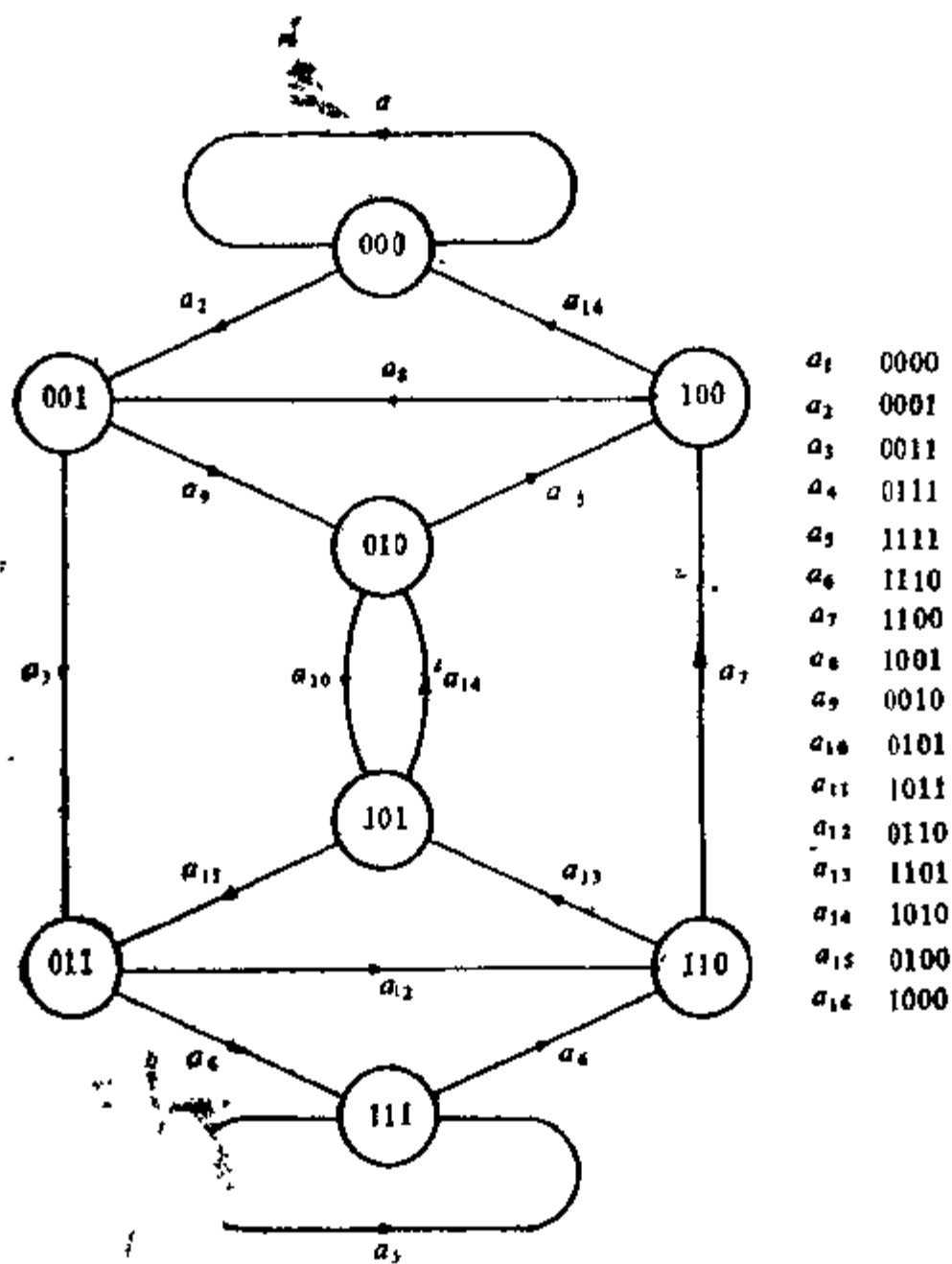


图 10.3(a)

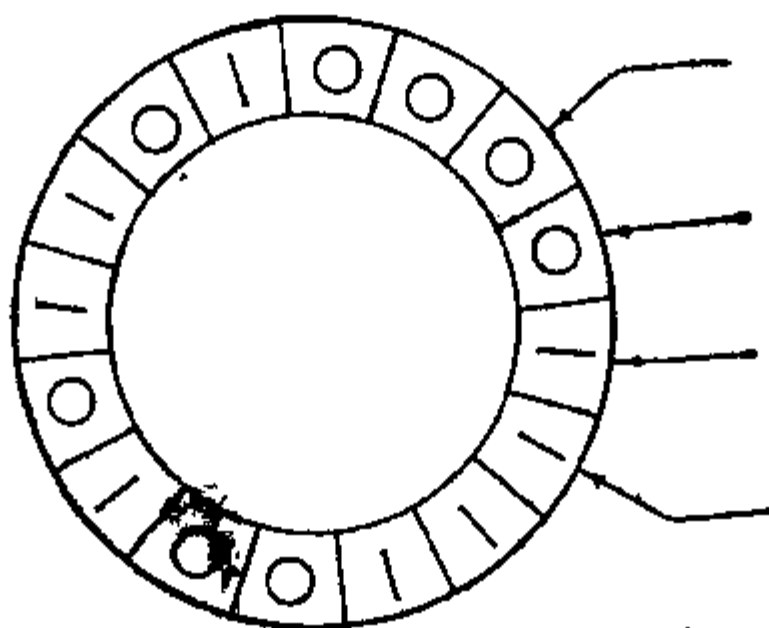


图 10.3(b)



由定理 4,  $G_n$  是有向 Euler 图, 沿  $G_n$  的有向 Euler 回路每边取其第一位数字, 所得 0, 1 数字串顺次抄入  $2^n$  个格子便完成了有效磁鼓之设计. 图 10.3 给出  $n=k=4$  时的有效磁鼓及相应的  $G_n$ .

### 10.3 有 向 轨

任给一个有向图, 它上面有向轨的长度与其底图上轨之长度一般没有多大关系. 例如图 10.4 中, 有向轨最长者长为 1, 而相应的底图上却有长 16 的轨, 但多少有些出乎意料地, 有向图上的有



图 10.4

向轨的长度却与其底图的色数有非常密切的关系.

**定理 6** 以  $G$  为底图的有向图中必有长  $\chi(G) - 1$  的有向轨.

**证** 设  $E'$  是使有向图  $G'$  (仍以  $G$  表示以  $G$  为底图的有向图) 不含有向圈的最小边子集, 其中  $G' = G - E'$ . 又设  $G'$  中最长的有向轨长为  $k$ . 把颜色  $1, 2, \dots, k+1$  分给  $G'$  的顶, 当以  $v$  为起点的  $G'$  内的有向轨最大长度是  $i-1$  时  $v$  着以  $i$  色. 用  $V_i$  表示  $i$  色顶的集合, 下证  $(V_1, V_2, \dots, V_{k+1})$  是  $G$  的正常  $k+1$  顶着色.

首先看到,  $G'$  中任一有向轨的起点与终点异色. 事实上, 若  $P(u, v)$  是  $G'$  的一条有向轨, 设  $v \in V_i$ , 则有有向轨  $Q = vv_1v_2 \dots v_{i-1} \subset G'$ . 又  $G'$  中无有向圈, 则  $P(u, v) \cup Q$  是起点为  $u$  长至少为  $i$  的有向轨, 于是  $u \in V_i$ .

再证  $G$  的任一边头尾异色. 设  $uv \in E(G)$ , 若  $uv \in E(G')$ , 则  $uv$  是  $G'$  的有向轨,  $u$  与  $v$  异色; 若  $uv \in E'$ , 由  $E'$  的最小性,  $G' + uv$  含有向圈  $C$ .  $C - uv$  是  $G'$  的一条有向轨, 故  $u$  与  $v$  亦异

色.至此证得 $(V_1, V_2, \dots, V_{k+1})$ 是 $G$ 的正常 $k+1$ 顶着色,故 $\chi(G) \leq k+1, k \geq \chi(G)-1$ ,即 $G$ 中有长 $\chi(G)-1$ 的有向轨.证毕.

我们称 $K_n$ 定向后的有向图为**竞赛图**.

**推论 1** 竞赛图中有有向 Hamilton 轨 (含一切顶的有向轨).

**证**  $\chi(K_n^{\rightarrow}) = n$ , 故竞赛图中有长 $\chi(K_n^{\rightarrow})-1 = n-1$ 的有向轨, 所以它含 $n$ 个顶的有向轨, 即含有向 Hamilton 轨.证毕.

图 10.4 中最长轨长是 1, 而色数为 2. 符合定理 6. 定理 6 的 $\chi(G)-1$ 不能再增大, 在某种意义上讲, 它给出了一个最好的上界. 每个无向图, 都可以有一个适当定向, 使得到的有向图中最长轨恰为长 $\chi(G)-1$ 的轨: 若 $(V_1, V_2, \dots, V_{\chi(G)})$ 是 $G$ 的正常 $\chi(G)$ 顶着色, 当 $u \in V_i, v \in V_j$ 时, 且 $i < j, uv \in E(G)$ , 则把 $uv$ 边定向成有向边 $uv$ , 它以 $u$ 为尾, 于是没有有向轨能含 $\chi(G)$ 个顶, 故由定理 6, 最长轨长 $\chi(G)-1$ .

**定义 2**  $G$ 是有向图, 当 $uv \in E(G)$ 时, 称尾 $u$ 为头 $v$ 的内邻顶,  $v$ 为 $u$ 的外邻顶;  $v$ 的内邻顶集合记成 $N^-(v)$ ,  $v$ 的外邻顶集合记为 $N^+(v)$ .

**定理 7**  $G$ 是无环有向图, 则底图中有一个独立集 $S$ , 使得 $V(G) - S$ 中的每个顶可通过长度至多是 2 的有向轨由 $S$ 内的顶达到.

**证** 对 $v$ 进行归纳法证明.

$v=1$ 时, 定理自然成立. 假设顶数比 $v$ 少的有向图, 定理已成立, 今考虑顶数为 $v$ 的有向图 $G$ . 任取 $v \in V(G)$ , 令 $G' = G - (\{v\} \cup N^+(v))$ , 由归纳法假设 (不妨设 $V(G') \neq \emptyset$ ) 存在 $G'$ 的一个独立集 $S'$ ,  $G'$ 中不在 $S'$ 中的顶可由 $S'$ 中的顶经至多长 2 的有向轨达到, 若 $v$ 是 $S'$ 的某顶 $u$ 之外邻顶, 那么 $N^+(v)$ 的每个顶可由 $u$ 通过至多长 2 的有向轨达到, 这时, 定理成立. 若 $v$ 不是 $S'$ 中任何顶的外邻顶, 于是 $v$ 不与 $S'$ 中的任何顶邻接, 那么独立集 $S = S' \cup \{v\}$ 满足定理的要求.证毕.

**推论 2** 竞赛图含有一顶, 从该顶通过长至多为 2 的有向轨可以到达任何顶.

**证** 由于  $K_n$  的最大独立集为一个顶构成, 由定理 7, 推论 2 成立. **证毕.**

我们称推论 2 中的那种可以通过至多长 2 的有向轨达到任何顶的顶为竞赛图中的“王”. “王”未必唯一, 如图 10.5 中的

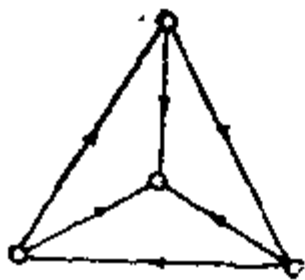


图 10.5

竞赛图有三个王, 它们是大三角形的三个顶点, 它们都是  $d^+(v)$  最大的顶.

作为本节的结束, 我们讲一个有向轨的重要应用, 即工作的最佳排序问题: 今有工作  $J_1, J_2, \dots, J_n$ , 要在同一台机器上进行, 从  $J_i$  到  $J_j$  的机器调整时间为  $t_{ij}$ , 试把  $n$  项工作排队, 使得  $\sum t_{ij} = \min$ . 这个问题至今仍无有效算法, 我们这里给一个近似算法.

(1) 以  $V(G) = \{v_1, v_2, \dots, v_n\}$  为有向图  $G$  的顶集, 当且仅当  $t_{ij} \leq t_{ji}$  时, 做有向边  $v_i v_j$ . 于是得到的有向图含生成竞赛图.

(2) 在有向图  $G$  中求出有向 Hamilton 轨, 依此 Hamilton 轨上顶的顺序来安排工作顺序.

**例 1** 设机器调整矩阵为

$$T = \begin{matrix} & \begin{matrix} J_1 & J_2 & J_3 & J_4 & J_5 & J_6 \end{matrix} \\ \begin{matrix} J_1 \\ J_2 \\ J_3 \\ J_4 \\ J_5 \\ J_6 \end{matrix} & \begin{bmatrix} 0 & 5 & 3 & 4 & 2 & 1 \\ 1 & 0 & 1 & 2 & 3 & 2 \\ 2 & 5 & 0 & 1 & 2 & 3 \\ 1 & 4 & 4 & 0 & 1 & 2 \\ 1 & 3 & 4 & 5 & 0 & 5 \\ 4 & 4 & 2 & 3 & 1 & 0 \end{bmatrix} \end{bmatrix},$$

求这六项工作如何安排工序, 使总加工时间最少?

**解** 构造有向图  $G$  (图10.6),  $V = \{v_1, v_2, v_3, v_4, v_5, v_6\}$  为顶集, 当且仅当  $t_{ji} \leq t_{ij}$  时, 连一有向边  $v_i v_j$ .

从图  $G$  中求得一条有向 Hamilton 轨为

$$v_1 v_6 v_3 v_4 v_5 v_2,$$

所需调机时间为  $(v_1 J_1 J_6 J_3 J_4 J_5 J_2$  为序)

$$1 + 2 + 1 + 1 + 3 = 8.$$

若用自然顺序  $J_1 J_2 J_3 J_4 J_5 J_6$ , 则所需调机时间为

$$5 + 1 + 1 + 1 + 5 = 13.$$

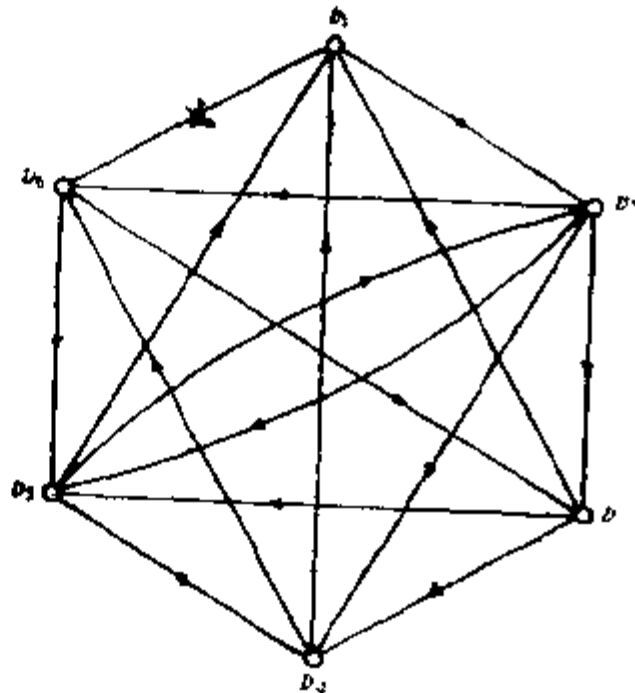


图 10.6

## 10.4 有向圈

$G$  是有向图,  $S$  与  $T$  是  $V(G)$  的子集,  $(S, T)$  表示尾在  $S$  头在  $T$  的边集合.

**定理 8**  $v \geq 3$  的强连通竞赛图的每一顶都含于某有向  $k$  阶圈上, 其中  $k = 3, 4, 5, \dots, v$ .

**证** 设  $G$  是强连通竞赛图,  $u$  是  $G$  的任意一个顶. 取  $S = N^+(u)$ ,  $T = N^-(u)$ . 我们来证明  $u$  在  $G$  的三阶圈上 (图10.7). 事实上, 由于  $G$  是强连通竞赛图,  $S$  与  $T$  皆非空, 且  $(S, T) \neq \emptyset$ , 故有边  $vw$ ,  $v \in S$ ,  $w \in T$ , 于是  $u$  在三角形  $uvwu$  上, 它是一个 3 阶有向圈.

下面用对  $k$  的归纳法证明之. 假设  $u$  在某长为  $3, 4, \dots, n$  的有向圈上, 这里  $n < v$ , 考虑  $u$  是否在某个长  $n+1$  的圈上. 设  $C = v_0 v_1 v_2 \dots v_n$  是一个  $n$  阶圈, 且  $u = v_0 = v_n$ . 若存在  $v \in V(G) - V(C)$ ,  $v$  是尾在  $C$  上的一边的头, 又是头在  $C$  的一边之尾,

那么  $C$  上有顶  $v_i, v_{i+1}$ , 使得  $v_i v, vv_{i+1} \in E(G)$ , 于是  $u$  在  $n$

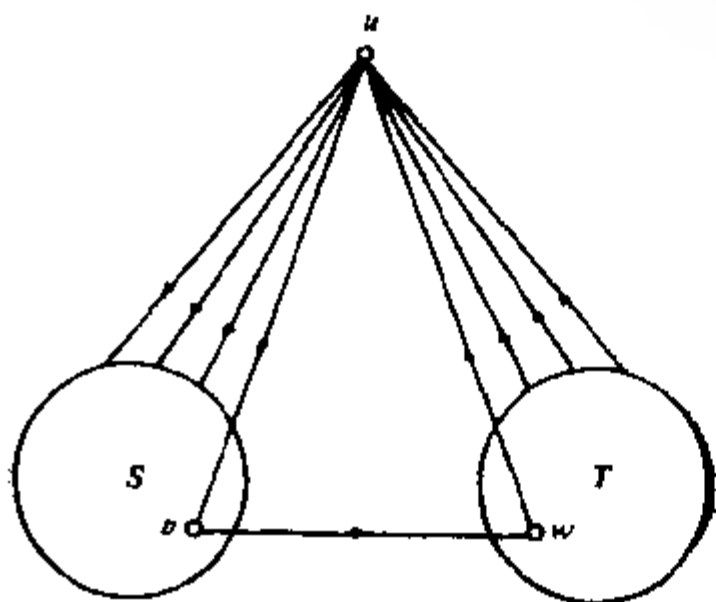


图 10.7

$+1$  阶圈  $v_0 v_1 \cdots v_i v v_{i+1} v_{i+2} \cdots v_n$  上。否则, 用  $S$  表示  $V(G) - V(C)$  中与  $C$  连接的边们的头集合,  $T$  表示这些边的尾集合 (图 10.8)。由于  $G$  是强连通竞赛图, 故  $T \neq \emptyset, S \neq \emptyset, (S, T) \neq \emptyset$ 。存在  $v \in S, w \in T$ , 使得  $vw \in E(G)$ , 故  $u$  在  $n+1$  阶圈  $v_0 v w$

$v_1 v_2 \cdots v_n$  上。证毕。

**推论 3**  $G$  是强连通竞赛图的充分必要条件是  $G$  中有生成有向圈。

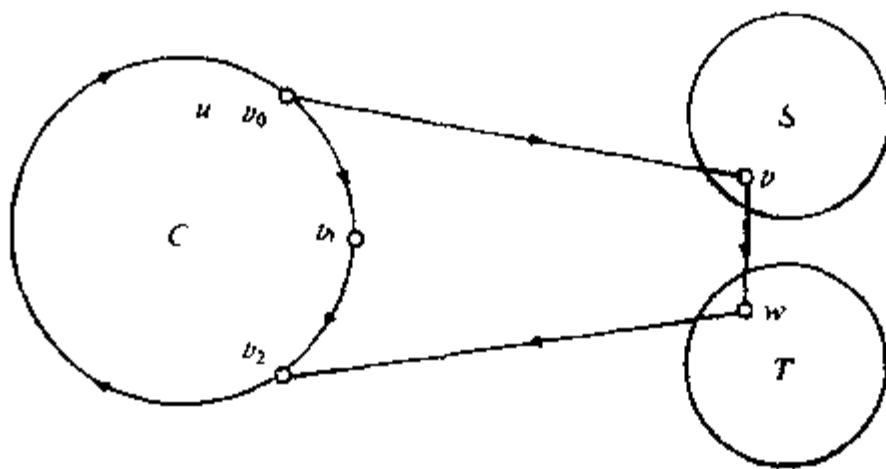


图 10.8

以后, 我们称生成有向圈为**有向 Hamilton 圈**, 含有有向 Hamilton 圈的有向图叫做**有向 Hamilton 图**。

下称无环亦无端点相同、方向相同的边之有向图为**严格有向图**。

**引理 1**  $G$  是严格有向图, 则  $G$  有长度不小于  $\max\{\delta^-, \delta^+\}$

的有向轨, 其中  $\delta^- = \min_{u \in V(G)} \{d^-(u)\}$ ,  $\delta^+ = \min_{v \in V(G)} \{d^+(v)\}$ .

**证** 不妨设  $\max\{\delta^-, \delta^+\} = \delta^+$ , 不然可以考虑  $G$  的反向图, 即把  $G$  之各边定向反过来得到的有向图  $G'$ , 在  $G$  与  $G'$  中对应的有向轨的长度一致. 设  $P(u_0, v_0)$  是  $G$  中最长的有向轨, 若  $P$  的长度小于  $\delta^+$ , 由于  $G$  是严格有向图, 必有尾为  $v_0$  而头不在  $P$  上的边, 从而  $P$  可以延长, 与  $P$  之最长性相违, 故  $P(u_0, v_0)$  的长不小于  $\delta^+ = \max\{\delta^-, \delta^+\}$ . **证毕.**

**引理 2**  $G$  是严格有向图, 且  $\max\{\delta^-, \delta^+\} = k > 0$ , 则  $G$  中有长度不小于  $k+1$  的有向圈.

**证** 不妨设  $\max\{\delta^-, \delta^+\} = \delta^+$ ,  $G$  中一条最长轨为  $P(u_0, v_0)$ , 其长不小于  $k > 0$ , 由于  $G$  是严格有向图, 从而应有  $d^+(v_0)$  条以  $v_0$  为尾的边, 这些边的头两两相异. 又  $d^+(v_0) \geq k$ , 由  $P(u_0, v_0)$  的最长性, 这些以  $v_0$  为尾的边之头皆在  $P$  上, 故  $G$  中含长度不小于  $k+1$  的有向圈. **证毕.**

**定理 9**  $G$  是严格有向图, 且

$$\min\{\delta^-, \delta^+\} \geq \frac{v}{2} > 1,$$

则  $G$  是有向 Hamilton 图.

**证** 设  $G$  是满足定理条件但不含有向 Hamilton 圈的图,  $G$  中最长有向圈长为  $l$ ,  $C = v_1 v_2 \cdots v_l v_1$  是  $G$  的一个长  $l$  的有向圈. 由引理 2,  $G$  中有长度不小于  $\frac{v}{2} + 1$  的有向圈, 故  $l > \frac{v}{2}$ .

令  $P(u, v)$  是  $G - V(C)$  中最长有向轨, 其长为  $m$  (图 10.9). 显然,

$$v \geq l + m + 1.$$

又因  $l > \frac{v}{2}$ , 得

$$m < \frac{v}{2}. \quad (1)$$

令

$$S = \{i | v_{i-1}u \in E(G)\},$$

$$T = \{i | vv_i \in E(G)\}.$$

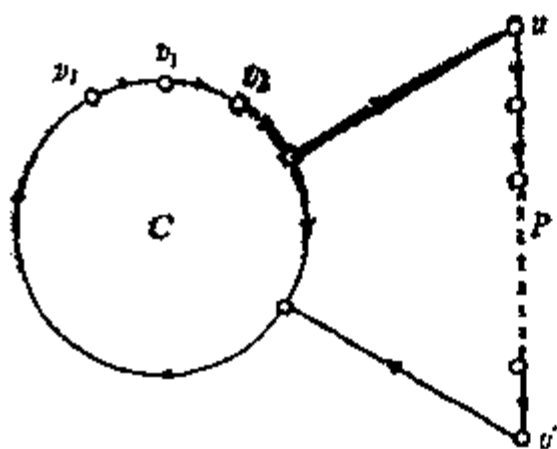


图 10.9

首先证明  $S \cap T = \emptyset$ . 事实上, 令  $C_{i, l}$  是  $C$  上起于  $v_i$  止于  $v_l$  的部分. 若某个  $i$  在  $S \cap T$  之内, 则  $G$  中就含有长  $l + m + 1$  的有向圈  $C_{i, l-1}v_{l-1}uP(u, v)vv_i$ , 与  $C$  是  $G$  的最长圈矛盾. 故知

$$S \cap T = \emptyset \quad (2)$$

因  $P(u, v)$  是  $G - V(C)$  中最长有向轨, 故有

$$N^-(u) \subseteq V(P) \cup V(C).$$

但在  $C$  上  $u$  的内邻顶个数为  $|S|$ , 于是,

$$d_G^-(u) = d_P^-(u) + |S|.$$

又因  $d_G(u) \geq \delta \geq \frac{v}{2}$ , 且  $d_P(u) \leq m$ , 故有

$$|S| \geq \frac{v}{2} - m. \quad (3)$$

相似地有

$$|T| \geq \frac{v}{2} - m. \quad (4)$$

由 (1) 知  $S \neq \emptyset$ ,  $T \neq \emptyset$ . 由 (3)、(4) 及  $v \geq l + m + 1$ , 得

$$|S| + |T| \geq l - m + 1. \quad (5)$$

故由 (2) 得

$$|S \cup T| \geq l - m + 1. \quad (6)$$

又  $S \neq \emptyset$ ,  $T \neq \emptyset$ , 也不交, 故存在自然数  $i, k$ , 使得  $i \in S$ ,  $i + k \in T$ , 且

$$i + j \in S \cup T, \quad 1 \leq j < k. \quad (7)$$

这里的运算在  $\text{mod } l$  意义下进行. 由 (6) 与 (7) 知  $k \leq m$ , 故  $C_{i+l, i-1}v_{i-1}uPvv_{i+1}$  是有向圈, 长  $l+m+1-k$ , 比  $C$  还长, 矛盾. 证毕.

有向图的理论非常之多, 本章只就有向轨、有向圈、有向 Euler 图与有向 Hamilton 图等方面进行了较为深入的讨论, 并指出有向图与其底图之间在上述几方面虽有相似之处, 但更有许多显著的区别. 例如有向 Euler 图的充要条件是图可表成无公共边的有向圈之并, 与无向 Euler 图的充要条件为图可表成无公共边的圈之并是相似的; 但谈到次数的条件, 连通无向图为 Euler 图的充要条件是每顶皆偶次, 而弱连通有向图为 Euler 图的充要条件是  $d^+(v) = d^-(v)$  对每个  $v \in V(G)$  成立, 两者有明显区别; 又如有向图中轨的长度, 简直与底图中轨的长度不相关, 却与似乎不相关的色数有密切关系, 表现了定向后图的性质与其底图有时会有极大的偏离.

有向图还有一个特有的方向对偶性原则.

**方向对偶原则:** 对每个关于有向图的定理, 有一个相应的定理, 它是由第一个定理中的每个概念代之以反向的概念得到的.

例如, 有向图  $G$  的底图中无圈, 则存在  $v \in V(G)$ , 使得  $d^+(v) = 0$ . 这个命题是成立的, 因为若  $P(u, v)$  是  $G$  中的最长有向轨, 则  $d^+(v) = 0$ .

应用方向对偶原则, 可以得出下面的一个正确的命题:

有向图  $G$  底图中无圈, 则存在  $v \in V(G)$ , 使得  $d^-(v) = 0$ .

又例如, 一个弱连通有向图是一个外向树的充要条件是恰有一顶  $v_0$ ,  $d^-(v_0) = 0$ , 而对于其余的顶  $v$ , 皆有  $d^-(v) = 1$ .

这个命题显然是正确的, 由它及方向对偶性原则, 可得下面的正确命题:

一个弱连通有向图是内向树的充要条件是恰有一顶  $v_0$ ,  $d^+(v_0) = 0$ , 而对于其余的顶  $v$ ,  $d^+(v) = 1$ .



本章的要点是:

(1) 弱连通、单连通及强连通有向图的定义和单连通与强连通有向图的充要条件.

(2) 有向 Euler 图的充要条件及有向“一笔画”的充分条件.

(3) 有向图中的有向轨长度与色数的关系.

(4) 竞赛图及其性质: 存在“E”及有向 Hamilton 轨.

(5) 强连通竞赛图的充要条件及其性质.

(6) 有向 Hamilton 图的充分条件.

(7) 有向图理论对于有效磁鼓及工序问题的应用.

### 习 题

1. 单图  $G$  可以有多少种不同的定向方式?

2.  $\sum_{v \in V(G)} d^-(v) = \sum_{v \in V(G)} d^+(v) = \varepsilon(G)$ , 其中  $G$  是有向图.

3. 有向图  $G$  中无有向圈, 则  $\delta^- = 0$ ,  $\delta^+ = 0$ .

4.  $G$  为强连通有向图的充要条件是其底图连通, 且底图的每个块在  $G$  中强连通.

5. 有向图  $G$  之逆是  $G$  的每边皆反向定向得到的有向图  $G'$ , 证明:

(1)  $(G')' = G$ . (2)  $d_{G'}^+(v) = d_G^-(v)$ . (3)  $G'$  中  $u$  可达  $v$  的充要条件是在  $G$  中  $v$  可达  $u$ .

6. 竞赛图是强连通有向图或只要改变一条边的方向就可变成强连通图.

7.  $G$  有一种定向方式, 使得每条有向轨不长于  $\Delta$  ( $\Delta$  底图的最大次数).

8.  $G$  是满足下列条件的有向图:

(1)  $d^+(x) - d^-(x) = d^-(y) - d^+(y) = l$ ,

(2)  $d^+(v) = d^-(v)$ ,  $v \in V - \{x, y\}$ ,

则  $G$  中有  $l$  条无公共边且以  $x$  为起点以  $y$  为终点的有向轨。

9.  $V(G)$  的每一非空真子集  $S$ , 均有  $|(\bar{S}, S)| \geq k$ , 则称非平凡有向图  $G$  是  $k$  边连通有向图。证明: 非平凡有向图  $G$  是强连通有向图的充要条件为它是 1 边连通有向图。

10. 百种昆虫, 两种之中必有一种能咬死另一种。证明可以将这一百种昆虫每种取一个虫子, 再排成一个纵队, 使得每个虫子能咬死紧跟在它后面的那个虫子。

11.  $n$  名棋手比竞, 没有平局, 也没有  $v_1$  胜  $v_2$ ,  $v_2$  胜  $v_3$ ,  $\dots$ ,  $v_i$  胜  $v_1$  的现象, 则必有一人在所有的比赛中全胜, 也必有一人在所有的比赛中全负。

12.  $n$  ( $n \geq 3$ ) 名棋手比赛, 无平局, 亦无一人全胜, 则必有甲胜乙, 乙胜丙, 丙又胜甲的现象。

13. 试设计  $n = k = 5$  的磁鼓。

14. 在 Petersen 图上设计单向行驶路线。

15. 桌上两堆火柴, 两人轮流从某一堆中取若干根火柴, 每次只能从一堆中取, 不能不取, 没有火柴可取的人是输者。给出取胜策略。

16. 一个有向图是本原的, 若它的邻接矩阵  $A$  的某个幂的所有元皆正; 试证: 本原有向图  $G$  的充要条件是  $G$  为强连通图, 且各个圈长的最大公约数为 1。

## 11 网络中的最大流

### 11.1 Ford 和 Fulkerson 算法

把商品从产地运往市场, 交通网上每个路段运输能力给定的条件下, 设计一个运输方案, 使得运输得最快. 为解决上述问题, 我们讨论下面相应的数学模型; 当然, 下面的数学模型不只适用于运输问题, 而且也适用于很多其它实际问题.

有向加权图  $G$ , 指定两个顶  $s$  和  $t$ , 分别称为**源**和**汇**. 边  $e$  上的权  $c(e)$  称为边  $e$  的**容量**, 又设此有向图是严格有向图, 则称这个有向加权图是一个**网络**.

映射  $f: E(G) \rightarrow R$ , 满足

$$(C1) \quad \forall e \in E(G), \quad 0 \leq f(e) \leq c(e),$$

$$(C2) \quad \forall v \in V(G) - \{s, t\},$$

$$0 = \sum_{e \in \alpha(v)} f(e) - \sum_{e \in \beta(v)} f(e), \quad (1)$$

其中  $\alpha(v)$  表示以  $v$  为头的边集,  $\beta(v)$  表示以  $v$  为尾的边集, 则称  $f$  为**流函数**. 称

$$F = \sum_{e \in \alpha(t)} f(e) - \sum_{e \in \beta(t)} f(e) \quad (2)$$

为  $f$  的**流量**.

我们的目标是定义一个流函数  $f$ , 使  $F = \max$ .

设  $S \subseteq V(G)$ ,  $s \in S$ ,  $t \in V(G) - S = \bar{S}$ , 则称  $(S, \bar{S})$  为网络的一个**截**, 称

$$C(S) = \sum_{e \in (S, \bar{S})} c(e)$$

为数量.

**引理 1** 对每个  $S \subset V(G)$ ,

$$F = \sum_{e \in (S, \bar{S})} f(e) - \sum_{e \in (\bar{S}, S)} f(e).$$

**证** 把 (2) 及关于  $v \in \bar{S} - \{t\}$  的一切 (1) 型方程相加, 左端为  $F$ , 考虑边  $e = xy$ , 因  $v \in \bar{S} - \{t\}$ , 所以不考虑  $x, y$  皆在  $S$  中的情形.

(a)  $x, y \in \bar{S}$ , 关于  $y$  的 (1) 型方程出现正的  $f(e)$ , 关于  $x$  的 (1) 型方程中出现负的  $f(e)$ , 正负抵消.

(b) 若  $x \in S, y \in \bar{S}$ , 则右端只出现  $f(e)$  的正项, 这时是  $e = xy \in (S, \bar{S})$ .

(c) 若  $x \in \bar{S}, y \in S$ , 则右端只现  $f(e)$  的负项, 这时是  $e = xy \in (\bar{S}, S)$ .

由 (a), (b), (c) 知引理 1 成立. **证毕.**

引理 1 的直观意义是明显的,  $\sum_{e \in (S, \bar{S})} f(e)$  是从  $S$  流入  $\bar{S}$  的总

量,  $\sum_{e \in (\bar{S}, S)} f(e)$  是从  $\bar{S}$  倒流入  $S$  的总量,  $F$  表示净流入  $t$  的量,

所以应该是从  $S$  流入  $\bar{S}$  的量减去从  $\bar{S}$  倒流入  $S$  的量.

**引理 2** 对每个流函数及每个  $S \subset V(G)$ ,

$$F \leq C(S). \quad (3)$$

**证** 由引理 1;

$$F = \sum_{e \in (S, \bar{S})} f(e) - \sum_{e \in (\bar{S}, S)} f(e).$$

(由 C1),

$$0 \leq f(e) \leq c(e),$$

故得

$$F \leq \sum_{e \in (S, \bar{S})} c(e) = C(S).$$

证毕。

**推论1** 若  $F = C(S)$ , 则  $f$  是最大流,  $(S, \bar{S})$  是最小截 (指  $C(S)$  最小)。

为简洁地表述 Ford-Fulkerson 算法 (下称 2F 算法), 我们约定:

(1) 若  $e = uv$ ,  $u$  已有标志, 而  $v$  尚未标志, 且  $c(e) > f(e)$ , 则称通过边  $e$  可以向前标志顶  $v$ , 规定

$$\Delta(e) = c(e) - f(e),$$

且得到标志边  $e$ 。

(2) 若  $e = vu$ ,  $u$  已有标志, 而  $v$  尚未标志, 且  $f(e) > 0$ , 则称通过边  $e$  可以向后标志顶  $v$ , 规定

$$\Delta(e) = f(e),$$

且得到标志边  $e$ 。

**2F 算法** (Ford, Fulkerson, 1962):

(1) 对每边  $e$ , 取  $f(e) = 0$ 。

(2) 标志顶点  $s$ , 其它顶未标志。

(3) 选可向前标志或可向后标志的顶  $v$ , 若无此种顶可选时, 止, 现流函数即为最大流; 若有此种顶可选, 则得新的标志顶  $v$  及标志边  $e$ ; 若  $v = t$ , 转 (4), 否则转 (3)。

(4) 设已得标志之轨为 (此轨是无向的)  $se_1v_1e_2v_2\cdots e_tv_t$ , 从  $t$  始沿此轨逆行, 令

$$\Delta = \min_{1 \leq i \leq t} \Delta(e_i),$$

若  $e_i$  是前进边, 即在有向图中  $e_i = v_{i-1}v_i$ , ( $s = v_0, t = v_t$ ) 则

$$f(e_i) \leftarrow f(e_i) + \Delta;$$

若  $e_i$  是后退边, 即  $e_i = v_iv_{i-1}$ , 则

$$f(e_i) \leftarrow f(e_i) - \Delta.$$

(5) 转 (2)。

在 2F 过程中,  $f$  始终满足 (C1) 与 (C2)。

若  $c(e)$  是整数, 初始流为 0, 则每次经 2F 的调整, 流量至

少增加1，而流量的上界为  $\sum_{e \in E(G)} c(e)$ ，故 2F 算法经有限步之后必停止。

**定理 1** 2F 算法止时得到的函数  $f$  是最大流，且最大流最等于最小截的容量。

**证** 设 2F 止时， $S$  是最后一轮从  $s$  开始而不能达到  $t$  的标志过程中可得到标志的顶之集合。于是，

$$f(e) = \begin{cases} c(e), & e \in (S, \bar{S}); \\ 0, & e \in (S, S), \end{cases}$$

不然可得新的不属于  $S$  的标志顶，这已不可能。由引理 1，

$$F = \sum_{e \in (S, \bar{S})} f(e) = \sum_{e \in (\bar{S}, S)} f(e) = \sum_{e \in (S, \bar{S})} c(e) = C(S).$$

由推论 1， $f$  为最大流， $(S, \bar{S})$  为最小截，且最大流量等于最小截之容量。**证毕。**

定理 1 说明最大流是存在的，它可由 2F 算法求得；定理 1 一般称为网络中的“**双最定理**”。它是图论中的核心定理之一，不久我们会发现，双最定理在理论与实际问题当中，有许多精彩的应用。

## 11.2 Dinic 算法

2F 算法有缺点，例如图 11.1 中所示的网络，用 2F 算法求得最大流时，若通过  $sab$  与  $sbat$  交替地充当增载轨（2F 算法无法排除这种坏可能），由  $f(e) = 0$  开始增载，需要进行  $2M$  次增载才能获得最大流，于是 2F 的计算其时间复杂度不仅与网络之规模，即边数与顶数有关，而且还与（原则上是任意的）边之权有关系（图 11.1）。

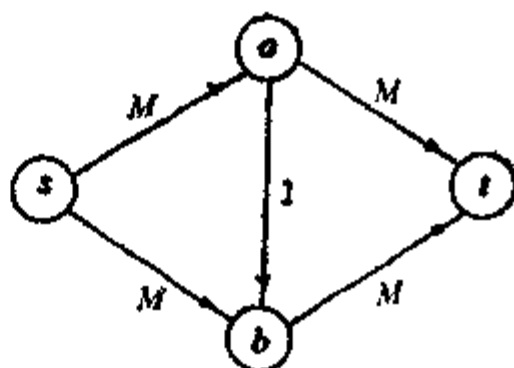


图 11.1

本节我们介绍另一个求最大流的算法,它是 1970 年由 Dinic 提出的一个有效算法。

下面我们把  $e = uv$ , 且  $0 < f(e) < c(e)$  或  $e = vu$ ,  $f(e) > 0$  的边叫做从  $u$  到  $v$  的有用边。

首先用下面的分层算法获得层状网络。

**分层算法:**

- (1)  $V_0 \leftarrow \{s\}$ ,  $i \leftarrow 0$ .
- (2)  $T \leftarrow \{v \mid v \in V, j \leq i, \text{且存在一个从 } V_0 \text{ 某顶到 } v \text{ 的有用边}\}$ .
- (3) 若  $T = \emptyset$ , 止, 网络上的流即为最大流。
- (4) 若  $t \in T$ , 则  $i \leftarrow i + 1$ ,  $V_i \leftarrow \{t\}$ , 止。
- (5) 令  $V_{i+1} \leftarrow T$ , 增大  $i$ , 转 (2)。

上述分层算法的时间复杂度为  $O(|E|)$ 。

$V_i (0 \leq i \leq l)$  叫做第  $i$  层, 仅相邻两层之间有边, 是从层次小的层中的顶到层次大的层的顶的有用边。得到的这个网络叫做关于流函数  $f$  的层状网络。

**定理 2** 若分层算法止于 (3), 则  $f$  为最大流。

**证** 令  $S = \bigcup_{k=0}^i V_k$ , 则  $(S, \bar{S})$  中的边  $e = uv$  满足  $f(e) = c(e)$ ,

不然  $e$  是从  $u$  到  $v$  的有用边, 这与  $T = \emptyset$  矛盾。同理在  $(\bar{S}, S)$  中的边  $e = vu$  满足  $f(e) = 0$ 。由引理 1,

$$F = \sum_{e \in (S, \bar{S})} f(e) - \sum_{e \in (\bar{S}, S)} f(e) = \sum_{e \in (S, \bar{S})} c(e) = C(S),$$

由推论 1,  $f$  是最大流。证毕。

下面讨论如何利用层状网络改进原来网络中的流量, 设原网络中的流函数是  $f$ ,  $E_i$  是层状网络中从  $V_{i-1}$  到  $V_i$  的边集合  $\forall e = uv \in E_i$ , 规定

$$\hat{e}(e) = \begin{cases} c(e) - f(e), & u \in V_{i-1}, v \in V_i, \\ f(e), & v \in V_{i-1}, u \in V_i. \end{cases}$$

$\bar{c}(e)$  表示  $e$  上可改进的流量的上界。

我们把层状网络的边取权  $\bar{c}(e)$ ，采用零初始流  $\bar{f}(e) \equiv 0$ ，并把层状网络上的边重新定向为都从  $V_{i-1}$  指向  $V_i$ （有的边在原网络中的方向可能与此相反）， $E_i$  表示从  $V_{i-1}$  指向  $V_i$  的边集。

所谓**层状网络上的极大流**  $\bar{f}$  是指对每一条轨  $sv_1v_2\cdots v_{i-1}t$  上至少有一边  $e_i$ ，使得  $\bar{f}(e_i) = \bar{c}(e_i)$ ，其中  $v_i \in V_i, e_i \in E_i$ 。

值得注意的是，层状网络上的极大流未必是它的最大流，例如如图 11.2 中，其最大流量为 2，而图中标出的极大流流量为 1。

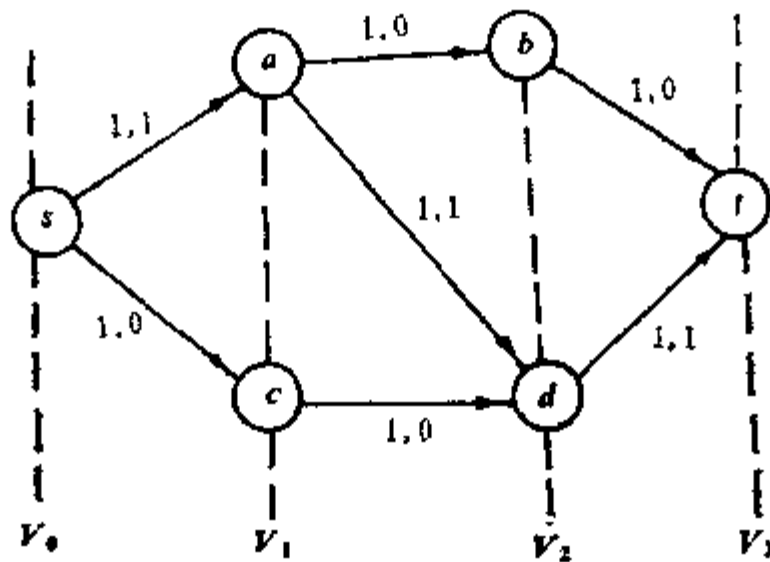


图 11.2

如果我们能求得层状网络上的一个极大流  $\bar{f}$ ，则可以如下地把原网络上的流  $f$  改进成流量更大的流  $f'$ ：

$$f'(e) = \begin{cases} f(e) + \bar{f}(e), & e = uv \in E(G), u \in V_{i-1}, v \in V_i; \\ f(e) - \bar{f}(e), & e = vu \in E(G), u \in V_{i-1}, v \in V_i; \\ f(e), & \text{其它。} \end{cases}$$

容易证明  $f'(e)$  在原网络中满足 (C1), (C2)，且  $f'$  的流量  $F'$  大于  $f$  的流量  $F$ 。

我们把由原来网络的流  $f$  找到分层网络，再求得层状网络上的极大流  $\bar{f}$ ，并把原网络的流改进成  $f'$  的一个过程叫做一个**增**



段。层状网络最后一层的脚标  $l$  叫做层状网络的长度，用  $l_k$  表示第  $k$  阶段层状网络的长度。

**求层状网络  $\bar{N}$  上极大流的算法：**

- (1) 对  $\bar{N}$  上每条边  $e$ ，标志  $e$  未堵塞， $\bar{f}(e) \leftarrow 0$ 。
- (2)  $v \leftarrow s$ ， $S = \emptyset$ 。
- (3) 若无未堵塞的边  $e = vu$ ， $u$  在下一层，则 ( $v$  是堵死端) 执行：
  - (3.1) 若  $s = v$ ，止， $\bar{f}$  即为极大流。
  - (3.2) 从  $S$  中移出其顶部的边  $e = uv$ 。
  - (3.3) 标志  $e$  堵塞， $v \leftarrow u$ 。
  - (3.4) 转 (3)
- (4) 选一未堵塞边  $e = vu$  ( $u$  在下一层)，把  $e$  放入  $S$  中， $v \leftarrow u$ ，若  $v \neq t$ ，转 (3)。
- (5)  $S$  中的边构成一个可增载轨
 
$$se_1v_1e_2v_2e_3\cdots v_{l-1}e_lt。$$
  - (5.1)  $\Delta \leftarrow \min_{1 \leq i \leq l} \{\bar{c}(e_i) - \bar{f}(e_i)\}$ 。
  - (5.2) 对每个  $1 \leq i \leq l$ ， $\bar{f}(e_i) \leftarrow \bar{f}(e_i) + \Delta$ 。当  $\bar{f}(e_i) = \bar{c}(e_i)$ ，标  $e_i$  堵塞。
  - (5.3) 转 (2)。

上述求极大流的时间复杂度是  $O(|E| \cdot |V|)$ 。

下面我们将证明  $f_k$  是严格递增函数，于是分层只能进行不

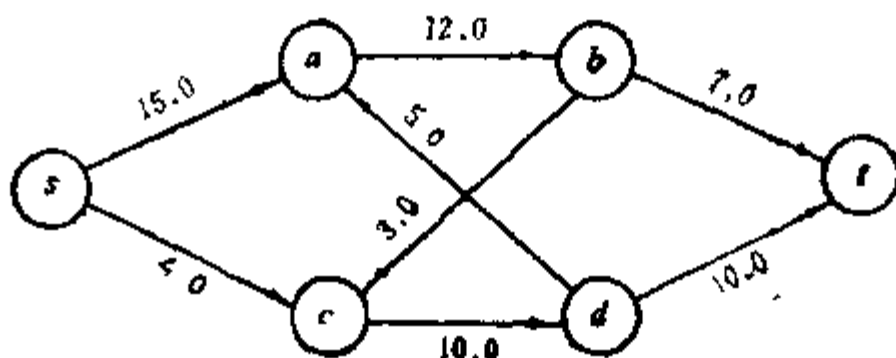


图 11.3

超过  $|V| - 1$  次,即有限阶段后,对所得之流函数已不能再分层,由分层算法中的 (3),即得到了最大流,而整个 Dinic 算法的时间复杂度是  $O(|V|^2 \cdot |E|)$ .

**例 1** 求图 11.3 中网络上的最大流.

**解** 图中边上的第一个数是边容量,第二个数是流函数值. 第一阶段分层网络及其上的极大流如图 11.4 所示.改进后

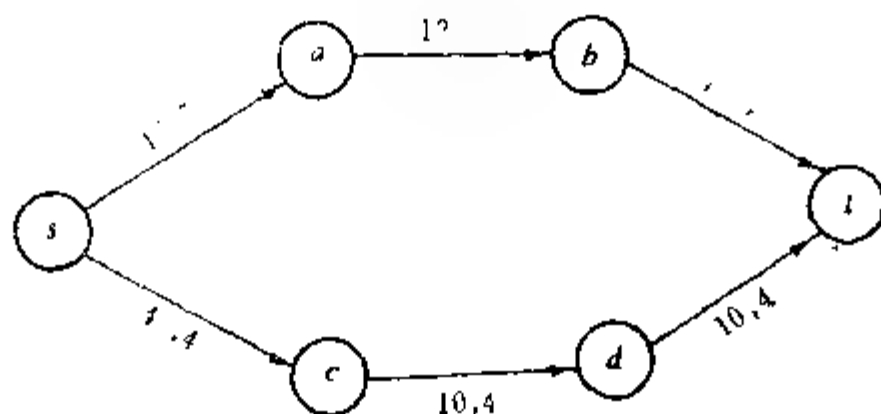


图 11.4

的流为图 11.5 所示.

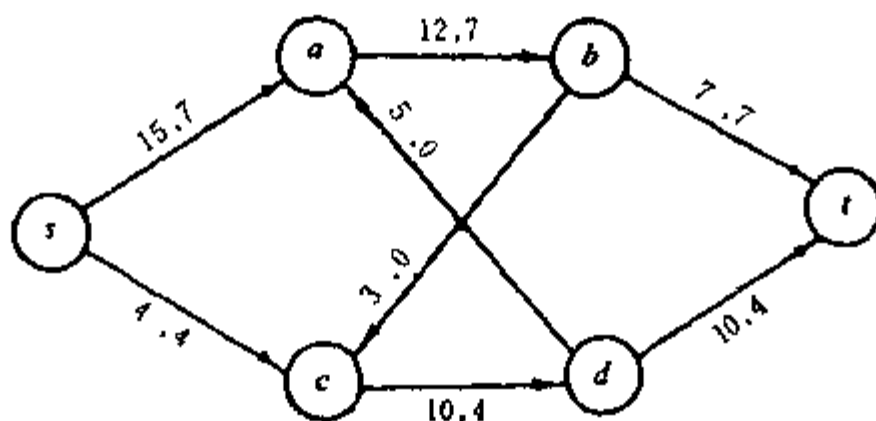


图 11.5

第二阶段用图 11.5 中的流函数来分层得层状网络及其极大流 (图 11.6) .

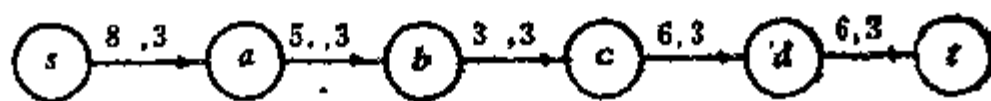


图 11.6

原网络上第二阶段得以改进的流如图 11.7 所示.

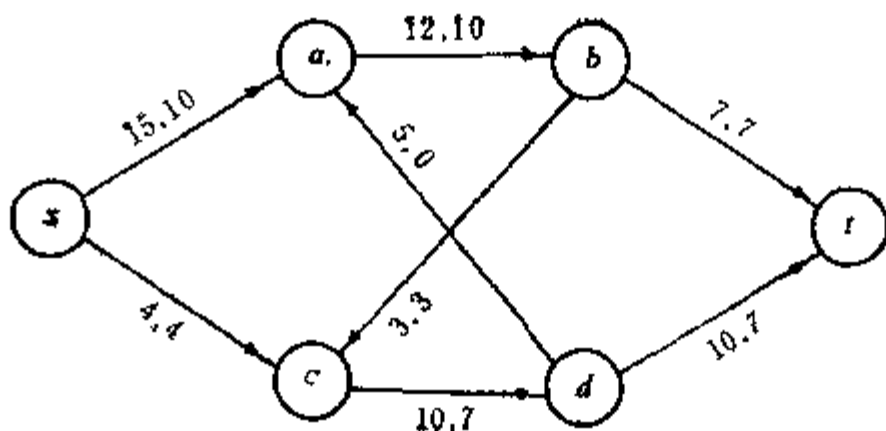


图 11.7

第三阶段用图 11.7 中的流函数分层时未到达  $t$  即中止于  $b$  (图 11.8), 于是图 11.7 中的流函数即为最大流, 其流量为 14.



图 11.8

**定理 3** Dinic 算法必能求得最大流.

**证** 只欠证若第  $k+1$  阶段不是最后阶段, 则  $l_{k+1} > l_k$ . 设在第  $k+1$  阶段的层状网络中, 有从  $s$  到  $t$  的长  $l_{k+1}$  的轨

$$P = s e_1 v_1 e_2 \cdots v_{l_{k+1}-1} e_{l_{k+1}} t.$$

(1) 设  $P$  上的一切顶在第  $k$  阶段的层状网络上出现过. 用  $V_j$  表示第  $k$  阶段层状网络上第  $j$  层中的顶集, 若  $v_i \in V_i$ , 则  $a \geq b$ .

用关于  $a$  的归纳法证明之.

$a=0$  时,  $v_i = v_0 = s$ ,  $V_0 = \{s\}$ , 命题 " $v_i \in V_i$ , 则  $a \geq b$ " 成立; 假设  $v_i \in V_i$ ,  $v_{i+1} \in V_{i+1}$ , 若  $c \leq b+1$ , 由归纳法假设  $v_i \in V_i$  时,  $a \geq b$ , 得  $a+1 \geq b+1$ . 今  $c \leq b+1$ , 故  $c \leq a+1$ . 若  $c > b+1$ , 而今  $v_{i+1} \in V_{i+1}$ , 又  $V_i$  与  $V_{i+1}$  不是邻层, 这是不可能的. 故只有  $c \leq a+1$ .

今  $t = v_{l_{k+1}}$ ,  $t \in V_{l_{k+1}}$ , 故有  $l_{k+1} \geq l_k$ . 下证等号不能成立. 若

$l_{k+1} = l_k$ , 我们已假设  $P$  上的顶在  $k$  阶段的层状网络上出现过, 轨上之边在  $k+1$  阶段的层状网络上用过, 则在  $k$  阶段的层状网络上用过, 且  $P$  整个在  $k$  阶段层状网络上, 此与  $k$  阶段上得出过极大流矛盾.

(2) 设  $P$  上有的顶未在第  $k$  阶段层状网络上出现, 令  $e_{k+1} = v_k v_{k+1}$  是对某个  $b_k, v_k \in V_k$ , 但  $v_{k+1}$  不在第  $k$  阶段层状网络上出现的第一条边, 则  $e_{k+1}$  在第  $k$  阶段层状网络中未用过,  $e_{k+1}$  在第  $k+1$  阶段开始时有用, 故在第  $k$  阶段开始时也有用. 由分层算法 (4),  $V_{k+1} = \{t\}$ ,  $b_{k+1} = l_k$ , 于是  $a \geq b$ ,  $a+1 \leq b+1 = k_1$ , 又  $v_{k+1} \neq t$ , 故  $l_{k+1} > a+1$ , 所以  $l_{k+1} > l_k$ . 证毕.

### 11.3 容量有上下界的网络

设边容量之下界为  $b(e) \geq 0$ , 上界为  $c(e)$ , 这时流函数应满足

$$(C1') \quad b(e) \leq f(e) \leq c(e).$$

$$(C2') \quad \sum_{e \in \alpha(v)} f(e) - \sum_{e \in \beta(v)} f(e) = 0, \quad v \neq s, t.$$

我们的目标仍然是求最大流. 但是, 有上下界的网络, 有时不存在流, 例如图 11.9 中的网络就没有流函数. 边上第一个数



图 11.9

是  $b(e)$ , 第二个数是  $c(e)$ .

下面讨论有上下界的网络中有可行流的充要条件. 我们把有上下界的网络记成  $N(G(V, E), b(e), c(e))$ ,  $N$  的附加网络  $N'$  为下述网络:

(1)  $\bar{V} = \{\bar{s}, \bar{t}\} \cup V$ ,  $\bar{s}, \bar{t} \in \bar{V}$ ;  $\bar{s}, \bar{t}$  分别叫做附加源与附加汇.

(2) 对每个  $v \in V(G)$ , 加一条新边  $e = vt$ , 令  $\bar{c}(e) = \sum_{\sigma \in \beta(v)} b(\sigma)$ ,  $\bar{c}(e)$  是  $e$  的容量上界, 下界取 0.

(3) 对每个  $v \in V$ , 加一条新边  $e = \bar{s}v$ , 令  $\bar{c}(e) = \sum_{\sigma \in \alpha(v)} b(\sigma)$ ,  $\bar{c}(e)$  是  $e$  的容量之上界, 下界取 0.

(4)  $E$  中的边  $e$  在  $\bar{N}$  中皆保留, 但界要变: 下界取 0, 上界  $\bar{c}(e) = c(e) - b(e)$ .

(5) 再加新边  $e = st$ ,  $e' = ts$ , 且令  $e$  与  $e'$  的下界为 0, 上界  $\bar{c}(e) = \bar{c}(e') = \infty$ .

**定理 4** 网络  $N(G(V, E), b(e), c(e))$  有可行流的充要条件是附加网络  $\bar{N}$  上的最大流使流出  $\bar{s}$  的一切边皆满载 (可行流即满足  $(C1')$   $(C2')$  的流).

**证** 设  $\bar{N}$  中流函数  $\bar{f}$  使得从  $\bar{s}$  发出的边皆满载, 对于  $N$ , 令

$$f(e) = \bar{f}(e) + b(e), \quad e \in E(G).$$

下证  $f(e)$  是  $N$  中的可行流.

(i)  $b(e) \leq f(e) \leq c(e)$ .

事实上,  $0 \leq \bar{f}(e) \leq \bar{c}(e) = c(e) - b(e)$ ,  $e \in E(G)$ , 所以  $f(e)$  满足  $(C1')$ :

$$b(e) \leq f(e) \leq c(e).$$

(ii)  $f(e)$  满足  $(C2')$ .

令  $v \in V(G) - \{s, t\}$ , 而  $\sigma = \bar{s}v$ ,  $\tau = vt$  是  $\bar{N}$  中的边, 由  $\bar{N}$  中的  $\bar{f}$  满足  $(C2')$ , 得

$$\sum_{\sigma \in \alpha(v)} \bar{f}(\sigma) + f(vt) = \sum_{\sigma \in \beta(v)} \bar{f}(\sigma) + f(vt), \quad (1)$$

又有定理条件

$$\bar{f}(\sigma) = c(\sigma) = \sum_{\sigma \in \alpha(v)} b(\sigma), \quad (2)$$

$$\bar{f}(\tau) = c(\tau) = \sum_{e \in \beta(\tau)} b(e). \quad (3)$$

由 (1), (2), (3) 得

$$\sum_{e \in \alpha(v)} \bar{f}(e) + \sum_{e \in \alpha(v)} b(e) = \sum_{e \in \beta(v)} f(e) + \sum_{e \in \beta(v)} b(e),$$

从而得

$$\sum_{e \in \alpha(v)} f(e) - \sum_{e \in \beta(v)} f(e) = 0,$$

即  $f(e)$  满足 (C2'), 故  $f(e)$  是可行流. 反之, 若  $f(e)$  是  $N$  的可行流, 令

$$\bar{f}(e) = \begin{cases} f(e) - b(e), & e \in E(G); \\ \bar{c}(e), & e \in \alpha(\bar{s}) \text{ 或 } e \in \beta(\bar{s}). \end{cases}$$

显然  $\bar{f}(e)$  是  $\bar{N}$  上使得从  $\bar{s}$  发出的边皆满载的流. **证毕.**

**例 2** 求图 11.10 中网络上的最大流, 边上写的数第一个是  $b(e)$ , 第二个是  $c(e)$ .

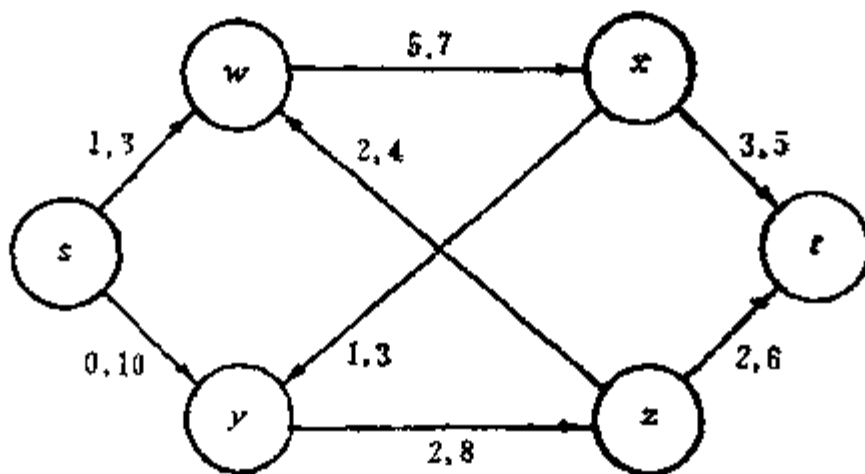


图 11.10

**解** (1) 作附加网络, 如图 11.11, 用 2F 或 Dinic 算法求得附加网上的最大流  $\bar{f}$ . 在图 11.11 上, 用边上第二个数值表示, 由于出  $\bar{s}$  的边皆满载, 由定理 4, 图 11.10 中有可行流.

(2) 把  $\bar{f}$  化为原网络图 11.10 上的可行流

$$f = \bar{f} + b(e),$$

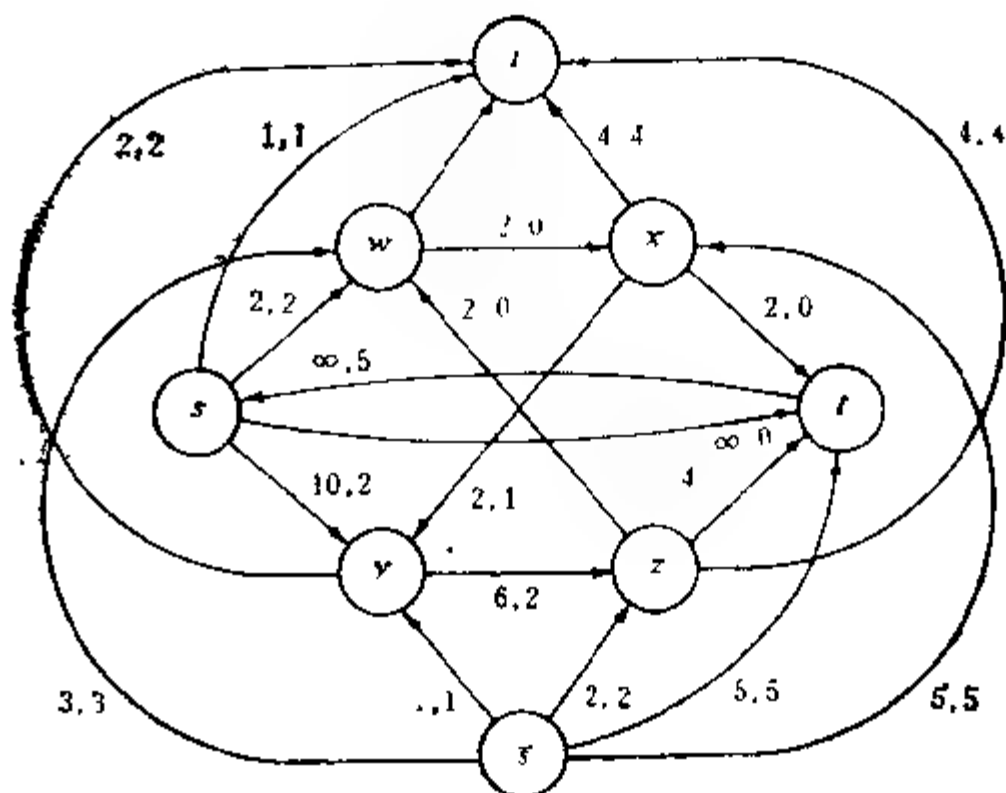


图 11.11

如图 11.12, 边上的三个数依次为  $b, c, f$ .

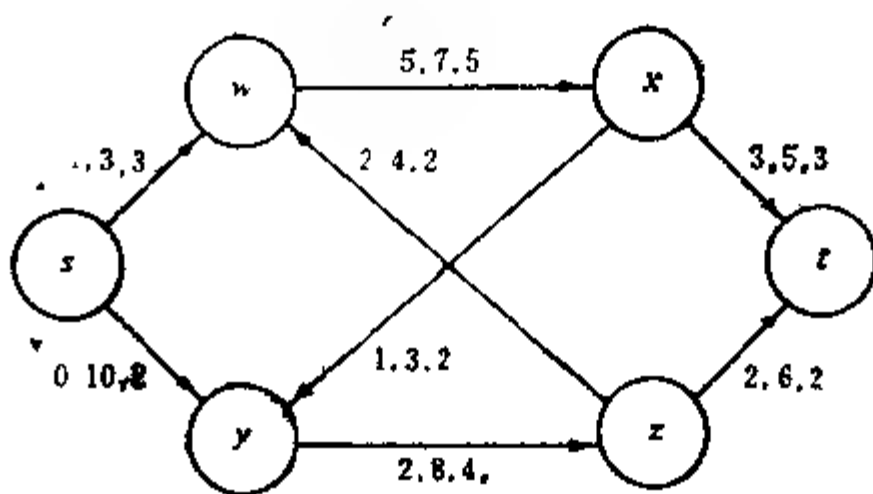


图 11.12

(3) 把图 11.12 中的可行流放大(用 2F 算法亦可用 Dinic 算法), 得最大流如图 11.13。

最大流的流量  $F = 10$ .

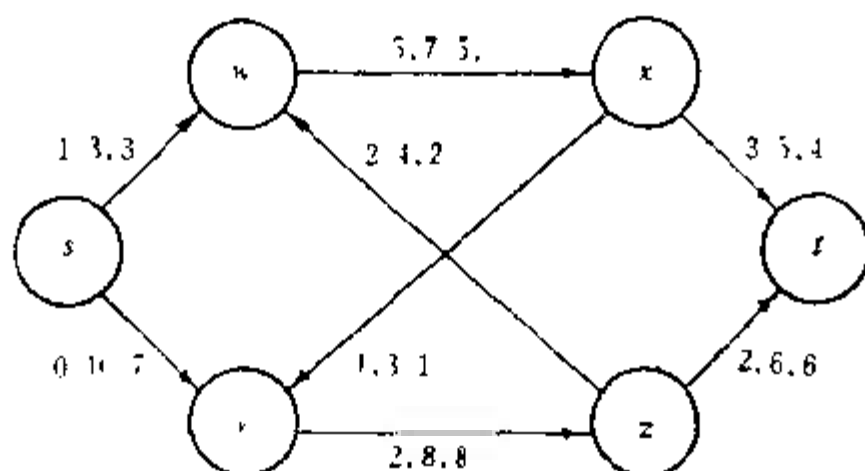


图 11.13

## 11.4 有供需约束的流

设  $N(G(V, E), c(e))$  是一个网络,  $c(e)$  是边  $e$  的容量, 又  $X = \{x_1, x_2, \dots, x_m\}$  是源集合,  $m \geq 1$ ;  $Y = \{y_1, y_2, \dots, y_n\}$  是汇集合,  $n \geq 1$ .

$$\sigma: X \rightarrow \{0, 1, 2, \dots\},$$

$\sigma(x_i)$  称为源  $x_i$  的供应量;

$$\rho: Y \rightarrow \{0, 1, 2, \dots\},$$

$\rho(y_i)$  称为汇  $y_i$  的需求量. 要求流函数  $f(e)$  不仅满足 (C1) (C2), 而且满足供求约束:

$$(C3) \quad \sum_{e \in \beta(x_i)} f(e) - \sum_{e \in \alpha(x_i)} f(e) \leq \sigma(x_i), \quad i = 1, 2, \dots, m;$$

$$(C4) \quad \sum_{e \in \alpha(y_i)} f(e) - \sum_{e \in \beta(y_i)} f(e) \geq \rho(y_i), \quad i = 1, 2, \dots, n.$$

(C3) 表示对于产地, 求不能过于供; (C4) 表示对于销地, 供不能低于求, 这样可以免于发生供求矛盾.

把满足 (C1), (C2), (C3), (C4) 的流  $f(e)$  称为可行流. 若



$S \subseteq X$ , 则记  $\sigma(S) = \sum_{v \in S} \sigma(v)$ ; 若  $S \subseteq Y$ , 则记  $\rho(S) = \sum_{v \in S} \rho(v)$ .

下面给出可行流的充要条件.

**定理 4**  $f$  是有供需约束的可行流, 当且仅当对一切  $S \subseteq V(G)$ ,

$$C(S) \geq \rho(Y \cap \bar{S}) - \sigma(X \cap S),$$

其中  $\bar{S}$  是  $S$  的补集,  $X$  为源集,  $Y$  为汇集,  $C(S)$  为  $(S, \bar{S})$  中边容量和 (即截量).

**证** 构造新网络  $N'$ :

(i) 增加两个新顶  $x_0, y_0$ .

(ii) 加边  $x_0 x_i, i = 1, 2, \dots, m$ , 令  $c(x_0 x_i) = \sigma(x_i)$ .

(iii) 加边  $y_j y_0, j = 1, 2, \dots, n$ , 令  $c(y_j y_0) = \rho(y_j)$ .

(iv) 令  $x_0$  为  $N'$  的源,  $y_0$  为  $N'$  的汇.

容易证明,  $N$  有可行流的充要条件是  $N'$  中有一个使  $(Y, \{y_0\})$  中每边皆满载的流.

今有  $N'$  中的流使  $(Y, \{y_0\})$  中每边皆满载, 则其流量  $\rho(Y) = C(Y)$ , 此流是  $N'$  中的最大流. 这说明  $N$  有可行流, 当且仅当对  $N'$  中的每个截  $(S \cup \{x_0\}, \bar{S} \cup \{y_0\})$  成立

$$C(S \cup \{x_0\}) \geq \rho(Y),$$

等价于

$$C(S, \bar{S}) + \rho(Y \cap S) + \sigma(X \cap \bar{S}) \geq \rho(Y), \quad (3)$$

等价于

$$C(S, \bar{S}) \geq \rho(Y) - \rho(Y \cap S) - \sigma(X \cap \bar{S}),$$

等价于

$$C(S, S) \geq \rho(Y \cap \bar{S}) - \sigma(X \cap \bar{S}).$$

**证毕.**

从算法的角度而言, 只要用 2F 或 Dinic 算法, 求  $N'$  的最大流  $f$ , 若  $f$  是使  $(Y, \{y_0\})$  中每边皆满载的流, 则  $f$  亦是  $N$  中的可行流.

本章主要介绍了 Ford-Fulkerson 算法和 Dinic 算法来求最大流，有上下界的网络和有供需约束的网络可以转化成另一个网络，继而可用 2F 或 Dinic 来求解。这些算法，似乎有点烦琐但很重要，应熟练掌握。至于最大流最小截定理，即双最定理，是图论中的骨干定理之一，它对于理论和实际的问题，都有用。这一点，从下一章我们就会看得更清楚。

### 习 题

1. 若网络中不存在从  $s$  到  $t$  的轨， $s$  是源， $t$  是汇，则此网络上的最大流量与最小截量皆为 0。

2. 求图 11.14 中网络的最大流，边上的数字是边容量。

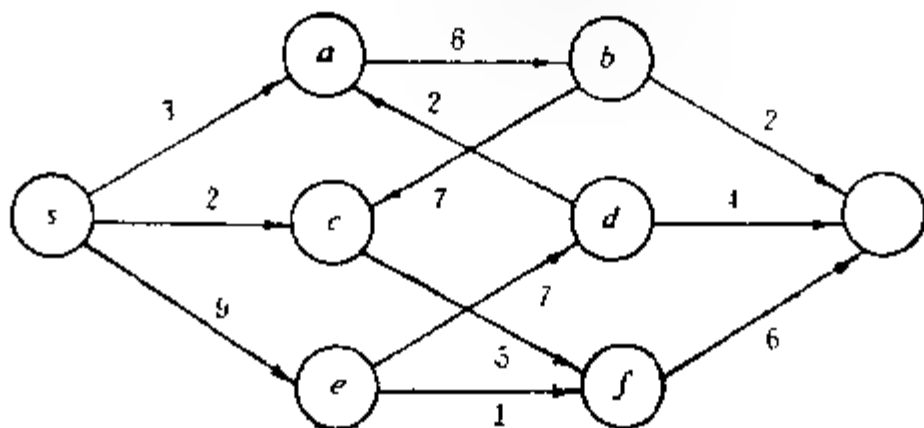


图 11.14

3. 在图 11.15 中网络中， $x_1, x_2, x_3$  是同一种商品的货源，

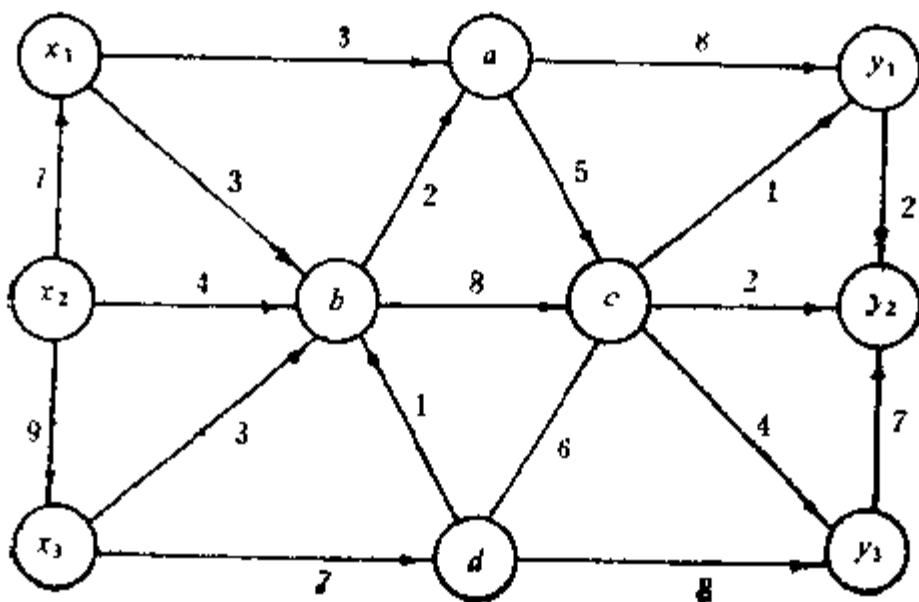


图 11.15

供应量  $x_1$  为 5,  $x_2$  为 10,  $x_3$  为 5;  $y_1, y_2, y_3$  是市场, 需求量  $y_1$  是 5,  $y_2$  是 10,  $y_3$  为 5, 是否所有的需求皆可同时被满足?

4. 在图 11.16 中, 除边有容量外,  $s$  与  $t$  外的每个顶都有一个可以通过它的流量的上界, 即顶的容量, 它写在顶标志之下。求此网络上的一个最大流。

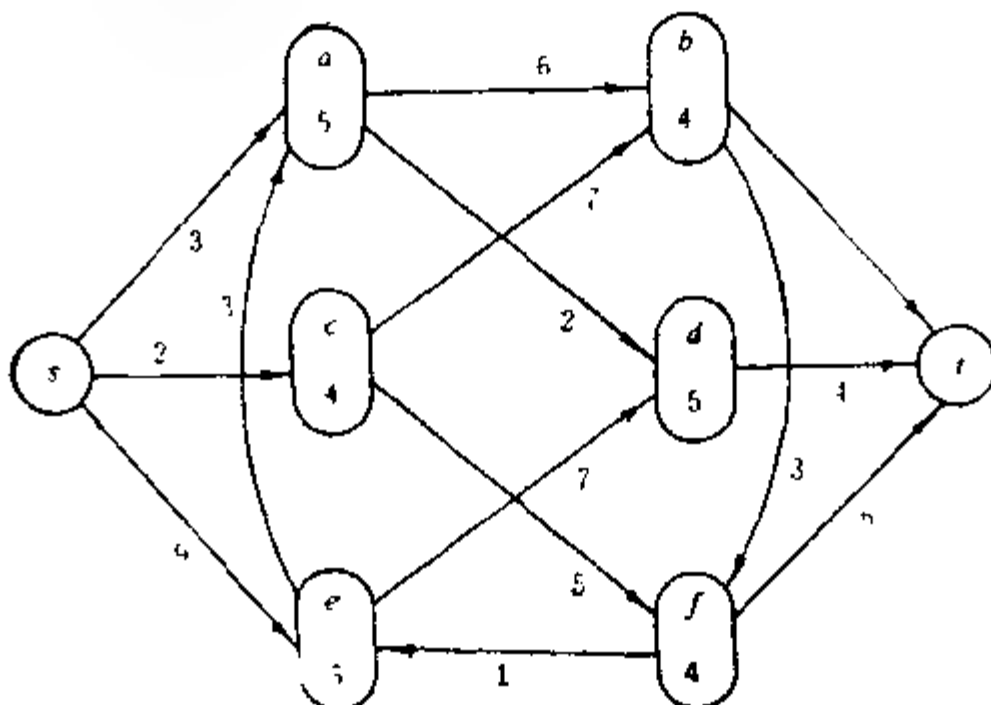


图 11.16

5. (a) 写出一个如同 2F 算法的标志过程, 但标志由  $t$  开始, 到达  $s$  时即得一可增载轨。

(b) 写出一个当此边容量增大时, 最大流量也增加的边之定位方法。

(c) (b)中所述之边总存在吗?

6. 证明 有供需约束的网络上有可行流的充要条件是  $N'$  中有一个使  $(Y, \{y_e\})$  每边皆满载的流, 其中  $N'$  见定理 4 之证明。

7. 证明 在有正下界  $b(e)$  但无上界 ( $c(e) = \infty$ ) 的网络中, 存在可行流的充要条件是对每一边  $e$ , 要么  $e$  在一个有向回路上, 要么  $e$  在由  $s$  到  $t$  或由  $t$  到  $s$  的有向道路上。

8. 在第 2 题中, 若边上写的为下界, 而无上界, 求一个最

小流。

9. 下面两个网络（图 11.17，图 11.18）中，哪个无可行流？若存在可行流，求其最大流与最小流；若不存在可行流，找出一个不含源亦不含汇的顶子集，它要么要求“冒出”流，要么要求“漏掉”流。

10. 证明有上下界的网络中无可行流的充要条件是：存在一个顶子集，不含源与汇，且它要求“冒出”或“漏掉”流。

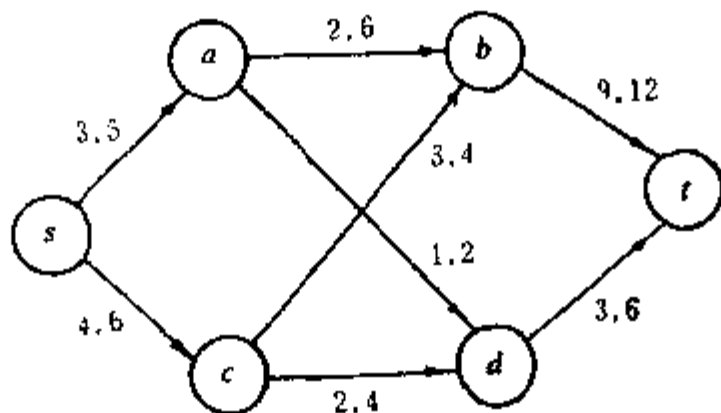


图 11.17

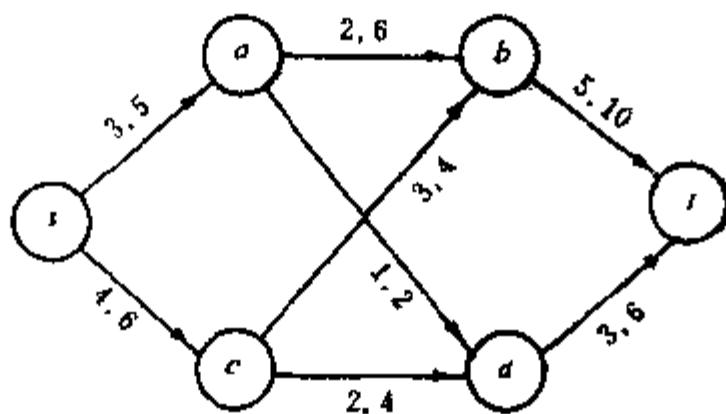


图 11.18

## 12 网络流方法的应用

### 12.1 顶连通度

若  $S \subset V(G)$ ,  $\{a, b\} \subset V - S$ , 若每条由  $a$  到  $b$  的轨至少一个内顶在  $S$  中, 则称  $S$  为  $(a, b)$  分离集;  $a$  与  $b$  相邻时, 无  $(a, b)$  分离集. 设  $\mathcal{S}$  是  $(a, b)$  分离集集合, 令

$$N(a, b) = \min |S|, S \in \mathcal{S}$$

$N(a, b)$  叫做  $a$  顶与  $b$  顶的分离数.

我们称从  $a$  到  $b$  的两两无公共内顶的轨为独立轨.

**定理 1**  $a, b$  是图  $G(V, E)$  不相邻的顶, 则

$$N(a, b) = p(a, b),$$

其中  $p(a, b)$  是  $a$  到  $b$  独立轨的最大条数.

**证** 我们构造一个有向图  $G(\bar{V}, \bar{E})$ : 把  $V(G)$  中的每一顶变成  $\bar{V}$  中的两个顶  $v'$  与  $v''$ , 且  $e_+ = v'v'' \in \bar{E}$ . 对于  $E$  中每条边  $e = uv$ , 在  $\bar{E}$  中有两条边  $e' = u''v'$ ,  $e'' = v''u'$  与之对应, 此外,  $G(\bar{V}, \bar{E})$  中无其它的边与顶. 在  $G(\bar{V}, \bar{E})$  上形成一个网络,  $a''$  为源,  $b'$  为汇, 对  $e_+$  型边, 容量为 1, 其它边容量  $\infty$ .

下证  $p(a, b)$  是  $a''$  到  $b'$  的最大流量  $F$ .

设无向图  $G$  中有  $p(a, b)$  条从  $a$  到  $b$  的独立轨, 每条这种轨相应地在  $G(\bar{V}, \bar{E})$  中形成一条有向轨. 在  $G$  中的轨为

$$av_1v_2 \cdots v_{l-1}b,$$

在  $G(\bar{V}, \bar{E})$  中相应的有向轨为

$$a''v'_1v'_1v'_2v'_2v''_2 \cdots v''_{l-1}v'_{l-1}b',$$

这些有向轨在  $G(\bar{V}, \bar{E})$  中两两无公共内顶, 每条都可以用来从

$a'$  到  $b'$  流过 1 个单位的流量, 故

$$F \geq p(a, b).$$

设  $f$  是一个最大流, 其流量为  $F$ , 由  $G(\bar{V}, E)$  的构造及边容量之分配知, 这  $F$  个单位的流量被分解到  $F$  条独立有向轨上去了, 每条轨流过 1 个流量, 故

$$F \leq p(a, b).$$

至此得知  $F = p(a, b)$ .

由双最定理,  $F$  等于某截  $(S, \bar{S})$  之容量,  $a' \in S$ ,  $b' \in \bar{S}$ , 所以  $C(S) = \sum_{e \in (S, \bar{S})} c(e) = F < \infty$ , 即  $(S, \bar{S})$  中的边皆  $e_1$  型. 而

在  $G(\bar{V}, \bar{E})$  中, 从  $a'$  到  $b'$  的有向轨上至少含  $(S, \bar{S})$  中的一条边, 故  $G$  中每条由  $a$  到  $b$  的轨至少含一个顶  $v$ , 使  $e_1$  在  $(S, \bar{S})$  中. 于是

$$R = \{v | v \in V(G), e_1 \in (S, \bar{S})\}$$

是无向图  $G$  中  $(a, b)$  分离集, 且

$$|R| = C(S) = F.$$

从而有

$$N(a, b) \leq F.$$

另一方面, 显然有  $N(a, b) \geq p(a, b)$ , 故得证

$$N(a, b) = p(a, b).$$

证毕.

无向图  $G$  的顶连通度  $\kappa(G)$ , 用我们本章的符号则可写成:

$$\kappa(G) = \begin{cases} |V| - 1, & G \text{ 为完全图;} \\ \min_{a, b \text{ 不邻}} N(a, b), & G \text{ 不为完全图.} \end{cases}$$

**定理 2**  $\kappa(G) = \min_{a, b \in V(G)} p(a, b).$

**证**  $G$  是完全图, 定理显然成立. 下面考虑  $G$  不是完全图的情形, 先证明

$$\min_{\substack{a, b \in V(G) \\ a, b \text{ 不邻}}} p(a, b) = \min_{a, b \in V(G)} p(a, b).$$

设  $ab \in E(G)$ ,  $e = ab$ , 且  $p(a, b)$  是一切间顶对间独立轨最大条数的最小值, 令  $G' = G - e$ , 在  $G'$  中  $a, b$  间独立轨最大条数为  $p(a, b) - 1 = p'(a, b)$ . 由定理 1,  $G'$  中存在  $(a, b)$  分离集  $R$ , 使得

$$p'(a, b) = |R| = p(a, b) - 1.$$

若  $|R| = |V| - 2$ , 则  $p(a, b) = |V| - 1$ , 但当  $u, v \in V(G)$ ,  $u$  与  $v$  不相邻时,  $p(u, v) + 2 \leq |V|$ ,  $p(u, v) \leq |V| - 2$ , 这是不可能的, 故得  $|R| < |V| - 2$ . 于是存在  $v \in V - (R \cup \{a, b\})$ , 不妨设  $R$  是  $(a, v)$  分离集 (不然用  $(b, v)$  代替  $(a, v)$ ), 于是  $G$  中  $av \in E(G)$ ,  $R \cup \{b\}$  也是  $(a, v)$  分离集, 因而

$$p(a, v) \leq |R| + 1 = p(a, b),$$

故得

$$\min_{\substack{a, b \in V(G) \\ a, b \text{ 不邻}}} p(a, b) = \min_{a, b \in V(G)} p(a, b).$$

下面证明  $G$  不是完全图时,

$$\kappa(G) = \min_{a, b \in V(G)} p(a, b).$$

事实上, 这时  $\kappa(G) = \min_{\substack{a, b \in V(G) \\ a, b \text{ 不邻}}} N(a, b)$ . 由定理 1, 得

$$\kappa(G) = \min_{\substack{a, b \in V(G) \\ a, b \text{ 不邻}}} p(a, b) = \min_{a, b \in V(G)} p(a, b).$$

**证毕.**

定理 1 和定理 2 告诉我们如何通过求某网络上的最大流而得到  $\kappa(G)$  的值.

定理 1 和定理 2 是图论中十分重要的两个定理, 是著名的 Menger 型定理中的两个, 它们有许多精彩的推论.

$G$  是无向图,  $x \in V(G)$ ,  $U \subset V(G)$ ,  $x \notin U$ , 一端为  $x$ , 另一

端在  $U$  中的  $|U|$  条除  $x$  外再无公共顶的轨形成的子图叫做  $G$  的一个  $x-U$  扇子.

**推论 1**  $G$  是  $k$  连通图的充要条件是  $|V(G)| \geq k+1$ , 任取  $U \subset V(G)$ ,  $|U| = k$ ,  $x \in V(G) - U$ , 则存在  $G$  的  $x-U$  扇子.

**证** 假设  $G$  是  $k$  连通图, 显然  $|V(G)| \geq k+1$ , 加一新顶  $y$ , 把  $y$  与  $U$  的每顶之间连一边, 得图  $H$ , 对  $H$  应用定理 2, 知  $x$  与  $y$  之间有  $k$  条独立轨, 故  $G$  中有  $x-U$  扇子. 反之, 设  $|V(G)| \geq k+1$ , 且有推论中所述的扇子, 但  $G$  非  $k$  连通图, 则  $\kappa(G) \leq k-1$ , 于是存在  $x, y_1 \in V(G)$ ,  $S \subset V(G)$ ,  $|S| = k-1$ , 在  $G-S$  中,  $x, y_1$  不连通, 在  $G$  中无  $x-(S \cup \{y_1\})$  扇子, 矛盾. 证毕.

**推论 2** (Dirac)  $G$  是  $k$  连通图,  $k \geq 2$ , 则任意  $k$  个顶共圈.

**证** 对  $k$  进行归纳法证明.  $k=2$  时推论 2 显然成立. 假设  $k-1 \geq 2$  时推论已成立, 要证  $k=l+1$  时, 推论 2 仍成立.

事实上, 因  $G$  是  $l+1$  连通的, 所以也是  $l$  连通的, 由归纳法假设, 任取的  $l+1$  个顶中的  $l$  个是共圈的, 记它们所在的圈是  $C_l$ . 另一方面, 由推论 1, 任取  $x \in V(G)$ , 再任取  $U \subset V(G)$ ,  $x \notin U$ ,  $|U| = l+1$ , 存在  $x-U$  扇子. 记上述  $l+1$  个顶是  $v_1, v_2, \dots, v_{l+1}$ ,  $\{v_1, v_2, \dots, v_l\} \subseteq V(C_l)$ , 而  $|V(G)| \geq l+2$ , 我们取  $U = \{v_1, v_2, \dots, v_l, w\}$ ,  $x = v_{l+1}$ . 若  $C_l$  上只有  $l$  个顶, 由扇子  $v_{l+1}-U$  可知  $v_1, v_2, \dots, v_{l+1}$  共圈:  $v_1 v_2 \cdots v_l \cdots v_{l+1} \cdots v_1$ .

若  $C_l$  上存在一顶  $u \in \{v_1, v_2, \dots, v_l\}$ , 不妨设  $u \in \widehat{v_1 v_2}$ . 在扇子  $v_{l+1} - \{v_1, v_2, \dots, v_l, u\}$  上,  $v_{l+1}$  与  $\{v_1, \dots, v_l, u\}$  之间的  $l+1$  条独立轨为  $P(v_{l+1}, v_i) (i=1, \dots, l)$  与  $P(v_{l+1}, u)$ , 它们与  $C_l$  的第一个交点(顶)分别为  $w_1, w_2, \dots, w_l, w_{l+1}$ , 且  $w_i \neq w_j, i \neq j, 1 \leq i, j \leq l+1$ . 由鸽笼原理, 必有两个顶  $w_i, w_j$  落在同一段弧  $\widehat{v_i v_{i+1}}$  上, 脚标  $m$  满足  $1 \leq m \leq l$  (按 mod  $l$  计算). 于是  $v_1, v_2, \dots, v_{l+1}$  共圈:



$$v_{i+1} \cdots w_i v_m v_{m-1} \cdots v_2 v_1 v_i v_{i-1} \cdots v_{m+1} w_i \cdots v_{i+1},$$

这里假设在  $\widehat{v_m v_{m+1}}$  上  $w_i$  距  $v_m$  较近, 且可能  $v_m = w_i$ , 或可能  $w_i = v_{m+1}$ . 证毕.

## 12.2 有向图的连通度和 无向图的边连通度

### 12.2.1 求有向图的连通度的算法

设  $G$  是无平行边的有向图,  $S \subset V(G)$ ,  $S \cap \{a, b\} = \emptyset$ ,  $a, b \in V(G)$ , 从  $a$  到  $b$  的有向轨上至少有一个内顶属于  $S$ , 则称  $S$  是  $G$  中一个  $(a, b)$  分离集. 令  $\mathcal{S}$  表示有向图  $G$  中  $(a, b)$  分离集集合, 称

$$N(a, b) = \min |S|, S \in \mathcal{S}$$

为  $(a, b)$  分离数. 而  $p(a, b)$  表示从  $a$  到  $b$  的有向独立轨之最大条数.

有向图  $G$  的连通度记为  $\kappa(G)$ , 定义为

$$\kappa(G) = \begin{cases} |V| - 1, & G \text{ 是双向完全图,} \\ \min_{a, b \in V(G)} N(a, b), & G \text{ 不是双向完全图.} \end{cases}$$

所谓双向完全图是指  $\forall a, b \in V(G)$ ,  $\exists ab, ba \in E(G)$ .  $G$  中有  $(a, b)$  分离集的充要条件是  $ab \in E(G)$ . 这里说的有向图的连通度有时也称为强连通度.  $\kappa(G) > 0$  当且仅当  $G$  为强连通有向图.

我们把有向图  $G$  中的每条边  $e = uv$  变成一条有向轨,  $u' u'' v' v''$ , 得到一个新的有向图  $\bar{G}$ . 在  $\bar{G}$  上以  $a'$  为源, 以  $b'$  为汇, 容量规定为  $c(u' u'') = c(v' v'') = 1$ ,  $c(u'' v') = \infty$ , 构成一个网络  $N$ . 于是与无向图中相似地可得:

(1)  $ab \in E(G)$ , 则  $p(a, b) = N(a, b) = N$  中最大流之流额.

(2)  $G$  不是双向完全图, 则

$$\min_{a, b \in E(G)} p(a, b) = \min_{a, b \in V(G)} p(a, b).$$

$$(3) \quad \kappa(G) = \min_{a, b \in V(G)} p(a, b).$$

可见, 通过求最大流可以求得非双向完全图中的  $N(a, b)$  ( $ab \in E(G)$ ), 经取  $\min$  运算, 即可得有向图的连通度  $\kappa(G)$ . 注意这里的字母  $a$  与  $b$  是有序的.

### 12.2.2 求无向图的边连通度的算法

设  $T \subseteq E(G)$ ,  $G$  是无向图,  $a, b \in V(G)$ , 从  $a$  到  $b$  的每条轨上至少有一边在  $T$  中, 则称  $T$  是  $G$  的  $(a, b)$  边分离集. 令  $\mathcal{T}$  表示  $(a, b)$  边分离集集合, 规定

$$M(a, b) = \min_{T \in \mathcal{T}} |T|,$$

$M(a, b)$  叫做  $G$  中  $a, b$  的边分离数. 我们用  $p'(a, b)$  表示从  $a$  到  $b$  弱独立轨的最大条数, 所谓弱独立轨是指无公共边的轨, 即若  $P_1, P_2, \dots, P_m$  是轨,  $E(P_i) \cap E(P_j) = \emptyset$ ,  $1 \leq i, j \leq m$ ,  $i \neq j$ , 则称  $P_1, P_2, \dots, P_m$  是弱独立轨.

边连通度  $\kappa'(G)$  显然为

$$\kappa'(G) = \min\{M(a, b) \mid (a, b) \in V \times V\}.$$

我们把  $G(V, E)$  的每一边  $e = uv$  变成重边, 再定向成互力反向, 得  $e' = uv$ ,  $e'' = vu$ , 赋权  $c(e') = c(e'') = 1$ , 以  $a$  为源, 以  $b$  为汇, 得到一个网络  $N$ . 与无向图的顶连通度讨论相似地可以证明:

$$M(a, b) = p'(a, b) = N \text{ 中从 } a \text{ 到 } b \text{ 的最大流量}.$$

于是可以用网络流技术得  $\kappa'(G)$ .

## 12.3 有向图的边连通度和

### 弱独立外向生成树

#### 12.3.1 求有向图的边连通度的算法

设  $T \subseteq E(G)$ ,  $G$  是有向图, 且从  $a$  到  $b$  的每条有向轨上至少有一条边在  $T$  中, 则称  $T$  是  $G$  中一个  $(a, b)$  边分离集, 其中  $a, b \in V(G)$ , 定义  $G$  的边连通度为

$$\kappa'(G) = \min\{M(a, b) \mid (a, b) \in V \times V\},$$

其中

$$M(a, b) = \min|T|, \quad T \in \mathcal{T}$$

$\mathcal{T}$  是  $G$  中  $(a, b)$  边分离集集合.

以  $a$  为源, 以  $b$  为汇, 每边容量为 1, 在  $G$  上建立一个网络  $N$ , 则与前面相似地可以证明

$M(a, b) = p'(a, b) = N$  中从  $a$  到  $b$  的最大流的流量.

于是求  $\kappa'(G)$  化为求网络之最大流.

**定理 3** (Edmonds, 1973)  $a$  是有向图  $G$  的一个顶, 且  $\min_{v \in V - \{a\}} M(a, v) = k$ , 则  $G$  中存在以  $a$  为根的  $k$  棵弱独立外向生成树 (所谓弱独立生成树, 即无公共边的生成树).

**证** 对  $k$  进行归纳法证明.  $k=1$  时,  $\min_{v \in V - \{a\}} M(a, v) = 1$ , 又  $M(a, v) = p'(a, v)$ , 故从  $a$  至任意一个顶  $v$  至少有 1 条有向轨, 显然有一棵外向生成树, 它以  $a$  为根, 可见  $k=1$  时定理成立.

令

$$\delta_c(S) = |(S, \bar{S})|, S \subseteq V(G).$$

且用  $G-H$  表示从  $G$  中删去其子图  $H$  之一切边所得的生成子图. 显然有 (因为  $\delta_c(S)$  是截容量, 而  $M(a, v)$  是最大流量):

$$\min_{u \in V - \{a\}} M(a, u) \geq k \iff \text{对每个 } S \subset V(G), a \in S, \\ S \neq V(G), \delta_{G-F}(S) \geq k \quad (1)$$

设  $F(V', E')$  是  $G$  的子图, 且满足

(i)  $F$  是根在  $a$  的外向树,

(ii) 对每个  $S \subset V, S \neq V, a \in S, \delta_{G-F}(S) \geq k-1$ . 这样的  $F$  是存在的. 若  $F$  是  $G$  的外向生成树, 由归纳法假设及式(1)知,  $G-F$  中有  $k-1$  棵弱独立的以  $a$  为根的外向生成树, 于是  $G$  中有  $k-1+1=k$  棵弱独立的以  $a$  为根的外向生成树.

若  $F$  不是  $G$  的外向生成树. 我们下面令  $F$  “生长”为一棵外向生成树又不破坏(i)与(ii). 为此考虑满足下列三个条件的集合  $S \subset V$ : (1)  $a \in S$ , (2)  $S \cup V' \neq V$ , (3)  $\delta_{G-F}(S) = k-1$ . 若  $S$  集不存在, 我们把  $(V', \bar{V}')$  的任一条边  $e$  加到  $F$  上, 使  $F+e$  仍满足(i)与(ii).

(i) 自然满足. 下面反证(ii)亦能满足. 不然, 存在某个集合  $S, S \neq V, a \in S$ , 但  $\delta_{G-F+e}(S) < k-1$ , 即  $\delta_{G-F}(S) < k$ ,  $\delta_{G-F}(S) \leq k-1$ . 又已有  $\delta_{G-F}(S) \geq k-1$ , 故  $\delta_{G-F}(S) = k-1$ , 即  $S$  满足(3),  $S$  满足(1)早已成立, 若  $S$  还满足(2), 则  $S$  满足了(1), (2), (3), 与不存在满足(1), (2), (3)的  $S$  矛盾.

下验证  $S$  满足(2). 设  $e = uv$  是加到  $F$  上去的那条边, 因  $\delta_{G-F+e}(S) < k-1, \delta_{G-F}(S) = k-1$ , 故  $v \in S$ , 又  $v \in V'$ , 所以  $S \cup V' \neq V$ , 即  $S$  满足(2).

若存在满足(1), (2), (3)的  $S, A$  是满足(1), (2), (3)的极大顶子集, 因为  $F$  的边之头皆在  $V'$  中, 故

$$\delta_{G-F}(A \cup V') = \delta_G(A \cup V') \geq k.$$

由(3),

$$\delta_{G-F}(A \cup V') > \delta_{G-F}(A).$$

这个不等式指出, 在  $G-F$  中存在一条边  $e = xy, e \in (A \cup V',$

$A \cap V'$ ), 但  $e \in (A, \bar{A})$ . 所以  $x \in \bar{A} \cap V'$ ,  $y \in \bar{A} \cap \bar{V}'$ . 下面证明  $F + e$  满足 (i) 与 (ii).

(i) 自然满足.

设  $S \subset V$ ,  $S \neq V$ ,  $a \in S$ ,  $e \in (S, \bar{S})$ , 则

$$\delta_{G-F+e}(S) = \delta_{G-F}(S) \geq k-1. \quad (2)$$

设  $e' \in (S, S)$ , 对  $V$  的每两个子集  $S$  与  $A$ ,

$$\delta_{G-F}(S \cup A) + \delta_{G-F}(S \cap A) \leq \delta_{G-F}(S) + \delta_{G-F}(A). \quad (3)$$

由以上的式 (2) 与式 (3) 及  $\delta_{G-F}(A) = k-1$ ,  $\delta_{G-F}(A \cap S) \geq k-1$ , 得

$$\delta_{G-F}(S \cup A) \leq \delta_{G-F}(S). \quad (4)$$

又  $x \in S$ ,  $x \notin A$ , 知  $S$  不是  $A$  的子集, 于是  $|S \cup A| > |A|$ ; 又  $y \in S$ ,  $y \notin \bar{A}$ ,  $y \in \bar{V}'$ , 所以,  $S \cup A \cap V' \neq V'$ . 由  $A$  之极大性,  $\delta_{G-F}(S \cup A) \geq k$ ,  $\delta_{G-F}(S) \geq k$ , 故  $\delta_{G-F+e}(S) \geq k-1$ , 即证得 (ii) 满足. **证毕.**

上述证明是构造性的, 它提供了  $k$  个外向弱独立同根生成树的求法.

**定理 4** 设  $G$  是有向图, 且  $\alpha'(G) \geq k > 0$ , 则  $\forall u, v \in V(G)$  及  $\forall l \in \{0, 1, 2, \dots, k\}$ , 存在  $u$  到  $v$  的  $l$  条弱独立有向轨, 同时存在  $v$  到  $u$  的  $k-l$  条弱独立有向轨.

**证** 构成辅助图  $\bar{G}$  如下: 图  $G$  上加上新顶  $a$ , 从  $a$  到  $u$  加  $l$  条平行的新边, 从  $a$  到  $v$  加  $k-l$  条平行的新边. 若能证明  $\bar{G}$  中

$$\min_{w \in V(\bar{G})} M(a, w) = k,$$

由定理 3, 可以在  $\bar{G}$  中找到以  $a$  为根的  $k$  棵外向弱独立生成树, 由  $\bar{G}$  之构造知定理 4 成立.

由所加  $k$  条新边可知,  $\min_{w \in V(\bar{G})} M(a, w) \leq k$ , 下证“ $<$ ”号不成立. 若  $\min_{w \in V(\bar{G})} M(a, w) < k$ , 则存在  $S \subset V(G) \cup \{a\}$ ,  $| (S, \bar{S}) | < k$ ,  $a \in S$ , 显然  $S \neq \{a\}$ . 令  $x \in S - \{a\}$ ,  $y \in \bar{S}$ , 由于  $| (S, \bar{S}) | < k$ ,

得  $M(x, y) < k$ , 此与  $\kappa'(G) \geq k$  矛盾. 证毕.

**推论 3**  $G$  是有向图,  $\kappa'(G) \geq 2$ , 则  $G$  上任二顶在某个有向回路上.

## 12.4 二分图

### 12.4.1 二分图的次数序列

设  $p = (p_1, p_2, \dots, p_m)$ ,  $q = (q_1, q_2, \dots, q_n)$  是两个非负整数序列, 是否存在二分图 (单图)  $G$ , 其顶划分为  $X = \{x_1, x_2, \dots, x_m\}$ ,  $Y = \{y_1, y_2, \dots, y_n\}$ , 使得  $d(x_i) = p_i$ ,  $d(y_j) = q_j$ ,  $i = 1, 2, \dots, m, j = 1, 2, \dots, n$ ?

若上述问题得到肯定回答, 则称  $(p, q)$  被二分图  $G$  实现. 显然,  $(p, q)$  被二分图实现的必要条件是

$$\sum_{i=1}^m p_i = \sum_{j=1}^n q_j. \quad (1)$$

但 (1) 不是  $(p, q)$  可由二分图实现的充分条件, 例如

$$p = (5, 4, 4, 2, 1), \quad q = (5, 4, 4, 2, 1),$$

虽满足 (1), 但没有二分图能实现  $(p, q)$ .

**定理 5**  $p = (p_1, p_2, \dots, p_m)$ ,  $q = (q_1, q_2, \dots, q_n)$  是满足 (1) 的非负整数列, 且  $q_1 \geq q_2 \geq \dots \geq q_n$ ,  $(p, q)$  可由二分图实现的充要条件是

$$\sum_{i=1}^m \min\{p_i, k\} \geq \sum_{j=1}^k q_j, \quad 1 \leq k \leq n. \quad (2)$$

**证** 令  $X = \{x_1, x_2, \dots, x_m\}$ ,  $Y = \{y_1, y_2, \dots, y_n\}$  是  $K_{m,n}$  的顶划分, 把  $K_{m,n}$  定向, 每边都从  $X$  指向  $Y$ , 得有向图  $G$ . 把  $G$  中每边的容量定为 1,  $X$  为源集合,  $Y$  为汇集合,  $x_i$  的供应量为  $p_i$ ,  $y_j$  的需求量为  $q_j$ . 考虑此网络  $N$  上有供需约束的可行流问题.

对  $G$  的每个生成子图, 对应地有一个  $N$  上的流, 使此子图上每一边皆满载, 且此对应是一一的. 由 (1) 知,  $(p, q)$  可由二分图实现的充要条件是  $N$  上有可行流.

下面利用第 11 章定理 4 证明  $N$  内有可行流的充要条件是 (2) 式成立.

对于  $S \subset V(G)$ , 令

$$I(S) = \{i | x_i \in S\}, J(\bar{S}) = \{j | y_j \in \bar{S}\},$$

由定义,

$$\begin{aligned} C(S) &= \sum_{e \in E(S)} c(e) = |I(S)| \cdot |J(\bar{S})|, \\ \sigma(X \cap S) &= \sum_{i \in I(S)} p_i, \\ \rho(Y \cap \bar{S}) &= \sum_{j \in J(\bar{S})} q_j. \end{aligned} \quad (3)$$

设  $N$  中有可行流, 由第 11 章定理 4 和 (3),

$$|I(S)| \cdot |J(\bar{S})| \geq \sum_{i \in I(S)} q_i - \sum_{j \in J(S)} p_j.$$

取  $S = \{x_i | f_i > k\} \cup \{y_j | f_j > k\}$ , 于是

$$\sum_{i \in I(S)} \min\{p_i, k\} \geq \sum_{i=1}^k q_i - \sum_{j \in J(S)} \min\{p_j, k\},$$

因此 (2) 成立.

反之, 若 (2) 式成立,  $S$  是  $V(G)$  的任一子集, 由 (2) 与 (3),

$$\begin{aligned} C(S) &\geq \sum_{i \in I(S)} \min\{p_i, k\} \geq \sum_{i=1}^k q_i - \sum_{j \in J(\bar{S})} \min\{p_j, k\}, \\ &\geq \rho(Y \cap \bar{S}) - \sigma(X \cap \bar{S}), \end{aligned}$$

其中  $k = |J(\bar{S})|$ , 由第 11 章定理 4,  $N$  有可行流. **证毕.**

从算法的角度判断  $(p, q)$  可否由某二分图来实现, 等价于定

理 5 证明中的网络  $N$  是否有可行流；又由第 11 章定理 4 的证明，这又等价于第 11 章定理 4 证明中  $N'$  上是否有使  $(Y, \{y_i\})$  中每边皆满载的最大流。至此，我们搞清楚了：先求  $N'$  的最大流，若使  $(Y, \{y_i\})$  边皆满载，则此流标志了一个  $(p, q)$  的实现过程，所需的二分图之边仅取流值为 1 的边。

### 12.4.2 二分图上的匹配

这一段我们用网络流技术求二分图上的最大匹配，并给出 Hall 定理的一个简洁证明。

设  $G(X, Y, E)$  是一个二分图，构造一个网络  $N(G(\bar{V}, \bar{E}), c(e))$ ：

$$\bar{V} = \{s, t\} \cup V(G), \quad s \text{ 为源, } t \text{ 为汇};$$

$$\bar{E} = \{sx | x \in X\} \cup \{yt | y \in Y\} \cup \{xy | xy \in E(G)\}.$$

赋予容量  $c(sx) = c(yt) = 1, c(xy) = \infty$ 。

**定理 6** 二分图中最大匹配的边数等于网络  $N$  中最大流之流量。

**证** 设  $M$  是一个最大匹配，对  $M$  中的每个边  $xy$ ，通过有向轨  $sxyt$ ，从  $s$  到  $t$  流过 1 个单位。显然，对  $M$  中的不同边，这种有向轨是独立的，故最大流流量  $F \geq |M|$ 。

设  $f$  是  $N$  上的整值流函数，所有从  $s$  到  $t$  的有向轨皆形如  $sxyt$ ，若它从  $s$  到  $t$  运送一个流量，则不会再有边  $xy'$  或  $x'y$  能被用来通过流量。故使得  $f(xy) = 1$  的边  $xy$  之集合形成  $G(X, Y, E)$  的一个匹配，于是  $|M| \geq F$ ，从而  $|M| = F$ 。证毕。

上述定理告诉我们求网络  $N$  上的最大流  $f$ ，使得  $f(xy) = 1$  的边之集合即为  $G$  的一个最大匹配。

下面利用双最定理证明 Hall 婚配定理。

**定理 (Hall)**  $G$  是二分图，顶划分为  $X$  与  $Y$ ， $G$  中存在把  $X$  中顶皆许配的匹配之充要条件是，对一切  $S' \subseteq X$ ， $|N(S')| \geq |S'|$ 。



**证** 设  $G$  中无把  $X$  中顶皆许配的匹配, 沿用定理 6 的记号, 最大流量  $F = |M|$ ,  $M$  是  $G$  中最大匹配, 但  $|M| < |X|$ . 设  $S$  是 2F 算法结束时被标志的顶集合, 则  $(S, \bar{S})$  是最小截. 又一切形如  $xy$  的边容量为  $\infty$ , 令  $S' = X \cap S$ ,  $N(S') \subset S$ , 又无  $V - N(S')$  中的顶被标志, 于是我们有

$$(S, \bar{S}) = (\{s\}, X - S') \cup (N(S'), \{t\}).$$

又  $|S, \bar{S}| = |M| < |X|$ , 于是

$$|X - S'| + |N(S')| < |X|,$$

即  $|N(S')| < |S'|$ .

反之, 若  $G$  中有把  $X$  中顶皆许配的匹配, 显然对每个  $S' \subseteq X$ ,  $|N(S')| \geq |S'|$ . **证毕.**

## 12.5 关于 PERT 的两个问题

PERT 是规划审核技术的代号 (Program evaluation and review technique), 它是运筹学中的典型问题之一.

PERT 图是指这样的一个有向图  $G(V, E)$ :

- (i)  $V(G)$  中存在起始顶  $s$  与终止顶  $t$ .
- (ii)  $G$  中无有向回路,
- (iii)  $\forall v \in V(G) - \{s, t\}$ ,  $v$  在某条由  $s$  到  $t$  的有向轨上.

约定:

- (1) PERT 图上的每一边代表一个过程.
- (2)  $\beta(s)$  中的过程可以马上开始.
- (3)  $v \in V(G)$ ,  $v \neq s$ , 当  $\alpha(v)$  中的过程全结束时,  $\beta(v)$  中的过程才能开始.

**问题 1 (关键轨道问题)** 设 PERT 图每边  $e$  之权  $l(e)$  表示该过程所需时间, 问由  $\beta(s)$  中过程开始的时刻到  $\alpha(t)$  中过程全部完成, 最短需要多长时间?

例如图 12.1 中的最短完成时间为  $3 + 2 + 5 = 10$ 。

**PERT 最短时间算法:**

(1)  $\lambda(s) \leftarrow 0$ , 其它的顶未标志。

(2) 找一个  $v \in V(G)$ ,  $v$  未标志, 且  $\alpha(v)$  中一切边之尾已标志, 令

$$\lambda(v) \leftarrow \max_{e \in \alpha(v)} \{\lambda(u) + l(e)\}.$$

(3) 若  $v = t$ , 止,  $\lambda(t)$  即为所求, 否则转 (2)。

上述算法的时间复杂度为  $O(|E|)$ 。

**定理 7** PERT 最短时间算法止时得到的  $\lambda(t)$  为问题 1 的解。

**证** 先证 (2) 中  $v$  的存在性。若这种  $v$  不存在, 则对每个未标志之顶  $v$ , 皆可找到一边, 以  $v$  为头, 但此边以另一未标志之顶为尾。又顶数有限。则  $G$  中存在有向回路, 这是不可能的。

下证  $\lambda(v)$  是到完成  $\alpha(v)$  中一切过程所用的最小时间。用标志次数进行归纳证明。第一次标志的是  $s$ , 命题自然成立。设第  $k$  次标志的是  $v_k$ ,  $\lambda(v_k)$  是  $\alpha(v_k)$  中过程全部完成所用的最小时间; 设  $v_{k+1}$  是第  $k+1$  次标志的顶, 由 (2), 显然

$$\max_{e \in \alpha(v_{k+1})} \{\lambda(u) + l(e)\}$$

是到  $\alpha(v_{k+1})$  中过程全完成所用的时间之最小值。证毕。

容易看出, 当算法停止时, 由  $t$  向  $s$  经过“确定顶标的边”返回, 即经

$$\lambda(v) \leftarrow \max_{e \in \alpha(v)} \{\lambda(u) + l(e)\}$$

中使  $\lambda(u) + l(e) = \lambda(v)$  的边  $e$  返回, 则得一最长轨, 这种最长轨叫做**关键轨短**。欲缩短工期, 必须把每条关键轨道至少一条边之长缩短。关键轨道未必唯一, 例如图 12.1 中  $sbat$  是一条关键

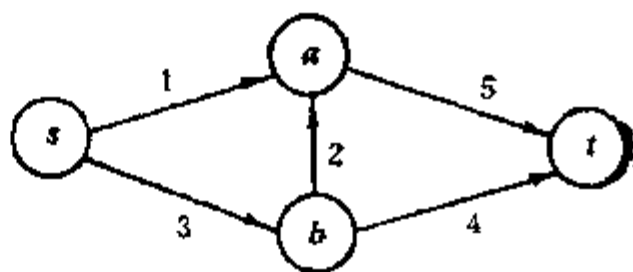


图 12.1

轨道。

上述缩短工期的方法通常称为 CPM (Critical Path method), 即**关键轨道方法**。

**问题 2** PERT 中每一过程由一台机器 (或人) 来完成, 问需要最少准备多少台机器, 才能使得对任意给定的  $l(e)$ , 每一过程都不至于因为机器不够而被延误?

为解决问题 2, 我们考虑以  $s$  为源, 以  $t$  为汇的 PERT 图上的一个网络, 边容量下界是 1, 上界为  $\infty$ 。

下面我们称一个边子集为**并流边集合**, 若此集合中没有在同一有向轨上的两条边。

由于 PERT 中每边皆在由  $s$  到  $t$  的有向轨上, 以及  $u(e) = 1$ ,  $c(e) = \infty$  知我们的网络上有可行流, 所以有从  $s$  到  $t$  的最小流。

**定理 8** 以  $s$  为源以  $t$  为汇,  $b(e) = 1$ ,  $c(e) = \infty$  的 PERT 图上的网络上的最小流量即为问题 2 的解。

**证** 让我们以  $t$  为源, 以  $s$  为汇, 求由  $t$  到  $s$  的最大流, 它恰为由  $s$  到  $t$  的最小流。当求由  $t$  到  $s$  的最大流时, 2F 算法终止时被标志的那些顶之集合为  $T$ , 则  $t \in T$ ,  $s \in \bar{T}$ 。于是  $(T, \bar{T}) = \emptyset$ , 不然, 因  $c(e) = \infty$ , 仍可由  $T$  中的某顶向前标志, 与 2F 标志终止矛盾。所以  $(\bar{T}, T)$  是并流边集。

若  $(\bar{T}, T)$  中有的边之权  $l(e) \gg 1$ ,  $(\bar{T}, T)$  外的边之权  $l(e)$  比  $(\bar{T}, T)$  中最小权还小得多, 所以会有  $(\bar{T}, T)$  中边代表的过程同时进行的时刻。故机器数  $\geq |(\bar{T}, T)|$ 。

设  $F$  是从  $s$  到  $t$  最小流量, 相应的流为  $f$ ,  $f(e) \geq b(e) = 1$  对每一边  $e \in E(G)$  成立。  $F$  个单位的总流量分解到从  $s$  到  $t$  的  $F$  条有向轨上, 能使  $E(G)$  中的每条边至少在这  $F$  条有向轨的一条上。我们把每台机器分配给上述  $F$  条有向轨中之一条轨上的所有边, 每个机器在分配去的有向轨上从  $s$  到  $t$  依次完成各个过程, 于是得知机器数  $\leq F$  (图 12.2)。而  $F = |(\bar{T}, T)|$ , 故得证问题

2 中的机器至少为  $s$  到  $t$  的最小流量  $F$ ，证毕。

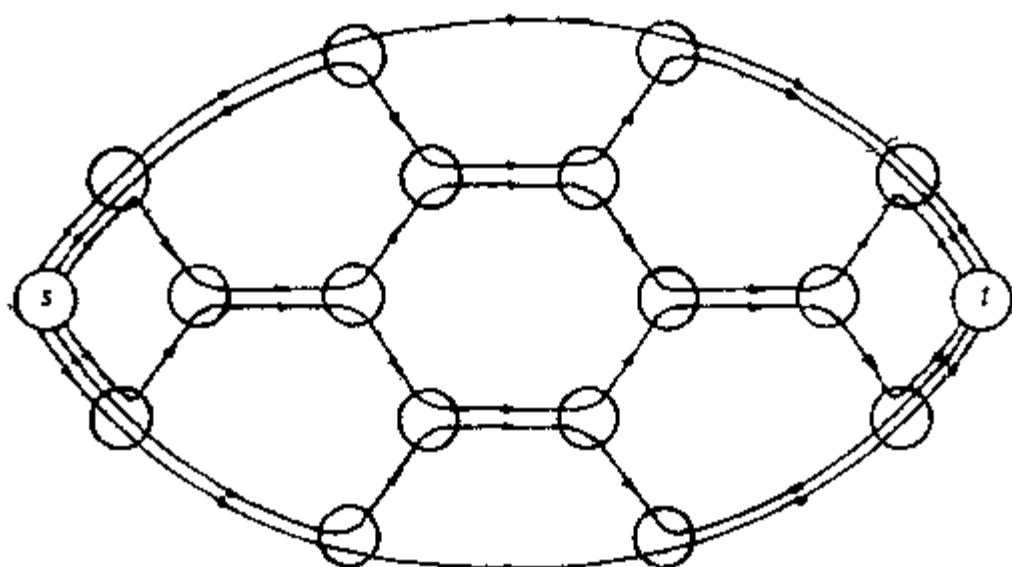


图 12.2

本章用求最大流的有效算法求得了无向图的连通度与边连通度及有向图的连通度与边连通度，并且建立了一批Menger型定理 ( $N(a,b) = p(a,b)$  ( $ab \in E(G)$ ),  $M(a,b) = p'(a,b)$ ,  $\kappa(G) = \min_{a,b \in V} p(a,b)$ ,  $\kappa'(G) = \min_{a,b \in V} p'(a,b)$ )。这些 Menger 型定理是图论的一组基本定理，从中可以推导出许多重要结论，例如  $k$  连通图的扇形结构与圈结构，有向图中的弱独立同根外向生成树的存在及个数等等。

网络流技术还可以求取二分图中的最大匹配，以及判别与实现二分图的次数序列，同时对某些定理（例如 Hall 定理）提供简洁的新证明。

最后我们用求最大流的方法解决了 PERT 中的一个重要问题。

## 习 题

1. 用 12.1 的定理 1 证明匹配理论中的 König 定理。

2. 证明 $(p, q)$ 不能由二分图来实现, 其中 $p = (5, 4, 4, 2, 1)$ ,  $q = (5, 4, 4, 2, 1)$ .

3. 七种设备用五架飞机运往目的地, 每种设备各有四台, 五架飞机的容量分别为8, 8, 5, 4, 4台, 问能否有一种装机方案, 使同种设备不会有两台同在一架飞机上? 若飞机容量分别为7, 7, 6, 4, 4台时, 又怎样?

4. 今有张、王、李、赵四人小乐队和小提琴、大提琴、钢琴、吉他四种乐器, 张善于演奏小提琴、大提琴和吉他; 王善于大提琴和钢琴; 李善于小提琴和大提琴; 赵只会弹吉他. 今四人同台演出, 每人演奏一种乐器, 试求每人各演奏一种乐器时所有不同方案. 试把这一问题化成网络最大流问题.

5.  $G$ 是没有有向回路的有向图, 欲求一个无公共顶点的有向轨道的最小条数, 使这些轨道覆盖一切顶, 这种轨道可以从任何一顶始而止于任何顶, 也可以长为0.

(a) 叙述一个解此问题的算法.

(b) 指出 $G$ 中没有有向圈的条件是否必要.

(c) 给出你的算法的时间复杂度.

6. 上题中, 把“无公共顶”的要求删去, 解决上题中同样的(a), (b), (c)三个问题.

两个顶 $u$ 与 $v$ 叫做**无逆流**的, 若无从 $u$ 到 $v$ 或无从 $v$ 到 $u$ 的有向轨道. 一个**无逆流顶集**是指此集中任二顶皆为无逆流的. 证明覆盖轨道的最小数目等于最大无逆流顶集之顶数.

7. (a)  $G(X, Y, E)$ 是二分图, 写出一个有效算法求出一个最小边子集 $E' \subseteq E$ , 使得每顶皆为 $E'$ 中至少一条边之端点.

(b) 给出你的算法的时间复杂度.

(c) 证明这个覆盖顶的 $E'$ 满足 $|E'| = \beta(G)$ , 其中 $\beta(G)$ 是 $G$ 的独立数.

8. (a)  $G(X, Y, E)$ 是完全二分图, 则

$$\alpha(G) = \min\{|X|, |Y|\}.$$

(b) 证明对每个  $k$ , 存在一个图  $G$ , 使得  $\kappa(G) \geq k$ , 且  $G$  无 Hamilton 轨.

9. 设  $M$  是二分图  $G$  的一个匹配, 则存在一个最大匹配  $M'$ , 使得被  $M$  匹配的每个顶也被  $M'$  匹配.

10.  $G$  是无圈有向图, 恰有一个顶  $s$ ,  $d^-(s) = 0$ , 恰有一个顶  $t$ ,  $d^+(t) = 0$ , 称边  $e_1 = ab$  优于边  $e_2 = cd$ , 当且仅当  $G$  中有从  $b$  到  $c$  的有向轨道. 一个边子集叫做一个“片”, 若它之中无比另一边为优的边, 且它是极大的.  $P$  是边子集, 证明下述三个命题等价:

(1)  $P$  是一个片.

(2)  $P$  是  $(s, t)$  边分离集,  $P$  中没有比其它边为优的边.

(3) 对某  $\{s\} \subset S \subset V - \{t\}$  的  $S$ ,  $P = (S, \bar{S})$ , 使得  $(\bar{S}, S) = \emptyset$ .

11.  $S_1, S_2, \dots, S_m$  为有限集, 集合  $\{e_1, e_2, \dots, e_m\}$  叫做相异样品组 (SDR), 若对每个  $i$ ,  $1 \leq i \leq m$ ,  $e_i \in S_i$ .

(a) 若 SDR 存在, 写出一个求 SDR 的有效算法.

(b) 证明 SDR 存在的充要条件是对任意的  $k$  ( $1 \leq k \leq m$ ) 个集合之并, 至少含  $k$  个元素.

12.  $\pi_1$  与  $\pi_2$  是  $m$  个元素的一个集合之划分, 每个之中恰含  $r$  个两两不交的子集, 欲求  $r$  个元素的一个子集, 使得  $\pi_1$  与  $\pi_2$  的每个子集都被表征.

(a) 给一个有效算法判断这样的  $r$  个样品的集合是否存在.

(b) 与 Hall 婚配定理相似地建立一个这种样品集合存在的充要条件.

13. 有向图叫做完全连通的, 若它是一个竞赛图. 完全连通有向图是可分的, 若  $V(G)$  可划分成  $A$  与  $B$  两个非空子集, 使得  $A$  与  $B$  之间的边皆从  $A$  到  $B$ . 令  $V(G) = \{v_1, v_2, \dots, v_n\}$ , 且

$$d^+(v_1) \leq d^+(v_2) \leq \dots \leq d^+(v_n),$$

则  $G$  是可分的完全连通有向图的充要条件是存在  $k < n$ , 使得

$$\sum_{i=1}^k d^+(v_i) = \binom{k}{2}.$$

14.  $S$  是人的集合,  $|S| \geq 4$ , 每四个人中总有一人与其余三人相识, 则  $S$  中有一人, 他与  $S$  中的每个人相识.

15. 在学校里, 有  $n$  个男同学  $n$  个女同学, 每个同学恰认识  $k$  ( $1 \leq k \leq n$ ) 个异性同学, 证明全体同学可参加一次舞会, 使每对舞伴皆相识, 而且可以组织  $k$  场舞会, 使得每人皆与每个相识者恰跳一次舞. 试用网络流方法证明此题.

16. 证明或反驳: 若有向图  $G$ ,  $\kappa(G) \geq 2$ , 则对每三个顶  $x, y, z$ , 存在一个从  $x$  经  $y$  到  $z$  的有向轨.

17.  $G$  是无向图,  $\kappa'(G) \geq 2$ , 则:

(a) 对每二个顶  $x, y, z$ , 存在一个行迹, 从  $x$  经  $y$  到  $z$ .

(b) 对每三个顶  $x, y, z$ , 存在一个行迹从  $x$  到  $z$  不经过  $y$ .

18. 在图 12.3 所示的无有向回路的有向图中, 既有 AND 顶 ( $\wedge$ ), 也有 OR 顶 ( $\vee$ ), 正如 PERT 中一样, 边表示过程, 边长是过程所用时间 (写在每边旁), 当所有 (至少一个) 进入的

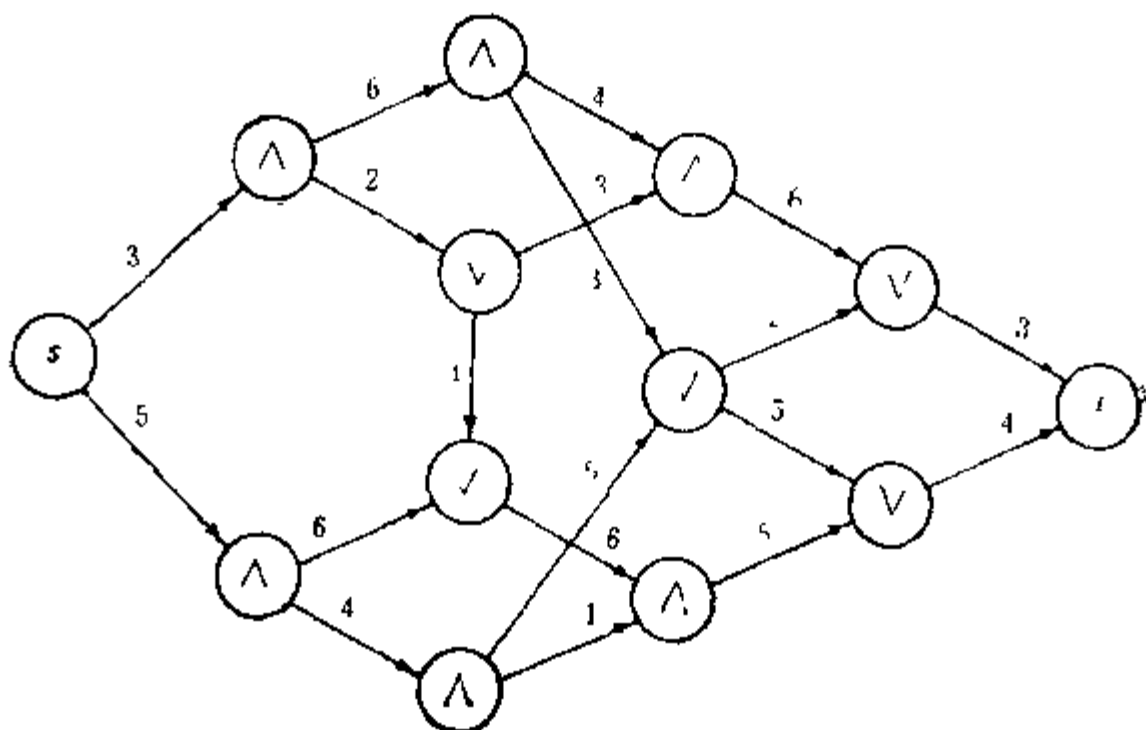


图 12.3

过程完成时, 从一个 AND(OR) 顶出发的过程才可开始。写出一个算法, 求从开始 (于  $s$  顶) 到结束 (于  $t$  顶) 所用的最少时间。且把你的算法在图 12.3 中应用, 并指出你的算法的时间复杂度。

19. 在未必无有向回路的有向图上考虑上题, 你应如何修改你的算法或指出无解?

20.  $k \in N$ ,  $l(k)$  是从图  $G$  上删除  $k$  个顶所得子图的边连通度之最小值, 讨论函数  $l(k)$  的定义域单调性和极值; 若  $\kappa(G) = 4$ ,  $\kappa'(G) = 5$ ,  $l(1) = 2$ ,  $l(2) = 3$  是否成立?



## 13 无向图中的空间与矩阵

### 13.1 圈 空 间

令  $F_2 = \{0, 1\}$ , 在  $F_2$  上定义加法  $\oplus$  与乘法 “ $\cdot$ ” 如下:

$\oplus$	0	1
0	0	1
1	1	0

$\cdot$	0	1
0	0	0
1	0	1

于是  $\langle F_2, \oplus \rangle$  是 Abel 群,  $\langle F_2 - \{0\}, \cdot \rangle$  也是 Abel 群, 且乘法对于加法有分配律, 故  $\langle F_2, \oplus, \cdot \rangle$  是一个域, 称其为 0 1 二元域, 简写成  $F_2$ .

若  $(q_1, q_2, \dots, q_n)$  与  $(r_1, r_2, \dots, r_n)$  两个向量中  $q_i, r_i \in F_2$ , 则定义

$$(q_1, q_2, \dots, q_n) \oplus (r_1, r_2, \dots, r_n) = (q_1 \oplus r_1, \dots, q_n \oplus r_n).$$

例如  $(1, 1, 1) \oplus (1, 1, 1) = (0, 0, 0)$ .

本章中把一个图或子图写成 0-1 向量的形式, 利用线性代数方法研究 (0-1 向量对应的) 图的性质.

设  $G$  是给定的标志图,  $E(G) = \{e_1, e_2, \dots, e_\varepsilon\}$ , 任意取  $Q \subseteq E(G)$ , 令

$$q_i = \begin{cases} 1, & e_i \in Q, \\ 0, & e_i \notin Q, \end{cases}$$

记

$$Q = (q_1, q_2, \dots, q_\varepsilon),$$

于是  $Q$  的全体子图组成的集合在 0-1 二元域  $F_2$  上构成一个  $\varepsilon$  维的线性空间, 记这个空间为  $\mathcal{S}(G)$ , 称为  $G$  的边子集空间, 简称边空

间。\$\mathscr{E}\$ 中有 \$2^e\$ 个向量, \$(1, 0, 0, \dots, 0)\$, \$(0, 1, 0, 0, \dots, 0)\$, \$\dots\$, \$(0, 0, \dots, 0, 1)\$ 是它的一组基。

**定义 1** 量 \$T\$ 是连通图 \$G\$ 的生成树, 设 \$e\$ 是余树的一条边, 则 \$T+e\$ 上有唯一的一个圈, 这个圈叫做 \$G\$ 的基本圈, 关于生成树 \$T\$ 的全部基本圈 \$C\_1, C\_2, \dots, C\_{e-v+1}\$ 叫做 \$G\$ 的一个基图组。

**定理 1** \$E(C\_1), E(C\_2), \dots, E(C\_{e-v+1})\$ 作为 \$\mathscr{E}\$ 中的 \$e-v+1\$ 个向量是线性无关的, 其中 \$C\_1, C\_2, \dots, C\_{e-v+1}\$ 是 \$G\$ 的关于生成树 \$T\$ 的基图组。

**证** 因每一基图含有其它基图不含的边, 故得

$$\sum_{i=1}^{e-v+1} a_i C_i = 0 \iff a_i = 0 \quad (i=1, 2, \dots, e-v+1).$$

其中 \$a\_i \in F\_2\$, 故 \$E(C\_1), \dots, E(C\_{e-v+1})\$ 是线性无关组, 证毕。

本章中边子集 \$Q\$, \$Q\$ 在 \$\mathscr{E}\$ 中的向量形式以及 \$G[Q]\$ 可以认为是一回事。

我们把图 \$G\$ 中无公共边的圈之并与零向量组成的集合记成 \$\mathscr{C}(G)\$

**定理 2** \$\mathscr{C}(G)\$ 在域 \$F\_2\$ 上构成线性空间。

**证** 只需证明, \$\forall B\_1, B\_2 \in \mathscr{C}(G)\$, 有 \$B\_1 \oplus B\_2 \in \mathscr{C}(G)\$, 则容易验证 \$\mathscr{C}(G)\$ 满足在 \$F\_2\$ 上构成线性空间的一切条件。下证 \$B\_1 \oplus B\_2 \in \mathscr{C}(G)\$。

(1) \$B\_1\$ 或 \$B\_2\$ 为 0 时, 结论自然成立。

(2) \$B\_1\$ 与 \$B\_2\$ 皆非 0, 考虑 \$B\_1\$ 与 \$B\_2\$ 中有无公共边, 分两种情形讨论。

(i) 对每个 \$i\$, \$1 \leq i \leq e\$, \$B\_1\$ 与 \$B\_2\$ 的第 \$i\$ 分量不同时为 1, 则 \$B\_1 \oplus B\_2\$ 图中每顶皆偶次, 其连通片是 Euler 图。由 Euler 图的性质, \$B\_1 \oplus B\_2\$ 的每个连通片, 进而 \$B\_1 \oplus B\_2\$ 本身是无公共边的圈之并, 即 \$B\_1 \oplus B\_2 \in \mathscr{C}(G)\$。

(ii) 若有些同位置的分量在 \$B\_1\$ 与 \$B\_2\$ 中皆为 1, 则在 \$B\_1\$

$\oplus B_2$  图中, 与这几个分量 1 对应的的边的端点的次数, 比在  $B_1$  中与  $B_2$  中同一顶的次数之和少一个偶数, 故  $B_1 \oplus B_2$  中每顶皆偶次, 与 (i) 一样地知  $B_1 \oplus B_2 \in \mathcal{C}(G)$ . 证毕.

**定理 3**  $G$  是连通图, 则  $\mathcal{C}(G)$  是  $\mathcal{C}$  的  $e-v+1$  维的线性子空间, 关于任一生成树的基圈组是  $\mathcal{C}(G)$  的一个基底.

**证** 只欠证  $\forall B \in \mathcal{C}(G)$ ,  $B$  是关于任一生成树  $T$  的基圈组的线性组合 (组合系数取自  $F_2$ ). 事实上,  $B=0$  时, 结论自然成立. 下面考虑  $B \neq 0$ , 于是  $B$  图中至少有一条边是余树上的边. 今设  $e_{i_1}, e_{i_2}, \dots, e_{i_k}$  是  $B$  图中余树上的边之全体, 它们对应的基圈分别为  $C_{i_1}, C_{i_2}, \dots, C_{i_k}$ , 令

$$B' = \sum_{i=1}^k C_{i_i},$$

这里  $\Sigma$  中的加法是  $\oplus$ . 由定理 2,  $B' \in \mathcal{C}(G)$ ,  $B' \oplus B \in \mathcal{C}(G)$ ; 若  $B' \oplus B \neq 0$ , 即  $B+B'$  对应的图只含有生成树上的边, 由  $\mathcal{C}(G)$  之定义, 这是不可能的, 只有  $B \oplus B' = 0$ , 于是  $B = B' = \sum_{i=1}^k C_{i_i}$ , 证毕.

以后我们称  $\mathcal{C}(G)$  为图  $G$  的 **圈空间**.

若  $G$  有  $\omega$  个连通片, 显然  $\mathcal{C}(G)$  的维数为  $e-v+\omega$ . 连通图  $G$  的 **圈空间**  $\mathcal{C}(G)$  中有  $2^{e-v+1}$  个向量; 不连通的图,  $\mathcal{C}(G)$  中的向量个数为  $2^{e-v+\omega}$ ; 事实上, 对于连通图而言, 因为  $\mathcal{C}(G)$  中每个向量由  $e-v+1$  个基向量线性表出, 在线性表达式中, 每个基向量的组合系数有 0 与 1 两种选择, 故  $|\mathcal{C}(G)| = 2^{e-v+1}$ .

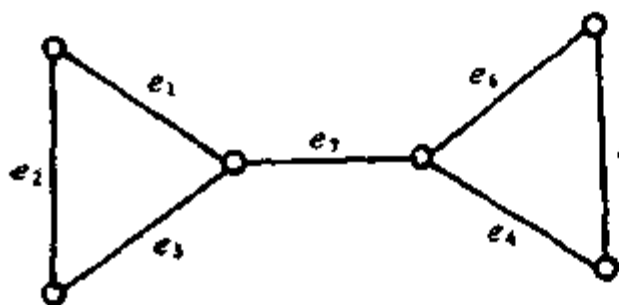


图 13.1

$e_5$ }, 则有  $e-v+1=2$  个基圈;

**例 1** 求图 13.1 中图  $G$  的 **圈空间**  $\mathcal{C}(G)$  中的全体向量, 并画出相应的子图.

**解**  $e=7, v=6, \mathcal{C}(G)$  中有  $2^{e-v+1}=2^2=4$  个向量, 取生成树为  $T=G-\{e_2,$

$C_1 = (1, 1, 1, 0, 0, 0, 0)$ ,  $C_2 = (0, 0, 0, 1, 1, 1, 0)$ 。  
除  $C_1, C_2$  外,  $\mathcal{C}(G)$  中还有 0 向量:

$$0 = (0, 0, 0, 0, 0, 0, 0)。$$

第四个向量是  $B$ :

$$B = C_1 \oplus C_2 = (1, 1, 1, 1, 1, 1, 0)。$$

这三个非零向量相应的子图如图 13.2

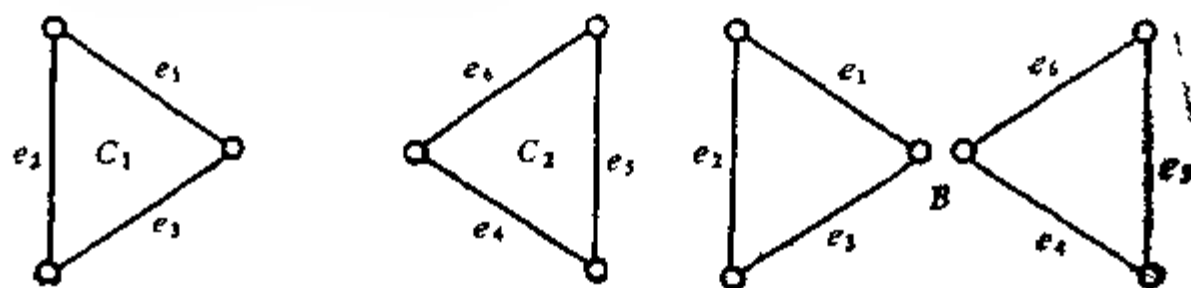


图 13.2

## 13.2 断集空间

本节只讨论连通无向图。

**定义 2**  $S \subseteq E(G)$ ,  $G$  为连通图,  $G - S$  有两个连通片, 但从  $G$  中删除  $S$  的任何真子集, 仍得到连通图, 则称  $S$  是  $G$  的一个割集。

在割集定义中, 要特别注意它的极小性,  $S$  这个集合再缩小就割不断连通图  $G$  了。

例如图 13.3 中,  $\{e_1, e_3, e_5\}$  不是割集, 因为  $G - \{e_1, e_3, e_5\}$  有三个连通片;  $\{e_1\}$ ,  $\{e_3\}$  或  $\{e_5\}$  也不是割集, 因为  $G - \{e_1\}$ ,  $G - \{e_3\}$ ,  $G - \{e_5\}$  仍连通, 而  $G - \{e_1, e_3\}$  有两个连通片, 又  $\{e_1, e_3\}$  已是极小化, 故  $\{e_1, e_3\}$  是一个割集。在此图上, 任意两条边皆构成一个割集。

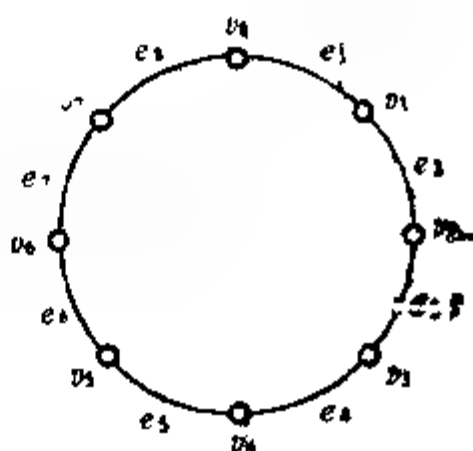


图 13.3

**定义 3**  $V_1$  是连通图  $G$  的非空真子集, 即  $V_1 \neq \emptyset, V_1 \subset V(G)$ , 一端在  $V_1$ , 另一端在  $\bar{V}_1$  的边组成的集合, 记成  $(V_1, \bar{V}_1)$ ,  $(V_1, \bar{V})$  叫做  $G$  的一个断集.

由定义, 割集是断集, 反之未必成立. 例如图 13.3 中,  $\{e_1, e_2, e_3, e_4\}$  是断集  $(\{v_1, v_3\}, \{v_2, v_4, v_5, v_6, v_7, v_8\})$ , 但它不是割集, “大”了一些.

我们把连通图  $G$  中的一切断集与  $0$  向量组成的集合, 记成  $\mathcal{S}(G)$ .

**定理 4**  $\mathcal{S}(G)$  在域  $F_2$  上构成线性空间.

**证** 只需证明, 若  $S_1, S_2 \in \mathcal{S}(G)$ , 则  $S_1 \oplus S_2 \in \mathcal{S}(G)$ . 不妨设  $S_1 \neq S_2$ , 不然  $S_1 \oplus S_2 = 0 \in \mathcal{S}(G)$ . 令  $S_1 = (V_1, \bar{V}_1)$ ,  $S_2 = (V_2, \bar{V}_2)$ ,  $V_{11} = V_1 \cap V_2$ ,  $V_{22} = \bar{V}_1 \cap \bar{V}_2$ ,  $V_3 = V_{11} \cup V_{22}$ , 由图 13.4 知

$$S_1 \oplus S_2 = (V_3, \bar{V}_3) \in \mathcal{S}(G).$$

事实上,  $S_1$  中的边有图中上半部分的四种类型,  $S_2$  中的边有下半部的四种类型, 经  $\oplus$  运算后,  $S_1 \oplus S_2$  中的边只是图中粗实线类型的, 它们恰为  $(V_3, \bar{V}_3)$ . **证毕.**

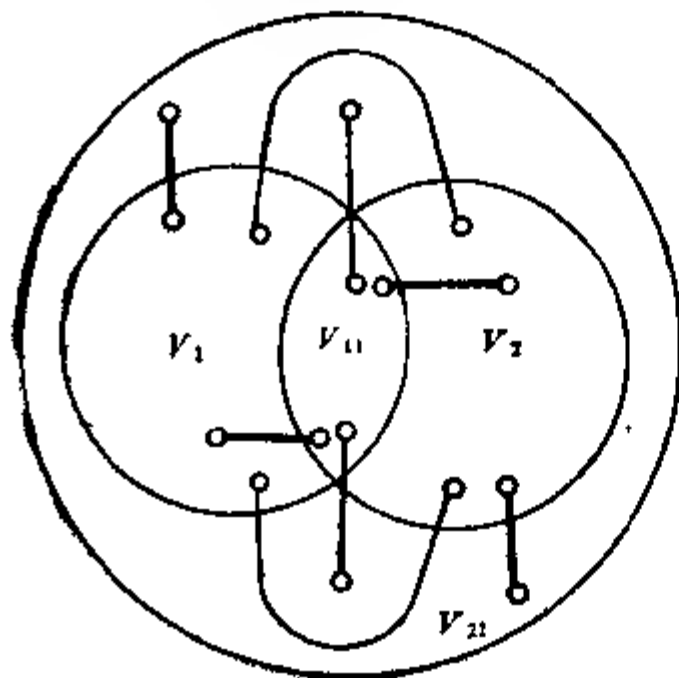


图 13.4

以后把  $\mathcal{S}(G)$  称为连通图  $G$  的断集连间.

显然, 割集与断集中至少有一条边是生成树上的边.

**定义 4** 连通图  $G$  的含且仅含生成树  $T$  的一条边之割集, 叫做  $G$  的关于  $T$  的基本割集, 关于  $T$  的基本图集之全体  $S_1, S_2, \dots, S_{n-1}$  叫做  $G$  的关于生成树  $T$  的基本割集组.

**定理 5** 连通图  $G$  的断集空间  $\mathcal{S}(G)$  的维数是  $v-1$ , 对于任给的生成树  $T$ , 关于  $T$  的基本割集组  $S_1, S_2, \dots, S_{v-1}$  是  $\mathcal{S}(G)$  的一组基.

**证** 与定理 1 相似地, 容易证明  $S_1, \dots, S_{v-1}$  是线性无关的. 只需证明  $\forall S \in \mathcal{S}(G)$ ,  $S$  可由  $S_1, \dots, S_{v-1}$  线性表出.

事实上, 因  $S$  是断集,  $S$  上有  $T$  中之边, 令  $S = \{e_{i_1}, e_{i_2}, \dots, e_{i_k}; e_{i_{k+1}}, \dots, e_{i_n}\}$ , 前  $k$  条边是生成树  $T$  上的. 令  $S_{i_j}$  ( $j=1, 2, \dots, k$ ) 是含  $e_{i_j}$  的基本割集, 由于  $\mathcal{S}(S)$  是线性空间,  $S_{i_j} \in \mathcal{S}(G)$ , 故

$$S' = \sum_{j=1}^k S_{i_j} \in \mathcal{S}(G).$$

且

$$S'' = S + S' \in \mathcal{S}(G),$$

但  $S''$  中已不含  $T$  上之边, 则  $S''$  不是断集, 因为断集中至少有一条树边, 所以  $S'' = 0$ ; 于是

$$S = S'' = \sum_{j=1}^k S_{i_j}.$$

**证毕.**

$\mathcal{S}(G)$  中一共有  $2^{v-1}$  个向量.

**例 2** 求图 13.5 中的图  $G$  之断集空间  $\mathcal{S}(G)$  的一组基底和  $\mathcal{S}(G)$  中的一切向量, 并画出相应子图.

**解**  $v=4$ ,  $\mathcal{S}(G)$  中有  $2^{v-1} = 2^3 = 8$  个向量, 其中 3 个是基向量, 一个是 0 向量. 我们取生成树为  $G[\{e_1, e_2, e_3\}]$ , 相应的三个基本割集为  $S_1, S_2, S_3$ ,  
 $S_1 = (1, 0, 0, 1, 0, 1)$ ,  $S_2 = (0, 1, 0, 1, 1, 0)$ ,  $S_3 = (0, 0, 1, 0, 1, 1)$ .

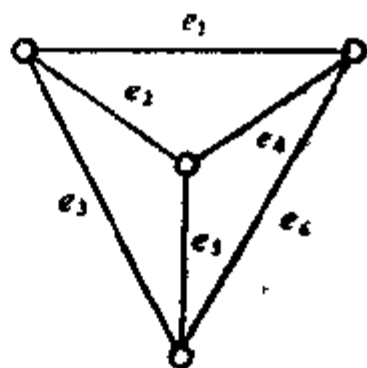


图 13.5

由基底线性表出的其它 5 个向量为:

$$S_4 = S_1 \oplus S_2 = (1, 1, 0, 0, 1, 1),$$

$$S_5 = S_1 \oplus S_3 = (1, 0, 1, 1, 1, 0),$$

$$S_6 = S_2 \oplus S_3 = (0, 1, 1, 1, 0, 1),$$

$$S_7 = S_1 \oplus S_2 \oplus S_3 = (1, 1, 1, 0, 0, 0),$$

$$S_8 = 0 \cdot S_1 + 0 \cdot S_2 + 0 \cdot S_3 = 0 = (0, 0, 0, 0, 0, 0).$$

$S_1 - S_7$  的相应子图见图 13.6.

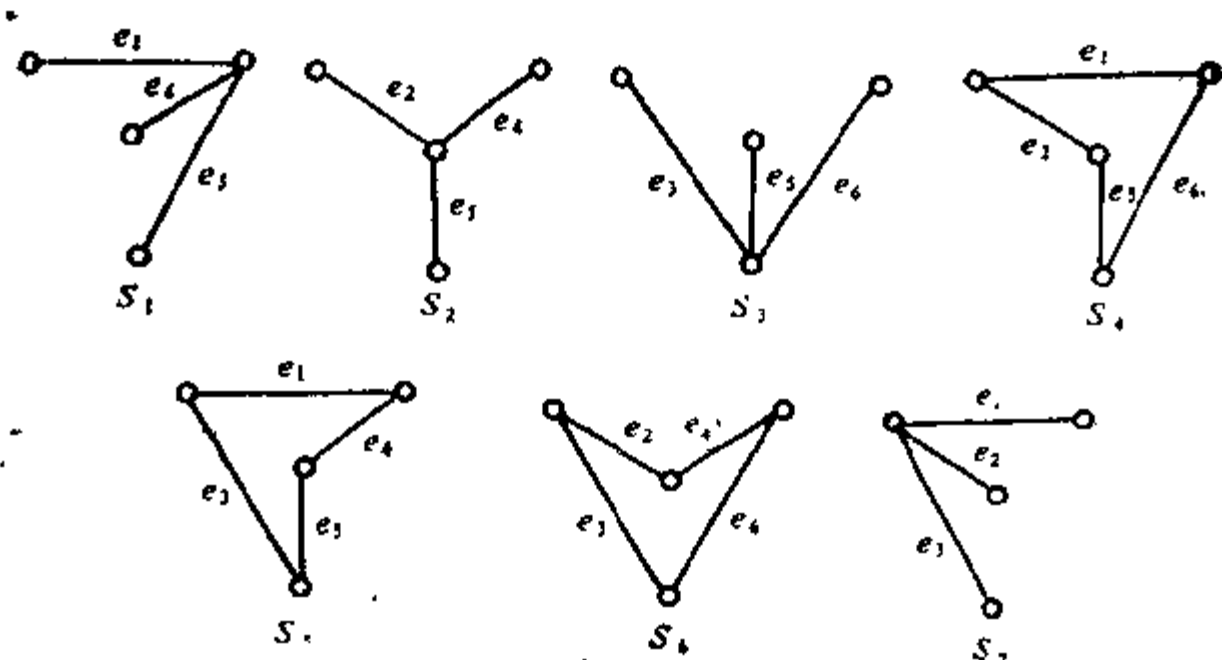


图 13.6

我们看到,  $\mathcal{C}(G)$  与  $\mathcal{S}(G)$  可能有相同的非零向量, 断集可能是圈, 例如例 2 中的  $S_4, S_5, S_6$ .

作为  $\mathcal{C}(G)$  的两个子空间  $\mathcal{C}(G)$  与  $\mathcal{S}(G)$  是正交的.

**定理 6**  $\forall B \in \mathcal{C}(G), \forall S \in \mathcal{S}(G)$ , 则有正交性

$$B \cdot S = 0,$$

其中  $G$  是连通图, “ $\cdot$ ” 是向量的数量积 (在  $F_2$  中).

**证** 若  $B$  与  $S$  中有  $0$ , 则结论自然成立. 若  $B \neq 0, S \neq 0$ , 因为圈若与断集有公共边, 则公共边的条数必为偶数, 所以  $B$  与  $S$  中同序号分量皆为 1 的现象发生偶数次, 从而知  $B \cdot S = 0$ ; 事实上, 这时,  $B \cdot S$  的运算中只发生同序号皆为 1 的两分量的积 1

的求和，同序号的分量有零时只算出0，而这偶数个1相加仍得0。证毕。

### 13.3 关联矩阵

**定义 5**  $G$  是单图， $G$  的关联矩阵  $B(G)$  是如下的矩阵  $B(G) = (b_{ij})_{v \times e}$ ，其中

$$b_{ij} = \begin{cases} 1, & v_i \text{ 与 } e_j \text{ 相关联,} \\ 0, & v_i \text{ 与 } e_j \text{ 不关联,} \end{cases}$$

$v_i \in V(G)$ ,  $e_j \in E(G)$ 。

例如  $K_4$  的关联阵为

$$B(K_4) = \begin{matrix} & e_1 & e_2 & e_3 & e_4 & e_5 & e_6 \\ \begin{matrix} v_1 \\ v_2 \\ v_3 \\ v_4 \end{matrix} & \begin{bmatrix} 1 & 1 & 0 & 0 & 0 & 1 \\ 0 & 1 & 1 & 0 & 1 & 0 \\ 1 & 0 & 1 & 1 & 0 & 0 \\ 0 & 0 & 0 & 1 & 1 & 1 \end{bmatrix} \end{matrix}.$$

每个标志图有唯一的关联矩阵，反之，若给出一个图的关联矩阵，我们可以依据此矩阵把相应的图画出来，可见关联矩阵中已含有相应的图的一切信息，原则上，通过图的关联矩阵的研究，应该得到图的一切性质。

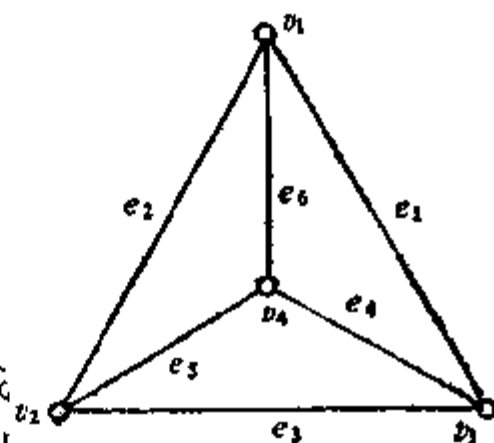


图 13.7

一个0-1矩阵，每列恰有两个1，它必为某个图的关联矩阵；关联矩阵每行中1的个数是该行所对应的顶之次数。

关联矩阵的每一行都是  $\mathcal{S}(G)$  中的一个向量。

**定义 6** 从单图  $G$  的关联矩阵中任意删除一行后所得之矩阵，叫做  $G$  的基本关联矩阵，记之为  $B_f(G)$ 。

**定理 7** 连通图  $G$  的关联矩阵秩为  $v-1$ 。

**证** 因为关联矩阵的每一行皆  $\mathcal{S}(G)$  中的向量，所以  $r(B) \leq$



$v-1$ , 下证  $r(B) \geq v-1$ . 反证之, 若  $r(B) < v-1$ , 则  $B$  中任  $v-1$  行线性相关, 即对行向量  $B_{i_1}, B_{i_2}, \dots, B_{i_{v-1}}$ , 存在不全为 0 的常数,  $k_1, k_2, \dots, k_{v-1} \in F_2$ , 使得

$$\sum_{i=1}^{v-1} k_i B_{i_i} = 0.$$

不妨设  $k_1, \dots, k_{v-1}$  中前  $m$  个皆为 1, 后面的皆为 0,  $2 \leq m \leq v-1$ . 不难看出, 以  $B_{i_1}, B_{i_2}, \dots, B_{i_m}$  为行组成的  $m$  行  $e$  列的子矩阵  $\bar{B}$  每列恰有两个 1, 或每列皆为 0.

我们把  $V(G)$  划分成两个子集:  $V_1 = \{v_{i_1}, v_{i_2}, \dots, v_{i_m}\}$ ,  $V_2 = V - V_1$ . 由  $\bar{B}$  的结构知,  $(V_1, V_2) = \emptyset$ , 又  $V_1 \cap V_2 = \emptyset$ , 于是  $G$  不连通, 与  $G$  为连通图矛盾. 证毕.

**定理 8**  $G$  是连通图, 则  $r(B_f(G)) = v-1$ .

定理 8 的证明与定理 7 的证明雷同.

**推论 1**  $G$  有  $\omega$  个连通片, 则

$$r(B(G)) = r(B_f(G)) + v - \omega$$

**推论 2**  $G$  是连通图的充要条件是

$$r(B(G)) = r(B_f(G)) = v-1.$$

**定理 9**  $e_{i_1}, e_{i_2}, \dots, e_{i_{v-1}}$  是图  $G$  的生成树的边, 当且仅当这  $v-1$  条边在  $B_f(G)$  中对应的列构成的行列式不为零.

**证** 设定理 9 所称的行列式对应的矩阵为  $B_1$ , 以  $B_1$  为基本关联矩阵的图为  $G[\{e_{i_1}, e_{i_2}, \dots, e_{i_{v-1}}\}]$ , 它有  $v$  个顶,  $v-1$  条边. 又行列式  $|B_1| \neq 0$ , 即  $r(B_1) = v-1$ , 由本节推论 2,  $G[\{e_{i_1}, e_{i_2}, \dots, e_{i_{v-1}}\}]$  是连通图. 又它的边数是顶数减 1, 故  $G[\{e_{i_1}, \dots, e_{i_{v-1}}\}]$  是树, 即它是  $G$  的生成树.

反之, 若  $e_{i_1}, \dots, e_{i_{v-1}}$  是  $G$  的生成树之边,  $G[\{e_{i_1}, \dots, e_{i_{v-1}}\}]$  的基本关联矩阵是  $B_1$ , 故  $r(B_1) = v-1$ ,  $B_1$  为满秩方阵, 故  $|B_1| \neq 0$ . 证毕.

对于比较小的图，用定理 9 可以给出生成树的一个清单。

**例 3** 求出图 13.7 中所有的生成树。

**解** 取图 13.7 中  $K_4$  的一个基本关联矩阵如下：

$$B_f(K_4) = \begin{matrix} & e_1 & e_2 & e_3 & e_4 & e_5 & e_6 \\ \begin{pmatrix} 1 & 1 & 0 & 0 & 0 & 1 \\ 0 & 1 & 1 & 0 & 1 & 0 \\ 1 & 0 & 1 & 1 & 0 & 0 \end{pmatrix} \end{matrix}$$

$$\begin{matrix} e_1 & e_2 & e_3 \\ \begin{vmatrix} 1 & 1 & 0 \\ 0 & 1 & 1 \\ 1 & 0 & 1 \end{vmatrix} = 0, \end{matrix}$$

$$\begin{matrix} e_1 & e_2 & e_4 \\ \begin{vmatrix} 1 & 1 & 0 \\ 0 & 1 & 0 \\ 1 & 0 & 0 \end{vmatrix} = 1, \end{matrix}$$

$$\begin{matrix} e_1 & e_2 & e_5 \\ \begin{vmatrix} 1 & 1 & 0 \\ 0 & 1 & 1 \\ 1 & 0 & 0 \end{vmatrix} = 1, \end{matrix}$$

$$\begin{matrix} e_1 & e_2 & e_6 \\ \begin{vmatrix} 1 & 1 & 0 \\ 0 & 1 & 1 \\ 1 & 0 & 0 \end{vmatrix} = 1, \end{matrix}$$

$$\begin{matrix} e_1 & e_3 & e_4 \\ \begin{vmatrix} 1 & 0 & 0 \\ 0 & 1 & 0 \\ 1 & 1 & 1 \end{vmatrix} = -1 = 1, \end{matrix}$$

$$\begin{matrix} e_1 & e_3 & e_5 \\ \begin{vmatrix} 1 & 0 & 0 \\ 0 & 0 & 1 \\ 1 & 1 & 0 \end{vmatrix} = -1 = 1, \end{matrix}$$

$$\begin{matrix} e_1 & e_3 & e_6 \\ \begin{vmatrix} 1 & 0 & 1 \\ 0 & 1 & 0 \\ 1 & 1 & 0 \end{vmatrix} = -1 = 1, \end{matrix}$$

$$\begin{matrix} e_1 & e_4 & e_5 \\ \begin{vmatrix} 1 & 0 & 0 \\ 0 & 0 & 1 \\ 1 & 1 & 0 \end{vmatrix} = -1 = 1, \end{matrix}$$

$$\begin{matrix} e_1 & e_4 & e_6 \\ \begin{vmatrix} 1 & 0 & 1 \\ 0 & 0 & 0 \\ 1 & 1 & 0 \end{vmatrix} = 0, \end{matrix}$$

$$\begin{matrix} e_1 & e_5 & e_6 \\ \begin{vmatrix} 1 & 0 & 1 \\ 0 & 1 & 0 \\ 1 & 0 & 0 \end{vmatrix} = -1 = 1, \end{matrix}$$

$$\begin{matrix} e_2 & e_3 & e_4 \\ \begin{vmatrix} 1 & 0 & 0 \\ 1 & 1 & 0 \\ 0 & 1 & 1 \end{vmatrix} = 1, \end{matrix}$$

$$\begin{matrix} e_2 & e_3 & e_5 \\ \begin{vmatrix} 1 & 0 & 0 \\ 1 & 1 & 1 \\ 0 & 1 & 0 \end{vmatrix} = -1 = 1, \end{matrix}$$

$$\begin{matrix} e_2 & e_3 & e_6 \\ \begin{vmatrix} 1 & 0 & 1 \\ 1 & 1 & 0 \\ 0 & 1 & 0 \end{vmatrix} = 1, \end{matrix}$$

$$\begin{matrix} e_2 & e_4 & e_5 \\ \begin{vmatrix} 1 & 0 & 0 \\ 1 & 0 & 1 \\ 0 & 1 & 0 \end{vmatrix} = -1 = 1, \end{matrix}$$

$$\begin{matrix} e_2 & e_4 & e_6 \\ \begin{vmatrix} 1 & 0 & 1 \\ 1 & 0 & 0 \\ 0 & 1 & 0 \end{vmatrix} = 1, \end{matrix}$$

$$\begin{array}{ccc}
\begin{array}{c} e_2 \ e_5 \ e_6 \\ \begin{vmatrix} 1 & 0 & 1 \\ 1 & 1 & 0 \\ 0 & 0 & 0 \end{vmatrix} = 0, \end{array} & 
\begin{array}{c} e_3 \ e_4 \ e_5 \\ \begin{vmatrix} 0 & 0 & 0 \\ 1 & 0 & 1 \\ 1 & 1 & 0 \end{vmatrix} = 0, \end{array} & 
\begin{array}{c} e_3 \ e_4 \ e_6 \\ \begin{vmatrix} 0 & 0 & 1 \\ 1 & 0 & 0 \\ 1 & 1 & 0 \end{vmatrix} = 1, \end{array} \\
\begin{array}{c} e_3 \ e_5 \ e_6 \\ \begin{vmatrix} 0 & 0 & 1 \\ 1 & 1 & 0 \\ 1 & 0 & 0 \end{vmatrix} = -1 = 1, \end{array} & 
\begin{array}{c} e_4 \ e_5 \ e_6 \\ \begin{vmatrix} 0 & 0 & 1 \\ 0 & 1 & 0 \\ 1 & 0 & 0 \end{vmatrix} = -1 = 1. \end{array} & 
\end{array}$$

由上述  $\binom{6}{3} = 20$  个行列式中考虑不为 0 者, 知:

$$\begin{aligned}
& \{e_1, e_2, e_4\}, \{e_1, e_2, e_5\}, \{e_1, e_2, e_6\}, \{e_1, e_3, e_4\}, \\
& \{e_1, e_3, e_5\}, \{e_1, e_3, e_6\}, \{e_1, e_4, e_5\}, \{e_1, e_5, e_6\}, \\
& \{e_2, e_3, e_4\}, \{e_2, e_3, e_5\}, \{e_2, e_3, e_6\}, \{e_2, e_4, e_5\}, \\
& \{e_2, e_4, e_6\}, \{e_3, e_4, e_5\}, \{e_3, e_5, e_6\}, \{e_4, e_5, e_6\}.
\end{aligned}$$

导出 16 个生成树.

这个结果符合 Caylay 公式  $\tau(G) = v^{v-2} = 4^{4-2} = 16$ .

## 13.4 圈 矩 阵

本节只讨论连通图.

**定义 7** 由图  $G$  的每个圈上的边集在  $\mathcal{C}(G)$  中的向量为行

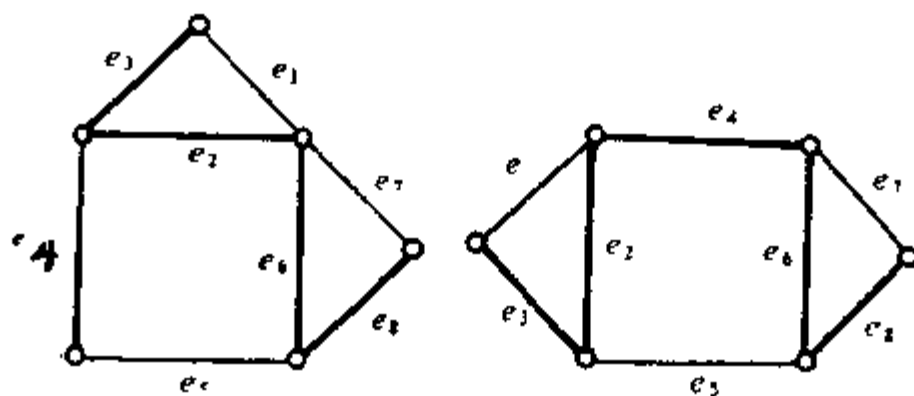


图 13.8

构成的矩阵叫做  $G$  的圈矩阵, 记之为  $C(G)$ ; 取定生成树, 由每个基本圈上的边集在  $\mathcal{E}(G)$  中的向量为行组成的矩阵叫做基本圈矩阵, 记之为  $C_f(G)$ .

例如图 13.8 中的两个图, 以  $\{e_2, e_3, e_4, e_6, e_8\}$  导出生成树, 则得

$$C(G_1) = C(G_2) = \begin{matrix} & e_1 & e_2 & e_3 & e_4 & e_5 & e_6 & e_7 & e_8 \\ \begin{matrix} c_1 \\ c_2 \\ c_3 \\ c_4 \\ c_5 \\ c_6 \end{matrix} & \begin{pmatrix} 1 & 1 & 1 & 0 & 0 & 0 & 0 & 0 \\ 0 & 1 & 0 & 1 & 1 & 1 & 0 & 0 \\ 0 & 0 & 0 & 0 & 0 & 1 & 1 & 1 \\ 1 & 0 & 1 & 1 & 1 & 1 & 0 & 0 \\ 0 & 1 & 0 & 1 & 1 & 0 & 1 & 1 \\ 1 & 0 & 1 & 1 & 1 & 0 & 1 & 1 \end{pmatrix} \end{matrix},$$

这个矩阵中前三行是  $C_f(G_1) = C_f(G_2)$ .

值得注意的是, 这里  $G_1$  与  $G_2$  并不同构, 但它们却有相同的圈矩阵与基本圈矩阵. 可见, 凭圈矩阵或基圈矩阵不能确定一个图到同构的程度, 这是  $C(G)$  与  $C_f(G)$  的缺点, 但它仍不失为研究图的性质, 尤其是解决网络问题的有力工具之一.

因为  $e - v + 1$  个基本圈是  $\mathcal{E}(G)$  的一个基底, 故有

$$r(C_f) = r(C(G)) = e - v + 1.$$

由于  $B$  的行属于  $\mathcal{S}(G)$ , 而  $\mathcal{S}(G)$  与  $\mathcal{E}(G)$  有正交性, 故

$$B \cdot C^T = C \cdot B^T = 0 \quad (0 \text{ 阵}).$$

若把边的号码调整成余树的边从 1 号到  $e - v + 1$  号, 且把含第  $i$  边的基圈记成  $C_i$ , 则图  $G$  的基本圈矩阵为

$$C_f(G) = [I : C_{f,2}],$$

其中  $I$  是  $e - v + 1$  阶单位矩阵,  $C_{f,2}$  的列对应着生成树的边.

**定理 10** 若  $G$  是连通图, 关于生成树  $T$ ,

$$C_f = [I : C_{f,2}], \quad B_f = [B_{f,1} : B_{f,2}],$$

其中  $C_{f,2}$  与  $B_{f,2}$  的列对应每  $T$  的边, 则

$$C_f = [I : B_{f,1}^T (B_{f,2}^T)^{-1}].$$

证 由  $\mathcal{C}(G)$  与  $\mathcal{S}(G)$  中向量的正交性得

$$0 = C_l B_l^T = [I : C_{l,2}] \begin{bmatrix} B_{11}^T \\ \vdots \\ B_1^T \end{bmatrix} = B_{11}^T + C_{l,2} B_{12}^T,$$

所以有

$$B_{11}^T = -C_{l,2} B_{12}^T.$$

又  $B_{12}$  的列对应生成树  $T$  的边, 由定理 9,  $|B_{12}^T| \neq 0$ , 于是  $(B_{12}^T)^{-1}$  存在, 故得

$$\begin{aligned} C_{l,2} &= B_{11}^T (B_{12}^T)^{-1}, \\ C_l(G) &= [I : B_{11}^T (B_{12}^T)^{-1}]. \end{aligned}$$

证毕.

定理 10 给出由基本关联矩阵求基本圈矩阵乃至  $\mathcal{C}(G)$  中一切向量的一种计算方法. 这种现象是可以理解的, 因为由基本关联矩阵  $B_l(G)$  可以求得关联阵  $B(G)$ , 就能把相应的图画出来. 可见, 已知基本关联矩阵, 就是已知一个图, 自然可以求得这个图的基本圈矩阵.

## 13.5 割集矩阵

本节只谈连通图.

**定义 8**  $\mathcal{S}(G)$  中的全体割集向量为行构成的矩阵为连通图  $G$  的圈集矩阵, 记成  $S(G)$ ; 全体基本割集向量为行组成的矩阵为基本割集矩阵, 记成  $S_l(G)$ .

例如图 13.7,  $e=6$ ,  $v=4$ , 则基本割集有三个. 对于  $\{e_1, e_2, e_3\}$  导出的生成树, 基本割集为

$$S_1 = \{e_1, e_2, e_3\}, S_2 = \{e_1, e_2, e_6\}, S_3 = \{e_2, e_3, e_5\}.$$

基本割集矩阵为

$$S_l(G) = \begin{bmatrix} 1 & 0 & 1 & 1 & 0 & 0 \\ 1 & 1 & 0 & 0 & 0 & 1 \\ 0 & 1 & 1 & 0 & 1 & 0 \end{bmatrix}.$$

割集除  $S_1, S_2, S_3$  外, 还有:

$$S_4 = \{e_1, e_2, e_6\}, S_5 = \{e_2, e_3, e_4, e_6\},$$

$$S_6 = \{e_1, e_3, e_5, e_6\}, S_7 = \{e_1, e_2, e_4, e_5\}.$$

割集矩阵为

$$S(G) = \begin{pmatrix} 1 & 0 & 1 & 1 & 0 & 0 \\ 1 & 1 & 0 & 0 & 0 & 1 \\ 0 & 1 & 1 & 0 & 1 & 0 \\ 0 & 0 & 0 & 1 & 1 & 1 \\ 0 & 1 & 1 & 1 & 0 & 1 \\ 1 & 0 & 1 & 0 & 1 & 1 \\ 1 & 1 & 0 & 1 & 0 & 1 \end{pmatrix}.$$

对于割集矩阵与基本割集矩阵, 显然有

$$r(S(G)) = r(S_f(G)) = v - 1,$$

$$C(G)(S(G))^T = S(G) \cdot (C(G))^T = 0,$$

$$C_f(G) \cdot (S_f(G))^T = S_f(G) \cdot (C_f(G))^T = 0.$$

**定理 11** 设  $G$  是连通图, 关于生成树  $T$ , 基本圈连阵为

$$C_f = [I : C_{f,12}],$$

基本割集矩阵为

$$S_f = [S_{f,11} : I],$$

其中  $C_{f,12}$  的列对应  $T$  的边,  $S_{f,11}$  的列对应余树边, 则

$$S_{f,11} = C_{f,12}^T.$$

$$\text{证 } 0 = S_f \cdot (C_f)^T = [S_{f,11} : I] \begin{bmatrix} I \\ \cdots \\ C_{f,12}^T \end{bmatrix} = S_{f,11} + C_{f,12}^T,$$

我们在  $F_2$  中计算, 故有

$$S_{f,11} = C_{f,12}^T.$$

证毕。

定理11告知, 可以由基本圈矩阵求得基本割集矩阵, 从而可以由基本关联矩阵求得基本割集矩阵。

## 13.6 邻接矩阵和道路矩阵

本节的计算在实数域中进行。

**定义 9** 称矩阵  $A = (a_{ij})_{v \times v}$  是标志图  $G$  的邻接矩阵,

其中

$$a_{ij} = \begin{cases} 1, & v_i v_j \in E(G), \\ 0, & v_i v_j \notin E(G). \end{cases}$$

例如  $K_v$  的邻接矩阵是  $(1)_{v \times v} - I$ , 其中  $(1)_{v \times v}$  是每个元素皆为 1 的  $v$  阶方阵,  $I$  是  $v$  阶单位阵; 一般地,  $G$  的邻接阵  $A(G)$  是主对角线上皆为 0 的对称 0-1 方阵. 每一行的和是该行对应的顶之次数.

和关联矩阵一样,  $A(G)$  中含有图  $G$  的一切性质, 我们可以根据  $A(G)$  把图  $G$  画出; 所以, 原则上, 欲研究图  $G$ , 只需研究其邻接矩阵  $A(G)$ .

**定理 12** 设  $A(G)$  是  $G$  的邻接矩阵,  $G$  中从  $v_i$  到  $v_j$  长为  $k$  的道路的条数为  $A^k$  中  $i, j$  号元素.

**证** 对  $k$  进行归纳证明.  $k=1$  时,  $A^k = A$ , 由  $A$  之定义, 定理 12 的结论为真. 假设  $k \leq n$  时, 定理 12 已真, 要证  $k=n+1$  时定理 12 仍真.

令  $a_{ij}$  是  $A$  的  $i, j$  号元素,  $a_{ij}^{(n)}$  是  $A^n$  的  $i, j$  号元素, 则  $A^{n+1}$  的  $i, j$  号元素为

$$a_{ij}^{(n+1)} = a_{i1}^{(n)} a_{1j} + a_{i2}^{(n)} a_{2j} + \cdots + a_{iv}^{(n)} a_{vj}.$$

而从  $v_i$  到  $v_j$  长  $n+1$  的道路无非是从  $v_i$  经  $n$  步到某顶  $v_k$ ,  $1 \leq k \leq v$ , 再由  $v_k$  走一步到  $v_j$ . 由归纳法假设, 从  $v_i$  到  $v_k$  长  $n$  的道路共计  $a_{ik}^{(n)}$  条, 由  $v_k$  到  $v_j$  长 1 的道路  $a_{kj}$  条, 所以长  $n+1$  的道路  $v_i \cdots v_k v_j$  共有  $a_{ik}^{(n)} a_{kj}$  条, 令  $k=1, 2, \cdots, v$ , 于是长  $n+1$  的

从  $v_i$  中经  $v_k$  (共  $v$  个中转顶  $v_k$ ) 到达  $v_j$  的道路共计  $\sum_{k=1}^v a_{ik}^{(n)} a_{kj}$ ,

这正是  $A^{(i+j)}$  中第  $i, j$  号元素. 证毕.

注意, 定理 12 中的道路未必是轨道.

**例 4**  $A = \begin{pmatrix} 0 & 1 \\ 1 & 0 \end{pmatrix}$ , 求  $A^k = ? k \in N$ .

**解** 考虑  $V = \{v_1, v_2\}$  的连通图  $K_2$ , 则  $A$  恰为  $K_2$  的邻接矩阵, 当  $k$  为奇数时, 从  $v_1$  到  $v_1$  的长  $k$  的道路及从  $v_2$  到  $v_2$  的长  $k$  的道路不存在; 而从  $v_1$  到  $v_2$  的长  $k$  的道路恰有 1 条, 故由定理 12,

$$A^k = A \quad (k \text{ 为奇数}).$$

当  $k$  为偶数时, 从  $v_1$  到  $v_2$  的长  $k$  的道路不存在, 从  $v_1$  到  $v_1$ , 从  $v_2$  到  $v_2$  长  $k$  的道路恰一条, 故由定理 12 得

$$A^k = I \quad (k \text{ 为偶数})$$

其中  $I$  是 2 阶单位阵.

**例 5** 我方两名军事人员与敌方两名军事人员同到某现场视察, 途中要经过一条河, 现只有一只小船, 每次最多能乘二人, 为安全起见, 敌我双方同时在场时, 我方人员不能少于敌方人员, 船过一次河要 10 分钟, 问最短几分钟能使双方人员都渡过河去?

**解** 用  $(m, n, l)$  表示左岸有我  $m$  人, 敌  $n$  人;  $(m, n, r)$  表示右岸有我  $m$  人, 敌  $n$  人. 从左岸到右岸去, 全部可能的状态为  $v_1 = (2, 2, l), v_2 = (2, 1, l), v_3 = (1, 1, l), v_4 = (2, 0, l), v_5 = (0, 2, l), v_6 = (0, 1, l); v_7 = (2, 2, r), v_8 = (2, 1, r), v_9 = (1, 1, r),$

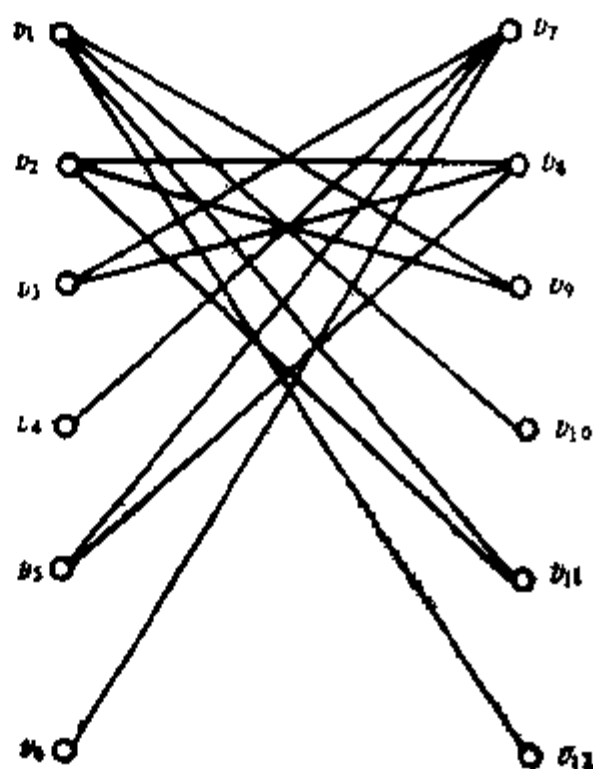


图 13.9



$$v_{10} = (2, 0, r), v_{11} = (0, 2, r), v_{12} = (0, 1, r).$$

渡河可视为状态转移. 我们以  $V = \{v_1, v_2, \dots, v_{12}\}$  为顶集合, 可以互相转移的两种状态之间连一条边, 得到一个二分图 (图13.9). 图13.9的邻接矩阵为

$$A(G) = \begin{bmatrix} 0 & \bar{A} \\ \bar{A} & 0 \end{bmatrix}_{12 \times 12},$$

其中

$$\bar{A} = \begin{bmatrix} 0 & 0 & 1 & 1 & 1 & 1 \\ 0 & 1 & 1 & 0 & 1 & 0 \\ 1 & 1 & 0 & 0 & 0 & 0 \\ 1 & 0 & 0 & 0 & 0 & 0 \\ 1 & 1 & 0 & 0 & 0 & 0 \\ 1 & 0 & 0 & 0 & 0 & 0 \end{bmatrix},$$

显然有

$$A^k = \begin{cases} \begin{bmatrix} \bar{A}^k & 0 \\ 0 & \bar{A}^k \end{bmatrix}, & k \text{ 为偶数;} \\ \begin{bmatrix} 0 & \bar{A}^k \\ \bar{A}^k & 0 \end{bmatrix}, & k \text{ 为奇数.} \end{cases}$$

用  $a_{ij}$  记  $A$  中元素,  $a_{ij}^{(k)}$  记  $A^k$  中  $i, j$  号元素, 我们的目标是求使  $a_{17}^{(k)} \neq 0$  的最小自然数  $k$ . 经计算,  $a_{17}^{(1)} = a_{17}^{(3)} = 0, a_{17}^{(5)} = 4$ , 即小船至少五次过河才能把 4 人全运到右岸, 共需 50 分钟.

由  $a_{17}^{(5)} = 4$ , 说明有四种不同的过河方案.

下面用邻接矩阵及  $1+1=1$  的逻辑运算引入道路矩阵的概念.

**定义 10** 图  $G$  的通路矩阵是指

$$P(G) = \bigvee_{k=1}^v A^{(k)}(G),$$

其中  $\bigvee_{k=1}^v$  是逻辑和,  $A^{(k)}$  是  $A$  的逻辑  $k$  次方, 运算中加法按  $1+1$

$\equiv 1$  进行,  $A(G)$  是  $G$  的邻接矩阵.

如果只是定性地关心顶  $v_i$  与  $v_j$  之间有无道路, 而对  $v_i$  与  $v_j$  之间道路的数目及长度不感兴趣时, 道路矩阵  $P(G)$  可以回答我们所关心的问题,  $P(G)$  中  $i, j$  号元素为 1, 当且仅当  $v_i$  与  $v_j$  之间有道路.  $G$  是连通图的充要条件是  $P(G)$  中的元素皆为 1.

## 13.7 开关网络

开关网络是计算机设计与通讯系统等方面的重要课题. 我们只讨论简单接触网络.

一个开关电路可以抽象成一个无向加权图, 例如图 13.10 是实际的开关电路, 图 13.11 是相应的无向加权图. 其中权

$$x_i = \begin{cases} 1, & \text{开关 } x_i \text{ 接通;} \\ 0, & \text{开关 } x_i \text{ 断开.} \end{cases} \quad i = 1, 2, \dots, 5.$$

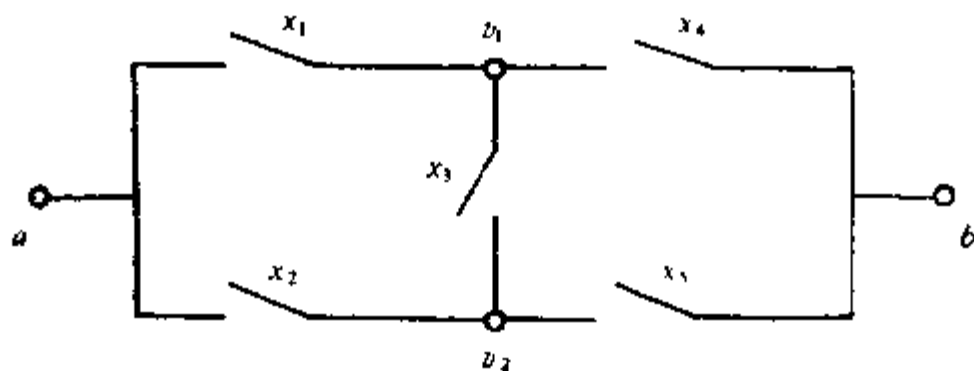


图 13.10

**定义 11** 开关网络是一个无向加权图  $G$ , 边的权为  $w(e_i) = x_i$ ,  $e_i \in E(G)$ ,  $i = 1, 2, \dots, e$ ,  $x_i \in \{0, 1\}$ , 把开关网络记成  $N(G, x_i)$ , 若  $a, b \in V(G)$ ,  $a, b$  之间共有  $n$  条不同的轨  $P_{ab}^{(k)}$ ,  $k = 1, 2, \dots, n$ , 令

$$f_{ab} = \sum_{k=1}^n \prod_{ab}^{(k)},$$

其中  $\prod_{ab}^{(k)}$  是轨  $P_{ab}^{(k)}$  的边权之积, 这里的加法按  $1+1=1$  执行,

则称  $f_{a,b}$  为关于  $a$  与  $b$  的开关函数. 当  $N(G, x_i)$  中各边之权  $x_i$  皆独立变量时,  $N(G, x_i)$  叫做简单接触网络.

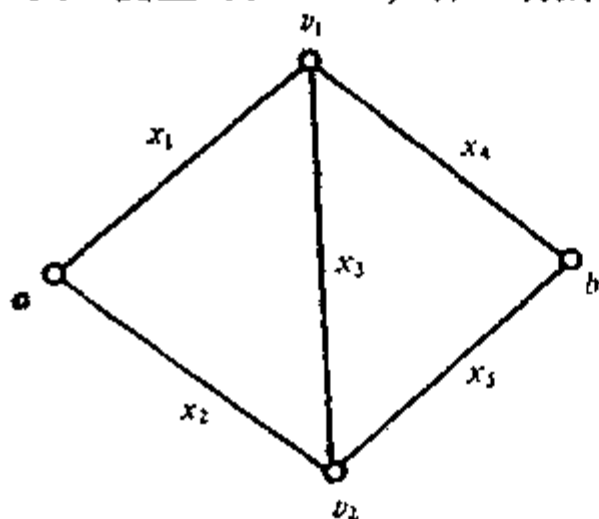


图 13.11

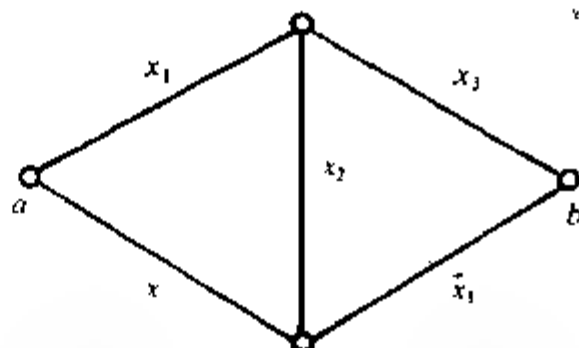


图 13.12

例如图 13.11 中的网络就是简单开关网络, 它的开关函数

$$f_{a,b} = x_1 x_4 + x_1 x_3 x_5 + x_2 x_3 + x_2 x_3 x_4.$$

而图 13.12 中的网络不是简单接触网络, 它的开关函数为

$$\begin{aligned} f_{a,b} &= x_1 x_3 + x_1 x_2 \bar{x}_1 + x_3 \bar{x}_1 + x_3 x_2 x_3 \\ &= x_1 x_3 + x_3 x_1 + x_2 x_3 = x_3 (x_1 + \bar{x}_1 + x_2) = x_3. \end{aligned}$$

$f_{a,b} = x_3$  表明只要把  $x_3$  这个开关接通,  $a$  与  $b$  则接通; 只要把  $x_3$  这个开关断开,  $a$  与  $b$  则断开, 电路中  $x_1$  与  $x_2$  的开关是无效的, 可以拆除, 以免浪费.

下面 (图 13.13) 是一个常用的非简单开关网络. 它的开关函数为

$$f_{a,b} = x_1 \bar{x}_2 + \bar{x}_1 x_2,$$

函数表为

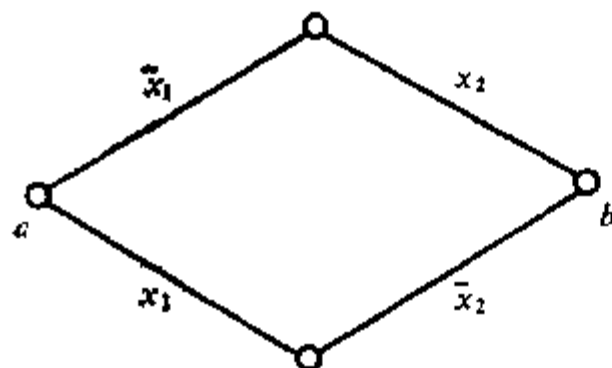


图 11.13

$x_1$	$x_2$	$f_{a,b}$
0	0	0
0	1	1
1	0	1
1	1	0

由此表可以看出，只变化  $x_1$  与  $x_2$  其中之一，则会引起  $f_{a,b}$  的变化，由此可以设计出一个电灯开关电路，楼上楼下各设一开关，使得楼上与楼下都可以随意开关同一盏电灯，见图 13.14。

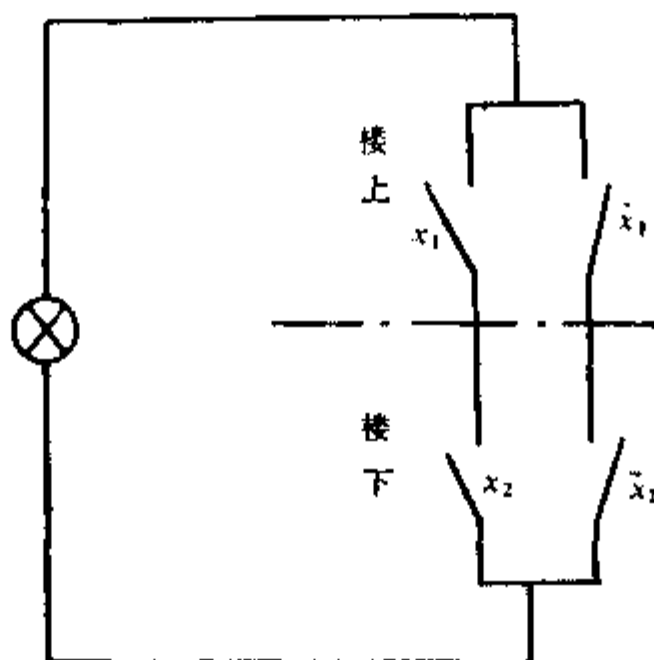


图 13.14

我们只关心  $a$  与  $b$  是否接通，所以采用逻辑运算。

$$f_{a,b} = \sum_{k=1}^n \Pi_{a,b}^{(k)} = \begin{cases} 1 \iff \exists k = k_0, \text{ } \Pi_{a,b}^{(k_0)} \text{ 边权皆 } 1 \iff \Pi_{a,b}^{(k_0)} \text{ 接通;} \\ 0 \iff a \text{ 与 } b \text{ 断开.} \end{cases}$$

$f_{a,b}$  的值叫做  $a, b$  间的**传输**。 $f_{a,b}$  的表达式表现了  $a$  与  $b$  接通的所有方式。我们的中心问题是，设计满足给定开关函数  $f_{a,b}$  的简单开关网络。但是，如果只要求满足开关函数，开关网络的设计是不成问题的，例如已知开关函数为

$$f_{a,b} = x_1 x_4 + x_1 x_3 x_5 + x_2 x_5 + x_2 x_3 x_4,$$

可以取相应的开关电路如图 13.15 所示；其实图 13.11 亦满足这个开关函数，而且用的开关比图 13.15 中的少；事实上，图 13.15 不是简单开关网络，有些边上的权是相同的，而非独立的，在节省开关个数的意义下，简单开关网络是最优的。

为解决简单开关网络的设计，我们首先建立两个引理。

引理 1 设  $G = \bigcup_{i=1}^m P_{ab}^{(i)}$ ,  $P_{ab}^{(i)}$  是以  $a, b$  为起讫点的轨,

$e_0 = ab \in E(G)$ , 对  $G$  中不含  $e_0$  的圈  $C$ , 存在两条轨  $P'_{ab}$  与  $P''_{ab}$ , 使得

$$E(C) = E(P'_{ab}) \oplus E(P''_{ab}).$$

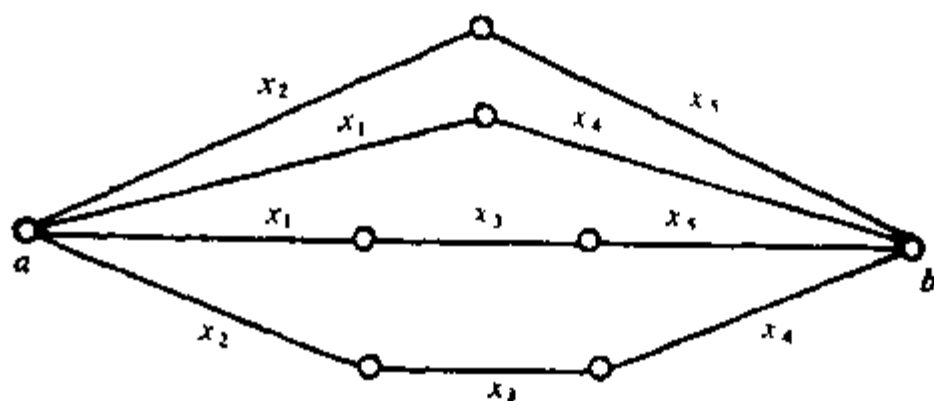


图 13.15

证 (1) 若  $a, b$  在  $C$  上, 则引理 1 自然成立, 这时取圈  $C$  被  $a, b$  分隔的两个弧分别为  $P'_{ab}$  与  $P''_{ab}$ .

(2)  $a$  与  $b$  只有一个顶点在  $C$  上, 不妨设  $a$  在  $C$  上. 设  $P(b, u)$  是  $G$  上一条轨,  $u$  在  $C$  上, 但  $u \neq a$ , 这种轨, 由于  $G$  的构造特点, 一定存在, 不妨设  $P(b, u)$  是这种轨中的最短者 (图 13.16).

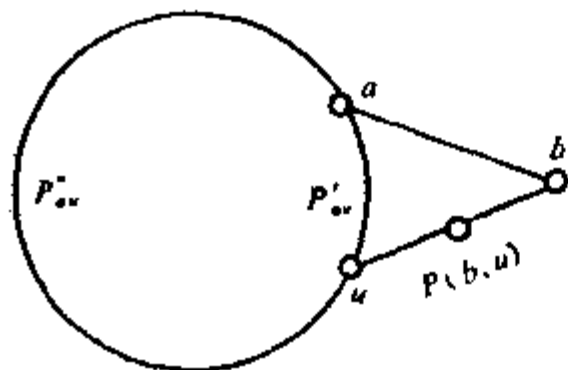


图 13.16

$a$  与  $u$  把  $C$  分成两条轨  $P'(a, u)$  与  $P''(a, u)$ , 取  $P'_{ab} = P(b, u) \cup P'(a, u)$ ,  $P''_{ab} = P(b, u) \cup P''(a, u)$ , 则

$$E(C) = E(P'_{ab}) \oplus E(P''_{ab}).$$

(3)  $a$  与  $b$  皆不在  $C$  上. 因  $G = \bigcup_{i=1}^m P_{ab}^{(i)}$ , 所以对于  $C$  上的边  $e$ , 存在一条轨  $P_{ab}^{(k)}$ ,  $1 \leq k \leq m$ , 使得  $e$  在  $P_{ab}^{(k)}$  上. 令

$P_{ab}^{(k)}$  与  $C$  的第一个公共顶为  $v$ , 最末一个公共顶为  $w$ ;  $P_{ab}^{(k)}$  上从  $a$  到  $v$  的一段记成  $P_{av}^{(k)}$ ,  $P_{ab}^{(k)}$  上从  $w$  到  $b$  的一段记成  $P_{wb}^{(k)}$ ,  $C$  被  $v, w$  划分成两条轨分别为  $P'_{vw}$  与  $P''_{vw}$ . (图 13.17). 令

$$P'_{ab} = P_{av}^{(k)} \cup P'_{vw} \cup P_{wb}^{(k)},$$

$$P''_{ab} = P_{av}^{(k)} \cup P''_{vw} \cup P_{wb}^{(k)},$$

则

$$E(C) = E(P'_{ab}) \oplus E(P''_{ab})$$

证毕.

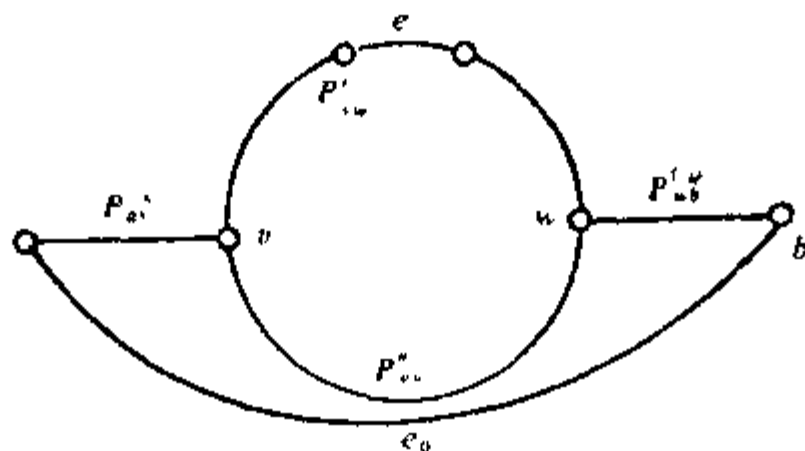


图 13.17

引理 2  $G$  是连通图, 且

$$\bar{C} = [I : *]$$

是由  $\mathcal{C}(G)$  的向量为行构成的  $e - v + 1$  行,  $e$  列的矩阵, 则存在  $G$  的一个生成树, 相应的基本圈矩阵满足

$$\bar{C} = C_f(G),$$

且  $\bar{C}$  中的单位阵  $I$  的列对应的边是余树边.

证 因  $e_1$  只含在  $\bar{C}$  的第一行所对应的无公共边的圈之并中, 故  $G - e_1$  仍连通, 同理

$$G - \{e_1, e_2, \dots, e_{e-v+1}\} = G_0$$

也是连通图. 但

$$|E(G_0)| = e - (e - v + 1) = v - 1,$$

故  $G_0$  是  $G$  的生成树,  $e_1, e_2, \dots, e_{e-v+1}$  是余树边. 下证

$$\bar{C} = C_f(G).$$

事实上,  $\bar{C}$  显然是  $\mathcal{C}(G)$  的一个基底, 对于生成树  $G_0$ , 构造基本圈矩阵,  $C_f(G)$ , 得

$$C_f(G) = [I : \cdot],$$

$C_f(G)$  的行可由  $\bar{C}$  的行线性表出, 由  $\bar{C}$  的构造特点, 必有  $C_f(G)$  的各行与  $\bar{C}$  的对应行相等, 即  $C_f = \bar{C}$ . 证毕.

下面应用上述引理 1 与引理 2, 举例说明如何由已知的开关函数绘制相应的简单开关网络.

**例 6** 已知  $f_{a,b} = x_1 x_2 x_3 x_5 x_7 + x_1 x_3 x_4 x_6 + x_1 x_5 x_6 x_8$   
 $+ x_2 x_8 + x_2 x_3 x_5 x_8 + x_3 x_4 x_6 x_7 x_8 + x_5 x_6 x_7.$

试绘出相应的简单开关网络图.

**解** 此网络中共 8 条边.

(1) 写出  $f_{a,b}$  中各项对应的向量为行组成的矩阵, 因为每一项代表从  $a$  到  $b$  的一条轨, 我们称下面的矩阵为开关函数  $f_{a,b}$  相应的轨矩阵.

$$P_{a,b} = \begin{matrix} & x_1 & x_2 & x_3 & x_4 & x_5 & x_6 & x_7 & x_8 \\ \begin{matrix} 1 \\ 1 \\ 1 \\ 0 \\ 0 \\ 0 \\ 0 \\ 0 \end{matrix} & \begin{pmatrix} 1 & 1 & 1 & 0 & 1 & 0 & 1 & 0 \\ 1 & 0 & 1 & 1 & 0 & 1 & 0 & 0 \\ 1 & 0 & 0 & 0 & 1 & 1 & 0 & 1 \\ 0 & 1 & 0 & 1 & 0 & 0 & 0 & 0 \\ 0 & 1 & 1 & 0 & 1 & 0 & 0 & 1 \\ 0 & 0 & 1 & 1 & 0 & 1 & 1 & 1 \\ 0 & 0 & 0 & 0 & 1 & 1 & 1 & 0 \end{pmatrix} \end{matrix}.$$

(2) 令  $x_0 = ab$ , 写出  $G + x_0$  中含  $x_0$  的圈的矩阵

$$C_1 = \begin{matrix} & x_1 & x_2 & x_3 & x_4 & x_5 & x_6 & x_7 & x_8 & x_0 \\ \begin{matrix} 1 \\ 1 \\ 1 \\ 0 \\ 0 \\ 0 \\ 0 \\ 0 \end{matrix} & \begin{pmatrix} 1 & 1 & 1 & 0 & 1 & 0 & 1 & 0 & 1 \\ 1 & 0 & 1 & 1 & 0 & 1 & 0 & 0 & 1 \\ 1 & 0 & 0 & 0 & 1 & 1 & 0 & 1 & 1 \\ 0 & 1 & 0 & 1 & 0 & 0 & 0 & 0 & 1 \\ 0 & 1 & 1 & 0 & 1 & 0 & 0 & 1 & 1 \\ 0 & 0 & 1 & 1 & 0 & 1 & 1 & 1 & 1 \\ 0 & 0 & 0 & 0 & 1 & 1 & 1 & 0 & 1 \end{pmatrix} \end{matrix}.$$

(3) 通过  $C_1$  的行与列的初等变换求出 (在  $F_2$  中)  $C_1(G+x_0)$ 。经行的初等变换及调换列的次序, 得

$$\bar{C}_1 = \begin{matrix} & x_1 & x_4 & x_8 & x_6 & x_2 & x_3 & x_5 & x_7 & x_0 \\ \begin{matrix} 1 \\ 0 \\ 0 \\ 0 \\ 0 \\ 0 \\ 0 \end{matrix} & \begin{pmatrix} 0 & 0 & 0 & 0 & 1 & 1 & 1 & 1 & 1 \\ 1 & 0 & 0 & 0 & 1 & 0 & 0 & 0 & 1 \\ 0 & 1 & 0 & 0 & 1 & 1 & 1 & 0 & 1 \\ 0 & 0 & 1 & 0 & 1 & 0 & 1 & 1 & 1 \\ 0 & 0 & 0 & 1 & 0 & 0 & 1 & 1 & 1 \\ 0 & 0 & 0 & 0 & 0 & 0 & 0 & 0 & 0 \\ 0 & 0 & 0 & 0 & 0 & 0 & 0 & 0 & 0 \end{pmatrix} \end{matrix}$$

我们按  $x_1, x_4, x_8, x_6, x_2, x_3, x_5, x_7, x_0$  把  $G+x_0$  的边排序, 由引理 1,  $G+x_0$  的基本圈向量可由  $C_1$  的行线性表出; 而  $\bar{C}_1$  是由  $C_1$  的行初等变换而得, 故  $C_1$  的每一行可由  $\bar{C}_1$  的前四行线性表出, 进而知用  $\bar{C}_1$  的前四行可以线性表出  $G+x_0$  的每一基圈向量, 又  $\bar{C}_1$  的前四行线性无关, 可见  $\bar{C}_1$  的前四行是  $\mathcal{B}(G+x_0)$  的基底阵, 故知  $G+x_0$  有 9 条边,  $4 = e - v + 1 = 9 - v + 1$ , 可知  $v = 6$ 。由引理 2, 存在一个  $G+x_0$  的生成树  $T$ , 使得关于  $T$  的基本圈矩阵  $C_1(G+x_0)$  就是  $\bar{C}_1$  中前四行组成的矩阵。且  $x_1, x_4, x_8, x_6$  是  $G+x_0$  余树边。

(4) 由  $C_1(G+x_0)$  求出  $S_1(G+x_0)$ 。用定理 11 得

$$S_1(G+x_0) = \begin{matrix} & x_1 & x_4 & x_8 & x_6 & x_2 & x_3 & x_5 & x_7 & x_0 \\ \begin{matrix} 1 \\ 1 \\ 1 \\ 1 \\ 1 \end{matrix} & \begin{pmatrix} 1 & 1 & 1 & 0 & 1 & 0 & 0 & 0 & 0 \\ 1 & 0 & 1 & 0 & 0 & 1 & 0 & 0 & 0 \\ 1 & 0 & 1 & 1 & 0 & 0 & 1 & 0 & 0 \\ 1 & 0 & 0 & 1 & 0 & 0 & 0 & 1 & 0 \\ 1 & 1 & 1 & 1 & 0 & 0 & 0 & 0 & 1 \end{pmatrix} \end{matrix}$$

(5) 由  $S_1(G+x_0)$  求出  $B(G+x_0)$ 。因为  $B_1(G+x_0)$  的行可由  $S_1(G+x_0)$  的行线性表出, 我们对  $S_1(G+x_0)$  进行的初等变换, 得到了每列最多两个 1 的矩阵, 即得到了图  $G+x_0$ 。



的基本关联矩阵  $B_f(G+x_0)$ :

$$B_f(G+x_0) = \begin{matrix} & x_1 & x_4 & x_8 & x_6 & x_2 & x_3 & x_5 & x_7 & x_0 \\ \left( \begin{array}{ccccccccc} 0 & 0 & 0 & 1 & 1 & 0 & 0 & 0 & 1 \\ 1 & 0 & 1 & 0 & 0 & 1 & 0 & 0 & 0 \\ 0 & 0 & 1 & 0 & 0 & 0 & 1 & 1 & 0 \\ 1 & 0 & 0 & 1 & 0 & 0 & 0 & 1 & 0 \\ 0 & 1 & 0 & 0 & 0 & 0 & 1 & 0 & 1 \end{array} \right) \end{matrix}.$$

(6) 把  $B_f(G+x_0)$  的各列相加 (在  $F_2$  中) 得  $B(G+x_0)$ :

$$B(G+x_0) = \begin{matrix} & x_1 & x_4 & x_8 & x_6 & x_2 & x_3 & x_5 & x_7 & x_0 \\ \left( \begin{array}{ccccccccc} a & 0 & 0 & 0 & 1 & 1 & 0 & 0 & 0 & 1 \\ v_1 & 1 & 0 & 1 & 0 & 0 & 1 & 0 & 0 & 0 \\ v_2 & 0 & 0 & 1 & 0 & 0 & 0 & 1 & 1 & 0 \\ v_3 & 1 & 0 & 0 & 1 & 0 & 0 & 0 & 1 & 0 \\ b & 0 & 1 & 0 & 0 & 0 & 0 & 1 & 0 & 1 \\ v_4 & 0 & 1 & 0 & 0 & 1 & 1 & 0 & 0 & 0 \end{array} \right) \end{matrix}$$

(7) 根据  $B(G+x_0)$  绘制开关网络如图 13.18.

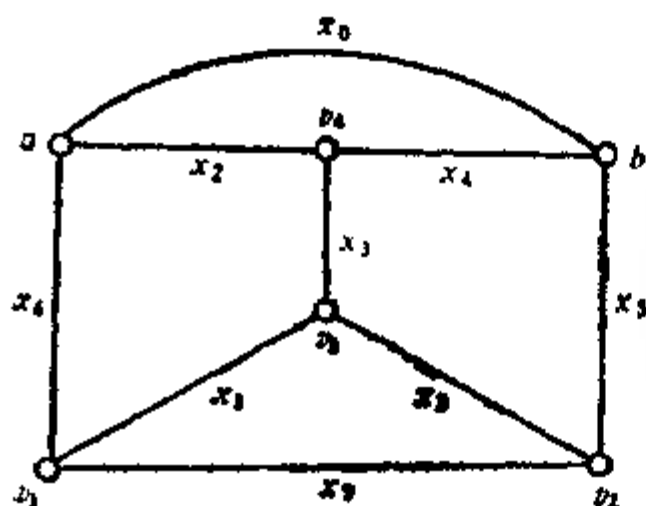


图 13.18

在图 13.18 中, 删去  $x_0$  这一边即得简单开关网络, 它满足开关函数  $f_{...}$ .

在对图进行构造性的综合研究的同时, 引入向量表示与空间化矩阵化的定量研究, 是图论学科的一个进步; 在计算机上处理图论问题, 强烈地刺激着图论在这

一方向上的发展. 为此, 首先在 0-1 二元域上定义了两个线性空间: 圈空间  $\mathcal{C}(G)$  和断集空间  $\mathcal{S}(G)$ .

对于选定的生成树  $T$ , 基本圈向量构成的矩阵  $C_f(G)$  是空

间  $\mathcal{C}(G)$  的一个基底矩阵, 所以有了生成树  $T$ , 原则上, 就等于把圈空间的情况搞清楚了, 基本割集向量构成的矩阵  $S_f(G)$  是  $\mathcal{S}(G)$  空间的一个基底矩阵, 所以, 有了生成树  $T$ , 原则上, 就等于把断集空间的情况搞清楚了. 而生成树的不同选择,  $C_f(G)$  与  $S_f(G)$  往往会相应地变动, 生成树好似是空间  $\mathcal{C}(G)$  与  $S_f(G)$  的标架.

在应用中,  $C_f(G)$  与  $S_f(G)$  起很重要的作用, 例如在开关网络的设计中,  $C_f$  与  $S_f$  起了关键作用.

在无向图的矩阵中, 关联矩阵  $B(G)$  对图作了完整刻画, 它与图是一一对应的, 可以互相确定, 而且基本关联矩阵  $B_f(G)$  又是  $\mathcal{S}(G)$  的一个基底矩阵.  $B_f(G)$  中含有图  $G$  的一切信息, 由  $B_f(G)$  可以把  $B(G)$ ,  $S_f(G)$ ,  $C_f(G)$  确定出来便是可以理解的了.

从另一个角度完整刻画图的矩阵是邻接矩阵  $A(G)$ , 它与图保持有一一对应关系, 可以互相确定.  $A(G)$  中也含有图  $G$  的一切信息, 例如可以构造道路矩阵, 从而判别  $G$  是否连通, 任意两顶间有多长的道路, 有几条, 等等.

本章学后应知应会的问题有:

(1) 空间  $\mathcal{C}(G)$ ,  $\mathcal{C}(G)$ ,  $\mathcal{S}(G)$  的定义、基底和维数及向量个数.

(2) 关联阵  $B(G)$  与基本关联阵  $B_f(G)$  的定义及秩,

(3)  $B(G)$  和  $B_f(G)$  与图的连通性的关系及生成树的确定.

(4) 圈矩阵  $C(G)$ , 基圈阵  $C_f(G)$ , 割集矩阵  $S(G)$ , 基本割集矩阵  $S_f(G)$  的定义, 秩以及  $B_f(G)$ ,  $C_f(G)$ ,  $S_f(G)$  之间的关系.

(5) 邻接矩阵  $A(G)$  与道路矩阵  $P(G)$  的定义,  $A^k(G)$  的图论含义.

(6) 简单开关网络与开关函数  $f_{..}$  的定义, 如何由  $f_{..}$  求

相应的简单开关网络?

## 习 题

1. 求图 13.19 中图  $G$  的圈空间  $\mathcal{C}(G)$  的全体向量, 并求出  $\mathcal{C}(G)$  的一个基底, 给出相应的图示.

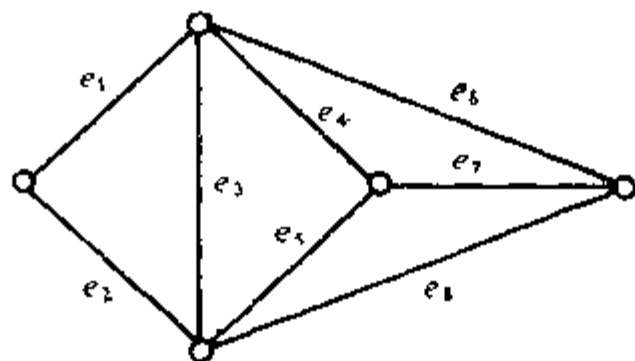


图 13.19

2. 求图 13.19 中图  $G$  的断集空间  $\mathcal{S}(G)$  中的全体向量, 并求出  $\mathcal{S}(G)$  的一个基底, 给出相应的图示.

3.  $G$  为 Euler 图的充要条件是对任何  $S \in \mathcal{S}(G)$ ,  $S$  中非 0 分量有偶数个.

4 邻接阵  $A(G)$  的每列之和与关联矩阵的每行之和有什么图论含义?

5.  $G$  是二分图, 证明  $G$  的顶可以适当编号, 使得  $A(G)$  呈如下形状

$$A(G) = \begin{bmatrix} 0 & A_{12} \\ A_{21} & 0 \end{bmatrix},$$

其中  $A_{21} = A_{12}^T$ .

6. 已知

$$A = \begin{bmatrix} 0 & 1 & 0 \\ 1 & 0 & 1 \\ 0 & 1 & 0 \end{bmatrix},$$

求  $A^{1001}$  中的 2,2 号元素.

7. 求  $K_4$  中任一顶到自己的长 3 的道路数目, 且在图上标

出这些道路。

8. 已知图  $G$  的邻接矩阵为

$$A = \begin{bmatrix} 0 & 1 & 0 & 0 \\ 1 & 0 & 0 & 0 \\ 0 & 0 & 0 & 1 \\ 0 & 0 & 1 & 0 \end{bmatrix},$$

不许画图, 论证  $G$  是否连通。

9. 已知图  $G$  的基本圈矩阵为

$$C_f(G) = \begin{bmatrix} 1 & 1 & 1 & 0 & 0 & 0 & 0 & 0 \\ 1 & 0 & 0 & 1 & 0 & 1 & 0 & 1 \\ 0 & 0 & 0 & 0 & 1 & 1 & 0 & 1 \\ 1 & 0 & 1 & 0 & 0 & 1 & 1 & 1 \end{bmatrix},$$

求  $G$  的一个基本割集矩阵  $S_f(G)$ 。

10. 已知图  $G$  的基本关联阵为

$$B_f(G) = \begin{bmatrix} 1 & 1 & 0 & 0 & 0 & 0 \\ 0 & 1 & 1 & 0 & 0 & 0 \\ 0 & 0 & 1 & 1 & 0 & 1 \\ 0 & 0 & 0 & 1 & 1 & 0 \end{bmatrix},$$

求  $C_f(G)$  与  $S_f(G)$ 。

11. 已知连通图  $G$  的基本圈阵为

$$C_f(G) = \begin{bmatrix} a & b & c & d & e & f & g \\ 1 & 0 & 0 & 1 & 1 & 0 & 0 \\ 0 & 1 & 0 & 0 & 1 & 1 & 0 \\ 0 & 0 & 1 & 0 & 0 & 1 & 1 \end{bmatrix},$$

不许画图, 回答是否:

- (1)  $\{b, c, e, f\}$  导出生成树。
- (2)  $\{a, c, e, f\}$  导出生成树。
- (3)  $\{a, b, e, g\}$  是割集。
- (4)  $\{b, f, c\}$  是割集。

- (5)  $\{d, e, f, g\}$  是割集.  
 (6)  $\{a, b, c, d, g\}$  导出一个圈.  
 (7)  $\{a, c, d, e, g, f\}$  导出一个圈.

12. 画出图 13.20 中的每棵生成树;

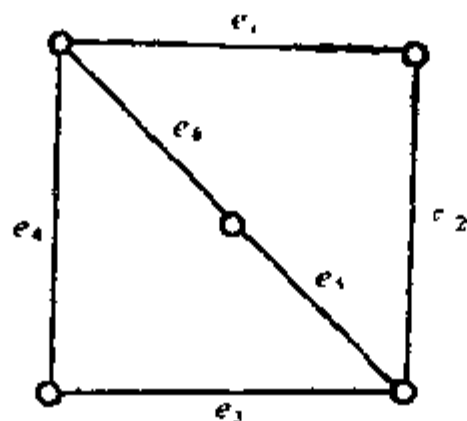


图 13.20

13. 已知开关函数  $f_{a,b}$ , 画出相应的简单开关网络;

(1)  $f_{a,b} = x_1 x_3 + x_1 x_2 x_5 + x_2 x_3 x_4 + x_4 x_5.$

(2)  $f_{a,b} = x_1 x_2 x_5 + x_1 x_4 x_8 + x_2 x_3 x_6 + x_3 x_4 x_7$   
 $+ x_1 x_2 x_6 x_7 x_8 + x_1 x_4 x_5 x_6 x_7 + x_2 x_3 x_5 x_7 x_8$   
 $+ x_3 x_4 x_5 x_6 x_8.$

14.  $A(G)$  是图  $G$  的邻接矩阵,

(1)  $A^2$  主对角线之和为 100, 求  $|E(G)| = ?$

(2)  $A^3$  主对角线之和为 600, 求  $G$  中三角形个数.

15. 已知  $n$  阶矩阵  $A$  的左下角及主对角线右邻

$$A = \begin{pmatrix} 0 & 1 & 0 & 0 & \cdots & 0 \\ 0 & 0 & 1 & 0 & \cdots & 0 \\ & & & \cdots & & \\ 0 & 0 & 0 & 0 & \cdots & 1 \\ 1 & 0 & 0 & 0 & \cdots & 0 \end{pmatrix}$$

的元素为 1, 其余元素皆为 0,  $k$  为自然数, 试用图论方法求:

(1)  $A^k$  主对角线元素之和.

(2)  $A^k$  主对角线元素之和.

16.  $K_6$  中存在 6 个圈  $C_1, C_2, C_3, C_4, C_5, C_6$ , 使得  
 $E(K_6) = E(G) \oplus E(C_1) \oplus E(C_2) \oplus E(C_3) \oplus E(C_4) \oplus E(C_5) \oplus E(C_6)$ .

17.  $V_0$  是图  $G$  的独立集, 求邻接矩阵  $A(G[V_0])$  和道路矩阵  $P(G[V_0])$ .

18. 图  $G$  的每个基本圈向量中, 非零分量的个数皆为偶数,

求  $\sum_{i=1}^n A^{2i-1}$  主对角线之和, 其中  $A$  是  $G$  的邻接矩阵.

19.  $T_1, T_2$  是图  $G$  的两个生成树, 相应的基圈阵分别为  $C^{(1)}$  与  $C^{(2)}$ , 求证  $C^{(2)}$  可以由  $C^{(1)}$  通过初等行变换而得.

20.  $A = (a_{ij})_{n \times n}$  是图  $G$  的邻接矩阵,

(1) 对任一自然数  $k$ ,  $A^{2k-1}$  主对角线元素之和为零,  
 $|E(G)| \neq 0$ , 求  $\chi'(G)$ .

(2) 对任一自然数  $k$ ,  $A^{2k-1}$  主对角线元素之和为零,  
 $|E(G)| \neq 0$ , 求  $\chi(G)$ .

21.  $G$  的基本关联矩阵为

$$B_f = \begin{bmatrix} 1 & 0 & 1 & 0 & 0 \\ 1 & 1 & 0 & 1 & 0 \\ 0 & 0 & 0 & 1 & 1 \\ 0 & 1 & 1 & 0 & 1 \end{bmatrix}$$

不许画图, 回答,

(1)  $G$  是否连通图? 为什么?

(2)  $G$  是否 Euler 图? 为什么?

(3)  $G$  是否可以“一笔画”? 为什么?

(4)  $G$  是否平面图? 为什么?

(5)  $\mathcal{C}(G)$  是几维线性空间?

(6)  $G$  中共有几个圈? 为什么?

(7)  $G$  是否 Hamilton 图? 为什么?

(8)  $\tau(G) = ?$

## 14 有向图中的矩阵

### 14.1 邻接矩阵与道路矩阵

本章讨论无环与平行边的有向图。

**定义 1**  $G$  是标志的有向图, 称矩阵  $A(G) = (a_{ij})_{n \times n}$  为  $G$  的邻接矩阵, 其中

$$a_{ij} = \begin{cases} 1, & v_i v_j \in E(G), \\ 0, & v_i v_j \notin E(G). \end{cases}$$

例如图 14.1 中图  $G$  的邻接矩阵为

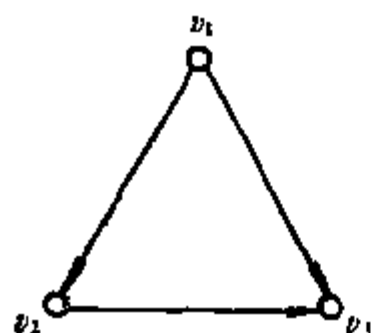


图 14.1

$$A(G) = \begin{matrix} & \begin{matrix} v_1 & v_2 & v_3 \end{matrix} \\ \begin{matrix} v_1 \\ v_2 \\ v_3 \end{matrix} & \begin{bmatrix} 0 & 1 & 1 \\ 0 & 0 & 1 \\ 0 & 0 & 0 \end{bmatrix} \end{matrix}.$$

**定理 1** 有向图  $G$  中长  $k$  的有向道路  $W(v_i, v_j)$  的条数等于  $A^k(G)$  中  $i, j$  号元素。

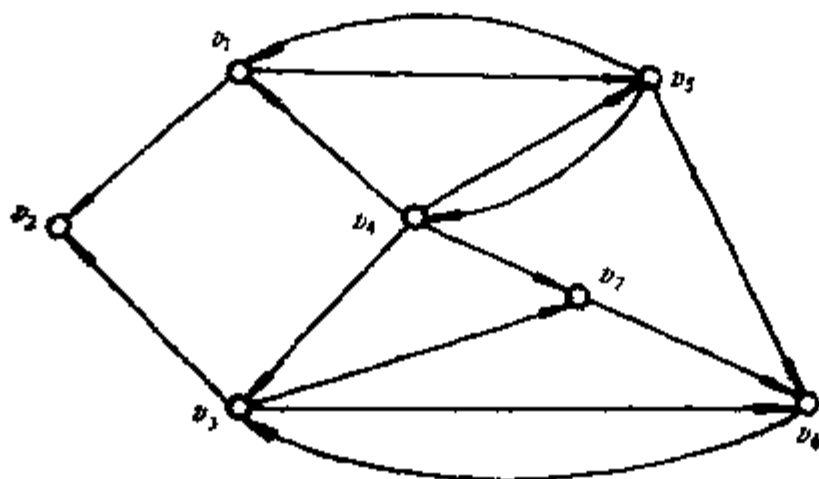


图 14.2

证明与第13章定理12相同，有向道路未必是有向轨。

**例 1** 图 14.2 是 7 个城市间的道路网络，问由  $v_1$  到  $v_7$  有无道路相道？若有，至少多长？（两城之间的边长为 1。）

**解** 图 14.2 中有向图的邻接矩阵为

$$A(G) = \begin{matrix} & \begin{matrix} v_1 & v_2 & v_3 & v_4 & v_5 & v_6 & v_7 \end{matrix} \\ \begin{matrix} v_1 \\ v_2 \\ v_3 \\ v_4 \\ v_5 \\ v_6 \\ v_7 \end{matrix} & \begin{pmatrix} 0 & 1 & 0 & 0 & 1 & 0 & 0 \\ 0 & 0 & 0 & 0 & 0 & 0 & 0 \\ 0 & 1 & 0 & 0 & 0 & 1 & 1 \\ 1 & 0 & 1 & 0 & 1 & 0 & 1 \\ 1 & 0 & 0 & 1 & 0 & 1 & 0 \\ 0 & 0 & 1 & 0 & 0 & 0 & 0 \\ 0 & 0 & 0 & 0 & 0 & 1 & 0 \end{pmatrix} \end{matrix}.$$

从  $A(G)$  中知  $a_{17} = 0$ ，即从  $v_1$  到  $v_7$  无长 1 的道路，从  $v_1$  到  $v_7$  去要“绕行”。

$$A^2(G) = \begin{pmatrix} 1 & 0 & 0 & 1 & 0 & 1 & 0 \\ 0 & 0 & 0 & 0 & 0 & 0 & 0 \\ 0 & 0 & 1 & 0 & 0 & 1 & 0 \\ 1 & 2 & 0 & 1 & 1 & 3 & 1 \\ 1 & 1 & 2 & 0 & 2 & 0 & 1 \\ 0 & 1 & 0 & 0 & 0 & 1 & 1 \\ 0 & 0 & 1 & 0 & 0 & 0 & 0 \end{pmatrix},$$

$A^2$  中的 1,7 号元素为 0，说明从  $v_1$  到  $v_7$  无长 2 的道路。

$$A^3(G) = \begin{pmatrix} 1 & 1 & 2 & 0 & 2 & 0 & 1 \\ 0 & 0 & 0 & 0 & 0 & 0 & 0 \\ 0 & 1 & 1 & 0 & 0 & 1 & 1 \\ 2 & 1 & 4 & 1 & 2 & 2 & 1 \\ 2 & 3 & 0 & 2 & 1 & 5 & 2 \\ 0 & 0 & 1 & 0 & 0 & 1 & 0 \\ 0 & 1 & 0 & 0 & 0 & 1 & 1 \end{pmatrix},$$



$A^3(G)$ 中的1, 7号元素为1, 说明从 $v_1$ 到 $v_7$ 只有1条长3的道路, 这是一条从 $v_1$ 到 $v_7$ 的最短路, 它是 $v_1v_3v_4v_7$ .

**定义 2** 设 $A(G)$ 是有向图 $G$ 的邻接矩阵, 则称矩阵

$$P(G) = \bigvee_{k=1}^n A^{(k)}(G)$$

为有向图 $G$ 的道路矩阵, 其中 $\bigvee_{k=1}^n$ 是逻辑和,  $A^{(k)}$ 是 $A(G)$ 的逻辑 $k$ 次方.

显然, 有向图 $G$ 是强连通图的充要条件是通路矩阵 $P(G)$ 中的元素皆为1.

**定理 2** 若 $P(G)$ 是有向图 $G$ 的道路矩阵, 令

$$P(G) \odot P^T(G) = \begin{bmatrix} p_{11}^2 & p_{12}p_{21} & \cdots & \cdots & p_{1n}p_{n1} \\ p_{21}p_{12} & p_{22}^2 & \cdots & \cdots & p_{2n}p_{n2} \\ \cdots & \cdots & \cdots & \cdots & \cdots \\ p_{n1}p_{1n} & p_{n2}p_{2n} & \cdots & \cdots & p_{nn}^2 \end{bmatrix},$$

其中 $p_{ii}$ 是 $P(G)$ 的元素, 设 $P(G) \odot P^T(G)$ 中第 $i$ 行的非零元素为

$$p_{i1}p_{1i}, p_{i2}p_{2i}, \cdots, p_{ik}p_{ki},$$

则 $G[\{v_i, v_{i1}, v_{i2}, \cdots, v_{ik}\}]$ 是 $G$ 的极大强连通子图.

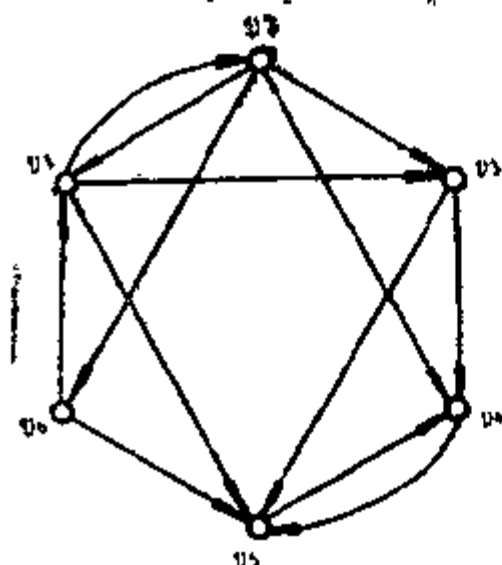


图 14.3

**证** 因为 $p_{i1}p_{1i}, \cdots, p_{ik}p_{ki}$ 皆非零, 故 $p_{i1i} = p_{i1i} = 1, i = 1, 2, \cdots, k$ , 于是 $v_i$ 与 $v_{i1}$ 在一个有向回路上, 从而 $v_i$ 与 $v_{i1}, v_{i2}, \cdots, v_{ik}$ 在一个有向回路 $W_0$ 上, 另一方面, 若 $v_j \in V(W_0), i \neq j$ , 则 $p_{ij}p_{ji} = 1$ , 从而 $v_i \in \{v_{i1} | i = 1, 2, \cdots, k\}$ , 故 $\{v_i\} \subset \{v_{i1} | i = 1, 2,$

$\dots, k\} = V(W_0)$ , 所以  $G_1 = G[\{v_1, v_{l_1}, \dots, v_{l_k}\}]$  是强连通子图。

下证  $G_1$  之极大性.  $\forall v_m \in V(G)$ ,  $v_m \notin V(W_0)$ , 若  $G[\{v_m\} \cup V(W_0)]$  仍是强连通子图, 则  $v_1$  与  $v_m$  在一个有向回路上, 于是  $p_{1,m} p_{m,1} = 1$ , 即  $v_m \in \{v_{l_i} \mid i = 1, 2, \dots, k\}$ , 与  $v_m \notin V(W_0)$  矛盾. 故  $G_1$  是极大强连通子图. **证毕.**

**例 2** 一群孩子, 有些比较要好, 有些则不大要好, 而且, 甲对乙有好感, 乙未必对甲有好感, 以孩子为顶, 孩子  $v_i$  对孩子  $v_j$  有好感时, 在  $v_i$  与  $v_j$  之间连一有向边  $v_i v_j$ , 如图 14.3 所示, 问哪些孩子经常在一起玩

**解** 图 14.3 中的有向图  $G$  之邻接矩阵为

$$A(G) = \begin{matrix} & \begin{matrix} v_1 & v_2 & v_3 & v_4 & v_5 & v_6 \end{matrix} \\ \begin{matrix} v_1 \\ v_2 \\ v_3 \\ v_4 \\ v_5 \\ v_6 \end{matrix} & \begin{pmatrix} 0 & 1 & 1 & 0 & 1 & 0 \\ 1 & 0 & 1 & 1 & 0 & 1 \\ 0 & 0 & 0 & 1 & 1 & 0 \\ 0 & 0 & 0 & 0 & 1 & 0 \\ 0 & 0 & 0 & 1 & 0 & 0 \\ 1 & 0 & 0 & 0 & 1 & 0 \end{pmatrix} \end{matrix},$$

由  $P(G) = \bigvee_{i=1}^6 A^{(i)}(G)$  得

$$P \odot P^T = \begin{matrix} & \begin{matrix} v_1 & v_2 & v_3 & v_4 & v_5 & v_6 \end{matrix} \\ \begin{matrix} v_1 \\ v_2 \\ v_3 \\ v_4 \\ v_5 \\ v_6 \end{matrix} & \begin{pmatrix} 1 & 1 & 1 & 0 & 0 & 0 \\ 1 & 1 & 1 & 0 & 0 & 0 \\ 1 & 1 & 1 & 0 & 0 & 0 \\ 0 & 0 & 0 & 1 & 0 & 0 \\ 0 & 0 & 0 & 0 & 1 & 1 \\ 0 & 0 & 0 & 0 & 1 & 1 \end{pmatrix} \end{matrix},$$

由定理 2 知,  $\{v_1, v_2, v_3\}, \{v_4\}, \{v_5, v_6\}$  导出三个极大强连通子

图, 可见  $v_1, v_2, v_3$  这三个孩子经常在一起玩,  $v_1$  与  $v_2$  这两个孩子经常在一起玩, 而  $v_3$  这个孩子经常一个人玩.

注意, 定理 2 中说  $G[\{v_i, v_{i_1}, \dots, v_{i_k}\}]$  是极大强连通子图, 但  $G[\{v_i, v_{i_1}, \dots, v_{i_k}\}] = G[\{v_{i_1}, \dots, v_{i_k}\}]$ , 即  $v_i \in \{v_{i_1}, v_{i_2}, \dots, v_{i_k}\}$ . 事实上, 当  $G[\{v_i, v_{i_1}, \dots, v_{i_k}\}]$  为强连通子图时,  $p_{i,i} = 1$ , 于是  $p_{i,i} p_{i,i} = 1$ , 故在  $P \circ P^T$  的第  $i$  行的非零元素中有一个  $p_{i,i_m} p_{i_m,i}$  即为  $p_{i,i} p_{i,i}$ , 即  $v_{i_m} = v_i$ ,  $1 \leq m \leq k$ .

## 14.2 关联矩阵和生成树的数目

**定义 3** 有向图  $G$  的关联矩阵是这样一个矩阵  $B(G) = (b_{ij})_{v \times e}$ , 其中

$$b_{ij} = \begin{cases} 1, & v_i \text{ 是 } e_j \text{ 之尾;} \\ -1, & v_i \text{ 是 } e_j \text{ 之头;} \\ 0, & e_j \text{ 的头尾皆非 } v_i. \end{cases}$$

例如图 14.1 中图的关联矩阵为

$$B(G) = \begin{matrix} & \begin{matrix} e_1 & e_2 & e_3 \end{matrix} \\ \begin{matrix} v_1 \\ v_2 \\ v_3 \end{matrix} & \begin{bmatrix} 1 & 1 & 0 \\ -1 & 0 & 1 \\ 0 & -1 & -1 \end{bmatrix} \end{matrix}.$$

与无向图类似地, 把  $B(G)$  中的任一行删除, 得到的子矩阵记成  $B_f(G)$ , 称为有向图  $G$  的基本关联矩阵, 且有结论:

(1)  $G$  是弱连通有向图, 则  $r(B(G)) = r(B_f(G)) = v - 1$ .

(2) 有向图  $G$  之底图有  $\omega$  个连通片, 则

$$r(B(G)) = r(B_f(G)) = v - \omega.$$

与无向图相区别的是这里的计算在实数域中进行.

**定理 3** 有向图  $G$  的关联矩阵  $B(G)$  的任意子行列式取值范围是  $\{0, 1, -1\}$ .

**证** 设  $B_0$  是  $B(G)$  中第  $i_1, i_2, \dots, i_n$  行与第  $j_1, j_2, \dots, j_n$

列的元素构成的  $m \times m$  子方阵.

(1) 若  $B_0$  中每列 1 与 -1 各出现恰一次, 则  $B_0$  各行向量之和为 0, 即  $|B_0| = 0$ .

(2) 若  $B_0$  中有一列元素皆 0, 则  $|B_0| = 0$ .

(3) 若  $B_0$  中有一列只有一个非 0 元素, 我们按上述这一列的代数余子式展开行列式  $|B_0|$ , 得  $|B_0| = \pm |B_1|$ ,  $B_1$  比  $B_0$  的阶数少 1, 若  $|B_1| = 0$ , 则  $|B_0| = 0$ ; 若  $B_1 \neq 0$ , 则  $B_1$  中有一列只有一个非零元素, 可继续用  $|B_1|$  的代数余子式表示  $|B_1|$ , 直至到  $|B_0| = \pm 1$ . 证毕.

**定理 4**  $e_{i_1}, e_{i_2}, \dots, e_{i_{v-1}}$  是  $G$  的生成树的边的充要条件是这  $v-1$  条边在  $B_f(G)$  中对应的列组成的行列式等于 1 或 -1, 这里  $G$  为有向图.

定理 4 之证明与第 13 章定理 9 相似.

下面给出求有向图  $G$  的生成树数目的公式, 为此, 引用一下线性代数中的

Binet-Cauchy 公式:

已知  $P = (p_{ij})_{n \times m}$ ,  $Q = (q_{ij})_{m \times m}$ , 且  $m \leq n$ , 则

$$\det(PQ) = \sum_{1 \leq j_1 < j_2 < \dots < j_m \leq n} \begin{vmatrix} p_{1j_1} & \dots & p_{1j_m} \\ p_{2j_1} & \dots & p_{2j_m} \\ \dots & \dots & \dots \\ p_{mj_1} & \dots & p_{mj_m} \end{vmatrix} \begin{vmatrix} q_{j_1 1} & \dots & q_{j_1 m} \\ q_{j_2 1} & \dots & q_{j_2 m} \\ \dots & \dots & \dots \\ q_{j_m 1} & \dots & q_{j_m m} \end{vmatrix}.$$

$$\text{例如 } P = \begin{bmatrix} 1 & 2 & 1 \\ -1 & 3 & 1 \end{bmatrix}, \quad Q = \begin{bmatrix} 2 & 1 \\ 0 & 1 \\ 1 & 1 \end{bmatrix},$$

$$PQ = \begin{pmatrix} 3 & 4 \\ -1 & 3 \end{pmatrix}, \quad \det(PQ) = \begin{vmatrix} 3 & 4 \\ -1 & 3 \end{vmatrix} = 13.$$

用 Binet-Cauchy 公式算得

$$\det(PQ) = \begin{vmatrix} 1 & 2 & 2 & 1 \\ -1 & 3 & 0 & 1 \end{vmatrix} + \begin{vmatrix} 1 & 1 & 2 & 1 \\ -1 & 1 & 1 & 1 \end{vmatrix} + \begin{vmatrix} 2 & 1 & 0 & 1 \\ 3 & 1 & 1 & 1 \end{vmatrix} = 13.$$

**定理 5**  $G$  是弱连通有向图, 则  $G$  的生成树的数目为  $\det(B_f(G) \cdot B_f^T(G))$ .

**证** 对  $B_f(G)$  与  $B_f^T$  用 Binet-Cauchy 公式, 再用定理 4 得

$$\det(B_f(G)B_f^T(G)) = \tau(G) \cdot (\pm 1)^2 = \tau(G),$$

其中  $\tau(G)$  为生成树的数目. **证毕.**

**例 3** 求竞赛图  $K_v$  的生成树之个数  $\tau(K_v)$ .

**解** 设  $B_f(K_v)$  的元素是  $b_{ij}$ , 则

$$B_f(K_v)B_f^T(K_v) = (b'_{ij})_{(v-1) \times (v-1)},$$

$$b'_{ij} = \sum_{k=1}^v b_{ik}b_{kj}, \quad i, j = 1, 2, \dots, v-1.$$

当  $i = j$  时,

$$b'_{ii} = b'_{ii} = \sum_{k=1}^v (b_{ik})^2, \quad i = 1, 2, \dots, v-1.$$

又由于  $K_v$  是完全图, 每顶与  $v-1$  条边相关联, 故

$$b'_{ii} = v-1, \quad i = 1, 2, \dots, v-1.$$

当  $i \neq j$  时,  $b'_{ij} = -1$ , 故得

$$B_f(K_v)B_f^T(K_v) = \begin{bmatrix} v-1 & -1 & -1 & \cdots & -1 \\ -1 & v-1 & -1 & \cdots & -1 \\ & & \cdots & \cdots & \cdots \\ -1 & -1 & -1 & \cdots & v-1 \end{bmatrix}.$$

下面计算  $\det(B_f(K_v)B_f^T(K_v))$ . 为此, 考虑  $v-1$  阶方阵  $T$ , 其元素为

$$t_{ii} = 2, \quad i < v-1;$$

$$t_{v-1, v-1} = 1;$$

$$t_{ij} = -1, \quad i \neq j.$$

易知  $\det T = 1$ . 于是

$$\det(TB_f(G)B_f^T(G)) = \begin{vmatrix} v & 0 & 0 & \cdots & 0 & 0 \\ 0 & v & 0 & \cdots & 0 & 0 \\ 0 & 0 & v & \cdots & 0 & 0 \\ \cdots & \cdots & \cdots & \cdots & \cdots & \cdots \\ 0 & 0 & 0 & \cdots & v & 0 \\ 1 & 1 & 1 & \cdots & 1 & 1 \end{vmatrix} \\ = v^{v-2}.$$

而

$$\det(TB_f(G)B_f^T(G)) = \det T \cdot \det(B_f(G)B_f^T(G)) \\ = \det(B_f(G)B_f^T(G)),$$

故

$$\tau(K_v) = \det(B_f(G)B_f^T(G)) = v^{v-2},$$

这正是 Caylay 定理的结论.

**例 4** 求图 14.4 中图的生成树个数  $\tau(G)$ .

**解**

$$B_f(G) = \begin{matrix} & a & b & c & d & e & f & g \end{matrix} \\ \begin{matrix} v_1 \\ v_2 \\ v_3 \end{matrix} \begin{bmatrix} 1 & 0 & 0 & 1 & 0 & 0 & 1 \\ -1 & -1 & 1 & 0 & 0 & 0 & 0 \\ 0 & 0 & -1 & 0 & 1 & -1 & -1 \end{bmatrix}.$$

$$B_f(G)B_f^T(G) = \begin{bmatrix} 3 & -1 & -1 \\ -1 & 3 & -1 \\ -1 & -1 & 4 \end{bmatrix},$$

故得

$$\tau(G) = \det(B_f(G)B_f^T(G)) \\ = \begin{vmatrix} 3 & -1 & -1 \\ -1 & 3 & -1 \\ -1 & -1 & 4 \end{vmatrix} = 24.$$

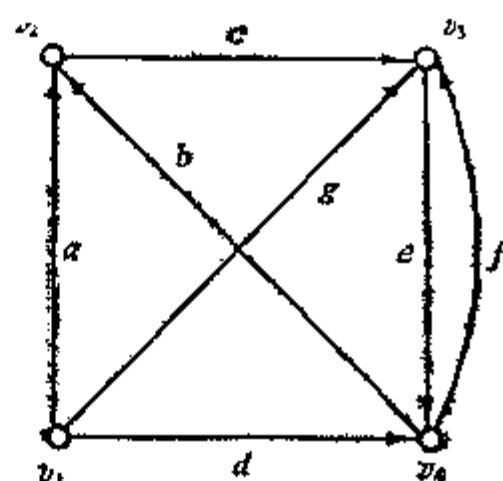


图 14.4

### 14.3 圈矩阵与割集矩阵

$G$ 是有向图, 在其底图上, 对每个无向圈  $C_i$ , 首先任意指定一个循环方向。

**定义 4** 称以  $C_{ij}$  为元素的矩阵  $C(G)$  为有向图  $G$  的圈矩阵, 其中

$$C_{ij} = \begin{cases} 1, & \text{无向圈 } C_i \text{ 中含边 } e_j, \text{ 且 } e_j \text{ 的方向与 } C_i \text{ 的循环方向一致;} \\ -1, & \text{无向圈 } C_i \text{ 中含边 } e_j, \text{ 但 } e_j \text{ 的方向与 } C_i \text{ 的循环方向相反;} \\ 0, & \text{无向圈 } C_i \text{ 中不含边 } e_j. \end{cases}$$

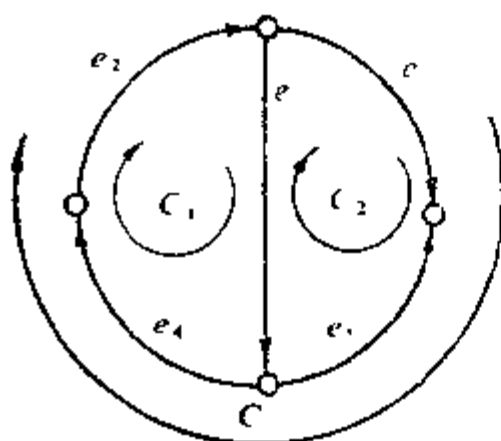


图 14.5

例如图 14.5 中, 其底图上有三个无向圈, 已被规定了顺时针的循环方向 (也可以取逆时针循环方向, 但取定之后, 不能改变其循环方向), 于是这个有向图的圈矩阵为

$$C(G) = \begin{matrix} & e_1 & e_2 & e_3 & e_4 & e_5 \\ \begin{matrix} C_1 \\ C_2 \\ C_3 \end{matrix} & \begin{bmatrix} 1 & 1 & 0 & 1 & 0 \\ -1 & 0 & 1 & 0 & -1 \\ 0 & 1 & 1 & 1 & -1 \end{bmatrix} \end{matrix}.$$

**定义 5** 在有向图  $G$  中取定生成树  $T$ , 在  $G$  的圈矩阵中, 提取只含一条余树边的圈 (基本圈) 对应的行构成子矩阵  $C_f(G)$ , 称其为有向图的基本圈矩阵。

例如图 14.5 中, 取  $e_1, e_4, e_5$  为生成树的边, 则其基本圈矩阵为

$$C_f(G) = \begin{bmatrix} 1 & 1 & 0 & 1 & 0 \\ -1 & 0 & 1 & 0 & -1 \end{bmatrix}.$$

下面讨论有向图中的割集和基本割集矩阵。

在有向图  $G$  中,  $V_1 \subset V(G)$ ,  $V_1 \neq \emptyset$ ,  $\bar{V}_1 \neq \emptyset$ , 考虑边子集  $(V_1, \bar{V}_1) \cup (\bar{V}_1, V_1)$ , 我们规定一个流向, 这个流向可以任取定与  $(V_1, \bar{V}_1)$  中的边方向一致或与  $(\bar{V}_1, V_1)$  中边的方向一致, 则称  $(V_1, \bar{V}_1) \cup (\bar{V}_1, V_1)$  连同规定的流向为  $G$  的一个有向断集. 同理, 把  $G$  的底图中的一个割集对应的在有向图  $G$  中已有向断集称为有向图  $G$  的有向割集, 底图中的基本割集对应的有向割集称为有向图  $G$  中的基本有向断集.

定义 6 称  $S(G) = (s_{ij})$  为有向图  $G$  的割集矩阵, 其中

$$s_{ij} = \begin{cases} 1, & \text{有向割集 } S_i \text{ 中含边 } e_j, \text{ 且两者方向一致;} \\ -1, & \text{有向割集 } S_i \text{ 中含边 } e_j, \text{ 且两者方向相反;} \\ 0, & \text{有向割集 } S_i \text{ 中不含边 } e_j. \end{cases}$$

又提取有向图  $G$  的割集矩阵中的基本有向割集对应的行构成子矩阵  $S_f(G)$ , 称其为有向图  $G$  的基本割集矩阵.

例如图 14.6 中, 有六个有向割集, 它的割集矩阵为

$$S(G) = \begin{matrix} & e_1 & e_2 & e_3 & e_4 \\ \begin{matrix} s_1 \\ s_2 \\ s_3 \\ s_4 \\ s_5 \\ s_6 \end{matrix} & \begin{bmatrix} -1 & -1 & 0 & 0 \\ 0 & 1 & 1 & 0 \\ 0 & 0 & 1 & 1 \\ -1 & 0 & 0 & -1 \\ -1 & 0 & 1 & 0 \\ 0 & -1 & 0 & 1 \end{bmatrix} \end{matrix}.$$

若取  $e_1, e_2, e_3$  为生成树的边, 则有向图  $G$  的基本割集矩阵为

$$S_f(G) = \begin{bmatrix} 0 & 0 & 1 & 1 \\ -1 & 0 & 0 & -1 \\ 0 & -1 & 0 & 1 \end{bmatrix},$$

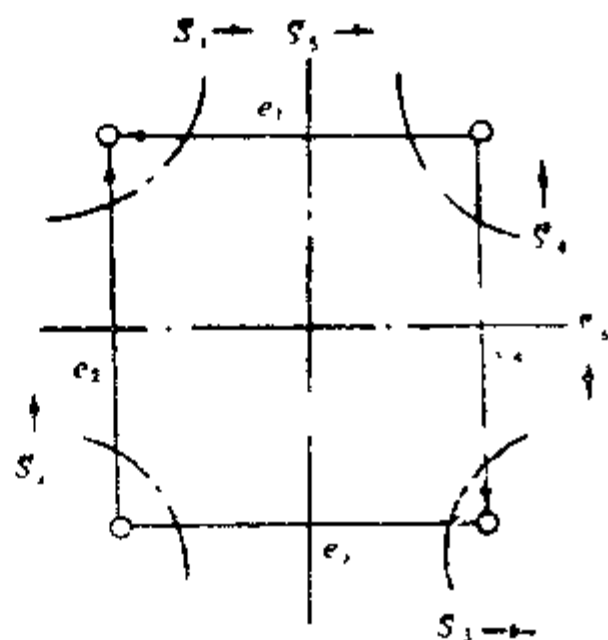


图 14.6

有向图中的矩阵具有无向图中相应矩阵的相似的性质:

- (1)  $B(G)C^T(G) = C(G)B^T(G) = 0$ .
- (2)  $r(C(G)) = r(C_f(G)) = \varepsilon - \nu + 1$ .



$$(3) C(G)S^T(G) = S(G)C^T(G) = 0,$$

$$(4) r(\tilde{S}(G)) = r(S_f(G)) = v - 1.$$

(5)  $G$  是弱连通有向图,  $T$  为生成树,

$$C_f(G) = [I : C_{f_{12}}],$$

$$B_f(G) = [B_{f_{11}} : B_{f_{12}}],$$

其中  $C_{f_{12}}$  与  $B_{f_{12}}$  的列对应于树  $T$  之边,  $I$  与  $B_{f_{11}}$  对应于余树之边, 则

$$C_f(G) = [I : -B_{f_{11}}^T (B_{f_{12}}^T)^{-1}].$$

(6) 对于生成树  $T$ ,

$$S_f(G) = [S_{f_{11}} : I],$$

$$C_f(G) = [I : C_{f_{12}}],$$

其中  $C_f(G)$  与  $S_f(G)$  中列对应的边之序号一致, 且  $S_{f_{11}}$  对应余树边,  $C_{f_{12}}$  对应树边, 则

$$S_{f_{11}} = -C_{f_{12}}^T.$$

## 14.4 电路网络

本节利用有向图的矩阵建立电路网络中的电流与电压满足的常微分方程, 进而求出各支路上的电流与电压.

**基尔霍夫电流定律, 代号 KCL.**

KCL: 电网络上每个节点上各支路电流代数和为零.

**基尔霍夫电压定律, 代号 KVL.**

KVL: 电网络上每一回路内各支路电压代数和为零.

由于各支路电流与电压的方向往往不能事先断定, 为方便起见, 事先规定各支路上电流与电压的一个一致的所谓**参考方向**, 于是便把一个实际电路网络抽象成一个有向图  $G$ , 再把各支路电流  $i(e, t)$  视为边  $e$  之权, 则得一个网络, 把此网络记成  $N(G, i(e, t))$ ; 有时以各支路之电压  $v(e, t)$  为边  $e$  之权, 得到的网络记成  $N(G, v(e, t))$ .

例如图 14.7 中电路相应的有向加权图  $N(G, i(e, t))$  如图 14.8 所示。

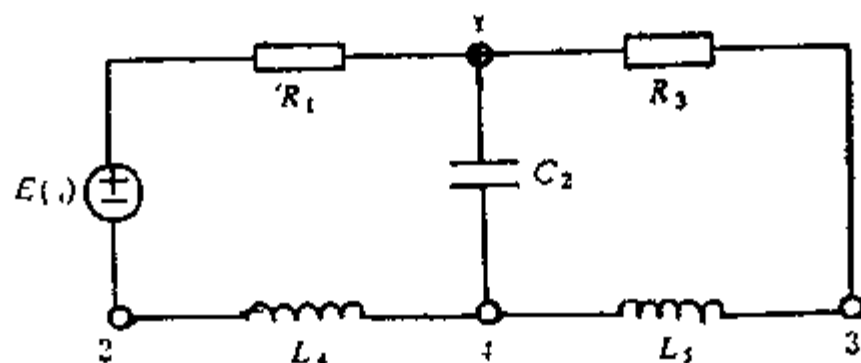


图 14.7

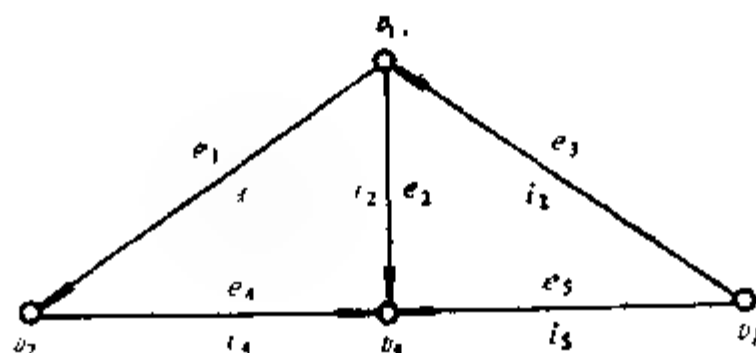


图 14.8

KCL 的图论表达式为

$$B(G)I = 0,$$

$$B_r(G)I = 0,$$

KVL 的图论表达式为

$$C(G)V = 0,$$

$$C_r(G)V = 0.$$

其中

$$I = \begin{bmatrix} i_1(e_1, t) \\ \vdots \\ i_6(e_6, t) \end{bmatrix}, \quad V = \begin{bmatrix} v_1(e_1, t) \\ \vdots \\ v_6(e_6, t) \end{bmatrix}.$$

例如图 14.8 中,

$$\text{KCL: } \begin{bmatrix} 1 & 1 & -1 & 0 & 0 \\ -1 & 0 & 0 & 1 & 0 \\ 0 & 0 & 1 & 0 & 1 \\ 0 & -1 & 0 & -1 & -1 \end{bmatrix} \begin{bmatrix} i_1(t) \\ i_2(t) \\ i_3(t) \\ i_4(t) \\ i_5(t) \end{bmatrix} = \begin{bmatrix} 0 \\ 0 \\ 0 \\ 0 \end{bmatrix},$$

$$\text{KVL: } \begin{bmatrix} -1 & 1 & 0 & -1 & 0 \\ 0 & -1 & -1 & 0 & 1 \\ -1 & 0 & -1 & -1 & 1 \end{bmatrix} \begin{bmatrix} v_1(t) \\ v_2(t) \\ v_3(t) \\ v_4(t) \\ v_5(t) \end{bmatrix} = \begin{bmatrix} 0 \\ 0 \\ 0 \\ 0 \end{bmatrix}.$$

在 KVL 的表达式中, 我们取循环方向为顺时针方向,  $C_1$  是  $v_1 v_4 v_2 v_1$ ,  $C_2$  是  $v_1 v_3 v_4 v_1$ ,  $C_3$  是  $v_1 v_3 v_4 v_2 v_1$ .

下面推导电路网络计算中状态变量法的基本关系式.

对于选定的生成树  $T$ , 对边适当排序, 使得

$$C_f(G) = [I : C_{f,2}],$$

$$B_f(G) = [B_{f,1} : B_{f,2}],$$

其中  $I$  与  $B_{f,1}$  的列对应余树边, 由  $B_f(G)I = 0$  得

$$[B_{f,1} : B_{f,2}] \begin{bmatrix} \bar{I}_c \\ \bar{I}_T \end{bmatrix} = 0,$$

其中  $\bar{I}_c$  是余树边上的电流列,  $\bar{I}_T$  是树边上的电流列, 即

$$B_{f,1} \bar{I}_c + B_{f,2} \bar{I}_T = 0$$

$$\bar{I}_T = -B_{f,2}^{-1} B_{f,1} \bar{I}_c. \quad (1)$$

由 (1) 知, 余树边上的电流与生成树边上的电流不全是独立的, 知其一方求得另一方.

由  $C_f V = 0$  得

$$[I : C_{f,2}] \begin{bmatrix} V_c \\ V_T \end{bmatrix} = 0,$$

其中  $V_c$  是余树边上的电压列,  $V_T$  是生成树边上的电压列,

所以有

$$V_e = -C_{11} V_r. \quad (2)$$

由(2)知余树边上的电压与生成树边上的电压不是独立的, 知其一方即可求得另一方。

又由于  $C_{11} = -B_{11}^T (B_{12}^{-1})^T$  得

$$C_{11}^T = -B_{12}^{-1} B_{11}.$$

令  $K = -C_{11} = B_{11}^T (B_{12}^{-1})^T$ ,

则有

$$V_e = K V_r,$$

$$I_r = -K^T I_e.$$

最后得基本关系式

$$\begin{bmatrix} V_e \\ I_r \end{bmatrix} = \begin{bmatrix} 0 & K \\ -K^T & 0 \end{bmatrix} \begin{bmatrix} I_e \\ V_r \end{bmatrix}. \quad (3)$$

下面用例题说明如何应用公式(3)把电路问题化为常微分方程组来解。

图论中常用的字母  $v$  与  $e$  在电路中有固定的物理意义, 为避免混淆, 我们改用  $1, 2, \dots$  表示图的顶,  $1', 2', \dots$  表示图的边。

**例 5** 建立图 14.9 中电路满足的微分方程。

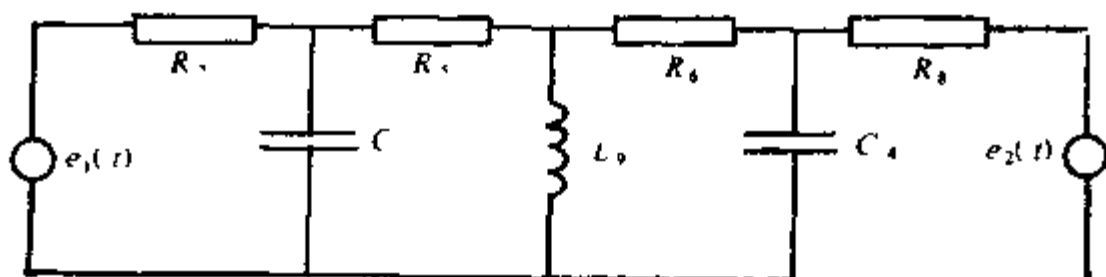


图 14.9

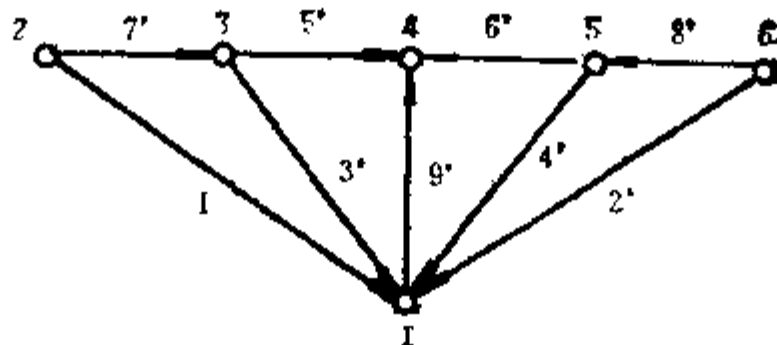


图 14.10

解 选  $1', 2', 3', 4', 5'$  为生成树的边, 它们含  $e_1(t)$ ,  $e_2(t)$ ,  $C_1, C_4, R_5$ , 即含所有的电容及电源和部分电阻(图14.10). 于是有

$$V_s = \begin{bmatrix} v_6 \\ v_7 \\ v_8 \\ v_9 \end{bmatrix} = \begin{bmatrix} R_6 i_6 \\ R_7 i_7 \\ R_8 i_8 \\ L \frac{di_9}{dt} \end{bmatrix}, \quad I_s = \begin{bmatrix} i_6 \\ i_7 \\ i_8 \\ i_9 \end{bmatrix},$$

$$V_r = \begin{bmatrix} v_1 \\ v_2 \\ v_3 \\ v_4 \\ v_5 \end{bmatrix} = \begin{bmatrix} e_1(t) \\ e_2(t) \\ v_3 \\ v_4 \\ v_5 \end{bmatrix}, \quad I_r = \begin{bmatrix} i_1 \\ i_2 \\ i_3 \\ i_4 \\ i_5 \end{bmatrix} = \begin{bmatrix} i_1 \\ i_2 \\ C_3 \frac{dv_3}{dt} \\ C_4 \frac{dv_4}{dt} \\ \frac{v_5}{R_5} \end{bmatrix},$$

$$B_f(G) = \begin{array}{c|ccccccccc} & 1' & 2' & 3' & 4' & 5' & 6' & 7' & 8' & 9' \\ \hline 2 & 1 & 0 & 0 & 0 & 0 & 0 & 1 & 0 & 0 \\ 3 & 0 & 0 & 1 & 0 & 1 & 0 & -1 & 0 & 0 \\ 4 & 0 & 0 & 0 & 0 & -1 & -1 & 0 & 0 & -1 \\ 5 & 0 & 0 & 0 & 1 & 0 & 1 & 0 & -1 & 0 \\ 6 & 0 & 1 & 0 & 0 & 0 & 0 & 0 & 1 & 0 \end{array}.$$

把边重新排序, 使  $B_f(G) = [B_{f1} : B_{f2}]$ , 其中

$$B_{f1} = \begin{bmatrix} 6' & 7' & 8' & 9' \\ 0 & 1 & 0 & 0 \\ 0 & -1 & 0 & 0 \\ -1 & 0 & 0 & -1 \\ 1 & 0 & -1 & 0 \\ 0 & 0 & 1 & 0 \end{bmatrix}, \quad B_{f2} = \begin{bmatrix} 1' & 2' & 3' & 4' & 5' \\ 1 & 0 & 0 & 0 & 0 \\ 0 & 0 & 1 & 0 & 1 \\ 0 & 0 & 0 & 0 & -1 \\ 0 & 0 & 0 & 1 & 0 \\ 0 & 1 & 0 & 0 & 0 \end{bmatrix}.$$

$$B_{12}^{-1} = \begin{bmatrix} 1 & 0 & 0 & 0 & 0 \\ 0 & 0 & 0 & 0 & 1 \\ 0 & 1 & 1 & 0 & 0 \\ 0 & 0 & 0 & 1 & 0 \\ 0 & 0 & -1 & 0 & 0 \end{bmatrix},$$

$$K = B_{11}^T (B_{12}^{-1})^T = \begin{bmatrix} 0 & 0 & -1 & 1 & 1 \\ 1 & 0 & -1 & 0 & 0 \\ 0 & 1 & 0 & -1 & 0 \\ 0 & 0 & -1 & 0 & 1 \end{bmatrix}.$$

代入公式(3)得

$$\begin{bmatrix} R_6 i_6 \\ R_7 i_7 \\ R_8 i_8 \\ L_9 \frac{di_9}{dt} \\ i_1 \\ i_2 \\ C_3 \frac{dv_3}{dt} \\ C_4 \frac{dv_4}{dt} \\ \frac{v_5}{R_5} \end{bmatrix} = \begin{bmatrix} 0 & 0 & 0 & 0 & 0 & 0 & -1 & 1 & 1 \\ 0 & 0 & 0 & 0 & 1 & 0 & -1 & 0 & 0 \\ 0 & 0 & 0 & 0 & 0 & 1 & 0 & -1 & 0 \\ 0 & 0 & 0 & 0 & 0 & 0 & -1 & 0 & 1 \\ 0 & -1 & 0 & 0 & 0 & 0 & 0 & 0 & 0 \\ 0 & 0 & -1 & 0 & 0 & 0 & 0 & 0 & 0 \\ 1 & 1 & 0 & 1 & 0 & 0 & 0 & 0 & 0 \\ -1 & 0 & 1 & 0 & 0 & 0 & 0 & 0 & 0 \\ -1 & 0 & 0 & -1 & 0 & 0 & 0 & 0 & 0 \end{bmatrix} \begin{bmatrix} i_6 \\ i_7 \\ i_8 \\ i_9 \\ e_1(t) \\ e_2(t) \\ v_3 \\ v_4 \\ v_5 \end{bmatrix}.$$

展开得

$$i_6 = (v_4 + v_5 - v_3) / R_6, \quad (4)$$

$$i_7 = (e_1(t) - v_3) / R_7, \quad (5)$$

$$i_8 = (e_2(t) - v_4) / R_8, \quad (6)$$

$$L_9 \frac{di_9}{dt} = v_3 - v_5, \quad (7)$$

$$i_1 = -i_7, \quad (8)$$

$$i_2 = -i_8, \quad (9)$$

$$C_3 \frac{dv_3}{dt} = i_6 + i_7 + i_9, \quad (10)$$

$$C_4 \frac{dv_4}{dt} = i_2 - i_6, \quad (11)$$

$$v_5 = -R_5(i_9 + i_6). \quad (12)$$

由 (4) 与 (12) 得

$$v_3 = \frac{R_5 v_5 - R_5 R_6 i_9 - R_6 v_4}{R_5 + R_6}. \quad (13)$$

$$i_6 = \frac{R_6(v_4 - v_3) - R_5 R_6 i_9}{R_6(R_5 + R_6)} \quad (14)$$

把 (13) 代入 (7) 得

$$L_9 \frac{di_9}{dt} = \frac{-R_5 R_6}{R_5 + R_6} i_9 - \frac{R_6}{R_5 + R_6} v_3 - \frac{R_5}{R_5 + R_6} v_4. \quad (15)$$

类似地由 (10) 与 (11) 得

$$C_3 \frac{dv_3}{dt} = \frac{R_6}{R_5 + R_6} i_9 - \left( \frac{1}{R_7} + \frac{1}{R_5 + R_6} \right) v_3 + \frac{1}{R_5 + R_6} v_4 + \frac{e_1(t)}{R_7}, \quad (16)$$

$$C_4 \frac{dv_4}{dt} = \frac{R_5}{R_5 + R_6} i_9 + \frac{1}{R_5 + R_6} v_3 - \left( \frac{1}{R_8} + \frac{1}{R_5 + R_6} \right) v_4 - \frac{e_2(t)}{R_8}. \quad (17)$$

把 (15)、(16)、(17) 写成矩阵形式为

$$\frac{d}{dt} \begin{bmatrix} i_9 \\ v_3 \\ v_4 \end{bmatrix} = \begin{bmatrix} \frac{-R_5 R_6}{L_9(R_5 + R_6)} & \frac{-R_6}{L_9(R_5 + R_6)} & \frac{-R_5}{L_9(R_5 + R_6)} \\ \frac{R_6}{C_3(R_5 + R_6)} & \frac{R_5 + R_6 + R_7}{C_3(R_5 + R_6)R_7} & \frac{1}{C_3(R_5 + R_6)} \\ \frac{R_5}{C_4(R_5 + R_6)} & \frac{1}{C_4(R_5 + R_6)} & \frac{R_5 + R_6 + R_8}{R_8 C_4(R_5 + R_6)} \end{bmatrix} \begin{bmatrix} i_9 \\ v_3 \\ v_4 \end{bmatrix} + \begin{bmatrix} 0 \\ \frac{e_1(t)}{R_7} \\ -\frac{e_2(t)}{R_8} \end{bmatrix}$$

$$+ \begin{bmatrix} 0 & 0 \\ \frac{1}{C_1 R_1} & 0 \\ 0 & \frac{1}{C_2 R_2} \end{bmatrix} \begin{bmatrix} e_1(t) \\ e_2(t) \end{bmatrix}. \quad (18)$$

解常系数非齐次线性微分方程组 (18) 得  $i_1(t), v_1(t), v_2(t)$ , 进而可以求得各支路上的电流与电压。

我们看到,  $i_1, v_1, v_2$  这三个量可以确定整个电路的状态, 称  $i_1, v_1, v_2$  是此电路的**状态变量**, 这种解法称为**状态变量法**, 式 (18) 叫做**状态变量方程组**。一般地, 列出状态变量方程组的步骤为:

(1) 画出电路对应的网络  $N(G, i(e, t))$ 。

(2) 选一棵所谓正规生成树  $T$ , 它含一切电压源, 尽可能多的电容和尽可能少的电感以及一些电阻。

(3) 按先是余树边后是树边的次序把边排序, 使得

$$B_f(G) = [B_{f1} : B_{f2}], \quad C_f(G) = [I : C_{f12}],$$

并求出  $B_{f1}^{-1}$  与  $K$ 。

(4) 列出基本关系式 (3)。

(5) 从 (3) 中尽可能多地消去一些变量, 剩余的变量即为状态变量。

(6) 解状态变量方程

$$\dot{X} = MX + NU,$$

其中  $X$  是以状态变量为分量的列向量,  $M, N, U$  为已知矩阵。

有向图和无向图一样, 也有八大矩阵:

$$A(G), B(G), B_f(G), C(G), C_f(G), S(G), S_f(G), P(G).$$

而且有向图与其底图在相应的矩阵之定义及性质方面有许多相似之处。我们的注意力自然应集中到两者的区别上:

(1) 有向图的邻接矩阵无对称性, 而无向图的邻接矩阵是



对称的。

(2) 在无向图中,  $B(G), B_f(G), C(G), C_f(G), S(G), S_f(G)$  的运算是在 0-1 二元域  $F_2$  中进行,  $1+1=0$ ; 而这些矩阵在有向图中的运算则在实数域  $R$  上进行。

(3) 有向图中, 定义  $C(G)$  时比无向图多引入一个循环方向; 定义  $S(G)$  时, 比无向图多引入一个流向。

(4) 有些公式在有向图中有符号变化, 例如  $C_f(G) = [I : C_{f,1,2}]$ ,  $B_f(G) = [B_{f,1} : B_{f,2}]$ ,  $S_f(G) = [S_{f,1} : I]$ , 则

$$C_{f,1,2} = \pm B_{f,1}^T (B_{f,2}^T)^{-1},$$

$$S_{f,1} = \pm C_{f,1,2}^T,$$

公式中, 无向图取 “+” 号, 有向图取 “-” 号。

本章引入的解电路问题的状态变量法是有向图的最重要的应用之一, 这种方法——电路理论与计算中的先进方法被广泛采用。

## 习 题

1. 已知有向图  $G$  的邻接矩阵是

$$A(G) = \begin{bmatrix} 0 & 1 & 0 \\ 0 & 0 & 1 \\ 1 & 0 & 0 \end{bmatrix},$$

不许画图, 回答  $G$  是否强连通, 为什么?

2. 求图 14.11 的极大强连通子图。

3. 有向图  $G$  的关联矩阵为

$$B(G) = \begin{bmatrix} 1 & 1 & 1 & 0 & 0 & 0 \\ -1 & 0 & 0 & -1 & 0 & 1 \\ 0 & 0 & -1 & 0 & -1 & -1 \\ 0 & -1 & 0 & 1 & 1 & 0 \end{bmatrix},$$

求  $\tau(G)$ , 并画出一切生成树。

4. 写出图 14.12 中关于生成树  $T = G - \{a, b, c, d\}$  的基本

圈矩阵与基本割集矩阵。

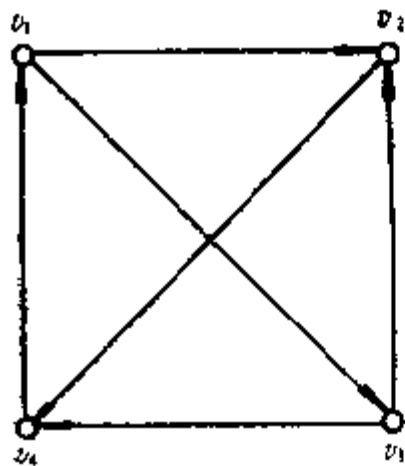


图 14.11

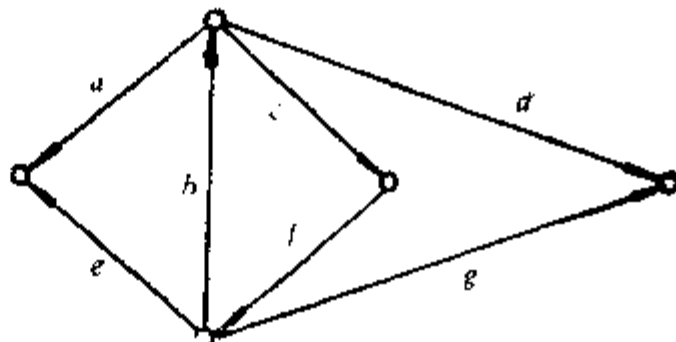


图 14.12

5. 求图 14.13 中两个电路的状态变量方程组。

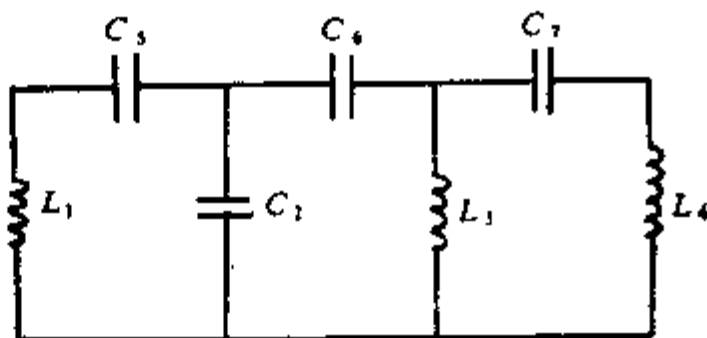
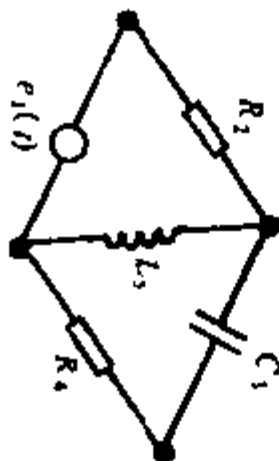


图 14.13

6.  $B(G)$  是有向图  $G(V, E)$  的关联矩阵, 求

$$\sum_{i=1}^{V-1} \sum_{j=1}^E b_{ij} = ?$$

其中  $b_{ij}$  是  $B(G)$  的元素。

又若  $G(V, E)$  的邻接矩阵  $A(G) = (a_{ij})_{V \times V}$ , 说明

$\sum_{i=1}^{V-1} \sum_{j=1}^V a_{ij}$  的图论意义。

## 15 NPC 概念和Cook定理

### 15.1 算法的好与坏

多年来,许多学者企图对任何组合问题都找一个有效算法来解决,可惜至今大家只是部分地得到成功,本书前面各章列出的种种算法,记录了这方面取得成功的一些重要成果,另外还有大批的问题,例如我们已经接触的工序问题、货郎问题、色数问题等,虽曾做过极大努力,仍未找到有效算法。人们发现了一个问题集团,其中包含的问题已经落实的就有几百个(以后还会增加),它们都被认真研究过,但其中任何一个问题皆未找出有效算法。虽然这个集团中的问题其实际背景与数学模型各异,但是已经严格证实,这个集团中的问题在算法的时间复杂度方面是共命运的,即若其中一个问题存在有效算法,则它们每个问题都有有效算法。当然,据此判定这些问题一定不会有有效算法,显然是不能令人信服的,但这种情形给出了一个很强的暗示,令人倾向于猜测这个问题集团可能真的不会有有效算法。

我们把描述一个问题的实例的数据之长度叫做**输入长**。

所谓**有效算法**,又称**好算法**,按Edmonds的定义,是指对给定的问题,存在一个多项式 $P(n)$ ,使得对输入长为 $n$ 的每个实例,最多用 $P(n)$ 个基本运算步骤即得以解决。

这里“有效”二字体现于:

(1) 在文献中发表的被公认是有效地解决了的问题所用的算法,皆属于Edmonds意义下的有效算法。

(2) 任何一个难解问题(指上述共命运的问题集团中的问

题),皆未发现Edmonds意义下的有效算法。

(3) Edmonds意义下的有效算法比指数时间的算法(例如穷举法)好得多。

例如算法  $A$  的时间复杂度是  $n^2$ , 算法  $B$  的时间复杂度是  $2^n$ , 其中  $n$  是输入长。假设计算的时间有限, 例如是一个小时内必须完成, 今有输入长为  $n_0$  的一个实例, 使用计算机  $C$  来解。用  $B$  算法, 一个小时内运算步骤必须不少于  $2^{n_0}$  个, 若改用另一台更快速的计算机  $C'$  来解,  $C'$  是  $C$  运算速度的百倍, 我们指望  $C'$  会解决输入长比  $n_0$  大得多的实例, 但  $C'$  在一小时内处理的实例之输入长  $n$  满足

$$2^n = 2^{n_0} \times 100,$$

即

$$n = n_0 + \log_2 100 < n_0 + 7.$$

由此可见, 由于算法  $B$  的笨拙, 我们虽然把计算机计算速度提高了百倍, 但用算法  $B$  去解决问题时, 并未显示出大型快速计算机的优势来。我们已经意识到, 虽然计算机的更新换代是必要的和令人鼓舞的进展, 但从某种意义上来说, 提供好的算法比机器提高速度更为有效。

对于同一个问题, 若用  $A$  算法在  $C'$  机上去解, 则可处理的输入长  $n$  满足

$$n^2 = 100n_0^2,$$

$$n = 10n_0.$$

这时可以处理输入长是  $C$  机上处理的输入长10倍的实例。若有一个算法的时间复杂度是输入长的线性函数, 用此算法在  $C'$  机上去解可以处理比  $C$  机处理的输入长扩大百倍的实例。

下面的表格对有效算法与指数时间的算法的效果进行了具体比较。

时间复杂度	原计算机	扩大百倍速度的计算机	千倍速度计算机
$n$	$N_1$	$100N_1$	$1000N_1$
$n^2$	$N_2$	$4.64N_2$	$10N_2$
$n^3$	$N_3$	$2.5N_3$	$3.98N_3$
$2^n$	$N_4$	$N_4 + 6.64$	$N_4 + 9.97$
$3^n$	$N_5$	$N_5 + 4.19$	$N_5 + 6.29$

其中  $N_i (i = 1, 2, 3, 4, 5)$  是单位时间内可以处理的输入长之上界。我们看到，若用  $3^n$  这种时间复杂度的坏算法，即使机器的计算速度扩大千倍，输入长的增加也不到 7。

下页的表是用每秒百万次计算机得出的，我们看到，输入长 30 的实例，在这种快速计算机上用  $3^n$  时间复杂度的算法尚需 6 年半的时间才能完成，而输入长为 30 的实例并不罕见；若用这种算法处理输入长为 60 的实例，则需要  $1.3 \times 10^{11}$  个世纪！这实际上宣布了  $3^n$  时间复杂度的算法是无用的坏算法。

## 15.2 判定问题的 NP 类

我们称答案不是“是”就是“否”的问题为**判定问题**。有些问题，可以化成判定问题，例如边容量为自然数的网络上的最大流问题就可以化成：给定网络  $N$  与非负整数  $k$ ，问是否存在流量不少于  $k$  的流函数？若回答说“是”，我们用  $k+1$  代替  $k$ ，再提问同样的问题，如此可以找到最大流。

为了讨论判定问题的时间复杂度理论，我们引入 Turing 机的概念。Turing 机是年轻的英国数学家 Turing 1936 年提出的一个数学概念，它并非什么机器，但它的功用却十分之大，不仅是研究计算复杂度理论的得力工具，而且为 1946 年真计算机之问世奠定了思想基础。

我们称下面的八重组为一部 Turing 机：

时 间	耗 复	输入长 度					
		10	20	30	40	50	60
$n$		0.00001"	0.00002"	0.00003"	0.00004"	0.00005"	0.00006"
$n^2$		0.0001"	0.0004"	0.0009"	0.0016"	0.0025"	0.0036"
$n^3$		0.001"	0.008"	0.027"	0.064"	0.125"	0.216"
$n^6$		0.1"	3.2"	24.3"	1.7'	5.2'	13.0'
$2^n$		0.001"	1.0"	17.9'	12.9天	35.7年	366世纪
$3^n$		0.059"	58'	6.5年	3855世纪	$2 \times 10^8$ 世纪	$1.3 \times 10^{13}$ 世纪

$$(S, \Gamma, \Sigma, f, b, s_0, s_?, s_N),$$

其中

$$S = \{s_1, s_2, \dots, s_m, s_?, s_N\}$$

是状态集合,  $s_0$  叫做初态,  $s_?$  叫做 Yes 态,  $s_N$  叫做 No 态.

$$\Gamma = \{\gamma_1, \gamma_2, \dots, \gamma_k, b\}$$

是带符集合,  $b$  叫做空白符.

$\Sigma \subset \Gamma$  叫做输入符集合.

$$b \in \Gamma - \Sigma.$$

$$f: (S - \{s_?, s_N\}) \times \Gamma \rightarrow S \times \Gamma \times \{1, -1\},$$

$f$  叫做转换函数.

Turing 机上有一个无限长的“纸带”, 划分成 $\dots, C(-2), C(-1), C(0), C(1), C(2), \dots$ 地址序列.

Turing 机还具有一个“读写头”.

下面说明 Turing 机的操作及表达式.

### (1) 头位函数 $h(t)$

读写头每个单位时间瞄准一个地址, 若  $t$  时刻瞄准的地址是  $C(i)$ , 则写成

$$h(t) = i.$$

规定

$$h(0) = 1,$$

即开始时读写头在  $C(1)$  处.

### (2) 数据输入

设输入符集合为  $\Sigma = \{x_1, x_2, \dots, x_n\}$ , 记时刻  $t$  在  $C(i)$  处写的带符是  $\gamma(i, t)$ , 且规定

$$\gamma(i, 0) = x_i, \quad i = 1, 2, \dots, n;$$

$$\gamma(i, 0) = b, \quad i \neq 1, 2, \dots, n.$$

### (3) 转换函数 $f$

设时刻  $t$  之状态为  $s(t) \in S - \{s_?, s_N\}$ , 则

$$f(s(t), \gamma(h(t), t)) = (p, q, d),$$

其中

$$\begin{aligned}(S(t), \gamma(h(t), t)) &\in (S - \{s_r, s_N\}) \times \dots, \\ (p, q, d) &\in S \times \Gamma \times \{1, -1\}.\end{aligned}$$

含义是

$$\begin{aligned}s(t+1) &= p, \\ h(t+1) &= h(t) + d, \\ \gamma(i, t+1) &= \begin{cases} q, & i = h(t), \\ \gamma(i, t), & i \neq h(t). \end{cases}\end{aligned}$$

(4) 停机

$$s(t) \in \{s_r, s_N\} \text{ 时停机.}$$

Turing 机解决了一个判定问题  $D$ , 是指:

对任意给定的  $D$  的一个实例, 这个实例用字符  $x_1, x_2, \dots, x_n$  表达时, 实例答案为“是”当且仅当以  $x_1, x_2, \dots, x_n$  做为输入, Turing 机停机于  $s_r$  态.

**定义 1** 对于判定问题  $D$ , 存在一个多项式  $P(n)$ , 使得对其每一输入长为  $n$  的实例, Turing 机可以在  $P(n)$  时间内解决, 此种问题  $D$  的全体组成的集合叫做  $P$  类问题集合, 记之为  $P$ .

有许多问题, 我们虽然尚不知其有无多项式算法, 但给出一些附加信息, 则可以在多项式时间内由 Turing 机加以解决. 例如“图  $G$  是否 Hamilton 图?”众所周知, 这个问题是个难解问题, 但若给出  $G$  的一个子图, 则在多项式时间内可以验证它是否为  $G$  的 Hamilton 圈.

设 Turing 机开始计算前, 把某些信息存入  $C(-1), C(-2), \dots$  等地址, 称符号列

$$\gamma(-1, 0), \gamma(-2, 0), \dots = g_1 g_2 \dots$$

为一个猜想.

我们注意到, 若 Turing 机的计算时间以某个多项式  $P(n)$  为上界, 则不要把比  $P(n) - 1$  长的猜想存入机器中去, 因为地址  $C(-P(n))$  在计算中达不到.



一个判定问题  $D$  在不确定 Turing 机上在多项式时间内被解决是指：对于问题  $D$ ，存在多项式  $P(n)$ ，使得对  $D$  的输入长为  $n$  的实例，若其答案为“是”，则存在一个猜想，对于它，机器在  $P(n)$  时间内停机于  $S_r$  态；若其答案是“否”则对于每个猜想，在  $P(n)$  时间内 Turing 机皆停机于  $S_r$  态。

不确定 Turing 机概念中“不确定”三个字的含义是：上述的“若答案为‘是’，则存在一个猜想，对于它，机器停机于  $S_r$  态”一语中，我们只是相信有这么一个猜想存在，但并未给出什么确定的方法可以找到这个猜想。也许我们侥幸碰上了这么一个猜想，但这种幸运是罕见的，或者这个实例之答案是否定的，这时，要逐个验算猜想，而猜想可有  $|\Gamma|^{P(n)-1}$  个，要用  $P(n)|\Gamma|^{P(n)-1}$  时间来完成，这是一个可怕的指数时间，会随着  $P(n)$  之增大而爆炸性增大，所以用这种方法来求解，实际上是不现实的，也就是说，用 Turing 机如此解决问题不可能实际地得出确定的答案。

不确定 Turing 机对于解决问题实际上是个无效的工具，它只有理论上的价值，借助于它，我们可以建立 NP 概念。

**定义 2** 在多项式时间内能被不确定 Turing 机解决的判定问题之集合叫做 NP 类判定问题集合，记做 NP。

显然， $P \subset NP$ 。但  $P = NP$  是否成立？这是一个尚未解决而其意义十分之深远的问题。

### 15.3 NPC 与 Cook 定理

**定义 3**  $D_1$  与  $D_2$  是两个判定问题，存在一个映射  $f$ ，以及一个多项式  $Q(n)$ ，使得对于任集给定的  $D_1$  的一个实例的输入  $I_1$ ， $I_1$  之长为  $n$ ，则  $f$  在  $Q(n)$  时间内把  $I_1$  映射成  $D_2$  的一个输入  $f(I_1)$ ，且  $I_1$  的答案是“是”当且仅当  $f(I_1)$  的答案是“是”，集称在多项式时间内  $D_1$  转化成  $D_2$ ，记之为  $D_1 \propto D_2$ 。

**定义 4** 若判定问题集  $D \in NP$ ，且  $\forall D' \in NP$ ，有  $D' \propto D$ ，则

称 $D \in \text{NPC}$ , 即NPC是下面的判定问题集合:

$$\text{NPC} = \{D \mid D \text{ 是判定问题}, D \in \text{NP}, \forall D' \in \text{NP} \text{ 时}, D' \propto D\}.$$

这个定义是 Karp 于 1972 年提出的.

**推论 1** 设  $D_1, D_2$  是两个判定问题,  $D_1 \propto D_2, D_2 \in P$ , 则  $D_1 \in P$ .

**证** 设  $I_1$  是  $D_1$  之输入, 输入长  $|I_1| = n$ , 又  $D_1 \propto D_2$ , 则存在映射  $f$  及多项式  $Q(x)$ , 使得  $f(I_1)$  是  $D_2$  的一个输入, 此映射可于  $Q(n)$  时间内完成; 又由于  $D_2 \in P$ , 故存在多项式  $P(x)$  (不妨设  $P(x)$  单调上升), 使得对于  $D_2$  之输入  $f(I_1)$ , 在  $P(|f(I_1)|)$  时间内解决, 又  $|f(I_1)| \leq Q(n)$ , 所以  $f(I_1)$  可于多项式时间  $P(Q(n))$  内解决, 于是,  $I_1$  亦可在多项式  $Q(n) + P(Q(n))$  时间内解决, 即  $D_1 \in P$ . 证毕.

**推论 2**  $D_1, D_2 \in \text{NPC}$ , 则  $D_1 \propto D_2$ .

**证** 由于  $D_1 \in \text{NPC}$ , 则  $D_1 \in \text{NP}$ ; 又  $D_2 \in \text{NPC}$ , 由定义,  $\forall D' \in \text{NP}, D' \propto D_2$ , 取  $D_1 = D'$ , 则  $D_1 \propto D_2$ , 证毕.

推论 2 告知, NPC 内各问题间在时间复杂度方面是等价的 (或多项式可归约的).

由推论 1 可得

**推论 3** 若  $D \in \text{NPC}$ , 假设  $D \in P$ , 则  $\text{NP} = P$ .

**证** 因  $D \in \text{NPC}$ , 则  $D \in \text{NP}$ , 且  $\forall D' \in \text{NP}, D' \propto D$ , 假设  $D \in P$ , 由推论 1,  $D' \in P$ , 即  $\text{NP} \subseteq P$ . 又  $P \subseteq \text{NP}$ , 故得  $P = \text{NP}$ . 证毕.

**推论 4**  $D \in \text{NPC}$ , 假设  $D \in P$ , 则  $\text{NPC} \subseteq P$ ; 若  $D \notin \text{NPC}$ , 假设  $D \in P$ , 则  $\text{NPC} \cap P = \emptyset$ .

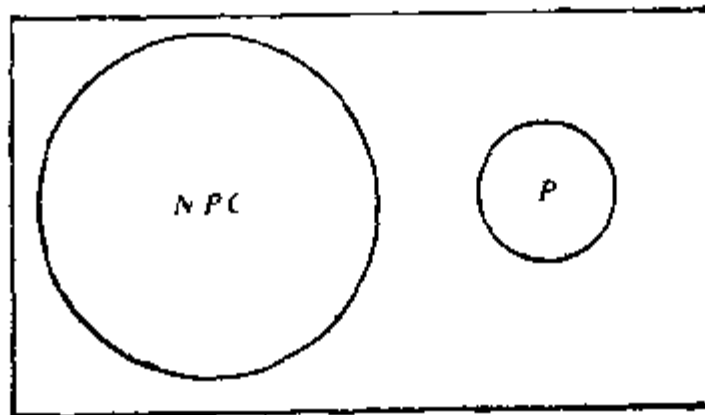
**证** 由推论 3 知当  $D \in \text{NPC}$ , 且  $D \in P$  时,  $\text{NP} = P$ , 但  $\text{NPC} \subseteq \text{NP}$ , 故得  $\text{NPC} \subseteq P$ . 另一方面, 若  $D \in \text{NPC}$ ,  $D \notin P$ , 但  $\text{NPC} \cap P \neq \emptyset$ , 则存在一个  $D_1 \in \text{NPC} \cap P$ , 即  $D_1 \in P, D_1 \in \text{NPC}$ . 由推论 4 前半段的结论,  $\text{NPC} \subseteq P$ , 于是  $D \in P$ , 与  $D \notin P$  矛盾, 所以当  $D \in \text{NPC}, D \notin P$  时, 则  $\text{NPC} \cap P = \emptyset$ . 证毕.

推论 4 告知, NPC 中的问题,只要有一个是 P 类的,则个个都是 P 类的,即 NPC 中的问题皆存在有效算法(但愿如此!),但若发现某个 NPC 中的问题不是 P 类的,即它无有效算法,则 NPC 中各个问题皆无有效算法! NPC 问题在有无有效算法的意义下是共命运的。

**定理 1 (NP 完备性定理)** 若  $D' \in \text{NPC}$ ,  $D' \in \text{NP}$ ,  $D \propto D'$ , 则  $D \in \text{NPC}$ .

**证** 因  $D' \in \text{NPC}$ , 故  $D' \in \text{NP}$ ,  $D' \propto D$ ; 又知  $D' \in \text{NP}$ , 且  $D \propto D'$ , 则  $D \propto D'$ , 由定义  $D \in \text{NPC}$ . **证毕.**

目前,有些意见倾向于  $\text{NP} \neq \text{P}$ ,  $\text{P} \cap \text{NPC} = \emptyset$ ,  $\text{NP} - \text{NPC} - \text{P} \neq \emptyset$  (见图 15.1). 但这种看法的真伪并未得到证明。



NP  
图 15.1

1972年,多伦多大学的 Cook 找到了第一个 NPC 问题,它的代号为 SAT(Satisfiability). 以它为 NPC 家族的“种子”,由定理 1,繁衍出大批 NPC 中的问题。

设有限变量集

$$X = \{x_1, x_2, \dots, x_n\},$$

$X$  中的每个变量可以取  $T$  与  $F$  两个值之一,且  $x_i = T$ , 则  $\bar{x}_i = F$ ;  $x_i = F$ , 则  $\bar{x}_i = T$ .

称

$$L = \{x_1, x_2, \dots, x_n, \bar{x}_1, \bar{x}_2, \dots, \bar{x}_n\}$$

为**字集合**, 字集合的子集叫做**句子**。

SAT 的实例是：任意给定一个句子集合  $\{C_1, C_2, \dots, C_m\}$ ，是否有一种赋值方法，使得每个句子  $C_i$  中皆有  $T$  值的字？

句子中有的字取  $T$  值时，则此句子称为**饱和的**。

SAT：

**输入：**一个句子集合。

**问：**是否存在一种赋值方法，使这些句子皆饱和？

**定理 2** (Cook)  $\text{SAT} \in \text{NPC}$ 。

**证**  $\text{SAT} \in \text{NP}$  是显然的。下证  $\forall D \in \text{NP}$ ，皆有  $D \leq \text{SAT}$ 。即当  $I$  是  $D$  的长  $n$  的输入时，要证存在一个映射  $f$ ，使得  $f(I)$  是 SAT 的一个输入，此映射耗时为多项式  $Q(n)$ ，且  $I$  回答“是”当且仅当  $f(I)$  回答“是”。

所谓机器对  $I$  回答“是”，是指存在一个猜想，机器在多项式时间  $P(n)$  内停机于  $S_r$  态，即 Turing 机有序地执行以下步骤：

(1) 初始时， $I$  由  $C(1), C(2), \dots, C(n)$  处的内容表达出来，而  $C(0), C(n+1), C(n+2), \dots, C(P(n)+1)$  皆为空白。

(2) 初始态是  $S_0$ ，开始时头在  $C(1)$ ，即  $h(0) = 1$ 。

(3) 对于每一时刻  $t, 0 \leq t \leq P(n)$ ，机器恰在一种状态下。

(4) 对于每一时刻  $t, 0 \leq t \leq P(n)$ ，每个地址  $C(i)$  处恰写一个带符， $-P(n)+1 \leq i \leq P(n)+1$ 。

(5) 对于每个时刻  $t, 0 \leq t \leq P(n)$ ，头恰在一个地址  $C(i)$  上， $-P(n)+1 \leq i \leq P(n)+1$ 。

(6) 仅当时刻  $t$  头在此地址上，该地址的内容才能从时刻  $t$  到时刻  $t+1$  的情况下改变。

(7) 若  $S(t) \in S - \{s_r, s_N\}$ ，则  $S(t+1), \gamma(h(t), t+1), h(t+1)$  由  $f$  确定。若  $s(t) \in \{s_r, s_N\}$ ，则  $s(t+1) = s(t)$ 。

(8)  $s(P(n)) = s_r$ 。

为明确起见，把记号规定如下：

$S = \{s_0, s_1, s_2, s_3, \dots, s_q\}$ ， $s_1 = s_r, s_2 = s_N$ 。

$i$ ：地址， $i = C(i)$ ， $-P(n)+1 \leq i \leq P(n)+1$ 。

$j$ : 带符,  $0 \leq j \leq g$ ,  $\Gamma = \{\gamma_0 = b, \gamma_1, \gamma_2, \dots, \gamma_g\}, j = \gamma_i$ .

$k$ : 状态,  $0 \leq k \leq q$ ,  $k = s_i$ .

$I = x_1 x_2 x_3 \dots x_n$ .

取SAT的变量集为

$$X = \{G(i, t, j)\} \cup \{H(i, t)\} \cup \{s(t, k)\}.$$

显然变量 $G$ 的个数是 $O(P^2(n))$ ,  $H$ 的个数是 $O(P^2(n))$ ,  $S$ 的个数是 $O(P(n))$ .

赋值方法为:

当且仅当 $\gamma(i, t) = \gamma_i$  (时刻 $t$ ,  $C(i)$ 处的带符是 $\gamma_i$ ),  $G(i, t, j) = T$ ,

当且仅当 $t$ 时刻头在 $C(i)$ 上,  $H(i, t) = T$ ,

当且仅当时刻 $t$ 状态为 $s_i$ ,  $S(t, k) = T$ .

取句子集合为 $\bigcup_{i=1}^5 S_i$ ,  $S_i$ 如下:

$$S_1 = \{\{G(i, 0, j)\} | 1 \leq i \leq n, x_i = \gamma_i\} \\ \cup \{\{G(i, 0, 0)\} | n < i \leq P(n) + 1\} \cup \{\{G(0, 0, 0)\}\}.$$

$$S_2 = \{\{s(0, 0)\}, \{H(1, 0)\}\}.$$

$$S_3 = \bigcup_i [\{\{S(t, 0), S(t, 1), \dots, S(t, q)\}\} \cup \bigcup_{k_1 < k_2} \\ \{\{S(t, k_1) \overline{S(t, k_2)}\}\}].$$

$$S_4 = \bigcup_i \bigcup_j [\{\{G(i, t, 0), G(i, t, 1), \dots, G(i, t, g)\}\} \\ \cup \bigcup_{j_1 < j_2} \{\{\overline{G(i, t, j_1)}, \overline{G(i, t, j_2)}\}\}].$$

$$S_5 = \bigcup_i [\{\{H(-P(n) + 1, t), H(-P(n) + 2, t), \dots, \\ H(P(n) + 1, t)\}\} \cup \bigcup_{i_1 < i_2} \{\{\overline{H(i_1, t)}, \overline{H(i_2, t)}\}\}].$$

$$S_6 = \bigcup_{i=0}^{\infty} \bigcup_{t=p(n)}^{\infty} \bigcup_{j=1}^{\infty} \{ \{H(i,t), G(i,t,j), \overline{G(i,t+1,j)}\} \}.$$

$$S_7 = \bigcup_{i=0}^{\infty} \bigcup_{t=p(n)}^{\infty} \bigcup_{k=1}^{\infty} \{ \{ \overline{S(t,k)}, H(i,t),$$

$$G(i,t,j), S(t+1,k') \}, \{ S(t,k), \overline{H(i,t)}, \overline{G(i,t,j)},$$

$$G(i,t+1,j') \}, \{ S(t,k), \overline{H(i,t)}, \overline{G(i,t,j)}, H(i+d,$$

$$t+1) \} | f(s_k, r_j) = (s_{k'}, r_{j'}, d) \} \bigcup_{t < p(n)} \{ \{ S(t,1),$$

$$S(t+1,1) \}, \{ \overline{S(t,2)}, S(t+1,2) \} \}.$$

$$S_8 = \{ \{ S(p(n), 1) \} \}.$$

可以验证  $S_i$  中句子皆饱和的充要条件是 Turing 机执行步骤 (i),  $1 \leq i \leq 8$ . 至此, Cook 定理证毕.

下面考虑由 SAT 在多项式时间内转化的另一个 NPC 问题, 它的代号为 3SAT.

3SAT,

**输入:** 一个句子集合, 每句恰含三个字.

**问:** 是否存在一存赋值方法, 使每句皆饱和?

**定理 3**  $3SAT \in NPC$ .

**证** 我们来证明  $SAT \propto 3SAT$  ( $3SAT \in NP$  是显然的). 为此, 令

$$S_1 = \{ \{a, b, c, d\} \} \cup S',$$

$$S_2 = \{ \{a, b, x\}, \{ \bar{x}, c, d \} \} \cup S',$$

其中  $x$  在  $S_1$  中不出现.

首先证明,  $S_1$  可饱和当且仅当  $S_2$  可饱和. 若有赋值方法使  $S_1$  句句饱和, 则这一赋值法可使  $S_2$  中的  $S'$  中之句子皆饱和, 且  $S_2$  的前两个句子至少有一个饱和的, 再对  $x$  赋值, 使  $S_2$  中的前两个句子都饱和, 于是  $S_2$  句句饱和. 反之, 若有一个赋值法使  $S_2$  句句饱和, 则这一赋值法使  $S_1$  中  $S'$  部分的句

子皆饱和, 且  $a, b, c, d$  中至少有一个值为  $T$ , 故这一赋值法可使  $S_1$  句句饱和。

上面事实告知, 一个长 4 的句子可由两个长 3 的句子代替, 通过  $l-3$  个新变量的引入, 一个长  $l$  ( $l>3$ ) 的句子可由  $l-2$  个长 3 的句子代替: 句子  $\{a_1, a_2, \dots, a_l\}$  被  $\{a_1, a_2, x_1\}, \{\bar{x}_1, a_3, x_2\}, \dots, \{\bar{x}_{l-3}, a_{l-1}, a_l\}$  代替。若一赋值使  $a_1, a_2, \dots, a_l$  中有一个变量取  $T$  值, 则长句  $\{a_1, a_2, \dots, a_l\}$  饱和, 这时,

若  $a_1$  或  $a_2$  为  $T$ , 则令  $x_1 = x_2 = \dots = x_{l-3} = F$ ,

若  $a_{l-1}$  或  $a_l$  是  $T$ , 则令  $x_1 = x_2 = \dots = x_{l-3} = T$ 。

若某个  $a_k = T, 2 < k < l-1$ , 则令  $x_1 = x_2 = \dots = x_{k-2} = T, x_{k-1} = x_k = \dots = x_{l-3} = F$ ,

以上三种可能至少发生一种, 每种情形发生时, 上述那些长 3 的句子皆饱和。

若  $a_1, a_2, \dots, a_l$  皆  $F$ , 长句未饱和, 这时无法给  $x$  变量赋值, 使  $l-2$  个短句皆饱和。

我们看到, 长句被短句代替所用的时间是以描述原句子集输入长的多项式为界。变成的句子集中, 句子数目以原句子集中字的数目为界, 且变成的句子每个至多含三个字, 即  $SAT \propto 3SAT$ , 证毕。

## 15.4 NPC 中的几个组合问题

应第 16 章之需, 我们这里讲几个组合问题, 它们属于 NPC。

**三维匹配问题, 代号 3DM,**

**输入:**  $W, X, Y$  是三个集合,  $|W| = |X| = |Y| = p \neq 0$ ,  
 $M \subseteq X \times Y \times W$ 。

**问:** 是否存在  $M' \subseteq M, |M'| = p$ , 且  $M'$  中无两个有相同分量的三元组。

例如  $W = X = Y = \{0, 1\}$ ,  $M = \{(0, 0, 0), (0, 0, 1), (0, 1, 0),$

$(1,0,0)\}$ , 则 3DM 之回答是“否”, 若在  $M$  中再加入一个  $(1,0,1)$ , 则取  $M' = \{(0,1,0), (1,0,1)\}$ , 这时 3DM 的回答是“是”。

**定理 4**  $3DM \in NPC$ .

**证** 显然  $3DM \in NP$ , 下证  $3SAT \propto 3DM$ .

令 3SAT 之输入为  $I = \{c_1, c_2, \dots, c_m\}$ ,  $x_1, x_2, \dots, x_n$  是出现于  $I$  中的变量。我们来构造 3DM 的一个输入  $f(I)$  中的  $W, X, Y, M$ .

$$W = \{x_{ij}, \bar{x}_{ij} \mid 1 \leq i \leq n, 1 \leq j \leq m\},$$

$$X = A_1 \cup S \cup G,$$

$$Y = A_2 \cup S \cup G,$$

$$A_1 = \{a_{ij} \mid 1 \leq i \leq n, 1 \leq j \leq m\},$$

$$A_2 = \{b_{ij} \mid 1 \leq i \leq n, 1 \leq j \leq m\},$$

$$S = \{s_j \mid 1 \leq j \leq m\},$$

$$G = \{g_k \mid 1 \leq k \leq m(n-1)\},$$

$$M = AC \cup SC \cup GC,$$

$$AC = \bigcup_{i=1}^n AC_i,$$

$$AC_i = \{(x_{ij}, a_{ij}, b_{ij}) \mid 1 \leq j \leq m\} \cup \\ \{(\bar{x}_{ij}, a_{ij+1}, b_{ij}) \mid 1 \leq j \leq m-1\} \cup \\ \{(\bar{x}_{i,m}, a_{i1}, b_{im})\}.$$

图 15.2 表示  $AC_i$  的结构, 其中每个圈内为一个三元组, 标志  $i$  已被省略, 每个  $a_{ij}, b_{ij}$  参加两个三元组, 对每个  $i, M'$  要么含形如  $(x_{ij}, a_{ij}, b_{ij})$  的三元组, 要么含所有其它类型的三元组, 但不能混合。此即表明所有出现的  $x_i$  或皆  $T$  或皆  $F$ 。

$$SC = \bigcup_{j=1}^m SC_j,$$

$$SC_j = \{(x_{ij}, s_j, s_j) \mid x_i \in C_j\} \cup \\ \{(\bar{x}_{ij}, s_j, s_j) \mid \bar{x}_i \in C_j\}.$$



由 3SAT 之定义, 每个  $SC_i$  中含三个三元组, 为了使  $s_i$  做为第二与第三分量, 仅一个三元组在  $M'$  中, 显然, 这只能是:  $x_{i,j}(\bar{x}_{i,j})$  在  $M' \cap AC$  中未用过, 即  $x_i$  给以真(假)赋值。

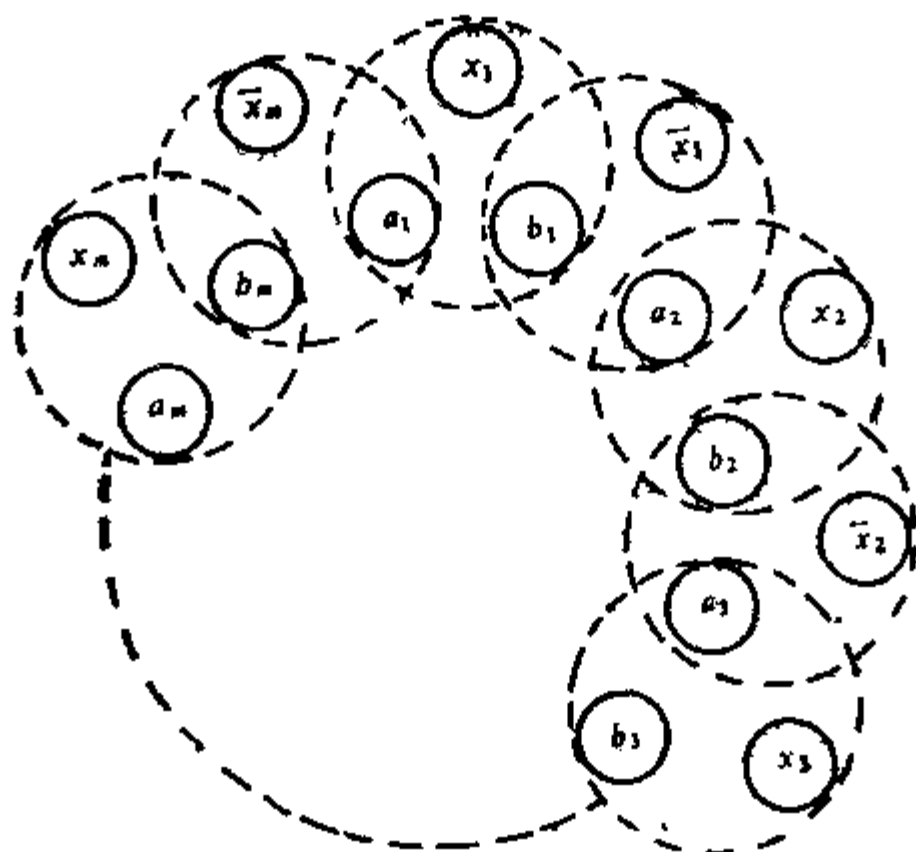


图 15.2

令  $M' \cap (AC \cup SC)$  用了  $W$  的  $mn + m$  个元素, 为含其余  $m(n-1)$  个元素, 我们有

$$GC = \{(x_{i,j}, g_k, g_k), (\bar{x}_{i,j}, g_k, g_k) \mid 1 \leq i \leq n, \\ 1 \leq j \leq m, 1 \leq k \leq m(n-1)\}.$$

**证明**

下面再讨论一个著名的组合问题, 它称为**三元素子集精确覆盖问题**, 代号 3XC.

3XC,

**输入:** 集合  $U$  及其三元素子集集团  $C$ .

**问:**  $C$  中是否存在子集团, 使其精确覆盖  $U$ ?

即若  $s_1, s_2, \dots, s_n$  是 3 元素集合, 且对每个  $i, 1 \leq i \leq n$ ,

$S_i \subset U$ , 问是否存在  $I \subset \{1, 2, \dots, n\}$ , 使得

$$\bigcup_{i \in I} S_i = U,$$

且  $i, j \in I$ ,  $i \neq j$  时,  $S_i \cap S_j = \emptyset$ . 换句话说, 问是否存在  $U$  的一个划分, 得到的子集皆三个元素, 且划分出的子集在预先指定的三元素子集集团  $C$  之中,

**定理 5**  $3XC \in NPC$ .

**证**  $3XC$  显然是 NP 问题. 下证  $3DM \leq 3XC$ . 设  $W, X, Y, M$  是  $3DM$  之输入  $I$ , 其中  $M \subseteq W \times X \times Y$ , 且  $W, X, Y$  两两不相交, 不然, 把公共元素改变一下名称即可. 取

$$C = \{\{w, x, y\} \mid (w, x, y) \in M\}.$$

$$U = W \cup X \cup Y.$$

下证  $C$  有子集精确覆盖  $U$  的充要条件是存在完备匹配  $M' \subset M$ . 显然, 若  $M'$  是一个完备匹配, 则

$$C' = \{\{w, x, y\} \mid (w, x, y) \in M'\}$$

是  $U$  的一个精确覆盖. 反之, 若  $C'$  是  $U$  的一个精确覆盖, 则

$$M' = \{\{w, x, y\} \mid \{w, x, y\} \in C'\}$$

是一个完备匹配. **证毕.**

在  $3XC$  中, 若不要求每个子集皆 3 个元素, 则问题变成所谓精确覆盖问题, 其代号为  $XC$ .

**定理 6**  $XC \in NPC$ .

定理 6 的证明只要论证  $3XC \leq XC$ , 留作习题, 请读者完成. 最后研究代号为  $SC$  的集合覆盖问题.

$SC$ :

**输入:** 集合  $U$ ,  $U$  的子集集团  $C$ , 整数  $k$ .

**问:** 是否存在  $C$  的子集团  $C'$ , 使得  $C'$  覆盖  $U$ , 且  $C'$  中集合的数目不超过  $k$ ? 即

$$\bigcup_{S \in C'} S = U, \text{ 且 } |C'| \leq k.$$

**定理 7**  $SC \in NPC$ .

**证** 只需证  $3XC \propto SC$ , 设  $C$  与  $U$  是  $3XC$  的输入  $I$ , 令

$$k = \lfloor |U|/3 \rfloor.$$

取  $C, U, k$  做为  $SC$  之输入  $f(I)$ . 若  $|U|$  被 3 除不尽, 则  $3XC$  答案为“否”, 这时  $SC$  之答案亦为“否”. 若  $|U|$  可被 3 除尽, 这时, 若  $C'$  是一个精确覆盖,  $C'$  当然也是一个覆盖, 且  $|C'| = |U|/3 = k$ , 反之, 若  $C'$  是一个覆盖,  $|C'| \leq k$ , 则  $|C'| = k$ , 因而是一个精确覆盖, **证毕**.

在  $SC$  中, 若每个子集皆含 3 个元素, 则  $SC$  变成  $3SC$  问题.

**定理 8**  $3SC \in NPC$ .

证明请读者给出.

本章我们学习了 Edmonds 意义下有效算法的概念, 引入 Turing 机, 进而定义了  $P$ ,  $NP$  与  $NPC$  三个问题集合. 一般总是用 Turing 机作为描述算法过程的基本数学模型. 任何能在现代数字计算机上实现的计算都能用 Turing 机来描述.

计算复杂性理论不仅是计算机专家最感兴趣的问题之一, 而且是应用数学家必须过问和研究的重大课题. 它使我们用精确的概念来审定问题究竟是否难解, 而不是凭直观的感觉粗略地判定一个算法的好坏.

1972 年, Cook S A 提出的关于  $SAT \in NPC$  的基本定理, 奠定了计算复杂性分析的理论基础, 同年 Karp R M 提出 21 个  $NP$  问题可由  $SAT$  转化 ( $\propto$ ), 从而得到了第一批  $NPC$  中的问题; 到 1978 年,  $NPC$  问题已经由 21 个迅速增加到 300 多个, 其中有不少是图论中的问题. 近年来, 人们仍然热衷于确定某些实际问题与理论问题的计算是否  $NPC$  问题.

至于  $NPC$  中的问题是否真的不存在多项式算法, 是当今科学界面临的重大课题之一. 显然, 这一问题的解决, 即回答

“ $P = NP$  否?”, 是一个十分困难而有意义的工作! 如果  $P = NP$ , 就应该为 NPC 中的问题设计有效算法; 若  $P \neq NP$ , 就不要再指望有效地解决 NPC 中的问题。有些问题人们还考虑它的计算复杂度是否介于  $P$  与 NPC 之间, 即 NP 中的问题能否有更细的划分。关于 NP 的完全性理论尚处于发展之中。

为了研究图论中的 NPC 问题, 本章介绍了组合论中的几个 NPC 问题, 它们是:

SAT, 3SAT, 3DM, 3XC,  $\lambda C$ , SC, 3SC.

本章涉及的思想、概念和技巧都很不通俗, 颇有几分难懂, 但它们是搞计算机科学和应用数学的必要知识, 所以必须下力气彻底弄明白。Cook 定理等本章提到的定理不论是证明的思路还是技巧与细节, 都十分新颖生动而引人入胜, 很值得学习。

## 习 题

1. 称  $M \subseteq X \times Y \times W$  是分段调和的, 若对于一切  $a, b, c, x, y, w, \{(a, b, y), (a, x, c), (w, b, c)\} \subseteq M$ , 表明  $(a, b, c) \in M$ .  
证明: 即使  $M$  限定为分段调和, 3DM 仍属于 NPC.

2. 包装问题, 代号 SP (Set packing);

输入: 一个集合集团  $C$ , 正整数  $k$ .

问:  $C$  中是否存在  $k$  个两两不相交的集合?

证明:  $SP \in NPC$ .

(例如:  $C$  是一盒一盒的什锦糖果, 要从  $C$  中选取  $k$  盒出来包装在一个大箱子里, 使箱子中任意两盒糖中没有相同味道的糖果, 这种要求能否实现?)

3. 相遇集问题, 代号 HS (Hitting set);

输入: 集合  $U$  的子集集团  $C$ , 正整数  $k$ .

问: 是否存在子集  $U' \subseteq U$ , 使得  $|U'| \leq k$ , 且  $U'$  与  $C$  中每个集合交非空?

试证:  $HS \in NPC$ .

(例如: 人们组织了一些团体, 我们欲采访每个团体里至少一个人, 但囿于时间, 被采访的总人数不得超过  $k$  名, 问是否可能?)

4. 背包问题, 代号 0-1 KNAP (0-1 Knapsack):

输入: 正整数  $a_1, a_2, \dots, a_n, b$ .

问: 是否存在  $I \subseteq \{1, 2, \dots, n\}$ , 使得

$$\sum_{i \in I} a_i = b?$$

试证:  $0-1 \text{ KNAP} \in \text{NPC}$ .

(例如: 一个背包至多只能装  $b$  公斤, 今有  $a_1$  公斤,  $a_2$  公斤,  $\dots, a_n$  公斤  $n$  件东西, 问能否从中挑选几件, 使得总重量恰为  $b$  公斤?)

5. 划分问题, 代号 PART (Partition problem):

输入: 正整数  $p_1, p_2, \dots, p_m$ .

问: 是否存在  $J \subseteq \{1, 2, \dots, m\}$ , 使得

$$\sum_{i \in J} p_i = \sum_{i \notin J} p_i.$$

试证:  $\text{PART} \in \text{NPC}$ .

(例如:  $m$  个盒子中密封了相同的球, 不许拆开盒子, 能否把这些球平分?)

6. 试证:  $\text{XC} \in \text{NPC}$ .

7. 试证:  $3\text{SC} \in \text{NPC}$ .

## 16 NPC 中若干著名的图论问题

本章从一百多个已知的 NPC 的图论问题当中选择最著名的若干问题,详细证明它们属于 NPC,借以体现证明图论问题为 NPC 问题时所用方法与技巧的一些特色,我们马上就能体会到,欲证明一个图论问题属于 NPC 是何等的困难和讲究技巧。

### 16.1 团、独立集和顶覆盖

首先讲最大团问题,代号 CLIQUE:

输入:无向图  $G(V, E)$ , 正整数  $k \leq |V|$ 。

问:  $G$  中是否有一个团  $C$ , 使得  $|C| \geq k$ ? 其中  $|C|$  是  $C$  的顶数。

定理1  $\text{CLIQUE} \in \text{NPC}$ 。

证 显然,  $\text{CLIQUE} \in \text{NP}$ , 下证  $3\text{DM} \leq \text{CLIQUE}$ 。

设  $I$  是  $3\text{DM}$  的输入,  $I$  为  $W, X, Y$ ,  $M \subseteq W \times X \times Y$ ; 取  $f(I)$  为 CLIQUE 的相应输入,  $f(I)$  中  $k = |X|$ , 图  $G(V, E)$  为

$$V(G) = M,$$

$$E(G) = \{e = m_1 m_2 \mid m_1, m_2 \in M,$$

且  $m_1$  与  $m_2$  无相同的对应分量\},

于是  $I$  “是” 当且仅当  $f(I)$  “是”。证毕。

CLIQUE 问题的解决实际上意味着找到  $G$  中顶数最大的团的顶数,可惜这个问题属于 NPC,这个貌似简单的问题实则非常困难。

下面讨论最大独立集问题,代号 IND;

**输入:** 图  $G(V, E)$ , 正整数  $k \leq |V|$ .

**问:** 是否存在独立集  $S$ , 使得  $|S| \geq k$ ?

**定理2**  $IND \in NPC$ .

**证** 显然  $IND \in NP$ , 下证  $CLIQUE \propto IND$ . 事实上, 若  $I$  是  $CLIQUE$  的输入,  $I$  由  $G(V, E)$  与自然数  $k$  组成, 则取相应的  $IND$  的输入  $f(I)$  为  $G$  的补图  $G^c$  与  $k$ , 这时, 显然有:  $I$  “是” 当且仅当  $f(I)$  “是”. 证毕.

最后讲一下最小顶覆盖问题, 代号  $VC$ ,

**输入:** 图  $G(V, E)$ , 自然数  $l \leq |V|$ .

**问:**  $G$  中是否有顶覆盖  $C$ , 使得  $|C| \leq l$ ?

**定理3**  $VC \in NPC$ .

**证**  $VC \in NP$  不足道. 下证  $IND \propto VC$ . 设  $G(V, E)$  与  $k$  是  $IND$  之输入  $I$ , 相应的  $VC$  之输入  $f(I)$  取为  $G(V, E)$  与  $l = |V| - k$ , 由独立集与顶覆盖集的互补性知,  $I$  “是” 当且仅当  $f(I)$  “是”, 证毕.

## 16.2 Hamilton 轨和 Hamilton 圈

**有向 Hamilton 轨问题, 代号 DHP,**

**输入:** 有向图  $G(V, E)$ ,  $s, t \in V(G)$ .

**问:**  $G$  中是否有有向 Hamilton 轨  $P(s, t)$ ?

**定理4**  $DHP \in NPC$ .

**证** 显然  $DHP \in NP$ , 下证  $VC \propto DHP$ . 设  $VC$  之输入  $I$  为  $G(V, E)$  及自然数  $k \leq |V|$ , 下面给出相应的  $DHP$  之输入  $f(I)$ .

设  $e(v, 1), e(v, 2), \dots, e(v, d(v))$  是  $G(V, E)$  中与顶  $v$  关联的边,  $f(I)$  中的有向图  $G'(V', E')$  构造如下:

$$V' = \{a_0, a_1, a_2, \dots, a_k\} \cup \bigcup_{v \in V(G)} \{(v, 1, i), (v, 2, i) \mid 1 \leq i \leq d(v)\}.$$

即把无向图  $G(V, E)$  的每个顶  $v$  变成  $2d(v)$  个顶, 再添加  $k+1$  个

新顶  $a_0, a_1, \dots, a_k$ , 这些顶合起来构成有向图  $G'$  的顶集合  $V'$ .

$$\begin{aligned} E' = & \{a_i \rightarrow (v, 1, 1) \mid 0 \leq i < k, v \in V(G)\} \cup \\ & \{(v, 2, d(v)) \rightarrow a_i \mid 0 < i \leq k, v \in V(G)\} \cup \\ & \{(u, 1, i) \rightarrow (v, 1, j), (u, 2, i) \rightarrow (v, 2, j) \\ & \mid e(u, i) = e(v, j)\} \cup \\ & \{(v, 1, i) \rightarrow (v, 2, i) \mid v \in V(G), 1 \leq i \leq d(v)\} \cup \\ & \{(v, 2, i) \rightarrow (v, 1, i+1) \mid v \in V(G), 1 \leq i < d(v)\}. \\ s = & a_0, \quad t = a_k. \end{aligned}$$

我们称顶  $v$  “内部由  $(v, 1, 1)$  到  $(v, 2, d(v))$ ” 的有向轨为顶  $v$  之“迹”. 下证  $G'$  中有 Hamilton 轨  $p(a_0, a_k)$ , 当且仅当  $G$  中有  $k$  顶顶覆盖.

设  $C = \{v_1, v_2, \dots, v_k\}$  是  $G$  中一个顶覆盖, 我们来构造  $G'$  中的一个 Hamilton 轨  $P(a_0, a_k)$ . 取边  $a_0 \rightarrow (v_1, 1, 1)$ , 通过  $v_1$  的迹到达  $(v_1, 2, d(v_1))$ , 再到  $a_1$ , 由  $a_1$  到  $(v_2, 1, 1)$ , 经  $v_2$  之迹到达  $(v_2, 2, d(v_2))$ , 再到  $a_2, \dots$ , 最后从  $(v_k, 2, d(v_k))$  到达  $a_k$ , 得到一条  $G'$  中的有向轨  $P'(a_0, a_k)$ . 但  $P'(a_0, a_k)$  不一定是  $G'$  的 Hamilton 轨. 若  $P'(a_0, a_k)$  不是 Hamilton 轨,  $\forall v \in C$ , 且  $e = uv \in E(G)$ ,  $e = e(v, j) = e(u, i)$ , 则  $u \in C$ . 这时, 用  $(u, 1, i) \rightarrow (v, 1, j) \rightarrow (v, 2, j) \rightarrow (u, 2, i)$  代替  $P'$  中的  $(u, 1, i) \rightarrow (u, 2, i)$ . 由于  $C$  是顶覆盖,  $v$  在  $G'$  中“分裂”成的  $2d(v)$  个顶都被通过仅一次, 于是得到了  $G'$  中的 Hamilton 轨  $P(a_0, a_k)$ .

反之, 若  $G'$  中有 Hamilton 轨  $P(a_0, a_k)$ , 则我们能构造出  $G$  的一个  $k$  顶的顶覆盖  $S$ : 当且仅当  $(v, 1, 1)$  与  $(v, 2, d(v))$  在  $P(a_0, a_k)$  上皆与  $\{a_i\}$  中顶相邻时, 取  $v \in S$ . 证毕.

**有向 Hamilton 图问题, 代号 DHC.**

**输入:** 有向图  $G(V, E)$ .

**问:**  $G(V, E)$  中是否存在有向 Hamilton 图?

**定理5**  $DHC \leq NPC$ .

**证** DHC 显然为 NP 问题. 下证  $DHP \leq DHC$ . 设 DHP 之



输入  $I$  为  $G(V, E)$  及二顶  $s, t$ , 相应的 DHC 的输入  $f(I)$  取为  $G'(V', E')$ , 其中

$$\begin{aligned} V' &= V(G) \cup \{a\}, \\ E' &= E(G) \cup \{a \rightarrow s, t \rightarrow a\}. \end{aligned}$$

显然,  $G'(V', E)$  中有 Hamilton 轨  $P(s, t)$  当且仅当  $G'$  中有 Hamilton 圈. 证毕.

**无向图中的 Hamilton 轨问题, 代号 HP:**

**输入:** 无向图  $G(V, E)$ , 二顶  $s, t \in V(G)$ .

**问:**  $G$  中是否存在无向 Hamilton 轨  $P(s, t)$ ?

**定理6**  $HP \in NPC$ .

**证** 显然有  $HP \in NP$ . 下证  $DHP \propto HP$ .

设 DHP 之输入  $I$  为有向图  $G(V, E)$ , 二顶  $s, t \in V(G)$ , 相应的 HP 之输入  $f(I)$  取为  $G'(V', E')$  及  $(s, 0), (t, 2) \in V'$ .

$G'(V', E')$  构造如下:

$$\begin{aligned} V' &= \{(v, 0), (v, 1), (v, 2) \mid v \in V(G)\}, \\ E' &= \{(v, 0) - (v, 1), (v, 1) - (v, 2) \mid v \in V(G)\} \cup \\ &\quad \{(u, 2) - (v, 0), e = uv \in E(G)\}. \end{aligned}$$

显然,  $G(V, E)$  中有有向 Hamilton 轨  $P(s, t)$  时,  $G'$  中有无向 Hamilton 轨  $P'((s, 0), (t, 2))$ .

反之, 若  $P'((s, 0), (t, 2))$  是  $G'(V', E')$  中的 Hamilton 轨, 我们可以追踪  $P'((s, 0), (t, 2))$ , 并从  $(s, 0)$  开始把每三个在  $P'$  上相邻的顶小组  $\{(v, 0), (v, 1), (v, 2)\}$  合成一个顶, 从而得  $G(V, E)$  中的一条有向 Hamilton 轨  $P(s, t)$ . 证毕.

**无向 Hamilton 圈问题, 代号 HC:**

**输入:** 无向图  $G(V, E)$ .

**问:**  $G$  中是否存在 Hamilton 圈?

**定理7**  $HC \in NPC$ .

**证** 显然  $HC \in NP$ . 下证  $HP \propto HC$ .

设  $G(V, E)$  及  $s, t \in V(G)$  是 HP 之输入  $I$ , HC 的相应输入

$f(I)$ 为图  $G'(V', E')$ :

$$V' = V(G) \cup \{a\},$$

$$E' = E(G) \cup \{as, at\}.$$

显然, HP “是” 当且仅当 HC “是”. 证毕.

**货郎问题, 代号 TS (Traveling salesman);**

**输入:** 无向图  $G(V, E)$ , 自然数  $k$ ,  $\forall e \in E, l(e)$ .

**问:** 是否有  $G$  的一个生成回路  $C$ , 使得  $C$  之总长不大于  $k$ ?

**定理8**  $TS \in NPC$ .

**证** 不妨设  $l(e) = 1$ , 不然可把边剖分. 显然  $TS \in NP$ , 要证  $HC \propto TS$ . 设 HC 的输入  $I$  为  $G(V, E)$ , 取 TS 相应的输入  $f(I)$  为  $G(V, E)$ ,  $k = |V|$ . 于是  $I$  “是” 当且仅当  $f(I)$  “是”. 证毕.

## 16.3 图的色数

**3 色问题, 代号 3C;**

**输入:** 图  $G(V, E)$ .

**问:**  $\chi(G) \leq 3$  吗?

**定理9**  $3C \in NPC$ .

**证** 显然  $3C \in NP$ , 只需证  $3SAT \propto 3C$ .

设 3SAT 之输入  $I$  为字集  $\{x_1, x_2, \dots, x_n; \bar{x}_1, \dots, \bar{x}_n\}$  及句子集  $\{C_1, C_2, \dots, C_m\}$ , 相应的 3C 之输入  $f(I)$  为  $G(V, E)$ , 其中 (图16.1)

$$V(G) = \{a, b\} \cup \{x_i, \bar{x}_i, | 1 \leq i \leq n\} \cup$$

$$\{w_{ij} | 1 \leq i \leq 6, 1 \leq j \leq m\}.$$

$$E(G) = \{ab\} \cup \{ax_i, a\bar{x}_i, x_i x_i, 1 \leq i \leq n\} \cup$$

$$\{w_{11}, w_{21}, w_{11}, w_{41}, w_{21}, w_{41}, w_{41}, w_{51}, w_{51}, w_{51},$$

$$w_{31}, w_{61}, w_{51}, w_{61}, w_{61}, b | 1 \leq j \leq m\} \cup$$

$$\{\xi_{11}, w_{11}, \xi_{21}, w_{21}, \xi_{31}, w_{31} | 1 \leq j \leq m,$$

$$C_I = \{\xi_{1,j}, \xi_{2,j}, \xi_{3,j}\}.$$

设 0, 1, 2 是我们使用的三种颜色. 若  $I$  已句句饱和, 我们约定当字  $\xi_{k,j} = T$  时, 顶  $\xi_{k,j}$  上 1 色,  $1 \leq k \leq 3$ ; 当  $\xi_{k,j} = F$  时, 顶  $\xi_{k,j}$  上 0 色. 由于  $I$  中每句皆饱和, 所以没有

$$(\xi_{1,j}, \xi_{2,j}, \xi_{3,j}) = (0, 0, 0)$$

的现象.

我们把  $b$  着以 0 色,  $a$  着以 2 色,  $w_{i,j}$  着以 1 色,  $j = 1, 2, \dots, m$ , 于是得正常上色. 反之, 若  $f(I)$  已用 3 种颜色正常着色, 我们称  $a$  上的颜色为 2 号色,  $b$  上的颜色为 0 号色, 于是可得“字”上的颜色是 0 色或 1 色, 且  $w_{i,j}$  不是 0 色, 用反证法容易证明  $(\xi_{1,j}, \xi_{2,j}, \xi_{3,j}) \neq (0, 0, 0)$ . 这时, 我们规定 3SAT 的赋值法为

“字”为 1 色时, 此字值为  $T$ ;

“字”为 0 色时, 此字值为  $F$ ,

则  $(\xi_{1,j}, \xi_{2,j}, \xi_{3,j})$ ,  $j = 1, 2, \dots, m$  皆饱和. 证毕.

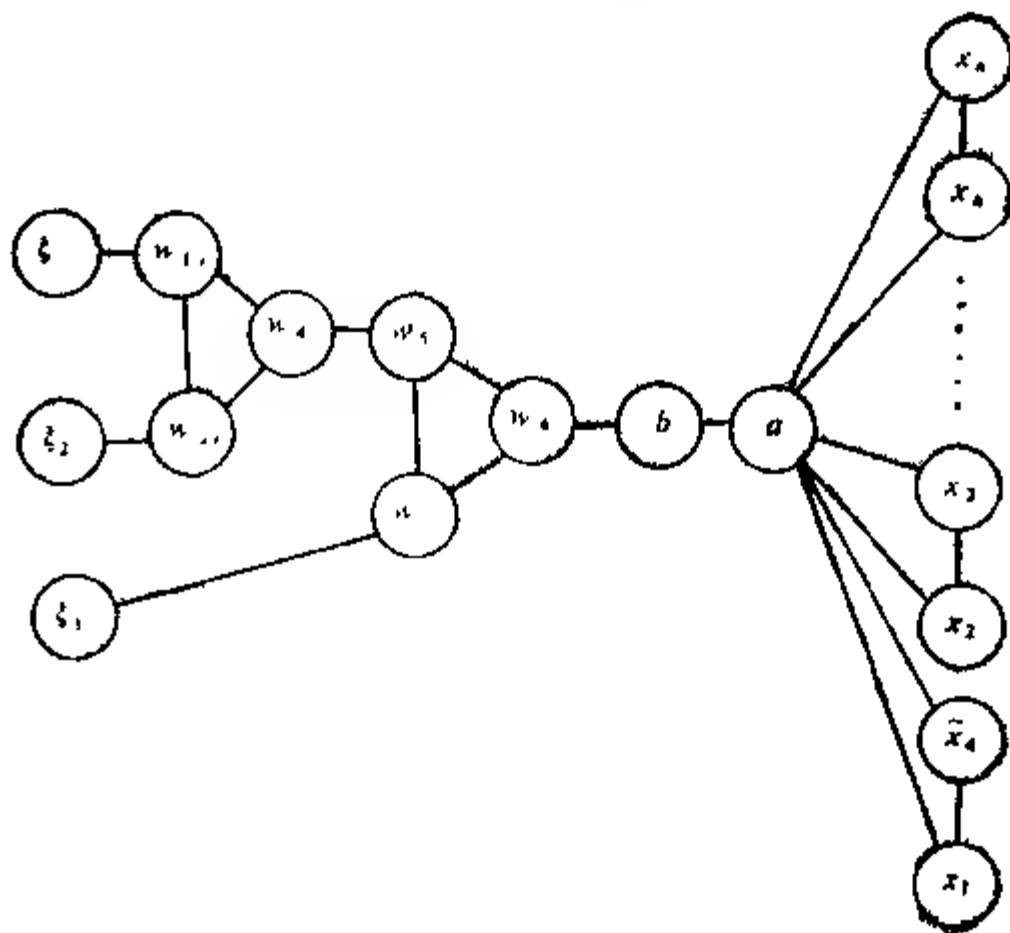


图 16.1

## 16.4 有向图的反馈集

**最小顶反馈集问题**, 代号 FVS (Feedback vertex set);

**输入:** 有向图  $G(V, E)$ , 自然数  $k$ .

**问:** 是否存在  $V' \subseteq V$ , 使得  $|V'| \leq k$ , 且  $G - V'$  中无有向

图

**定理10**  $FVS \in NPC$ .

**证** 显然  $FVS \in NP$ , 只需证  $VC \propto FVS$ . 若  $I$  为  $VC$  之输入:  $G(V, E)$  及自然数  $k$ , 相应的  $f(I)$  作为 FVS 之输入取为有向图  $H(V, F)$  及  $k$ :

$$F = \{a \rightarrow b, b \rightarrow a \mid ab \in E(G)\},$$

于是,  $V'$  是  $G$  的顶覆盖当且仅当  $V'$  是  $H$  的反馈集. 证毕.

**最小边反馈集问题**, 代号 FES:

**输入:** 有向图  $G(V, E)$ , 自然数  $k$ .

**问:** 是否存在  $E' \subseteq E$ ,  $|E'| \leq k$ , 且  $G - E'$  中无有向圈?

**定理11**  $FES \in NPC$ .

**证** FES 显然属于 NP, 下证  $FVS \propto FES$ .

设  $I$  是 FVS 之输入,  $I$  为  $G(V, E)$  及自然数  $k$ , 相应的  $f(I)$  作为 FES 之输入取为有向图  $H(W, F)$  及  $k$ :

$$W = \{(v, 1), (v, 2) \mid v \in V(G)\},$$

$$F = \{(v, 1) \rightarrow (v, 2) \mid v \in V(G)\} \cup \\ \{(u, 2) \rightarrow (v, 1) \mid u \rightarrow v \in E(G)\}.$$

我们称  $(v, 1) \rightarrow (v, 2)$  型边为“内边”,  $(u, 2) \rightarrow (v, 1)$  型边为“外边”, 每个与  $(v, 1)$  关联的外边皆入边, 且与  $(v, 1)$  关联的内边只 1 条, 它是出边, 由此知, 若在一个边反馈集中有一条外边  $(u, 2) \rightarrow (v, 1)$ , 它可以用内边  $(v, 1) \rightarrow (v, 2)$  代替, 所以我们可以假设边反馈集中的边皆为内边. 在  $G$  中, 与这些内边相对应的顶集  $V' \subseteq V$  是  $G$  的顶反馈集, 反之, 若  $V'$  是  $G$  的顶反馈集, 则在

$H$ 中的相应内边们组成 $H$ 的一个边反馈集。证毕。

## 16.5 Steiner 树

Steiner 树问题, 代号 ST.

输入: 连通图  $G(V, E)$ , 边权  $l(e) > 0$ , 自然数  $k$ ,  $X \subseteq V(G)$ .

问:  $G$ 上是否有树  $T(W, F)$ , 使得  $X \subset W \subset V$ ,  $F \subset E(G)$ ,

且  $\sum_{e \in F} l(e) \leq k$ ?

这个问题用图论语言来讲, 就是求一个权最小的树状子图, 使此树之顶含有指定的顶子集. 实际背景是挑选连通指定的几个城市的最廉价的交通 (或通讯) 网.

**定理12**  $ST \in NPC$ .

**证** ST显然属于 NP. 下证  $3XC \propto ST$ .

设  $3XC$  的输入  $I$  为  $U = \{u_1, u_2, \dots, u_t\}$ ,  $t \neq 0$ ,  $t \equiv 0 \pmod{3}$ ,  $U$  的三元素子集集团  $C = \{S_1, S_2, \dots, S_n\}$ ; 相应的  $f(I)$  作为 ST 之输入, 我们取图  $G(V, E)$  及  $l(e) = 1$ ,  $k = \frac{4}{3}t$ ,  $X = \{v_0\} \cup U$ , 其中

$$V(G) = \{v_0\} \cup C \cup U.$$

$$E(G) = \{v_0 S_i \mid 1 \leq i \leq n\} \cup \{S_i u_j \mid u_j \in S_i\}.$$

记  $v_0 S_i = e_i$ ,  $S_i u_j = f_{ij}$ .

若对  $I$  回答“是”, 即存在  $J \subseteq \{1, 2, \dots, n\}$ , 使得  $\bigcup_{i \in J} S_i$

$= U$ , 且对  $J$  中之  $i \neq j$ ,  $S_i \cap S_j = \emptyset$ , 我们来证这时对  $f(I)$  之回答也是“是”. 事实上, 取  $T(W, F)$  为

$$W = \{v_0\} \cup \{S_i \mid i \in J\} \cup U,$$

$$F = \{e_i \mid i \in J\} \cup \{f_{ij} \mid i \in J, u_j \in S_i\}.$$

显然  $T(W, F)$  是树, 且  $X \subseteq W \subset V$ ,  $F \subseteq E(G)$ . 又因  $|J| = \frac{t}{3}$ ,

于是  $|\{e_i | i \in J\}| = \frac{t}{3}$ ,  $|\{f_i | i \in J, u_i \in S_i\}| = t$ , 故  $\sum_{e \in F} l(e) = \frac{t}{3} + t = \frac{4}{3}t$ , 这时  $f(I)$  之回答是“是”。

反之, 若  $f(I)$  是“是”, 要证  $I$  亦是“是”。

设  $T(W, F)$  是  $f(I)$  的一个 Steiner 树,  $X \subset W$ , 故  $u_i (i = 1, 2, \dots, t)$  是  $T$  上的顶; 不妨设每个  $u_i$  皆叶, 不然, 若  $d_T(u_i) > 1$ , 则  $u_i$  与  $S_{i_1}, S_{i_2}$  相邻, 删去边  $f_i$ , 加上边  $e_{i_1}, e_{i_2}$  之一, 仍然得到 Steiner 树, 且总权不变。令  $I$  中的  $I$  为

$$J = \{i | S_i \cap W\} (\neq \emptyset).$$

则此树上的  $S_i$  型顶是  $U$  的一个三元精确覆盖。证毕。

定理 12 的证明指出, 即使是  $l(e) = 1$ , ST 问题仍然属于 NPC。

## 16.6 最大断集

**最大断集问题**, 代号 MAXC (Maximum cut);

**输入**: 无向图  $G(V, E)$ , 自然数  $k$ 。

**问**: 是否存在顶子集  $S \subset V(G)$ , 使得  $(S, \bar{S}) \geq k$ ?

**定理 13** MAXC  $\in$  NPC。

**证** MAXC 显然属于 NP, 下证  $3SAT \propto MAXC$ 。

设  $I$  是 3SAT 的输入,  $I$  为: 字集  $L$  与句集  $C$ ,

$$L = \{x_1, x_2, \dots, x_n, \bar{x}_1, \dots, \bar{x}_n\}, C = \{C_1, \dots, C_m\}.$$

首先构造一个最大权断集问题, 代号 MAXWC:

MAXWC 的输入: 图  $G'(V', E')$ ,  $\forall e \in E'$ , 权  $w(e)$ , 自然数  $k'$ 。

**问**: 是否有  $S' \subset V'$ , 使得  $\sum_{e \in (S', \bar{S}')} w(e) \geq k'$ ?

下证  $3SAT \propto MAXWC$ 。

取  $f(I)$  为 MAXWC 的与  $I$  相应的输入,  $G'(V', E'), w(e)$  与  $k'$  如下:

$$k' = (10m+1)n + 6m.$$

$$V'(G') = \{v_i \mid 0 \leq i \leq m\} \cup L.$$

$$E'(G') = \{uv \mid u \neq v \text{ 且 } \exists i, j, u, v \in A_i\} \cup \{x_j \bar{x}_j \mid 1 \leq j \leq n\},$$

其中

$$A_i = \{v_0\} \cup \{v_i\} \cup C_i, \quad i = 1, 2, \dots, m.$$

$w(e)$  取为

$$w(v_0 \xi) = \sum_{i=1}^m |C_i \cap \{\xi\}|, \quad \text{当 } \xi \in L,$$

$$w(\xi' \xi'') = \sum_{i=1}^m |C_i \cap \{\xi'\}| \cdot |C_i \cap \{\xi''\}|,$$

$$\text{当 } \xi', \xi'' \in L \text{ 且 } \xi' \neq \xi'',$$

$$w(x_j x_i) = 10m+1;$$

$$w(v_i u) = 1, \quad \text{当 } i > 0 \text{ 且 } u \in A_i.$$

若  $I$  “是”, 设  $\tau$  是  $T$  值之字集, 令  $\tau \subset S', L - \tau \subset S'$ , 于是  $x_j \bar{x}_j \in (S', S'), j \in \{1, 2, \dots, n\}$ , 它们对权的总贡献是  $(10m+1)n$ . 把  $v_0$  放入  $S'$  中.  $m$  个句子中的每一句至少有一个“字顶”在  $S'$  中 (都是饱和句, 每句至少一个  $T$  字在  $\tau$  中, 而  $\tau \subset S'$ ). 我们把  $v_i$  放入  $S'$  或  $S'$ , 使  $A_i$  中的顶 “2/3 分之”,  $A_i$  对断集提供 6 条边, 由权之定义,  $m$  个团  $(K_i)$  共对  $(S', S')$  提供权数  $6m$ . 这时,

$$\sum_{e \in (S', S')} w(e) = k',$$

即  $f(I)$  的回答是 “是”.

反之, 若  $f(I)$  的回答是 “是”, 即存在  $S' \subset V'$ , 使得

$$\sum_{e \in (S', S')} w(e) = k' = (10m+1)n + 6m,$$

则每条边  $x_j \bar{x}_j \in (S', S')$ , 故每个团  $A_i$  必须最大限度地再提供

6 (造成  $A, 2-3$  分顶)。这时我们称  $v_0$  所在的为“假端”，另一端为“真端”。于是最多两个字 ( $C_i$  中) 在假端，至少一个字在真端。我们把真端之字赋值  $T$ ，假端之字赋值  $F$ ，则  $I$  回答“是”。

下面把加权问题化为无权断集问题。

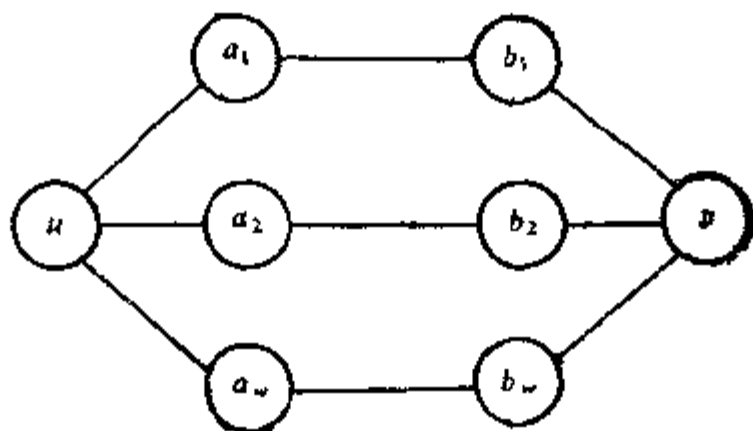


图 16.2

在  $G'$  中一条边  $uv$  之权为  $w(uv) = w(e)$ ，在  $G$  中变成如图 16.2 的结构，如此得到图  $G$ 。下面证明  $G$  中有大小至少为  $k = 2[(10m+1)n + 10m] + k'$  的断集，当且仅当  $G'$  中有权至少为  $k'$  的断集。

事实上，若  $G'$  中权为  $k'$  的断集为  $(S', \bar{S}')$ ，考虑  $G$  中的断集  $(S, \bar{S})$ ， $S' \subset S$ ， $\bar{S}' \subset \bar{S}$ ，轨  $ua, b, v$  中，若  $u, v$  在  $G$  的断集  $(S, \bar{S})$  的同一段，则最多有两条边在此断集中；若  $u$  与  $v$  分居于  $(S, \bar{S})$  之两端，则可使此轨对断集贡献 3。故  $G'$  的每一边  $e$  能把  $G$  的断集  $(S, \bar{S})$  的权提高  $2w(e)$ ， $G'$  的一切边，对  $G$  的断集提高  $2 \sum_{e \in E'} w(e)$ ，且

$$\sum_{e \in E'} w(e) = (10m+1)n + 10m.$$

若  $G'$  中  $(S', \bar{S}')$  的权是  $k'$ ，令  $S' \subset S$ ， $\bar{S}' \subset \bar{S}$ ，可使

$$|(S, \bar{S})| = 2[(10m+1)n + 10m] + k' = k.$$

反之，若  $G$  的断集  $(S, \bar{S})$  中至少有  $k$  条边，对  $G'$  的每一边  $e = uv$ ，若  $u, v$  在此断集之同一段， $e$  对此断集至多提供  $2w(e)$ ，



不妨设恰为  $2w(e)$  (不然改变  $S$ )，若  $u$  与  $v$  分居于此断集之两端， $e$  对此断集之贡献最多为  $3w(e)$ ，不妨认为恰为  $3w(e)$  (不然改变一下  $S$ )，故

$$|(S, \bar{S})| = 2 \sum_{e \in E'} w(e) + \sum_{e \in (S', \bar{S}')} w(e) \geq k,$$

其中  $S' = S \cap V'$ ，因为  $|(S, \bar{S})| \geq k$ ，故

$$\sum_{e \in (S', \bar{S}')} w(e) \geq k',$$

于是  $G'$  有权不小于  $k'$  的断集。证毕。

## 16.7 图的直线排列

本节问题的实际背景是部件排列最优化的问题。

把图  $G(V, E)$  的顶分别放在  $X$  轴的  $1, 2, \dots, |V|$  处，用  $p(v)$  表示  $v$  顶的坐标，且使  $G$  的边成为直线段，则  $G$  的边长之和为

$$L = \sum_{uv \in E(G)} |p(u) - p(v)|.$$

我们的目标是使  $L = \min$ ，可惜这个问题也是 NPC 中的一员！

**图的最短线状排列问题**，代号 MINLA (Minimum linear arrangement)。

**输入：**单图  $G(V, E)$ ，自然数  $k$ 。

**问：**是否存在可逆映射

$$p: V \rightarrow \{1, 2, \dots, |V|\},$$

使得

$$\sum_{uv \in E(G)} |p(u) - p(v)| \leq k?$$

与 MINLA 相应的，还有一个**图的最长线状排列问题**，代号 MAXLA。

**MAXLA 输入：**单图  $G(V, E)$ ，自然数  $k$ 。

**问：**是否存在可逆映射

$$p: V \rightarrow \{1, 2, \dots, |V|\},$$

使得

$$\sum_{u,v \in E(G)} |p(u) - p(v)| \geq k?$$

**定理14**  $\text{MAXLA} \in \text{NPC}$ .

**证** 只欠证  $\text{MAXC} \propto \text{MAXLA}$ . 若  $\text{MAXC}$  之输入  $I$  为:  $G'(V', E')$ , 自然数  $k'$  ( $|V'| = n$ ), 相应的  $\text{MAXLA}$  之输入  $f(I)$  取为单图  $G(V, E)$  及自然数  $k$ :

$$V = V' \cup \{x_1, x_2, \dots, x_{n^3}\},$$

$$E = E',$$

$$k = k' n^3.$$

设  $I$  “是”, 即  $G'$  中存在断集  $(S', \bar{S}')$ , 使得  $|(S', \bar{S}')| \geq k'$ , 我们来安排  $G$  之顶, 使  $G$  的顶在  $\{1, 2, \dots, n, n+1, \dots, n+n^3\}$  上, 且边之总长  $\geq k$ .

若  $v \in S'$ , 则令

$$1 \leq p(v) \leq |S'|;$$

若  $v \in \bar{S}'$ , 则令

$$|S'| + n^3 < p(v) \leq n + n^3;$$

若  $v \in \{x_1, x_2, \dots, x_{n^3}\}$ , 则令

$$|S'| < p(v) \leq |S'| + n^3.$$

于是跨  $n^3$  个孤立顶的边之条数是  $|(S', \bar{S}')|$ , 每边之长  $\geq n^3$ , 所以

$$\sum_{u,v \in E(G)} |p(u) - p(v)| \geq |(S', \bar{S}')| n^3 \geq k' n^3 = k.$$

即  $f(I)$  回答“是”.

反之, 若  $f(I)$  回答“是”, 即存在对  $V$  的安置  $p: V \rightarrow \{1, 2, \dots, n + n^3\}$ , 使得

$$\sum_{u,v \in E(G)} |p(u) - p(v)| \geq k.$$

我们来建立  $G'$  中的一个断集  $(S', \bar{S}')$ , 使得  $|(S', \bar{S}')| \geq k'$ .

又新顶皆孤立顶, 则  $G'$  中的断集与  $G$  中新集是同一的. 令

$$S_i = \{v | v \in V, p(v) \leq i\}, \quad 1 \leq i \leq |V| = n + n^2$$

$(S_i, \bar{S}_i)$  是断集.

令  $j$  满足

$$|(S_j, \bar{S}_j)| = \max_{1 \leq i \leq n + n^2} |(S_i, \bar{S}_i)|.$$

调整  $G$  顶之位置, 使  $V'$  中的顶的相对位置 (左右顺序) 不变, 而把  $x_1, \dots, x_n$  放在  $S_j \cap V'$  与  $\bar{S}_j \cap V'$  之间, 则

$$\sum_{u, v \in E} |p'(u) - p'(v)| \geq \sum_{u, v \in E} |p(u) - p(v)| \geq k = k' n^2,$$

其中  $p'$  是调整后的“安置” (映射). 在  $p'$  的安置之下,  $G$  的边总长可以分成两部分:

(1) 令  $S' = S_j \cap V'$ ,  $(S', \bar{S}')$  是  $G'$  之断集, 而孤立顶  $x_1, \dots, x_n$  插在  $S'$  与  $\bar{S}'$  之间,  $(S', \bar{S}')$  中边之长增加为  $n |(S', \bar{S}')|$ .

(2) 把  $x_1, x_2, \dots, x_n$  全卸下去, 把  $S'$  与  $\bar{S}'$  之间的间隙靠紧, 这时边总长之上界为

$$(n-1) \cdot 1 + (n-2) \cdot 2 + \dots + 1 \cdot (n-1) = \frac{n(n^2-1)}{6}.$$

于是

$$n^2 |(S', \bar{S}')| + \frac{n(n^2-1)}{6} \geq k' n^2,$$

$$|(S', \bar{S}')| + \frac{n^2-1}{6n^2} \geq k',$$

即

$$|(S', \bar{S}')| \geq k',$$

$I$  回答“是”. 证毕.

**定理 15**  $\text{MINLA} \in \text{NPC}$ .

**证** 只需证明  $\text{MAXLA} \propto \text{MINLA}$ .

设  $\text{MAXLA}$  的输入为  $I$ ,  $I$  是  $G(V, E)$  和自然数  $k$ , 相应

的 MINLA 之输入  $f(I)$  取为

$$k' = \frac{n(n^2-1)}{6} - k, \quad (n = |V|),$$

$G'(V', E')$  为

$$V' = V,$$

$$E' = \{uv \mid u \neq v, \text{ 且 } uv \notin E(G)\}.$$

注意到完全图  $K_n$  之边的总长恰为  $\frac{n(n^2-1)}{6}$ , 于是可得知  $I$  与

$f(I)$  同时回答“是”, 事实上,  $G'$  是  $G$  之补图, 对每个安置  $p$ ,

$$\sum_{uv \in E(G)} |p(u) - p(v)| + \sum_{uv \in E(G')} |p(u) - p(v)| = \frac{n(n^2-1)}{6},$$

故

$$\sum_{uv \in E(G)} |p(u) - p(v)| \geq k,$$

当且仅当

$$\sum_{uv \in E(G')} |p(u) - p(v)| \leq k',$$

证毕.

## 16.8 多商品整流问题

对于一种商品运输中的最大流问题, 我们已经有 2F 或 Dinic 等有效算法, 但对于多种商品, 即使是两种商品的整数流问题, 也尚未找到有效算法, 它是 NPC 的一员!

令顶  $s_1, s_2$  是源,  $t_1, t_2$  是汇 (坑), 边容量  $c(e) > 0$  构成有向图  $G(V, E)$  上的一个网络, 二商品流是指如下的两个流函数  $f_1, f_2$ :

(C1) 对每个边  $e \in E(G)$ ,  $f_1(e) \geq 0$ ,  $f_2(e) \geq 0$ ,  $f_1(e) + f_2(e) \leq c(e)$ ;

(C2) 对每个  $i \in \{1, 2\}$ , 和每个  $v \in V(G) - \{s_1, s_2, t_1, t_2\}$ ,

$$\sum_{e \in \alpha(v)} f_i(e) = \sum_{e \in \beta(v)} f_i(e).$$

每个流的总流量为( $i=1,2$ ),

$$F_i = \sum_{e \in \alpha(s_i)} f_i(e) - \sum_{e \in \beta(s_i)} f_i(e).$$

我们设  $f_i(e)$  与  $c(e)$  皆非负整数.

**二商品整流问题**, 代号 D2CIF (*The two-Commodity integral flow problem in directed networks*);

**输入:** 有向二源二汇网络  $N$ , 非负整数  $R_1, R_2$  (需求).

**问:** 有无整值流函数  $f_i, (i=1,2)$ , 使  $F_i \geq R_i$ ?

当  $c(e) \equiv 1$  时, D2CIF 称为简单 D2CIF.

**定理16** 简单 D2CIF  $\in$  NPC.

**证** 显然, 简单 D2CIF  $\in$  NP. 下证 SAT  $\propto$  简单 D2IF.

设 SAT 之输入  $I$  为字集

$$L = \{x_1, x_2, \dots, x_n, x_1, \dots, x_n\}$$

和句子集

$$C = \{C_1, C_2, \dots, C_m\}.$$

简单 D2CIF 的相应输入  $f(I)$  取为:

$R_1 = 1, R_2 = m$ , 二源二汇网络  $N$ , 其中  $N$  的构造为

若  $p_i$  是字  $x_i$  在句子中出现的次数,  $q_i$  是  $\bar{x}_i$  在句子中出现的次数, 则对每个  $x_i$  我们构作如图 16.3 所示的结构.

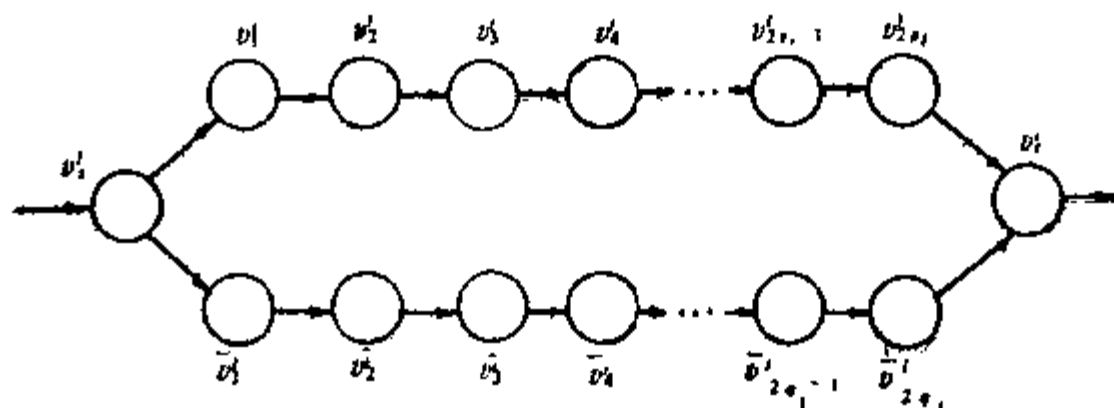


图 16.3

把图 16.3 的结构连成一串, 以  $v_1^i$  为尾, 以  $v_{i+1}^i$  为头有一条有向边; 以  $S_1$  为尾, 以  $v_1^1$  为头有一条有向边; 以  $v_m^m$  为尾, 以  $t_1$  为头有一条有向边; 以  $S_2$  为尾, 以  $v_j^i$  和  $\bar{v}_j^i$  为头有有向边, 这里  $j$  是奇数;  $C_1, C_2, \dots, C_m$  是另一些顶, 每个  $C_i$  为尾,  $i=1, 2, \dots, m$ ,  $t_2$  为头, 有一条有向边; 若  $x_i(\bar{x}_i)$  第  $j$  次出现时, 则以  $v_{i+1}^j(\bar{v}_{i+1}^j)$  为尾, 以  $C_j$  为头有一条有向边, 其中  $C_j$  是  $x_i(\bar{x}_i)$  出现的句子。

由 (C2), 第一种商品必然由  $S_1$  出发从左到右地要么经过图 16.3 的上轨, 要么经过下轨流入  $t_1$ 。

设  $f(I)$  “是”, 我们取赋值法为: 仅当  $f_1$  流过第  $i$  个图 16.3 式的结构下轨时,  $x_i = T$ 。于是对 SAT 的输入  $I$ , 回答“是”。

反之, 若有赋值法, 使  $I$  中句句饱和, 若  $x_i = T$  时, 我们令第一种商品流过图 16.3 的下轨; 若  $x_i = F$ , 我们令第一种商品流过图 16.3 的上轨; 令  $\xi$  是  $C_i$  中的“真”字, 若  $\xi = x_i$ , 则图 16.3 的上轨不通过第一种商品, 而使用它从  $S_2$  到  $C_i$  流过第二种商品的一个单位; 若  $\xi = \bar{x}_i$ , 用下轨从  $S_2$  到  $C_i$  流过第二种商品一个单位, 于是可使  $F_1 = 1$ ,  $F_2 = m$ , 即  $f(I)$  亦“是”。证毕。

本章我们介绍了图论中 16 个著名的问题, 其中货郎问题、图的线排列问题以及二商品流问题等, 显然有极强烈的实际背景, 是急待解决的应用实例。我们已证明它们属于 NPC, 于是要求出有效算法精确地解决它们就十分困难, 甚至这些问题本身不存在有效算法, 进而 NPC 中的全体问题都无有效算法。

当前对于 NPC 中的问题, 我们常常把追求问题的有效算法的努力转移到设计良好的近似算法上去, 例如对于货郎问题已有改良圈近似算法。

Garey M R 和 Johnson D S 在《Computers and Intra-

ctability》一书中给出了一部分 NPC 问题的一个清单, 有兴趣的读者可以去查阅。

## 习 题

1. 不用 Cook 定理证明  $\text{IND} \leq \text{CLIQUE}$ 。

2. 证明求最小独立集但它也是顶覆盖可在多项式时间内解决。

3. 叙述一个判定问题型的最小支配集问题; 且证明它是 NPC 的。

4. 把无向图中的货郎问题 (回路上的顶可以通过不止一次) 叙述成判定问题, 且证明它是 NPC 的。

5. 证明: 存在多项式算法求出一个回路  $C$ , 其长满足  $l(C) \leq 2l(T)$ , 其中  $l(T)$  是  $G$  的最小生成树  $T$  之长; 且若每边长皆正数, 则这种回路满足  $l(C) > l(T)$ 。

6. 证明对每个  $k \geq 3$ , 图的  $k$  正常着色问题 (一般) 是 NPC 的。

7. 下述问题叫做图的团划分问题:

输入: 图  $G(V, E)$ , 自然数  $k$ 。

问: 能否把  $V$  划分成  $k$  个子集  $V_1, V_2, \dots, V_k$ , 使得  $G[V_i]$  是团?

证明: 此问题是 NPC 的。

8. 考虑下面关于有向图的问题:

输入: 强连通有向图  $G(V, E)$ , 自然数  $k$ 。

问: 是否有边子集  $E'$ , 使得  $|E'| \leq k$ ? 且  $G'(V, E')$  是强连通的?

证明: 该问题是 NPC 的。

9. 证明下列最长轨问题是 NPC 的:

输入: 图  $G(V, E)$ , 二顶点  $s, t$ , 正整数  $k$ 。

问: 是否存在从  $s$  到  $t$  长度不少于  $k$  的轨?

10. 证明对于 2 分图, 无向 Hamilton 轨问题也是 NPC 的。

11. 证明即使  $s, t$  不指定, 无向 Hamilton 轨问题也是 NPC 的。

12. 下面是限制次数的生成树问题:

输入: 图  $G(V, E)$ , 自然数  $k$ 。

问:  $G$  中是否有生成树, 对每个顶,  $d_T(v) \leq k$ ?

证明: 即使  $k \geq 2$  是固定的, 而不是输入的一部分, 该问题也是 NPC 的。

13. 考虑下面的网络通讯问题:  $G(V, E)$  是一个图,  $v_0 \in V(G)$  称为中心, 每顶  $v \in V - \{v_0\}$  有一个需求  $r(v) \geq 0$ , 每边  $e$  上有一个容量  $c(e) > 0$  和一个费用  $k(e) \geq 0$ , 找一个满足下列条件的最小费用生成树  $T$ : 若  $U(e)$  是一些顶之集合, 使得从  $v_0$  经  $e$  到达这些顶, 则  $\sum_{v \in U(e)} r(v) \leq c(e)$ ; 树的费用为  $\sum_{e \in E(T)} k(e)$ 。

叙述一个相应的判定问题, 且证明它是 NPC 的。

14. 有向 Steiner 树问题:

输入: 有向图  $G(V, E)$ , 顶子集  $X$ , 一顶  $r \in X$ , 自然数  $k$ 。

问:  $G$  中是否有根在  $r$  的外向树  $T(W, F)$ , 使得  $X \subseteq W \subseteq V$ , 且  $|F| \leq k$ ?

证明: 此问题是 NPC 的。

15. 在二分图  $G(X, Y, E)$  中,  $X$  集合是连通的, Steiner 树问题仍是 NPC 的。

16. 下列问题称为最少删边二分图问题, 代号 MINEDB (Minimum edge-deletion bipartite subgraph);

输入: 图  $G(V, E)$ , 自然数  $k$ 。

问: 是否存在边子集  $E' \subseteq E$ , 使得  $G(V, E - E')$  是二分图, 且  $|E'| \leq k$ ?

证明: MINEDB  $\in$  NPC。

17. 下列问题称为等分最小断集问题, 代号 MINCES (Minimum cut into equal-sized);



输入: 图  $G(V, E)$ , 二顶  $s, t$ , 自然数  $k$ .

问: 是否存在  $V$  的划分  $S, \bar{S}$ , 使得  $|S| = |\bar{S}|, s \in S, t \in \bar{S}$ , 且  
 $|\{uv | u \in S, v \in \bar{S}\}| \leq k$ ?

证明:  $\text{MINCSES} \in \text{NPC}$ .

18. 证明网络中的最大流 2F 算法中能否只用  $k$  条可增载轨得出的问题是 NPC 的.

19. 成捆整流问题, 代号 IFWB (*Integral flow with bundles*);

在最大流问题中, “捆儿”是指边子集  $B_1, B_2, \dots, B_k$ , 分别具有捆容量  $C_1, C_2, \dots, C_k$ , 流  $f$  要满足对每个捆  $B_i, i = 1, 2, \dots, k$ ,  $\sum_{e \in B_i} f(e) \leq C_i$ , 且对每个顶  $v \in V - \{s, t\}$ , 流入与流出

相等, 问是否存在满足需求  $R$  之流  $f$ ?

证明:  $\text{IFWB} \in \text{NPC}$ .

## 17 拟阵与图

### 17.1 定义与例

拟阵在计算机科学及系统理论中的应用日益增多。本章介绍它的一些性质及其与图论的联系。

在线性代数当中，有如下的**替换定理**： $V$ 是一个线性空间， $B_1$ 与 $B_2$ 是 $V$ 的两组基，那么对 $B_1$ 中任一向量 $e$ ，可找到 $B_2$ 中一个向量 $f$ ，使得 $(B_1 - \{e\}) \cup \{f\}$ 也是 $V$ 的一组基。

在图论中亦有类似的事实。

**定理 1**  $G$ 是连通图， $T_1$ 与 $T_2$ 分别是 $G$ 的生成树， $\forall e \in E(T_1)$ ，则 $\exists f \in E(T_2)$ ， $\neg(T_1 - e) + f$ 是 $G$ 的生成树。

**证** 若 $e \in E(T_2)$ ，则定理自然成立。若 $e \notin E(T_2)$ ，则 $e$ 的端点非一次，且 $E(T_2) - E(T_1) \neq \emptyset$ 。记 $T_2 - T_1 = E(T_2) - E(T_1)$ ，把 $T_2 - T_1$ 中的边分别添入 $T_1$ 而得的各个圈中必有一个圈 $C$ 含 $e$ ；否则，分别删去所得各圈中不属于 $T_1$ 的边得 $T_2$ ，但 $e \notin E(T_2)$ ，未被删去，这是不可能的。显然， $C$ 上必有一边 $f \in E(T_2)$ ，但 $f \in E(T_1)$ ，于是，从 $C$ 上删除 $e$ 后得 $T_1 - e + f$ 仍为 $G$ 的生成树。**证毕。**

我们把定理1的事实抽象成集合的语言，引出拟阵的概念。

**定义 1**  $(E, \mathcal{B})$ 为有序偶，其中 $E$ 是非空有限集合， $\mathcal{B}$ 是 $E$ 的一些子集组成的非空族，称 $\mathcal{B}$ 中每个子集为基；且满足

( $\mathcal{B}_1$ ) 每个基不是别的基的真子集，

( $\mathcal{B}_2$ ) 若 $B_1$ 与 $B_2$ 是基， $\forall e \in B_1$ ，则 $\exists f \in B_2$ ， $\neg(B_1 - \{e\}) \cup \{f\}$ 也是基。

这时我们称 $(E, \mathcal{B})$ 是一个拟阵，记成 $M = (E, \mathcal{B})$ 。

由  $(\mathscr{B}, \sim)$  易见,  $M$  中任二个基  $B_1, B_2$ , 必有  $|B_1| = |B_2|$ , 我们称这个数字为  $M$  的秩.

若  $G(V, E)$  是一个图, 由  $G$  的各个生成林的边集为基则构成一个拟阵  $M(G) = (E(G), \mathscr{B})$ . 通常称  $M(G)$  为图  $G$  的 **圈拟阵** (Circuit matroid).

若  $E$  是向量空间中一个非空有限向量集,  $L(E)$  是由  $E$  线性生成的子空间, 则  $E$  的任何一个线性无关子集, 当它能线性生成  $L(E)$  时, 便作为一个基, 这样的基之全体记成  $\mathscr{B}$ , 于是  $(E, \mathscr{B})$  也是一个拟阵, 称为 **向量拟阵**.

在拟阵中,  $E$  的一个子集称为**无关的**, 是指它是拟阵某个基的子集. 基即为**极大无关集**. 任何一个拟阵, 都可由它的极大无关集唯一决定. 对于向量拟阵,  $E$  的一个子集为无关集的充要条件是, 当把  $E$  的这个子集的元素视为向量空间的向量时, 它们是线性无关的. 与此相仿地, 若  $G(V, E)$  是图, 则  $M(G)$  的无关集便是  $G$  的不含圈的边集, 即导出  $G$  含有的林的边集.

一个拟阵可以用它的无关集来描绘, 所以可以用无关集来叙述拟阵的定义.

**定义 2** 一个拟阵  $M$  是一个有序偶  $(E, \mathscr{I})$ , 其中  $E$  是非空有限集,  $\mathscr{I}$  是  $E$  的一些子集的非空族, 其中每个子集称为**无关集**, 无关集满足

( $\mathscr{I}1$ ) 无关集的子集是无关集;

( $\mathscr{I}2$ )  $I$  与  $J$  是两个无关集, 且  $|J| > |I|$ , 则在  $J$  中有一个元素  $e$ , 它不在  $I$  中而能使  $I \cup \{e\}$  是无关集.

注意, 用此定义时, 可把一个基定义为一个极大无关集; 反复使用 ( $\mathscr{I}2$ ) 于任一无关集, 便可把它扩充为一个基.

容易证明, 在定义 1 中, 规定每个基的子集为无关集, 则  $E$  连同它的全体无关集自动地满足定义 2. 反之, 在定义 2 中, 按其“注意”引入基时,  $E$  连同全部基也满足定义 1, 故定义 1 与定义 2 是等价的.

若  $M = (E, \mathcal{I})$  是一个拟阵,  $E$  的一个子集不是无关集时, 称之为**相关集**; 极小的相关集称为**圈**, 对于  $M(G)$ , 它的每个圈正是图  $G$  中的圈。

若  $M = (E, \mathcal{I})$ ,  $A \subseteq E$ , 则  $A$  所含的最大无关集的阶数称为  $A$  的**秩**, 记为  $\rho(A)$ 。前面说的拟阵  $M$  的秩, 用**秩函数**表示即为  $\rho(E)$ 。  $A$  为无关集的充要条件是  $\rho(A) = |A|$ 。

**定义 3** 一个拟阵  $M$  是一个有序偶  $(E, \rho)$ , 其中  $E$  是非空有限集合,  $\rho$  是定义在  $E$  的幂集合上的整值函数, 且满足

( $\rho 1$ )  $0 \leq \rho(A) \leq |A|$  对  $E$  的每个子集  $A$  成立;

( $\rho 2$ ) 若  $A \subset B \subseteq E$ , 则  $\rho(A) \leq \rho(B)$ ;

( $\rho 3$ ) 对任何  $A, B \subseteq E$ ,  $\rho(A \cup B) + \rho(A \cap B) \leq \rho(A) + \rho(B)$ 。

**定理 2** 定义 3 与定义 2 等价。

**证** 设  $M = (E, \mathcal{I})$  是定义 2 中的拟阵, 规定  $\rho(A)$  为含于  $A$  的最大无关集中元素个数, 则 ( $\rho 1$ ) 与 ( $\rho 2$ ) 成立。下证 ( $\rho 3$ ) 亦成立。设  $X$  是  $A \cap B$  的极大无关子集, 由于  $X$  是  $A$  的无关子集, 它能扩充为  $A$  的一个极大无关子集  $Y$ , 再扩充为  $A \cup B$  的一个极大无关子集  $Z$ , 因为  $X \cup (Z - Y)$  是  $B$  的无关子集, 由 ( $\rho 2$ ),  $\rho(B) \geq \rho(X \cup (Z - Y)) = |X| + |Z| - |Y| = \rho(A \cap B) + \rho(A \cup B) - \rho(A)$ , 故 ( $\rho 3$ ) 成立。

反之, 设  $M = (E, \rho)$  是定义 3 中的拟阵, 规定  $E$  的子集  $A$  是无关集的充要条件是  $\rho(A) = |A|$ 。若  $A_1 \neq \emptyset$ ,  $A_1 \subseteq A$ , 当  $A$  为无关集时,  $A = A_1 \cup (A - A_1)$ , 若  $\rho(A_1) < |A_1|$ , 因  $\rho(A - A_1) \leq |A - A_1| = |A| - |A_1|$ , 故  $|A| = \rho(A) = \rho(A_1 \cup (A - A_1)) = \rho(A_1 \cup (A - A_1)) + \rho(A_1 \cap (A - A_1)) \leq \rho(A_1) + \rho(A - A_1) < |A_1| + |A| - |A_1| = |A|$ , 矛盾。故  $\rho(A_1) = |A_1|$ ,  $A_1$  是无关集, 即 ( $\mathcal{I} 1$ ) 成立。下证 ( $\mathcal{I} 2$ ) 成立。设  $I$  与  $J$  是无关集且  $|J| > |I|$ 。用反证法, 设  $\rho(I) = k$ , 并设对每个属于  $J$  而不属于  $I$  的元素  $e$ , 都有  $\rho(I \cup \{e\}) = k$ , 那么, 若  $e$  与  $f$  都属于  $J$  而不属于  $I$ , 则由 ( $\rho 3$ ) 知

$$\rho(I \cup \{e\} \cup \{f\}) \leq \rho(I \cup \{e\}) + \rho(I \cup \{f\}) - \rho(I) = k,$$

由此得  $\rho(I \cup \{e\} \cup \{f\}) = k$ 。继续这种程序，每次添入  $J$  的一个新元素，由于每一步得到的集合秩皆为  $k$ ，最后得  $\rho(I \cup J) = k$ 。由 (p2) 知  $\rho(J) \leq k$ ，与  $\rho(J) = |J| > |I| = \rho(I) = k$  矛盾。所以在  $J$  中存在一个不属于  $I$  的元素  $f$ ，使得  $\rho(I \cup \{f\}) = k + 1 = |I| + 1$ 。证毕。

所谓拟阵  $M = (E, \rho)$  的**环** (loop)，是指  $E$  中满足  $\rho(\{e\}) = 0$  的元素  $e$ ， $M$  的一对**平行元素**是指  $E$  中一对元素  $\{e, f\}$ ， $e, f$  皆非环，但  $\rho(\{e, f\}) = 1$ 。在图的圈拟阵  $M(G)$  中，这里说的环与平行元素分别是图的环与重边。

下面介绍几种重要的特殊拟阵。

(1) **平凡拟阵** 只有空集这一个无关集的拟阵，它是一个秩为 0 的拟阵。

(2) **离散拟阵**  $E$  的每个子集皆无关集的拟阵。

离散拟阵只有一个基，它是  $E$  本身； $\forall A \subseteq E, \rho(A) = |A|$ 。

(3) **均匀拟阵** 全部基即为  $E$  的全体  $k$  元子集时，称拟阵为  $E$  上的  $k$ -**均匀拟阵**。

平凡拟阵与离散拟阵皆均匀拟阵的特例。

(4) **同构拟阵**  $M_1 = (E_1, \mathcal{I}_1), M_2 = (E_2, \mathcal{I}_2)$  称为**同构拟阵**，指存在可逆映射  $\phi: E_1 \rightarrow E_2$ ，使  $E_1$  中的元素组成的子集在  $M_1$  中为无关集，当且仅当它在  $E_2$  中的象是  $M_2$  中的无关集。

(5) **可图拟阵** 若拟阵  $M$  与一个图  $G$  的圈拟阵同构，则称拟阵  $M$  为可图拟阵。

例如在  $E = \{1, 2, 3\}$  上，以  $\emptyset, \{1\}, \{2\}, \{3\}, \{1, 2\}, \{1, 3\}$  为无关集的拟阵  $M$  与图 17.1 中的图  $G$  之圈拟阵  $M(G)$  同构，此拟阵  $M$  为可图拟阵。

但并非每个拟阵都是可图的，例如 4 元素集合上 2-均匀拟阵不可图。

### (6) 图的割集拟阵与补可图拟阵

设  $G(V, E)$  是一个图, 拟阵  $(E, \mathcal{S})$  中,  $\mathcal{S}$  是  $E$  的如下子集族, 其成员不以  $G$  的任何割集为子集, 记之为  $M^*(G)$ , 称为图  $G$  的割集拟阵. 若一个拟阵与某个图  $G$  的割集拟阵同构, 则称此拟阵为补可图拟阵.

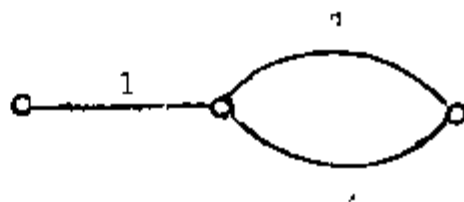


图 17.1

下面验证割集拟阵满足拟阵定义.

( $\mathcal{S}1$ ) 自然成立. 下面证明 ( $\mathcal{S}2$ ) 亦成立. 设  $I$  与  $J$  都是  $\mathcal{S}$  的子集, 且  $|I| < |J|$ ,  $\{e_1, e_2, \dots, e_k\} = I \cap J$ ,  $I = \{e_1, \dots, e_k, e_{k+1}, \dots, e_p\}$ ,  $J = \{e_1, \dots, e_k, e_{p+1}, \dots, e_q\}$ , 于是由  $|I| < |J|$  知  $q - p > p - k$ . 若  $I \cup \{e_i\} (i = p+1, \dots, q)$  皆不属于  $\mathcal{S}$ , 那么这  $q - p$  个集合都以  $G$  的割集为子集. 由于  $J$  是无关集, 故  $I \cup \{e_i\}$  所含的  $G$  之割集不会是  $\{e_1, \dots, e_k, e_i\}$  的子集, 它必含有  $\{e_{k+1}, e_p\}$  中的某些边, 而  $I \cup \{e_i\} (j \neq i, i, j \text{ 取 } p+1, \dots, q \text{ 中的值})$  中所含的  $G$  的割集与  $I \cup \{e_i\}$  所含者不同, 即它所含的  $\{e_{k+1}, \dots, e_p\}$  中的边与  $I \cup \{e_i\}$  所含者不同, 但  $q - p > p - k$ , 矛盾. 故必有  $e \in J, e \notin I$ , 使得  $I \cup \{e\}$  仍为无关集.

(7) **可平面拟阵** 既是可图的又是补可图的拟阵叫做可平面拟阵.

### (8) 可表示拟阵

$M$  是集合  $E$  上的拟阵, 称  $M$  在域  $F$  上是可表示的, 指存在  $F$  上的一个向量空间  $V$  以及映射  $\varphi: E \rightarrow V$ , 它具有以下性质:  $A \subseteq E$  在  $M$  中为无关的, 即  $\varphi$  在  $A$  上是一一对应且  $\varphi(A)$  在  $V$  中线性无关. 当  $F$  取 0-1 二元域时, 称  $M$  为二分拟阵. 在每个域上皆可表示的拟阵叫做正则拟阵; 有的拟阵在任何域上皆不是可表示的.

图  $G(V, E)$  的圈拟阵  $M(G)$  是一个二分拟阵. 事实上,

在关联阵中每条边对应的列向量为 0-1 向量, 一些边组成一个圈时, 对应的向量之和为零向量 (在 0-1 二元域中计算)。

### (9) 二部拟阵与 Euler 拟阵

一个拟阵的每个圈都由偶数个元素组成, 则称它为二部拟阵。若  $E$  是一些无公共元素的圈的并, 则在集合  $E$  上的拟阵称为 Euler 拟阵。

### (10) 子拟阵

$M$  是定义在集合  $E$  上的拟阵,  $A \subseteq E$ ,  $M$  在  $A$  上的限制记成  $M \times A$ , 是指如下拟阵, 它的圈恰好是  $M$  含于  $A$  的圈。 $M$  到  $A$  的收缩记成  $M \cdot A$ , 是指如下的拟阵, 它的圈是集族  $\{C_i \cap A\}$  的极小元, 其中  $C_i$  是  $M$  的圈。它们对应于在一个图中删去某些边及把某些边收缩掉。

某拟阵  $M$  经有限次限制与收缩得到的拟阵叫做  $M$  的子拟阵。

## 17.2 拟阵与图论

**定义 4** 若  $M = (E, \rho)$  是用秩函数定义的一个拟阵,  $M$  的对偶拟阵  $M^*$  定义如下:  $M^* = (E, \rho^*)$ , 对  $A \subseteq E$ ,  $\rho^*$  满足

$$\rho^*(A) = |A| + \rho(E - A) - \rho(E).$$

**定理 3**  $M^* = (E, \rho^*)$  是  $E$  上的一个拟阵。

**证** 我们对  $\rho^*$  验证定义 3 中的  $(\rho 1)$ ,  $(\rho 2)$ ,  $(\rho 3)$  三个条件。设  $A \subseteq B$ , 由  $\rho^*$  的表达式得

$$\rho^*(B) - \rho^*(A) = |B| - |A| + \rho(E - B) - \rho(E - A),$$

令  $B_1 = E - B$ ,  $A_1 = E - A$ ,  $B_1 \subseteq A_1$ ,  $\rho(A_1) \leq \rho(A_1 - B_1) + \rho(B_1)$  或  $\rho(B_1) - \rho(A_1) \geq -\rho(A_1 - B_1) = -\rho(B - A)$ , 代回原式得  $\rho^*(B) - \rho^*(A) = |B| - |A| + \rho(B_1) - \rho(A_1) \geq |B| - |A| - \rho(B - A)$ , 由  $(\rho 1)$  知此式不小于 0, 从而  $A \subseteq B \subseteq E$  时,  $\rho^*(B) \geq \rho^*(A)$ , 即  $\rho^*$  满足  $(\rho 2)$ 。

为了验证  $(\rho 1)$ , 首先易知  $\rho^*(A) \leq |A|$ , 又由  $(\rho 3)$ ,  $\rho(E)$

$+ \rho(\phi) \leq \rho(A) + \rho(E - A)$ , 故  $\rho(E) - \rho(E - A) \leq \rho(A) \leq |A|$ , 因而  $\rho^*(A) \geq 0$ .

最后验证  $\rho^*$  满足  $(\rho 3)$ , 对任何  $A, B \subseteq E$ ,

$$\begin{aligned} \rho^*(A \cup B) + \rho^*(A \cap B) &= |A \cup B| + |A \cap B| \\ &\quad + \rho(E - (A \cup B)) + \rho(E - (A \cap B)) - 2\rho(E) \\ &= |A| + |B| + \rho((E - A) \cap (E - B)) \\ &\quad + \rho((E - A) \cup (E - B)) - 2\rho(E) \leq |A| + |B| \\ &\quad + \rho(E - A) + \rho(E - B) - 2\rho(E) \\ &= \rho^*(A) + \rho^*(B). \end{aligned}$$

证毕.

**定理 4**  $M^*$  的基是  $M$  的基的补集.

**证** 若  $B^*$  是  $M^*$  的基, 往证  $E - B^*$  是  $M$  的基. 由于  $B^*$  在  $M^*$  内是无关的,  $|B^*| = \rho^*(B^*)$ , 因此  $\rho(E - B^*) = \rho(E)$ , 于是只剩下要证  $E - B^*$  在  $M$  中是无关的. 由于  $B^*$  是  $M^*$  的基, 故  $\rho^*(B^*) = \rho^*(E)$ , 于是  $\rho^*(E) = |E| + \rho(\phi) - \rho(E) = |E| - \rho(E)$ , 故  $|B^*| + \rho(E - B^*) = |E| - \rho(E)$ ,  $\rho(E - B^*) = |E - B^*|$ , 证毕.

每个拟阵都有唯一的对偶, 而且  $(M^*)^* = M$ .

**定理 5**  $G$  是一个图, 则  $M^*(G) = (M(G))^*$ .

**证** 由于  $M^*(G)$  的圈都是  $G$  的割集, 我们必须验证  $C^*$  是  $(M(G))^*$  的圈的一个充要条件是:  $C^*$  是  $G$  的割集. 若  $C^*$  是  $G$  的割集, 而  $C^*$  在  $(M(G))^*$  中是无关集, 那么  $C^*$  可以扩充为  $(M(G))^*$  的一个基  $B^*$ . 由此得  $C^* \cap (E - B^*) = \phi$ , 而任何割集与生成林有公共边, 这里  $E - B^*$  正是  $G$  的一个生成林, 由此得矛盾. 于是  $C^*$  是  $(M(G))^*$  中的相关集, 它含有  $(M(G))^*$  的一个圈.

反之, 若  $D^*$  是  $(M(G))^*$  的一个圈, 则  $D^*$  不含于  $(M(G))^*$  的任一基内. 由此,  $D^*$  与  $M(G)$  的每个基都有公共边, 即  $D^*$  与  $G$  的每个生成林都有公共边, 所以  $D^*$  含有  $G$  的一个割集.



证毕。

若拟阵 $M$ 的一些元素组成的集合形成 $M^*$ 的一个圈,则称这个集合形成 $M$ 的一个补圈。由定理5知,图 $G$ 的圈拟阵的补圈恰好是 $G$ 的割集。还可仿此定义 $M$ 的一个补基为 $M^*$ 的一个基,以及相应的补秩、补无关集等等。我们还可指出,拟阵 $M$ 是“补可图的”的充要条件是 $M^*$ 是可图的。引入“补概念”,我们便可以集中注意拟阵 $M$ ,不必分心照顾 $M^*$ 。为说明这一点,我们证明下列结果在拟阵方面的类似结果。

**命题 1**  $F$  是圈 $G$ 的生成林,则: (1)  $G$  的每个割集都与 $F$  有一条公共边; (2)  $G$  的每个圈都与 $F$  关于 $G$ 的补图(从 $G$  中圈去 $F$  各边得的图) 有一条公共边。

以上结果在拟阵中的类似结果有

**定理 6** 拟阵的补圈与基相交。

**证** 设 $C^*$  是拟阵 $M$ 的补圈, $B$  是 $M$  的基,且 $C^* \cap B = \emptyset$ ,即 $C^*$  含于 $E - B$  内,作为 $M^*$  的圈, $C^*$  含于 $M^*$  的一个基内,矛盾。证毕。

**推论 1** 拟阵的圈与补基相交。

我们看到,用拟阵的观点,上述命题1的(1)与(2)实际上是一个结果的两种对偶形式,在拟阵论中只需证明一个结果并用一下对偶性即可。

作为拟阵论引入简化的进一步的例子,我们考虑下面的

**命题 2** (1) 若图 $G$  的两个不同的圈都含有同一条边 $e$ , 则 $G$  有一个不含 $e$  的圈; (2) 把圈改成割集, (1) 仍成立。

在拟阵论中,若我们证明了关于圈的结果之后,再把它用于 $M^*(G)$ ,立即得出关于割集的结果;反之,亦可利用对偶性,由关于割集的结果归结出关于圈的结果。

下面讨论有关平面图对偶图的问题,在第5章中,我们给出过平面图的几何对偶图的定义,下面引入图的抽象对偶的概念。

**定义 5** 图 $G$  的抽象对偶,记成 $G^*$ ,是指这样一个图, $G$

与  $G^*$  的边之间一一对应, 使得  $G$  中一个边子集构成  $G$  的一个圈的充要条件是, 此边子集对应的  $G^*$  中之边子集形成  $G^*$  的一个割集. 图 17.2 画出一个图  $G$  及其抽象对偶  $G^*$ .

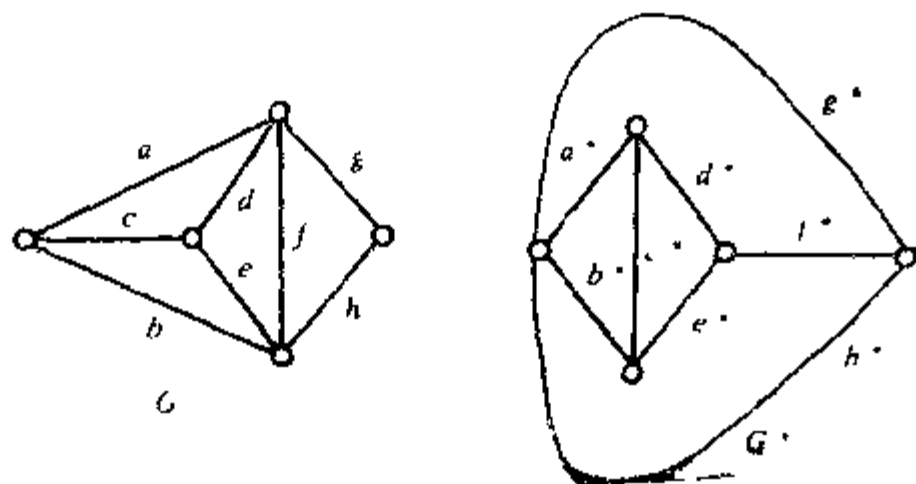


图 17.2

下面对可平面图而言, 其几何对偶与抽象对偶, 如何可作为拟阵中对偶性的推论而引入.

**定理 7**  $G^*$  是  $G$  图的抽象对偶, 则  $M(G^*)$  与  $(M(G))^*$  同构.

**证** 由于  $G^*$  是  $G$  的抽象对偶,  $E(G)$  与  $E(G^*)$  之间有……对应, 使  $G$  中的圈对应于  $G^*$  中的割集, 反之亦然. 由此得  $M(G)$  的圈对应于  $M(G^*)$  的补圈, 由定理 5,  $M(G^*)$  与  $(M(G))^*$  同构. 证毕.

**推论 2**  $G^*$  是连通平面图  $G$  的几何对偶, 则  $M(G^*)$  与  $(M(G))^*$  同构.

**证** 先证  $G$  的一个圈对应于  $G^*$  的一个割集, 反之,  $G^*$  中任一割集对应于  $G$  中一个圈. 设  $C$  是  $G$  中一个圈, 则  $C$  包围了  $G$  的一个或几个有界区域, 故其内含  $G^*$  的非空顶子集. 由此,  $G^*$  与  $C$  交叉的那些边, 形成  $G^*$  的割集; 反之, 把  $G^*$  的割集删除后, 得到含两个连通片的图, 其中一个连通片的顶点集不含与  $G$  的无界区域对应的顶点时, 围了这个顶点集所对应的  $G$  的各区域的外围边, 即是此割集所对应的  $G$  中的圈, 由定理 7 知推论 2 成

立、证毕。

一个平面图可能有不止一个互不同构的对偶，而拟阵的对偶是唯一的。可以验证，若  $G^*$  与  $G'$  是  $G$  的两个对偶，则  $G^*$  与  $G'$  的圈拟阵是同构的拟阵。

## 习 题

1.  $E = \{a, b, c, d, e\}$ ，找出  $E$  上满足下列条件的拟阵：  
 (1)  $E$  有唯一的基； (2) 空集是唯一的基； (3)  $E$  的恰含三个元素的子集的全体组成基集合；对每个拟阵，写出它的无关集、圈（如果有）以及秩函数。

2.  $G_1, G_2$  如图 17.3 所示，写出圈拟阵  $M(G_1)$  与  $M(G_2)$  的基、圈以及无关集。

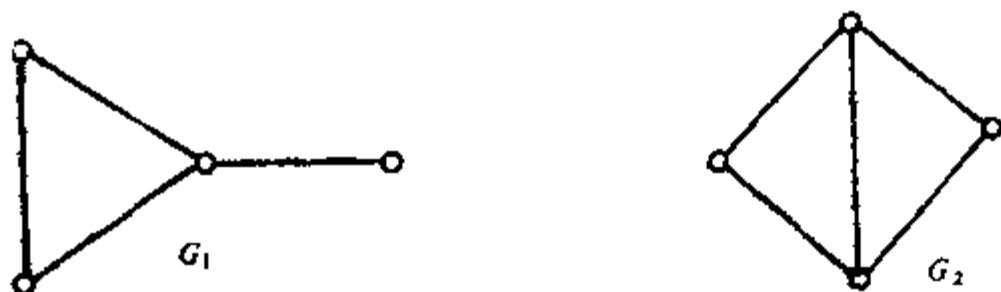


图 17.3

3.  $M$  是  $E = \{a, b, c, d\}$  上的拟阵，全部基为  $\{a, b\}, \{a, c\}, \{a, d\}, \{b, c\}, \{b, d\}, \{c, d\}$ ，写出  $M$  的全部圈，并引出结论： $M$  不是任何图  $G$  的圈拟阵。

4. 利用性质 (S1), (S2) 证明：(1) 集合  $E$  上的拟阵任何两个基含同样多的元素；(2)  $A \subset E$ ，则  $A$  的任何两个极大无关子集内含有同样多个元素。

5. 怎样把图的基本圈集的定义推广到拟阵去？

6. 证明：拟阵  $M$  也可定义为一个有序偶  $(E, \mathcal{C})$ ，其中  $E$  为非空有限集， $\mathcal{C}$  是  $E$  的非空子集的一个族（其中每个非空子集称为圈），它满足：(1) 每个圈都不是圈的真子集；(2)  $C_1, C_2$  是含边  $e$  的两个圈，则  $C_1 \cup C_2$  中有一个圈，它不含  $e$ 。

7.  $E = \{a, b\}$ , 若同构的拟阵不加区别, 则  $E$  上恰有四个拟阵, 试把它们的基、无关集和圈写出来.

8.  $E = \{a, b, c\}$ , 若同构的拟阵不加区别, 则  $E$  上恰有 8 个拟阵, 写出它们的基、无关集与圈.

9. 证明可图拟阵  $M(K_5)$  与  $M(K_{3,3})$  都不是补可图的.

10.  $M$  是集合  $E$  上的拟阵, 且  $A \subseteq B \subseteq E$ , 则 (1)  $(M \times B) \times A = M \times A$ ; (2)  $(M \cdot B) \cdot A = M \cdot A$ .

11. 若拟阵  $M$  满足下列性质中任一性质, 则  $M$  的任何子拟阵也满足同一性质: (1) 可图的; (2) 补可图的; (3) 二分的; (4) 正则的.

12. (1) 证明离散拟阵的对偶是平凡拟阵; (2)  $n$  元素集合上的  $k$ -均匀拟阵的对偶是什么?

13. 求第 8 题中的 8 个拟阵的对偶.

14. 下列拟阵的补圈与补基是什么?

(1) 九元素集上的 3-均匀拟阵; (2) 图 17.3 中  $G_1$  与  $G_2$  的圈拟阵.

## 习题答案或提示

### 第 1 章

2  $e(K_v) = \binom{v}{2}$ , 故有  $e(G) \leq \binom{v}{2}$ .

3 (2)  $n$  个顶的轨与  $n$  个顶的星状图边数亦同, 但不同构.

5  $N-2$ .

6 设  $S_1$  与  $S_2$  是任意划分成的两个集合, 以  $\{1, 2, 3, 4, 5\}$  为顶集作  $K_5$ , 当且仅当顶  $u$  与  $v$  满足  $|u-v| \in S_j (j=1, 2)$  时, 把边  $uv$  染成  $j$  色. 若 123451 与 135241 分别是 1 色与 2 色的同色五边形, 则 1 与 4 在同一个集合, 2 与 3 在另一集合, 这时命题成立. 不然, 会出现同色三角形  $\Delta uvw$ , 设  $x = u - v > 0$ ,  $y = v - w$ ,  $z = u - w$ , 则  $x, y, z$  在同一集合, 且  $x + y = z$ .

7 以人为顶点, 两人为朋友时, 相应的两顶之间连一条边, 若任二人朋友数相异, 依题意,  $\Delta \geq v-1$  ( $v$  是人数), 而  $\Delta = v-1$  时, 必有  $\delta \geq 1$ , 从而  $\Delta - \delta + 1 < v$ , 这与各顶次数相异矛盾, 而  $\Delta > v-1$  亦不可能.

8 以人为顶, 相识时, 之间连一条边.

10 必要性不足道. 由  $\theta$  定义  $\phi: E(G) \rightarrow E(H)$ , 使  $uv \in E(G)$  和  $\theta(u)\theta(v) \in E(H)$  对应, 于是  $\phi$  可逆, 且  $\phi_e(e) = uv$  的充要条件是  $\phi_{\theta}(\phi(e)) = \theta(u)\theta(v)$ .

11 充分性显然成立; 由  $e(K_v) = \binom{v}{2}$ , 从而不是完全图且  $e = \binom{v}{2}$  的图中一定有重边或环, 与  $G$  是单图矛盾.

12(b) 设  $G$  的顶划分为  $X, Y$ ,  $|X| = v - m$ ,  $|Y| = m$ , 则

$$e(G) \leq e(K_{v-m, m}) = (v-m)m \leq \frac{v^2}{4}.$$

$$14 \quad \text{总盘数} = e(K_n) = \frac{n(n-1)}{2}.$$

16 若图中无圈, 考虑其最长轨, 此轨两个端点必为一次顶.

17 以运动队为顶, 两队赛一局, 则在二队之间连一边. 再用  $2e(G) = \sum_{v \in V} d(v)$  来证明, 这里  $e(G) = n+1$ .

18 令  $G_1 = G[A]$ , 把恰有一个端点在  $A$  内的  $k$  条边之另一端点重合成一个端点  $v$ . 把这  $k$  条边与顶  $v$  并入  $G$ , 得图  $G_2$ , 再根据  $G_2$  中奇次顶之个数是偶数即可得证.

19 以  $2n$  个点为顶, 只要两个顶在同一个圆内, 则此二顶相邻, 得到一个图  $G$ . 我们只需再证明  $G$  是连通的, 结合每个顶次数不小于  $n$ .

20 先证此图必有一个圈  $C$ , 用最长轨方法证. 若  $\exists v \in V(G)$ , 但  $v \notin C$ , 则  $C$  上有三次以上的顶.

21 两个三角形.

22 2 个

23  $k$  维立方体与  $0-1k$  维向量一一对应, 而后者恰为  $2^k$  个. 在上述  $k$  维向量中, 固定  $k-1$  个坐标后, 在  $k$  维立方体中, 对应两个顶, 这二顶相邻, 故  $e = C_{k-1}^{k-1} 2^{k-1} = k2^{k-1}$ . 按每个顶点坐标和的奇偶性, 把顶划分成两个子集, 即可验证其为二分图.

24  $K_n^c$  是无边图,  $K_m^c$  是  $K_m$  与  $K_n$  的并.

25  $e(G) + e(G^c) = e(K_v) = \frac{1}{2}v(v-1)$ , 又  $G \cong G^c$ , 故

$$e(G) = \frac{1}{4}v(v-1), \text{ 而 } v \text{ 与 } v-1 \text{ 中有一奇数, 从而 } v \equiv 0,$$

$$1 \pmod{4}.$$

26 这种图  $v = e = 5$ . 共有两个, 一个是五边形, 另一个是五边形删去一条边后加一对角形使其含三角形.

30  $K_{1, k+1}$ .

31 设  $G$  中  $n$  个顶的导出子图有  $m$  条边.  $v_i$  与  $v_j$  是  $G$  中任意两个顶. 在  $G - v_i$  中  $n$  个顶的导出子图共  $\binom{v-1}{n}$  个, 在  $G - v_i$  中任一边  $uv$  在这  $\binom{v-1}{n}$  个  $n$  顶导出子图中取到的次数为  $G - \{v_i, u, v\}$  中取  $n-2$  个顶点的导出子图的个数  $\binom{v-3}{n-2}$ . 于是有

$$e(G) - d(v_i) = e(G - v_i) = m \binom{v-1}{n} / \binom{v-3}{n-2}, \quad (1)$$

$$e(G) - d(v_j) = e(G - v_j) = m \binom{v-1}{n} / \binom{v-3}{n-2}, \quad (2)$$

$$\begin{aligned} e(G) - d(v_i) - d(v_j) + a_{ij} &= e(G - \{v_i, v_j\}) \\ &= m \binom{v-2}{n} / \binom{v-4}{n-2}, \end{aligned} \quad (3)$$

其中

$$a_{ij} = \begin{cases} 1, & v_i, v_j \in E(G), \\ 0, & \text{否则.} \end{cases}$$

(3) - (1) - (2) 得  $a_{ij}$  与  $i, j$  的取法无关, 于是

$$G \cong \begin{cases} K_v, & a_{ij} = 0; \\ K_v, & a_{ij} = 1. \end{cases}$$

32 由  $v\delta \leq \sum_{v \in V} d(v) - 2e \leq v\Delta$  即得证.

33  $k|X| = k|Y| = e$ , 故  $|X| = |Y|$ .

34 必要性显然成立. 对于充分性: 若  $d_i = 2k$ , 则在  $v_i$  处作  $k$  个环; 若  $d_i = 2l + 1$ , 则在顶  $v_i$  处作  $l$  个环,  $d_i$  为奇数的顶可以配对后以边相连, 于是得图  $G$ , 其次数列恰为  $d_1, d_2, \dots, d_n$ .

35(a) 7, 6, 5, 4, 3, 3, 2 若是图序列, 则此图 7 个顶,  $\Delta \leq 6$ , 而今  $d(v_1) = 7$ ; 6, 6, 5, 4, 3, 3, 1 若是图序列, 此图 7 个顶, 又  $d(v_1) = d(v_2) = 6$ , 于是  $v_1, v_2$  与每个顶皆相邻, 故  $\forall v \in G, d(v) \geq 2$ , 而  $d(v_7) = 1$ , 矛盾.

(b)  $\sum_{i=1}^n d_i$  显然成立. 又  $k$  个顶导出的子图次数之和  $\leq k(k-1)$ , 剩下的  $v_{k+1}, \dots, v_n$  可以给予  $v_1, \dots, v_k$  最大的可能次数之和  $\sum_{i=k+1}^n \min\{k, d_i\}$ , 故

$$\sum_{i=1}^k d_i \leq k(k-1) + \sum_{i=k+1}^n \min\{k, d_i\}.$$

36(a) 必要性:  $G$  为单图,  $d(v_i) = d_i, i = 1, 2, \dots, n$ , (1) 与  $v_1$  关联的边为  $v_1 v_2, \dots, v_1 v_{d_1+1}$ , 则  $G - v_1$  的图序列是  $d'$ .

(2) 若  $v_1$  关联的  $d_1$  条边中, 有  $v_1 v_j$ , 且  $j > d_1 + 1$ , 令

$$j_0 = \max\{j | v_1 v_j \in E(G)\} > d_1 + 1,$$

$$i_0 = \min\{i | v_1 v_i \in E(G)\} \leq d_1 + 1,$$

则  $v_1 v_{j_0} \in E(G)$ ;  $j > j_0$  时,  $v_1 v_j \notin E(G)$ ;  $v_1 v_{i_0} \in E(G)$ ;  $i < i_0$  时,  $v_1 v_i \notin E(G)$ , 因为  $d_{i_0} \geq d_0, \exists v_k, v_l$  与  $v_{i_0}$  不相邻, 否则  $d_{i_0} \geq d_{i_0} + 1 > d_{i_0}$ , 矛盾. 令  $G' = G - \{v_1 v_{j_0} + v_{i_0} v_k\} + \{v_1 v_{i_0} + v_k v_{j_0}\}$ ,  $G'$  与  $G$  的图序列皆为  $d$ , 只是  $G'$  的  $j_0$  小而  $i_0$  大了, 如此继续, 可化成 (1).

充分性: 设  $G'$  的图序列为  $d'$ . 在  $G'$  上加入异于  $G'$  顶点  $v_2, v_3, \dots, v_n$  的新顶  $v_1$ , 而在  $v_1$  与  $v_2, v_3, \dots, v_{d_1+1}$  之间连上边, 得图  $G$ , 则  $G$  的图序列为  $d$ .

37 若  $H$  是  $G$  中边数最多的二分生成子图, 可以证明  $H$  即为所求.

38 取  $V(G) = S$ ,  $S$  中两顶相邻当且仅当两点相距为 1,



引用  $\sum_{v \in V} d(v) = 2e$  可得证.

40 令  $P$  是最长轨, 若  $P$  之长小于  $k$ , 设  $P = v_1 v_2 \cdots v_l v_{l+1}$ , 则  $d(v_1) \geq \delta \geq k > l$ , 从而有  $v_0$  使得  $v_0 v_1 v_2 \cdots v_{l+1}$  也是轨, 与  $P$  为最长轨矛盾.

41  $v_1 \in V_1, v_2 \in V_2$ , 由连通性, 有轨  $P(v_1, v_2)$ , 在  $P(v_1, v_2)$  上有两顶  $u, v$ , 使得  $u \in V_1, v \in V_2, uv \in E(G)$ . 若  $G$  不连通, 设  $G_1, G_2$  是两个连通片, 取  $V_1 = V(G_1), V_2 = V(G) - V_1$ , 于是  $V_1$  与  $V_2$  之间不存在端点分别属于  $V_1, V_2$  的边, 与充分性的假设矛盾.

42 若  $G$  不连通, 可以分为两个顶点数分别是  $v_1$  与  $v_2$  的互不连通的子图  $G_1, G_2$ , 从而  $e(G) \leq \binom{v_1}{2} + \binom{v_2}{2} \leq \binom{v-1}{2}$ , 矛盾.

43  $K_{v-1}$  加上一个 0 次顶.

44 若  $G$  不连通, 有一个连通片  $G_1, |V(G_1)| \leq \left\lfloor \frac{v}{2} \right\rfloor$ ,

$\Delta(G_1) \leq \left\lfloor \frac{v}{2} \right\rfloor - 1$ , 与  $\delta > \left\lfloor \frac{v}{2} \right\rfloor - 1$  矛盾.

45 设  $G_1$  是  $G - v$  的一个连通片,  $\sum_{v \in V(G_1)} d_G(v) = 2e(G_1) > 0$  为偶数, 故  $v$  伸向  $G_1$  顶之边至少两条, 从而  $\omega(G - v) \leq \frac{1}{2} d(v)$ .

47 设  $P = P(v_1, v_2)$  与  $P' = P'(v'_1, v'_2)$  是两条最长轨, 且无公共顶, 由连通性存在轨  $P''(v_2, v'_2)$ , 从而可找出比  $P$  更长的轨.

48 不妨设  $u, v, w$  连通,  $P(u, v), P'(v, w)$  是两条最短轨, 则  $P(u, v) \cup P'(v, w)$  中含一条从  $u$  到  $w$  的最短轨.

49 任意顶对  $u, v \in V(G)$ , (1)  $uv \in E(G)$  时  $d_G(u, v) = 1$ .

(2)  $uv \in E(G)$ , (a)  $V(G)$  中任意顶至少与  $u, v$  中一顶相邻,  $x, y \in V(G)$ , 若  $x, y$  皆与  $u$  (或  $v$ ) 相邻, 则  $d_G(x, y) \leq 2$ ; 若  $x$  与  $u$  相邻,  $y$  与  $v$  相邻, 则  $d_G(x, y) \leq 3$ , 故  $G$  的直径不大于 3, 不可能. (b)  $w \in V(G)$ , 使得  $uw, vw \in E(G)$ , 于是  $d_G(u, v) = 2$ . 综上可知  $G^c$  的直径小于 3.

50 由  $\Delta = v - 2$  知, 存在顶  $v$ ,  $v$  与  $v - 2$  个顶相邻, 而与顶  $u$  不相邻, 又直径为 2, 故  $u$  到各顶距离不超过 2, 故  $e(G) \geq 2(v - 2) = 2v - 4$ .

51 存在  $uw_1 \in E(G)$ , 又  $G$  连通, 有轨  $P(u, w_1)$ , 令  $P = uu_1u_2 \cdots u_rw_1, r \geq 1, uu_2 \in E(G)$ . 取  $u_1 = v, u_2 = w$  ( $n = 1$  时  $u_2 = w_1$ ).

53 反证法, 最长轨方法.

54 设  $P((v_0, v_k))$  是最长轨,  $v_0$  的邻顶全在  $P(v_0, v_k)$  上, 从而可以找到长至少为  $\delta + 1$  的圈.

55  $xy \in E(G)$ ,  $S(x), S(y)$  分别表示与  $x, y$  距离为 1 的顶集,  $S(x) \cap S(y) = \emptyset, |S(x) - y| = |S(x) - x| = k - 1$ , 故至少  $2 + 2(k - 1) = 2k$  个顶.

56  $x \in V(G)$ ,  $S_i$  是与  $x$  距离为  $i$  的顶点集合 ( $i = 0, 1, 2, \dots$ ),  $S_1$  中顶不相邻,  $S_2$  中每顶恰与  $S_1$  中一顶相邻,  $|S_0| = 1, |S_1| = k, |S_2| = k(k - 1)$ , 故  $G$  至少有  $1 + k + k(k - 1) = k^2 + 1$  个顶.

57 (a) 逐次删去一次顶, 由于  $\delta = 1$  或 2 的单图不可能  $e \geq v$ , 故当删去一次顶的步骤终止时, 得到  $v \geq 3$  的无一次顶的子图, 此子图中有圈.

(b) 只需证明  $e = v + 4$  时成立. 用反证法, 若  $G$  是无两个无公共边的圈的  $e = v + 4$  的顶数最少的图, 则  $G$  的圈长不小于 5, 且  $\delta(G) \geq 3$ , 于是, 由  $\sum_{v \in V} d(v) = 2e$  得知  $v + 4 = e \geq \frac{3}{2}v, v \leq 8$ .

由圈长  $\geq 5$ , 在  $G$  中有长  $g$  (围长) 的圈  $C_g$ ,  $C_g$  无对角线,  $C_g$

上的每个顶皆有伸向  $C_s$  外的边, 设  $S_1$  是  $C_s$  上顶的邻顶集, 则  $|V(C_s)| \leq |S_1|$ , 故  $v \geq |S_0| + |S_1| \geq g + g \geq 10$ , 与  $v \leq 8$  矛盾.

58 用 Dijkstra 算法.

59 只能有人狼羊菜, 人狼羊, 人狼菜, 人羊菜, 人羊, 空, 菜, 羊, 狼, 狼菜10种状态, 以这十状态为顶, 可以互相转化的两种状态之间连一边, 再用 Dijkstra 算法得 (边权取1):

人狼羊菜  $\rightarrow$  狼菜  $\rightarrow$  人狼菜  $\begin{cases} \nearrow \text{狼} \rightarrow \text{人狼羊} \\ \searrow \text{菜} \rightarrow \text{人羊菜} \end{cases} \rightarrow \text{羊} \rightarrow \text{人羊} \rightarrow \text{空}.$

60  $(x_1, x_2, x_3)$  表示 8, 5, 3 斤瓶子中的有酒状态, 用 Dijkstra 算法求  $(8, 0, 0)$  到  $(4, 4, 0)$  的最短轨得:

$(800) \rightarrow (350) \rightarrow (323) \rightarrow (620) \rightarrow (602) \rightarrow (152) \rightarrow (143) \rightarrow (440).$

61 令  $y_n = (a_0^{(n)}, a_1^{(n)}, a_2^{(n)}) \in S_i$ ,  $f(y_n) = (a_0^{(n)'}, a_1^{(n)'}, a_2^{(n)'})$ , 于是  $a_i^{(n)'} \leq a_i^{(n)}$ , 又令  $y = \lim_{n \rightarrow \infty} y_n$ , 由连续性得  $Z = \lim_{n \rightarrow \infty} f(y_n) = f(y)$ ,  $T$  是闭集,  $y, z \in T$ ,  $z$  是  $y$  的  $f$  象点, 即若  $y = (a_0, a_1, a_2)$ , 则  $Z = (a'_0, a'_1, a'_2) = f(a_0, a_1, a_2)$ , 且  $a'_i = \lim_{n \rightarrow \infty} a_i^{(n)'} \leq \lim_{n \rightarrow \infty} a_i^{(n)} = a_i$ ,  $y \in S_i$ ,  $S_i$  闭.

$$63 \quad \frac{1}{2}(n-1)n (= e(K_n)).$$

64 首先逐次删除 1 次顶, 得一个至少四顶图, 且不会是圈.

$$66 \quad r(3, 4) = 9.$$

$$67 \quad r(4, 4) = 18.$$

$$68 \quad n'(n - n').$$

69 以人为顶, 相识时连一边, 则此图中的四边形无对角线, 不相邻的二顶在一个四边形上, 从而得证此图是正则图 ( $n = 2k$ ,  $\Delta = \delta = k$ ).

$$73 \quad \text{用公式 } \sum_{v \in V} d(v) = 2e.$$

74 用反证法及  $\sum_{v \in V} d(v) = 2e$ .

## 第2章

1 最长轨起点终点非叶则有圈.

2 最长轨方法.

3 若有  $s$  个叶,  $s < k$ , 用  $\sum_{v \in V} d(v) = 2e$  计算得矛盾.

4 若  $e = v - w$ , 而  $G$  的某连通片  $G_1$  中有圈,  $e(G_1) \geq v(G_1)$ , 从而  $e(G) = \sum_{i=1}^w e(G_i) \geq \sum_{i=1}^w v(G_i) = w + 1 = v - w + 1$ ,

矛盾.

5 把叶删除后得的树与原来的树有相同中心.

6 数学归纳法.

7 对  $v$  用归纳法.

8 对  $k$  用归纳法

10 81.

11 记生成树为  $\tau_n$  个, 可以证得  $\tau_n = 4\tau_{n-1} + 4\tau_{n-2} - \tau_{n-3}$ ,  $= 0$ , 从而求出  $\tau_n = -2 + \left(\frac{3+\sqrt{5}}{2}\right)^n + \left(\frac{3-\sqrt{5}}{2}\right)^n$ .

12 由公式  $\tau(K_n) = n^{n-2}$ , 由对称性,  $K_n$  的每条边在它所有的生成树中用了  $(n-1)n^{n-2} / \frac{1}{2}n(n-1)$  次, 所以  $\tau(K_n - e) = n^{n-2} - 2n^{n-3} = (n-2)n^{n-3}$ .

16 把根删去得两个子树, 顶的个数分别为  $k$  与  $n-k-1$ ,  $k = 0, 1, \dots, n-1$ , 从而得  $b_n = \sum_{k=0}^{n-1} b_k b_{n-k-1} = b_0 b_{n-1} + \dots +$

$b_{n-1} b_0$ . 由  $xB^2(x) - B(x) - 1 = 0$  得  $B(x) = \frac{1 \pm \sqrt{1-4x}}{2x}$ , 把

$\sqrt{1-4x}$  做级数展开, 比较系数得  $b_n = c(n)$ .

19 删去生成树的两个叶.

20 有圈时, 从圈上删去一条边, 无圈时删去一个叶.

26  $v(T)$ .

27  $G$  中的生成树对应到  $H$  中并不是生成树, 在  $G$  中余树边对应的  $H$  中的  $k$  条边中, 还要选  $k-1$  条边, 从而  $G$  中一棵生成树, 在  $H$  中产生  $k^{v-v+1}$  棵不同的生成树, 故  $\tau(H) = k^{v-v+1}\tau(G)$ .

### 第 3 章

1  $e \in E'$ ,  $\omega((G-E')-e) = 1$ , 若  $e$  为  $(G-E')$  的桥, 则  $\omega(G-E') = 2$ , 否则  $\omega(G-E') = 1$ .

2  $G$  为  $K_k$  中加入三个新顶  $x, y, z$ , 且每个新顶与  $K_k$  的每个顶相邻.

3  $\delta = v-1$ ,  $G \approx K_v$ ,  $\kappa(G) = v-1 = \delta$ .  $\delta = v-2$ ,  $\exists v_1, v_2, v_1v_2 \in E(G)$ ,  $\forall v_3 \in V(G)$ ,  $v_1v_3, v_2v_3 \in E(G)$ , 这时任意  $v-3$  个顶的子集  $V'$ ,  $G-V'$  仍连通,  $\kappa(G) \geq v-2 = \delta$ ,  $\kappa(G) = \delta$ .

4 把两个  $K_2$  的每个顶皆与  $K_{v-4}$  的各项之间连上边.

5  $G$  中有  $\kappa'$  条边删除后  $G$  变成两个连通片  $G_1$  与  $G_2$  的不连通图, 不妨设  $|V(G_1)| = l < \frac{v}{2}$ ,  $\delta > \frac{v}{2} \geq l$ ,  $G_1$  中至少有  $\delta - (l-1)$  条边伸向  $G_2$ ,  $\kappa'(G) \geq [\delta - (l-1)]l \geq \delta$ ,  $\kappa' = \delta$ .

6 删去  $k-1$  个顶得图  $G_1$ , 则  $\delta(G_1) \geq \frac{1}{2} \kappa(G) - 1$ ,  $G$  连通.

9 若任二顶间至少有两条无公共边的轨, 则  $\forall e \in E(G)$ ,  $G-e$  连通, 即  $G$  是 2 边连通的. 反之,  $G$  为 2 边连通图, 无桥, 把  $G$  分解成块,  $\forall u, v \in V(G)$ , 若  $u, v$  在同块, 结论成立;  $u, v$  在两块内, 例如  $B_1, B_2, \dots, B_n$  是块,  $u \in B_1, v \in B_n$ , 则连接各块的是割顶, 有两条无公共边的轨起于  $u$  而止于  $v$ , 割顶是两条轨公共顶.

10 未必, 例如四边形  $ABCD$  再加上对角线  $AC$  得到的图中, 轨  $BACD$  与另外的轨皆有公共顶, 但它是 2 连通图.

11 只需证明多于两个顶的块是奇圈.

12 对块数进行归纳法证明.

13 对  $G$  中割点数进行归纳证明.

14 在  $G$  上加入新顶  $x$  与  $y$ , 且  $x$  与  $X$  中顶皆邻,  $y$  与  $Y$  中顶皆邻, 再用 Whitney 定理.

15(a) 对  $e$  进行归纳证明. (b) 对  $v$  进行归纳证明.

#### 第 4 章

1 只含一个割顶的块是 Euler 图. 从  $G$  中把此块的边删除后仍为 Euler 图.

2 设  $v_1, v_2, \dots, v_{2k}$  是奇次顶, 在  $v_i$  与  $v_{i+1}$  之间加上新边  $e_i (i=1, 2, \dots, k)$ .

3 若  $G-v$  中有圈  $C$ ,  $G-E(C)$  中含  $v$  的连通片是 Euler 图,  $T$  是此连通片上的 Euler 回路,  $T$  无法延长成  $G$  上的 Euler 回路, 故  $G-v$  是林. 设  $Q$  是一条不能延长成  $G$  的 Euler 回路的最长的起于  $v$  的行迹, 则  $Q$  是闭行迹,  $G-Q$  的连通片皆 Euler 图, 与  $G-v$  为林矛盾.

4 用反证法.

6  $G$  非 2 连通图, 有割顶  $v$ ,  $v(G-v) \geq 2$ , 故非 Hamilton 图.  $|X| < |Y|$ ,  $\omega(G-X) = |Y| > |X|$ ,  $G$  非 Hamilton 图.

7  $\omega(G-S) \leq \omega(P-S) \leq |S| + 1$ ,  $P$  是 Hamilton 轨.

8 若  $v_0 \in V(G)$ , 使  $d(v_0) = 2$ ,  $v_0$  的邻顶为  $v_1, v_2$ , 则  $G$  中不存在以  $v_1, v_2$  为端点的 Hamilton 轨, 故  $\delta \geq 3$ ,  $e \geq \left\lceil \frac{3v}{2} \right\rceil$ .

12 有 Hamilton 轨; 仅当  $n = \text{odd}$  时无 Hamilton 圈.

13  $\left\lceil \frac{n-1}{2} \right\rceil$ .

14 以骑士为顶, 无仇者之间连一边,  $d(v) \geq n$ ,  $d(u) + d(v) \geq 2n$ , 由 Ore 定理知可以就坐.

19 删去八面体的六个顶则得八个连通片, 故不是 Hamilton 图.

20 在二十面体每个面 (三角形) 中取一点, 两个面相邻时, 把其内的二点用线连结, 此线与棱相交得到一个图  $G$ .  $G$  是 Hamilton 图 (同构于十二面体), 沿其 Hamilton 圈剪即可.

21  $m \times n$  为偶数.

## 第 5 章

4 平面图的块是平面图. 反之, 可用关于块数的归纳法证明, 每个块皆平面图的图是平面图.

5 (1)  $v = \phi$ . 删去  $\phi - 1$  条边后  $G$  变成树, 故有  $e - (\phi - 1) = v - 1$ ,  $e = 2v - 2$ . (2)  $n > 4$ ,  $n - 1$  条辐的轮是  $n$  个顶自对偶图.

8 以  $S$  为顶集, 仅当两点相距为 1 时, 两顶相邻得一图  $G$ , 可以证明  $G$  是平面图, 于是  $e \leq 3n - 6$ ,  $n = 3$  时等号不成立.

9 正二十面体和正八面体.

10 不是.

12 仅五种. 正四面体, 4 顶 6 边; 正六面体, 8 顶 12 边; 正八面体, 6 顶 12 边; 正十二面体, 20 顶 30 边; 正二十面体, 12 顶 30 边.

13 考虑此多面体平面嵌入后的对偶图  $G^*$ ,  $v(G^*) = \phi(G)$ .  $3 \leq d_{G^*}(v) \leq \phi - 1$ , 由抽屉原理, 必有两个面边数一致.

## 第 7 章

1  $(2n-1)!!$ ,  $n!$

2 若有两个相异的完备匹配  $M_1, M_2$ , 则  $M_1 \oplus M_2 \neq \phi$ ,  $T[M_1 \oplus M_2]$  的顶皆 2 次顶, 不可能.

3  $k$  为偶数, 取  $K_{k+1}$ ;  $k$  为奇数, 取顶  $v_1, v_2, \dots, v_{k+1}$ , 把奇号顶与偶号顶点间两两加边, 再加边  $v_1v_k, v_1v_1$ .

$\dots, v_{2k-1}, v_{2k-2}$ , 得到的图为  $G_0$ , 取  $k$  个两两不交的  $G_0$  和一个新顶  $v_0$ , 把每个  $G_0$  中的  $v_{2k-1}$  与  $v_0$  之间加上边即得所求之  $G$ .

4 若有完备匹配, 第二人总取第一人相配的顶, 则第一人必输. 反之, 若  $G$  中无完备匹配,  $M$  为最大匹配, 第一人取未被  $M$  匹配的顶  $v_0$ , 下面不论第二人如何取  $v_{i-1}$ ,  $v_{i-1}$  皆被  $M$  匹配, 于是第一人总取与  $v_{i-1}$  相配的顶  $v_i$ .

5 (a) 把  $K_{n,n}$  的顶划分  $(X, Y)$  中的  $X$  与  $Y$  之顶以  $0, 1, 2, \dots, n-1$  编号,  $(i, j)$  表示  $X$  中的  $i$  号顶与  $Y$  中的  $j$  号顶之间的边,  $\{(i, i+k(\bmod n)) \mid i=0, 1, \dots, n-1\}$  是  $K_{n,n}$  的 1-因子. 把  $K_{2n}$  的顶  $v_1, v_2, \dots, v_{2n-1}$  放在正  $2n-1$  边形的顶点上,  $v_0$  放在中心, 对任一  $i$ , 取  $v_0 v_i$  边, 与  $v_0 v_i$  垂直的边, 这  $n$  条边是  $K_{2n}$  的一个 1-因子. (b) 从 Petersen 图中删去一个 1-因子后, 剩下两个不交的五边形.

6  $K_{2n+1}$  的顶为  $0, 1, \dots, 2n$ .  $0$  放在圆心, 其余的等分地放在圆周上, 取  $C_1 = 012(2n)3(2n-1)4(2n-2)\dots n(n+2)$

$(n+1)0$ ,  $C_1$  是一个 2-因子, 把  $C_1$  逆时针每转一个顶点就产生一个新的 2-因子.

7 以方格为顶, 有公共边界者相邻得一二分图  $G$ ,  $G$  无完备匹配.

9 (b)  $G$  中有 Euler 回路  $C$ , 构造二分图  $G'(X, Y, E)$ :  $X = \{x_1, x_2, \dots, x_v\}$ ,  $Y = \{y_1, y_2, \dots, y_v\}$ ,  $x_i x_j \in E(G')$  当且仅当  $v_i, v_j$  在  $C$  中顺次相连, 于是  $G'$  是可 1-因子分解的, 从而  $G$  可以 2-因子分解.

11  $X$  是行的集合,  $Y$  为列的集合, 当且仅当两线有公共 1 时, 两线相邻, 构成一个二分图  $G$ . 应用定理 3 (König) 即可.

12 按 11 题构图, 把  $Y$  中不满  $k$  次的顶“切”成一次顶, 再按次数由大到小排列之, 从后面调一些一次顶并到前方  $m$  个顶不满  $k$  次的顶上, 得一  $2m$  个顶的  $k$  次正则二分图. 有完备匹配, 这



种匹配边导出的生成子图对应一个  $0-1 (m \times n)$  阵, 这种步骤可以进行  $k$  次.

13  $B = X - S$ , 于是  $|X| - \max_{S \subseteq X} \{|S| - |N(S)|\} = \min_{S \subseteq X} \{|X| - |S| + |N(S)|\} = \min_{B \subseteq X} \{|B| + |N(X - B)|\}$ ,  $G$  的任最小覆盖皆取  $B \cup N(X - B)$  的形式, 故最大匹配边数为  $|X| - \max_{S \subseteq X} \{|S| - |N(S)|\}$ .

14 利用 13 题.

15  $G = (X, Y, E)$  是二分图,  $v$  是偶数时, 加一些边使  $G[Y]$  是完全图; 当  $v$  是奇数时, 再加一些边, 使  $G[Y \cup \{y_0\}]$  是完全图,  $y_0$  是增加的新顶.  $G$  变成图  $H$ .  $G$  中有把  $X$  皆匹配的匹配的充要条件是  $H$  有完备匹配, Hall 定理等价于: “ $H$  有完备匹配的充要条件是  $\forall S \subseteq X, |N_H(S)| \geq |S|$ ”.

16 用 Tutte 定理.  $G_1, \dots, G_k$  是  $G - S$  的奇片,  $m_i$  是  $G_i$  与  $S$  间的边数,  $m_i = \begin{cases} \text{odd}, & k = \text{odd}, \\ \text{even}, & k = \text{even}. \end{cases}$  又  $G_i$  与  $S$  至少有  $k-1$  边相连,  $m_i \geq k$ .  $v = \text{even}$ , 则  $o(G - S) = 0$ .

17  $G$  有完备匹配, 由 Tutte 定理  $o(G - v) \leq 1$ , 又  $v(G) = \text{even}$ , 故  $o(G - v) \geq 1$ . 若  $\forall v \in V(G), o(G - v) = 1$ , 有唯一奇片  $C_0(v)$ ,  $v$  与  $C_0$  之间的边为  $e(v) = vu$ ,  $M = \{e(v)\}$  为完备匹配.

18 在剩的牌多的人手中.

19  $X = \{a, b, c, d, e, f\}$ ,  $Y = \{(b, c, d), (a, e, f), (a, b, e, f), (a, b, d, f), (a, b, c)\}$ ,  $x_i \bar{\in} y_i$  时,  $x_i, y_i \in E(G)$ , 构造一个二分图  $G$ .

20 构造二分图  $G = (X, Y, E)$ ,  $X = \{a, b, c, d, e\}$ ,  $Y = \{ace, bc, dab, db, be\}$ ,  $x_i \in y_i$  时,  $x_i, y_i \in E(G)$ , 求  $G$  的完备匹配.

22 以选出的 8 行为  $X$ , 8 列为  $Y$  构造二分图  $G = (X, Y, E)$ , 行与列有公共方格时, 此二顶相邻,  $G$  是 2 次正则二分图,

有完备匹配, 白子与黑子相配.

### 第 8 章

1  $\gamma(\text{Petersen}) = 3.$

2  $\alpha(\text{Petersen}) = 4.$

3  $\beta(\text{Petersen}) = 6.$

4  $\beta(H) \geq \max\{|X(H)|, |Y(H)|\} \geq \frac{1}{2}v(H)$ , 反之,

$G$  不是二分图, 有奇圈  $H$ ,  $\beta(H) < \frac{1}{2}v(H)$ , 矛盾.

5 只需证连通的有割顶的图不是  $\beta$ -临界的.

6 考虑  $G$  及  $G^c$ .

8  $\gamma(\text{二十面体}) = 2.$

9  $\alpha(k \text{ 维立方体}) = 2^{k-1}.$

11 反驳, 例如 Star.

### 第 9 章

2  $G = (X, Y, E)$  为二分图, 设  $|X| \geq |Y|$ , 在  $Y$  中添加一些顶使  $|X| = |Y|$ , 再加一些边, 使成为  $\Delta$  次正则二分图, 逐次求其完备匹配.

3 反证.  $G$  存在最佳  $\delta$  边着色和顶  $v$ , 满足  $d_c(v) > c(v)$ .  $v$  满足引理 2 的条件,  $G$  中有奇圈, 矛盾.

5  $v = \text{odd}$ , 在正常边上色中, 同色边条数  $\leq \frac{1}{2}(v-1)$ .

$\frac{1}{2} \lambda'(G)(v-1) \geq e(G)$ , 而  $G$  正则,  $e(G) = \frac{1}{2} \Delta v$ ,  $\lambda' > \Delta$ ,

由 Vizing 定理,  $\lambda' \leq \Delta + 1$ , 故  $\lambda'(G) = \Delta + 1$ .

6 正常边上色时, 同色边数最多  $n$  条,  $e > n\Delta$ , 故  $\lambda'(G) > \Delta$ , 由 Vizing 定理,  $\lambda'(G) = \Delta + 1$ .

7 每顶 3 种色各出现一次, 每色组成一个匹配. 1 色与 2 色边导出的子图是 2-因子  $G_1$ ,  $G_1$  连通,  $G_1$  为 Hamilton 圈.

8 7 节课; 若上 8 节课, 需要 6 间教室.

9 (1) 对  $K_{n-1}$  进行  $n$  边着色,  $r(2, 3, \dots, 3) \leq r_{n-1}$ ,  
 $r(3, 3, \dots, 3, 2, 3, \dots, 3) \leq r_{n-1}$ . (2) 对  $n$  进行归纳证明.

18 利用不等式  $r_n \leq [n!e] + 1$  及 Schur 定理,  $r_6 \leq [6!e] + 1 = 1958$ .

19  $V(G)$  可划分成  $\chi(G)$  个独立集, 第  $i$  个独立集  $n_i$  个顶,  $2e(G) \leq v^2 - \sum_{i=1}^{\chi} n_i^2$ , 当  $n_i = \frac{v}{\chi}$  时,  $\sum_{i=1}^{\chi} n_i^2$  取极小值,  $\frac{v^2}{\chi}$ ,

故  $v^2 - 2e \geq \sum_{i=1}^{\chi} n_i^2 \geq \frac{v^2}{\chi}$ ,  $\chi \geq \frac{v^2}{v^2 - 2e}$ .

20  $G_1$  为  $G$  中 1, 2, 3 色顶的导出子图,  $G_2$  是其余色 (4, 5, ...,  $\chi$ ) 顶导出的子图,  $G_1, G_2$  皆非二分图, 有无公共顶之奇圈.

25  $k(k-1)(k-2)^2(k^2-5k+8)$ ,  $k(k-1)(k-2)^2(k^2-5k+8)$ .

26 对  $n$  进行归纳证明.

27 利用 26 题及  $P(G', k) = kP(G, k-1)$ , 其中  $G'$  是  $G$  加一新顶  $w$ , 再把  $w$  与  $G$  中各顶连一边.

30  $\chi(n \text{ 维立方体}) = 2$ ,  $\chi'(n \text{ 维立方体}) = n$ .

31 否, 五色定理.

## 第 10 章

1  $2^k$ .

3 若  $\delta^- > 0$ ,  $G$  中每顶至少有一条边进入, 又由  $v < +\infty$ , 在每顶处选一进入边, 这些边导出的子图中有有向圈.

6 竞赛图中有有向 Hamilton 轨.

7 用  $\chi \leq \Delta + 1$  及有向图中有长  $\chi - 1$  的有向轨证明.

8 利用定理 4.

10 甲虫能咬死乙虫时, 从乙向甲连一条有向边, 得一竞赛图.

11 参考第三题.

### 第 11 章

3 设立附加源  $s$  与汇  $t$ , 从  $s$  到  $x_i$  连 3 条有向边, 容量分别为 5, 10, 5; 从  $y_i$  到  $t$  连 3 条有向边, 容量分别为 5, 10, 5.

4 把每顶  $v$  变成两个顶  $v'$  与  $v''$  及加一条边  $e = v'v''$ ,  $c(e)$  取  $v$  顶的容量, 进入  $v$  的边皆进入  $v'$ , 出  $v$  的边皆出  $v''$ .

5 进行源到汇与汇到源的标志.

### 第 12 章

5 构作网络:  $V' = \{s, t\} \cup \{x_1, \dots, x_{|V|}\} \cup \{y_1, y_2, \dots, y_{|V|}\}$ ,  $E' = \{sx_i | 1 \leq i \leq |V|\} \cup \{y_i t | 1 \leq i \leq |V|\} \cup \{x_i y_i | v_i, v_j \in E(G)\}$ , 边容量皆 1, 证出在  $G$  中覆盖  $V$  的轨的最小条数为  $|V| - F$ ,  $F$  是最大流.

6 构作网络:  $V' = \{s, t\} \cup \{x_1, \dots, x_{|V|}\} \cup \{y_1, \dots, y_{|V|}\}$ ,  $E' = \{sx_i | 1 \leq i \leq |V|\} \cup \{y_i t | 1 \leq i \leq |V|\} \cup \{x_i y_i | 1 \leq i \leq |V|\} \cup \{y_i x_j | v_i, v_j \in E(G)\}$ ,  $x_i y_i$  的下界为 1, 其余边之下界为 0, 一切边之上界为  $\infty$ . 求从  $s$  到  $t$  的最小流.  $O(|V| \cdot |E|)$ .

11 在一个二分图上解一个匹配问题.

### 第 13 章

3 设  $S$  中的边为  $(V_1, \bar{V}_1)$ ,  $\forall v_0 \in V_1$ , 追踪由  $v_0$  始的 Euler 回路, 由于最后还要回到  $v_0$ , 故  $(V_1, \bar{V}_1)$  中的边数一定是偶数. 反之, 取  $|V_1| = 1$ , 则知每顶皆偶次, 是 Euler 图.

4 相应的顶的次数.

5  $G = (X, Y, E)$  是二分图,  $v_1, v_2, v_3, \dots, v_{|X|}, v_{|X|+1}, \dots, v_{|X|+|Y|}$  是顶的排列.  $\{v_1, \dots, v_{|X|}\} = X$ .

6 对应的图是三个顶的轨,  $A^{1001}$  的 2, 2 号元素为 0.

8 否.

14 (1) 50, (2) 100.

15  $A$  对应的图是一个圈, (1)  $2n$ , (2) 当  $n \neq 3$  时为 0,

当  $n=3$  时为 6.

17 皆零阵.

18 0.

19  $C_i^{(1)}$  中的行皆为  $\mathcal{C}(G)$  中元素, 可由基底  $C_i^{(1)}$  中的行线性表出.

20 (1)  $\chi' = \Delta(G)$ , (2)  $\chi(G) = 2$ .

21 (1) 是,  $r(B_1) = 3 = v - 1$ . (2) 否,  $B_1$  的第三个和为 3, 有奇次顶; (3) 是, 写出  $B$  后知仅有两个奇次顶; (4) 是, 无  $K_4$  与  $K_{1,3}$  的同胚, 此图只 4 个顶; (5)  $e - v + 1 = 5 - 4 + 1 = 2$ . (6)  $\mathcal{C}(G)$  中元素共  $2^{e-v+1} = 4$  个, 有一个为零向量, 又从  $B$  知无 4 次顶, 故两个基本圈并成的  $\mathcal{C}(G)$  中另一向量为一个圈; (7) 因度序列为 2, 3, 2, 3, 满足 Ore 定理, 是 Hamilton 圈; (8)  $\tau(G) = 8$ .

## 第 14 章

$$6 \quad \sum_{i=1}^{|V|} \sum_{j=1}^{|E|} b_{ij} = 0, \quad \sum_{i=1}^{|V|} \sum_{j=1}^{|V|} a_{ij} \text{ 表示边数.}$$

## 第 15 章

1 参考  $3DM \in NPC$  的证明.

3  $SC \propto HS$ , 令  $\{S_1, S_2, \dots, S_n\}$  和  $k$  是  $SC$  的输入, 其中  $S_i \subseteq S = \{u_1, u_2, \dots, u_m\}$ ,  $R_i = \{j | u_j \in S_i\}$ ,  $HS$  的输入:  $C = \{R_i | 1 \leq i \leq n\}$ ,  $U = \{j | 1 \leq j \leq m\}$ ,  $k$  保持不变.

4  $XC \propto 0-1 \text{ KNAP}$ . 令  $XC$  的输入是集  $U = \{u_0, u_1, \dots, u_{n-1}\}$  的子集  $S_1, S_2, \dots, S_n$  组成, 定义  $f(I): a_i = \sum_{u_j \in S_i} (m+1)^j$ ,

$$i = 1, 2, \dots, m, \quad n = m, \quad b = \sum_{i=0}^{i-1} (m+1)^i = \frac{(m+1)^i - 1}{m}.$$

5  $0-1 \text{ KNAP} \propto \text{PART}$ .  $m = n + 2$ ;  $p_i = a_i$ ,  $i = 1, 2, \dots$ ,

$$n, P_{n+1} = \sum_{i=1}^n a_i + b, P_{n+2} = 2 \sum_{i=1}^n a_i - b.$$

对每个边  $uv$  附加上一条新的轨  $uxv$ ,  $VC \propto$  最小支配集

0 HPENPC 的证明稍加改变.

2 首先对  $k=2$  用第 11 题证明.

3 参考 STENPC 的证明.

16  $MAXC \propto MINEDB$ .

17  $MAXC \propto MINCES$ ,  $I$  由  $G'(V', E')$  和  $k'$  组成,

由  $G(V, E)$ ,  $s$ ,  $t$  和  $k$  组成:

$V = V' \cup \{x_1, x_2, \dots, x_n\}$ ,  $n = |V'|$ ,  $E = \{uv | uv \in E(G')\}$ .

$c_1$ ,  $t = x_n$ ,  $k = n^2 - k'$ .

18 参考 0-1KNAP.

19  $IND \propto IFWB$ .

## 参 考 文 献

- [1] Bondy J. A, Murty U S R, Graph Theory with Applications, Macmillan Press LTD, 1976
- [2] Even S, Graph Algorithms, Maryland Computer Science Press 1979
- [3] Garey M. R, Johnson D S, Computers and Intractability, A Guide to the Theory of NP-Completeness, Freeman, 1979
- [4] [匈]Andra'sfai B. 著, 郭照人译, 图论导引, 北京: 高等教育出版社, 1985
- [5] [美]Harary F. 著, 李慰萱译, 图论, 上海科学技术出版社, 1980
- [6] 卢开澄, 图论与算法, 清华大学出版社, 1981
- [7] 陈树柏, 网络图论及其应用, 科学出版社, 1982
- [8] Beineke L. W, Wilson R. J, Selected Topics in Graph Theory Academic Press, 1978
- [9] Bollobas B, Extramal Graph Theory, Academic Press, 1978
- [10] Chartrand G, The Theory and Applications of Graphs, (Fourth International Conference), John wiley & Sons, 1981
- [11] 王朝瑞, 图论, 人民教育出版社, 1981